



AM1-CÁLCULO DE ESTRUCTURAS

AM1 E.1.- CÁLCULOS POR ORDENADOR

1.Programas utilizados

1.1.Nombre del programa

CYPECAD

CYPE 3D como estructuras 3D integradas

1.2.Versión y fecha

Versión 2017.j

1.3.Empresa distribuidora

CYPE Ingenieros, S.A.

2.Tipo de análisis efectuado por el programa

2.1.Descripción de Problemas a Resolver

CYPECAD ha sido concebido para realizar el cálculo y dimensionado de estructuras de hormigón armado y metálicas diseñado con forjados unidireccionales, reticulares y losas macizas para edificios sometidos a acciones verticales y horizontales. Las vigas de forjados pueden ser de hormigón y metálicas. Los soportes pueden ser pilares de hormigón armado, metálicos, pantallas de hormigón armado, muros de hormigón armado con o sin empujes horizontales y muros de fábrica. La cimentación puede ser fija (por zapatas o encepados) o flotante (mediante vigas y losas de cimentación). Con él se pueden obtener la salida gráfica de planos de dimensiones y armado de las plantas, vigas, pilares, pantallas y muros por plotter, impresora y ficheros DXF, así como listado de datos y resultados del cálculo.

2.2.Descripción del Análisis Efectuado por el Programa

El análisis de las solicitaciones se realiza mediante un cálculo espacial en 3D, por métodos matriciales de rigidez, formando todos los elementos que definen la estructura: pilares, pantallas H.A., muros, vigas y forjados.

Se establece la compatibilidad de deformaciones en todos los nudos, considerando 6 grados de libertad, y se crea la hipótesis de indeformabilidad del plano de cada planta, para simular el comportamiento rígido del forjado, impidiendo los desplazamientos relativos entre nudos del mismo (diafragma rígido). Por tanto, cada planta sólo podrá girar y desplazarse en su conjunto (3 grados de libertad).

La consideración de diafragma rígido para cada zona independiente de una planta se mantiene aunque se introduzcan vigas y no forjados en la planta.

Cuando en una misma planta existan zonas independientes, se considerará cada una de éstas como una parte distinta de cara a la indeformabilidad de esa zona, y no se tendrá en cuenta en su conjunto. Por tanto, las plantas se comportarán como planos indeformables independientes. Un pilar no conectado se considera zona independiente.

Para todos los estados de carga se realiza un cálculo estático, (excepto cuando se consideran acciones dinámicas por sismo, en cuyo caso se emplea el análisis modal espectral), y se supone un comportamiento lineal de los materiales y, por tanto, un cálculo de primer orden, de cara a la obtención de desplazamientos y esfuerzos.

3.Discretización de la estructura

La estructura se discretiza en elementos tipo barra (estructuras 3D integradas), emparrillados de barras y nudos, y elementos finitos triangulares de la siguiente manera:

- ♦ **1. Pilares:** Son barras verticales entre cada planta, definiendo un nudo en arranque de cimentación o en otro elemento, como una viga o forjado, y en la intersección de cada planta, siendo su eje el de la sección transversal. Se consideran las excentricidades debidas a la variación de dimensiones en altura. La longitud de la barra es la altura o distancia libre a cara de otros elementos.
- ♦ **2. Vigas:** se definen en planta fijando nudos en la intersección con las caras de soportes (pilares, pantallas o muros), así como en los puntos de corte con elementos de forjado o con otras vigas. Así se crean nudos en el eje y en los bordes laterales y, análogamente, en las puntas de voladizos y extremos libres o en contacto con otros elementos de los forjados. Por tanto, una viga entre dos pilares está formada por varias barras consecutivas, cuyos nudos son las intersecciones con las barras de forjados. Siempre poseen tres grados de libertad, manteniendo la hipótesis de diafragma rígido entre todos los elementos que se encuentren en contacto. Por ejemplo, una viga continua que se apoya en varios pilares, aunque no tenga forjado, conserva la hipótesis de diafragma rígido. Pueden ser de hormigón armado o metálicas en perfiles seleccionados de biblioteca.
- ♦ **2.1. Simulación de apoyo en muro:** se definen tres tipos de vigas simulando el apoyo en muro, el cual se discretiza como una serie de apoyos coincidentes con los nudos de la discretización a lo largo del apoyo en muro, al que se le aumenta su rigidez de forma considerable ($\times 100$). Es como una viga continua muy rígida sobre apoyos con tramos de luces cortas.

Los tipos de apoyos a definir son:

- **empotramiento:** desplazamientos y giros impedidos en todas direcciones
- **articulación fija:** desplazamientos impedidos pero giro libre



- **articulación con deslizamiento libre horizontal:** desplazamiento vertical coartado, horizontal y giros libres.

Conviene destacar el efecto que puede producir en otros elementos de la estructura, estos tipos de apoyos, ya que al estar impedido el movimiento vertical, todos los elementos estructurales que en ellos se apoyen o vinculen encontrarán una coacción vertical que impide dicho movimiento. En particular es importante de cara a pilares que siendo definidos con vinculación exterior, estén en contacto con este tipo de apoyos, quedando su carga suspendida de los mismos, y no transmitiéndose a la cimentación, apareciendo incluso valores negativos de las reacciones, que representa el peso del pilar suspendido o parte de la carga suspendida del apoyo en muro.

En el caso particular de articulación fija y con deslizamiento, cuando una viga se encuentra en continuidad o prolongación del eje del apoyo en muro, se produce un efecto de empotramiento por continuidad en la coronación del apoyo en muro, lo cual se puede observar al obtener las leyes de momentos y comprobar que existen momentos negativos en el borde. En la práctica debe verificarse si las condiciones reales de la obra reflejan o pueden permitir dichas condiciones de empotramiento, que deberán garantizarse en la ejecución de la misma.

Si la viga no está en prolongación, es decir con algo de esviaje, ya no se produce dicho efecto, comportándose como una rótula.

Si cuando se encuentra en continuidad se quiere que no se empotre, se debe disponer una rótula en el extremo de la viga en el apoyo.

No es posible conocer las reacciones sobre estos tipos de apoyo.

- ♦ **2.2. Vigas de cimentación:** son vigas flotantes apoyadas sobre suelo elástico, discretizadas en nudos y barras, asignando a los nudos la constante de muelle definida a partir del coeficiente de balasto (ver anexo de Losas y vigas de cimentación).
- ♦ **3. Forjados de Placas Aligeradas.** Son forjados unidireccionales discretizados por barras cada 40 cm. Las características geométricas y sus propiedades resistentes se definen en una ficha de características del forjado, que puede introducir el usuario, creando una biblioteca de forjados aligerados. Se pueden calcular en función del proceso constructivo de forma aproximada, modificando el empotramiento en bordes, según un método simplificado.
- ♦ **4. Losas macizas:** La discretización de los paños de losa maciza se realiza en mallas de elementos tipo barra de tamaño máximo de 25 cm y se efectúa una condensación estática (método exacto) de todos los grados de libertad. Se tiene en cuenta la deformación por cortante y se mantiene la hipótesis de diafragma rígido. Se considera la rigidez a torsión de los elementos.
- ♦ **4.1. Losas de cimentación:** son losas macizas flotantes cuya discretización es idéntica a las losas normales de planta, con muelles cuya constante se define a partir del coeficiente de balasto. Cada paño puede tener coeficientes diferentes (ver en Anexo 2 Losas y vigas de cimentación).
- ♦ **5. Pantallas H.A.:** Son elementos verticales de sección transversal cualquiera, formada por rectángulos múltiples entre cada planta, y definidas por un nivel inicial y un nivel final. La dimensión de cada lado es constante en altura, pudiendo disminuirse su espesor. En una pared (o pantalla) una de las dimensiones transversales de cada lado debe ser mayor que cinco veces la otra dimensión, ya que si no se verifica esta condición no es adecuada su discretización como elemento finito, y realmente se puede considerar un pilar como elemento lineal. Tanto vigas como forjados se unen a las paredes a lo largo de sus lados en cualquier posición y dirección, mediante una viga que tiene como ancho el espesor del tramo y canto constante de 25 cm. No coinciden los nudos con los nudos de la viga. (Fig 1).

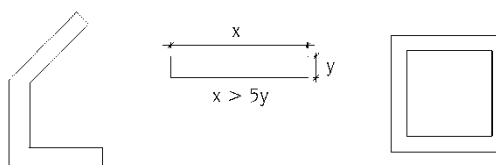


Fig 1

EJEMPLOS TÍPICOS DE PANTALLAS

- ♦ **6. Muros de hormigón armado y muros de sótano:** Son elementos verticales de sección transversal cualquiera, formada por rectángulos entre cada planta, y definidas por un nivel inicial y un nivel final. La dimensión de cada lado puede ser diferente en cada planta, pudiendo disminuirse su espesor en cada planta. En una pared (o muro) una de las dimensiones transversales de cada lado debe ser mayor que cinco veces la otra dimensión, ya que si no se verifica esta condición, no es adecuada su discretización como elemento finito, y realmente se puede considerar un pilar, u otro elemento en función de sus dimensiones. Tanto vigas como forjados y pilares se unen a las paredes del muro a lo largo de sus lados en cualquier posición y dirección.

Todo nudo generado corresponde con algún nudo de los triángulos.

La discretización efectuada es por elementos finitos tipo lámina gruesa tridimensional, que considera la deformación por cortante. Están formados por seis nudos, en los vértices y en los puntos medios de los lados con seis grados de libertad cada uno y su forma es triangular, realizándose un mallado del muro en función de las dimensiones, geometría, huecos, generándose un mallado con refinamiento en zonas críticas que reduce el tamaño de los elementos en las proximidades de ángulos, bordes y singularidades.

3.1. Consideración del tamaño de los nudos

Se crea, por tanto, un conjunto de nudos generales rígidos de dimensión finita en la intersección de pilares y vigas cuyos nudos asociados son los definidos en las intersecciones de los elementos de los forjados en los bordes de las vigas y de todos ellos en las caras de los pilares.

Dado que están relacionados entre sí por la compatibilidad de deformaciones, supuesta la deformación plana, se puede resolver la matriz de rigidez general y las asociadas y obtener los desplazamientos y los esfuerzos en todos los elementos.

A modo de ejemplo, la discretización sería tal como se observa en el esquema siguiente (Fig 2). Cada nudo de dimensión finita puede tener varios nudos asociados o ninguno, pero siempre debe tener un nudo general. Dado que el programa tiene en cuenta el tamaño del pilar, y suponiendo un comportamiento lineal dentro del soporte, con deformación plana y rigidez infinita, se plantea la compatibilidad de deformaciones. Las barras definidas entre el eje del pilar (1) y sus bordes (2) se consideran infinitamente rígidas.

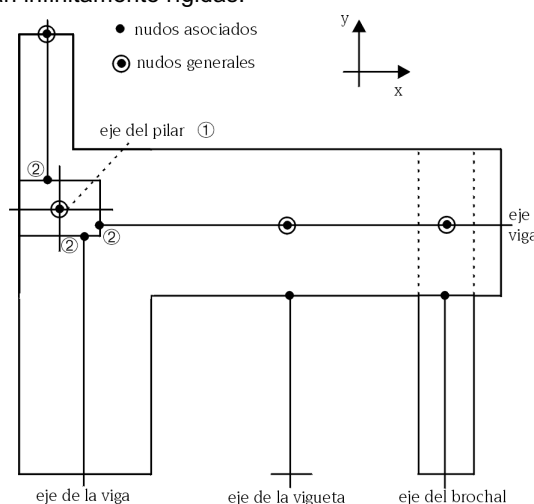


Fig 2 DISCRETIZACIÓN DE LA ESTRUCTURA

Se consideran δ_{z1} , θ_{x1} , θ_{y1} como los desplazamientos del pilar ①, δ_{z2} , θ_{x2} , θ_{y2} como los desplazamientos de cualquier punto ②, que es la intersección del eje de la viga con la cara de pilar, y A_x , A_y como las coordenadas relativas del punto ② respecto del ① (Fig 2).

Se cumple que:

$$\delta_{z2} = \delta_{z1} - A_x \cdot \theta_{y1} + A_y \cdot \theta_{x1}$$

$$\theta_{x2} = \theta_{x1}$$

$$\theta_{y2} = \theta_{y1}$$

De idéntica manera se tiene en cuenta el tamaño de las vigas, considerando plana su deformación (Fig 3).

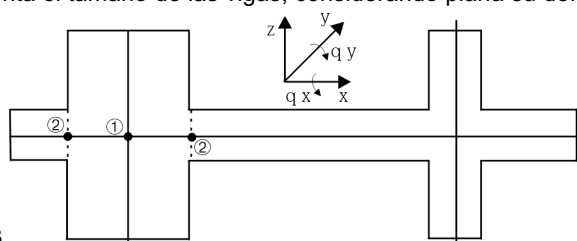


Fig 3

3.2. Redondeo de las Leyes de Esfuerzos en Apoyos

Si se considera el Código Modelo CEB-FIP 1990, inspirador de la normativa europea, al hablar de la luz eficaz de cálculo, el artículo 5.2.3.2. dice lo siguiente:

“Usualmente, la luz l será entendida como la distancia entre ejes de soportes. Cuando las reacciones estén localizadas de forma muy excéntrica respecto de dichos ejes, la luz eficaz se calculará teniendo en cuenta la posición real de la resultante en los soportes.

En el análisis global de pórticos, cuando la luz eficaz es menor que la distancia entre soportes, las dimensiones de las uniones se tendrán en cuenta introduciendo elementos rígidos en el espacio comprendido entre la directriz del soporte y la sección final de la viga.”

Como en general la reacción en el soporte es excéntrica, ya que normalmente se transmite axil y momento al soporte, se adopta la consideración del tamaño de los nudos mediante la introducción de elementos rígidos entre el eje del soporte y el final de la viga, lo cual se plasma en las consideraciones que a continuación se detallan.

Dentro del soporte se supone una respuesta lineal como reacción de las cargas transmitidas por el dintel y las aplicadas en el nudo, transmitidas por el resto de la estructura (Fig 4).

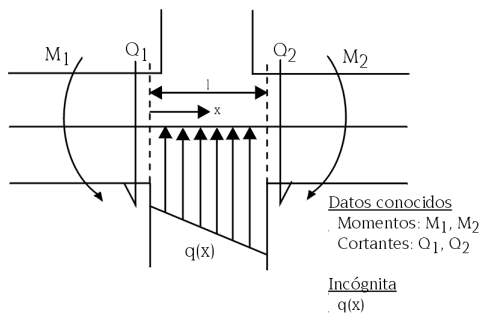


Fig 4

Datos conocidos: - momentos: M_1, M_2
- cortantes: Q_1, Q_2

Incógnita: $q(x)$

Se sabe que:

$$Q = \frac{dM}{dx} \quad q = \frac{dQ}{dx}$$

Las ecuaciones del momento responden, en general, a una ley parabólica cúbica de la forma:

$$M = ax^3 + bx^2 + cx + d$$

El cortante es su derivada:

$$Q = 3ax^2 + 2bx + c$$

Suponiendo las siguientes condiciones de contorno:

$$x = 0 \quad Q = Q_1 = c$$

$$x = 0 \quad M = M_1 = d$$

$$x = l \quad Q = Q_2 = 3al^2 + 2bl + c$$

$$x = l \quad M = M_2 = al^3 + bl^2 + cl + d$$

se obtiene un sistema de cuatro ecuaciones con cuatro incógnitas de fácil resolución.

Las leyes de esfuerzos son de la siguiente forma (Fig 5):

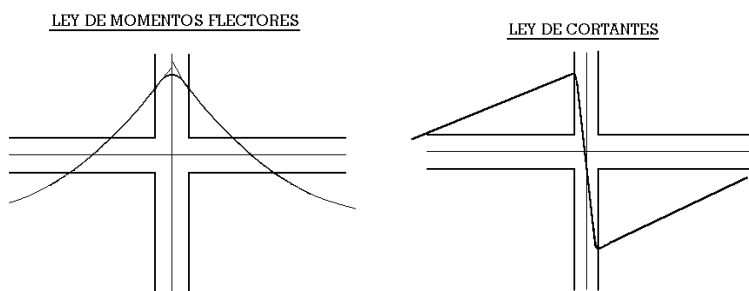


Fig 5

Estas consideraciones ya fueron recogidas por diversos autores (Branson, 1977) y, en definitiva, están relacionadas con la polémica sobre luz de cálculo y luz libre y su forma de contemplarlo en las diversas normas, así como el momento de cálculo a ejes o a caras de soportes.

En particular, el art. 18.2.2. de la EHE dice: *Salvo justificación especial se considerará como luz de cálculo la distancia entre ejes de apoyo. Comentarios: En aquellos casos en los que la dimensión del apoyo es grande, puede tomarse simplícidamente como luz de cálculo la luz libre más el canto del elemento.*

Se está idealizando la estructura en elementos lineales, de una longitud a determinar por la geometría real de la estructura y en este sentido cabe la consideración del tamaño de los pilares.

No conviene olvidar que, para considerar un elemento como lineal, la viga o pilar tendrá una luz o longitud del elemento no menor que el triple de su canto medio, ni menor que cuatro veces su ancho medio.

El Eurocódigo EC-2 permite reducir los momentos de apoyo en función de la reacción del apoyo y su anchura:

$$\Delta M = \frac{\text{reacción} \cdot \text{ancho apoyo}}{8}$$

En función de que su ejecución sea de una pieza sobre los apoyos, se puede tomar como momento de cálculo el de la cara del apoyo y no menos del 65% del momento de apoyo, supuesta una perfecta unión fija en las caras de los soportes rígidos.

En este sentido se pueden citar también las normas argentinas C.I.R.S.O.C., que están basadas en las normas D.I.N. alemanas y que permiten considerar el redondeo parabólico de las leyes en función del tamaño de los apoyos.

Dentro del soporte se considera que el canto de las vigas aumenta de forma lineal, de acuerdo a una pendiente 1:3, hasta el eje del soporte, por lo que la consideración conjunta del tamaño de los nudos, redondeo parabólico de la ley de momentos y aumento de canto dentro del soporte, conduce a una economía de la armadura longitudinal por flexión en



las vigas, ya que el máximo de cuantías se produce entre la cara y el eje del soporte, siendo lo más habitual en la cara, dependiendo de la geometría introducida.

En el caso de una viga que apoya en un soporte alargado tipo pantalla o muro, las leyes de momentos se prolongarán en el soporte a partir de la cara de apoyo en una longitud de un canto, dimensionando las armaduras hasta tal longitud, no prolongándose más allá de donde son necesarias. Aunque la viga sea de mayor ancho que el apoyo, la viga y su armadura se interrumpen una vez que ha penetrado un canto en la pantalla o muro.

4. Método de comprobación a pandeo

Para el cálculo a pandeo se expone a continuación los principios básicos utilizados por el programa:

Coeficientes de pandeo por planta en cada dirección.

1. Pilares de hormigón.

2. Pilares de acero.

Estos coeficientes pueden definirse por planta y por cada pilar independientemente. El programa asume el valor $\alpha = 1$ (también llamado β) por defecto, debiéndolo variar el usuario si así lo considera, por el tipo de estructura y uniones del pilar con vigas y forjados en ambas direcciones. Recuerde que se define un coeficiente de pandeo por planta y otro por pilar en cabeza y pie, que se multiplican, obteniendo el coeficiente de cálculo definido.

Observe el siguiente caso, analizando los valores del coeficiente de pandeo en un pilar, que al estar sin coacciones en varias plantas consecutivas, podría pandear en toda su altura:

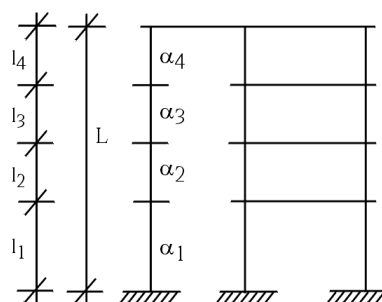


Fig 6

Cuando un pilar está desconectado en ambas direcciones y en varias plantas consecutivas, dimensiona el pilar en cada tramo o planta, por lo que a efectos de esbeltez, y para el cálculo de la longitud de pandeo l_0 , el programa tomará el máximo valor de α de todos los tramos consecutivos desconectados, multiplicado por la longitud total = suma de todas las longitudes.

$$\alpha = \text{MAX}(\alpha_1, \alpha_2, \alpha_3, \alpha_4 \dots)$$

$$l = \sum l_i = (l_1 + l_2 + l_3 + l_4 \dots)$$

luego $l_0 = \alpha \cdot l$ (tanto en la dirección X como Y local del pilar, con su valor correspondiente).

Cuando un pilar esté desconectado en una única dirección en varias plantas consecutivas, el programa tomará para cada tramo, en cada planta i , $l_{0i} = \alpha_i \cdot l_i$, no conociendo el hecho de la desconexión. Por tanto, si deseamos hacerla efectiva, en la dirección donde está desconectado, debemos conseguir el valor de cada α_i , de forma que:

Sea α el valor correspondiente para el tramo exento completo l .

El valor en cada tramo i será:

$$\alpha_i = \frac{\sum_{j=1}^n l_j}{l_i} \cdot \alpha$$

en el ejemplo, para $\alpha_3 = \frac{l_1 + l_2 + l_3 + l_4}{l_3} \cdot \alpha$

Por tanto, cuando el programa calcula la longitud de pandeo de la planta 3, calculará:

$$l_{03} = \alpha_3 \cdot l_3 = \frac{l_1 + l_2 + l_3 + l_4}{l_3} \cdot \alpha \cdot l_3 = (l_1 + l_2 + l_3 + l_4) \cdot \alpha = \alpha \cdot l$$

que coincide con lo indicado para el tramo completo desconectado, aunque realice el cálculo en cada planta, lo cual es correcto, pero siempre lo hará con longitud $\alpha \cdot l$.

La altura que se considera a efectos de cálculo a pandeo es la altura libre del pilar, es decir, la altura de la planta menos la altura de la viga o forjado de mayor canto que acomete al pilar.

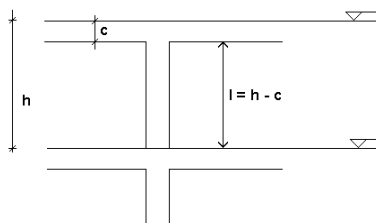


Fig 7

El valor final de α de un pilar es el producto del α de la planta por el α del tramo.

Queda a juicio del proyectista la variación de los valores de α en cada una de las direcciones de los ejes locales de los pilares, ya que las diferentes normas no precisan de forma general la determinación de dichos coeficientes más que para el caso de pórticos, y dado que el comportamiento espacial de una estructura no corresponde a los modos de pandeo de un pórtico, se prefiere no dar esos valores de forma inexacta.

Consideración de Efectos de 2º Orden. De forma potestativa se puede considerar, cuando se define hipótesis de **Viento** o **Sismo**, el cálculo de la amplificación de esfuerzos producidos por la actuación de dichas cargas horizontales. Es aconsejable activar esta opción en el cálculo.

El método está basado en el efecto **P-delta** debido a los desplazamientos producidos por las acciones horizontales, abordando de forma sencilla los efectos de segundo orden a partir de un cálculo de primer orden, y un comportamiento lineal de los materiales, con unas características mecánicas calculadas con las secciones brutas de los materiales y su módulo de elasticidad secante.

Bajo la acción horizontal, en cada planta i , actúa una fuerza H_i , la estructura se deforma, y se producen unos desplazamientos Δ_{ij} a nivel de cada pilar. En cada pilar j , y a nivel de cada planta, actúa una carga de valor P_{ij} para cada hipótesis gravitatoria, transmitida por el forjado al pilar j en la planta i (Fig 8).

Se define un momento volcador M_H debido a la acción horizontal H_i , a la cota z_i respecto a la cota **0.00 o nivel sin desplazamientos horizontales**, en cada dirección de actuación del mismo:

$$M_H = \sum H_i \cdot z_i$$

ACTUA VIENTO

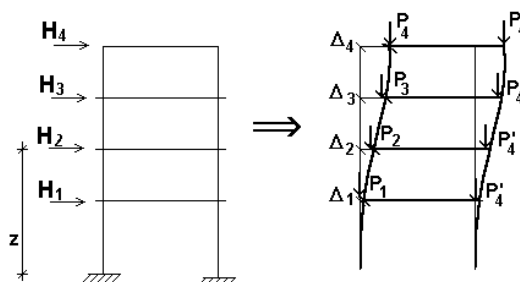


Fig 8

De la misma forma se define un momento por efecto **P-delta**, $M_{P\Delta}$, debido a las cargas transmitidas por los forjados a los pilares P_{ij} , para cada una de las hipótesis gravitatorias (k) definidas, por los desplazamientos debidos a la acción horizontal Δ_i .

$$M_{P\Delta k} = \sum_i \sum_j P_{ij} \Delta_i$$

siendo

k : para cada hipótesis gravitatoria (peso propio, sobrecarga...)

Si se calcula el coeficiente $C_K = \frac{M_{P\Delta k}}{M_{HK}}$ para cada hipótesis gravitatoria y para cada dirección de la acción horizontal,

se puede obtener un coeficiente amplificador del coeficiente de mayoración de la hipótesis debidas a las acciones horizontales para todas las combinaciones en las que actúan dichas acciones horizontales. Este valor se denomina γ_z y se calcula como:

$$\gamma_z = \frac{1}{1 - (\sum \gamma_{fqi} \cdot C_i + \sum \gamma_{fqj} \cdot C_j)}$$

siendo

γ_{fqi} : coeficiente de mayoración de cargas permanentes de la hipótesis i

γ_{fqj} : coeficiente de mayoración de cargas variables de la hipótesis j

γ_z : coeficiente de estabilidad global

Para el cálculo de los desplazamientos debido a cada hipótesis de acciones horizontales, hay que recordar que hemos hecho un cálculo en primer orden, con las secciones brutas de los elementos. Si se está calculando los esfuerzos para



el dimensionado en estados límites últimos, parecería lógico que el cálculo de los desplazamientos en rigor se deberían calcular con las secciones fisuradas y homogeneizadas, lo cual resulta muy laborioso, dado que eso supone la no-linealidad de los materiales, geometría y estados de carga, lo que lo hace inabordable desde el punto de vista práctico con los medios normales disponibles para el cálculo. Por tanto, se debe establecer una simplificación consistente en suponer una reducción de la rigidez de las secciones, lo que supone un aumento de los desplazamientos, ya que son inversamente proporcionales. El programa solicita como dato ese aumento o “factor multiplicador de los desplazamientos” para tener en cuenta esa reducción de la rigidez.

En este punto no existe un criterio único, dejando a juicio del proyectista el valor que considere oportuno en función del tipo de estructura, grado de fisuración estimado, otros elementos rigidizantes, núcleos, escaleras, etc., que en la realidad pueden incluso reducir los desplazamientos calculados.

En Brasil es habitual considerar un coeficiente reductor del módulo de elasticidad longitudinal de 0.90, y suponer un coeficiente reductor de la inercia fisurada respecto de la bruta de 0.70. Por tanto, la rigidez se reduce en su producto:

$$\text{Rigidez-reducida} = 0.90 \cdot 0.70 \cdot \text{Rigidez-bruta} = 0.63 \cdot \text{Rigidez-bruta}.$$

Como los desplazamientos son inversos de la rigidez, el factor multiplicador de los desplazamientos será $= 1 / 0.63 = 1.59$, valor que se introducirá como dato en el programa. Como norma de buena práctica se suele considerar que si γ_z es mayor que 1.20, se debe rigidizar más la estructura en esa dirección, ya que la estructura es muy deformable y poco estable en esa dirección. Si γ_z es menor que 1.1, su efecto será pequeño y prácticamente despreciable.

En la nueva norma NB-1/2000, de forma simplificada se recomienda amplificar por $1/0.7 = 1.43$ los desplazamientos y limitar el valor γ_z a 1.3.

En el Código Modelo CEB-FIP 1990, se aplica un método de amplificación de momentos que recomienda, a falta de un cálculo más preciso, reducir las rigideces un 50%, o lo que es lo mismo, un coeficiente amplificador de los desplazamientos $= 1 / 0.50 = 2.00$. Para este supuesto se puede considerar que si γ_z es mayor que 1.50, se debe rigidizar más la estructura en esa dirección, ya que la estructura es muy deformable y poco estable en esa dirección. Si γ_z es menor que 1.35, su efecto será pequeño y prácticamente despreciable.

En la norma ACI-318-95, existe el índice de estabilidad por planta **Q**, no para el global del edificio, aunque se podría establecer una relación con el coeficiente de estabilidad global, si las plantas son muy similares, relacionándolos mediante:

$$\gamma_z: \text{coeficiente de estabilidad global} = 1 / (1-Q)$$

En cuanto al límite que establece para la consideración de la planta como intraslacional, o lo que en este caso sería el límite para su consideración o no, se dice que $Q = 0.05$, es decir: $1/0.95=1.05$.

Para este caso supone calcularlo y tenerlo en cuenta siempre que se supere dicho valor, lo que en definitiva conduce a considerar el cálculo prácticamente siempre y amplificar los esfuerzos por este método.

En cuanto al coeficiente multiplicador de los desplazamientos, se indica que dado que las acciones horizontales son temporales y de corta duración, se puede considerar una reducción del orden del 70% de la inercia, y como el módulo de elasticidad es menor ($15100 / 19000 = 0.8$) es decir un coeficiente amplificador de los desplazamientos de $1 / (0.7 \cdot 0.8) = 1.78$, y de acuerdo al coeficiente de estabilidad global, no superar el valor 1.35 sería lo razonable.

Se puede apreciar que el criterio del código modelo sería recomendable y fácil de recordar, así como aconsejable en todos los casos su aplicación:

Coeficiente multiplicador de los desplazamientos = 2

Límite para el coeficiente de estabilidad global = 1.5

Es verdad que por otro lado siempre existen en los edificios elementos rigidizantes, fachadas, escaleras, muros portantes etc., que aseguran una menor desplazabilidad frente a las acciones horizontales que las calculadas, por ello el programa deja en 1.00 el coeficiente multiplicador de los desplazamientos, y a criterio del proyectista su modificación, dado que no todos los elementos se pueden discretizar en el cálculo de la estructura.

Terminado el cálculo, en la pantalla **Datos Generales, Viento y Sismo**, pulsando en el **botón Con efectos de segundo orden, factores de amplificación** se pueden consultar los valores calculados para cada una de las combinaciones, e imprimir un informe con los resultados en **Listados**, viendo el máximo valor del coeficiente de estabilidad global en cada dirección.

Puede incluso darse el caso de que la estructura no sea estable, en cuyo caso se emite un mensaje antes de terminar el cálculo, en el que se advierte que existe un fenómeno de inestabilidad global. Esto se producirá cuando el valor γ_z tienda a ∞ o, lo que es lo mismo en la fórmula, que se convierte en cero o negativo porque:

$$\sum (\gamma_{fji} \cdot C_i + \gamma_{fji} \cdot C_i) \geq 1$$

Se puede estudiar para Viento y/o sismo, y es siempre aconsejable su cálculo, como método alternativo de cálculo de los efectos de segundo orden, sobre todo para estructuras traslacionales, o levemente traslacionales como son la mayoría de los edificios.

Conviene recordar que la hipótesis de sobrecarga se considera en su totalidad, y dado que el programa no realiza ninguna reducción de sobrecarga de forma automática, puede ser conveniente repetir el cálculo reduciendo previamente la sobrecarga, lo cual sólo sería válido para el cálculo de los pilares.

En el caso de la norma ACI 318, una vez que hemos estudiado la estabilidad del edificio, el tratamiento de la reducción de rigideces para el dimensionado de pilares, se realiza aplicando una formulación que se indica en el apéndice de normativas del programa.

En ese caso, y dado lo engorroso y prácticamente inabordable que supone el cálculo de los coeficientes de pandeo determinando las rigideces de las barras en cada extremo de pilar, sería suficientemente seguro tomar coeficientes de pandeo $= 1$, con lo cual se calculará siempre la excentricidad ficticia o adicional de segundo orden como barra aislada, más el efecto amplificador **P-delta** del método considerado, obteniendo unos resultados razonables dentro del campo de las esbelteces que establece cada norma en su caso.



Se deja al usuario tomar la decisión al respecto, dado que es un método alternativo, y en su caso podrá optar por la aplicación rigurosa de la norma correspondiente.

5. Opciones de cálculo

5.1. Estructuras de hormigón armado. Opciones de Cálculo

Se puede definir una amplia serie de parámetros estructurales de gran importancia en la obtención de esfuerzos y dimensionado de elementos. Dada la gran cantidad de opciones disponibles, se recomienda su consulta en el manual. Citaremos a continuación las más significativas.

A.-Redistribuciones Consideradas.

Coefficientes de Redistribución de Negativos. Se acepta una redistribución de momentos negativos en vigas y viguetas de hasta un 30%. Este parámetro puede ser establecido opcionalmente por el usuario, si bien se recomienda un 15% en vigas y un 25% en viguetas (valor por defecto). Esta redistribución se realiza después del cálculo.

La consideración de una cierta redistribución de momentos flectores supone un armado más caro pero más seguro y más constructivo. Sin embargo, una redistribución excesiva produce unas flechas y una fisuración incompatible con la tabiquería.

En vigas, una redistribución del 15% produce unos resultados generalmente aceptados y se puede considerar la óptima. En forjados se recomienda utilizar una redistribución del 25%, lo que equivale a igualar aproximadamente los momentos negativos y positivos.

La redistribución de momentos se efectúa con los momentos negativos en bordes de apoyos, que en pilares será a caras, es decir afecta a la luz libre, determinándose los nuevos valores de los momentos dentro del apoyo a partir de los momentos redistribuidos a cara, y las consideraciones de redondeo de las leyes de esfuerzos indicadas en el apartado anterior.

En forjados de viguetas, el usuario puede definir los momentos mínimos positivos y negativos que especifique la norma.

Coefficiente de Empotramiento en última planta. De forma opcional se pueden redistribuir los momentos negativos en la unión de la cabeza del último tramo de pilar con extremo de viga; dicho valor estará comprendido entre 0 (articulado) y 1 (empotramiento), aunque se aconseja 0.3 como valor intermedio.

Se realiza una interpolación lineal entre las matrices de rigidez de barras biempotradas y empotradas-articuladas, que afecta a los términos $E I/L$ de las matrices:

$$K_{\text{definitiva}} = \alpha \cdot K_{\text{biempotradas}} + (1 - \alpha) \cdot K_{\text{empot - artic.}}$$

siendo α el valor del coeficiente introducido.

Coefficiente de Empotramiento en cabeza y pie de pilar, en bordes de forjados, vigas; articulaciones en extremos de vigas. Es posible también definir un coeficiente de empotramiento de cada tramo de pilar en su cabeza y/o su pie en la unión (0 = articulado; 1 = empotrado) (valor por defecto). Los coeficientes de cabeza del último tramo de pilar se multiplican por éstos. Esta rótula plástica se considera físicamente en el punto de unión de la cabeza o pie con la viga o forjado tipo losa/reticular que acomete al nudo.

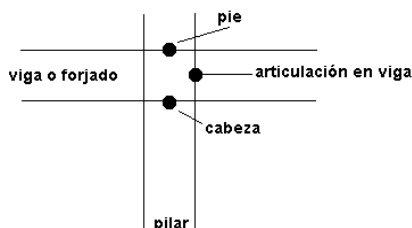


Fig 9

En extremos de vigas y cabeza de último tramo de pilar con coeficientes muy pequeños y rótula en viga, se pueden dar resultados absurdos e incluso mecanismos, al coexistir dos rótulas unidas por tramos rígidos.

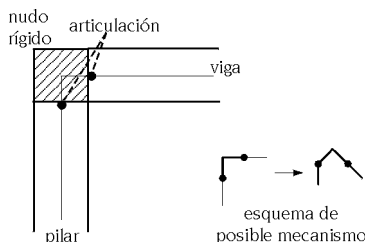


Fig 10

En losas, forjados unidireccionales y forjados reticulares también se puede definir un coeficiente de empotramiento variable en todos sus bordes de apoyo, que puede oscilar entre 0 y 1 (valor por defecto).

También se puede definir un coeficiente de empotramiento variable entre 0 y 1 (valor por defecto) en bordes de viga, de la misma manera que en forjados, pero para uno o varios bordes, al especificarse por viga.

Cuando se define coeficientes de empotramiento simultáneamente en forjados y bordes de viga, se multiplican ambos para obtener un coeficiente resultante a aplicar a cada borde.

La rótula plástica definida se materializa en el borde del forjado y el borde de apoyo en vigas y muros, no siendo efectiva en los bordes en contacto con pilares y pantallas, en los que siempre se considera empotrado. Entre el borde de apoyo y el eje se define una barra rígida, por lo que siempre existe momento en el eje de apoyo producido por el cortante en el borde por su distancia al eje. Dicho momento flector se convierte en torsor si no existe continuidad con otros paños adyacentes. Esta opción debe usarse con prudencia, ya que si se articula el borde de un paño en una viga, y la viga tiene reducida a un valor muy pequeño la rigidez a torsión, sin llegar a ser un mecanismo, puede dar resultados de los desplazamientos del paño en el borde absurdos, y por tanto los esfuerzos calculados.

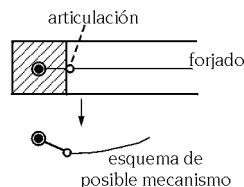


Fig 11 Viga con rigidez torsional muy pequeña

Es posible definir también articulaciones en extremos de vigas, materializándose físicamente en la cara del apoyo, ya sea pilar, muro, pantalla o apoyo en muro.

Estas redistribuciones se tienen en cuenta en el cálculo e influyen por tanto en los desplazamientos y esfuerzos finales del cálculo obtenido.

B.-Rigideces Consideradas. Para la obtención de los términos de la matriz de rigidez se consideran todos los elementos de hormigón en su sección bruta.

Para el cálculo de los términos de la matriz de rigidez de los elementos se han distinguido los valores:

EI/L: rigidez a flexión

GJ/L: rigidez torsional

EA/L: rigidez axil

y se han aplicado los coeficientes indicados en la siguiente tabla:

ELEMENTO	(EI _y)	(EI _z)	(G J)	(EA)
Pilares	S.B.	S.B.	S.B. · x	S.B. coef.rigidez axil
Vigas inclinadas y barras 3d	S.B.	S.B.	S.B. · x	S.B.
Vigas de hormigón y metálicas	S.B.	∞	S.B. · x	∞
Viguetas	S.B./36	∞	S.B. · x	∞
Zuncho de borde	S.B. · 10 ⁻¹⁵	∞	S.B. · x	∞
Apoyo y empot. en muro	S.B. · 10 ²	∞	S.B. · x	∞
Pantallas y muros	S.B.	S.B.	E.P.	SB · coef.rig.axil
Losas y reticulares	S.B.	∞	S.B. · x	∞
Placas Aligeradas	S.B.	∞	S.B. · x	∞

S.B.: sección bruta del hormigón

∞: no se considera por la indeformabilidad relativa en planta

X: coeficiente reductor de la rigidez a torsión

E.P.: elemento finito plano

Coefficientes de Rigidez a Torsión. Existe una opción que permite definir un coeficiente reductor de la rigidez a torsión (**x**), ver tabla anterior, de los diferentes elementos. Esta opción no es aplicable a perfiles metálicos. Cuando la dimensión del elemento sea menor o igual que el valor definido para barras cortas se tomará el coeficiente definido en las opciones. Se considerará la sección bruta (S.B.) para el término de torsión **GJ**, y también cuando sea necesaria para el equilibrio de la estructura.

Coefficiente de Rigidez Axil. Se considera el acortamiento por esfuerzo axil en pilares, muros y pantallas H.A. afectado por un coeficiente de rigidez axil variable entre 1 y 99.99 para poder simular el efecto del proceso constructivo de la estructura y su influencia en los esfuerzos y desplazamiento finales. El valor aconsejable es entre 2 y 3.

C.-Momentos Mínimos. En las vigas también es posible cubrir un momento mínimo que sea una fracción del supuesto isostático $pl^2/8$. Este momento mínimo se puede definir tanto para momentos negativos como para positivos con la forma pl^2/x , siendo **x** un número entero mayor que 8. El valor por defecto es 0, es decir, no se aplican.

Se recomienda colocar, al menos, una armadura capaz de resistir un momento $pl^2/32$ en negativos, y un momento $pl^2/20$ en positivos. Es posible hacer estas consideraciones de momentos mínimos para toda la estructura o sólo para parte de ella, y pueden ser diferentes para cada viga. Cada norma suele indicar unos valores mínimos.



Análogamente se pueden definir unos momentos mínimos en forjados unidireccionales por paños de viguetas y para placas aligeradas. Se pueden definir para toda la obra o para paños individuales y/o valores diferentes. Un valor de 1/2 del momento isostático ($= pl^2/16$ para carga uniforme) es razonable para positivos y negativos.

Las envolventes de momentos quedarán desplazadas, de forma que cumplan con dichos momentos mínimos, aplicándose posteriormente la redistribución de negativos considerada.

El valor equivalente de la carga lineal aplicada es:

$$p = \frac{V_i + V_d}{l}$$

Si se ha considerado un momento mínimo (+) = se ha de verificar que:

$$M_v \geq \frac{pl^2}{8}$$

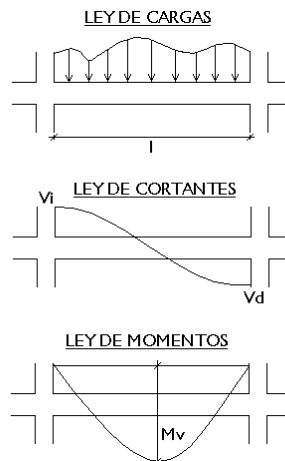


Fig 12

Recuerde que estas consideraciones funcionan correctamente con cargas lineales y de forma aproximada si existen cargas puntuales.

D.-Otras Opciones. Enumeraremos a continuación las opciones no citadas y que, por supuesto, influyen y personalizan los cálculos.

Pilares

- ♦ Disposición de barras verticales (longitudes máximas, unión de tramos cortos, solapes intermedios)
- ♦ Cortar esperas en el último tramo (en cabeza)
- ♦ Reducción de la longitud de anclaje en pilares
- ♦ Criterios de simetría de armaduras en las caras
- ♦ Criterios de continuidad de barras
- ♦ Recubrimiento geométrico
- ♦ Disposición de perfiles metálicos
- ♦ Transiciones por cambio de dimensiones
- ♦ Redondeo de longitud de barras
- ♦ Tramado de pilares y pantallas
- ♦ Solapar en la zona central del tramo. En las zonas sísmicas, se traslada el solape de barras a la zona central del tramo, alejada de la zona de máximos esfuerzos que es conveniente activar con sismos elevados.
- ♦ Solapes en muros y pantallas. Verifica que la armadura en el solape está a tracción o compresión, aplicando un coeficiente amplificación de la longitud de solape, en función de la separación de barras.
- ♦ Factor de cumplimiento exigido en muros y pantallas. El armado de un tramo de muro o pantalla puede presentar tensiones de pico que penalizan el armado si se pretende que cumpla al 100%. Con esta opción, se permite un % menor de cumplimiento, o la comprobación de un armado dado.

Vigas

- ♦ Negativos simétricos en vigas de un tramo
- ♦ Porcentaje de diferencia para simetría de negativos
- ♦ Criterio de disposición de patillas
- ♦ Patillas en extremo de alineación
- ♦ Longitud mínima de estribos de refuerzo a colocar
- ♦ Simetría en armadura de estribos
- ♦ Estribos de distinto diámetro en una viga



- ♦ Disposición de estribado múltiple
- ♦ Longitud de anclaje en cierre de estribos
- ♦ Doblar en 'U' las patillas
- ♦ Disposición de estribado múltiple
- ♦ Armado de viga prefabricada
- ♦ Estribado de vigas pretensadas
- ♦ Despiece de armado de vigas con sismo
- ♦ Recubrimientos geométricos (superior, inferior y lateral)
- ♦ Recubrimientos geométricos (superior, inferior y lateral) en vigas de cimentación
- ♦ Características de vigas prefabricadas armadas
- ♦♦ Características de vigas prefabricadas pretensadas
- ♦ Valoración de Errores
- ♦ Numeración de Pórticos
- ♦ Numeración de Vigas
- ♦ Consideración de la armadura de montaje
- ♦ Unir armadura de montaje en vuelos
- ♦♦ Envoltorio de cortantes (ley continua o discontinua)
- ♦♦ Armado de cortantes (colocación de armadura de piel, sección de comprobación del cortante)
- ♦♦ Selección de estribado
- ♦♦ Coeficientes de fluencia - flecha activa
- ♦ Coeficientes de fluencia de flecha total a plazo infinito
- ♦♦ Fisuración
- ♦ Limitación de la fisuración por cortante (sólo EHE)
- ♦ Limitación de la fisuración por torsión (sólo EHE)

Forjados de losa maciza y reticulares

- ♦♦ Cuantías mínimas en negativos de forjados unidireccionales
- ♦♦ Longitudes mínimas de negativos en forjados unidireccionales
- ♦ Armado de losas y reticulares:
- ♦ Cuantías mínimas
- ♦ Reducción de cuantía mecánica
- ♦ Armado por torsión
- ♦ Longitudes mínimas de refuerzo
- ♦ Recubrimiento mecánico en losas
- ♦ Recubrimiento mecánico en reticulares
- ♦ Detallar armadura base en planos (desactivada por defecto). No se detalla, y no se dibuja ni se mide al estar desactivada.
- ♦ Redondeo de longitud de barras
- ♦ Patillas constructivas en losas
- ♦ Criterios de ordenación y numeración en losas
- ♦ Armado de losas rectangulares

Generales

- ♦♦ Opciones generales de dibujo
- ♦♦ Longitud máxima de corte de una barra
- ♦♦ Mermas de acero en medición
- ♦ Cuantías mínimas en negativos de forjados unidireccionales
- ♦ Cuantías mínimas en negativos de placas aligeradas
- ♦ Armado en forjados unidireccionales
- ♦ Armado en placas aligeradas
- ♦ Momentos mínimos a cubrir con armadura en forjados y vigas
- ♦ Armado de jácenas (vigas)
- ♦ Coeficiente reductor de la rigidez a flexión en forjados unidireccionales
- ♦ Consideración del armado a torsión en vigas



- ♦ Coeficientes reductores de la rigidez a torsión
- ♦ Opciones para vigas metálicas
- ♦ Límites de flecha en vigas
- ♦ Límites de flecha en placas aligeradas

Dibujo

- ♦♦ La configuración de capas, tamaños de textos y grosores de pluma son definibles en los planos.

Existen opciones que se graban y conservan con la obra (♦). Otras son de carácter general (♦♦), de forma que si se ha variado alguna de éstas y se repite un cálculo, es posible que los resultados difieran.

5.2. Estructuras metálicas

5.2.1. Pandeo lateral

Se considera de acuerdo a la norma DB-SE-A.

5.2.2. Abolladura del alma

Se considera de acuerdo a la norma DB-SE-A.

6. Método de cálculo de acciones horizontales

1. Viento. Para cada norma, la forma de cálculo de la presión de forma automática, necesita la definición de una serie de datos que puede consultar en el apéndice de normativas de aplicación del manual.

-Viento en General. Definidas las direcciones de actuación del Viento, coeficientes de cargas y anchos de banda por planta, se debe seleccionar la curva de alturas-presiones. Existe una biblioteca que permite seleccionar curvas existentes y crear otras nuevas. En dichas curvas para cada altura se define una presión total, interpolándose para alturas intermedias, lo cual es necesario para calcular la presión a la altura de cada planta del edificio a calcular.

Se define el factor de forma, coeficiente multiplicador que permite corregir la carga de Viento en función de la forma del edificio, ya sea por su forma en planta, rectangular, cilíndrica, etc., y por su esbeltez.

También se puede definir un factor de ráfaga, coeficiente amplificador de la carga de Viento para tener en cuenta la posición geográfica de la construcción, en zonas muy expuestas, valles angostos, laderas, etc. que por su exposición y producción de mayores velocidades del viento, debe considerarse.

Se obtiene la carga total de **Viento** aplicada en cada planta como el producto de la presión a su altura, superficie expuesta, factores de forma y ráfaga. El punto de aplicación de dicha carga en cada planta es el centro geométrico de la planta determinado por el perímetro de la planta. Se puede consultar y listar el valor de la carga de Viento aplicada en cada planta.

2. Sismo.

A.-Cálculo Estático. Sismo por coeficientes. Se puede introducir la acción de sismo como un sistema de fuerzas estáticas equivalentes a las cargas dinámicas, generando cargas horizontales en dos direcciones ortogonales **X**, **Y**, aplicadas a nivel de cada planta, en el centro de masas de las mismas.

Se puede emplear como método general el **Sismo por Coeficiente**

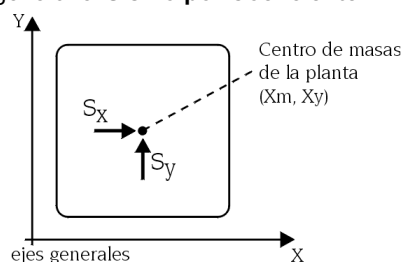


Fig 15

Siendo

G_i: las cargas permanentes de la planta i

Q_i: las cargas variables de la planta i

A: coeficiente de simultaneidad de la sobrecarga o parte cuasi-permanente

C_{xi} C_{yi}: coeficiente sísmico en cada dirección en la planta i

Las fuerzas estáticas a aplicar en cada dirección serán por planta:

$$S_x = (G_i + A \cdot Q_i) \cdot C_{xi}$$

$$S_y = (G_i + A \cdot Q_i) \cdot C_{yi}$$

Si se refieren los desplazamientos de la planta respecto a los ejes generales se obtiene:

$$\bar{\delta} \begin{cases} \delta_{xp} : \text{desplazamiento X de la planta} \\ \delta_{yp} : \text{desplazamiento Y de la planta} \\ \theta_{zp} : \text{giro Z de la planta} \end{cases}$$

y las fuerzas aplicadas:

$$\bar{F} \begin{cases} F_x = S_x \\ F_y = S_y \\ M_z = -S_x \cdot Y_m + S_y \cdot X_m \end{cases}$$

$$\bar{F} = K \cdot \bar{\delta}$$

Los efectos de segundo orden se pueden considerar si se desea.

7. Dimensionado de secciones

7.1. Comprobación y Dimensionado de Elementos

Para el dimensionado de las secciones de hormigón armado en estados límites últimos se emplean el **método de la parábola-rectángulo y el diagrama rectangular**, con los diagramas tensión-deformación del hormigón y para cada tipo de acero, de acuerdo con la normativa vigente (ver apéndice).

Se utilizan los límites exigidos por las cuantías mínimas y máximas indicadas por las normas, tanto geométricas como mecánicas, así como las disposiciones indicadas referentes a número mínimo de redondos, diámetros mínimos y separaciones mínimas y máximas. Dichos límites se pueden consultar y modificar por pantalla en **Opciones**. Otros se encuentran grabados en ficheros internos.

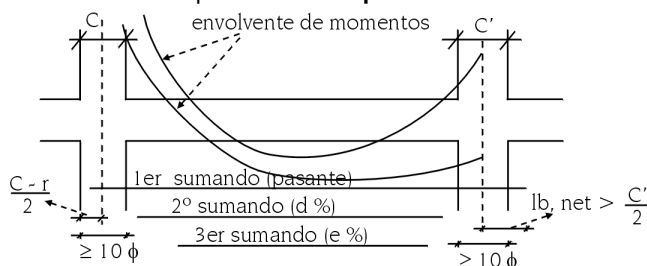
7.1.1. Vigas

Armatura Longitudinal por Flexión. La armadura se determina efectuando un cálculo a flexión simple en, al menos, 14 puntos de cada tramo de viga, delimitado por los elementos que contacta, ya sean viguetas, losas macizas o reticulares. En cada punto, y a partir de las envolventes de momentos flectores, se determina la armadura necesaria tanto superior como inferior (de tracción y compresión según el signo de los momentos) y se comprueba con los valores mínimos geométricos y mecánicos de la norma, tomando el valor mayor. Se determina para las dos envolventes, sísmicas y no sísmicas, y se coloca la mayor cuantía obtenida en ambos.

Armatura inferior. Conocida el área necesaria por cálculo en todos los puntos calculados, se busca en la tabla de armado de positivos la secuencia de armadura inmediata superior a la necesaria. Se pueden disponer armaduras hasta con tres longitudes de corte. Las tablas de armado están definidas para el ancho y el canto especificado en las mismas.

Las tablas de armado se desglosan en 3 sumandos. Cada uno de ellos puede ser de diferente diámetro. El 1^{er} sumando es armadura pasante entre apoyos, anclada de forma constructiva. Es decir, el eje de apoyo pasa hasta la cara opuesta menos 3 centímetros, excepto si, por necesidades de cálculo (porque los positivos estén próximos o lleguen al apoyo o por necesitar armadura de compresión en apoyos), fuera preciso anclar la longitud reducida de anclaje a partir del eje. Las tablas de armado por defecto proporcionan un armado pasante (1^{er} sumando) cuya cuantía siempre es superior a un tercio o a un cuarto de la armadura total en las tablas de armado por defecto del programa. Si se modifican las tablas, hay que procurar conservar dicha proporción, quedando a juicio del usuario tales modificaciones.

El 2^o y 3^{er} sumando pueden ser de menor longitud, siempre simétrico, cumpliendo unas longitudes mínimas en porcentajes (**d** y **e** en el dibujo) de la luz del vano especificado en **Opciones**.



c: dimensión de apoyo

r: recubrimiento = 3 cm en general

l_{b,net}: longitud de anclaje reducida

NOTA: El 1^{er} sumando siempre pasa 10 diámetros medidos a partir de la cara de apoyo

Armatura superior. Se distinguen dos clases de armadura superior:

- ♦ **Refuerzo superior** (en vigas normales, inferior en vigas de cimentación): Conocida el área necesaria por cálculo en todos los puntos calculados, se busca en la tabla de armado de negativos la secuencia de armadura inmediata superior a la necesaria. Se pueden disponer armaduras hasta con tres grupos de longitudes de corte distintas, que en opciones de armado de vigas se puede definir un mínimo en % de la luz, para cada grupo. Las tablas de armado están definidas para el ancho y el canto especificado en las mismas. Las tablas de armado se desglosan en 3 sumandos. Cada uno de ellos puede ser de diferente diámetro.

- ♦ **Montaje: Continua o Porta-estribos:** La armadura de montaje continua se utiliza cuando se construye en taller la ferralla de las vigas de apoyo a apoyo, conjuntamente con la armadura positiva y los estribos, a falta de colocar en obra el refuerzo superior (o inferior en vigas de cimentación) en apoyos. De forma opcional, se puede considerar o no, colaborante a efectos de armadura superior. Cuando sea necesaria armadura de compresión superior, se convierte siempre en colaborante. El anclaje de esta armadura de montaje es opcional, en patilla o prolongación recta, a partir de su terminación o del eje, y que se muestra claramente en el diálogo de opciones.

- En secciones en **T**, se coloca una armadura adicional para sujetar los extremos de los estribos de la cabeza de la **T**.
- La armadura de montaje porta-estribos se utiliza para el montaje in situ de la ferralla, colocándose entre los extremos de los refuerzos superiores, utilizando barras de pequeño diámetro y un solape constructivo con los refuerzos, siendo necesario para tener una armadura que al menos sujete los estribos. Puede también ser utilizable en zonas sísmicas en las que se desea alejar los solapes de los nudos. Es muy conveniente consultarla y elegir la que habitualmente se utilice.

Cuando no se encuentre en las tablas de armado alguno que cumpla, se colocará el número necesario de barras de diámetro 25. El programa emitirá el mensaje FUERA DE TABLA, ya sea montaje o refuerzo.

Otras consideraciones en el armado longitudinal. Dentro de la zona de apoyo del soporte o pilar se considera una variación lineal del canto de la viga (1/3), lo cual conduce a una reducción de la armadura necesaria, que será la mayor obtenida entre las caras de borde del soporte, no teniendo que coincidir con el eje del apoyo, siendo lo más normal próxima o en el borde de apoyo.

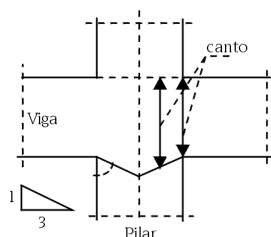


Fig 17

En cuanto a las pantallas y muros, dependiendo del ancho del lado al que acomete la viga, se calcula una longitud o luz de cálculo igual a la menor de:

- ♦ la distancia entre ejes de pantallas (o punto medio del eje de viga cortado)
- ♦ la luz libre (entre caras) más dos veces el canto

Con este criterio se obtienen las envolventes dentro de la pantalla y se obtiene la longitud de corte de las armaduras, que no superarán la luz de cálculo más dos cantos.

Si es necesaria la armadura de piel, lo cual se define en opciones debido al canto de la viga, se dispondrá en las caras laterales con el diámetro y separación mínima definida, de acuerdo a la norma y lo indicado en las opciones.

Armadura Longitudinal por Torsión. Conocida la armadura longitudinal por flexión, se calcula la armadura necesaria por torsión, de acuerdo a la norma, en cada sección. Si la armadura real colocada en esquinas es capaz de absorber ese incremento respecto a la necesaria por flexión, cumplirá. En caso contrario, será preciso aumentar la armadura longitudinal y una armadura adicional en las caras laterales, como si de armadura de piel se tratara.

La comprobación de compresión oblicua por torsión y cortante se efectúa a un canto útil del borde de apoyo de acuerdo a la formulación de cada norma.

Corte de las Armaduras Longitudinales. Una vez conocida la envolvente de capacidades necesarias en cada sección, superior e inferior, se determina para cada punto una ley desplazada un canto útil más la longitud neta reducida ($= \text{longitud de anclaje} \cdot \text{área necesaria} / \text{área real}$) en función de su posición (**II** = mala adherencia, **I** = buena adherencia), determinándose la longitud máxima en su zona para cada uno de los grupos de armado dispuesto en la dirección desfavorable o decreciente de los esfuerzos. De forma opcional estas longitudes se ajustan a unos mínimos definidos en función de un porcentaje de la luz y en múltiplos de 5 cm. En los extremos, se ancla la armadura de acuerdo a su terminación en patilla, calculando la rama vertical necesaria, colocando un mínimo si así se indica en las opciones. En apoyos intermedios se ancla la armadura de positivos a cada lado a partir del eje de apoyo, además de un mínimo de diez diámetros medidos desde la cara del soporte (Fig 16).

Cuando se genera la longitud máxima de barras, se cortan y se solapan las barras con un valor doble de la longitud de anclaje.

Con sismo, existe una opción en la que se ancla y solapa la armadura fuera de la zona confinada junto a los apoyos.

Armadura Transversal (Estribos). Para el dimensionado a esfuerzo cortante se efectúa la comprobación a compresión oblicua realizada en el borde de apoyo directo, y el dimensionado de los estribos a partir del borde de apoyo mencionado o de forma opcional a una distancia en porcentajes del canto útil, del borde de apoyo (Fig 18). En cuanto al estribado, o refuerzo a cortante, es posible seleccionar los diámetros mínimos y separaciones en función de las dimensiones de la viga, así como simetría en la disposición de los mismos y empleo de distintos calibres según la zona de la viga. Se pueden definir estribos simples (que es siempre el perimetral de la sección), dobles, triples, así como ramas verticales. También se pueden disponer los estribos y ramas juntos, hasta dos y tres en la misma sección.

Existen unas tablas definibles por el usuario y en las que se puede observar que es posible utilizar estribos y ramas, tal como se ha comentado.

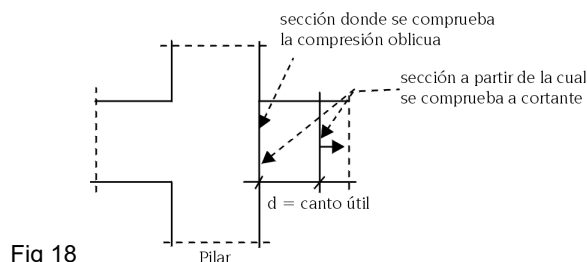


Fig 18

Se determina en primer lugar el estribado mínimo según la norma, en función de la sección de la viga y la tabla de armados, comprobando la longitud que puede cubrir con la envolvente de esfuerzos cortantes en la zona central.

En las zonas laterales, a izquierda y derecha, se determina el estribado necesario hasta los apoyos y se colocan en su longitud necesaria más medio canto útil. Se comprueba que dichas longitudes sean mayores que los mínimos indicados en **Opciones**.

Por último, y si existe torsión, se calcula la armadura transversal necesaria por torsión, estableciendo los mínimos según la norma (separación mínima, estribos cerrados) y se adiciona a la obtenida por cortante, dando como resultado final un estribado cuyos diámetros, separaciones y longitud de colocación cubre la suma de los dos efectos. En este último caso se realiza la comprobación conjunta (compresión oblicua) de tensiones tangenciales de cortante más torsión.

Se comprueba que la separación de estribos cumpla lo especificado en la norma cuando la armadura longitudinal esté comprimida, lo cual afecta tanto al diámetro como a la separación máxima, en función de la armadura longitudinal comprimida.

Pilares apeados. Cargas próximas a los apoyos. Vigas de gran canto y vigas anchas. En el caso particular de pilares apeados (sin vinculación exterior) en vigas, se dimensionan los estribos verticales con el valor del cortante en el borde de apoyo en ese tramo. Es importante recordar que, en el caso particular de pilares apeados o cargas puntuales próximos a los apoyos, es decir, a una distancia menor o igual a un canto útil, se produce una transmisión de la carga por bielas inclinadas de compresión y tracción que necesita armadura horizontal, en las mismas condiciones que en una ménsula corta, cuyos criterios de dimensionado no están contemplados en el programa. En este caso se debe realizar una comprobación y armado manual del tramo o tramos en los que esto ocurra, de acuerdo a lo que indique la norma para esos casos, además de complementar los dibujos de planos de vigas con los detalles adicionales correspondientes. También se puede resolver con barras inclinadas.

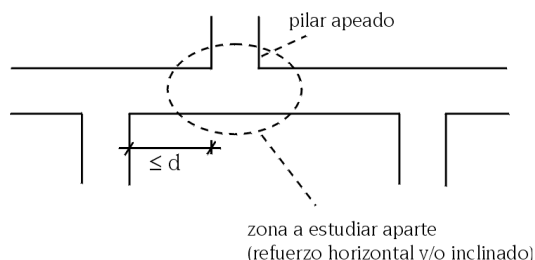


Fig 19

Dada la importancia que posee este tipo de apoyo y la fragilidad que presenta, **ES FUNDAMENTAL** extremar el control del mismo, tanto en su diseño como en su ejecución.

Se deben revisar los arranques de los pilares apeados, comprobando sus condiciones de anclaje en la viga. Se recomienda reducir en lo posible el coeficiente de empotramiento en el pie del pilar en su primer tramo de arranque, para evitar diámetros grandes que conducen a longitudes de anclaje del arranque altas.

Recuerde que, cuando se tienen tramos cortos o vigas de canto elevado, se puede dar la condición de que la luz sea menor que dos veces el canto, en cuyo caso se está ante una viga de gran canto o viga-pared, cuyos criterios de dimensionado no están contemplados en el programa. En este caso se debe realizar una comprobación y armado manual del tramo o tramos en los que esto ocurra.

También puede suceder que en algún tramo de viga, el ancho sea superior a dos veces su luz. En este caso, esta viga ancha realmente no es una viga o elemento lineal, sino que es un elemento plano bidimensional o losa, con lo que conviene revisar la discretización e introducirla como losa en lugar de hacerlo como viga, ya que los criterios de dimensionado son diferentes.

Por último, recuerde que en vigas planas en las que, por su ancho, se sobrepasa el ancho del apoyo en más de un canto, se debe hacer una comprobación manual a punzonamiento así como una verificación de los estribos en el apoyo, reforzando con armadura transversal, si fuera preciso.

Si existen cargas colgadas aplicadas por debajo de la fibra neutra de la sección, o cargas puntuales de vigas apoyadas en otras vigas, se deberá adicionar manualmente la armadura necesaria para suspender dichas cargas, ya que el programa no lo realiza.

Comprobación de la fisuración en vigas. De forma opcional, se puede establecer un límite del ancho de fisura. La formulación utilizada corresponde al Código Modelo CEB-FIP. La anchura característica se calcula como:



$$W_k = 1.7 \cdot S_m \cdot E_{sm}$$

$$S_m = 2c + 0.25 + K_1 K_2 \frac{\phi A_{c,eficaz}}{A_s}$$

$$E_{sm} = \frac{\sigma_s}{E_s} \left[1 - \frac{K_3}{2.5 K_1} \left(\frac{\sigma_{sr}}{\sigma_s} \right)^2 \right] \leq 0.4 \frac{\sigma_s}{E_s}$$

donde

c: Recubrimiento de la armadura de tracción

s: Separación entre barras. Si $s > 15 d$, $s = 15\phi$

K_1 : 0.4 (barras corrugadas)

K_2 : 0.125 (flexión simple)

A_s : Área total de las barras en el área eficaz

$A_{c,eficaz}$: Área eficaz que envuelve a las armaduras, en una altura de 1/4 de la altura de la viga.

σ_s : Tensión de servicio de la armadura

σ_{sr} : Tensión de la armadura en el momento de la fisuración

E_s : Módulo de elasticidad del acero

K_3 : 0.5

Esta formulación se aplica en general, excepto para la norma NB-1 y Eurocódigo 2 que tienen su formulación específica. Si se activa esta comprobación y no se cumple, se alargan las barras o aumenta la cuantía para cumplir, emitiendo un mensaje de aviso (no es un error) en los errores de vigas.

7.1.2. Vigas Metálicas

Se dimensionan de acuerdo a la norma correspondiente y al tipo de acero.

Se propone dentro de la serie el perfil óptimo.

Se dimensionan a flexión simple, ya que no se considera el axil.

De forma opcional se comprueba el pandeo lateral.

Se aplica como criterio del dimensionado los límites de flecha y la abolladura. El coeficiente de aprovechamiento se expresa en % respecto a los límites de tensión y de flecha.

7.1.3. Pilares, Pantallas y muros de hormigón armado

Pilares. El dimensionado de pilares de hormigón se realiza en flexión-compresión esviada. A partir de la tabla de armado seleccionada para la obra, se comprueban de forma secuencial creciente de cuantía los armados definidos, que pueden ser simétricos a dos caras, a cuatro o en un porcentaje de diferencia, se comprueba si todas las combinaciones posibles cumplen dicho armado en función de los esfuerzos. Se establece la compatibilidad de esfuerzos y deformaciones y se comprueba que con dicho armado no se superan las tensiones del hormigón y del acero ni sus límites de deformación, ya que la posición de las armaduras es conocida por la tabla.

Se considera la excentricidad mínima o accidental, así como la excentricidad adicional de pandeo según la norma, limitando el valor de la esbeltez mecánica λ , de acuerdo a lo indicado en la norma. Dado que las fórmulas aplicadas tienen su campo de aplicación limitado por la esbeltez, si se supera, la sección es insuficiente (aunque el usuario puede introducir una armadura de forma manual) dando un mensaje de Esbeltez excesiva (Ee).

En un archivo oculto, y para cada norma, se definen los límites o cuantías mínimas y máximas, tanto geométricas como mecánicas, que, de forma obligada, se cumplirá en el dimensionado de la armadura. Si algún armado no cumple y se rebasan los límites máximos, se indicará en el listado y por pantalla el mensaje de Cuantía excesiva (Ce).

En este caso hay que aumentar la sección de hormigón. Si no se encuentra un armado en las tablas que verifique para los esfuerzos de cálculo, se buscará un armado calculado por el programa, hasta que en las caras no quepa la armadura en una capa, en cuyo caso se emite el mensaje: ARMADO MANUAL. Se deben aumentar en la tabla los tipos de armado y volver a calcular el pilar, para lo cual se puede rearmar sólo los pilares sin recalcular la obra completa. También se puede aumentar la sección y automáticamente se recalcula la sección.

Recuerde que, si las modificaciones de dimensión son grandes, es **MUY CONVENIENTE** volver a calcular la obra por completo, a causa de las variaciones de rigideces. Los diámetros y separaciones de estribos se realizan de acuerdo con la norma por defecto, con unas tipologías predefinidas en las tablas de armado modificables por el usuario, y siempre con separaciones y diámetros en función de la armadura longitudinal que son igualmente modificables.

Existen unas tablas de armado en las que en función de la armadura vertical, se pueden definir diferentes configuraciones de estribado y ramas de atado en función de las dimensiones transversales, pudiendo seleccionarse diferentes tablas según la obra. Si una sección no tiene estribado definido en tabla, sólo se obtiene estribo perimetral.

No se realiza comprobación de cálculo a cortante de los estribos, por lo que en condiciones de carga especiales, cargas horizontales, etc., será preciso una comprobación manual del estribado dispuesto y, en su caso, una modificación manual de los estribos, diámetros y separaciones.

Las longitudes de solape se calculan como la longitud de anclaje en posición I (de buena adherencia) en función del tipo de acero, hormigón y consideración de acciones dinámicas. De forma opcional, se puede aplicar una reducción de la longitud de anclaje indicada en función de la armadura necesaria y la real, sin disminuir de la reducida. Estas longitudes son editables y modificables.

Se supone que un pilar trabaja predominantemente a compresión, por lo que en caso de tener pilares en tracción (tirantes), es necesario aumentar manualmente las longitudes de anclaje y estudiar con detalle las uniones y anclajes correspondientes, realizando los detalles complementarios pertinentes de forma manual.



En cuanto al armado en vertical de un pilar, sus tramos último y penúltimo se arman según sus esfuerzos y de ahí hacia abajo, tramo a tramo, de forma que la armadura del tramo de abajo nunca sea inferior a la dispuesta en el tramo inmediatamente superior, en caso de que adopte en **Opciones** el criterio de continuidad de barras correspondiente (Fig 20).

Las secciones que se comprueban para obtener el armado de una planta son las indicadas en la Fig 20, cabeza y pie del tramo, y pie del tramo superior. Si se han definido cargas horizontales en pilares, se hará en secciones intermedias, pues podría aumentar las leyes de esfuerzos.

Cuando hay desniveles, se aplica la misma sistemática para cada tramo en el que queda subdividido el pilar de la planta por el desnivel.

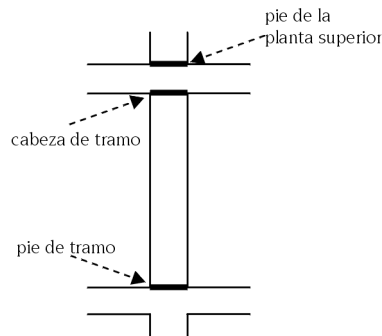


Fig 20

SECCIONES QUE SE COMPRUEBAN
EN UNA PLANTA

Se puede elegir la continuidad o no del armado, así como la conservación del diámetro de las armaduras de esquina o el número y diámetro en las caras.

Finalmente, es posible modificar su sección, con lo que la armadura se recalcula, y también se puede modificar su armadura vertical y el tipo de estribos. Recuerde que si modifican las tablas de armado debe revisar la disposición de estribos.

Tenga en cuenta que si modifica las tablas de armado debe revisar la disposición de estribos. Si no hay estribos definidos ni armados para la sección del pilar, complete las tablas con el estribado y ramas necesarios. Revise los cortantes, por si fuera necesario un cálculo manual del estribado que no hace la versión actual.

Pilares Metálicos: Si se ha definido pilares metálicos, se calculan de acuerdo a la norma seleccionada para el tipo de acero, ya sea laminado o conformado. Los coeficientes de pandeo ya mencionados anteriormente deben introducirse por el usuario. Si adopta el criterio de mantener el perfil existente, recuerde que debe comprobar su cumplimiento.

Si por el contrario admite que el programa coloque el perfil necesario, recuerde que los esfuerzos de dimensionado se han obtenido con el perfil introducido inicialmente, por lo que si la variación ha sido importante, es conveniente recalcular la obra, ya que los esfuerzos pueden variar sustancialmente.

Por último se calculan las placas de anclaje en el arranque de pilares metálicos, verificando las tensiones generales y locales en el acero, hormigón, pernos, punzonamiento y arrancamiento.

Pantallas y muros de hormigón armado. Conocido el estado tensional, una vez calculados los esfuerzos y para cada combinación, se comprueban en cada cara de armado tanto en vertical como en horizontal las tensiones y deformaciones del hormigón y del acero para la armadura dispuesta en las tablas, aumentándose de forma secuencial hasta que algún armado cumpla para todas las combinaciones. Asimismo se comprueba en el sentido transversal, calculándose el refuerzo si es necesario. Este proceso se repite para cada uno de los lados de la pantalla o muro.

De acuerdo con la norma de aplicación se realizan las comprobaciones de cuantías mínimas y máximas, separaciones mínimas y máximas, así como las comprobaciones dimensionales de los lados (el ancho de un lado es superior a cinco veces su espesor), ya que si no lo verifica, se emite un mensaje informativo (Dp), y se le aplican las limitaciones impuestas para pilares.

Se comprueban los límites de esbeltez en pantallas para cada lado, no verificándose para muros.

Por último, se puede consultar por pantalla el armado obtenido así como los errores de dimensionado. Si se varía la armadura y/o espesor, se realiza una comprobación. El programa emitirá los mensajes de error pertinentes. Se puede redimensionar si se varían las secciones, obteniéndose el nuevo armado y realizándose las comprobaciones pertinentes.

Muros de Fábrica. Se comprueban los límites de tensión en compresión y en tracción (10% de la compresión) con un factor de cumplimiento del 80%.

Si no cumple, se emite un aviso en el informe final del cálculo.

Recuerde que la hipótesis de diafragma rígido a nivel de planta coarta deformaciones y produce esfuerzos de pico, que a veces son poco representativos, conduciendo a un armado elevado, de ahí la utilidad del factor de cumplimiento, para permitir que unas zonas no penalicen el armado del resto del muro, supuesto un armado común por planta.

En muros de bloque de hormigón se aplica el documento correspondiente del Código Técnico de la Edificación DB-SE-F.

7.1.4. Placas Aligeradas

Proceso de cálculo utilizado. Conocido el momento positivo de cálculo M_d máximo, se busca en la columna de flexión positiva del forjado, M. ULT., un valor superior al de cálculo. Paralelamente, y en función del ambiente definido para el paño, se busca en la columna de M. SER. (1, 2 ó 3) y con el valor del momento de servicio (obtenido con las



combinaciones de desplazamientos), y se comparan, hasta que se encuentre un valor que cumpla. Se elige el tipo de placa que cumpla ambas condiciones. Si no es posible se emite un mensaje advirtiendo que está fuera de tablas.

De la misma manera, y para la placa seleccionada por flexión y ambiente, se comprueba en la columna de cortante de flexión negativa y positiva del forjado si el cortante de cálculo es menor que el resistido por el forjado. Si no cumple se emite un aviso advirtiendo del hecho.

Las longitudes de las barras se determinan en función de la envolvente de momentos, y las longitudes mínimas definidas en las opciones.

Las envolventes se obtienen de acuerdo a los esfuerzos actuantes, redistribución considerada y momentos mínimos aplicados.

Cuando no se hayan definido datos para el cálculo de flecha, ambiente o cortante, no se realiza dicha comprobación.

En **Datos de Paño**, se puede seleccionar el ambiente, así como los coeficientes de empotramiento en bordes, y los momentos mínimos para cada tipo de tramo, extremo, intermedio, aislado o vuelo.

Proceso constructivo. Puede seleccionar el cálculo con sopandas o como autoportante.

A. Con sopandas. El cálculo que realiza el programa cuando consideramos continuidad, con un valor del coeficiente de empotramiento en bordes=1, es un cálculo estático sometido a la carga total = carga permanente + sobrecarga, lo cual equivale a construir el forjado sobre sopandas, y al retirarlas, queda el forjado sometido a dicha carga total.

En este cálculo, normalmente los momentos negativos son mayores que los momentos positivos.

B. Como autoportante Los forjados de placas prefabricadas aligeradas se construyen normalmente sin sopandas, por lo que el estado final de esfuerzos se compone de dos estados:

1. La placa sometida al peso propio del forjado p , obteniéndose una ley de esfuerzos isostática ($M=pl^2/8$).

2. El forjado en continuidad sometido a la carga adicional posterior a la ejecución del forjado, formada por las cargas muertas y la sobrecarga de uso.

La superposición de ambos estados conduce a unos esfuerzos, que, en la mayoría de los casos, da mayores momentos positivos que negativos.

En la presente versión no se realiza el cálculo en dos fases, por lo que si el forjado se va a construir sin sopandas (caso B), puede obtener, de forma razonablemente aproximada, unos resultados acordes a lo esperado, modificando los coeficientes de empotramiento de los paños en continuidad.

De forma orientativa, el valor del coeficiente de empotramiento a asignar a los paños, depende de la relación entre el peso propio del forjado y la carga total, supuesto un estado de cargas uniforme.

El valor del coeficiente de empotramiento sería:

$$\text{coef.empot.} = 1 - (p.\text{propio forjado} / \text{carga total})$$

Por ejemplo, si tiene un forjado que pesa 400 kg/m^2 , pavimento de 100 kg/m^2 , y una sobrecarga de uso de 500 kg/m^2 , obtendría:

peso propio del forjado = 400

carga total = $400 + 100 + 500 = 1000$

coef.empot. = $1 - (400/1000) = 1 - 0.4 = 0.6$

Asignaría como coeficiente de empotramiento 0.6 a los paños en continuidad. El programa lo asigna de forma automática a cada paño de placas aligeradas cuando tiene activado el cálculo como autoportante.

En cualquier caso, es conveniente que consulte al fabricante por el proceso constructivo, y solicite su consejo para el cálculo, verificando que la placa en la primera fase, sometida al peso propio y la sobrecarga de construcción (normalmente 100 kg/m^2) resiste en la fase de construcción.

En cuanto a la obtención de la flecha, se calcula con las características mecánicas indicadas en la ficha del forjado, y con las leyes de momentos del estado final promediado, del cual puede consultar los valores en función de los límites de flecha establecidos en las opciones para placas aligeradas.

7.1.5. Forjados de Losa Maciza

Armadura Base. De forma opcional se puede definir una armadura base superior e inferior, longitudinal y transversal, que pueden ser diferentes, definibles y modificables según una tabla de armado. Esta armadura será colaborante siempre si se define. Es posible aumentarla, si por el cálculo es preciso, a flexión, ya sea por trabajo como armadura comprimida o por el cumplimiento de unos mínimos de cuantías especificadas en **Opciones**.

Se puede detallar o no en los planos lo cual tiene su importancia, tanto en el despiece de armados como en la medición. En caso de que se detalle se dibujará conjuntamente con los refuerzos, cortándose y solapándose donde sea preciso, como si de una armadura más se tratase. Se puede obtener su medición y sus longitudes de corte. Si no se detalla, ni se dibuja ni se mide; sólo se puede indicar su diámetro y su separación. Por tanto, en ese caso, se debe complementar con los detalles que se considere oportuno, tanto en la planta como en el cuadro de medición.

Armadura Longitudinal de Refuerzo. En cada nudo de la malla se conocen los momentos flectores en dos direcciones y el momento torsor. En general, las direcciones principales de la losa no coinciden con las direcciones de armado impuestas para la misma. Aplicando el método de **Wood**, internacionalmente conocido, que considera el efecto de la torsión para obtener el momento de armado en cada dirección especificada, efectuándose un reparto transversal en cada nudo con sus adyacentes a izquierda y a derecha en una banda de un metro, sumándose en cada nudo los esfuerzos del nudo más los del reparto, a partir de los cuales se obtiene el área necesaria superior e inferior en cada dirección, que se especifica por metro de ancho al dividir por el tamaño de la malla o distancia entre nudos, para obtener un valor homogéneo y comparable en todos los nudos.

Se comprueba el cumplimiento de las cuantías geométricas mínimas, tanto superior, como inferior y total, así como las cuantías geométricas y mecánicas de la cara de tracción. También se comprueba que la armadura en una dirección sea un porcentaje de la otra, todo ello de acuerdo a las opciones activas.



I. MEMORIA

Con todo ello se obtienen unas envolventes de cuantías y el área necesaria en cada dirección por metro de ancho y se calculan unos refuerzos longitudinales de acuerdo a las tablas de armado definidas. El punto de corte de las barras se realiza aumentando a dicha longitud la longitud neta reducida de anclaje según su posición (I ó II) y el decalaje de la ley en función del canto útil y según la normativa.

El cumplimiento de los diámetros máximos y separaciones se realiza por medio de las tablas de armado, en las que se especifican los diámetros y separaciones en función de un campo de variación de los cantos. La consideración de la torsión es opcional, aunque se aconseja que se considere siempre.

Armaduras predeterminadas: se define con este nombre a la posibilidad de introducir armaduras, ya sea superior, inferior y en cualquier dirección, de diámetro y longitud predeterminada por el usuario, y que se descontarán en su zona de influencia de la armadura de refuerzo a colocar. Resulta muy útil en zonas de concentración de esfuerzos ya conocidos, como la zona superior en soportes, permitiendo que el resto de la armadura sea más uniforme.

El tratamiento de las losas de cimentación es idéntico a las losas macizas normales en cuanto a su diseño de armaduras.

Armadura Transversal

A.-Punzonamiento. En superficies paralelas a los bordes de apoyo, considerando como tales a los pilares, pantallas, muros, vigas y apoyos en muros, y situada a una distancia de medio canto útil ($0.5 d$), se verifica el cumplimiento de la tensión límite de punzonamiento, de acuerdo a la norma. No debe olvidarse que la comprobación de punzonamiento es una comprobación de tensiones tangenciales, que es lo que realiza el programa, obteniendo el valor de las tensiones tangenciales a partir de los cortantes en los nudos próximos, interpolando linealmente en los puntos de corte del perímetro de punzonamiento.

Este planteamiento es el correcto desde el punto de vista teórico, una comprobación de tensiones tangenciales, que resuelve el problema en su generalidad que no es coincidente en su planteamiento con las formulaciones de las diferentes normas que suelen aplicar una formulación dependiente del axil y momento actuante, con formulas simplificadas que sólo resuelven casos particulares.

Si no se cumple, aparece una línea roja que indica que se ha rebasado el límite de tensión máxima por punzonamiento, con un mensaje de INSUF. En ese caso se debe aumentar el canto, el tamaño del apoyo o la resistencia del hormigón.

Si se supera la tensión límite sin armadura transversal, es necesario colocar armadura de refuerzo transversal, se indica el número y el diámetro del refuerzo a colocar como ramas verticales, a la separación necesaria en función del número de ramas colocadas en una cierta longitud.

El proyectista debe, en este caso, disponer las ramas verticales en la forma constructiva que considere más adecuada a la obra, ya sea mediante pates, refuerzos en escalera, estribos, etc. (Fig 21), de forma que su separación no supere 0.75 de canto útil o la sección equivalente, y dispuestas entre la armadura superior e inferior.

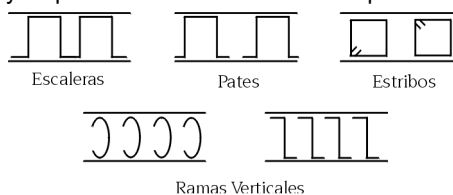


Fig 21

Ramas Verticales

En las zonas donde se dispongan vigas, planas o de canto, los esfuerzos tangenciales serán resistidos por los estribos de la viga. Por tanto, las tensiones tangenciales se calculan sólo en la losa y en superficies paralelas a los lados de las vigas.

B.-Cortante. A partir de la sección de comprobación a punzonamiento ($0.5 d$) y en superficies paralelas a una distancia de $0.75 d$, se realiza la comprobación a cortante en toda la superficie de la losa, hasta encontrarse todas las superficies radiadas a partir de los bordes de apoyo. Si es necesario reforzar, se indica el número y el diámetro de los refuerzos a colocar con la misma tipología que lo indicado para el punzonamiento.

Análogamente, si no se cumple, aparece una línea roja que indica que se ha rebasado el límite de tensión máxima por punzonamiento, con un mensaje de INSUF. En ese caso se debe aumentar el canto, el tamaño del apoyo o la resistencia del hormigón.

El tratamiento de las losas de cimentación es idéntico a las losas macizas normales en cuanto a su diseño de armaduras.

Igualación de Armaduras. Antes o después del cálculo es posible definir unas líneas o rectángulos en cualquier dirección, superior e inferior, que permiten igualar el armado al máximo de esa zona en cuantía y longitud. Existe una opción para la **igualación automática** sobre pilares de armadura superior en bandas adyacentes a los pilares indicados.

Se pueden definir unas líneas de flexión que se deben usar antes del cálculo e introducir según las direcciones de apoyos.

Estas líneas se consideran como si fueran puntos de máximos momentos negativos, y por tanto el sitio idóneo para el solape de la armadura inferior si procede, calculando las longitudes de refuerzo de negativos de acuerdo a unos mínimos en porcentajes de la distancia entre líneas (luz de vano) y solapando los positivos, si ello fuera posible en dichas líneas.

Por último, se puede siempre modificar el diámetro y la separación de la armadura de refuerzo a juicio del proyectista y también modificar y colocar las patillas superiores e inferiores.

Anclaje de las armaduras en vigas o apoyos. Las longitudes de anclaje se miden a partir del borde de apoyo con la losa. Revise las longitudes cuando los bordes sean anchos, pues es posible que no crucen toda la viga y queden parcialmente anclados. Esto es importante, y debe prolongarlas cuando utilice vigas anchas.



El tratamiento de las losas de cimentación es idéntico a las losas macizas normales en cuanto a su diseño de armaduras. Existe una opción que en losas rectangulares apoyadas en vigas da un armado promediado uniforme en cada dirección.

7.1.6. Deformaciones en Vigas

Se aplicará lo indicado en el Código Técnico de la Edificación en su apartado 4.3.3 Deformaciones.

8. Cimentaciones

En el presente apartado se indican las consideraciones generales tenidas en cuenta para la comprobación y dimensionado de los elementos de cimentación definibles en **CYPECAD** bajo soportes verticales del edificio definidos 'con vinculación exterior'.

Recuerde que puede calcular simultáneamente con el resto de la estructura o de forma independiente. Como son elementos 'con vinculación exterior' no tienen asientos, luego no influyen en el cálculo de la estructura.

Puesto que pueden calcularse de forma independiente, no olvide que puede hacer modificaciones en la estructura sin que ello implique afectar a la cimentación.

También es posible utilizarla como un editor, por lo que podrá introducir elementos de cimentación sin calcular, y obtener planos y mediciones.

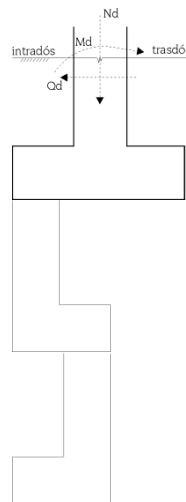
8.1. Zapata corrida bajo muro

El programa calcula zapatas corridas de hormigón armado bajo muro.

Este tipo de zapata corrida bajo muro se puede utilizar en muros de contención y muros de sótano de edificios o muros portantes.

Hay tres tipos de zapatas:

- con vuelos a ambos lados
- con vuelo a la izquierda
- con vuelo a la derecha



Se utiliza como cimentación de muros de hormigón armado y muros de fábrica.

La geometría se define en la entrada de datos del muro.

Se dimensiona y comprueba de la misma forma que las zapatas rectangulares (consúltelo en el apartado **Zapatas Aisladas**), por tanto tiene sus mismas posibilidades (inclusión de pilares próximos en la misma) y sus mismos condicionantes.

La única diferencia radica en la forma de aplicar las cargas.

Mientras que en un pilar las cargas se aplican en su centro-eje geométrico, ya sea cuadrado o rectangular alargado, en un muro se convierte en una ley de cargas a lo largo del muro de forma discreta, es como convertir una resultante en una ley de tensiones aplicadas a lo largo de la base del muro, discretizada en escalones que internamente realiza el programa según sus dimensiones.

De una forma sencilla, expresándolo gráficamente:

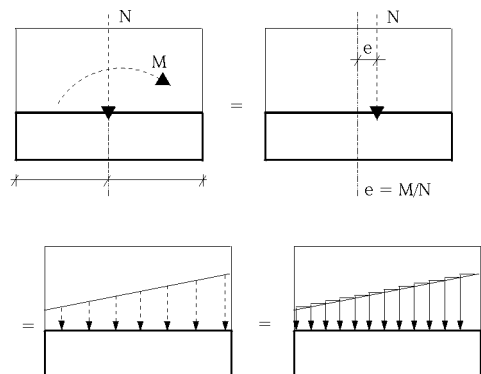


Fig 27



8.2. Placas de Anclaje

En la comprobación de una placa de anclaje, la hipótesis básica asumida por el programa es la de placa rígida o hipótesis de Bernoulli. Esto implica suponer que la placa permanece plana ante los esfuerzos a los que se ve sometida, de forma que se pueden despreciar sus deformaciones a efectos del reparto de cargas. Para que esto se cumpla, la placa de anclaje debe ser simétrica (lo que siempre garantiza el programa) y suficientemente rígida (espesor mínimo en función del lado).

Las comprobaciones que se deben efectuar para validar una placa de anclaje se dividen en tres grupos, según el elemento comprobado: hormigón de la cimentación, pernos de anclaje y placa propiamente dicha, con sus rigidizadores, si los hubiera.

1. Comprobación sobre el hormigón. Consiste en verificar que en el punto más comprimido bajo la placa no se supera la tensión admisible del hormigón. El método usado es el de las tensiones admisibles, suponiendo una distribución triangular de tensiones sobre el hormigón que sólo pueden ser de compresión. La comprobación del hormigón sólo se efectúa cuando la placa está apoyada sobre el mismo, y no se tiene un estado de tracción simple o compuesta. Además, se desprecia el rozamiento entre el hormigón y la placa de anclaje, es decir, la resistencia frente a cortante y torsión se confía exclusivamente a los pernos.

2. Comprobaciones sobre los pernos. Cada perno se ve sometido, en el caso más general, a un esfuerzo axial y un esfuerzo cortante, evaluándose cada uno de ellos de forma independiente. El programa considera que en placas de anclaje apoyadas directamente en la cimentación, los pernos sólo trabajan a tracción. En caso de que la placa esté a cierta altura sobre la cimentación, los pernos podrán trabajar a compresión, haciéndose la correspondiente comprobación de pandeo sobre los mismos (se toma el modelo de viga biempotrada, con posibilidad de corrimiento relativo de los apoyos normal a la directriz: $b = 1$) y la traslación de esfuerzos a la cimentación (aparece flexión debida a los cortantes sobre el perfil). El programa hace tres grupos de comprobaciones en cada perno:

Tensión sobre el vástago. Consiste en comprobar que la tensión no supere la resistencia de cálculo del perno.

Comprobación del hormigón circundante. A parte del agotamiento del vástago del perno, otra causa de su fallo es la rotura del hormigón que lo rodea por uno o varios de los siguientes motivos:

- Deslizamiento por pérdida de adherencia.
- Arrancamiento por el cono de rotura.
- Rotura por esfuerzo cortante (concentración de tensiones por efecto cuña).

Para calcular el cono de rotura de cada perno, el programa supone que la generatriz del mismo forma 45 grados con su eje. Se tiene en cuenta la reducción de área efectiva por la presencia de otros pernos cercanos, dentro del cono de rotura en cuestión.

No se tienen en cuenta los siguientes efectos, cuya aparición debe ser verificada por el usuario:

- Pernos muy cercanos al borde de la cimentación. Ningún perno debe estar a menos distancia del borde de la cimentación, que su longitud de anclaje, ya que se reduciría el área efectiva del cono de rotura y además aparecería otro mecanismo de rotura lateral por cortante no contemplado en el programa.
- Espesor reducido de la cimentación. No se contempla el efecto del cono de rotura global que aparece cuando hay varios pernos agrupados y el espesor del hormigón es pequeño.
- El programa no contempla la posibilidad de emplear pernos pasantes, ya que no hace las comprobaciones necesarias en este caso (tensiones en la otra cara del hormigón).

Aplastamiento de la placa. El programa también comprueba que, en cada perno, no se supera el cortante que produciría el aplastamiento de la placa contra el perno.

3. Comprobaciones sobre la placa

Cálculo de tensiones globales. El programa construye cuatro secciones en el perímetro del perfil, comprobando todas frente a tensiones. Esta comprobación sólo se hace en placas con vuelo (no se tienen en cuenta los pandeos locales de los rigidizadores, y usted debe comprobar que sus respectivos espesores no les dan una esbeltez excesiva).

Cálculo de tensiones locales. Se trata de comprobar todas las placas locales en las que perfil y rigidizadores dividen a la placa de anclaje propiamente dicha. Para cada una de estas placas locales, partiendo de la distribución de tensiones en el hormigón y de axiles en los pernos, se calcula su flector ponderado pésimo, comparándose con el flector de agotamiento plástico. Esto parece razonable, ya que para comprobar cada placa local suponemos el punto más pésimo de la misma, donde obtenemos un pico local de tensiones que puede rebajarse por la aparición de plastificación, sin disminuir la seguridad de la placa.

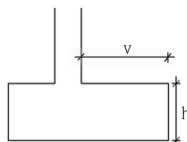
8.3. Combinaciones de acciones

Se aplicará lo indicado en el documento del Código Técnico de la Edificación:

Seguridad Estructural. Cimientos. DB-SE-C.

Se han implementado combinaciones para cimentación diferenciadas del resto de los elementos de hormigón, ya que el artículo 2.4.2.5 del DB-SE-C establece unos coeficientes de seguridad parciales (tabla 2.1) diferentes de los especificados en EHE. Estas combinaciones se aplican a zapatas, encepados, vigas centradoras y de atado.

Se establece una clasificación de las zapatas en rígidas y flexibles.



Rígida: $v \leq 2h$

Flexible: $v > 2h$

Fig 30

En el programa sólo se calcularán **zapatas rígidas**, es decir, aquéllas en las que el vuelo es menor que dos veces su altura, que es lo más habitual.

El programa utiliza el método del momento, tal como se indica en los comentarios del art. 59.4, ya que el método de las bielas y tirantes no se puede aplicar para todos los casos, y máxime cuando el programa admite momentos y cortantes en dos direcciones ortogonales, por lo que resulta más adecuado y con resultados prácticamente idénticos.

Se aplica por tanto lo indicado de forma general en la memoria, utilizando las características de los materiales de acuerdo a la norma **EHE-08**.

Desaparece la comprobación de adherencia en la presente norma. En cuanto a las cuantías mínimas mecánicas y geométricas, se definen en las Opciones.

Se introduce de forma opcional la disposición de una armadura de zunchado perimetral en función del axil de cálculo transmitidos por el pilar.

Implementación de otras normas. Es posible definir el uso de otras normativas seleccionando los materiales correspondientes a dichas normas y efectuando el cálculo de acuerdo a lo indicado en esta memoria.

Consulte las opciones de cálculo del programa para definir aquéllas que considere más interesantes.

8.4. Losas y Vigas de Cimentación

Discretización. La discretización efectuada para losas y vigas de cimentación es la misma que en forjados:

- ♦ **losas:** malla de elementos tipo barra de tamaño 0.25 x 0.25 m (emparrillado con muelles en los nudos).
- ♦ **vigas:** elementos lineales tipo barra, definiendo nudos en las intersecciones con otros elementos, dividida en 14 tramos con nudos, si no intersecta con otros elementos. En los nudos, muelles.

Se considera la cimentación apoyada sobre un suelo elástico (método del coeficiente de balasto), de acuerdo al modelo de WINKLER, basado en una constante de proporcionalidad entre fuerzas y desplazamientos, cuyo valor es el coeficiente de balasto. Se recuerda que este método no puede estudiar la interacción entre cimientos próximos.

$$P = K \cdot y$$

p: tensión (T/m^2)

K: coeficiente de balasto (T/m^3)

y: desplazamiento (m) vertical

La validez de esta hipótesis es aplicable a suelos homogéneos. Es un hecho que el asiento de una cimentación pequeña y una grande es diferente para la misma tensión transmitida al terreno, por lo que se debe aplicar con prudencia.

También es sabido que el comportamiento de suelos granulares y cohesivos es diferente.

Normalmente se tienen unos resultados de laboratorio que, junto al informe geotécnico, y conocido el tamaño de la cimentación o los tamaños medios de las vigas (anchos) o zapatas (lados), permiten determinar el coeficiente de balasto a aplicar.

Si se dispone del módulo edométrico del terreno E_0 , determinado en laboratorio, y se conoce el ancho de la zapata, losa, ancho de viga o placa de ensayo de carga, se puede determinar el coeficiente de balasto **K**, suponiendo infinita y homogénea la capa compresible del terreno:

$$K = \frac{2E_0}{b}$$

E_0 : módulo edométrico

b: dimensión de la cimentación

En algún caso se verá que se proporciona el coeficiente de balasto de un terreno en función de un ensayo de placa de carga de un tamaño dado.

El módulo de balasto en losas y vigas de cimentación. El módulo de balasto es un dato a introducir en el programa. Su determinación se realiza mediante métodos empíricos con ensayo de placa de carga.

Normalmente, si se ha hecho un estudio geotécnico, éste le debe proporcionar el valor exacto de este módulo para las dimensiones que va a tener la losa de cimentación.

Si el estudio ha sido realizado pero lo que se le proporciona es el módulo de balasto para placa de 30 x 30 cm (u otro tamaño de placa) y no para la dimensión total de la losa, tenga en cuenta que:

$$K1 \cdot d1 = K2 \cdot d2$$

es decir, que los módulos de balasto **K1** y **K2** determinados con placas de diámetro **d1** y **d2** cumplen la relación anterior.

Por tanto, de forma aproximada, se puede admitir que:
en suelos arenosos,



$$K_1 = \frac{K_p \cdot (b + 30)^2}{(2b)^2}$$

siendo:

K₁: módulo balasto de la losa o viga de cimentación

K_p: módulo balasto de la placa de 30 x 30

b: lado menor (ancho) de la losa o viga (en cm)

En zapatas rectangulares puede utilizar:

$$K' = \frac{2}{3} K_1 \cdot \left(1 + \frac{b}{2l} \right)$$

en suelos arcillosos,

$$K_1 = \frac{K_p \cdot (n + 0.5) \cdot 30}{(1.5 \cdot n \cdot b)}$$

siendo:

K₁: módulo balasto de la losa o viga de cimentación

K_p: módulo balasto de la placa de 30 x 30

b: lado menor (ancho) de la losa o viga (en cm)

n: relación del largo al ancho de la losa

Para vigas en particular sobre suelos arcillosos se puede utilizar:

$$K_1 = \frac{K_p \cdot 30}{b}$$

Con idéntico significado que en las fórmulas anteriores.

Si no dispone de estudio geotécnico, puede optar por decidir de entre los módulos de balasto indicativos siguientes:

0.5 kp/cm³ para suelo malo

4.0 kp/cm³ para suelo medio

12.0 kp/cm³ para suelo muy bueno

Considerando tales valores como los proporcionados por un ensayo de placa de carga de 30 x 30 cm.

Se entiende por suelo malo: suelo cenagoso o fangoso

Se entiende por suelo medio: tierra arcillosa húmeda

Se entiende por suelo muy bueno: graveras y zahorras naturales firmes.

Un ejemplo:

Se tiene un suelo medio, areno-arcilloso, cuyo dato conocido es un coeficiente de balasto $K=4 \text{ kp/cm}^3$, en ensayo de placa de carga de 30 x 30 cm. La dimensión de la losa de cimentación es de 2.00 m de ancho por 8 m de largo. Observe cómo determinar el coeficiente de balasto a considerar en el cálculo.

No se sabe más que el suelo es areno-arcilloso, luego se calculará los dos y se hará una media ponderada:

suelo arenoso:

$$K_a = \frac{K_p \cdot (b + 30)^2}{(2b)^2}$$

K_p: coeficiente de balasto placa 30x30

b: dimensión menor (ancho) de la zapata en cm

$$K_a = 4 \frac{(200 + 30)^2}{(2 \cdot 200)^2} = 4 \cdot 0.33 = 1.32 \text{ kg/cm}^3$$

suelo arcilloso:

$$K_a = \frac{K_p \cdot (n + 0.5) \cdot 30}{(1.5 \cdot n \cdot b)}$$

n: relación $\frac{\text{lado mayor}}{\text{lado menor}} = 4$

b: dimensión menor

$$K_a = 4 \frac{(4 + 0.5) \cdot 30}{1.5 \cdot 4 \cdot 200} = 4 \cdot 0.1125 = 0.45 \text{ kg/cm}^3$$

Lógicamente, los asentamientos son mayores en arcillas que en arenas, por lo que el coeficiente de balasto es inversamente proporcional al asentamiento.

Como en este caso no se sabe la proporción, se tomará la media:



$$K_a = \frac{(1.32 + 0.1125)}{2} = 0.89 \text{ kp/cm}^3$$

Se convierte en T/m^3 : $K_a = \frac{10^{-3}}{10^{-6}} \cdot 0.6 = 600 \text{ T/m}^3$

en el sistema internacional (SI) $\approx 6000 \text{ kN/m}^3$

Se adjunta una lista orientativa de valores del coeficiente de balasto en función de la clase de suelo para placa rectangular de 0.30 x 0.30 m:

Clases de suelo	Coeficiente de Balasto (kg/cm^3)
Suelo ligero de turba y cenagoso	0.5-1.0
Suelo pesado de turba y cenagoso	1.0-1.5
Arena fina de ribera	1.0-1.5
Capas de humus, arena y grava	1.0-2.0
Tierra arcillosa mojada	2.0-3.0
Tierra arcillosa húmeda	4.0-5.0
Tierra arcillosa seca	6.0-8.0
Tierra arcillosa seca dura	10.0-
Humus firmemente estratificado con arena y pocas piedras	8.0-10.0
Lo mismo con muchas piedras	10.0-12.0
Grava fina con mucha arena fina	8.0-10.0
Grava media con arena fina	10.0-12.0
Grava media con arena gruesa	12.0-15.0
Grava gruesa con arena gruesa	15.0-20.0
Grava gruesa con poca arena	15.0-20.0
Grava gruesa con poca arena, muy firmemente estratificada	20.0-25.0

Para resolver la ecuación diferencial de la cimentación flotante, conocido el coeficiente de balasto **K** y el ancho **b** de la cimentación, sometida a un sistema de cargas **q(x)**:

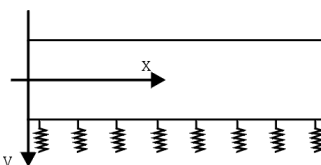


Fig 31

$$\frac{d^2M}{dx^2} = -b(q(x) - p(x))$$

$$Q = -\frac{dM}{dx} \text{ obtenida al derivar esta ecuación}$$

$y(x)$ es la deformada de la pieza

Además,

$$M = -EI \frac{d^2y}{dx^2}$$

$$\text{sustituyendo se obtiene } EI \frac{d^4y}{dx^4} + bK \cdot y(x) = b \cdot q(x)$$

que es la solución general sin deformación por cortante, que se resuelve y se obtiene la solución del sistema.

$$\text{En general, se determina el factor de deformación por cortante } \phi = \frac{24 I (1 + \nu)}{A_{\text{cortante}} \cdot L^2}$$

I: inercia de la pieza

ν: coeficiente de Poisson

A_{cortante}: área de cortante

L: longitud de la pieza

Si dicho factor ϕ es menor que 0.1, no se considera la deformación por cortante y es válida la solución general que, además, es exacta. Si es mayor que 0.1, se obtiene una solución aproximada descomponiendo la matriz de rigidez en una matriz de rigidez de la barra y otra de rigidez del suelo.

Para obtener una solución aproximada de esta última se toman como funciones de forma polinomios de 3er grado para obtener una solución aproximada de la integración, obteniendo la matriz de rigidez final superponiendo ambas.



En general, las losas se descomponen en elementos cortos de 0.25 m de longitud, en las que normalmente $\phi > 0.1$, por lo que se aplica la aproximación con deformación por cortante. Lo mismo sucede en vigas de cimentación en las que se apoyan forjados, ya que se generan nudos intermedios y, por tanto, barras cortas. En vigas de cimentación largas en las que $\phi < 0.1$, se aplicará la formulación exacta.

Obtenida la deformada, se tienen los desplazamientos en los nudos, y por lo tanto puede obtener los esfuerzos para cada hipótesis.

Opciones de cálculo. Todas las opciones de cálculo, parámetros definibles, redistribución, momentos mínimos, cuantías, tablas de armado, etc., definibles para vigas y losas son de aplicación en cimentaciones flotantes. (Consulte valores en el programa).

Acciones a considerar. Sobre las vigas y losas de cimentación hay que decir que forman parte de la globalidad de la estructura, luego interaccionan entre sí con el resto de la estructura, ya que forman parte de la matriz global de rigidez de la estructura. Por tanto se pueden aplicar cargas sobre dichos elementos, al igual que cualquier viga o losa de la estructura de la que forma parte.

Materiales a emplear. Se definen de forma específica los materiales a utilizar, hormigón y acero, como un elemento más de la estructura, solamente distinguidos porque son elementos que descansan en el terreno.

Combinaciones. Los estados límites a comprobar son los correspondientes al dimensionado de elementos de hormigón armado (estados límites últimos), y a la comprobación de tensiones, equilibrio y despegue (estados límite de servicio).

- ♦ **Despegue:** cuando el desplazamiento vertical en algún nudo de losa o viga de cimentación es hacia arriba se indica que existe despegue, lo cual puede suceder en una o varias combinaciones de desplazamientos. Puede suceder y a veces sucede en obras con acciones horizontales fuertes. Si esto ocurre, debe revisar la estructura, rigidizando más la base, si es posible, y aumentando las dimensiones de la cimentación en planta y/o espesor. (Se incluye un fichero de texto con valores).
- ♦ **Equilibrio:** se comprueba en vigas de cimentación. Si en la sección transversal se calcula la resultante de tensiones y queda fuera de ancho de la viga, no hay equilibrio y se emite un mensaje de error, que se incluye en los errores de vigas.
- ♦ **Tensiones:** conocidos los desplazamientos en los nudos para cada combinación, se calculan las tensiones multiplicando por el coeficiente de balasto:

$$p = K \cdot y$$

En el caso de viga de cimentación, se calcula la tensión en los bordes a partir del desplazamiento vertical, más el producto del giro de la sección por la distancia del eje introducido a cada borde. Se incluyen en un fichero de texto los puntos y la tensión de todos aquellos nudos que superan la tensión admisible definida para el terreno, y en los bordes, los que superan en un 25% la tensión admisible.

Cálculo de losas y vigas de cimentación. Como se ha comentado anteriormente, las losas y vigas de cimentación se calculan como un elemento más de la estructura, realizando por tanto un cálculo integrado de la cimentación con la estructura.

Si ha definido pilares con vinculación exterior cuyos desplazamientos están coaccionados o ha definido vigas con apoyo en muro, que también tienen coaccionados sus desplazamientos, debe ser prudente en el uso combinado con las losas y vigas de cimentación.

Es un caso similar al empleo de cimentaciones profundas y superficiales, o simplemente zapatas o encepados aislados que se calculan sobre apoyos con vinculación exterior, y coexisten con vigas y losas en la misma cimentación.

Pongamos un ejemplo que lo aclare:

Planta de cimentación de un pequeño edificio.

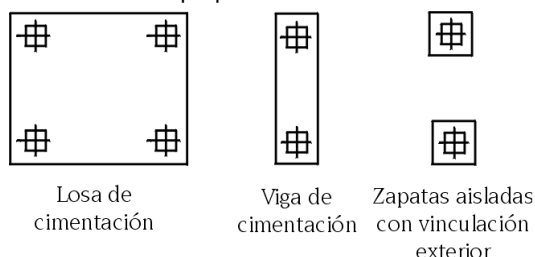


Fig 32

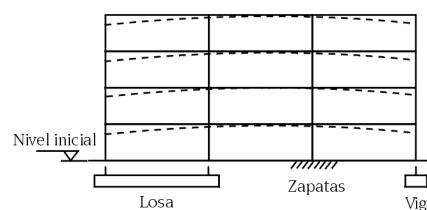


Fig 33

----- Deformada después del cálculo

Observe cómo los pilares con vinculación exterior (zapatas aisladas) no tienen asientos (desplazamientos verticales = 0), mientras que las losas y vigas tienen asientos en función del estado de cargas, dimensiones, geometría de la estructura y coeficiente de balasto, dando como resultado una deformada de la estructura que no sería la real. Si el terreno es bueno, con un valor alto del coeficiente de balasto, no son preocupantes esos asientos diferenciales, ya que serán muy pequeños. Pero cuando sea malo, y además aumente el número de plantas y, por tanto, las cargas, se deben tomar otras precauciones, que serían las siguientes. En primer lugar calcular las dimensiones de las zapatas aisladas. Conocidas las mismas, introducirlas como pequeñas losas rectangulares alrededor de los pilares, previamente eliminada la vinculación exterior.

De esta manera, todos los elementos de cimentación se calculan sobre un lecho elástico y existirá una compatibilidad de deformaciones sin vínculos externos que impidan los movimientos de la misma.

Las correas de atado entre zapatas no se han introducido. Si realmente las quiere considerar en el cálculo, tiene dos posibilidades:

1. Como viga de atado, en cuyo caso no colabora, ni transmite tensiones al terreno. Es como si estuviera atando, colocando unas cuantías mínimas en la viga:

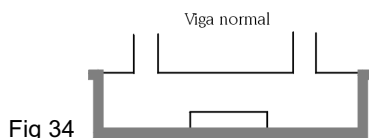


Fig 34

2. Como viga de cimentación, en cuyo caso colabora y transmite tensiones al terreno:

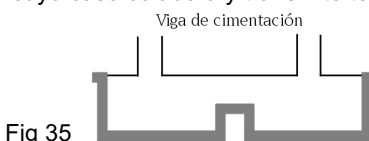


Fig 35

Los resultados en ambos casos son diferentes.

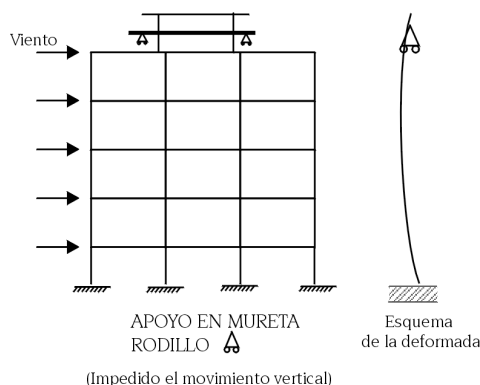
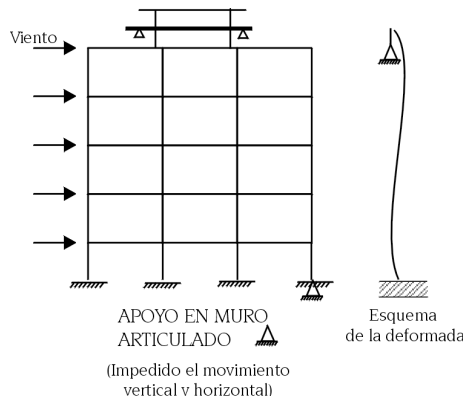
Hecho todo esto, recalculé de nuevo la obra. Obtendré un cálculo integrado de la cimentación con la totalidad de la estructura, en el segundo caso. En el primero, como la viga de atado no hace nada, al menos facilita el dibujo.

Podrá conocer los resultados de los armados y los asentamientos previstos (con el módulo de balasto considerado) por hipótesis de las losas introducidas, consultando en el comando **Desplazamientos máximo y en nudo** en **Envolturas** como en cualquier losa de forjado de piso.

Del mismo modo que hemos advertido de las precauciones a tener en cuenta en el uso de pilares y pantallas cuyo arranque puede estar con o sin vinculación exterior, se comenta la problemática que pudiera surgir del empleo de la simulación de apoyo en muro, para muros de sótano o similares.

Ya se han mencionado en otros apartados las precauciones en el empleo del apoyo en muro, que se ilustran con un ejemplo.

En un edificio la losa de maquinaria de ascensor está apoyada perimetralmente en una mureta de fábrica de ladrillo o mureta de hormigón.



Figs 36 y 37

El error que se puede cometer al utilizar la articulación en lugar del rodillo es importante frente a acciones horizontales.

Frente a movimientos verticales en ambos casos se cometería algún error en caso de ser alto el edificio (>15 plantas), en el que los acortamientos elásticos del hormigón en pilares fuesen significativos, y las partes de la estructura vinculadas al apoyo, lógicamente no se acortan nada (movimientos verticales = 0), creándose un efecto no real de asentamientos diferenciales.

En el caso de utilización conjunta de apoyos en muro (simulación de vigas) en las plantas inferiores por existencia de muros de sótano, con losas y vigas de cimentación, se deben adoptar las siguientes precauciones, distinguiéndose dos casos:

1. El apoyo en muro pasa por pilares

A.- Si no se ha desconectado el muro de los pilares, la vinculación del pilar al muro es tal que no puede moverse verticalmente, transmitiendo la carga que bajaba por él al apoyo en muro que, en definitiva, es una vinculación exterior (; ;), y por tanto no transmitiendo a los niveles inferiores carga alguna.

Ejemplo:

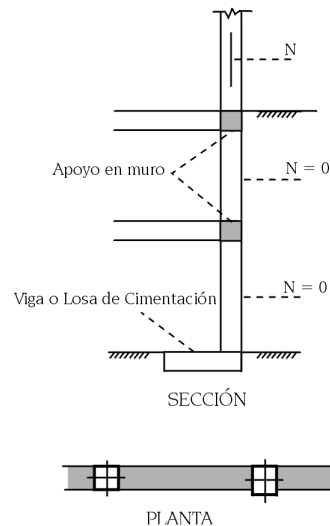


Fig 38

En este caso, el programa no admitirá que exista una cimentación por losa o viga en los niveles inferiores de los pilares atravesados por un apoyo en muro, emitiendo un mensaje informativo. Con vinculación exterior el programa no avisa, pero estará mal si después se pretende calcular una zapata, ya que el axil se anula ($N = 0$) en las plantas bajo el apoyo en muro.

B.- Si ha desconectado el apoyo en muro de todos los pilares a los que toca y no hay conexión con el forjado, por ejemplo:

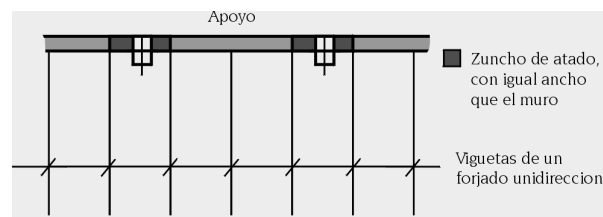


Fig 39

La carga del pilar baja a los niveles inferiores y se puede introducir una cimentación por viga o losa.

Además, y para que no pueda haber transmisión de cargas o suspensión de la estructura del muro, defina un borde articulado en ese paño en contacto con el muro. También puede usar la opción articular/desconectar.

C.- En este caso, igual que el anterior, y si el forjado es reticular o losa maciza, aunque se desconecte el muro de los pilares, la carga del pilar se puede suspender de la losa y puentearse hasta el apoyo en el muro:

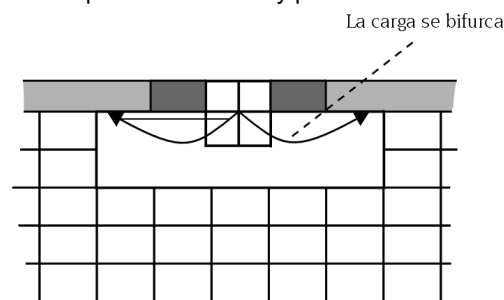


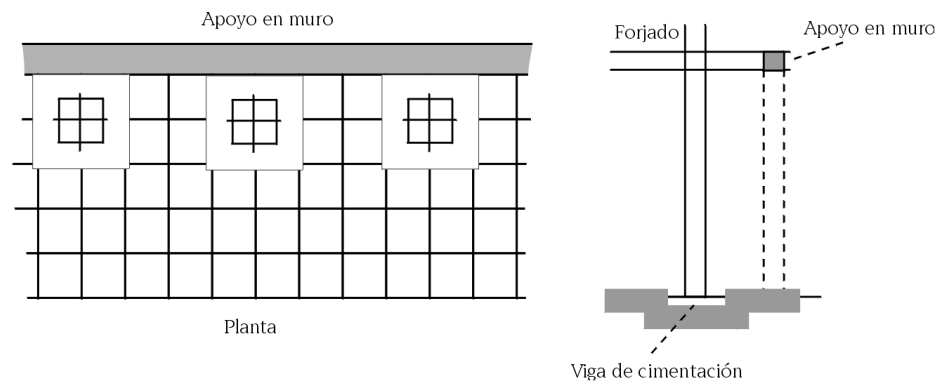
Fig 40

Se ve con más claridad el ejemplo en el que el pilar es mayor que el espesor del muro.

En este caso puede que parte de la carga baje a niveles inferiores y que otra parte se puentee. Pero, en cualquier caso, el cálculo estará mal si en la base se introducen vigas o losas de cimentación a estos pilares, circunstancia que también ocurre si tiene una vinculación exterior.

2. El apoyo en muro no pasa por pilares ni pantallas. En general, no presenta problema este caso, pero hay que hacer las siguientes consideraciones:

A.- El apoyo en muro está muy cerca de los pilares.



Figs 41 y 42

En este caso es posible que parte de la carga de los pilares de las plantas superiores se bifurque al apoyo en muro y no baje toda la carga a la posible losa o viga de cimentación. Basta con consultar la ley de cortantes o cortantes en los nudos entre los pilares y el apoyo en muro y verificar que no hay cambio de signo en la ley de cortantes, así como un valor alto de los mismos, lo cual es una prueba inequívoca de transmisión de cargas al muro.

Si se encuentra con este problema, lo aconsejable es eliminar el apoyo en muro y simularlo de forma ficticia mediante pilares y una viga de mucho canto entre ellos. Poner a esos pilares ficticios el mismo tipo de cimentación que la fila de pilares paralela de la estructura y, si realmente están muy próximos, hacer una cimentación conjunta, efectuando posteriormente las correcciones oportunas debido a la no consideración de la rigidez del muro.

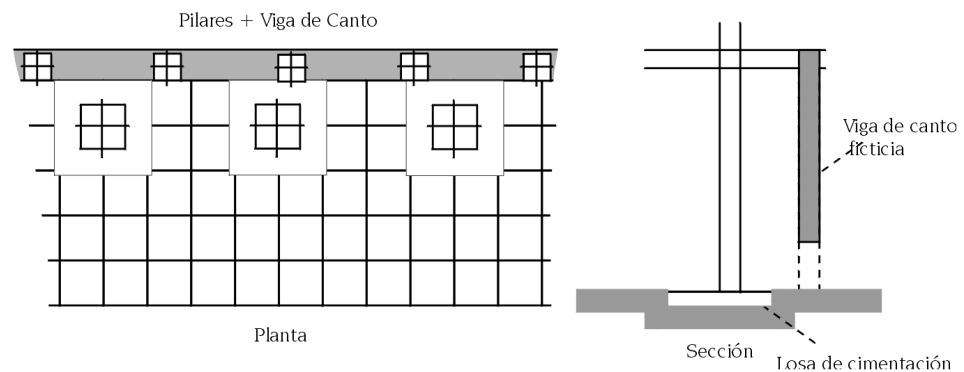


Fig 43 y 44

B.-El apoyo en muro está a una distancia aproximada a las luces normales del edificio.

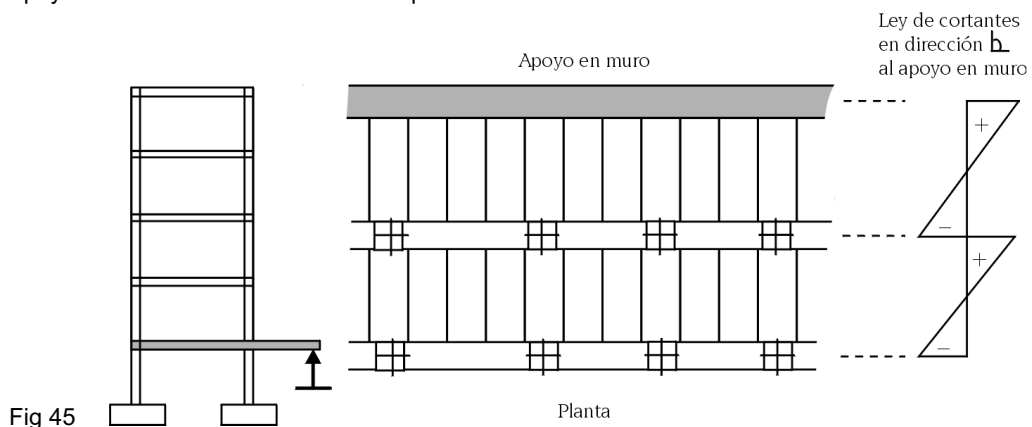


Fig 45

Si se ve que las leyes de cortantes, como en este ejemplo, cambian de signo en las viguetas perpendiculares al muro, no hay que tomar ninguna precaución especial, pudiendo definir vigas y losas de cimentación en los pilares.

Tenga en cuenta todas las explicaciones e indicaciones realizadas en la presente memoria cuando utilice de forma conjunta cimentaciones sobre suelo elástico, pilares con vinculación exterior y apoyos en muro, así como el hecho de un cálculo integrado de la cimentación.

Resultados del Cálculo. Se consultan de la misma forma que las vigas y losas normales, pudiéndose modificar y obtener planos con la misma metodología.

Comprobación y dimensionado de elementos

A.- Vigas. Se realiza el dimensionado igual que una viga normal, teniendo en cuenta los parámetros, cuantías y tablas definidas en opciones para las vigas de cimentación.



En el caso particular de vigas en \perp o L , se calcula la flexión transversal de las alas, obteniéndose un armado por flexión A_{sf} . Se obtiene la armadura por efecto pasador A_{sp} , y se comprueba la armadura de cosido en la unión ala-alma A_{sa} , colocándose la mayor de las dos, sumando la de flexión.

$$A_{S_{TOTAL}} = \max(A_{sp}, A_{sa}) + A_{sf}$$

Se compara dicha armadura con la obtenida por cortante en el alma y se coloca la mayor de las dos, tanto en el alma como en las alas, con igual diámetro y separación.

De forma opcional, se realiza la comprobación a cortante y punzonamiento en una sección situada a medio canto útil del borde del pilar, con un ancho igual al pilar más un canto útil.

Se comprueba que no supera la tensión tangencial en esa sección, la tensión límite sin necesidad de refuerzo a punzonamiento. Si se supera dicha tensión, se emite un mensaje de error. En este caso debe aumentarse el canto al propuesto por el programa para no tener que reforzar a punzonamiento.

B.- Losas. El dimensionado de losas de cimentación es idéntico a las losas normales, y se aplican los mismos criterios, en particular, las opciones definidas para elementos de cimentación, cuantías, disposiciones de armado, tablas, etc. (Consultar **Memoria de Cálculo** y opciones particulares).

9. Estructura Metálica

9.1. Norma DB-SE-A.

Será de aplicación a los elementos metálicos de la estructura el correspondiente documento del Código Técnico de la Edificación.

9.2. Norma EC-4

Se aplicará el Eurocódigo 4 en todas las secciones de vigas mixtas y forjados de chapa colaborante y encofrado perdido a falta de una normativa nacional de aplicación.

10. Implementación norma EHE-08

Se ha realizado la implementación de la norma EHE-08, de acuerdo al Real Decreto 1247/2008 de 18 de julio, por el que se aprueba la 'Instrucción de Hormigón Estructural (EHE-08)'. Se aplicará el Sistema Internacional (S.I.).

10.1. Materiales a emplear

10.1.1. Hormigones

Se define una serie de hormigones tipificados:

HA-25, HA-30, HA-35, HA-40, HA-45, HA-50, HA-55, HA-60, HA-70, HA-80, HA-90, HA-100

en donde el número indica la resistencia característica f_{ck} , a los 28 días en probeta cilíndrica, expresado en N/mm^2 (MPa).

Niveles de control. En general, se establecen dos coeficientes reductores de la resistencia del hormigón en función de las situaciones de proyecto: Persistente o transitoria, Accidental.

Situación de proyecto	Hormigón γ_c
Persistente o transitoria	1.5
Accidental	1.3

Se podrá reducir el valor del coeficiente de seguridad del hormigón hasta 1.4 en el caso general y hasta 1.35 en el caso de prefabricados, siempre que se cumplan las condiciones siguientes:

- que la ejecución de la estructura se controle con nivel intenso, de acuerdo con lo establecido en el Capítulo XVII y que las desviaciones en la geometría de la sección transversal respecto a las nominales del proyecto sean conformes con las definidas explícitamente en el proyecto, las cuales deberán ser, al menos, igual de exigentes que las indicadas en el apartado 6 del Anejo nº 11 de la EHE-08.
- Que el hormigón esté en posición de un distintivo de calidad oficialmente reconocido, con nivel de garantía conforme con el apartado 5 del Anejo nº 19 de la EHE-08, o que formen parte de un elemento prefabricado que ostente un distintivo de calidad oficialmente reconocido conforme con el citado apartado.

Por tanto, la resistencia de cálculo f_{cd} será diferente en función de la combinación de acciones que se esté calculando.

El módulo de elasticidad del hormigón:

$$E = 8500 \cdot \sqrt[3]{f_{cm}}$$

$$\text{tomando } f_{cm28} = f_{ck} + 8 \text{ (N/mm}^2\text{)}.$$



10.1.2. Aceros

Los tipos de aceros a utilizar son:

Denominación	Límite elástico (f_{yk}) en N/mm ²
B-400-S	400
B-500-S	500
B-400-SD	400
B-500-SD	500
B-500-T/S	500

siendo el módulo de elasticidad $E_S = 200000 \text{ N/mm}^2$.

Diámetros utilizables. Para los aceros B400-S, B400-SD, B-500-S y B500-SD los diámetros podrán ser: 6, 8, 10, 12, 14, 16, 20, 25, 32.

Para los aceros B-500-T/S, utilizables como mallazos, los diámetros podrán ser: 4, 4.5, 5, 5.5, 6, 6.5, 7, 7.5, 8, 8.5, 9, 9.5, 10, 11, 12, 14, 16, 20, 25, 32.

Niveles de control. En general, se establecen dos coeficientes reductores de la resistencia del acero en función de las situaciones de proyecto: Persistente o transitoria, Accidental.

Situación de proyecto	Acero γ_s
Persistente o transitoria	1.15
Accidental	1.0

Por tanto, la resistencia de cálculo f_{yd} depende del nivel de control y de la combinación de acciones que estemos calculando.

10.2. Combinaciones de acciones

Se han implementado en el programa las combinaciones de acciones para las verificaciones de ELU según 4.2.2, y los coeficientes de simultaneidad de la tabla 4.2 en función del uso seleccionado. Para hormigón se utilizan los coeficientes parciales de seguridad especificados por la EHE-08 en la tabla 12.1.a del capítulo III Acciones, mientras que para el resto de materiales se usan los de la tabla 4.1 de CTE, en Resistencia Permanente (peso propio, peso del terreno) y variable.

Para los estados límite últimos (E.L.U.) el valor de los coeficientes parciales de seguridad de mayoración de acciones utilizados para las combinaciones es el que se muestra en la siguiente tabla.

	Situación permanente y transitoria		Situación accidental	
	Favorable	Desfavorable	Favorable	Desfavorable
Tipo de acción				
Permanente (peso propio)	$\gamma_G = 1.00$	$\gamma_Q = 1.35$ c. intenso	$\gamma_G = 1.00$	$\gamma_G = 1.00$
Variable (sobrecarga, viento)	$\gamma_Q = 0$	$\gamma_Q = 1.50$	$\gamma_Q = 0.00$	Sobrecarga: $\gamma_Q = 1.00$ viento: $\gamma_Q = 0.00$
Accidental (sismo)			$\gamma_A = 1.00$	$\gamma_A = 1.00$

Los estados límite de tomarán siempre $\gamma_g =$ Desplazamientos. Para los elementos sean metálicos o de los coeficientes del

servicio (E.L.S.) $\gamma_q = 1$ y se aplican a de la estructura que fábrica, se aplican CTE de la tabla 4.1.

10.3. Estado Límite de agotamiento frente a sollicitaciones normales

Se aplica lo indicado en el artículo 42.

10.4. Estado Límite de inestabilidad (pandeo)

El usuario define el coeficiente de pandeo en pilares.

La excentricidad ficticia se calcula de acuerdo al método aproximado aplicándose en ambas direcciones:

$$e_a = (1 + 0.12\beta)(\varepsilon_y + 0.0035) \frac{h + 20 e_o}{h + 10 e_o} \cdot \frac{l_o^2}{50 i_c}$$



lo: Longitud de pandeo
ic: Radio de giro en la dirección considerada
 ε : 0.004
 ε_y : f_{yd} / E_s

$$\beta: \text{Factor de armado} = \frac{(d - d')^2}{4 i_s^2}$$

i_s : Radio de giro de las armaduras, calculando a partir del armado real que se comprueba

10.5. Estado Límite de agotamiento frente a cortante

10.5.1. Comprobaciones realizadas

- ♦ En borde de apoyo: $V_{rd} \leq V_{u1}$
- ♦ A un canto útil del borde de apoyo $V_{rd} \leq V_{u2}$

Se supone que el ángulo que forman las bielas de compresión y el eje de la pieza es $\theta = 45^\circ$, por lo que:

$$V_{ul} = 0.3 f_{cd} \cdot b \cdot d$$

- ♦ Piezas sin armadura cortante (losas y nervios de reticular):

$$V_{u2} = \frac{0.18}{\gamma_c} \cdot \xi \cdot (100 \cdot \rho_1 \cdot f_{cv})^{1/3} \cdot b_o \cdot d$$

$$V_{u2} \geq \frac{0.075}{\gamma_c} \cdot \xi^{2/3} \cdot f_{cv}^{1/2} \cdot b_o \cdot d$$

$$\xi = 1 + \sqrt{\frac{200}{d \text{ (mm)}}}$$

$$\xi \leq 2$$

$$\rho_1 = \text{cuantía de la armadura de tracción} = \frac{A_s}{b_o d} \leq 0.02$$

$$f_{cv} \text{ (N/mm}^2\text{)}$$

Si $V_{rd} > V_{u2}$, la resistencia del hormigón es la misma fórmula, sustituyendo 0.12 por 0.10, disponiéndose refuerzo como se indica a continuación mediante ramas verticales.

- ♦ Piezas con armadura de cortante (vigas y losas, y nervios reticulares):

$$V_{u2} = V_{cu} + V_{su}$$

$$V_{u2} = \frac{0.15}{\gamma_c} \cdot \xi \cdot (100 \cdot \rho_1 \cdot f_{cv})^{1/3} \cdot b_o \cdot d$$

$$V_{su} = 0.9 d \sum A_\alpha \cdot f_{y\alpha, d}$$

$$\text{Cuantías mínimas: } \sum \frac{A_\alpha \cdot f_{y\alpha, d}}{\sin \alpha} \geq \frac{f_{ct, m}}{7.5} \cdot b_o$$

- ♦ Disposiciones relativas a las armaduras:

$$S_t \leq 0.75 d \leq 600 \text{ mm} \quad \text{si } V_{rd} \leq \frac{1}{5} V_{ul}$$

$$S_t \leq 0.6 d \leq 450 \text{ mm} \quad \text{si } \frac{1}{5} V_{ul} < V_{rd} \leq \frac{2}{3} V_{ul}$$

$$S_t \leq 0.3 d \leq 300 \text{ mm} \quad \text{si } V_{rd} > \frac{2}{3} V_{ul}$$

- ♦ Se comprueba el rasante en la unión ala-alma de acuerdo a 44.2.3.5 en secciones en 'T'.

10.5.2. Estado Límite de agotamiento por torsión en vigas

Se aplica lo indicado en el artículo 45:



$$T_d < T_{ul} = 2 \cdot K \cdot \alpha \cdot f_{lcd} \cdot A_e \cdot h_e \frac{\cot g \theta}{1 + \cot g \theta}$$

supuesto $\theta = 45^\circ$, $h_e \leq \frac{A}{u} \leq h_o$
 $\frac{A}{u} > 2c$

10.5.3. Cálculo de la armadura transversal

$$T_{u2} = \frac{2 \cdot Ae \cdot At}{s_t} \cdot f_{yt,d} \cdot \cot g \theta$$

10.5.4. Cálculo de la armadura longitudinal

$$T_{u3} = \frac{2 \cdot Ae}{ue} \cdot A_l \cdot f_{yt,d} \cdot tg \theta$$

10.5.5. Disposiciones relativas a las armaduras

$S \leq \frac{U_e}{8}$, siendo a el lado menor de U_e (perímetro eficaz)

$$S \leq 0.75 a \leq 600 \text{ mm} \quad \text{si } T_d \leq \frac{1}{5} T_{ul}$$

$$S \leq 0.6 a \leq 450 \text{ mm} \quad \text{si } \frac{1}{5} T_{ul} < T_d \leq \frac{2}{3} T_{ul}$$

$$S \leq 0.3 a \leq 300 \text{ mm} \quad \text{si } T_d > \frac{2}{3} T_{ul}$$

10.5.6. Comprobación de cortante + torsión

$$\left(\frac{T_d}{T_{ul}} \right)^\beta + \left(\frac{V_{rd}}{V_{ul}} \right)^\beta \leq 1, \beta = 2 \left(1 - \frac{h_e}{b} \right)$$

10.6. Estado Límite de Punzonamiento

Se aplica el método general del programa, que calcula en perímetros paralelos al borde de apoyos, la primera superficie a 0.5 d, y en los restantes cada 0.75 d, pasando por la superficie a 2d y continuando.

De acuerdo a lo indicado en los comentarios del punto 46.3, el presente método permite una evaluación más precisa de las tensiones de comparación de la EH-91, basado a su vez en el Código ACI americano, y cuya implementación permite el programa. El programa **Análisis del Punzonamiento** de **CYPE** implementa la formulación del artículo 46, y al cual le remitimos si desea hacer una comprobación aislada y comparar resultados.

10.7. Estado Límite de descompresión. Fisuración

De forma opcional, puede establecer un límite de fisura, y se realiza la comprobación de fisuración, de acuerdo a lo indicado en el artículo 49.2.2., en vigas de hormigón armado en flexión simple.

También se pueden aplicar de forma opcional los criterios de limitación de la fisuración por cortante (art. 49.3) y por torsión (art. 49.4).

10.8. Estado Límite de deformación

Se aplica el método simplificado, obteniéndose las flechas mediante doble integración de curvaturas.

Se aplicará lo indicado en el **Código Técnico de la Edificación** en su **apartado 4.3.3 Deformaciones** así como lo expuesto en los **comentarios del artículo 50.1 de la EHE-08** en lo referente a forjados unidireccionales de viguetas o placas alveolares.

10.9. Elementos estructurales

Para vigas, soportes y losas, se aplica lo indicado en la artículos 53, 54 y 55.

Anejo 12. Requisitos especiales recomendados para estructuras sometidas a acciones sísmicas.

Para estructuras calculadas de acuerdo a la NCSE-02 por el método de Análisis Modal Espectral que permite el programa, si se seleccionan los requisitos de ductilidad para estructuras de ductilidad alta y muy alta, se aplican las prescripciones indicadas en 5.2. (Vigas) y 5.3. (Soportes).

De forma opcional se podrá realizar el solape de la armadura vertical en la zona central de los pilares.

10.10. Criterios de ductilidad para Vigas y Pilares

Si se activan estos criterios se aplicarán en el armado de vigas y pilares una serie de requisitos, según la ductilidad sea alta o muy alta. Los criterios de armado de la norma sísmica en función de la aceleración de cálculo se aplican siempre, independientemente del tipo de criterio por ductilidad seleccionado.

Si consideramos que la estructura posee una ductilidad muy alta:



- ♦ En los extremos de las vigas, la armadura longitudinal de una cara debe ser al menos el 50% de la cara opuesta.
Armado inferior ≥ 0.5 Armado superior.
Armado superior ≥ 0.5 Armado inferior (en extremos).
- ♦ La armadura mínima longitudinal en cualquier sección, debe ser al menos un tercio ($1/3$) de la máxima en su cara.
Armado mínimo inferior $\geq 1/3$ Armado máximo inferior.
Armado mínimo superior $\geq 1/3$ Armado máximo superior.
- ♦ La armadura mínima longitudinal tendrá una cuantía de al menos 0.004 bh o un diámetro de 16 mm en cada esquina, tanto superior como inferior.
- ♦ En una zona de 2 veces el canto de la viga, junto a los apoyos se colocarán estribos a la menor de las siguientes separaciones:
Un cuarto del canto ($1/4 h$).
24 veces el diámetro del estribo.
 $6 \cdot$ diámetro barra menor comprimida.
15 cm.
- ♦ Se amplifica el cortante un 25%.
- ♦ En cabeza y pie, así como en el nudo de pilares se colocarán estribos a una separación igual a la menor de las siguientes:
10 cm.
Dimensión menor del pilar / 4.
 $6 \cdot$ diámetro de la menor barra vertical.
- ♦ Los estribos del apartado anterior, se colocarán en una longitud igual a la mayor de las siguientes:
2 veces la dimensión menor del pilar.
Altura del pilar / 6.
60 cm.
- ♦ La cuantía volumétrica de estribos en dicha zona será mayor que 0.12.
- ♦ La cuantía geométrica de armadura vertical será mayor que 0.01 y menor que 0.06 respecto a la sección transversal del pilar.
- ♦ Recuerde seleccionar la tabla de armados de pilares específica, para cumplir los requisitos de 3 barras mínimas por cara, y separación menor de 15 cm.
Si consideramos que la estructura posee una ductilidad alta:
- ♦ En los extremos de las vigas, la armadura longitudinal de una cara debe ser al menos el 33% de la cara opuesta.
Armado inferior ≥ 0.33 Armado superior.
Armado superior ≥ 0.33 Armado inferior (en extremos).
- ♦ La armadura mínima longitudinal en cualquier sección, debe ser al menos un cuarto ($1/4$) de la máxima en su cara.
Armado mínimo inferior $\geq 1/4$ Armado máximo inferior.
Armado mínimo superior $\geq 1/4$ Armado máximo superior.
- ♦ La armadura mínima longitudinal tendrá una cuantía de al menos 0.004 bh o 3.08 cm^2 (equivalente a 2 diámetros de 14 mm) tanto superior como inferior.
- ♦ En una zona de 2 veces el canto de la viga, junto a los apoyos se colocarán estribos a la menor de las siguientes separaciones:
Un cuarto del canto ($1/4 h$).
24 veces el diámetro del estribo.
 $8 \cdot$ diámetro barra menor comprimida.
15 cm.
- ♦ Se amplifica el cortante un 25%.
- ♦ En cabeza y pie, así como en el nudo de pilares se colocarán estribos a una separación igual a la menor de las siguientes:
15 cm.
Dimensión menor del pilar / 3.
 $8 \cdot$ diámetro de la menor barra vertical.
24 veces el diámetro del estribo.
- ♦ Los estribos del apartado anterior, se colocarán en una longitud igual a la mayor de las siguientes:
2 veces la dimensión menor del pilar.
Altura del pilar / 6.



60 cm.

- ♦ La cuantía geométrica de armadura vertical será mayor que 0.01 y menor que 0.06 respecto a la sección transversal del pilar.
- ♦ Recuerde seleccionar la tabla de armados de pilares específica, para cumplir los requisitos de 3 barras mínimas por cara, y separación menor de 15 cm.

11. Implementación del CTE DB-SI -6

Se ha implementado en el programa la verificación de la resistencia al fuego en las estructuras, según lo expuesto en el **CTE DB-SI**.

El programa calcula para cada elemento la distancia mínima equivalente de los armados, según lo expuesto en el **Anejo C del DB-SI**

$$a_m = \frac{\sum [A_{si} \cdot f_{yki} \cdot (a_{si} + \Delta a_{si})]}{\sum (A_{si} \cdot f_{yki})}$$

El programa verificará que el recubrimiento del armado cumple con los recubrimientos mínimos de armados citados en las tablas del **Anejo C del DB-SI**. En el caso de que no verificase se indicaría el revestimiento necesario del material previamente elegido.

11.1. Soportes y muros

El programa verificará que se cumplan las distancias mínimas de la **tabla C.2**, se clasificarán los muros con empujes como muros expuestos a una cara, el resto de muros se considerarán expuestos a ambas caras.

Si la resistencia al fuego requerida es mayor que R 90 y el armado resultado del cálculo sea mayor que el 2% de la sección de hormigón, se buscarán disposiciones de armado simétricas

11.2. Vigas

Si la viga está expuesta a 3 caras se utiliza la **tabla C.3**, en el caso de vigas planas se verificarán con las distancias mínimas de la columna "Flexión en una dirección" de la **tabla C.4** de losas macizas.

Si la resistencia al fuego requerida fuese mayor que R 90 se prolonga el primer refuerzo del armado de negativos hasta 1/3 de la longitud del tramo.

Para vigas expuestas a tres caras se verifica si que el área no sea inferior a $2(b_{min})^2$

El programa considera como viga plana la que se ha introducido como tal, si se introduce una viga descolgada del mismo canto que el forjado, se considerará como viga expuesta a tres caras.

11.3. Losas Macizas

Se verificarán los revestimientos mínimos de la **tabla C.4**, si el forjado tiene misión de compartimentación se verificará también que, el espesor mínimo expuesto en la anterior tabla, se cumpla.

11.4. Elementos de acero.

El programa determinará el factor de forma de cada uno de los elementos sometidos a fuego, comprobando los valores con los de la **tabla D.1 del anejo D del CTE DB-SI**, determinando el espesor mínimo de revestimiento así como la temperatura que alcanza durante el fuego.



AM1 E.2.- COMPROBACIONES E.L.U. EDIFICIOS

E.2.1.- EDIFICIO POLIDEPORTIVO

1.- NOTACIÓN (PILARES)

En las tablas de comprobación de pilares de acero no se muestran las comprobaciones con coeficiente de aprovechamiento inferior al 10%.

Acero laminado y armado: CTE DB SE-A

$\bar{\lambda}$: Limitación de esbeltez

λ_w : Abolladura del alma inducida por el ala comprimida

N_c : Resistencia a compresión

M_y : Resistencia a flexión eje Y

M_z : Resistencia a flexión eje Z

V_z : Resistencia a corte Z

NM_yM_z : Resistencia a flexión y axil combinados

M_tV_z : Resistencia a cortante Z y momento torsor combinados

M_yV_z : Resistencia a momento flector Y y fuerza cortante Z combinados

$NM_yM_zV_yV_z$: Resistencia a flexión, axil y cortante combinados

V_y : Resistencia a corte Y

M_tV_y : Resistencia a cortante Y y momento torsor combinados

Hormigón: Instrucción de Hormigón Estructural EHE-08

Disp.: Disposiciones relativas a las armaduras

Arm.: Armadura mínima y máxima

Q: Estado límite de agotamiento frente a cortante

N,M: Estado límite de agotamiento frente a solicitaciones normales

2.- PILARES

2.1.- G-A1

Sección de acero laminado - Temperatura ambiente																			
Tramo	Sección	Posición	Comprobaciones									Esfuerzos pésimos						Estado	
			$\bar{\lambda}$	λ_{wz}	N _c (%)	M _y (%)	M _z (%)	V _z (%)	NM _y M _z (%)	M _y V _z (%)	Aprov. (%)	Naturaleza	Comp.	N (kN)	M _{xx} (kN·m)	M _{yy} (kN·m)	Q _x (kN)		Q _y (kN)
Cubierta vestuarios (0 - 3.85 m)	HE 220 B	Cabeza	Cumple	Cumple	8.7	56.8	15.0	12.2	73.7	12.1	73.7	G, Q ⁽¹⁾	N _c ,M _y ,NM _y M _z ,M _y V _z	15.50	-11.42	-1.00	0.49	-5.20	Cumple
												G, Q, V, N ⁽²⁾	M _z	14.56	-10.37	-1.57	0.90	-4.66	
												G, V, N ⁽³⁾	V _z	14.53	-11.06	-0.92	0.45	-5.24	
		Pie	Cumple	Cumple	8.8	31.2	13.5	12.2	45.4	12.1	45.4	G, Q ⁽¹⁾	N _c ,M _y V _z	15.82	5.80	0.63	0.49	-5.20	Cumple
												G, Q, V, N ⁽⁴⁾	M _y	14.85	6.28	0.57	0.45	-5.24	
												G, Q, V, N ⁽²⁾	M _z ,NM _y M _z	14.88	5.05	1.42	0.90	-4.66	
												G, V, N ⁽³⁾	V _z	14.85	6.28	0.56	0.45	-5.24	

Notas:

⁽¹⁾ 1.35·PP+1.35·CM+1.5·Qa(G1)

⁽²⁾ 1.35·PP+1.35·CM+1.05·Qa(C)+1.5·V(+Yexc.-)+0.75·N1

⁽³⁾ 1.35·PP+1.35·CM+1.5·V(-Xexc.+)+0.75·N1

⁽⁴⁾ 1.35·PP+1.35·CM+1.05·Qa(C)+1.5·V(-Xexc.+)+0.75·N1

Sección de acero laminado - Situación de incendio																		
Tramo	Sección	Posición	Comprobaciones							Esfuerzos p _s imos							Estado	
			N _c (%)	M _y (%)	M _z (%)	V _z (%)	NM _y M _z (%)	M _y V _z (%)	Aprov. (%)	Naturaleza	Comp.	N (kN)	M _{xx} (kN·m)	M _{yy} (kN·m)	Q _x (kN)	Q _y (kN)		
Cubierta vestuarios (0 - 3.85 m)	HE 220 B	Cabeza	8.3	58.8	11.0	10.8	74.9	10.5	74.9	G, Q, N ⁽¹⁾	N _c ,M _y V _z	10.42	-7.65	-0.69	0.34	-3.48	Cumple	
										G, V ⁽²⁾	M _y ,V _z	10.37	-7.73	-0.68	0.33	-3.59		
										G, Q, V ⁽³⁾	M _z ,NM _y M _z	10.38	-7.50	-0.90	0.48	-3.39		
		Pie	8.5	31.5	8.7	10.8	44.6	10.5	44.6	G, Q, N ⁽¹⁾	N _c ,M _y V _z	10.66	3.88	0.43	0.34	-3.48	Cumple	
										G, Q, V ⁽⁴⁾	M _y	10.61	4.15	0.42	0.33	-3.59		
										G, Q, V ⁽³⁾	M _z ,NM _y M _z	10.62	3.74	0.71	0.48	-3.39		
										G, V ⁽²⁾	V _z	10.61	4.14	0.42	0.33	-3.59		



Sección de acero laminado - Situación de incendio																
Tramo	Sección	Posición	Comprobaciones						Esfuerzos p _{simos}						Estado	
			N _c (%)	M _y (%)	M _z (%)	V _z (%)	NM _y M _z (%)	M _y V _z (%)	Aprov. (%)	Naturaleza	Comp.	N (kN)	M _{xx} (kN-m)	M _{yy} (kN-m)		Q _x (kN)
Notas:																
⁽¹⁾ PP+CM+0.6-Qa(C)+0.2-N1																
⁽²⁾ PP+CM+0.5-V(-Xexc.+)																
⁽³⁾ PP+CM+0.6-Qa(C)+0.5-V(+Yexc.-)																
⁽⁴⁾ PP+CM+0.6-Qa(C)+0.5-V(-Xexc.+)																

2.2.- G-A2

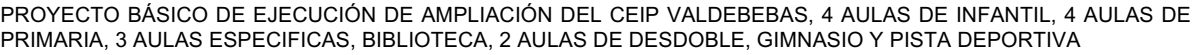
Sección de acero laminado - Temperatura ambiente																			
Tramo	Sección	Posición	Comprobaciones									Esfuerzos pésimos						Estado	
			$\bar{\lambda}$	λ_w	N _c (%)	M _y (%)	M _z (%)	V _z (%)	NM _y M _z (%)	M _y V _z (%)	Aprov. (%)	Naturaleza	Comp.	N (kN)	Mxx (kN-m)	Myy (kN-m)	Qx (kN)		Qy (kN)
Cubierta vestuarios (0 - 3.85 m)	HE 220 B	Cabeza	Cumple	Cumple	16.0	28.4	9.7	7.0	51.2	6.1	51.2	G, Q ⁽¹⁾	N _c M _z M _y V _z	28.58	5.31	-1.02	0.58	2.63	Cumple
												G, Q, V, N ⁽²⁾	M _y V _z	26.47	5.71	-0.93	0.57	3.00	
												G, V, N ⁽³⁾	NM _y M _z	26.47	5.71	-0.94	0.55	3.00	
		Pie	Cumple	Cumple	16.2	21.0	12.5	7.0	44.2	6.1	44.2	G, Q ⁽¹⁾	N _c M _y V _z	28.90	-3.39	0.91	0.58	2.63	Cumple
												G, Q, V, N ⁽²⁾	M _y V _z NM _y M _z	26.79	-4.23	0.94	0.57	3.00	
												G, Q, V, N ⁽⁴⁾	M _z	26.80	-3.49	1.31	0.69	2.62	
Notas: ⁽¹⁾ 1.35-PP+1.35-CM+1.5-Qa(G1) ⁽²⁾ 1.35-PP+1.35-CM+1.05-Qa(C)+1.5-V(+Xexc.)+0.75-N1 ⁽³⁾ 1.35-PP+1.35-CM+1.5-V(+Xexc.)+0.75-N1 ⁽⁴⁾ 1.35-PP+1.35-CM+1.05-Qa(C)+1.5-V(+Yexc.)+0.75-N1																			

Sección de acero laminado - Situación de incendio																	
Tramo	Sección	Posición	Comprobaciones								Esfuerzos pésimos						Estado
			N _c (%)	M _y (%)	M _z (%)	V _z (%)	NM _y M _z (%)	M _y V _z (%)	Aprov. (%)	Naturaleza	Comp.	N (kN)	M _{xx} (kN·m)	M _{yy} (kN·m)	Q _x (kN)	Q _y (kN)	
Cubierta vestuarios (0 - 3.85 m)	HE 220 B	Cabeza	15.2	28.8	8.4	5.8	51.5	5.3	51.5	G, Q, N ⁽¹⁾	N _c M _y V _z	19.17	3.56	-0.68	0.41	1.77	Cumple
										G, Q, V ⁽²⁾	M _y V _z	18.96	3.79	-0.67	0.40	1.93	
										G, N ⁽³⁾	M _z	19.16	3.56	-0.68	0.40	1.76	
										G, V ⁽⁴⁾	NM _y M _z	18.96	3.78	-0.67	0.39	1.93	
		Pie	15.4	19.9	9.7	5.8	42.8	5.3	42.8	G, Q, N ⁽¹⁾	N _c M _y V _z	19.40	-2.28	0.67	0.41	1.77	Cumple
										G, Q, V ⁽²⁾	M _y V _z NM _y M _z	19.19	-2.62	0.66	0.40	1.93	
Notas: (1) PP+CM+0.6·Qa(C)+0.2·N1 (2) PP+CM+0.6·Qa(C)+0.5·V(+Xexc.+) (3) PP+CM+0.2·N1 (4) PP+CM+0.5·V(+Xexc.+) (5) PP+CM+0.6·Qa(C)+0.5·V(+Yexc.-)																	

2.3.- G-A3

Sección de acero laminado - Temperatura ambiente																													
Tramo	Sección	Posición	Comprobaciones									Esfuerzos pésimos						Estado											
			$\bar{\lambda}$	λ_w	N _c (%)	M _y (%)	M _z (%)	V _z (%)	NM _y M _z (%)	M _y V _z (%)	Aprov. (%)	Naturaleza	Comp.	N (kN)	M _{xx} (kN-m)	M _{yy} (kN-m)	Q _x (kN)		Q _y (kN)										
Cubierta Pabellon (3.85 - 6.75 m)	HE 220 B	Cabeza	Cumple	Cumple	3.2	28.3	1.7	8.8	32.6	8.8	32.6	G, Q ⁽¹⁾	N _c M _y V _z NM _y M _z M _y V _z	6.43	-5.87	0.13	-0.17	-3.78	Cumple										
		Pie	Cumple	Cumple	3.3	19.3	6.7	8.8	25.6	8.8	25.6	G, Q ⁽¹⁾	N _c V _z M _y V _z	6.68	4.00	-0.30	-0.17	-3.78	Cumple										
Cubierta vestuarios (0 - 3.85 m)	HE 220 B	Cabeza	Cumple	Cumple	14.5	21.3	3.9	6.6	34.6	3.5	34.6	G, Q ⁽¹⁾	N _c M _y V _z	25.83	-2.76	-0.09	0.16	-1.52	Cumple										
												G, Q, V ⁽⁵⁾	M _y V _z	23.60	-4.29	-0.02	0.12	-2.83											
												G, V, N ⁽⁴⁾	M _z	23.91	-2.97	-0.41	0.21	-1.64											
												G, Q, V, N ⁽⁶⁾	NM _y M _z	24.43	-4.20	-0.04	0.14	-2.79											
		Pie	Cumple	Cumple	14.6	25.2	5.3	6.6	42.2	3.5	42.2	G, Q ⁽¹⁾	N _c M _y V _z	26.15	2.29	0.45	0.16	-1.52	Cumple										
												G, Q, V ⁽⁵⁾	M _y V _z	23.92	5.07	0.38	0.12	-2.83											
												G, Q, V, N ⁽⁷⁾	M _z	24.51	2.59	0.55	0.08	-1.69											
												G, Q, V, N ⁽⁶⁾	NM _y M _z	24.75	5.02	0.41	0.14	-2.79											
												Notas:																	
												(1) 1.35-PP+1.35-CM+1.5-Qa(G1)																	
												(2) 1.35-PP+1.35-CM+1.05-Qa(C)+1.5-V(+Xexc.-)+0.75-N1																	
												(3) 1.35-PP+1.35-CM+1.5-V(+Yexc.-)+0.75-N1																	
(4) 1.35-PP+1.35-CM+1.5-V(-Xexc.-)+0.75-N1																													
(5) 1.35-PP+1.35-CM+1.05-Qa(C)+1.5-V(+Yexc.-)																													
(6) 1.35-PP+1.35-CM+1.05-Qa(C)+1.5-V(+Yexc.-)+0.75-N1																													
(7) 1.35-PP+1.35-CM+1.05-Qa(C)+1.5-V(+Xexc.-)+0.75-N1																													

Sección de acero laminado - Situación de incendio																	
Tramo	Sección	Posición	Comprobaciones							Esfuerzos p _s imos							Estado
			N _c (%)	M _y (%)	M _z (%)	V _z (%)	NM _y M _z (%)	M _y V _z (%)	Aprov. (%)	Naturaleza	Comp.	N (kN)	M _{xx} (kN·m)	M _{yy} (kN·m)	Q _x (kN)	Q _y (kN)	
Cubierta Pabellon (3.85 - 6.75 m)	HE 220 B	Cabeza	4.9	39.8	2.4	11.7	46.4	11.6	46.4	G, N ⁽¹⁾	N _c V _z	3.68	-2.94	0.10	-0.12	-2.10	Cumple
										G, Q, N ⁽²⁾	M _y NM _y M _z M _y V _z	3.68	-2.94	0.10	-0.12	-2.09	
										G, Q, V ⁽³⁾	M _z	3.52	-2.78	0.11	-0.07	-2.00	
		Pie	5.2	35.7	7.9	11.7	45.4	11.6	45.4	G, N ⁽¹⁾	N _c V _z	3.87	2.53	-0.21	-0.12	-2.10	Cumple
										G, V ⁽⁴⁾	M _y	3.70	2.64	-0.23	-0.12	-2.05	
										G, V ⁽⁵⁾	M _z NM _y M _z	3.70	2.49	-0.35	-0.16	-2.02	
Cubierta vestuarios (0 - 3.85 m)	HE 220 B	Cabeza	27.5	39.5	3.3	9.1	66.1	7.0	66.1	G, Q, N ⁽²⁾	N _c M _y V _z	17.42	-2.25	-0.03	0.10	-1.26	Cumple
										G, Q, V ⁽⁶⁾	M _y V _z NM _y M _z	17.33	-2.68	-0.02	0.09	-1.64	
										G, V ⁽³⁾	M _z	17.15	-2.26	-0.15	0.12	-1.24	
		Pie	27.8	40.3	7.6	9.1	73.9	7.0	73.9	G, Q, N ⁽²⁾	N _c M _y V _z	17.65	1.91	0.29	0.10	-1.26	Cumple



2.4.- G-A4

Sección de acero laminado - Situación de incendio																	
Tramo	Sección	Posición	Comprobaciones						Aprov. (%)	Esfuerzos pésimos						Estado	
			N _c (%)	M _v (%)	M _z (%)	V _z (%)	NM ₁ M ₂ (%)	M ₁ V ₂ (%)		Naturaleza	Comp.	N (kN)	M _{xx} (kN·m)	M _{yy} (kN·m)	Q _x (kN)		Q _y (kN)
Cubierta Pabellon (3.85 - 6.75 m)	HE 260 B	Cabeza	5.4	48.7	0.8	16.3	54.1	16.2	54.1	G, Q, N ⁽¹⁾	N _c M ₁ V ₂	12.30	-13.44	-0.05	-0.07	-7.61	Cumple
										G, Q, V ⁽²⁾	M ₁ NM ₁ M ₂	11.78	-13.52	-0.05	-0.07	-7.40	
										G, Q, V ⁽³⁾	M ₂	11.65	-12.65	-0.10	-0.14	-7.16	
		Pie	5.5	12.0	3.2	16.3	18.6	16.2	18.6	G, N ⁽⁴⁾	V ₂	12.30	-13.43	-0.05	-0.07	-7.64	Cumple
										G, Q, N ⁽¹⁾	N _c M ₁ V ₂	12.50	3.08	-0.21	-0.07	-7.61	
										G, V ⁽⁵⁾	M ₁ NM ₁ M ₂	11.73	3.32	-0.23	-0.08	-6.99	
Cubierta vestuarios (0 - 3.85 m)	HE 260 B	Cabeza	21.4	23.5	4.9	4.1	46.4	2.7	46.4	G, Q, V ⁽³⁾	M ₂	11.85	2.88	-0.42	-0.14	-7.16	Cumple
										G, N ⁽⁴⁾	V ₂	12.50	3.14	-0.21	-0.07	-7.64	
										G, Q, N ⁽¹⁾	N _c M ₁ V ₂	21.52	2.73	-0.16	0.20	0.73	
		Pie	21.8	10.8	8.6	4.1	39.3	2.7	39.3	G, V ⁽⁵⁾	M ₁ V ₂	20.75	2.87	-0.18	0.22	1.11	Cumple
										G, V ⁽⁶⁾	M ₂ NM ₁ M ₂	20.87	2.59	-0.36	0.23	0.72	
										G, Q, N ⁽¹⁾	N _c M ₁ V ₂	21.86	0.11	0.55	0.20	0.73	
									G, Q, V ⁽²⁾	M ₁ NM ₁ M ₂	21.34	1.32	0.55	0.19	0.27	Cumple	
									G, Q, V ⁽⁷⁾	M ₂	21.20	0.20	0.64	0.17	0.65		
									G, V ⁽⁵⁾	V ₂	21.08	-1.13	0.60	0.22	1.11		
Notas:																	
⁽¹⁾ PP+CM+0.6-Qa(C)+0.2-N1																	
⁽²⁾ PP+CM+0.6-Qa(C)+0.5-V(+Yexc.-)																	
⁽³⁾ PP+CM+0.6-Qa(C)+0.5-V(-Yexc.-)																	
⁽⁴⁾ PP+CM+0.2-N1																	
⁽⁵⁾ PP+CM+0.5-V(-Yexc.+)																	
⁽⁶⁾ PP+CM+0.5-V(-Xexc.-)																	
⁽⁷⁾ PP+CM+0.6-Qa(C)+0.5-V(+Xexc.+)																	

2.5.- G-A5

Sección de acero laminado - Situación de incendio																	
Tramo	Sección	Posición	Comprobaciones							Esfuerzos pésimos						Estado	
			N _c (%)	M _r (%)	M _z (%)	V _z (%)	NM _r M _z (%)	M _r V _z (%)	Aprov. (%)	Naturalaleza	Comp.	N (kN)	M _{xx} (kN-m)	M _{yy} (kN-m)	Q _x (kN)		Q _y (kN)
Cubierta Pabellon (3.85 - 6.75 m)	HE 260 B	Cabeza	5.5	49.7	0.8	16.8	55.2	16.8	55.2	G, Q, N ⁽¹⁾	N _c ,NM _r M _z ,M _r V _z	12.35	-13.73	-0.05	-0.07	-7.85	Cumple
										G, Q, V ⁽²⁾	M _r	11.82	-13.77	-0.05	-0.06	-7.57	
										G, Q, V ⁽³⁾	M _z	11.69	-12.91	-0.10	-0.14	-7.38	
										G, N ⁽⁴⁾	V _z	12.35	-13.73	-0.05	-0.07	-7.88	
		Pie	5.6	12.9	3.2	16.8	19.6	16.8	19.6	G, Q, N ⁽¹⁾	N _c ,M _r V _z	12.55	3.31	-0.21	-0.07	-7.85	Cumple
										G, V ⁽⁵⁾	M _r ,NM _r M _z	11.77	3.59	-0.23	-0.08	-7.21	
										G, Q, V ⁽³⁾	M _z	11.90	3.10	-0.42	-0.14	-7.38	



PROYECTO BÁSICO DE EJECUCIÓN DE AMPLIACIÓN DEL CEIP VALDEBEBAS, 4 AULAS DE INFANTIL, 4 AULAS DE PRIMARIA, 3 AULAS ESPECÍFICAS, BIBLIOTECA, 2 AULAS DE DESDOBLE, GIMNASIO Y PISTA DEPORTIVA

I. MEMORIA

											G, N ⁽⁴⁾	V _z	12.55	3.37	-0.21	-0.07	-7.88	
Cubierta vestuarios (0 - 3.85 m)	HE 260 B	Cabeza	21.5	25.5	4.8	4.6	48.1	3.0	48.1	G, Q, N ⁽¹⁾	N _c , M _v , V _z	21.56	2.94	-0.16	0.20	0.81	Cumple	
										G, V ⁽⁵⁾	M _v , V _z , NM _v , M _z	20.78	3.11	-0.18	0.22	1.24		
		G, V ⁽⁶⁾	M _z	20.91	2.79	-0.36	0.23	0.81	Cumple									
		G, Q, N ⁽¹⁾	N _c , M _v , V _z	21.90	0.00	0.55	0.20	0.81										
	Pie	21.8	11.1	8.6	4.6	40.0	3.0	40.0	G, V ⁽⁵⁾	M _v , V _z , NM _v , M _z	21.11	-1.35	0.60	0.22	1.24			
									G, Q, V ⁽⁷⁾	M _z	21.24	0.09	0.64	0.16	0.73			
Notas:																		
⁽¹⁾ PP+CM+0.6-Qa(C)+0.2-NI																		
⁽²⁾ PP+CM+0.6-Qa(C)+0.5-V(+Yexc. +)																		
⁽³⁾ PP+CM+0.6-Qa(C)+0.5-V(-Xexc. -)																		
⁽⁴⁾ PP+CM+0.2-NI																		
⁽⁵⁾ PP+CM+0.5-V(-Yexc. +)																		
⁽⁶⁾ PP+CM+0.5-V(-Xexc. -)																		
⁽⁷⁾ PP+CM+0.6-Qa(C)+0.5-V(+Xexc. +)																		

2.6.- G-A6

Sección de acero laminado - Temperatura ambiente																				
Tramo	Sección	Posición	Comprobaciones										Esfuerzos p _{símos}							Estado
			$\bar{\lambda}$	λ_w	N _c (%)	M _v (%)	M _z (%)	V _z (%)	NM _z M _z (%)	M _v V _z (%)	Aprov. (%)	Naturaleza	Comp.	N (kN)	M _{xx} (kN·m)	M _{yy} (kN·m)	Q _x (kN)	Q _y (kN)		
Cubierta Pabellon (3.85 - 6.75 m)	HE 260 B	Cabeza	Cumple	Cumple	8.5	86.9	1.5	30.0	95.2	30.0	95.2	G, Q ⁽¹⁾	N _c ,M _v ,V _z ,NM,M _z ,M _v V _z	23.56	-28.67	-0.09	-0.11	-16.71	Cumple	
			Pie	Cumple	Cumple	8.6	23.0	6.0	30.0	32.9	30.0	32.9	G, Q, V, N ⁽²⁾	M _z	18.33	-20.82	-0.23	-0.32	-12.05	Cumple
		Cabeza	Cumple	Cumple	15.4	22.3	5.4	5.3	39.0	4.1	39.0	G, Q ⁽¹⁾	N _c ,M _v ,V _z ,NM,M _z ,M _v V _z	23.83	7.59	-0.33	-0.11	-16.71	Cumple	
			Pie	Cumple	Cumple	15.6	15.5	6.8	5.3	33.9	4.1	33.9	G, Q, V, N ⁽²⁾	M _z	18.60	5.32	-0.93	-0.32	-12.05	Cumple
Cubierta vestuarios (0 - 3.85 m)	HE 260 B	Cabeza	Cumple	Cumple	15.4	22.3	5.4	5.3	39.0	4.1	39.0	G, Q ⁽¹⁾	N _c ,M _v ,NM,M _z ,M _v V _z	36.26	6.79	-0.26	0.30	2.31	Cumple	
			Pie	Cumple	Cumple	15.6	15.5	6.8	5.3	33.9	4.1	33.9	G, V, N ⁽³⁾	M _z	30.78	4.82	-0.84	0.37		1.54
		Cabeza	Cumple	Cumple	15.4	22.3	5.4	5.3	39.0	4.1	39.0	G, V, N ⁽⁴⁾	V _z	30.38	5.92	-0.29	0.33	2.95		Cumple
			Pie	Cumple	Cumple	15.6	15.5	6.8	5.3	33.9	4.1	33.9	G, Q ⁽¹⁾	N _c ,M _v V _z	36.71	-1.56	0.83	0.30	2.31	
		Cabeza	Cumple	Cumple	15.4	22.3	5.4	5.3	39.0	4.1	39.0	G, V, N ⁽⁴⁾	M _v ,V _z ,NM,M _z	30.84	-4.72	0.91	0.33	2.95	Cumple	
			Pie	Cumple	Cumple	15.6	15.5	6.8	5.3	33.9	4.1	33.9	G, Q, V, N ⁽⁵⁾	M _z	31.24	-0.30	1.05	0.18		1.39
Notas:																				
(1) 1.35-PP+1.35-CM+1.5-Qa(G1)																				
(2) 1.35-PP+1.35-CM+1.05-Qa(C)+1.5-V(-Xexc.-)+0.75-N1																				
(3) 1.35-PP+1.35-CM+1.5-V(-Xexc.-)+0.75-N1																				
(4) 1.35-PP+1.35-CM+1.5-V(-Xexc.-)+0.75-N1																				
(5) 1.35-PP+1.35-CM+1.05-Qa(C)+1.5-V(+Xexc.-)+0.75-N1																				

Sección de acero laminado - Situación de incendio																	
Tramo	Sección	Posición	Comprobaciones							Aprov. (%)	Esfuerzos pésimos						Estado
			N _c (%)	M _v (%)	M _z (%)	V _z (%)	NM _v M _z (%)	M _v V _z (%)	Naturaleza		Comp.	N (kN)	Mxx (kN.m)	Myy (kN.m)	Qx (kN)	Qy (kN)	
Cubierta Pabellon (3.85 - 6.75 m)	HE 260 B	Cabeza	5.5	50.9	0.8	17.3	56.3	17.3	56.3	G, N ⁽¹⁾	N _c V _z	12.42	-14.01	-0.06	-0.07	-8.12	Cumple
										G, Q, V ⁽²⁾	M _v NM _v M _z	11.89	-14.11	-0.05	-0.06	-7.80	
										G, Q, V ⁽³⁾	M _z	11.75	-13.16	-0.10	-0.14	-7.59	
										G, Q, N ⁽⁴⁾	M _v V _z	12.42	-14.02	-0.06	-0.07	-8.09	
	Pie	5.6	13.9	3.2	17.3	20.6	17.3	20.6	G, N ⁽¹⁾	N _c V _z	12.62	3.60	-0.21	-0.07	-8.12	Cumple	
									G, V ⁽⁵⁾	M _v NM _v M _z	11.82	3.85	-0.23	-0.08	-7.43		
									G, Q, V ⁽³⁾	M _z	11.95	3.31	-0.42	-0.14	-7.59		
									G, Q, N ⁽⁴⁾	M _v V _z	12.62	3.54	-0.21	-0.07	-8.09		
Cubierta vestuarios (0 - 3.85 m)	HE 260 B	Cabeza	21.5	27.4	4.8	5.1	50.0	3.3	50.0	G, N ⁽¹⁾	N _c	21.64	3.19	-0.16	0.20	0.97	Cumple
										G, V ⁽⁵⁾	M _v V _z NM _v M _z	20.84	3.35	-0.18	0.21	1.36	
										G, V ⁽⁶⁾	M _z	20.98	2.98	-0.36	0.23	0.89	
										G, Q, N ⁽⁴⁾	M _v V _z	21.64	3.14	-0.16	0.20	0.90	
	Pie	21.9	12.8	8.6	5.1	41.7	3.3	41.7	G, N ⁽¹⁾	N _c	21.98	-0.30	0.55	0.20	0.97	Cumple	
									G, V ⁽⁵⁾	M _v V _z NM _v M _z	21.18	-1.56	0.59	0.21	1.36		
									G, Q, V ⁽⁷⁾	M _z	21.31	0.00	0.64	0.16	0.81		
									G, Q, N ⁽⁴⁾	M _v V _z	21.98	-0.09	0.55	0.20	0.90		
Notas:																	
⁽¹⁾ PP+CM+0.2-N1																	
⁽²⁾ PP+CM+0.6-Qa(C)+0.5-V(+Yexc.+)																	
⁽³⁾ PP+CM+0.6-Qa(C)+0.5-V(-Xexc.-)																	
⁽⁴⁾ PP+CM+0.6-Qa(C)+0.2-N1																	
⁽⁵⁾ PP+CM+0.5-V(-Yexc.+)																	
⁽⁶⁾ PP+CM+0.5-V(-Xexc.-)																	
⁽⁷⁾ PP+CM+0.6-Qa(C)+0.5-V(+Xexc.+)																	

2.7.- G-A7

Sección de acero laminado - Temperatura ambiente																				
Tramo	Sección	Posición	$\bar{\lambda}$	λ_w	Comprobaciones							Aprov. (%)	Esfuerzos pésimos							Estado
					N _c (%)	M _v (%)	M _z (%)	V _z (%)	NM _v M _z (%)	M _v V _z (%)	Naturaleza		Comp.	N (kN)	M _{xx} (kN-m)	M _{yy} (kN-m)	Q _x (kN)	Q _y (kN)		
Cubierta Pabellon (3.85 - 6.75 m)	HE 220 B	Cabeza	Cumple	Cumple	2.8	21.0	1.8	7.7	25.0	7.7	25.0	G, Q ⁽¹⁾	N _c M _v V _z NM _v M _z M _v V _z	5.55	-4.35	-0.15	0.12	-3.29	Cumple	
												G, Q, V, N ⁽²⁾	M _z	5.23	-3.67	-0.19	0.06	-2.91		
												G, Q ⁽¹⁾	N _c V _z M _v V _z	5.80	4.23	0.16	0.12	-3.29		
		Pie	Cumple	Cumple	2.9	20.6	5.0	7.7	25.0	7.7	25.0	G, V, N ⁽³⁾	M _v	4.87	4.26	0.13	0.11	-2.74	Cumple	
												G, V ⁽⁴⁾	M _z	4.44	3.62	0.53	0.24	-2.46		
												G, V, N ⁽⁵⁾	NM _v M _z	4.96	3.77	0.52	0.25	-2.69		
Cubierta vestuarios (0 - 3.85 m)	HE 220 B	Cabeza	Cumple	Cumple	10.4	19.9	7.1	5.3	32.7	1.8	32.7	G, Q ⁽¹⁾	N _c M _v V _z	17.63	-1.86	-0.44	0.29	-0.79	Cumple	
												G, Q, V ⁽⁶⁾	M _v V _z NM _v M _z	16.49	-3.95	-0.37	0.24	-2.26		
												G, Q, V, N ⁽⁷⁾	M _z	16.52	-2.01	-0.75	0.33	-0.84		
		Pie	Cumple	Cumple	10.6	21.2	7.0	5.3	35.3	1.8	35.3	G, Q ⁽¹⁾	N _c M _v V _z	17.97	1.01	0.62	0.29	-0.79	Cumple	
												G, Q, V ⁽⁶⁾	M _v V _z	16.84	4.20	0.48	0.24	-2.26		
												G, Q, V, N ⁽⁸⁾	M _z	16.88	1.07	0.74	0.23	-0.86		
													G, Q, V, N ⁽⁹⁾	NM _v M _z	17.37	4.15	0.49	0.24	-2.22	
Notas:																				
(1) 1.35-PP+1.35-CM+1.5-Qa(G1)																				
(2) 1.35-PP+1.35-CM+1.05-Qa(C)+0.9-V(-Xexc.-)+1.5-N1																				
(3) 1.35-PP+1.35-CM+1.5-V(-Xexc.-)+0.75-N1																				
(4) 1.35-PP+1.35-CM+1.5-V(+Xexc.-)																				
(5) 1.35-PP+1.35-CM+1.5-V(+Xexc.-)+0.75-N1																				
(6) 1.35-PP+1.35-CM+1.05-Qa(C)+1.5-V(+Xexc.-)																				
(7) 1.35-PP+1.35-CM+1.05-Qa(C)+1.5-V(-Xexc.-)+0.75-N1																				
(8) 1.35-PP+1.35-CM+1.05-Qa(C)+1.5-V(+Xexc.-)+0.75-N1																				
(9) 1.35-PP+1.35-CM+1.05-Qa(C)+1.5-V(-Xexc.-)+0.75-N1																				



I. MEMORIA

Cubierta Pabellon (3.85 - 6.75 m)	HE 220 B	Cabeza	4.3	29.4	2.6	10.5	35.7	10.5	35.7	$G_r, N^{(1)}$	N_c, M_y, V_z	3.24	-2.18	-0.11	0.09	-1.88	Cumple			
			Pie	4.6	38.4	5.7	10.5	45.4	10.5	45.4	$G_r, Q_r, V^{(2)}$	M_z	3.09	-2.05	-0.11	0.05		-1.81		
											$G_r, Q_r, N^{(3)}$	NM_y, M_z, M_y, V_z	3.24	-2.18	-0.11	0.09		-1.88		
		$G_r, N^{(4)}$									N_c, V_z	3.42	2.72	0.13	0.09	-1.88				
		Cubierta vestuarios (0 - 3.85 m)	HE 220 B	Cabeza	20.5	33.7	9.5	6.3	60.4	3.7	60.4	$G_r, V^{(4)}$	M_y	3.25	2.84	0.12	0.08	-1.83	Cumple	
					Pie	21.0	28.6	10.8	6.3	58.4	3.7	58.4	$G_r, V^{(5)}$	M_z, NM_y, M_z	3.28	2.68	0.25	0.13		-1.82
$G_r, Q_r, N^{(3)}$	M_y, V_z												3.42	2.72	0.13	0.09	-1.88			
Cubierta vestuarios (0 - 3.85 m)	HE 220 B			Cabeza									20.5	33.7	9.5	6.3	60.4	3.7	60.4	$G_r, V^{(6)}$
					Pie	21.0	28.6	10.8	6.3	58.4	3.7	58.4	$G_r, Q_r, V^{(7)}$	M_y, V_z, NM_y, M_z	12.02	-2.20	-0.29	0.19	-1.13	
													$G_r, Q_r, V^{(2)}$	M_z	11.85	-1.59	-0.42	0.22	-0.67	
		$G_r, Q_r, N^{(3)}$	M_y, V_z	12.00									-1.58	-0.30	0.20	-0.67				
		Cubierta vestuarios (0 - 3.85 m)	HE 220 B	Cabeza	20.5	33.7	9.5	6.3	60.4	3.7	60.4	$G_r, V^{(6)}$	N_c	12.28	1.87	0.39	0.19	-1.13	Cumple	
					Pie	21.0	28.6	10.8	6.3	58.4	3.7	58.4	$G_r, Q_r, V^{(7)}$	M_y, V_z, NM_y, M_z	12.28	1.87	0.39	0.19		-1.13
$G_r, Q_r, V^{(8)}$	M_z												12.11	0.84	0.47	0.18	-0.68			
$G_r, Q_r, N^{(3)}$	M_y, V_z			12.26									0.84	0.42	0.20	-0.67				

Notas:

(1) $PP+CM+0.2 \cdot N1$

(2) $PP+CM+0.6 \cdot Qa(C)+0.5 \cdot V(-Xexc.-)$

(3) $PP+CM+0.6 \cdot Qa(C)+0.2 \cdot N1$

(4) $PP+CM+0.5 \cdot V(-Yexc.+)$

(5) $PP+CM+0.5 \cdot V(+Xexc.-)$

(6) $PP+CM+0.5 \cdot V(+Yexc.+)$

(7) $PP+CM+0.6 \cdot Qa(C)+0.5 \cdot V(+Yexc.+)$

(8) $PP+CM+0.6 \cdot Qa(C)+0.5 \cdot V(+Xexc.-)$

2.8.- G-B1

Sección de acero laminado - Temperatura ambiente																				
Tramo	Sección	Posición	Comprobaciones										Esfuerzos pésimos						Estado	
			$\bar{\lambda}$	N _c (%)	M _V (%)	M _Z (%)	V _Z (%)	V _V (%)	N _m M _Z (%)	M _V V _Z (%)	M _V V _V (%)	Aprov. (%)	Naturaleza	Comp.	N (kN)	M _{xx} (kN·m)	M _{yy} (kN·m)	Q _x (kN)		Q _y (kN)
Cubierta vestuarios (0 - 3.85 m)	CHS 323.9x8.0	Cabeza	Cumple	22.4	56.9	7.5	7.9	1.4	80.5	7.9	7.9	80.5	G, Q ⁽¹⁾	N _c ,M _V ,NM _Z ,M _Z ,M _V V _Z ,M _V V _V	44.43	-12.13	-0.57	0.32	-6.13	Cumple
													G, Q, V ⁽²⁾	M _Z	39.70	-10.80	-1.60	1.06	-5.48	
													G, Q, V, N ⁽³⁾	V _Z	41.41	-11.98	-0.51	0.28	-6.19	
													G, Q, V, N ⁽⁴⁾	V _V	40.99	-11.19	-1.60	1.06	-5.67	
		Pie	Cumple	22.5	35.3	8.1	7.9	1.4	58.9	7.9	7.9	58.9	G, Q ⁽¹⁾	N _c ,M _V V _Z ,M _V V _V	44.63	7.20	0.42	0.32	-6.13	Cumple
													G, Q, V, N ⁽³⁾	M _V ,V _Z	41.61	7.52	0.37	0.28	-6.19	
													G, Q, V, N ⁽⁴⁾	M _Z ,V _V ,NM _V ,M _Z	41.19	6.68	1.73	1.06	-5.67	
Notas: ⁽¹⁾ 1.35 PP+1.35 CM+1.5 Qa(GI)																				
⁽²⁾ 1.35 PP+1.35 CM+1.05 Qa(C)+1.5 Vj+Yacc.-j																				
⁽³⁾ 1.35 PP+1.35 CM+1.05 Qa(C)+1.5 Vj-Xacc.+0.75 N1																				
⁽⁴⁾ 1.35 PP+1.35 CM+1.05 Qa(C)+1.5 Vj+Yacc.+0.75 N1																				

Sección de acero laminado - Situación de incendio																		
Tramo	Sección	Posición	Comprobaciones								Esfuerzos pésimos							Estado
			N _c (%)	M _y (%)	M _z (%)	V _z (%)	NM _y M _z (%)	M _y V _z (%)	M _z V _y (%)	Aprov. (%)	Naturalaleza	Comp.	N (kN)	M _{xx} (kN·m)	M _{yy} (kN·m)	Q _x (kN)	Q _y (kN)	
Cubierta vestuarios (0 - 3.85 m)	CHS 323.9x8.0	Cabeza	17.6	44.3	4.0	6.2	62.7	6.0	6.0	62.7	G, Q, N ⁽¹⁾	N _c M _y V _z M _y V _y	29.84	-8.13	-0.41	0.22	-4.12	Cumple
											G, Q, V ⁽²⁾	M _y V _z	29.60	-8.28	-0.39	0.22	-4.24	
											G, Q, V ⁽³⁾	M _z NM _y M _z	29.46	-8.01	-0.76	0.48	-4.06	
		Pie	17.7	27.1	4.0	6.2	45.5	6.0	6.0	45.5	G, Q, N ⁽¹⁾	N _c M _y V _z M _y V _y	29.99	4.86	0.30	0.22	-4.12	Cumple
											G, Q, V ⁽²⁾	M _y V _z	29.75	5.07	0.29	0.22	-4.24	
											G, Q, V ⁽³⁾	M _z NM _y M _z	29.60	4.79	0.74	0.48	-4.06	
Notas: ⁽¹⁾ PP+CM+0.6·Qa(C)+0.2·N1 ⁽²⁾ PP+CM+0.6·Qa(C)+0.5·V(-Xexc.+) ⁽³⁾ PP+CM+0.6·Qa(C)+0.5·V(+Yexc.-)																		

2.9.- G-B2

Sección de hormigón - Temperatura ambiente															
Tramo	Dimensión (cm)	Posición	Comprobaciones					Esfuerzos pésimos						Estado	
			Disp.	Arm.	Q (%)	N,M (%)	Aprov. (%)	Naturaleza	Comp.	N (kN)	Mxx (kN·m)	Myy (kN·m)	Qx (kN)		Qy (kN)
Cubierta vestuarios (0 - 3.85 m)	HE 260 B	-	-	-	-	-	-	-	-	-	-	-	-	-	
Planta baja (-2.9 - 0 m)	40x40	Cabeza	Cumple	Cumple	56.9	73.5	73.5	G, Q, V, N ⁽²⁾	Q,N,M	141.65	-4.18	8.82	-8.37	-3.96	Cumple
		-1.6 m	Cumple	Cumple	56.9	73.5	73.5	G, Q, V, N ⁽²⁾	Q,N,M	141.65	-4.18	8.82	-8.37	-3.96	Cumple
		-2.3 m	Cumple	Cumple	56.9	73.5	73.5	G, Q, V, N ⁽²⁾	Q,N,M	141.65	-4.18	8.82	-8.37	-3.96	Cumple
		Pie	Cumple	Cumple	56.9	63.6	63.6	G, Q, V, N ⁽²⁾	Q,N,M	142.62	2.95	-6.24	-8.37	-3.96	Cumple
Cimentación	40x40	Arranque	N.P. ⁽¹⁾	N.P. ⁽¹⁾	12.5	63.6	63.6	G, Q, V, N ⁽²⁾	Q,N,M	142.62	2.95	-6.24	-8.37	-3.96	Cumple
Notas: ⁽¹⁾ La comprobación no procede ⁽²⁾ $1.35 \cdot PP + 1.35 \cdot CM + 1.5 \cdot Qa(C) + 0.9 \cdot V (+X_{exc.} +) + 0.75 \cdot N1$															

[illegible]



Sección de acero laminado - Temperatura ambiente																	
Tramo	Sección	Posición	Comprobaciones								Esfuerzos p _{sísmos}						Estado
			$\bar{\lambda}$	λ_{wv}	N _c (%)	M _r (%)	M _z (%)	V _z	NM _r M _z (%)	M _z V _z	Aprov. (%)	Naturaleza	Comp.	N (kN)	M _{xx} (kN·m)	M _{yy} (kN·m)	
Notas:																	
⁽¹⁾ 1.35·PP+1.35·CM+1.5·Qa(G1)																	
⁽²⁾ 1.35·PP+1.35·CM+1.05·Qa(C)+1.5·V(+Xexc.+)+0.75·N1																	
⁽³⁾ 1.35·PP+1.35·CM+1.05·Qa(C)+1.5·V(-Yexc.-)+0.75·N1																	
⁽⁴⁾ 1.35·PP+1.35·CM+1.05·Qa(C)+1.5·V(+Xexc.-)+0.75·N1																	

Sección de acero laminado - Situación de incendio																	
Tramo	Sección	Posición	Comprobaciones							Esfuerzos p _{simos}							Estado
			N _c (%)	M _y (%)	M _z (%)	V _z (%)	NM _y M _z (%)	M _y V _z (%)	Aprov. (%)	Naturaleza	Comp.	N (kN)	M _{xx} (kN·m)	M _{yy} (kN·m)	Q _x (kN)	Q _y (kN)	
Cubierta vestuarios (0 - 3.85 m)	HE 260 B	Cabeza	31.3	49.6	5.2	12.4	84.3	11.7	84.3	G, N ⁽¹⁾	N _c	61.90	10.91	0.68	-0.40	5.47	Cumple
										G, Q, V ⁽²⁾	M _y ,V _z	61.05	11.40	0.66	-0.40	5.83	
										G, V ⁽³⁾	M _z	61.12	10.74	0.68	-0.48	5.38	
										G, V ⁽⁴⁾	NM _y M _z	61.06	11.40	0.67	-0.39	5.83	
										G, Q, N ⁽⁵⁾	M _y V _z	61.89	10.91	0.67	-0.41	5.48	
		Pie	31.4	30.3	6.5	12.4	65.3	11.7	65.3	G, N ⁽¹⁾	N _c	62.19	-6.33	-0.58	-0.40	5.47	Cumple
										G, Q, V ⁽²⁾	M _y ,V _z	61.34	-6.97	-0.60	-0.40	5.83	
										G, Q, V ⁽⁶⁾	M _z	61.41	-6.22	-0.85	-0.48	5.39	
										G, Q, V ⁽⁷⁾	NM _y M _z	61.34	-6.97	-0.62	-0.41	5.83	
										G, Q, N ⁽⁵⁾	M _y V _z	62.18	-6.34	-0.61	-0.41	5.48	
Planta baja (-2.9 - 0 m)	40x40	-	-	-	-	-	-	-	-	-	-	-	-	-	-	-	
Cimentación	40x40	-	-	-	-	-	-	-	-	-	-	-	-	-	-	-	
Notas: (1) PP+CM+0.2·N1 (2) PP+CM+0.6·Qa(C)+0.5·V(+Xexc.+) (3) PP+CM+0.5·V(-Yexc.-) (4) PP+CM+0.5·V(+Xexc.+) (5) PP+CM+0.6·Qa(C)+0.2·N1 (6) PP+CM+0.6·Qa(C)+0.5·V(-Yexc.-) (7) PP+CM+0.6·Qa(C)+0.5·V(+Xexc.-)																	

2.10.- G-B3

Sección de hormigón - Temperatura ambiente															
Tramo	Dimensión (cm)	Posición	Comprobaciones					Esfuerzos pésimos						Estado	
			Disp.	Arm.	Q (%)	N,M (%)	Aprov. (%)	Naturaleza	Comp.	N (kN)	Mxx (kN·m)	Myy (kN·m)	Qx (kN)		Qy (kN)
Cubierta Pabellon (3.85 - 6.75 m)	HE 160 B	-	-	-	-	-	-	-	-	-	-	-	-	-	-
Cubierta vestuarios (0 - 3.85 m)	HE 200 B	-	-	-	-	-	-	-	-	-	-	-	-	-	-
Planta baja (-2.2 - 0 m)	40x40	Cabeza	Cumple	Cumple	93.9	61.4	93.9	G, Q, V ⁽²⁾	Q	94.47	-1.80	9.53	-15.01	-2.82	Cumple
								G, Q, V, N ⁽³⁾	N,M	95.66	-1.84	9.50	-14.98	-2.88	
		-1.65 m	Cumple	Cumple	93.9	50.6	93.9	G, Q, V ⁽²⁾	Q	95.06	1.30	-6.99	-15.01	-2.82	Cumple
								G, Q, V, N ⁽³⁾	N,M	96.25	1.33	-6.97	-14.98	-2.88	
		Pie	Cumple	Cumple	93.9	50.6	93.9	G, Q, V ⁽²⁾	Q	95.06	1.30	-6.99	-15.01	-2.82	Cumple
								G, Q, V, N ⁽³⁾	N,M	96.25	1.33	-6.97	-14.98	-2.88	
Cimentación	40x40	Arranque	N.P. ⁽¹⁾	N.P. ⁽¹⁾	20.6	50.6	50.6	G, Q, V ⁽²⁾	Q	95.06	1.30	-6.99	-15.01	-2.82	Cumple
								G, Q, V, N ⁽³⁾	N,M	96.25	1.33	-6.97	-14.98	-2.88	
Notas: ⁽¹⁾ La comprobación no procede ⁽²⁾ 1.35·PP+1.35·CM+1.5·Qa(C)+0.9·V(+Xexc.+) ⁽³⁾ 1.35·PP+1.35·CM+1.5·Qa(C)+0.9·V(+Xexc.+)+0.75·N1															

Sección de acero laminado - Temperatura ambiente																				
Tramo	Sección	Posición	$\bar{\lambda}$	λ_{wv}	Comprobaciones								Esfuerzos p _{simos}						Estado	
					N _c (%)	M _y (%)	M _z (%)	V _z (%)	V _y (%)	NM _y M _z (%)	M _y V _z (%)	Aprov. (%)	Naturaleza	Comp.	N (kN)	M _{xx} (kN·m)	M _{yy} (kN·m)	Q _x (kN)		Q _y (kN)
Cubierta Pabellon (3.85 - 6.75 m)	HE 160 B	Cabeza	Cumple	Cumple	5.0	2.6	5.7	2.8	0.5	11.6	1.8	11.6	G, Q ⁽¹⁾	N _c M _z NM _y M _z M _y V _z	5.03	-0.14	0.26	-0.33	0.49	Cumple
													G, Q, V, N ⁽²⁾	M _y V _z	3.77	-0.22	0.18	-0.27	0.76	
													G, V, N ⁽³⁾	V _y	3.65	-0.13	0.17	-0.33	0.45	
													G, Q ⁽¹⁾	N _c M _y V _z	5.18	-1.42	-0.60	-0.33	0.49	
		Pie	Cumple	Cumple	5.1	25.8	15.4	2.8	0.5	40.2	1.8	40.2	G, Q, V, N ⁽²⁾	M _y V _z	3.92	-2.21	-0.54	-0.27	0.76	Cumple
													G, V, N ⁽³⁾	M _z V _y	3.80	-1.30	-0.70	-0.33	0.45	
													G, V, N ⁽⁴⁾	NM _y M _z	3.91	-2.21	-0.55	-0.28	0.76	
													G, Q ⁽¹⁾	N _c M _y V _z	35.68	5.12	1.26	-0.64	2.73	
Cubierta vestuarios (0 - 3.85 m)	HE 200 B	Cabeza	Cumple	Cumple	24.3	37.3	28.9	8.5	1.4	81.0	7.1	81.0	G, Q, V, N ⁽²⁾	M _y V _z	33.57	5.78	1.26	-0.65	3.25	Cumple
													G, Q, V ⁽⁵⁾	M _z V _y	30.99	4.56	2.36	-1.34	2.43	
													G, Q, V, N ⁽⁶⁾	NM _y M _z	32.19	4.72	2.36	-1.34	2.52	
													G, Q ⁽¹⁾	N _c M _y V _z	35.94	-3.71	-0.82	-0.64	2.73	
		Pie	Cumple	Cumple	24.5	30.5	24.1	8.5	1.4	68.2	7.1	68.2	G, Q, V, N ⁽²⁾	M _y V _z	33.83	-4.73	-0.83	-0.65	3.25	Cumple
													G, Q, V ⁽⁵⁾	M _z V _y	31.26	-3.30	-1.97	-1.34	2.43	
													G, Q, V, N ⁽⁶⁾	NM _y M _z	32.46	-3.42	-1.97	-1.34	2.52	
													-	-	-	-	-	-	-	
Planta baja (-2.2 - 0 m)	40x40	-	-	-	-	-	-	-	-	-	-	-	-	-	-	-	-	-	-	
Cimentación	40x40	-	-	-	-	-	-	-	-	-	-	-	-	-	-	-	-	-	-	
Notas: ⁽¹⁾ 1.35·PP+1.35·CM+1.5·Qa(G1) ⁽²⁾ 1.35·PP+1.35·CM+1.05·Qa(C)+1.5·V(+Xexc.+)+0.75·N1 ⁽³⁾ 1.35·PP+1.35·CM+1.5·V(-Yexc.-)+0.75·N1 ⁽⁴⁾ 1.35·PP+1.35·CM+1.5·V(+Xexc.-)+0.75·N1 ⁽⁵⁾ 1.35·PP+1.35·CM+1.05·Qa(C)+1.5·V(-Yexc.-) ⁽⁶⁾ 1.35·PP+1.35·CM+1.05·Qa(C)+1.5·V(+Xexc.-)+0.75·N1																				

Sección de acero laminado - Situación de incendio																		
Tramo	Sección	Posición	Comprobaciones								Esfuerzos pésimos						Estado	
			N _c (%)	M _y (%)	M _z (%)	V _z (%)	V _y (%)	NM _y M _z (%)	M _z V _z (%)	Aprov. (%)	Naturaleza	Comp.	N (kN)	M _{xx} (kN·m)	M _{yy} (kN·m)	Q _x (kN)		Q _y (kN)
Cubierta Pabellon (3.85 - 6.75 m)	HE 160 B	Cabeza	5.0	3.0	4.3	2.7	0.5	11.3	2.1	11.3	G, N ⁽¹⁾	N _c	2.55	-0.09	0.11	-0.19	0.33	Cumple
											G, Q, V ⁽²⁾	M _y , V _z , NM _y M _z	2.41	-0.12	0.11	-0.19	0.43	



I. MEMORIA

																																																																																																																																																																																																																																																																																																																																																																																																																																																																																																																																																																																																															</
--	--	--	--	--	--	--	--	--	--	--	--	--	--	--	--	--	--	--	--	--	--	--	--	--	--	--	--	--	--	--	--	--	--	--	--	--	--	--	--	--	--	--	--	--	--	--	--	--	--	--	--	--	--	--	--	--	--	--	--	--	--	--	--	--	--	--	--	--	--	--	--	--	--	--	--	--	--	--	--	--	--	--	--	--	--	--	--	--	--	--	--	--	--	--	--	--	--	--	--	--	--	--	--	--	--	--	--	--	--	--	--	--	--	--	--	--	--	--	--	--	--	--	--	--	--	--	--	--	--	--	--	--	--	--	--	--	--	--	--	--	--	--	--	--	--	--	--	--	--	--	--	--	--	--	--	--	--	--	--	--	--	--	--	--	--	--	--	--	--	--	--	--	--	--	--	--	--	--	--	--	--	--	--	--	--	--	--	--	--	--	--	--	--	--	--	--	--	--	--	--	--	--	--	--	--	--	--	--	--	--	--	--	--	--	--	--	--	--	--	--	--	--	--	--	--	--	--	--	--	--	--	--	--	--	--	--	--	--	--	--	--	--	--	--	--	--	--	--	--	--	--	--	--	--	--	--	--	--	--	--	--	--	--	--	--	--	--	--	--	--	--	--	--	--	--	--	--	--	--	--	--	--	--	--	--	--	--	--	--	--	--	--	--	--	--	--	--	--	--	--	--	--	--	--	--	--	--	--	--	--	--	--	--	--	--	--	--	--	--	--	--	--	--	--	--	--	--	--	--	--	--	--	--	--	--	--	--	--	--	--	--	--	--	--	--	--	--	--	--	--	--	--	--	--	--	--	--	--	--	--	--	--	--	--	--	--	--	--	--	--	--	--	--	--	--	--	--	--	--	--	--	--	--	--	--	--	--	--	--	--	--	--	--	--	--	--	--	--	--	--	--	--	--	--	--	--	--	--	--	--	--	--	--	--	--	--	--	--	--	--	--	--	--	--	--	--	--	--	--	--	--	--	--	--	--	--	--	--	--	--	--	--	--	--	--	--	--	--	--	--	--	--	--	--	--	--	--	--	--	--	--	--	--	--	--	--	--	--	--	--	--	--	--	--	--	--	--	--	--	--	--	--	--	--	--	--	--	--	--	--	--	--	--	--	--	--	--	--	--	--	--	--	--	--	--	--	--	--	--	--	--	--	--	--	--	--	--	--	--	--	--	--	--	--	--	--	--	--	--	--	--	--	--	--	--	--	--	--	--	--	--	--	--	--	--	--	--	--	--	--	--	--	--	--	--	--	--	--	--	--	--	--	--	--	--	--	--	--	--	--	--	--	--	--	--	--	--	--	--	--	--	--	--	--	--	--	--	--	--	--	----

2.11.- G-B4

Sección de hormigón															
Tramo	Dimensión (cm)	Posición	Comprobaciones					Esfuerzos pésimos						Estado	
			Disp.	Arm.	Q (%)	N,M (%)	Aprov. (%)	Naturaleza	Comp.	N (kN)	Mxx (kN·m)	Myy (kN·m)	Qx (kN)		Qy (kN)
Planta baja (-2.9 - 0 m)	40x40	Cabeza	Cumple	Cumple	35.8	32.7	35.8	G, Q, V, N ⁽²⁾	Q,N,M	69.14	4.15	-0.04	0.05	5.34	Cumple
		-1.6 m	Cumple	Cumple	35.5	37.4	37.4	G, Q, V, N ⁽²⁾	Q,N,M	70.11	-5.45	0.06	0.05	5.34	Cumple
		-2.3 m	Cumple	Cumple	35.5	37.4	37.4	G, Q, V, N ⁽²⁾	Q,N,M	70.11	-5.45	0.06	0.05	5.34	Cumple
		Pie	Cumple	Cumple	35.5	37.4	37.4	G, Q, V, N ⁽²⁾	Q,N,M	70.11	-5.45	0.06	0.05	5.34	Cumple
Cimentación	40x40	Arranque	N.P. ⁽¹⁾	N.P. ⁽¹⁾	7.5	37.4	37.4	G, Q, V, N ⁽²⁾	Q,N,M	70.11	-5.45	0.06	0.05	5.34	Cumple
Notas: ⁽¹⁾ La comprobación no procede ⁽²⁾ 1.35·PP+1.35·CM+1.5·Qa(C)+0.9·V(-Yexc.+) +0.75·N1															

2.12.- G-B5

Sección de hormigón															
Tramo	Dimensión (cm)	Posición	Comprobaciones					Esfuerzos pésimos							Estado
			Disp.	Arm.	Q (%)	N,M (%)	Aprov. (%)	Naturaleza	Comp.	N (kN)	Mxx (kN·m)	Myy (kN·m)	Qx (kN)	Qy (kN)	
Planta baja (-2.9 - 0 m)	40x40	Cabeza	Cumple	Cumple	35.6	32.1	35.6	G, Q, V, N ⁽²⁾	Q,N,M	67.85	4.10	0.01	0.00	5.27	Cumple
		-1.6 m	Cumple	Cumple	35.4	36.8	36.8	G, Q, V, N ⁽²⁾	Q,N,M	68.83	-5.38	0.00	0.00	5.27	Cumple
		-2.3 m	Cumple	Cumple	35.4	36.8	36.8	G, Q, V, N ⁽²⁾	Q,N,M	68.83	-5.38	0.00	0.00	5.27	Cumple
		Pie	Cumple	Cumple	35.4	36.8	36.8	G, Q, V, N ⁽²⁾	Q,N,M	68.83	-5.38	0.00	0.00	5.27	Cumple
Cimentación	40x40	Arranque	N.P. ⁽¹⁾	N.P. ⁽¹⁾	7.4	36.8	36.8	G, Q, V, N ⁽²⁾	Q,N,M	68.83	-5.38	0.00	0.00	5.27	Cumple
Notas: ⁽¹⁾ La comprobación no procede ⁽²⁾ 1.35·PP+1.35·CM+1.5·Qa(C)+0.9·V(-Yexc.+)+0.75·N1															

2.13.- G-B6

Sección de hormigón															
Tramo	Dimensión (cm)	Posición	Comprobaciones					Esfuerzos p _{simos}						Estado	
			Disp.	Arm.	Q (%)	N,M (%)	Aprov. (%)	Naturaleza	Comp.	N (kN)	Mxx (kN·m)	Myy (kN·m)	Qx (kN)		Qy (kN)
Planta baja (-2.9 - 0 m)	40x40	Cabeza	Cumple	Cumple	35.2	32.0	35.2	G, Q, V, N ⁽²⁾	Q,N,M	68.00	4.05	0.01	-0.01	5.21	Cumple
		-1.6 m	Cumple	Cumple	35.0	36.6	36.6	G, Q, V, N ⁽²⁾	Q,N,M	68.97	-5.32	-0.01	-0.01	5.21	Cumple
		-2.3 m	Cumple	Cumple	35.0	36.6	36.6	G, Q, V, N ⁽²⁾	Q,N,M	68.97	-5.32	-0.01	-0.01	5.21	Cumple
		Pie	Cumple	Cumple	35.0	36.6	36.6	G, Q, V, N ⁽²⁾	Q,N,M	68.97	-5.32	-0.01	-0.01	5.21	Cumple
Cimentación	40x40	Arranque	N.P. ⁽¹⁾	N.P. ⁽¹⁾	7.3	36.6	36.6	G, Q, V, N ⁽²⁾	Q,N,M	68.97	-5.32	-0.01	-0.01	5.21	Cumple
Notas: ⁽¹⁾ La comprobación no procede ⁽²⁾ 1.35·PP+1.35·CM+1.5·Qa(C)+0.9·V(-Yexc.)+0.75·N1															

2.14.- G-B7

Sección de acero laminado - Temperatura ambiente																			
Tramo	Sección	Posición	Comprobaciones									Esfuerzos pésimos						Estado	
			$\bar{\lambda}$	λ_w	N _c (%)	M _y (%)	M _z (%)	V _z (%)	NM _y M _z (%)	M _y V _z (%)	Aprov. (%)	Naturaleza	Comp.	N (kN)	M _{xx} (kN·m)	M _{yy} (kN·m)	Q _x (kN)		Q _y (kN)
Cubierta Pabellon (3.85 - 6.75 m)	HE 140 B	Cabeza	Cumple	Cumple	9.5	32.6	0.5	6.9	40.6	6.0	40.6	G, Q ⁽¹⁾	N _c ,M _z ,NM _y ,M _z ,M _y V _z	6.93	1.81	-0.02	0.00	1.22	Cumple



I. MEMORIA

Tramo	Sección	Posición	Comprobaciones							Esfuerzos p _{simos}							Estado									
			N _c (%)	M _y (%)	M _z (%)	V _z (%)	NM _y M _z (%)	M _y V _z (%)	Aprov. (%)	Naturaleza	Comp.	N (kN)	M _{xx} (kN·m)	M _{yy} (kN·m)	Q _x (kN)	Q _y (kN)										
		Pie	Cumple	Cumple	9.7	29.9	2.9	6.9	37.3	6.0	37.3	G, Q, V, N ⁽²⁾	M _y V _z	4.95	1.91	-0.01	-0.01	1.40	Cumple							
												G, Q ⁽¹⁾	N _c M _y V _z	7.05	-1.36	-0.03	0.00	1.22								
												G, Q, V, N ⁽²⁾	M _y V _z NM _y M _z	5.07	-1.75	-0.03	-0.01	1.40								
												G, Q, V, N ⁽³⁾	M _z	5.28	-1.20	-0.09	-0.03	1.00								
Cubierta vestuarios (0 - 3.85 m)	HE 140 B	Cabeza	Cumple	Cumple	28.7	24.3	2.7	3.3	48.5	1.0	48.5	G, Q ⁽¹⁾	N _c M _y V _z	14.76	0.47	-0.02	0.03	0.19	Cumple							
												G, Q, V ⁽⁴⁾	M _y V _z	11.91	1.33	-0.02	0.03	0.67								
												G, Q, V, N ⁽³⁾	M _z	12.84	0.53	-0.08	0.04	0.22								
												G, Q, V, N ⁽²⁾	NM _y M _z	12.63	1.32	-0.02	0.03	0.66								
												G, Q ⁽¹⁾	N _c M _y V _z	14.93	-0.23	0.09	0.03	0.19								
		Pie	Cumple	Cumple	29.0	20.0	3.8	3.3	47.4	1.0	47.4	G, Q, V ⁽⁴⁾	M _y V _z	12.08	-1.10	0.09	0.03	0.67	Cumple							
												G, Q, V, N ⁽⁵⁾	M _z	13.02	-0.26	0.12	0.02	0.21								
												G, Q, V, N ⁽²⁾	NM _y M _z	12.79	-1.09	0.09	0.03	0.66								
	Notas:																									
	⁽¹⁾ 1.35·PP+1.35·CM+1.5·Qa(G1)																									
	⁽²⁾ 1.35·PP+1.35·CM+1.05·Qa(C)+1.5·V(-Yexc.+)+0.75·N1																									
⁽³⁾ 1.35·PP+1.35·CM+1.05·Qa(C)+1.5·V(-Xexc.-)+0.75·N1																										
⁽⁴⁾ 1.35·PP+1.35·CM+1.05·Qa(C)+1.5·V(-Yexc.-)																										
⁽⁵⁾ 1.35·PP+1.35·CM+1.05·Qa(C)+1.5·V(+Xexc.+)+0.75·N1																										

Sección de acero laminado - Situación de incendio																	
Tramo	Sección	Posición	Comprobaciones							Esfuerzos p _{simos}						Estado	
			N _c (%)	M _y (%)	M _z (%)	V _z (%)	NM _y M _z (%)	M _y V _z (%)	Aprov. (%)	Naturaleza	Comp.	N (kN)	M _{xx} (kN·m)	M _{yy} (kN·m)	Q _x (kN)		Q _y (kN)
Cubierta Pabellon (3.85 - 6.75 m)	HE 140 B	Cabeza	11.7	46.0	0.5	7.8	56.7	6.7	56.7	G, N ⁽¹⁾	N _c	3.49	0.94	-0.01	0.00	0.68	Cumple
										G, Q, V ⁽²⁾	M _y V _z NM _y M _z	3.23	1.07	-0.01	0.00	0.79	
										G, Q, N ⁽³⁾	M _z M _y V _z	3.49	0.94	-0.01	0.00	0.68	
		Pie	12.0	43.3	2.6	7.8	54.9	6.7	54.9	G, N ⁽¹⁾	N _c	3.58	-0.83	-0.02	0.00	0.68	Cumple
										G, Q, V ⁽²⁾	M _y V _z NM _y M _z	3.32	-1.00	-0.02	0.00	0.79	
										G, Q, V ⁽⁴⁾	M _z	3.39	-0.82	-0.04	-0.01	0.66	
Cubierta vestuarios (0 - 3.85 m)	HE 140 B	Cabeza	47.7	33.0	2.2	3.1	78.5	1.6	78.5	G, N ⁽¹⁾	N _c	9.19	0.38	-0.01	0.02	0.16	Cumple
										G, Q, V ⁽²⁾	M _y V _z NM _y M _z	8.92	0.66	-0.01	0.02	0.31	
										G, Q, V ⁽⁴⁾	M _z	8.99	0.39	-0.04	0.03	0.16	
										G, Q, N ⁽³⁾	M _y V _z	9.19	0.38	-0.01	0.02	0.16	
										G, N ⁽¹⁾	N _c	9.31	-0.19	0.06	0.02	0.16	
		Pie	48.3	23.6	4.7	3.1	74.9	1.6	74.9	G, Q, V ⁽²⁾	M _y V _z NM _y M _z	9.04	-0.47	0.07	0.02	0.31	Cumple
										G, Q, V ⁽⁵⁾	M _z	9.12	-0.19	0.08	0.02	0.16	
										G, Q, N ⁽³⁾	M _y V _z	9.31	-0.19	0.07	0.02	0.16	

Notas:

⁽¹⁾ PP+CM+0.2·N1

⁽²⁾ PP+CM+0.6·Qa(C)+0.5·V(-Yexc.+)

⁽³⁾ PP+CM+0.6·Qa(C)+0.2·N1

⁽⁴⁾ PP+CM+0.6·Qa(C)+0.5·V(-Xexc.-)

⁽⁵⁾ PP+CM+0.6·Qa(C)+0.5·V(+Xexc.+)

2.15.- G-C2

Sección de hormigón															
Tramo	Dimensión (cm)	Posición	Comprobaciones					Esfuerzos p _{simos}						Estado	
			Disp.	Arm.	Q (%)	N,M (%)	Aprov. (%)	Naturaleza	Comp.	N (kN)	Mxx (kN·m)	Myy (kN·m)	Qx (kN)		Qy (kN)
Planta baja (-2.9 - 0 m)	40x40	Cabeza	Cumple	Cumple	26.7	29.6	29.6	G, Q, V ⁽²⁾	Q	68.29	-3.04	-0.47	0.60	-3.91	Cumple
										G, Q, V, N ⁽³⁾	N,M	68.55	-3.03	-0.47	
		-1.6 m	Cumple	Cumple	26.5	32.6	32.6	G, Q, V ⁽²⁾	Q	69.27	4.00	0.61	0.60	-3.91	Cumple
										G, Q, V, N ⁽³⁾	N,M	69.52	3.99	0.62	
		-2.3 m	Cumple	Cumple	26.5	32.6	32.6	G, Q, V ⁽²⁾	Q	69.27	4.00	0.61	0.60	-3.91	Cumple
										G, Q, V, N ⁽³⁾	N,M	69.52	3.99	0.62	
		Pie	Cumple	Cumple	26.5	32.6	32.6	G, Q, V ⁽²⁾	Q	69.27	4.00	0.61	0.60	-3.91	Cumple
										G, Q, V, N ⁽³⁾	N,M	69.52	3.99	0.62	
Cimentación	40x40	Arranque	N.P. ⁽¹⁾	N.P. ⁽¹⁾	6.0	32.6	32.6	G, Q, V ⁽²⁾	Q	69.27	4.00	0.61	0.60	-3.91	Cumple
										G, Q, V, N ⁽³⁾	N,M	69.52	3.99	0.62	
Notas: ⁽¹⁾ La comprobación no procede ⁽²⁾ 1.35·PP+1.35·CM+1.5·Qa(C)+0.9·V(+Yexc.-) ⁽³⁾ 1.35·PP+1.35·CM+1.5·Qa(C)+0.9·V(+Yexc.-)+0.75·N1															

2.16.- G-C3

Sección de hormigón - Temperatura ambiente															
Tramo	Dimensión (cm)	Posición	Comprobaciones					Esfuerzos p _{simos}						Estado	
			Disp.	Arm.	Q (%)	N,M (%)	Aprov. (%)	Naturaleza	Comp.	N (kN)	Mxx (kN·m)	Myy (kN·m)	Qx (kN)		Qy (kN)
Cubierta Pabellon (3.85 - 6.75 m)	HE 160 B	-	-	-	-	-	-	-	-	-	-	-	-	-	
Cubierta vestuarios (0 - 3.85 m)	HE 160 B	-	-	-	-	-	-	-	-	-	-	-	-	-	
Planta baja (-2.2 - 0 m)	40x40	Cabeza	Cumple	Cumple	95.6	56.7	95.6	G, Q, V ⁽²⁾	Q	77.03	-9.55	0.35	-0.54	-15.07	Cumple
			G, Q, V ⁽³⁾	N,M	77.21	-9.57	0.35	-0.54	-15.07						
		-1.65 m	Cumple	Cumple	95.6	56.7	95.6	G, Q, V ⁽²⁾	Q	77.03	-9.55	0.35	-0.54	-15.07	Cumple
			G, Q, V ⁽³⁾	N,M	77.21	-9.57	0.35	-0.54	-15.07						
		Pie	Cumple	Cumple	95.2	45.5	95.2	G, Q, V ⁽²⁾	Q	77.62	7.03	-0.25	-0.54	-15.07	Cumple
			G, Q, V, N ⁽⁴⁾	N,M	78.45	7.01	-0.25	-0.54	-15.03						
Cimentación	40x40	Arranque	N.P. ⁽¹⁾	N.P. ⁽¹⁾	20.6	45.5	45.5	G, Q, V ⁽²⁾	Q	77.62	7.03	-0.25	-0.54	-15.07	Cumple
			G, Q, V, N ⁽⁴⁾	N,M	78.45	7.01	-0.25	-0.54	-15.03						



Notas:

- (1) La comprobación no procede
(2) 1.35-PP+1.35-CM+1.5-Qa(C)+0.9-V(+Yexc.+)
(3) 1.35-PP+1.35-CM+1.5-Qa(C)+0.9-V(-Yexc.-)
(4) 1.35-PP+1.35-CM+1.5-Qa(C)+0.9-V(+Yexc.+)+0.75-N1

Sección de acero laminado - Temperatura ambiente																			
Tramo	Sección	Posición	Comprobaciones									Esfuerzos pésimos						Estado	
			$\bar{\lambda}$	λ_w	N _c (%)	M _y (%)	M _z (%)	V _z (%)	NM _y M _z (%)	M _y V _z (%)	Aprov. (%)	Naturaleza	Comp.	N (kN)	M _{xx} (kN-m)	M _{yy} (kN-m)	Q _x (kN)		Q _y (kN)
Cubierta Pabellon (3.85 - 6.75 m)	HE 160 B	Cabeza	Cumple	Cumple	7.9	22.8	0.3	5.8	29.2	5.0	29.2	G, Q ⁽¹⁾	N _c NM _y M _z M _y V _z	7.97	-1.83	0.00	-0.05	-1.35	Cumple
												G, V, N ⁽²⁾	M _y V _z	5.86	-1.96	0.00	-0.04	-1.59	
		Pie	Cumple	Cumple	8.0	25.5	5.1	5.8	33.5	5.0	33.5	G, V ⁽³⁾	M _z	5.09	-1.22	-0.01	-0.08	-1.01	Cumple
												G, Q ⁽⁴⁾	N _c M _y V _z	8.12	1.68	-0.12	-0.05	-1.35	
Cubierta vestuarios (0 - 3.85 m)	HE 160 B	Cabeza	Cumple	Cumple	21.4	26.4	4.0	4.1	45.5	1.8	45.5	G, V, N ⁽²⁾	M _y V _z NM _y M _z	6.01	2.19	-0.12	-0.04	-1.59	Cumple
												G, V, N ⁽⁴⁾	M _z	6.06	1.49	-0.23	-0.08	-1.10	
		Pie	Cumple	Cumple	21.7	22.2	2.7	4.1	41.9	1.8	41.9	G, Q ⁽¹⁾	N _c M _y V _z	16.58	-1.10	0.07	0.00	-0.50	Cumple
												G, Q, V ⁽⁵⁾	M _y V _z	13.31	-2.15	0.07	0.00	-1.12	
Planta baja (-2.2 - 0 m)	40x40	-	-	-	-	-	-	-	-	-	-	G, Q, V ⁽⁶⁾	M _z	13.60	-1.13	0.18	-0.02	-0.52	-
												G, Q, V, N ⁽⁷⁾	NM _y M _z	14.15	-2.14	0.07	0.00	-1.11	
												G, Q ⁽¹⁾	N _c M _y V _z	16.79	0.68	0.08	0.00	-0.50	
												G, Q, V ⁽⁵⁾	M _y V _z	13.51	1.81	0.07	0.00	-1.12	
Cimentación	40x40	-	-	-	-	-	-	-	-	-	-	G, Q, V, N ⁽⁸⁾	M _z	14.65	0.70	0.12	-0.02	-0.51	-
												G, Q, V, N ⁽⁷⁾	NM _y M _z	14.35	1.80	0.07	0.00	-1.11	
Notas:																			
⁽¹⁾ 1.35-PP+1.35-CM+1.5-Qa(G1)																			
⁽²⁾ 1.35-PP+1.35-CM+1.5-V(+Yexc.-)+0.75-N1																			
⁽³⁾ 1.35-PP+1.35-CM+1.5-V(-Yexc.-)																			
⁽⁴⁾ 1.35-PP+1.35-CM+1.5-V(-Xexc.-)+0.75-N1																			
⁽⁵⁾ 1.35-PP+1.35-CM+1.05-Qa(C)+1.5-V(+Yexc.-)																			
⁽⁶⁾ 1.35-PP+1.35-CM+1.05-Qa(C)+1.5-V(+Xexc.-)																			
⁽⁷⁾ 1.35-PP+1.35-CM+1.05-Qa(C)+1.5-V(+Yexc.-)+0.75-N1																			
⁽⁸⁾ 1.35-PP+1.35-CM+1.05-Qa(C)+1.5-V(+Xexc.-)+0.75-N1																			

Sección de acero laminado - Situación de incendio																								
Tramo	Sección	Posición	Comprobaciones						Aprov. (%)	Esfuerzos p ^{simos}						Estado								
			N _c (%)	M _y (%)	M _z (%)	V _z (%)	NM _y M _z (%)	M _y V _z (%)		Naturaleza	Comp.	N (kN)	M _{xx} (kN-m)	M _{yy} (kN-m)	Q _x (kN)		Q _y (kN)							
Cubierta Pabellon (3.85 - 6.75 m)	HE 160 B	Cabeza	18.9	62.1	0.5	12.8	78.8	10.9	78.8	G, Q, N ⁽¹⁾	N _c M _y V _z	3.99	-0.95	0.00	-0.03	-0.78								
										G, V ⁽²⁾	M _y V _z NM _y M _z	3.75	-1.10	0.00	-0.03	-0.92								
										G, V ⁽³⁾	M _z	3.77	-0.91	-0.01	-0.05	-0.75								
		Pie	19.4	73.2	10.4	12.8	97.3	10.9	97.3	G, Q, N ⁽¹⁾	N _c M _y V _z	4.10	1.08	-0.09	-0.03	-0.78								
										G, V ⁽²⁾	M _y V _z NM _y M _z	3.86	1.30	-0.09	-0.03	-0.92								
										G, V ⁽³⁾	M _z	3.88	1.06	-0.12	-0.05	-0.75								
Cubierta vestuarios (0 - 3.85 m)	HE 160 B	Cabeza	28.6	32.5	3.4	3.7	61.4	2.4	61.4	G, N ⁽⁴⁾	N _c	10.31	-0.84	0.06	0.00	-0.38								
										G, Q, V ⁽⁵⁾	M _y V _z NM _y M _z	9.99	-1.18	0.05	0.00	-0.58								
										G, Q, V ⁽⁶⁾	M _z	10.08	-0.84	0.09	-0.01	-0.39								
		Pie	29.0	24.6	2.5	3.7	54.0	2.4	54.0	G, Q, N ⁽¹⁾	M _y V _z	10.31	-0.84	0.06	0.00	-0.39								
										G, N ⁽⁴⁾	N _c	10.46	0.52	0.05	0.00	-0.38								
										G, Q, V ⁽⁵⁾	M _y V _z NM _y M _z	10.14	0.89	0.05	0.00	-0.58								
										G, Q, V ⁽⁶⁾	M _z	10.23	0.53	0.07	-0.01	-0.39								
										G, Q, N ⁽¹⁾	M _y V _z	10.46	0.53	0.05	0.00	-0.39								
										Planta baja (-2.2 - 0 m)														
										Cimentación														
Notas:																								
(1) PP+CM+0.6-Qa(C)+0.2-N1																								
(2) PP+CM+0.5-V(+Yexc.-)																								
(3) PP+CM+0.5-V(-Xexc.-)																								
(4) PP+CM+0.2-N1																								
(5) PP+CM+0.6-Qa(C)+0.5-V(+Yexc.-)																								
(6) PP+CM+0.6-Qa(C)+0.5-V(+Xexc.-)																								

2.17.- G-C4

Sección de hormigón															
Tramo	Dimensión (cm)	Posición	Comprobaciones					Esfuerzos pésimos							Estado
			Disp.	Arm.	Q (%)	N,M (%)	Aprov. (%)	Naturaleza	Comp.	N (kN)	Mxx (kN·m)	Myy (kN·m)	Qx (kN)	Qy (kN)	
Planta baja (-2.9 - 0 m)	40x40	Cabeza	Cumple	Cumple	35.9	32.9	35.9	G, Q, V, N ⁽²⁾	Q,N,M	69.59	-4.18	-0.04	0.05	-5.37	Cumple
		-1.6 m	Cumple	Cumple	35.7	37.6	37.6	G, Q, V, N ⁽²⁾	Q,N,M	70.56	5.49	0.06	0.05	-5.37	Cumple
		-2.3 m	Cumple	Cumple	35.7	37.6	37.6	G, Q, V, N ⁽²⁾	Q,N,M	70.56	5.49	0.06	0.05	-5.37	Cumple
		Pie	Cumple	Cumple	35.7	37.6	37.6	G, Q, V, N ⁽²⁾	Q,N,M	70.56	5.49	0.06	0.05	-5.37	Cumple
Cimentación	40x40	Arranque	N.P. ⁽¹⁾	N.P. ⁽¹⁾	7.5	37.6	37.6	G, Q, V, N ⁽²⁾	Q,N,M	70.56	5.49	0.06	0.05	-5.37	Cumple
Notas:															
⁽¹⁾ La comprobación no procede															
⁽²⁾ 1.35-PP+1.35-CM+1.5-Qa(C)+0.9-V(+Yexc.-)+0.75-N1															

2.18.- G-C5

Sección de hormigón															
Tramo	Dimensión (cm)	Posición	Comprobaciones					Esfuerzos pésimos							Estado
			Disp.	Arm.	Q (%)	N,M (%)	Aprov. (%)	Naturaleza	Comp.	N (kN)	Mxx (kN·m)	Myy (kN·m)	Qx (kN)	Qy (kN)	
Planta baja (-2.9 - 0 m)	40x40	Cabeza	Cumple	Cumple	35.7	32.2	35.7	G, Q, V, N ⁽²⁾	Q,N,M	68.09	-4.11	0.01	0.00	-5.29	Cumple
		-1.6 m	Cumple	Cumple	35.5	36.9	36.9	G, Q, V, N ⁽²⁾	Q,N,M	69.06	5.40	0.00	0.00	-5.29	Cumple
		-2.3 m	Cumple	Cumple	35.5	36.9	36.9	G, Q, V, N ⁽²⁾	Q,N,M	69.06	5.40	0.00	0.00	-5.29	Cumple



Sección de hormigón															
Tramo	Dimensión (cm)	Posición	Comprobaciones					Esfuerzos p _{ésimos}						Estado	
			Disp.	Arm.	Q (%)	N,M (%)	Aprov. (%)	Naturaleza	Comp.	N (kN)	Mxx (kN·m)	Myy (kN·m)	Qx (kN)		Qy (kN)
		Pie	Cumple	Cumple	35.5	36.9	36.9	G, Q, V, N ⁽²⁾	Q,N,M	69.06	5.40	0.00	0.00		-5.29
Cimentación	40x40	Arranque	N.P. ⁽¹⁾	N.P. ⁽¹⁾	7.4	36.9	36.9	G, Q, V, N ⁽²⁾	Q,N,M	69.06	5.40	0.00	0.00	-5.29	Cumple
Notas: ⁽¹⁾ La comprobación no procede ⁽²⁾ 1.35·PP+1.35·CM+1.5·Qa(C)+0.9·V/(+Yexc.+)+0.75·N1															

2.19.- G-C6

Sección de hormigón															
Tramo	Dimensión (cm)	Posición	Comprobaciones					Esfuerzos p _{simos}						Estado	
			Disp.	Arm.	Q (%)	N,M (%)	Aprov. (%)	Naturaleza	Comp.	N (kN)	Mxx (kN·m)	Myy (kN·m)	Qx (kN)		Qy (kN)
Planta baja (-2.9 - 0 m)	40x40	Cabeza	Cumple	Cumple	35.2	32.0	35.2	G, Q, V, N ⁽²⁾	Q,N,M	68.02	-4.05	0.01	-0.01	-5.21	Cumple
		-1.6 m	Cumple	Cumple	35.0	36.6	36.6	G, Q, V, N ⁽²⁾	Q,N,M	68.99	5.33	-0.01	-0.01	-5.21	Cumple
		-2.3 m	Cumple	Cumple	35.0	36.6	36.6	G, Q, V, N ⁽²⁾	Q,N,M	68.99	5.33	-0.01	-0.01	-5.21	Cumple
		Pie	Cumple	Cumple	35.0	36.6	36.6	G, Q, V, N ⁽²⁾	Q,N,M	68.99	5.33	-0.01	-0.01	-5.21	Cumple
Cimentación	40x40	Arranque	N.P. ⁽¹⁾	N.P. ⁽¹⁾	7.3	36.6	36.6	G, Q, V, N ⁽²⁾	Q,N,M	68.99	5.33	-0.01	-0.01	-5.21	Cumple
Notas: ⁽¹⁾ La comprobación no procede ⁽²⁾ 1.35·PP+1.35·CM+1.5·Qa(C)+0.9·V(+Yexc.)+0.75·N1															

2.20.- G-C7

Sección de acero laminado - Temperatura ambiente																											
Tramo	Sección	Posición	Comprobaciones								Esfuerzos p _s imos							Estado									
			$\bar{\lambda}$	λ_{rel}	N _c (%)	M _y (%)	M _z (%)	V _z (%)	NM _y M _z (%)	M _y V _z (%)	Aprov. (%)	Naturaleza	Comp.	N (kN)	M _{xx} (kN·m)	M _{yy} (kN·m)	Q _x (kN)		Q _y (kN)								
Cubierta Pabellon (3.85 - 6.75 m)	HE 140 B	Cabeza	Cumple	Cumple	9.4	36.4	0.4	7.8	45.4	7.2	45.4	G, Q ⁽¹⁾	N _c M _z NM _y M _z M _y V _z	6.90	-2.10	-0.01	0.00	-1.45	Cumple								
												G, V, N ⁽²⁾	M _y V _z	4.91	-2.13	-0.01	0.00	-1.58									
												G, Q ⁽¹⁾	N _c M _y V _z	7.02	1.69	-0.02	0.00	-1.45									
		Pie	Cumple	Cumple	9.6	34.2	2.8	7.8	41.5	7.2	41.5	G, V, N ⁽²⁾	M _y V _z	5.03	2.00	-0.02	0.00	-1.58	Cumple								
												G, Q, V, N ⁽³⁾	M _z	5.24	1.44	-0.09	-0.03	-1.17									
												G, Q, V, N ⁽⁴⁾	NM _y M _z	5.03	2.00	-0.02	-0.01	-1.58									
Cubierta vestuarios (0 - 3.85 m)	HE 140 B	Cabeza	Cumple	Cumple	28.5	25.3	2.6	3.5	49.2	1.1	49.2	G, Q ⁽¹⁾	N _c M _y V _z	14.67	-0.54	-0.02	0.03	-0.23	Cumple								
												G, V ⁽⁵⁾	M _y V _z	11.84	-1.39	-0.02	0.03	-0.70									
												G, Q, V, N ⁽³⁾	M _z	12.76	-0.57	-0.08	0.04	-0.24									
												G, Q, V, N ⁽⁴⁾	NM _y M _z	12.54	-1.37	-0.02	0.03	-0.69									
												G, Q ⁽¹⁾	N _c M _y V _z	14.84	0.30	0.09	0.03	-0.23									
		Pie	Cumple	Cumple	28.8	21.1	3.8	3.5	48.3	1.1	48.3	G, V ⁽⁵⁾	M _y V _z	12.01	1.16	0.09	0.03	-0.70	Cumple								
												G, Q, V, N ⁽⁶⁾	M _z	12.93	0.34	0.12	0.02	-0.25									
												G, Q, V, N ⁽⁴⁾	NM _y M _z	12.71	1.15	0.09	0.03	-0.69									

Notas:
(1) 1.35·PP+1.35·CM+1.5·Qa(G1)
(2) 1.35·PP+1.35·CM+1.5·V(+Yexc.+)+0.75·N1
(3) 1.35·PP+1.35·CM+1.05·Qa(C)+1.5·V(-Xexc.+)+0.75·N1
(4) 1.35·PP+1.35·CM+1.05·Qa(C)+1.5·V(+Yexc.+)+0.75·N1
(5) 1.35·PP+1.35·CM+1.5·V(+Yexc.+)
(6) 1.35·PP+1.35·CM+1.05·Qa(C)+1.5·V(+Xexc.-)+0.75·N1

Sección de acero laminado - Situación de incendio																	
Tramo	Sección	Posición	Comprobaciones							Esfuerzos pésimos						Estado	
			N _c (%)	M _y (%)	M _z (%)	V _z (%)	NM _y M _z (%)	M _y V _z (%)	Aprov. (%)	Naturaleza	Comp.	N (kN)	Mxx (kN·m)	Myy (kN·m)	Qx (kN)		Qy (kN)
Cubierta Pabellon (3.85 - 6.75 m)	HE 140 B	Cabeza	11.6	52.6	0.5	9.1	63.0	8.0	63.0	G, Q, N ⁽¹⁾	N _c M _y V _z	3.46	-1.09	-0.01	0.00	-0.80	Cumple
										G, V ⁽²⁾	M _y V _z NM _y M _z	3.20	-1.22	-0.01	0.00	-0.92	
										G, Q, V ⁽³⁾	M _z	3.27	-1.04	-0.01	-0.01	-0.78	
		Pie	11.9	50.7	2.5	9.1	62.0	8.0	62.0	G, Q, N ⁽¹⁾	N _c M _y V _z	3.55	1.01	-0.02	0.00	-0.80	Cumple
										G, V ⁽²⁾	M _y V _z	3.29	1.17	-0.02	0.00	-0.92	
										G, Q, V ⁽³⁾	M _z	3.36	0.99	-0.04	-0.01	-0.78	
Cubierta vestuarios (0 - 3.85 m)	HE 140 B	Cabeza	47.4	35.0	2.1	3.3	79.9	1.8	79.9	G, N ⁽⁵⁾	N _c	9.13	-0.42	-0.01	0.02	-0.18	Cumple
										G, V ⁽²⁾	M _y V _z	8.87	-0.70	-0.01	0.02	-0.33	
										G, Q, V ⁽³⁾	M _z	8.94	-0.43	-0.03	0.02	-0.18	
										G, Q, V ⁽⁴⁾	NM _y M _z	8.87	-0.70	-0.01	0.02	-0.33	
										G, Q, N ⁽¹⁾	M _y V _z	9.13	-0.42	-0.01	0.02	-0.18	
		Pie	48.0	25.9	4.7	3.3	76.7	1.8	76.7	G, N ⁽⁵⁾	N _c	9.25	0.23	0.06	0.02	-0.18	Cumple
										G, V ⁽²⁾	M _y V _z	8.99	0.51	0.06	0.02	-0.33	
										G, Q, V ⁽⁶⁾	M _z	9.06	0.24	0.08	0.02	-0.19	
										G, Q, V ⁽⁴⁾	NM _y M _z	8.99	0.51	0.07	0.02	-0.33	
										G, Q, N ⁽¹⁾	M _y V _z	9.25	0.23	0.07	0.02	-0.18	
Notas: ⁽¹⁾ PP+CM+0.6·Qa(C)+0.2·N1 ⁽²⁾ PP+CM+0.5·V(+Yexc. +) ⁽³⁾ PP+CM+0.6·Qa(C)+0.5·V(-Xexc. +) ⁽⁴⁾ PP+CM+0.6·Qa(C)+0.5·V(+Yexc. +) ⁽⁵⁾ PP+CM+0.2·N1 ⁽⁶⁾ PP+CM+0.6·Qa(C)+0.5·V(+Xexc. -)																	

2.21.- G-D1

Sección de acero laminado - Temperatura ambiente
--



I. MEMORIA

Tramo	Sección	Posición	Comprobaciones										Esfuerzos p _{simos}							Estado
			$\bar{\lambda}$	λ_w	N _c (%)	M _y (%)	M _z (%)	V _z (%)	V _y (%)	NM _y M _z (%)	M _y V _z (%)	Aprov. (%)	Naturaleza	Comp.	N (kN)	M _{xx} (kN·m)	M _{yy} (kN·m)	Q _x (kN)	Q _y (kN)	
Cubierta vestuarios (0 - 3.85 m)	HE 240 B	Cabeza	Cumple	Cumple	11.5	69.1	22.9	16.2	1.3	98.0	16.2	98.0	G, Q ⁽¹⁾	N _c M _y NM _y M _z M _y V _z	24.51	-17.32	2.54	-1.21	-7.99	Cumple
													G, V, N ⁽²⁾	M _z V _y	22.75	-15.72	2.93	-1.60	-7.17	
													G, Q, V, N ⁽³⁾	V _z	22.94	-16.75	2.36	-1.12	-8.02	
		Pie	Cumple	Cumple	11.7	37.8	17.9	16.2	1.3	57.8	16.2	57.8	G, Q ⁽¹⁾	N _c M _y V _z	24.87	8.82	-1.42	-1.21	-7.99	Cumple
													G, Q, V, N ⁽³⁾	M _y V _z	23.31	9.47	-1.29	-1.12	-8.02	
													G, V, N ⁽²⁾	M _z V _y	23.12	7.71	-2.29	-1.60	-7.17	
Notas: ⁽¹⁾ 1.35·PP+1.35·CM+1.5·Qa(G1) ⁽²⁾ 1.35·PP+1.35·CM+1.5·V(-Xexc.-)+0.75·N1 ⁽³⁾ 1.35·PP+1.35·CM+1.05·Qa(C)+1.5·V(-Xexc.-)+0.75·N1 ⁽⁴⁾ 1.35·PP+1.35·CM+1.05·Qa(C)+1.5·V(-Xexc.-)+0.75·N1																				

Sección de acero laminado - Situación de incendio																	
Tramo	Sección	Posición	Comprobaciones							Esfuerzos p _{simos}							Estado
			N _c (%)	M _y (%)	M _z (%)	V _z (%)	NM _y M _z (%)	M _y V _z (%)	Aprov. (%)	Naturaleza	Comp.	N (kN)	M _{xx} (kN·m)	M _{yy} (kN·m)	Q _x (kN)	Q _y (kN)	
Cubierta vestuarios (0 - 3.85 m)	HE 240 B	Cabeza	10.1	65.1	18.2	13.5	89.5	13.1	89.5	G, N ⁽¹⁾	N _c	16.47	-11.59	1.75	-0.83	-5.35	Cumple
										G, V ⁽²⁾	M _y	16.37	-11.70	1.73	-0.82	-5.50	
										G, V ⁽³⁾	M _z	16.31	-11.36	1.92	-0.98	-5.21	
										G, Q, V ⁽⁴⁾	V _z	16.37	-11.70	1.73	-0.82	-5.50	
										G, V ⁽⁵⁾	NM _y M _z	16.37	-11.69	1.74	-0.83	-5.49	
										G, Q, N ⁽⁶⁾	M _y V _z	16.47	-11.59	1.75	-0.83	-5.35	
		Pie	10.2	34.9	12.2	13.5	53.2	13.1	53.2	G, N ⁽¹⁾	N _c	16.74	5.90	-0.98	-0.83	-5.35	Cumple
										G, Q, V ⁽⁴⁾	M _y ,V _z	16.65	6.27	-0.96	-0.82	-5.50	
										G, V ⁽³⁾	M _z	16.58	5.69	-1.29	-0.98	-5.21	
										G, Q, V ⁽⁷⁾	NM _y M _z	16.65	6.26	-0.98	-0.83	-5.49	
										G, Q, N ⁽⁶⁾	M _y V _z	16.74	5.91	-0.98	-0.83	-5.35	
										Notas: (1) PP+CM+0.2·N1 (2) PP+CM+0.5·V(-Xexc.-) (3) PP+CM+0.5·V(-Yexc.-) (4) PP+CM+0.6·Qa(C)+0.5·V(-Xexc.-) (5) PP+CM+0.5·V(-Xexc.+) (6) PP+CM+0.6·Qa(C)+0.2·N1 (7) PP+CM+0.6·Qa(C)+0.5·V(-Xexc.+)							

2.22.- G-D2

Sección de acero laminado - Temperatura ambiente																			
Tramo	Sección	Posición	Comprobaciones										Esfuerzos p _{simos}						Estado
			$\bar{\lambda}$	λ_w	N _c (%)	M _y (%)	M _z (%)	V _z (%)	NM _y M _z (%)	M _y V _z (%)	Aprov. (%)	Naturaleza	Comp.	N (kN)	M _{xx} (kN·m)	M _{yy} (kN·m)	Q _x (kN)	Q _y (kN)	
Cubierta vestuarios (0 - 3.85 m)	HE 220 B	Cabeza	Cumple	Cumple	24.6	38.7	16.2	9.4	76.9	8.5	76.9	G, Q ⁽¹⁾	N _c ,M _z ,NM _y M _z ,M _y V _z	44.33	7.42	1.70	-0.90	3.66	Cumple
		Pie	Cumple	Cumple	24.8	26.8	15.5	9.4	61.1	8.5	61.1	G, Q ⁽¹⁾	N _c ,M _y V _z	44.64	-4.55	-1.25	-0.90	3.66	Cumple
												G, Q, V, N ⁽²⁾	M _y ,V _z ,NM _y ,M _z	41.12	7.80	1.57	-0.86	4.03	
												G, Q, V, N ⁽³⁾	M _z	41.34	-4.59	-1.63	-0.98	3.60	
Notas: ⁽¹⁾ 1.35·PP+1.35·CM+1.5·Qa(G1) ⁽²⁾ 1.35·PP+1.35·CM+1.05·Qa(C)+1.5·V(+Xexc.-)+0.75·N1 ⁽³⁾ 1.35·PP+1.35·CM+1.05·Qa(C)+1.5·V(-Yexc.-)+0.75·N1																			

Sección de acero laminado - Situación de incendio																	
Tramo	Sección	Posición	Comprobaciones							Esfuerzos p _{simos}						Estado	
			N _c (%)	M _y (%)	M _z (%)	V _z (%)	NM _y M _z (%)	M _y V _z (%)	Aprov. (%)	Naturaleza	Comp.	N (kN)	M _{xx} (kN·m)	M _{yy} (kN·m)	Q _x (kN)		Q _y (kN)
Cubierta vestuarios (0 - 3.85 m)	HE 220 B	Cabeza	23.4	39.6	14.0	8.0	76.1	7.4	76.1	G, Q, N ⁽¹⁾	N _c ,M _y V _z	29.68	4.97	1.13	-0.62	2.45	Cumple
										G, Q, V ⁽²⁾	M _y ,V _z	29.38	5.23	1.12	-0.62	2.64	
										G, N ⁽³⁾	M _z	29.68	4.97	1.14	-0.61	2.45	
										G, V ⁽⁴⁾	NM _y M _z	29.38	5.22	1.13	-0.60	2.64	
		Pie	23.6	25.8	12.5	8.0	59.9	7.4	59.9	G, Q, N ⁽¹⁾	N _c ,M _y V _z	29.92	-3.05	-0.89	-0.62	2.45	Cumple
										G, Q, V ⁽²⁾	M _y ,V _z ,NM _y M _z	29.61	-3.41	-0.89	-0.62	2.64	
										G, Q, V ⁽⁵⁾	M _z	29.58	-3.14	-1.01	-0.65	2.49	
										Notas: ⁽¹⁾ PP+CM+0.6·Qa(C)+0.2·N1 ⁽²⁾ PP+CM+0.6·Qa(C)+0.5·V(+Xexc.-) ⁽³⁾ PP+CM+0.2·N1 ⁽⁴⁾ PP+CM+0.5·V(+Xexc.-) ⁽⁵⁾ PP+CM+0.6·Qa(C)+0.5·V(-Yexc.-)							

2.23.- G-D3

Sección de acero laminado - Temperatura ambiente																			
Tramo	Sección	Posición	$\bar{\lambda}$	λ_w	Comprobaciones							Esfuerzos p _{símos}						Estado	
					N _c (%)	M _y (%)	M _z (%)	V _z (%)	NM _y M _z (%)	M _y V _z (%)	Aprov. (%)	Naturaleza	Comp.	N (kN)	M _{xx} (kN·m)	M _{yy} (kN·m)	Q _x (kN)		Q _y (kN)
Cubierta Pabellon (3.85 - 6.75 m)	HE 220 B	Cabeza	Cumple	Cumple	3.0	22.2	1.7	8.2	26.3	8.2	26.3	G _c Q ⁽¹⁾	N _c M _y V _z NM _y M _z M _y V _z	5.99	4.60	0.14	-0.07	3.50	Cumple
												G _c Q, V, N ⁽²⁾	M _z	4.86	3.35	0.18	0.06	2.79	
		Pie	Cumple	Cumple	3.1	21.9	4.5	8.2	25.7	8.2	25.7	G _c Q ⁽¹⁾	N _c M _y V _z M _y V _z	6.24	-4.54	-0.03	-0.07	3.50	Cumple
												G _c V ⁽³⁾	M _z	4.60	-3.80	-0.47	-0.22	2.57	



												G _r , V _r N ⁽⁶⁾	NM _M V _Z	5.12	-4.01	-0.47	-0.22	2.83	
												G _r , Q ⁽¹⁾	N _Z M _i V _Z	28.89	2.43	-0.18	0.21	1.34	
		Cabeza	Cumple	Cumple	16.2	19.9	4.8	6.2	35.6	3.1	35.6	G _r , Q _r V ⁽⁵⁾	M _r V _Z	26.39	4.00	-0.11	0.17	2.66	Cumple
												G _r , V _r N ⁽⁶⁾	M _Z	26.65	2.67	-0.51	0.25	1.46	
												G _r , Q _r V _r N ⁽⁶⁾	NM _M V _Z	27.24	3.90	-0.13	0.18	2.61	
Cubierta vestuarios (0 - 3.85 m)	HE 220 B											G _r , Q ⁽¹⁾	N _Z M _i V _Z	29.21	-2.01	0.52	0.21	1.34	
		Pie	Cumple	Cumple	16.3	23.9	5.9	6.2	42.9	3.1	42.9	G _r , Q _r V ⁽⁵⁾	M _r V _Z	26.71	-4.80	0.45	0.17	2.66	Cumple
												G _r , V _r N ⁽⁶⁾	M _Z	27.22	-2.35	0.62	0.13	1.53	
												G _r , Q _r V _r N ⁽⁶⁾	NM _M V _Z	27.56	-4.75	0.47	0.18	2.61	

Notas:

(1) 1.35-PP+1.35-CM+1.5-Qa(G1)
(2) 1.35-PP+1.35-CM+1.05-Qa(C)+1.5-V(+Xexc.+)+0.75-N1
(3) 1.35-PP+1.35-CM+1.5-V(-Xexc.+)
(4) 1.35-PP+1.35-CM+1.5-V(-Xexc.+)+0.75-N1
(5) 1.35-PP+1.35-CM+1.05-Qa(C)+1.5-V(-Yexc.-)
(6) 1.35-PP+1.35-CM+1.05-Qa(C)+1.5-V(-Yexc.-)+0.75-N1
(7) 1.35-PP+1.35-CM+1.05-Qa(C)+1.5-V(+Yexc.)+0.75-N1

2.24.- G-D4

Sección de acero laminado - Situación de incendio																	
Tramo	Sección	Posición	Comprobaciones						Aprov. (%)	Esfuerzos pésimos						Estado	
			N _c (%)	M _v (%)	M _z (%)	V _z (%)	NM _z M _z (%)	M _v V _z (%)		Naturaleza	Comp.	N (kN)	M _{xx} (kN·m)	M _{yy} (kN·m)	Q _x (kN)		Q _y (kN)
Cubierta Pabellon (3.85 - 6.75 m)	HE 260 B	Cabeza	5.7	51.7	0.6	17.9	57.3	17.9	57.3	G, N ⁽¹⁾	N _c V _z	12.78	14.31	-0.03	-0.03	8.41	Cumple
										G, Q, V ⁽²⁾	M _v	12.25	14.35	-0.02	-0.03	8.14	
										G, V ⁽³⁾	M _z	12.12	13.48	-0.08	-0.11	7.92	
										G, Q, N ⁽⁴⁾	NM _z M _z M _v V _z	12.78	14.31	-0.03	-0.03	8.38	
		Pie	5.7	14.7	2.4	17.9	20.9	17.9	20.9	G, N ⁽¹⁾	N _c V _z	12.98	-3.94	-0.10	-0.03	8.41	Cumple
										G, V ⁽⁵⁾	M _v NM _z M _z	12.20	-4.09	-0.13	-0.04	7.73	
										G, V ⁽³⁾	M _z	12.32	-3.71	-0.31	-0.11	7.92	
										G, Q, N ⁽⁴⁾	M _v V _z	12.98	-3.88	-0.10	-0.03	8.38	
Cubierta vestuarios (0 - 3.85 m)	HE 260 B	Cabeza	21.9	29.1	3.5	5.3	51.1	4.0	51.1	G, N ⁽¹⁾	N _c	22.00	-3.49	-0.06	0.16	-1.13	Cumple
										G, V ⁽⁵⁾	M _v V _z	21.22	-3.56	-0.09	0.18	-1.44	
										G, V ⁽³⁾	M _z NM _z M _z	21.34	-3.28	-0.26	0.19	-1.05	
										G, Q, N ⁽⁴⁾	M _v V _z	22.00	-3.45	-0.06	0.16	-1.06	
		Pie	22.2	13.3	8.0	5.3	42.0	4.0	42.0	G, N ⁽¹⁾	N _c	22.34	0.61	0.51	0.16	-1.13	Cumple
										G, V ⁽⁶⁾	M _v	21.54	1.62	0.50	0.16	-1.42	
										G, Q, V ⁽⁷⁾	M _z	21.68	0.29	0.60	0.13	-0.98	
										G, V ⁽⁵⁾	V _z NM _z M _z	21.56	1.62	0.56	0.18	-1.44	
									G, Q, N ⁽⁴⁾	M _v V _z	22.34	0.39	0.51	0.16	-1.06		
Notas:																	
⁽¹⁾ PP+CM+0.2·N1																	
⁽²⁾ PP+CM+0.6·Qa(C)+0.5·V(-Yexc.-)																	
⁽³⁾ PP+CM+0.5·V(-Xexc.+)																	
⁽⁴⁾ PP+CM+0.6·Qa(C)+0.2·N1																	
⁽⁵⁾ PP+CM+0.5·V(+Yexc.+)																	
⁽⁶⁾ PP+CM+0.5·V(+Yexc.-)																	
⁽⁷⁾ PP+CM+0.6·Qa(C)+0.5·V(+Xexc.-)																	



2.25.- G-D5

Sección de acero laminado - Temperatura ambiente																			
Tramo	Sección	Posición	$\bar{\lambda}$	λ_w	Comprobaciones							Esfuerzos p _{simos}							Estado
					N _c (%)	M _y (%)	M _z (%)	V _z (%)	NM _y M _z (%)	M _y V _z (%)	Aprov. (%)	Naturaleza	Comp.	N (kN-m)	M _{xx} (kN-m)	M _{yy} (kN-m)	Q _x (kN)	Q _y (kN)	
Cubierta Pabellon (3.85 - 6.75 m)	HE 260 B	Cabeza	Cumple	Cumple	8.8	87.0	1.2	30.1	95.3	30.1	95.3	G, Q ⁽¹⁾	N _c M _y V _z NM _y M _z M _y V _z	24.55	28.72	-0.04	-0.04	16.81	Cumple
			G, V, N ⁽²⁾	M _z	18.75	20.91	-0.18	-0.27	12.21										
		Pie	Cumple	Cumple	8.9	23.5	4.9	30.1	32.5	30.1	32.5	G, Q ⁽¹⁾	N _c M _y V _z NM _y M _z M _y V _z	24.82	-7.75	-0.13	-0.04	16.81	Cumple
			G, V ⁽³⁾	M _z	16.55	-4.72	-0.76	-0.27	10.38										
Cubierta vestuarios (0 - 3.85 m)	HE 260 B	Cabeza	Cumple	Cumple	15.8	22.8	4.5	5.3	38.7	4.4	38.7	G, Q ⁽¹⁾	N _c M _y NM _y M _z M _y V _z	37.23	-6.92	-0.08	0.23	-2.44	Cumple
			G, V ⁽³⁾	M _z	28.71	-4.16	-0.69	0.30	-1.32										
			G, V, N ⁽⁴⁾	V _z	30.80	-5.94	-0.15	0.28	-2.94										
		Pie	Cumple	Cumple	16.0	15.4	6.4	5.3	33.6	4.4	33.6	G, Q ⁽¹⁾	N _c M _y V _z	37.68	1.90	0.75	0.23	-2.44	Cumple
			G, V, N ⁽⁴⁾	M _y V _z NM _y M _z	31.26	4.68	0.86	0.28	-2.94										
			G, Q, V, N ⁽⁵⁾	M _z	31.64	0.64	1.00	0.13	-1.53										
			Notas: (1) 1.35-PP+1.35-CM+1.5-Qa(G1) (2) 1.35-PP+1.35-CM+1.5-V(-Xexc.+)+0.75-N1 (3) 1.35-PP+1.35-CM+1.5-V(-Xexc.+)+0.75-N1 (4) 1.35-PP+1.35-CM+1.5-V(+Yexc.+)+0.75-N1 (5) 1.35-PP+1.35-CM+1.05-Qa(C)+1.5-V(+Xexc.-)+0.75-N1																

Sección de acero laminado - Situación de incendio																							
Tramo	Sección	Posición	Comprobaciones							Esfuerzos p _{simos}							Estado						
			N _c (%)	M _y (%)	M _z (%)	V _z (%)	NM _y M _z (%)	M _y V _z (%)	Aprov. (%)	Naturaleza	Comp.	N (kN)	M _{xx} (kN-m)	M _{yy} (kN-m)	Q _x (kN)	Q _y (kN)							
Cubierta Pabellon (3.85 - 6.75 m)	HE 260 B	Cabeza	5.6	50.7	0.6	17.5	56.2	17.4	56.2	G, N ⁽¹⁾	N _c V _z	12.72	14.02	-0.03	-0.03	8.18	Cumple						
										G, Q, V ⁽²⁾	M _y	12.18	14.05	-0.02	-0.02	7.85							
										G, V ⁽³⁾	M _z	12.06	13.19	-0.08	-0.11	7.69							
										G, Q, N ⁽⁴⁾	NM _y M _z ,M _y V _z	12.72	14.02	-0.03	-0.03	8.15							
		Pie	5.7	14.2	2.4	17.5	20.3	17.4	20.3	G, N ⁽¹⁾	N _c V _z	12.92	-3.72	-0.10	-0.03	8.18	Cumple						
										G, V ⁽⁵⁾	M _y ,NM _y M _z	12.13	-3.93	-0.13	-0.04	7.50							
										G, V ⁽³⁾	M _z	12.26	-3.49	-0.31	-0.11	7.69							
										G, Q, N ⁽⁴⁾	M _y V _z	12.92	-3.66	-0.10	-0.03	8.15							
Cubierta vestuarios (0 - 3.85 m)	HE 260 B	Cabeza	21.8	27.9	3.5	5.2	49.5	3.7	49.5	G, N ⁽¹⁾	N _c	21.93	-3.29	-0.06	0.16	-1.06	Cumple						
										G, V ⁽⁵⁾	M _y ,V _z ,NM _y M _z	21.14	-3.41	-0.08	0.18	-1.41							
										G, V ⁽³⁾	M _z	21.27	-3.08	-0.26	0.19	-0.98							
										G, Q, N ⁽⁴⁾	M _y V _z	21.93	-3.25	-0.06	0.16	-0.99							
										G, N ⁽¹⁾	N _c	22.26	0.53	0.51	0.16	-1.06							
		Pie	22.2	13.7	8.1	5.2	42.4	3.7	42.4	G, V ⁽⁵⁾	M _y ,V _z ,NM _y M _z	21.48	1.67	0.56	0.18	-1.41	Cumple						
										G, Q, V ⁽⁶⁾	M _z	21.60	0.24	0.60	0.13	-0.91							
										G, Q, N ⁽⁴⁾	M _y V _z	22.26	0.32	0.51	0.16	-0.99							

Notas:

(1) $PP+CM+0.2 \cdot N1$
(2) $PP+CM+0.6 \cdot Qa(C)+0.5 \cdot V(-Yexc. +)$
(3) $PP+CM+0.5 \cdot V(-Xexc. +)$
(4) $PP+CM+0.6 \cdot Qa(C)+0.2 \cdot N1$
(5) $PP+CM+0.5 \cdot V(+Yexc. +)$
(6) $PP+CM+0.6 \cdot Qa(C)+0.5 \cdot V(+Xexc. -)$

2.26.- G-D6

Sección de acero laminado - Temperatura ambiente																					
Tramo	Sección	Posición	$\bar{\lambda}$	λ_{wv}	Comprobaciones						Aprov. (%)	Esfuerzos pésimos						Estado			
					N _c (%)	M _y (%)	M _z (%)	V _z (%)	NM _y M _z (%)	M _y V _z (%)		Naturaleza	Comp.	N (kN)	M _{xx} (kN-m)	M _{yy} (kN-m)	Q _x (kN)		Q _y (kN)		
Cubierta Pabellon (3.85 - 6.75 m)	HE 260 B	Cabeza	Cumple	Cumple	8.8	85.3	1.2	29.3	93.6	29.3	93.6	G, Q ⁽¹⁾	N _c M _y V _z NM _y M _z M _y V _z	24.44	28.17	-0.04	-0.04	16.37	Cumple		
		Pie	Cumple	Cumple	8.9	22.3	4.9	29.3	31.3	29.3	31.3	G, V, N ⁽²⁾	M _z	18.66	20.45	-0.19	-0.27	11.85			
Cubierta vestuarios (0 - 3.85 m)	HE 260 B											G, Q ⁽¹⁾	N _c M _y V _z NM _y M _z M _y V _z	24.71	-7.34	-0.13	-0.04	16.37	Cumple		
													G, V ⁽³⁾	M _z	16.47	-4.42	-0.76	-0.27	10.05		
													G, Q ⁽¹⁾	N _c M _y NM _y M _z M _y V _z	37.14	-6.55	-0.07	0.23	-2.30	Cumple	
													G, V ⁽³⁾	M _z	28.65	-3.89	-0.69	0.30	-1.22		
													G, V, N ⁽⁴⁾	V _z	30.71	-5.76	-0.15	0.28	-2.96		
													G, Q ⁽¹⁾	N _c M _y V _z	37.59	1.76	0.75	0.23	-2.30	Cumple	
Pie	Cumple	Cumple	16.0	16.2	6.4	5.3	34.4	4.1	34.4	G, V, N ⁽⁴⁾	M _y V _z NM _y M _z	31.16	4.93	0.86	0.28	-2.96					
											G, Q, V, N ⁽⁵⁾	M _z	31.56	0.57	1.00	0.13	-1.43				
Notas: (1) 1.35-PP+1.35-CM+1.5-Qa(G1) (2) 1.35-PP+1.35-CM+1.5-V(-Xexc.+)+0.75-N1 (3) 1.35-PP+1.35-CM+1.5-V(-Xexc.+) (4) 1.35-PP+1.35-CM+1.5-V(+Yexc.+)+0.75-N1 (5) 1.35-PP+1.35-CM+1.05-Qa(C)+1.5-V(+Xexc.-)+0.75-N1																					

Sección de acero laminado - Situación de incendio																	
Tramo	Sección	Posición	Comprobaciones							Esfuerzos pésimos							Estado
			N _c (%)	M _y (%)	M _z (%)	V _z (%)	NM _y M _z (%)	M _y V _z (%)	Aprov. (%)	Naturaleza	Comp.	N (kN)	M _{xx} (kN·m)	M _{yy} (kN·m)	Q _x (kN)	Q _y (kN)	
Cubierta Pabellon (3.85 - 6.75 m)	HE 260 B	Cabeza	5.6	49.9	0.6	16.9	55.2	16.9	55.2	G, Q, N ⁽¹⁾	N _c M _y V _z	12.66	13.73	-0.03	-0.03	7.91	Cumple
										G, Q, V ⁽²⁾	M _y NM _y M _z	12.14	13.83	-0.02	-0.02	7.63	
										G, V ⁽³⁾	M _z	12.00	12.89	-0.08	-0.11	7.45	
		Pie	5.7	13.6	2.4	16.9	19.7	16.9	19.7	G, N ⁽⁴⁾	V _z	12.66	13.72	-0.03	-0.03	7.94	Cumple
										G, Q, N ⁽¹⁾	N _c M _y V _z	12.86	-3.44	-0.10	-0.03	7.91	
										G, V ⁽⁵⁾	M _y NM _y M _z	12.07	-3.76	-0.13	-0.04	7.26	
Cubierta vestuarios (0 - 3.85 m)	HE 260 B	Cabeza	21.8	26.6	3.5	5.1	48.2	3.4	48.2	G, Q, N ⁽¹⁾	N _c M _y V _z	21.88	-3.04	-0.06	0.16	-0.91	Cumple
										G, V ⁽⁵⁾	M _y V _z NM _y M _z	21.09	-3.25	-0.08	0.18	-1.38	
										G, V ⁽³⁾	M _z	21.22	-2.88	-0.26	0.19	-0.90	
		Pie	22.1	14.1	8.0	5.1	42.6	3.4	42.6	G, Q, N ⁽¹⁾	N _c M _y V _z	22.22	0.25	0.51	0.16	-0.91	Cumple
										G, V ⁽⁵⁾	M _y V _z NM _y M _z	21.42	1.72	0.55	0.18	-1.38	
										G, Q, V ⁽⁶⁾	M _z	21.56	0.18	0.60	0.13	-0.84	
Notas:																	
⁽¹⁾ PP+CM+0.6·Qa(C)+0.2·N1																	
⁽²⁾ PP+CM+0.6·Qa(C)+0.5·V(-Yexc. +)																	
⁽³⁾ PP+CM+0.5·V(-Xexc. +)																	
⁽⁴⁾ PP+CM+0.2·N1																	
⁽⁵⁾ PP+CM+0.5·V(+Yexc. +)																	
⁽⁶⁾ PP+CM+0.5·Qa(C)+0.5·V(+Xexc. -)																	



2.27.- G-D7

Sección de acero laminado - Temperatura ambiente																				
Tramo	Sección	Posición	Comprobaciones										Esfuerzos p _{simos}							Estado
			$\bar{\lambda}$	λ_{sw}	N _x (%)	M _y (%)	M _z (%)	V _z (%)	NM _y M _z (%)	M _y V _z (%)	Aprov. (%)	Naturaleza	Comp.	N (kN)	M _{xx} (kN-m)	M _{yy} (kN-m)	Q _x (kN)	Q _y (kN)		
Cubierta Pabellon (3.85 - 6.75 m)	HE 220 B	Cabeza	Cumple	Cumple	3.0	22.3	1.5	7.5	26.3	7.5	26.3	G, Q ⁽¹⁾	N _x M _y V _z NM _y M _z M _y V _z	6.03	4.62	-0.12	0.15	3.24	Cumple	
												G, Q, V, N ⁽²⁾	M _z	4.89	3.36	-0.15	0.02	2.61		
		Pie	Cumple	Cumple	3.1	19.0	5.7	7.5	24.2	7.5	24.2	G, Q ⁽¹⁾	N _c V _z M _y V _z	6.28	-3.82	0.26	0.15	3.24	Cumple	
												G, V, N ⁽³⁾	M _y	5.06	-3.94	0.21	0.13	2.67		
Cubierta vestuarios (0 - 3.85 m)	HE 220 B	Cabeza	Cumple	Cumple	10.6	20.1	6.4	5.2	32.4	1.8	32.4	G, V, N ⁽⁴⁾	M _z NM _y M _z	5.15	-3.46	0.60	0.26	2.62	Cumple	
												G, Q ⁽¹⁾	N _c M _y V _z	18.02	1.94	-0.34	0.26	0.77		
												G, Q, V ⁽⁵⁾	M _y V _z NM _y M _z	16.62	3.99	-0.31	0.21	2.23		
												G, Q, V ⁽⁶⁾	M _z	16.12	2.20	-0.68	0.29	0.88		
		Pie	Cumple	Cumple	10.8	20.4	6.8	5.2	34.3	1.8	34.3	G, Q ⁽¹⁾	N _c M _y V _z	18.37	-0.85	0.58	0.26	0.77	Cumple	
												G, Q, V ⁽⁵⁾	M _y V _z	16.97	-4.06	0.45	0.21	2.23		
												G, Q, V, N ⁽⁷⁾	M _z	16.99	-0.86	0.72	0.20	0.81		
												G, Q, V, N ⁽⁸⁾	NM _y M _z	17.49	-4.01	0.46	0.21	2.19		
Notas:																				
⁽¹⁾ 1.35-PP+1.35-CM+1.5-Qa(G1)																				
⁽²⁾ 1.35-PP+1.35-CM+1.05-Qa(C)+1.5-V(-Xexc.+)+0.75-N1																				
⁽³⁾ 1.35-PP+1.35-CM+1.5-V(+Xexc.+)+0.75-N1																				
⁽⁴⁾ 1.35-PP+1.35-CM+1.5-V(+Xexc.+)+0.75-N1																				
⁽⁵⁾ 1.35-PP+1.35-CM+1.05-Qa(C)+1.5-V(-Xexc.+)																				
⁽⁶⁾ 1.35-PP+1.35-CM+1.05-Qa(C)+1.5-V(-Xexc.+)																				
⁽⁷⁾ 1.35-PP+1.35-CM+1.05-Qa(C)+1.5-V(+Xexc.-)+0.75-N1																				
⁽⁸⁾ 1.35-PP+1.35-CM+1.05-Qa(C)+1.5-V(-Xexc.-)+0.75-N1																				

Sección de acero laminado - Situación de incendio																		
Tramo	Sección	Posición	Comprobaciones							Aprov. (%)	Esfuerzos pésimos							Estado
			N _x (%)	M _y (%)	M _z (%)	V _z (%)	NM _y M _z (%)	M _y V _z (%)	Naturaleza		Comp.	N (kN)	M _{xx} (kN-m)	M _{yy} (kN-m)	Q _x (kN)	Q _y (kN)		
Cubierta Pabellon (3.85 - 6.75 m)	HE 220 B	Cabeza	4.5	30.8	2.1	10.2	36.9	10.2	36.9	G, Q, N ⁽¹⁾	N _x M _y V _z NM _y M _z M _y V _z	3.38	2.28	-0.09	0.10	1.83	Cumple	
										G, Q, V ⁽²⁾	M _z	3.23	2.15	-0.09	0.06	1.77		
		Pie	4.8	35.5	6.9	10.2	43.9	10.2	43.9	G, Q, N ⁽¹⁾	N _x V _z M _y V _z	3.56	-2.50	0.19	0.10	1.83	Cumple	
										G, V ⁽³⁾	M _y	3.39	-2.63	0.17	0.10	1.79		
Cubierta vestuarios (0 - 3.85 m)	HE 220 B	Cabeza	20.7	34.1	8.3	6.2	59.9	3.6	59.9	G, Q, V ⁽⁵⁾	N _x M _y V _z NM _y M _z	12.11	2.23	-0.24	0.17	1.11	Cumple	
										G, Q, V ⁽²⁾	M _z	11.95	1.63	-0.37	0.20	0.65		
										G, Q, N ⁽¹⁾	M _y V _z	12.09	1.61	-0.25	0.18	0.65		
		Pie	21.1	26.9	10.4	6.2	56.4	3.6	56.4	G, Q, V ⁽⁵⁾	N _x M _y V _z NM _y M _z	12.37	-1.76	0.37	0.17	1.11	Cumple	
										G, Q, V ⁽⁶⁾	M _z	12.20	-0.71	0.45	0.17	0.64		
										G, Q, N ⁽¹⁾	M _y V _z	12.35	-0.73	0.40	0.18	0.65		
Notas: (1) PP+CM+0.6-Qa(C)+0.2-N1 (2) PP+CM+0.6-Qa(C)+0.5-V(-Xexc.+) (3) PP+CM+0.5-V(+Yexc.+) (4) PP+CM+0.5-V(+Xexc.+) (5) PP+CM+0.6-Qa(C)+0.5-V(-Yexc.+) (6) PP+CM+0.6-Qa(C)+0.5-V(+Xexc.-)																		

3.- VIGAS

3.1.- Planta baja

Vigas	COMPROBACIONES DE RESISTENCIA (INSTRUCCIÓN DE HORMIGÓN ESTRUCTURAL EHE-08)															Estado
	Disp.	Arm.	Q	N,M	T _c	T _{st}	T _{st}	TNM _x	TV _x	TV _y	TV _x S _t	TV _y S _t	T.Geom.	T.Disp _{st}	T.Disp _{st}	
G-D2 - G-C2	Cumple	Cumple	'5.900 m' η = 88.9	'5.177 m' η = 88.9	N.P. ⁽¹⁾	N.P. ⁽¹⁾	N.P. ⁽¹⁾	N.P. ⁽²⁾	N.P. ⁽¹⁾	N.P. ⁽¹⁾	N.P. ⁽¹⁾	N.P. ⁽¹⁾	N.P. ⁽¹⁾	N.P. ⁽¹⁾	N.P. ⁽¹⁾	CUMPLE η = 88.9
G-C2 - G-B2	Cumple	Cumple	'0.758 m' η = 55.8	'G-C2' η = 78.4	N.P. ⁽¹⁾	N.P. ⁽¹⁾	N.P. ⁽¹⁾	N.P. ⁽²⁾	N.P. ⁽¹⁾	N.P. ⁽¹⁾	N.P. ⁽¹⁾	N.P. ⁽¹⁾	N.P. ⁽¹⁾	N.P. ⁽¹⁾	N.P. ⁽¹⁾	CUMPLE η = 78.4
G-B2 - G-A2	Cumple	Cumple	'0.000 m' η = 84.4	'0.723 m' η = 88.2	'0.000 m' η = 5.5	'0.000 m' η = 12.0	'0.000 m' η = 5.4	Cumple	N.P. ⁽³⁾	'0.000 m' η = 19.1	N.P. ⁽³⁾	'0.000 m' Cumple	'0.000 m' Cumple	'0.000 m' Cumple	'0.000 m' Cumple	CUMPLE η = 88.2
G-D3 - G-C3	Cumple	Cumple	'5.900 m' η = 84.9	'5.177 m' η = 93.2	N.P. ⁽¹⁾	N.P. ⁽¹⁾	N.P. ⁽¹⁾	N.P. ⁽²⁾	N.P. ⁽¹⁾	N.P. ⁽¹⁾	N.P. ⁽¹⁾	N.P. ⁽¹⁾	N.P. ⁽¹⁾	N.P. ⁽¹⁾	N.P. ⁽¹⁾	CUMPLE η = 93.2
G-C3 - G-B3	Cumple	Cumple	'0.758 m' η = 26.8	'G-C3' η = 64.2	N.P. ⁽¹⁾	N.P. ⁽¹⁾	N.P. ⁽¹⁾	N.P. ⁽²⁾	N.P. ⁽¹⁾	N.P. ⁽¹⁾	N.P. ⁽¹⁾	N.P. ⁽¹⁾	N.P. ⁽¹⁾	N.P. ⁽¹⁾	N.P. ⁽¹⁾	CUMPLE η = 64.2
G-B3 - G-A3	Cumple	Cumple	'0.000 m' η = 85.2	'0.723 m' η = 93.3	N.P. ⁽¹⁾	N.P. ⁽¹⁾	N.P. ⁽¹⁾	N.P. ⁽²⁾	N.P. ⁽¹⁾	N.P. ⁽¹⁾	N.P. ⁽¹⁾	N.P. ⁽¹⁾	N.P. ⁽¹⁾	N.P. ⁽¹⁾	N.P. ⁽¹⁾	CUMPLE η = 93.3
G-D4 - G-C4	Cumple	Cumple	'5.785 m' η = 94.6	'5.062 m' η = 94.2	N.P. ⁽¹⁾	N.P. ⁽¹⁾	N.P. ⁽¹⁾	N.P. ⁽²⁾	N.P. ⁽¹⁾	N.P. ⁽¹⁾	N.P. ⁽¹⁾	N.P. ⁽¹⁾	N.P. ⁽¹⁾	N.P. ⁽¹⁾	N.P. ⁽¹⁾	CUMPLE η = 94.6
G-C4 - G-B4	Cumple	Cumple	'0.758 m' η = 31.6	'G-C4' η = 81.3	N.P. ⁽¹⁾	N.P. ⁽¹⁾	N.P. ⁽¹⁾	N.P. ⁽²⁾	N.P. ⁽¹⁾	N.P. ⁽¹⁾	N.P. ⁽¹⁾	N.P. ⁽¹⁾	N.P. ⁽¹⁾	N.P. ⁽¹⁾	N.P. ⁽¹⁾	CUMPLE η = 81.3
G-B4 - G-A4	Cumple	Cumple	'0.000 m' η = 94.2	'0.723 m' η = 93.6	N.P. ⁽¹⁾	N.P. ⁽¹⁾	N.P. ⁽¹⁾	N.P. ⁽²⁾	N.P. ⁽¹⁾	N.P. ⁽¹⁾	N.P. ⁽¹⁾	N.P. ⁽¹⁾	N.P. ⁽¹⁾	N.P. ⁽¹⁾	N.P. ⁽¹⁾	CUMPLE η = 94.2
G-D5 - G-C5	Cumple	Cumple	'5.785 m' η = 92.8	'5.062 m' η = 92.0	N.P. ⁽¹⁾	N.P. ⁽¹⁾	N.P. ⁽¹⁾	N.P. ⁽²⁾	N.P. ⁽¹⁾	N.P. ⁽¹⁾	N.P. ⁽¹⁾	N.P. ⁽¹⁾	N.P. ⁽¹⁾	N.P. ⁽¹⁾	N.P. ⁽¹⁾	CUMPLE η = 92.8
G-C5 - G-B5	Cumple	Cumple	'0.758 m' η = 30.1	'G-C5' η = 79.4	N.P. ⁽¹⁾	N.P. ⁽¹⁾	N.P. ⁽¹⁾	N.P. ⁽²⁾	N.P. ⁽¹⁾	N.P. ⁽¹⁾	N.P. ⁽¹⁾	N.P. ⁽¹⁾	N.P. ⁽¹⁾	N.P. ⁽¹⁾	N.P. ⁽¹⁾	CUMPLE η = 79.4
G-B5 - G-A5	Cumple	Cumple	'0.000 m' η = 92.6	'0.723 m' η = 91.9	N.P. ⁽¹⁾	N.P. ⁽¹⁾	N.P. ⁽¹⁾	N.P. ⁽²⁾	N.P. ⁽¹⁾	N.P. ⁽¹⁾	N.P. ⁽¹⁾	N.P. ⁽¹⁾	N.P. ⁽¹⁾	N.P. ⁽¹⁾	N.P. ⁽¹⁾	CUMPLE η = 92.6
G-D6 - G-C6	Cumple	Cumple	'5.785 m' η = 92.3	'5.062 m' η = 91.2	N.P. ⁽¹⁾	N.P. ⁽¹⁾	N.P. ⁽¹⁾	N.P. ⁽²⁾	N.P. ⁽¹⁾	N.P. ⁽¹⁾	N.P. ⁽¹⁾	N.P. ⁽¹⁾	N.P. ⁽¹⁾	N.P. ⁽¹⁾	N.P. ⁽¹⁾	CUMPLE η = 92.3
G-C6 - G-B6	Cumple	Cumple	'0.758 m' η = 30.0	'G-C6' η = 78.8	N.P. ⁽¹⁾	N.P. ⁽¹⁾	N.P. ⁽¹⁾	N.P. ⁽²⁾	N.P. ⁽¹⁾	N.P. ⁽¹⁾	N.P. ⁽¹⁾	N.P. ⁽¹⁾	N.P. ⁽¹⁾	N.P. ⁽¹⁾	N.P. ⁽¹⁾	CUMPLE η = 78.8
G-B6 - G-A6	Cumple	Cumple	'0.000 m' η = 92.3	'0.723 m' η = 91.5	N.P. ⁽¹⁾	N.P. ⁽¹⁾	N.P. ⁽¹⁾	N.P. ⁽²⁾	N.P. ⁽¹⁾	N.P. ⁽¹⁾	N.P. ⁽¹⁾	N.P. ⁽¹⁾	N.P. ⁽¹⁾	N.P. ⁽¹⁾	N.P. ⁽¹⁾	CUMPLE η = 92.3



I. MEMORIA

Vigas	COMPROBACIONES DE RESISTENCIA (INSTRUCCIÓN DE HORMIGÓN ESTRUCTURAL EHE-08)														Estado
	Disp.	Arm.	Q	N,M	T _c	T _{st}	T _{sl}	TNM _x	TV _x	TV _y	TV _x S _t	TV _y S _t	T _{Geom.}	T _{Disp-sl}	
Notación: <i>Disp.</i> : Disposiciones relativas a las armaduras <i>Arm.</i> : Armadura mínima y máxima <i>Q</i> : Estado límite de agotamiento frente a cortante (combinaciones no sísmicas) <i>N,M</i> : Estado límite de agotamiento frente a solicitaciones normales (combinaciones no sísmicas) <i>T_c</i> : Estado límite de agotamiento por torsión. Compresión oblicua. <i>T_{st}</i> : Estado límite de agotamiento por torsión. Tracción en el alma. <i>T_{sl}</i> : Estado límite de agotamiento por torsión. Tracción en las armaduras longitudinales. <i>TNM_x</i> : Estado límite de agotamiento por torsión. Interacción entre torsión y esfuerzos normales. Flexión alrededor del eje X. <i>TV_x</i> : Estado límite de agotamiento por torsión. Interacción entre torsión y cortante en el eje X. Compresión oblicua <i>TV_y</i> : Estado límite de agotamiento por torsión. Interacción entre torsión y cortante en el eje Y. Compresión oblicua <i>TV_xS_t</i> : Estado límite de agotamiento por torsión. Interacción entre torsión y cortante en el eje X. Tracción en el alma. <i>TV_yS_t</i> : Estado límite de agotamiento por torsión. Interacción entre torsión y cortante en el eje Y. Tracción en el alma. <i>T_{Geom.}</i> : Estado límite de agotamiento por torsión. Relación entre las dimensiones de la sección. <i>T_{Disp-sl}</i> : Estado límite de agotamiento por torsión. Separación entre las barras de la armadura longitudinal. <i>T_{Disp-st}</i> : Estado límite de agotamiento por torsión. Separación entre las barras de la armadura transversal. <i>x</i> : Distancia al origen de la barra <i>η</i> : Coeficiente de aprovechamiento (%) <i>N.P.</i> : No procede															
Comprobaciones que no proceden (N.P.): <i>(1)</i> La comprobación de estado límite de agotamiento por torsión no procede, ya que no hay momento torsor. <i>(2)</i> La comprobación no procede, ya que no hay interacción entre torsión y esfuerzos normales. <i>(3)</i> No hay interacción entre torsión y cortante para ninguna combinación. Por lo tanto, la comprobación no procede.															

Vigas	COMPROBACIONES DE FISURACIÓN (INSTRUCCIÓN DE HORMIGÓN ESTRUCTURAL EHE-08)							Estado
	σ _c	W _{k,C,sup.}	W _{k,C,Lat.Der.}	W _{k,C,inf.}	W _{k,C,Lat.Izq.}	σ _{sr}	V _{fis}	
G-D2 - G-C2	x: 2.983 m Cumple	x: 5.9 m Cumple	x: 5.9 m Cumple	x: 2.983 m Cumple	x: 5.9 m Cumple	x: 0 m Cumple	Cumple	CUMPLE
G-C2 - G-B2	x: 0 m Cumple	x: 0 m Cumple	x: 0 m Cumple	N.P. ⁽¹⁾	x: 0 m Cumple	x: 0 m Cumple	Cumple	CUMPLE
G-B2 - G-A2	x: 2.917 m Cumple	x: 0 m Cumple	x: 0 m Cumple	x: 2.917 m Cumple	x: 0 m Cumple	x: 5.9 m Cumple	Cumple	CUMPLE
G-D3 - G-C3	x: 5.9 m Cumple	x: 5.9 m Cumple	x: 5.9 m Cumple	x: 2.783 m Cumple	x: 5.9 m Cumple	x: 0 m Cumple	Cumple	CUMPLE
G-C3 - G-B3	x: 0 m Cumple	x: 0 m Cumple	x: 0 m Cumple	N.P. ⁽¹⁾	x: 0 m Cumple	x: 0 m Cumple	Cumple	CUMPLE
G-B3 - G-A3	x: 0 m Cumple	x: 0 m Cumple	x: 0 m Cumple	x: 2.917 m Cumple	x: 0 m Cumple	x: 5.9 m Cumple	Cumple	CUMPLE
G-D4 - G-C4	x: 2.868 m Cumple	x: 5.785 m Cumple	x: 5.785 m Cumple	x: 2.868 m Cumple	x: 5.785 m Cumple	x: 5.785 m Cumple	Cumple	CUMPLE
G-C4 - G-B4	x: 0 m Cumple	x: 0 m Cumple	x: 0 m Cumple	N.P. ⁽¹⁾	x: 0 m Cumple	x: 0 m Cumple	Cumple	CUMPLE
G-B4 - G-A4	x: 2.917 m Cumple	x: 0 m Cumple	x: 0 m Cumple	x: 2.917 m Cumple	x: 0 m Cumple	x: 0 m Cumple	Cumple	CUMPLE
G-D5 - G-C5	x: 2.868 m Cumple	x: 5.785 m Cumple	x: 5.785 m Cumple	x: 2.868 m Cumple	x: 5.785 m Cumple	x: 5.785 m Cumple	Cumple	CUMPLE
G-C5 - G-B5	x: 0 m Cumple	x: 0 m Cumple	x: 0 m Cumple	N.P. ⁽¹⁾	x: 0 m Cumple	x: 0 m Cumple	Cumple	CUMPLE
G-B5 - G-A5	x: 2.917 m Cumple	x: 0 m Cumple	x: 0 m Cumple	x: 2.917 m Cumple	x: 0 m Cumple	x: 0 m Cumple	Cumple	CUMPLE
G-D6 - G-C6	x: 2.868 m Cumple	x: 5.785 m Cumple	x: 5.785 m Cumple	x: 2.868 m Cumple	x: 5.785 m Cumple	x: 5.785 m Cumple	Cumple	CUMPLE
G-C6 - G-B6	x: 0 m Cumple	x: 0 m Cumple	x: 0 m Cumple	N.P. ⁽¹⁾	x: 0 m Cumple	x: 0 m Cumple	Cumple	CUMPLE
G-B6 - G-A6	x: 2.917 m Cumple	x: 0 m Cumple	x: 0 m Cumple	x: 2.917 m Cumple	x: 0 m Cumple	x: 0 m Cumple	Cumple	CUMPLE
Notación: σ _c : Fisuración por compresión W _{k,C,sup.} : Fisuración por tracción: Cara superior W _{k,C,Lat.Der.} : Fisuración por tracción: Cara lateral derecha W _{k,C,inf.} : Fisuración por tracción: Cara inferior W _{k,C,Lat.Izq.} : Fisuración por tracción: Cara lateral izquierda σ _{sr} : Área mínima de armadura V _{fis} : Fisuración por cortante x: Distancia al origen de la barra η: Coeficiente de aprovechamiento (%) N.P.: No procede								
Comprobaciones que no proceden (N.P.): (1) La comprobación no procede, ya que no hay ninguna armadura traccionada.								

Comprobaciones de flecha				
Vigas	Sobrecarga (Característica) $f_{i,Q} \leq f_{i,Q,lim}$ $f_{i,Q,lim} = L/350$	A plazo infinito (Cuasipermanente) $f_{T,max} \leq f_{T,lim}$ $f_{T,lim} = \text{Mín.}(L/300, L/500+10.00)$	Activa (Característica) $f_{A,max} \leq f_{A,lim}$ $f_{A,lim} = L/400$	Estado



Comprobaciones de flecha				
Vigas	Sobrecarga (Característica) $f_{i,Q} \leq f_{i,Q,lim}$ $f_{i,Q,lim} = L/350$	A plazo infinito (Cuasipermanente) $f_{T,max} \leq f_{T,lim}$ $f_{T,lim} = \text{Mín.}(L/300, L/500+10.00)$	Activa (Característica) $f_{A,max} \leq f_{A,lim}$ $f_{A,lim} = L/400$	Estado
G-D2 - G-C2	$f_{i,Q}$: 1.40 mm $f_{i,Q,lim}$: 16.86 mm	$f_{T,max}$: 5.38 mm $f_{T,lim}$: 19.67 mm	$f_{A,max}$: 5.04 mm $f_{A,lim}$: 14.75 mm	CUMPLE
G-C2 - G-B2	$f_{i,Q}$: 0.04 mm $f_{i,Q,lim}$: 7.26 mm	$f_{T,max}$: 0.30 mm $f_{T,lim}$: 8.47 mm	$f_{A,max}$: 0.25 mm $f_{A,lim}$: 6.35 mm	CUMPLE
G-B2 - G-A2	$f_{i,Q}$: 1.33 mm $f_{i,Q,lim}$: 16.86 mm	$f_{T,max}$: 5.03 mm $f_{T,lim}$: 19.67 mm	$f_{A,max}$: 4.64 mm $f_{A,lim}$: 14.75 mm	CUMPLE
G-D3 - G-C3	$f_{i,Q}$: 1.23 mm $f_{i,Q,lim}$: 16.86 mm	$f_{T,max}$: 4.92 mm $f_{T,lim}$: 19.67 mm	$f_{A,max}$: 4.58 mm $f_{A,lim}$: 14.75 mm	CUMPLE
G-C3 - G-B3	$f_{i,Q}$: 0.04 mm $f_{i,Q,lim}$: 7.26 mm	$f_{T,max}$: 0.23 mm $f_{T,lim}$: 8.47 mm	$f_{A,max}$: 0.18 mm $f_{A,lim}$: 6.35 mm	CUMPLE
G-B3 - G-A3	$f_{i,Q}$: 1.23 mm $f_{i,Q,lim}$: 16.86 mm	$f_{T,max}$: 5.00 mm $f_{T,lim}$: 19.67 mm	$f_{A,max}$: 4.66 mm $f_{A,lim}$: 14.75 mm	CUMPLE
G-D4 - G-C4	$f_{i,Q}$: 1.59 mm $f_{i,Q,lim}$: 16.53 mm	$f_{T,max}$: 6.89 mm $f_{T,lim}$: 19.28 mm	$f_{A,max}$: 6.60 mm $f_{A,lim}$: 14.46 mm	CUMPLE
G-C4 - G-B4	$f_{i,Q}$: 0.11 mm $f_{i,Q,lim}$: 7.26 mm	$f_{T,max}$: 0.62 mm $f_{T,lim}$: 8.47 mm	$f_{A,max}$: 0.53 mm $f_{A,lim}$: 6.35 mm	CUMPLE
G-B4 - G-A4	$f_{i,Q}$: 1.62 mm $f_{i,Q,lim}$: 16.53 mm	$f_{T,max}$: 6.80 mm $f_{T,lim}$: 19.28 mm	$f_{A,max}$: 6.53 mm $f_{A,lim}$: 14.46 mm	CUMPLE
G-D5 - G-C5	$f_{i,Q}$: 1.55 mm $f_{i,Q,lim}$: 16.53 mm	$f_{T,max}$: 6.67 mm $f_{T,lim}$: 19.28 mm	$f_{A,max}$: 6.35 mm $f_{A,lim}$: 14.46 mm	CUMPLE
G-C5 - G-B5	$f_{i,Q}$: 0.10 mm $f_{i,Q,lim}$: 7.26 mm	$f_{T,max}$: 0.60 mm $f_{T,lim}$: 8.47 mm	$f_{A,max}$: 0.51 mm $f_{A,lim}$: 6.35 mm	CUMPLE
G-B5 - G-A5	$f_{i,Q}$: 1.57 mm $f_{i,Q,lim}$: 16.53 mm	$f_{T,max}$: 6.63 mm $f_{T,lim}$: 19.28 mm	$f_{A,max}$: 6.31 mm $f_{A,lim}$: 14.46 mm	CUMPLE
G-D6 - G-C6	$f_{i,Q}$: 1.53 mm $f_{i,Q,lim}$: 16.53 mm	$f_{T,max}$: 6.52 mm $f_{T,lim}$: 19.28 mm	$f_{A,max}$: 6.18 mm $f_{A,lim}$: 14.46 mm	CUMPLE
G-C6 - G-B6	$f_{i,Q}$: 0.10 mm $f_{i,Q,lim}$: 7.26 mm	$f_{T,max}$: 0.58 mm $f_{T,lim}$: 8.47 mm	$f_{A,max}$: 0.49 mm $f_{A,lim}$: 6.35 mm	CUMPLE
G-B6 - G-A6	$f_{i,Q}$: 1.53 mm $f_{i,Q,lim}$: 16.53 mm	$f_{T,max}$: 6.51 mm $f_{T,lim}$: 19.28 mm	$f_{A,max}$: 6.18 mm $f_{A,lim}$: 14.46 mm	CUMPLE

3.2.- Cubierta vestuarios

Vigas	COMPROBACIONES DE RESISTENCIA (INSTRUCCIÓN DE HORMIGÓN ESTRUCTURAL EHE-08)															Estado
	Disp.	Arm.	Q	N,M	T _c	T _{st}	T _{sl}	TNM _x	TV _x	TV _y	TV _x T _i	TV _y T _i	T _{Geom.}	T _{Disp.} _{sl}	T _{Disp.} _{st}	
G-D1 - G-B1	Cumple	Cumple	'8.666 m' η = 39.7	'0.258 m' η = 85.9	N.P. ⁽¹⁾	N.P. ⁽¹⁾	N.P. ⁽¹⁾	N.P. ⁽²⁾	N.P. ⁽¹⁾	N.P. ⁽¹⁾	N.P. ⁽¹⁾	N.P. ⁽¹⁾	N.P. ⁽¹⁾	N.P. ⁽¹⁾	N.P. ⁽¹⁾	CUMPLE η = 85.9
G-B1 - G-A1	Cumple	Cumple	'0.258 m' η = 31.2	'4.106 m' η = 59.6	N.P. ⁽¹⁾	N.P. ⁽¹⁾	N.P. ⁽¹⁾	N.P. ⁽²⁾	N.P. ⁽¹⁾	N.P. ⁽¹⁾	N.P. ⁽¹⁾	N.P. ⁽¹⁾	N.P. ⁽¹⁾	N.P. ⁽¹⁾	N.P. ⁽¹⁾	CUMPLE η = 59.6
G-D3 - G-C3	Cumple	Cumple	'0.258 m' η = 88.7	'G-D3' η = 99.2	N.P. ⁽¹⁾	N.P. ⁽¹⁾	N.P. ⁽¹⁾	N.P. ⁽²⁾	N.P. ⁽¹⁾	N.P. ⁽¹⁾	N.P. ⁽¹⁾	N.P. ⁽¹⁾	N.P. ⁽¹⁾	N.P. ⁽¹⁾	N.P. ⁽¹⁾	CUMPLE η = 99.2
G-C3 - G-B3	Cumple	Cumple	'2.282 m' η = 39.1	'2.540 m' η = 53.4	N.P. ⁽¹⁾	N.P. ⁽¹⁾	N.P. ⁽¹⁾	N.P. ⁽²⁾	N.P. ⁽¹⁾	N.P. ⁽¹⁾	N.P. ⁽¹⁾	N.P. ⁽¹⁾	N.P. ⁽¹⁾	N.P. ⁽¹⁾	N.P. ⁽¹⁾	CUMPLE η = 53.4
G-B3 - G-A3	Cumple	Cumple	'5.932 m' η = 89.4	'G-A3' η = 91.5	N.P. ⁽¹⁾	N.P. ⁽¹⁾	N.P. ⁽¹⁾	N.P. ⁽²⁾	N.P. ⁽¹⁾	N.P. ⁽¹⁾	N.P. ⁽¹⁾	N.P. ⁽¹⁾	N.P. ⁽¹⁾	N.P. ⁽¹⁾	N.P. ⁽¹⁾	CUMPLE η = 91.5
Notación: Disp.: Disposiciones relativas a las armaduras Arm.: Armadura mínima y máxima Q: Estado límite de agotamiento frente a cortante (combinaciones no sísmicas) N,M: Estado límite de agotamiento frente a solicitaciones normales (combinaciones no sísmicas) T _c : Estado límite de agotamiento por torsión. Compresión oblicua. T _{st} : Estado límite de agotamiento por torsión. Tracción en el alma. T _{sl} : Estado límite de agotamiento por torsión. Tracción en las armaduras longitudinales. TNM _x : Estado límite de agotamiento por torsión. Interacción entre torsión y esfuerzos normales. Flexión alrededor del eje X. TV _x : Estado límite de agotamiento por torsión. Interacción entre torsión y cortante en el eje X. Compresión oblicua TV _y : Estado límite de agotamiento por torsión. Interacción entre torsión y cortante en el eje Y. Compresión oblicua TV _x s: Estado límite de agotamiento por torsión. Interacción entre torsión y cortante en el eje X. Tracción en el alma. TV _y s: Estado límite de agotamiento por torsión. Interacción entre torsión y cortante en el eje Y. Tracción en el alma. T _{Geom.} : Estado límite de agotamiento por torsión. Relación entre las dimensiones de la sección. T _{Disp.} _{sl} : Estado límite de agotamiento por torsión. Separación entre las barras de la armadura longitudinal. T _{Disp.} _{st} : Estado límite de agotamiento por torsión. Separación entre las barras de la armadura transversal. x: Distancia al origen de la barra η: Coeficiente de aprovechamiento (%) N.P.: No procede																
Comprobaciones que no proceden (N.P.): ⁽¹⁾ La comprobación del estado límite de agotamiento por torsión no procede, ya que no hay momento torsor. ⁽²⁾ La comprobación no procede, ya que no hay interacción entre torsión y esfuerzos normales.																



Vigas	COMPROBACIONES DE FISURACIÓN (INSTRUCCIÓN DE HORMIGÓN ESTRUCTURAL EHE-08)							Estado
	σ_c	$W_{k,C,sup.}$	$W_{k,C,Lat.Der.}$	$W_{k,C,inf.}$	$W_{k,C,Lat.Izq.}$	σ_{sr}	V_{fis}	
G-D1 - G-B1	x: 8.924 m Cumple	x: 8.924 m Cumple	N.P. ⁽¹⁾	x: 4.119 m Cumple	N.P. ⁽¹⁾	x: 2.746 m Cumple	Cumple	CUMPLE
G-B1 - G-A1	x: 0 m Cumple	x: 0 m Cumple	N.P. ⁽²⁾	N.P. ⁽²⁾	N.P. ⁽²⁾	x: 0 m Cumple	Cumple	CUMPLE
G-D3 - G-C3	x: 0 m Cumple	x: 0 m Cumple	N.P. ⁽²⁾	x: 3.115 m Cumple	N.P. ⁽²⁾	x: 4.846 m Cumple	Cumple	CUMPLE
G-C3 - G-B3	x: 2.54 m Cumple	x: 2.54 m Cumple	N.P. ⁽²⁾	N.P. ⁽²⁾	N.P. ⁽²⁾	x: 0 m Cumple	Cumple	CUMPLE
G-B3 - G-A3	x: 6.19 m Cumple	x: 6.19 m Cumple	N.P. ⁽²⁾	x: 3.095 m Cumple	N.P. ⁽²⁾	x: 1.376 m Cumple	Cumple	CUMPLE
<p>Notación:</p> <p>σ_c: Fisuración por compresión</p> <p>$W_{k,C,sup.}$: Fisuración por tracción: Cara superior</p> <p>$W_{k,C,Lat.Der.}$: Fisuración por tracción: Cara lateral derecha</p> <p>$W_{k,C,inf.}$: Fisuración por tracción: Cara inferior</p> <p>$W_{k,C,Lat.Izq.}$: Fisuración por tracción: Cara lateral izquierda</p> <p>σ_{sr}: Área mínima de armadura</p> <p>V_{fis}: Fisuración por cortante</p> <p>x: Distancia al origen de la barra</p> <p>η: Coeficiente de aprovechamiento (%)</p> <p>N.P.: No procede</p>								
<p>Comprobaciones que no proceden (N.P.):</p> <p>⁽¹⁾ La comprobación no procede, ya que la tensión de tracción máxima en el hormigón no supera la resistencia a tracción del mismo.</p> <p>⁽²⁾ La comprobación no procede, ya que no hay ninguna armadura traccionada.</p>								

Comprobaciones de flecha				
Vigas	Sobrecarga (Característica) $f_{i,Q} \leq f_{i,Q,lim}$ $f_{i,Q,lim} = L/350$	A plazo infinito (Cuasipermanente) $f_{T,max} \leq f_{T,lim}$ $f_{T,lim} = \text{Mín.}(L/300, L/500+10.00)$	Activa (Característica) $f_{A,max} \leq f_{A,lim}$ $f_{A,lim} = L/400$	Estado
G-D1 - G-B1	$f_{i,Q}$: 1.66 mm $f_{i,Q,lim}$: 25.50 mm	$f_{T,max}$: 19.85 mm $f_{T,lim}$: 27.85 mm	$f_{A,max}$: 14.07 mm $f_{A,lim}$: 22.31 mm	CUMPLE
G-B1 - G-A1	$f_{i,Q}$: 0.24 mm $f_{i,Q,lim}$: 17.60 mm	$f_{T,max}$: 3.29 mm $f_{T,lim}$: 19.32 mm	$f_{A,max}$: 2.25 mm $f_{A,lim}$: 13.95 mm	CUMPLE
G-D3 - G-C3	$f_{i,Q}$: 0.18 mm $f_{i,Q,lim}$: 15.41 mm	$f_{T,max}$: 24.31 mm $f_{T,lim}$: 20.77 mm	$f_{A,max}$: 24.49 mm $f_{A,lim}$: 15.58 mm	CUMPLE
G-C3 - G-B3	$f_{i,Q}$: 0.01 mm $f_{i,Q,lim}$: 7.26 mm	$f_{T,max}$: 1.35 mm $f_{T,lim}$: 8.47 mm	$f_{A,max}$: 1.30 mm $f_{A,lim}$: 6.35 mm	CUMPLE
G-B3 - G-A3	$f_{i,Q}$: 0.18 mm $f_{i,Q,lim}$: 14.20 mm	$f_{T,max}$: 22.47 mm $f_{T,lim}$: 20.63 mm	$f_{A,max}$: 22.75 mm $f_{A,lim}$: 15.48 mm	CUMPLE

Tramos	$\bar{\lambda}$	λ_w	N_t	N_c	M_Y	M_Z	V_Z	V_Y	$M_Y V_Z$	$M_Z V_Y$	$N M_Y M_Z$	$N M_Y M_Z V_Y V_Z$	M_t	$M_t V_Z$	$M_t V_Y$	Estado
G-D1 - G-D2	N.P. ⁽¹⁾	$\lambda_w \leq \lambda_{w,max}$ Cumple	$N_{Ed} = 0.00$ N.P. ⁽²⁾	$N_{Ed} = 0.00$ N.P. ⁽³⁾	x: 7.51 m $\eta = 94.6$	$M_{Ed} = 0.00$ N.P. ⁽⁴⁾	x: 7.51 m $\eta = 38.4$	$V_{Ed} = 0.00$ N.P. ⁽⁵⁾	$\eta < 0.1$	N.P. ⁽⁶⁾	N.P. ⁽⁷⁾	N.P. ⁽⁸⁾	x: 0 m $\eta = 15.3$	x: 7.51 m $\eta = 39.3$	N.P. ⁽⁹⁾	CUMPLE $\eta = 94.6$
G-D2 - G-D3	N.P. ⁽¹⁾	x: 0 m $\lambda_w \leq \lambda_{w,max}$ Cumple	$N_{Ed} = 0.00$ N.P. ⁽²⁾	$N_{Ed} = 0.00$ N.P. ⁽³⁾	x: 0 m $\eta = 86.3$	$M_{Ed} = 0.00$ N.P. ⁽⁴⁾	x: 0 m $\eta = 37.3$	$V_{Ed} = 0.00$ N.P. ⁽⁵⁾	x: 0 m $\eta < 0.1$	N.P. ⁽⁶⁾	N.P. ⁽⁷⁾	N.P. ⁽⁸⁾	x: 0 m $\eta = 13.8$	x: 0 m $\eta = 38.9$	N.P. ⁽⁹⁾	CUMPLE $\eta = 86.3$
G-D3 - G-D4	N.P. ⁽¹⁾	x: 0.342 m $\lambda_w \leq \lambda_{w,max}$ Cumple	$N_{Ed} = 0.00$ N.P. ⁽²⁾	$N_{Ed} = 0.00$ N.P. ⁽³⁾	x: 3.42 m $\eta = 48.5$	$M_{Ed} = 0.00$ N.P. ⁽⁴⁾	x: 0 m $\eta = 12.1$	$V_{Ed} = 0.00$ N.P. ⁽⁵⁾	x: 0.342 m $\eta < 0.1$	N.P. ⁽⁶⁾	N.P. ⁽⁷⁾	N.P. ⁽⁸⁾	$M_{Ed} = 0.00$ N.P. ⁽¹⁰⁾	N.P. ⁽⁹⁾	N.P. ⁽⁹⁾	CUMPLE $\eta = 48.5$
G-D4 - G-D5	N.P. ⁽¹⁾	x: 0.34 m $\lambda_w \leq \lambda_{w,max}$ Cumple	$N_{Ed} = 0.00$ N.P. ⁽²⁾	$N_{Ed} = 0.00$ N.P. ⁽³⁾	x: 3.4 m $\eta = 47.9$	$M_{Ed} = 0.00$ N.P. ⁽⁴⁾	x: 0 m $\eta = 12.0$	$V_{Ed} = 0.00$ N.P. ⁽⁵⁾	x: 0.34 m $\eta < 0.1$	N.P. ⁽⁶⁾	N.P. ⁽⁷⁾	N.P. ⁽⁸⁾	$M_{Ed} = 0.00$ N.P. ⁽¹⁰⁾	N.P. ⁽⁹⁾	N.P. ⁽⁹⁾	CUMPLE $\eta = 47.9$
G-D5 - G-D6	N.P. ⁽¹⁾	x: 0.34 m $\lambda_w \leq \lambda_{w,max}$ Cumple	$N_{Ed} = 0.00$ N.P. ⁽²⁾	$N_{Ed} = 0.00$ N.P. ⁽³⁾	x: 3.4 m $\eta = 47.9$	$M_{Ed} = 0.00$ N.P. ⁽⁴⁾	x: 0 m $\eta = 12.0$	$V_{Ed} = 0.00$ N.P. ⁽⁵⁾	x: 0.34 m $\eta < 0.1$	N.P. ⁽⁶⁾	N.P. ⁽⁷⁾	N.P. ⁽⁸⁾	$M_{Ed} = 0.00$ N.P. ⁽¹⁰⁾	N.P. ⁽⁹⁾	N.P. ⁽⁹⁾	CUMPLE $\eta = 47.9$
G-D6 - G-D7	N.P. ⁽¹⁾	x: 0.342 m $\lambda_w \leq \lambda_{w,max}$ Cumple	$N_{Ed} = 0.00$ N.P. ⁽²⁾	$N_{Ed} = 0.00$ N.P. ⁽³⁾	x: 3.42 m $\eta = 48.5$	$M_{Ed} = 0.00$ N.P. ⁽⁴⁾	x: 0 m $\eta = 12.1$	$V_{Ed} = 0.00$ N.P. ⁽⁵⁾	x: 0.342 m $\eta < 0.1$	N.P. ⁽⁶⁾	N.P. ⁽⁷⁾	N.P. ⁽⁸⁾	$M_{Ed} = 0.00$ N.P. ⁽¹⁰⁾	N.P. ⁽⁹⁾	N.P. ⁽⁹⁾	CUMPLE $\eta = 48.5$
G-B1 - G-B2	N.P. ⁽¹⁾	$\lambda_w \leq \lambda_{w,max}$ Cumple	$N_{Ed} = 0.00$ N.P. ⁽²⁾	$N_{Ed} = 0.00$ N.P. ⁽³⁾	x: 7.502 m $\eta = 98.3$	$M_{Ed} = 0.00$ N.P. ⁽⁴⁾	x: 7.502 m $\eta = 49.2$	$V_{Ed} = 0.00$ N.P. ⁽⁵⁾	$\eta < 0.1$	N.P. ⁽⁶⁾	N.P. ⁽⁷⁾	N.P. ⁽⁸⁾	x: 0 m $\eta = 9.5$	x: 7.502 m $\eta = 50.5$	N.P. ⁽⁹⁾	CUMPLE $\eta = 98.3$
G-B2 - G-B3	N.P. ⁽¹⁾	$\lambda_w \leq \lambda_{w,max}$ Cumple	$N_{Ed} = 0.00$ N.P. ⁽²⁾	$N_{Ed} = 0.00$ N.P. ⁽³⁾	x: 0 m $\eta = 88.1$	$M_{Ed} = 0.00$ N.P. ⁽⁴⁾	x: 0 m $\eta = 48.4$	$V_{Ed} = 0.00$ N.P. ⁽⁵⁾	$\eta < 0.1$	N.P. ⁽⁶⁾	N.P. ⁽⁷⁾	N.P. ⁽⁸⁾	x: 0 m $\eta = 14.8$	x: 0 m $\eta = 50.4$	N.P. ⁽⁹⁾	CUMPLE $\eta = 88.1$
G-A1 - G-A2	N.P. ⁽¹⁾	$\lambda_w \leq \lambda_{w,max}$ Cumple	$N_{Ed} = 0.00$ N.P. ⁽²⁾	$N_{Ed} = 0.00$ N.P. ⁽³⁾	x: 7.52 m $\eta = 95.4$	$M_{Ed} = 0.00$ N.P. ⁽⁴⁾	x: 7.52 m $\eta = 30.4$	$V_{Ed} = 0.00$ N.P. ⁽⁵⁾	$\eta < 0.1$	N.P. ⁽⁶⁾	N.P. ⁽⁷⁾	N.P. ⁽⁸⁾	x: 0 m $\eta = 3.9$	x: 7.52 m $\eta = 30.5$	N.P. ⁽⁹⁾	CUMPLE $\eta = 95.4$
G-A2 - G-A3	N.P. ⁽¹⁾	x: 0 m $\lambda_w \leq \lambda_{w,max}$ Cumple	$N_{Ed} = 0.00$ N.P. ⁽²⁾	$N_{Ed} = 0.00$ N.P. ⁽³⁾	x: 0 m $\eta = 56.0$	$M_{Ed} = 0.00$ N.P. ⁽⁴⁾	x: 0 m $\eta = 24.0$	$V_{Ed} = 0.00$ N.P. ⁽⁵⁾	x: 0 m $\eta < 0.1$	N.P. ⁽⁶⁾	N.P. ⁽⁷⁾	N.P. ⁽⁸⁾	x: 0 m $\eta = 5.8$	x: 0 m $\eta = 24.1$	N.P. ⁽⁹⁾	CUMPLE $\eta = 56.0$
G-A3 - G-A4	N.P. ⁽¹⁾	x: 0.342 m $\lambda_w \leq \lambda_{w,max}$ Cumple	$N_{Ed} = 0.00$ N.P. ⁽²⁾	$N_{Ed} = 0.00$ N.P. ⁽³⁾	x: 3.42 m $\eta = 48.5$	$M_{Ed} = 0.00$ N.P. ⁽⁴⁾	x: 0 m $\eta = 12.1$	$V_{Ed} = 0.00$ N.P. ⁽⁵⁾	x: 0.342 m $\eta < 0.1$	N.P. ⁽⁶⁾	N.P. ⁽⁷⁾	N.P. ⁽⁸⁾	$M_{Ed} = 0.00$ N.P. ⁽¹⁰⁾	N.P. ⁽⁹⁾	N.P. ⁽⁹⁾	CUMPLE $\eta = 48.5$



PROYECTO BÁSICO DE EJECUCIÓN DE AMPLIACIÓN DEL CEIP VALDEBEBAS, 4 AULAS DE INFANTIL, 4 AULAS DE PRIMARIA, 3 AULAS ESPECIFICAS, BIBLIOTECA, 2 AULAS DE DESDOBLE, GIMNASIO Y PISTA DEPORTIVA

I. MEMORIA

COMPROBACIONES DE RESISTENCIA (CTE DB SE-A) - TEMPERATURA AMBIENTE																Estado
Tramos	$\bar{\lambda}$	λ_w	N_t	N_c	M_y	M_z	V_z	V_y	$M_y V_z$	$M_z V_y$	$NM_y M_z$	$NM_y M_z V_y V_z$	M_t	$M_t V_z$	$M_t V_y$	
G-A4 - G-A5	N.P. ⁽¹⁾	x: 0.34 m $\lambda_w \leq \lambda_{w,max}$ Cumple	$N_{Ed} = 0.00$ N.P. ⁽²⁾	$N_{Ed} = 0.00$ N.P. ⁽³⁾	x: 3.4 m $\eta = 47.9$	$M_{Ed} = 0.00$ N.P. ⁽⁴⁾	x: 0 m $\eta = 12.0$	$V_{Ed} = 0.00$ N.P. ⁽⁵⁾	x: 0.34 m $\eta < 0.1$	N.P. ⁽⁶⁾	N.P. ⁽⁷⁾	N.P. ⁽⁸⁾	$M_{Ed} = 0.00$ N.P. ⁽¹⁰⁾	N.P. ⁽⁹⁾	N.P. ⁽⁹⁾	CUMPLE $\eta = 47.9$
G-A5 - G-A6	N.P. ⁽¹⁾	x: 0.34 m $\lambda_w \leq \lambda_{w,max}$ Cumple	$N_{Ed} = 0.00$ N.P. ⁽²⁾	$N_{Ed} = 0.00$ N.P. ⁽³⁾	x: 3.4 m $\eta = 47.9$	$M_{Ed} = 0.00$ N.P. ⁽⁴⁾	x: 0 m $\eta = 12.0$	$V_{Ed} = 0.00$ N.P. ⁽⁵⁾	x: 0.34 m $\eta < 0.1$	N.P. ⁽⁶⁾	N.P. ⁽⁷⁾	N.P. ⁽⁸⁾	$M_{Ed} = 0.00$ N.P. ⁽¹⁰⁾	N.P. ⁽⁹⁾	N.P. ⁽⁹⁾	CUMPLE $\eta = 47.9$
G-A6 - G-A7	N.P. ⁽¹⁾	x: 0.342 m $\lambda_w \leq \lambda_{w,max}$ Cumple	$N_{Ed} = 0.00$ N.P. ⁽²⁾	$N_{Ed} = 0.00$ N.P. ⁽³⁾	x: 3.42 m $\eta = 48.5$	$M_{Ed} = 0.00$ N.P. ⁽⁴⁾	x: 0 m $\eta = 12.1$	$V_{Ed} = 0.00$ N.P. ⁽⁵⁾	x: 0.342 m $\eta < 0.1$	N.P. ⁽⁶⁾	N.P. ⁽⁷⁾	N.P. ⁽⁸⁾	$M_{Ed} = 0.00$ N.P. ⁽¹⁰⁾	N.P. ⁽⁹⁾	N.P. ⁽⁹⁾	CUMPLE $\eta = 48.5$
G-D7 - G-C7	N.P. ⁽¹⁾	$\lambda_w \leq \lambda_{w,max}$ Cumple	$N_{Ed} = 0.00$ N.P. ⁽²⁾	$N_{Ed} = 0.00$ N.P. ⁽³⁾	x: 0 m $\eta = 35.3$	$M_{Ed} = 0.00$ N.P. ⁽⁴⁾	x: 0 m $\eta = 13.0$	$V_{Ed} = 0.00$ N.P. ⁽⁵⁾	$\eta < 0.1$	N.P. ⁽⁶⁾	N.P. ⁽⁷⁾	N.P. ⁽⁸⁾	$\eta = 0.1$	x: 0 m $\eta = 13.0$	N.P. ⁽⁹⁾	CUMPLE $\eta = 35.3$
G-C7 - G-B7	N.P. ⁽¹⁾	$\lambda_w \leq \lambda_{w,max}$ Cumple	$N_{Ed} = 0.00$ N.P. ⁽²⁾	$N_{Ed} = 0.00$ N.P. ⁽³⁾	x: 2.54 m $\eta = 11.6$	$M_{Ed} = 0.00$ N.P. ⁽⁴⁾	x: 2.54 m $\eta = 5.2$	$V_{Ed} = 0.00$ N.P. ⁽⁵⁾	$\eta < 0.1$	N.P. ⁽⁶⁾	N.P. ⁽⁷⁾	N.P. ⁽⁸⁾	$M_{Ed} = 0.00$ N.P. ⁽¹⁰⁾	N.P. ⁽⁹⁾	N.P. ⁽⁹⁾	CUMPLE $\eta = 11.6$
G-B7 - G-A7	N.P. ⁽¹⁾	$\lambda_w \leq \lambda_{w,max}$ Cumple	$N_{Ed} = 0.00$ N.P. ⁽²⁾	$N_{Ed} = 0.00$ N.P. ⁽³⁾	x: 6.25 m $\eta = 35.6$	$M_{Ed} = 0.00$ N.P. ⁽⁴⁾	x: 6.25 m $\eta = 13.0$	$V_{Ed} = 0.00$ N.P. ⁽⁵⁾	$\eta < 0.1$	N.P. ⁽⁶⁾	N.P. ⁽⁷⁾	N.P. ⁽⁸⁾	$\eta = 0.1$	x: 6.25 m $\eta = 13.0$	N.P. ⁽⁹⁾	CUMPLE $\eta = 35.6$
Notación: $\bar{\lambda}$: Limitación de esbeltez λ_w : Abolladura del alma inducida por el ala comprimida N_t : Resistencia a tracción N_c : Resistencia a compresión M_y : Resistencia a flexión eje Y M_z : Resistencia a flexión eje Z V_z : Resistencia a corte Z V_y : Resistencia a corte Y $M_y V_z$: Resistencia a momento flector Y y fuerza cortante Z combinados $M_z V_y$: Resistencia a momento flector Z y fuerza cortante Y combinados $NM_y M_z$: Resistencia a flexión y axil combinados $NM_y M_z V_y V_z$: Resistencia a flexión, axil y cortante combinados M_t : Resistencia a torsión $M_y V_z$: Resistencia a cortante Z y momento torsor combinados $M_z V_y$: Resistencia a cortante Y y momento torsor combinados x : Distancia al origen de la barra η : Coeficiente de aprovechamiento (%) N.P.: No procede																
Comprobaciones que no proceden (N.P.): ⁽¹⁾ La comprobación no procede, ya que no hay axil de compresión ni de tracción. ⁽²⁾ La comprobación no procede, ya que no hay axil de tracción. ⁽³⁾ La comprobación no procede, ya que no hay axil de compresión. ⁽⁴⁾ La comprobación no procede, ya que no hay momento flector. ⁽⁵⁾ La comprobación no procede, ya que no hay esfuerzo cortante. ⁽⁶⁾ No hay interacción entre momento flector y esfuerzo cortante para ninguna combinación. Por lo tanto, la comprobación no procede. ⁽⁷⁾ No hay interacción entre axil y momento flector ni entre momentos flectores en ambas direcciones para ninguna combinación. Por lo tanto, la comprobación no procede. ⁽⁸⁾ No hay interacción entre momento flector, axil y cortante para ninguna combinación. Por lo tanto, la comprobación no procede. ⁽⁹⁾ No hay interacción entre momento torsor y esfuerzo cortante para ninguna combinación. Por lo tanto, la comprobación no procede. ⁽¹⁰⁾ La comprobación no procede, ya que no hay momento torsor.																

Tramos	COMPROBACIONES DE RESISTENCIA (CTE DB SE-A) - SITUACIÓN DE INCENDIO													Estado
	N _t	N _c	M _y	M _z	V _z	V _y	M _y V _z	M _z V _y	NM _y M _z	NM _y M _z V _y V _z	M _t	M _y V _z	M _z V _y	
G-D1 - G-D2	N _{Ed} = 0,00 N.P. ⁽¹⁾	N _{Ed} = 0,00 N.P. ⁽²⁾	x: 7.51 m η = 91.0	M _{Ed} = 0,00 N.P. ⁽³⁾	x: 7.51 m η = 26.2	V _{Ed} = 0,00 N.P. ⁽⁴⁾	η < 0.1	N.P. ⁽⁵⁾	N.P. ⁽⁶⁾	N.P. ⁽⁷⁾	x: 0 m η = 9.2	x: 7.51 m η = 26.7	N.P. ⁽⁸⁾	CUMPLE η = 91.0
G-D2 - G-D3	N _{Ed} = 0,00 N.P. ⁽¹⁾	N _{Ed} = 0,00 N.P. ⁽²⁾	x: 0 m η = 77.7	M _{Ed} = 0,00 N.P. ⁽³⁾	x: 0 m η = 26.5	V _{Ed} = 0,00 N.P. ⁽⁴⁾	x: 0 m η < 0.1	N.P. ⁽⁵⁾	N.P. ⁽⁶⁾	N.P. ⁽⁷⁾	x: 0 m η = 8.6	x: 0 m η = 27.3	N.P. ⁽⁸⁾	CUMPLE η = 77.7
G-D3 - G-D4	N _{Ed} = 0,00 N.P. ⁽¹⁾	N _{Ed} = 0,00 N.P. ⁽²⁾	x: 3.42 m η = 58.2	M _{Ed} = 0,00 N.P. ⁽³⁾	x: 0 m η = 10.6	V _{Ed} = 0,00 N.P. ⁽⁴⁾	x: 0.342 m η < 0.1	N.P. ⁽⁵⁾	N.P. ⁽⁶⁾	N.P. ⁽⁷⁾	M _{Ed} = 0,00 N.P. ⁽⁹⁾	N.P. ⁽⁸⁾	N.P. ⁽⁸⁾	CUMPLE η = 58.2
G-D4 - G-D5	N _{Ed} = 0,00 N.P. ⁽¹⁾	N _{Ed} = 0,00 N.P. ⁽²⁾	x: 3.4 m η = 57.5	M _{Ed} = 0,00 N.P. ⁽³⁾	x: 0 m η = 10.6	V _{Ed} = 0,00 N.P. ⁽⁴⁾	x: 0.34 m η < 0.1	N.P. ⁽⁵⁾	N.P. ⁽⁶⁾	N.P. ⁽⁷⁾	M _{Ed} = 0,00 N.P. ⁽⁹⁾	N.P. ⁽⁸⁾	N.P. ⁽⁸⁾	CUMPLE η = 57.5
G-D5 - G-D6	N _{Ed} = 0,00 N.P. ⁽¹⁾	N _{Ed} = 0,00 N.P. ⁽²⁾	x: 3.4 m η = 57.5	M _{Ed} = 0,00 N.P. ⁽³⁾	x: 0 m η = 10.6	V _{Ed} = 0,00 N.P. ⁽⁴⁾	x: 0.34 m η < 0.1	N.P. ⁽⁵⁾	N.P. ⁽⁶⁾	N.P. ⁽⁷⁾	M _{Ed} = 0,00 N.P. ⁽⁹⁾	N.P. ⁽⁸⁾	N.P. ⁽⁸⁾	CUMPLE η = 57.5
G-D6 - G-D7	N _{Ed} = 0,00 N.P. ⁽¹⁾	N _{Ed} = 0,00 N.P. ⁽²⁾	x: 3.42 m η = 58.2	M _{Ed} = 0,00 N.P. ⁽³⁾	x: 0 m η = 10.6	V _{Ed} = 0,00 N.P. ⁽⁴⁾	x: 0.342 m η < 0.1	N.P. ⁽⁵⁾	N.P. ⁽⁶⁾	N.P. ⁽⁷⁾	M _{Ed} = 0,00 N.P. ⁽⁹⁾	N.P. ⁽⁸⁾	N.P. ⁽⁸⁾	CUMPLE η = 58.2
G-B1 - G-B2	N _{Ed} = 0,00 N.P. ⁽¹⁾	N _{Ed} = 0,00 N.P. ⁽²⁾	x: 7.502 m η = 87.4	M _{Ed} = 0,00 N.P. ⁽³⁾	x: 7.502 m η = 31.4	V _{Ed} = 0,00 N.P. ⁽⁴⁾	η < 0.1	N.P. ⁽⁵⁾	N.P. ⁽⁶⁾	N.P. ⁽⁷⁾	x: 0 m η = 5.0	x: 7.502 m η = 31.8	N.P. ⁽⁸⁾	CUMPLE η = 87.4
G-B2 - G-B3	N _{Ed} = 0,00 N.P. ⁽¹⁾	N _{Ed} = 0,00 N.P. ⁽²⁾	x: 0 m η = 87.8	M _{Ed} = 0,00 N.P. ⁽³⁾	x: 0 m η = 40.1	V _{Ed} = 0,00 N.P. ⁽⁴⁾	η < 0.1	N.P. ⁽⁵⁾	N.P. ⁽⁶⁾	N.P. ⁽⁷⁾	x: 4.454 m η = 12.7	x: 0 m η = 41.4	N.P. ⁽⁸⁾	CUMPLE η = 87.8
G-A1 - G-A2	N _{Ed} = 0,00 N.P. ⁽¹⁾	N _{Ed} = 0,00 N.P. ⁽²⁾	x: 7.52 m η = 96.6	M _{Ed} = 0,00 N.P. ⁽³⁾	x: 7.52 m η = 21.6	V _{Ed} = 0,00 N.P. ⁽⁴⁾	η < 0.1	N.P. ⁽⁵⁾	N.P. ⁽⁶⁾	N.P. ⁽⁷⁾	x: 0 m η = 1.7	x: 7.52 m η = 21.6	N.P. ⁽⁸⁾	CUMPLE η = 96.6
G-A2 - G-A3	N _{Ed} = 0,00 N.P. ⁽¹⁾	N _{Ed} = 0,00 N.P. ⁽²⁾	x: 0 m η = 75.8	M _{Ed} = 0,00 N.P. ⁽³⁾	x: 0 m η = 25.1	V _{Ed} = 0,00 N.P. ⁽⁴⁾	x: 0 m η < 0.1	N.P. ⁽⁵⁾	N.P. ⁽⁶⁾	N.P. ⁽⁷⁾	x: 0 m η = 3.6	x: 0 m η = 25.2	N.P. ⁽⁸⁾	CUMPLE η = 75.8
G-A3 - G-A4	N _{Ed} = 0,00 N.P. ⁽¹⁾	N _{Ed} = 0,00 N.P. ⁽²⁾	x: 3.42 m η = 58.2	M _{Ed} = 0,00 N.P. ⁽³⁾	x: 0 m η = 10.6	V _{Ed} = 0,00 N.P. ⁽⁴⁾	x: 0.342 m η < 0.1	N.P. ⁽⁵⁾	N.P. ⁽⁶⁾	N.P. ⁽⁷⁾	M _{Ed} = 0,00 N.P. ⁽⁹⁾	N.P. ⁽⁸⁾	N.P. ⁽⁸⁾	CUMPLE η = 58.2
G-A4 - G-A5	N _{Ed} = 0,00 N.P. ⁽¹⁾	N _{Ed} = 0,00 N.P. ⁽²⁾	x: 3.4 m η = 57.5	M _{Ed} = 0,00 N.P. ⁽³⁾	x: 0 m η = 10.6	V _{Ed} = 0,00 N.P. ⁽⁴⁾	x: 0.34 m η < 0.1	N.P. ⁽⁵⁾	N.P. ⁽⁶⁾	N.P. ⁽⁷⁾	M _{Ed} = 0,00 N.P. ⁽⁹⁾	N.P. ⁽⁸⁾	N.P. ⁽⁸⁾	CUMPLE η = 57.5
G-A5 - G-A6	N _{Ed} = 0,00 N.P. ⁽¹⁾	N _{Ed} = 0,00 N.P. ⁽²⁾	x: 3.4 m η = 57.5	M _{Ed} = 0,00 N.P. ⁽³⁾	x: 0 m η = 10.6	V _{Ed} = 0,00 N.P. ⁽⁴⁾	x: 0.34 m η < 0.1	N.P. ⁽⁵⁾	N.P. ⁽⁶⁾	N.P. ⁽⁷⁾	M _{Ed} = 0,00 N.P. ⁽⁹⁾	N.P. ⁽⁸⁾	N.P. ⁽⁸⁾	CUMPLE η = 57.5
G-A6 - G-A7	N _{Ed} = 0,00 N.P. ⁽¹⁾	N _{Ed} = 0,00 N.P. ⁽²⁾	x: 3.42 m η = 58.2	M _{Ed} = 0,00 N.P. ⁽³⁾	x: 0 m η = 10.6	V _{Ed} = 0,00 N.P. ⁽⁴⁾	x: 0.342 m η < 0.1	N.P. ⁽⁵⁾	N.P. ⁽⁶⁾	N.P. ⁽⁷⁾	M _{Ed} = 0,00 N.P. ⁽⁹⁾	N.P. ⁽⁸⁾	N.P. ⁽⁸⁾	CUMPLE η = 58.2
G-D7 - G-C7	N _{Ed} = 0,00 N.P. ⁽¹⁾	N _{Ed} = 0,00 N.P. ⁽²⁾	x: 0 m η = 92.1	M _{Ed} = 0,00 N.P. ⁽³⁾	x: 0 m η = 22.7	V _{Ed} = 0,00 N.P. ⁽⁴⁾	η < 0.1	N.P. ⁽⁵⁾	N.P. ⁽⁶⁾	N.P. ⁽⁷⁾	η = 0.1	x: 0 m η = 22.6	N.P. ⁽⁸⁾	CUMPLE η = 92.1
G-C7 - G-B7	N _{Ed} = 0,00 N.P. ⁽¹⁾	N _{Ed} = 0,00 N.P. ⁽²⁾	x: 2.54 m η = 23.8	M _{Ed} = 0,00 N.P. ⁽³⁾	x: 2.54 m η = 9.0	V _{Ed} = 0,00 N.P. ⁽⁴⁾	η < 0.1	N.P. ⁽⁵⁾	N.P. ⁽⁶⁾	N.P. ⁽⁷⁾	M _{Ed} = 0,00 N.P. ⁽⁹⁾	N.P. ⁽⁸⁾	N.P. ⁽⁸⁾	CUMPLE η = 23.8
G-B7 - G-A7	N _{Ed} = 0,00 N.P. ⁽¹⁾	N _{Ed} = 0,00 N.P. ⁽²⁾	x: 6.25 m η = 92.9	M _{Ed} = 0,00 N.P. ⁽³⁾	x: 6.25 m η = 22.7	V _{Ed} = 0,00 N.P. ⁽⁴⁾	η < 0.1	N.P. ⁽⁵⁾	N.P. ⁽⁶⁾	N.P. ⁽⁷⁾	η = 0.1	x: 6.25 m η = 22.6	N.P. ⁽⁸⁾	CUMPLE η = 92.9
Notación:														
N _t : Resistencia a tracción														
N _c : Resistencia a compresión														
M _y : Resistencia a flexión eje Y														
M _z : Resistencia a flexión eje Z														
V _z : Resistencia a corte Z														
V _y : Resistencia a corte Y														
M _y V _z : Resistencia a momento flector Y y fuerza cortante Z combinados														
M _z V _y : Resistencia a momento flector Z y fuerza cortante Y combinados														
NM _y M _z : Resistencia a flexión y axil combinados														
NM _y M _z V _y V _z : Resistencia a flexión, axil y cortante combinados														
M _t : Resistencia a torsión														
M _y V _z : Resistencia a cortante Z y momento torsor combinados														
M _z V _y : Resistencia a cortante Y y momento torsor combinados														
x: Distancia al origen de la barra														
η: Coeficiente de aprovechamiento (%)														
N.P.: No procede														



PROYECTO BÁSICO DE EJECUCIÓN DE AMPLIACIÓN DEL CEIP VALDEBEBAS, 4 AULAS DE INFANTIL, 4 AULAS DE PRIMARIA, 3 AULAS ESPECIFICAS, BIBLIOTECA, 2 AULAS DE DESDOBLE, GIMNASIO Y PISTA DEPORTIVA

I. MEMORIA

Tramos	COMPROBACIONES DE RESISTENCIA (CTE DB SE-A) - SITUACIÓN DE INCENDIO													Estado
	N _t	N _c	M _y	M _z	V _z	V _y	M _y V _z	M _z V _y	NM _y M _z	NM _y M _z V _y V _z	M _t	M _t V _z	M _t V _y	
Comprobaciones que no proceden (N.P.):														
⁽¹⁾ La comprobación no procede, ya que no hay axil de tracción.														
⁽²⁾ La comprobación no procede, ya que no hay axil de compresión.														
⁽³⁾ La comprobación no procede, ya que no hay momento flector.														
⁽⁴⁾ La comprobación no procede, ya que no hay esfuerzo cortante.														
⁽⁵⁾ No hay interacción entre momento flector y esfuerzo cortante para ninguna combinación. Por lo tanto, la comprobación no procede.														
⁽⁶⁾ No hay interacción entre axil y momento flector ni entre momentos flectores en ambas direcciones para ninguna combinación. Por lo tanto, la comprobación no procede.														
⁽⁷⁾ No hay interacción entre momento flector, axil y cortante para ninguna combinación. Por lo tanto, la comprobación no procede.														
⁽⁸⁾ No hay interacción entre momento torsor y esfuerzo cortante para ninguna combinación. Por lo tanto, la comprobación no procede.														
⁽⁹⁾ La comprobación no procede, ya que no hay momento torsor.														

3.3.- Cubierta Pabellón

Tramos	COMPROBACIONES DE RESISTENCIA (CTE DB SE-A) - TEMPERATURA AMBIENTE															Estado
	λ	λ_w	N_t	N_c	M_y	M_z	V_z	V_y	M_1V_2	M_2V_1	NM_1M_2	$NM_1M_2V_1V_2$	M_t	M_1V_2	M_1V_1	
G-D3 - G-D4	N.P. ⁽¹⁾	$x: 0.343\text{ m}$ $\lambda_w \leq \lambda_{w,m\acute{a}x}$ Cumple	$N_{Ed} = 0,00$ N.P. ⁽²⁾	$N_{Ed} = 0,00$ N.P. ⁽³⁾	$x: 3.43\text{ m}$ $\eta = 42.7$	$M_{Ed} = 0,00$ N.P. ⁽⁴⁾	$x: 6.86\text{ m}$ $\eta = 5.8$	$V_{Ed} = 0,00$ N.P. ⁽⁵⁾	$x: 0.343\text{ m}$ $\eta < 0.1$	N.P. ⁽⁶⁾	N.P. ⁽⁷⁾	N.P. ⁽⁸⁾	$M_{Ed} = 0,00$ N.P. ⁽⁹⁾	N.P. ⁽¹⁰⁾	N.P. ⁽¹⁰⁾	CUMPLE $\eta = 42.7$
G-D4 - G-D5	N.P. ⁽¹⁾	$x: 0.342\text{ m}$ $\lambda_w \leq \lambda_{w,m\acute{a}x}$ Cumple	$N_{Ed} = 0,00$ N.P. ⁽²⁾	$N_{Ed} = 0,00$ N.P. ⁽³⁾	$x: 3.42\text{ m}$ $\eta = 42.4$	$M_{Ed} = 0,00$ N.P. ⁽⁴⁾	$x: 0\text{ m}$ $\eta = 5.8$	$V_{Ed} = 0,00$ N.P. ⁽⁵⁾	$x: 0.342\text{ m}$ $\eta < 0.1$	N.P. ⁽⁶⁾	N.P. ⁽⁷⁾	N.P. ⁽⁸⁾	$M_{Ed} = 0,00$ N.P. ⁽⁹⁾	N.P. ⁽¹⁰⁾	N.P. ⁽¹⁰⁾	CUMPLE $\eta = 42.4$
G-D5 - G-D6	N.P. ⁽¹⁾	$x: 0.342\text{ m}$ $\lambda_w \leq \lambda_{w,m\acute{a}x}$ Cumple	$N_{Ed} = 0,00$ N.P. ⁽²⁾	$N_{Ed} = 0,00$ N.P. ⁽³⁾	$x: 3.42\text{ m}$ $\eta = 42.4$	$M_{Ed} = 0,00$ N.P. ⁽⁴⁾	$x: 0\text{ m}$ $\eta = 5.8$	$V_{Ed} = 0,00$ N.P. ⁽⁵⁾	$x: 0.342\text{ m}$ $\eta < 0.1$	N.P. ⁽⁶⁾	N.P. ⁽⁷⁾	N.P. ⁽⁸⁾	$M_{Ed} = 0,00$ N.P. ⁽⁹⁾	N.P. ⁽¹⁰⁾	N.P. ⁽¹⁰⁾	CUMPLE $\eta = 42.4$
G-D6 - G-D7	N.P. ⁽¹⁾	$x: 0.343\text{ m}$ $\lambda_w \leq \lambda_{w,m\acute{a}x}$ Cumple	$N_{Ed} = 0,00$ N.P. ⁽²⁾	$N_{Ed} = 0,00$ N.P. ⁽³⁾	$x: 3.43\text{ m}$ $\eta = 42.7$	$M_{Ed} = 0,00$ N.P. ⁽⁴⁾	$x: 0\text{ m}$ $\eta = 5.8$	$V_{Ed} = 0,00$ N.P. ⁽⁵⁾	$x: 0.343\text{ m}$ $\eta < 0.1$	N.P. ⁽⁶⁾	N.P. ⁽⁷⁾	N.P. ⁽⁸⁾	$M_{Ed} = 0,00$ N.P. ⁽⁹⁾	N.P. ⁽¹⁰⁾	N.P. ⁽¹⁰⁾	CUMPLE $\eta = 42.7$
G-A3 - G-A4	N.P. ⁽¹⁾	$x: 0.343\text{ m}$ $\lambda_w \leq \lambda_{w,m\acute{a}x}$ Cumple	$N_{Ed} = 0,00$ N.P. ⁽²⁾	$N_{Ed} = 0,00$ N.P. ⁽³⁾	$x: 3.43\text{ m}$ $\eta = 50.6$	$M_{Ed} = 0,00$ N.P. ⁽⁴⁾	$x: 6.86\text{ m}$ $\eta = 6.9$	$V_{Ed} = 0,00$ N.P. ⁽⁵⁾	$x: 0.343\text{ m}$ $\eta < 0.1$	N.P. ⁽⁶⁾	N.P. ⁽⁷⁾	N.P. ⁽⁸⁾	$M_{Ed} = 0,00$ N.P. ⁽⁹⁾	N.P. ⁽¹⁰⁾	N.P. ⁽¹⁰⁾	CUMPLE $\eta = 50.6$
G-A4 - G-A5	N.P. ⁽¹⁾	$x: 0.342\text{ m}$ $\lambda_w \leq \lambda_{w,m\acute{a}x}$ Cumple	$N_{Ed} = 0,00$ N.P. ⁽²⁾	$N_{Ed} = 0,00$ N.P. ⁽³⁾	$x: 3.42\text{ m}$ $\eta = 50.1$	$M_{Ed} = 0,00$ N.P. ⁽⁴⁾	$x: 0\text{ m}$ $\eta = 6.9$	$V_{Ed} = 0,00$ N.P. ⁽⁵⁾	$x: 0.342\text{ m}$ $\eta < 0.1$	N.P. ⁽⁶⁾	N.P. ⁽⁷⁾	N.P. ⁽⁸⁾	$M_{Ed} = 0,00$ N.P. ⁽⁹⁾	N.P. ⁽¹⁰⁾	N.P. ⁽¹⁰⁾	CUMPLE $\eta = 50.1$
G-A5 - G-A6	N.P. ⁽¹⁾	$x: 0.342\text{ m}$ $\lambda_w \leq \lambda_{w,m\acute{a}x}$ Cumple	$N_{Ed} = 0,00$ N.P. ⁽²⁾	$N_{Ed} = 0,00$ N.P. ⁽³⁾	$x: 3.42\text{ m}$ $\eta = 50.1$	$M_{Ed} = 0,00$ N.P. ⁽⁴⁾	$x: 0\text{ m}$ $\eta = 6.9$	$V_{Ed} = 0,00$ N.P. ⁽⁵⁾	$x: 0.342\text{ m}$ $\eta < 0.1$	N.P. ⁽⁶⁾	N.P. ⁽⁷⁾	N.P. ⁽⁸⁾	$M_{Ed} = 0,00$ N.P. ⁽⁹⁾	N.P. ⁽¹⁰⁾	N.P. ⁽¹⁰⁾	CUMPLE $\eta = 50.1$
G-A6 - G-A7	N.P. ⁽¹⁾	$x: 0.343\text{ m}$ $\lambda_w \leq \lambda_{w,m\acute{a}x}$ Cumple	$N_{Ed} = 0,00$ N.P. ⁽²⁾	$N_{Ed} = 0,00$ N.P. ⁽³⁾	$x: 3.43\text{ m}$ $\eta = 50.6$	$M_{Ed} = 0,00$ N.P. ⁽⁴⁾	$x: 0\text{ m}$ $\eta = 6.9$	$V_{Ed} = 0,00$ N.P. ⁽⁵⁾	$x: 0.343\text{ m}$ $\eta < 0.1$	N.P. ⁽⁶⁾	N.P. ⁽⁷⁾	N.P. ⁽⁸⁾	$M_{Ed} = 0,00$ N.P. ⁽⁹⁾	N.P. ⁽¹⁰⁾	N.P. ⁽¹⁰⁾	CUMPLE $\eta = 50.6$
G-D3 - G-C3	N.P. ⁽¹⁾	$\lambda_w \leq \lambda_{w,m\acute{a}x}$ Cumple	$N_{Ed} = 0,00$ N.P. ⁽²⁾	$N_{Ed} = 0,00$ N.P. ⁽³⁾	$x: 0\text{ m}$ $\eta = 76.5$	$M_{Ed} = 0,00$ N.P. ⁽⁴⁾	$x: 6.23\text{ m}$ $\eta = 18.1$	$V_{Ed} = 0,00$ N.P. ⁽⁵⁾	$\eta < 0.1$	N.P. ⁽⁶⁾	N.P. ⁽⁷⁾	N.P. ⁽⁸⁾	$x: 5.36\text{ m}$ $\eta = 1.7$	$x: 6.23\text{ m}$ $\eta = 18.2$	N.P. ⁽¹⁰⁾	CUMPLE $\eta = 76.5$
G-C3 - G-B3	N.P. ⁽¹⁾	$x: 0\text{ m}$ $\lambda_w \leq \lambda_{w,m\acute{a}x}$ Cumple	$N_{Ed} = 0,00$ N.P. ⁽²⁾	$N_{Ed} = 0,00$ N.P. ⁽³⁾	$x: 0\text{ m}$ $\eta = 31.3$	$M_{Ed} = 0,00$ N.P. ⁽⁴⁾	$x: 0\text{ m}$ $\eta = 11.0$	$V_{Ed} = 0,00$ N.P. ⁽⁵⁾	$x: 0\text{ m}$ $\eta < 0.1$	N.P. ⁽⁶⁾	N.P. ⁽⁷⁾	N.P. ⁽⁸⁾	$x: 0\text{ m}$ $\eta = 1.9$	$x: 0\text{ m}$ $\eta = 11.0$	N.P. ⁽¹⁰⁾	CUMPLE $\eta = 31.3$
G-B3 - G-A3	N.P. ⁽¹⁾	$x: 0.135\text{ m}$ $\lambda_w \leq \lambda_{w,m\acute{a}x}$ Cumple	$N_{Ed} = 0,00$ N.P. ⁽²⁾	$N_{Ed} = 0,00$ N.P. ⁽³⁾	$x: 6.23\text{ m}$ $\eta = 96.2$	$M_{Ed} = 0,00$ N.P. ⁽⁴⁾	$x: 6.23\text{ m}$ $\eta = 17.3$	$V_{Ed} = 0,00$ N.P. ⁽⁵⁾	$x: 0.135\text{ m}$ $\eta < 0.1$	N.P. ⁽⁶⁾	N.P. ⁽⁷⁾	N.P. ⁽⁸⁾	$x: 0.27\text{ m}$ $\eta = 0.8$	$x: 6.23\text{ m}$ $\eta = 17.3$	N.P. ⁽¹⁰⁾	CUMPLE $\eta = 96.2$
G-D4 - G-A4	$\tilde{\lambda} < 2.0$ Cumple	$\lambda_w \leq \lambda_{w,m\acute{a}x}$ Cumple	$x: 7.32\text{ m}$ $\eta = 39.7$	$x: 0\text{ m}$ $\eta = 42.8$	$x: 0\text{ m}$ $\eta = 85.2$	$M_{Ed} = 0,00$ N.P. ⁽⁴⁾	$x: 0\text{ m}$ $\eta = 61.0$	$V_{Ed} = 0,00$ N.P. ⁽⁵⁾	$x: 0\text{ m}$ $\eta = 23.5$	N.P. ⁽⁶⁾	$x: 0\text{ m}$ $\eta = 55.1$	$x: 0\text{ m}$ $\eta = 56.5$	$x: 0\text{ m}$ $\eta = 1.0$	$x: 0\text{ m}$ $\eta = 61.0$	N.P. ⁽¹⁰⁾	CUMPLE $\eta = 85.2$
G-D5 - G-A5	$\tilde{\lambda} < 2.0$ Cumple	$\lambda_w \leq \lambda_{w,m\acute{a}x}$ Cumple	$x: 7.32\text{ m}$ $\eta = 39.7$	$x: 7.32\text{ m}$ $\eta = 42.8$	$x: 0\text{ m}$ $\eta = 83.4$	$M_{Ed} = 0,00$ N.P. ⁽⁴⁾	$x: 0\text{ m}$ $\eta = 60.7$	$V_{Ed} = 0,00$ N.P. ⁽⁵⁾	$x: 0\text{ m}$ $\eta = 23.3$	N.P. ⁽⁶⁾	$x: 0\text{ m}$ $\eta = 54.3$	$x: 0\text{ m}$ $\eta = 55.6$	$x: 0\text{ m}$ $\eta = 1.2$	$x: 0\text{ m}$ $\eta = 60.8$	N.P. ⁽¹⁰⁾	CUMPLE $\eta = 83.4$
G-D6 - G-A6	$\tilde{\lambda} < 2.0$ Cumple	$\lambda_w \leq \lambda_{w,m\acute{a}x}$ Cumple	$x: 7.32\text{ m}$ $\eta = 39.7$	$x: 7.32\text{ m}$ $\eta = 42.8$	$x: 15.24\text{ m}$ $\eta = 83.6$	$M_{Ed} = 0,00$ N.P. ⁽⁴⁾	$x: 0\text{ m}$ $\eta = 60.4$	$V_{Ed} = 0,00$ N.P. ⁽⁵⁾	$x: 0\text{ m}$ $\eta = 23.1$	N.P. ⁽⁶⁾	$x: 0\text{ m}$ $\eta = 53.5$	$x: 0\text{ m}$ $\eta = 54.7$	$x: 0\text{ m}$ $\eta = 1.5$	$x: 0\text{ m}$ $\eta = 60.5$	N.P. ⁽¹⁰⁾	CUMPLE $\eta = 83.6$
G-D7 - G-C7	N.P. ⁽¹⁾	$\lambda_w \leq \lambda_{w,m\acute{a}x}$ Cumple	$N_{Ed} = 0,00$ N.P. ⁽²⁾	$N_{Ed} = 0,00$ N.P. ⁽³⁾	$x: 0\text{ m}$ $\eta = 75.7$	$M_{Ed} = 0,00$ N.P. ⁽⁴⁾	$x: 6.25\text{ m}$ $\eta = 18.0$	$V_{Ed} = 0,00$ N.P. ⁽⁵⁾	$\eta < 0.1$	N.P. ⁽⁶⁾	N.P. ⁽⁷⁾	N.P. ⁽⁸⁾	$x: 5.36\text{ m}$ $\eta = 2.1$	$x: 6.25\text{ m}$ $\eta = 18.1$	N.P. ⁽¹⁰⁾	CUMPLE $\eta = 75.7$
G-C7 - G-B7	N.P. ⁽¹⁾	$\lambda_w \leq \lambda_{w,m\acute{a}x}$ Cumple	$N_{Ed} = 0,00$ N.P. ⁽²⁾	$N_{Ed} = 0,00$ N.P. ⁽³⁾	$x: 0\text{ m}$ $\eta = 26.2$	$M_{Ed} = 0,00$ N.P. ⁽⁴⁾	$x: 0\text{ m}$ $\eta = 7.2$	$V_{Ed} = 0,00$ N.P. ⁽⁵⁾	$\eta < 0.1$	N.P. ⁽⁶⁾	N.P. ⁽⁷⁾	N.P. ⁽⁸⁾	$x: 0\text{ m}$ $\eta = 1.8$	$x: 0\text{ m}$ $\eta = 7.2$	N.P. ⁽¹⁰⁾	CUMPLE $\eta = 26.2$
G-B7 - G-A7	N.P. ⁽¹⁾	$\lambda_w \leq \lambda_{w,m\acute{a}x}$ Cumple	$N_{Ed} = 0,00$ N.P. ⁽²⁾	$N_{Ed} = 0,00$ N.P. ⁽³⁾	$x: 6.25\text{ m}$ $\eta = 73.0$	$M_{Ed} = 0,00$ N.P. ⁽⁴⁾	$x: 0\text{ m}$ $\eta = 20.5$	$V_{Ed} = 0,00$ N.P. ⁽⁵⁾	$\eta < 0.1$	N.P. ⁽⁶⁾	N.P. ⁽⁷⁾	N.P. ⁽⁸⁾	$x: 0\text{ m}$ $\eta = 3.6$	$x: 0\text{ m}$ $\eta = 20.8$	N.P. ⁽¹⁰⁾	CUMPLE $\eta = 73.0$
Notación: $\tilde{\lambda}$: Limitación de esbeltez λ_w : Abolladura del alma inducida por el ala comprimida N_t : Resistencia a tracción N_c : Resistencia a compresión M_y : Resistencia a flexión eje Y M_z : Resistencia a flexión eje Z V_z : Resistencia a corte Z V_y : Resistencia a corte Y M_1V_2 : Resistencia a momento flector Y y fuerza cortante Z combinados M_2V_1 : Resistencia a momento flector Z y fuerza cortante Y combinados NM_1M_2 : Resistencia a flexión y axil combinados $NM_1M_2V_1V_2$: Resistencia a flexión, axil y cortante combinados M_t : Resistencia a torsión M_1V_2 : Resistencia a cortante Z y momento torsor combinados M_1V_1 : Resistencia a cortante Y y momento torsor combinados x : Distancia al origen de la barra η : Coeficiente de aprovechamiento (%) N.P.: No procede																
Comprobaciones que no proceden (N.P.): ⁽¹⁾ La comprobación no procede, ya que no hay axil de compresión ni de tracción. ⁽²⁾ La comprobación no procede, ya que no hay axil de tracción. ⁽³⁾ La comprobación no procede, ya que no hay axil de compresión. ⁽⁴⁾ La comprobación no procede, ya que no hay momento flector. ⁽⁵⁾ La comprobación no procede, ya que no hay esfuerzo cortante. ⁽⁶⁾ No hay interacción entre momento flector y esfuerzo cortante para ninguna combinación. Por lo tanto, la comprobación no procede. ⁽⁷⁾ No hay interacción entre axil y momento flector ni entre momentos flectores en ambas direcciones para ninguna combinación. Por lo tanto, la comprobación no procede. ⁽⁸⁾ No hay interacción entre momento flector, axil y cortante para ninguna combinación. Por lo tanto, la comprobación no procede. ⁽⁹⁾ La comprobación no procede, ya que no hay momento torsor. ⁽¹⁰⁾ No hay interacción entre momento torsor y esfuerzo cortante para ninguna combinación. Por lo tanto, la comprobación no procede.																

Tramos	COMPROBACIONES DE RESISTENCIA (CTE DB SE-A) - SITUACIÓN DE INCENDIO													Estado
	N _t	N _c	M _y	M _z	V _z	V _y	M _y V _z	M _z V _y	NM _y M _z	NM _y M _z V _y V _z	M _t	M _t V _z	M _t V _y	
G-D3 - G-D4	N _{Ed} = 0,00 N.P. ⁽¹⁾	N _{Ed} = 0,00 N.P. ⁽²⁾	x: 3.43 m η = 53.9	M _{Ed} = 0,00 N.P. ⁽³⁾	x: 6.86 m η = 5.0	V _{Ed} = 0,00 N.P. ⁽⁴⁾	x: 0.343 m η < 0.1	N.P. ⁽⁵⁾	N.P. ⁽⁶⁾	N.P. ⁽⁷⁾	M _{Ed} = 0,00 N.P. ⁽⁸⁾	N.P. ⁽⁹⁾	N.P. ⁽⁹⁾	CUMPLE η = 53.9
G-D4 - G-D5	N _{Ed} = 0,00 N.P. ⁽¹⁾	N _{Ed} = 0,00 N.P. ⁽²⁾	x: 3.42 m η = 53.5	M _{Ed} = 0,00 N.P. ⁽³⁾	x: 0 m η = 5.0	V _{Ed} = 0,00 N.P. ⁽⁴⁾	x: 0.342 m η < 0.1	N.P. ⁽⁵⁾	N.P. ⁽⁶⁾	N.P. ⁽⁷⁾	M _{Ed} = 0,00 N.P. ⁽⁸⁾	N.P. ⁽⁹⁾	N.P. ⁽⁹⁾	CUMPLE η = 53.5
G-D5 - G-D6	N _{Ed} = 0,00 N.P. ⁽¹⁾	N _{Ed} = 0,00 N.P. ⁽²⁾	x: 3.42 m η = 53.5	M _{Ed} = 0,00 N.P. ⁽³⁾	x: 0 m η = 5.0	V _{Ed} = 0,00 N.P. ⁽⁴⁾	x: 0.342 m η < 0.1	N.P. ⁽⁵⁾	N.P. ⁽⁶⁾	N.P. ⁽⁷⁾	M _{Ed} = 0,00 N.P. ⁽⁸⁾	N.P. ⁽⁹⁾	N.P. ⁽⁹⁾	CUMPLE η = 53.5
G-D6 - G-D7	N _{Ed} = 0,00 N.P. ⁽¹⁾	N _{Ed} = 0,00 N.P. ⁽²⁾	x: 3.43 m η = 53.9	M _{Ed} = 0,00 N.P. ⁽³⁾	x: 0 m η = 5.0	V _{Ed} = 0,00 N.P. ⁽⁴⁾	x: 0.343 m η < 0.1	N.P. ⁽⁵⁾	N.P. ⁽⁶⁾	N.P. ⁽⁷⁾	M _{Ed} = 0,00 N.P. ⁽⁸⁾	N.P. ⁽⁹⁾	N.P. ⁽⁹⁾	CUMPLE η = 53.9
G-A3 - G-A4	N _{Ed} = 0,00 N.P. ⁽¹⁾	N _{Ed} = 0,00 N.P. ⁽²⁾	x: 3.43 m η = 62.1	M _{Ed} = 0,00 N.P. ⁽³⁾	x: 6.86 m η = 5.8	V _{Ed} = 0,00 N.P. ⁽⁴⁾	x: 0.343 m η < 0.1	N.P. ⁽⁵⁾	N.P. ⁽⁶⁾	N.P. ⁽⁷⁾	M _{Ed} = 0,00 N.P. ⁽⁸⁾	N.P. ⁽⁹⁾	N.P. ⁽⁹⁾	CUMPLE η = 62.1
G-A4 - G-A5	N _{Ed} = 0,00 N.P. ⁽¹⁾	N _{Ed} = 0,00 N.P. ⁽²⁾	x: 3.42 m η = 61.6	M _{Ed} = 0,00 N.P. ⁽³⁾	x: 0 m η = 5.8	V _{Ed} = 0,00 N.P. ⁽⁴⁾	x: 0.342 m η < 0.1	N.P. ⁽⁵⁾	N.P. ⁽⁶⁾	N.P. ⁽⁷⁾	M _{Ed} = 0,00 N.P. ⁽⁸⁾	N.P. ⁽⁹⁾	N.P. ⁽⁹⁾	CUMPLE η = 61.6
G-A5 - G-A6	N _{Ed} = 0,00 N.P. ⁽¹⁾	N _{Ed} = 0,00 N.P. ⁽²⁾	x: 3.42 m η = 61.6	M _{Ed} = 0,00 N.P. ⁽³⁾	x: 0 m η = 5.8	V _{Ed} = 0,00 N.P. ⁽⁴⁾	x: 0.342 m η < 0.1	N.P. ⁽⁵⁾	N.P. ⁽⁶⁾	N.P. ⁽⁷⁾	M _{Ed} = 0,00 N.P. ⁽⁸⁾	N.P. ⁽⁹⁾	N.P. ⁽⁹⁾	CUMPLE η = 61.6
G-A6 - G-A7	N _{Ed} = 0,00 N.P. ⁽¹⁾	N _{Ed} = 0,00 N.P. ⁽²⁾	x: 3.43 m η = 62.1	M _{Ed} = 0,00 N.P. ⁽³⁾	x: 0 m η = 5.8	V _{Ed} = 0,00 N.P. ⁽⁴⁾	x: 0.343 m η < 0.1	N.P. ⁽⁵⁾	N.P. ⁽⁶⁾	N.P. ⁽⁷⁾	M _{Ed} = 0,00 N.P. ⁽⁸⁾	N.P. ⁽⁹⁾	N.P. ⁽⁹⁾	CUMPLE η = 62.1



I. MEMORIA

G-D3 - G-C3	$N_{Ed} = 0.00$ N.P. ⁽¹⁾	$N_{Ed} = 0.00$ N.P. ⁽²⁾	x: 0 m $\eta = 73.6$	$M_{Ed} = 0.00$ N.P. ⁽³⁾	x: 6.23 m $\eta = 12.0$	$V_{Ed} = 0.00$ N.P. ⁽⁴⁾	$\eta < 0.1$	N.P. ⁽⁵⁾	N.P. ⁽⁶⁾	N.P. ⁽⁷⁾	x: 5.36 m $\eta = 1.0$	x: 6.23 m $\eta = 12.0$	N.P. ⁽⁹⁾	CUMPLE $\eta = 73.6$
G-C3 - G-B3	$N_{Ed} = 0.00$ N.P. ⁽¹⁾	$N_{Ed} = 0.00$ N.P. ⁽²⁾	x: 0 m $\eta = 48.3$	$M_{Ed} = 0.00$ N.P. ⁽³⁾	x: 0 m $\eta = 13.4$	$V_{Ed} = 0.00$ N.P. ⁽⁴⁾	x: 0 m $\eta < 0.1$	N.P. ⁽⁵⁾	N.P. ⁽⁶⁾	N.P. ⁽⁷⁾	x: 0 m $\eta = 2.4$	x: 0 m $\eta = 13.5$	N.P. ⁽⁹⁾	CUMPLE $\eta = 48.3$
G-B3 - G-A3	$N_{Ed} = 0.00$ N.P. ⁽¹⁾	$N_{Ed} = 0.00$ N.P. ⁽²⁾	x: 6.23 m $\eta = 93.2$	$M_{Ed} = 0.00$ N.P. ⁽³⁾	x: 6.23 m $\eta = 11.7$	$V_{Ed} = 0.00$ N.P. ⁽⁴⁾	x: 0.135 m $\eta < 0.1$	N.P. ⁽⁵⁾	N.P. ⁽⁶⁾	N.P. ⁽⁷⁾	x: 0.27 m $\eta = 0.5$	x: 6.23 m $\eta = 11.7$	N.P. ⁽⁹⁾	CUMPLE $\eta = 93.2$
G-D4 - G-A4	x: 7.32 m $\eta = 18.5$	x: 0 m $\eta = 21.3$	x: 0 m $\eta = 56.3$	$M_{Ed} = 0.00$ N.P. ⁽³⁾	x: 0 m $\eta = 28.4$	$V_{Ed} = 0.00$ N.P. ⁽⁴⁾	$\eta < 0.1$	N.P. ⁽⁵⁾	x: 0 m $\eta = 25.7$	$\eta < 0.1$	x: 0 m $\eta = 0.4$	x: 0 m $\eta = 28.4$	N.P. ⁽⁹⁾	CUMPLE $\eta = 56.3$
G-D5 - G-A5	x: 7.32 m $\eta = 18.5$	x: 0 m $\eta = 21.2$	x: 0 m $\eta = 55.0$	$M_{Ed} = 0.00$ N.P. ⁽³⁾	x: 0 m $\eta = 28.2$	$V_{Ed} = 0.00$ N.P. ⁽⁴⁾	$\eta < 0.1$	N.P. ⁽⁵⁾	x: 0 m $\eta = 25.3$	$\eta < 0.1$	x: 0 m $\eta = 0.6$	x: 0 m $\eta = 28.3$	N.P. ⁽⁹⁾	CUMPLE $\eta = 55.0$
G-D6 - G-A6	x: 7.32 m $\eta = 18.5$	x: 0 m $\eta = 21.1$	x: 15.24 m $\eta = 55.1$	$M_{Ed} = 0.00$ N.P. ⁽³⁾	x: 0 m $\eta = 28.1$	$V_{Ed} = 0.00$ N.P. ⁽⁴⁾	$\eta < 0.1$	N.P. ⁽⁵⁾	x: 0 m $\eta = 24.8$	$\eta < 0.1$	x: 0 m $\eta = 0.7$	x: 0 m $\eta = 28.1$	N.P. ⁽⁹⁾	CUMPLE $\eta = 55.1$
G-D7 - G-C7	$N_{Ed} = 0.00$ N.P. ⁽¹⁾	$N_{Ed} = 0.00$ N.P. ⁽²⁾	x: 0 m $\eta = 72.7$	$M_{Ed} = 0.00$ N.P. ⁽³⁾	x: 6.25 m $\eta = 11.9$	$V_{Ed} = 0.00$ N.P. ⁽⁴⁾	$\eta < 0.1$	N.P. ⁽⁵⁾	N.P. ⁽⁶⁾	N.P. ⁽⁷⁾	x: 0 m $\eta = 1.4$	x: 6.25 m $\eta = 12.0$	N.P. ⁽⁹⁾	CUMPLE $\eta = 72.7$
G-C7 - G-B7	$N_{Ed} = 0.00$ N.P. ⁽¹⁾	$N_{Ed} = 0.00$ N.P. ⁽²⁾	x: 0 m $\eta = 41.2$	$M_{Ed} = 0.00$ N.P. ⁽³⁾	x: 0 m $\eta = 9.3$	$V_{Ed} = 0.00$ N.P. ⁽⁴⁾	$\eta < 0.1$	N.P. ⁽⁵⁾	N.P. ⁽⁶⁾	N.P. ⁽⁷⁾	x: 0 m $\eta = 2.4$	x: 0 m $\eta = 8.9$	N.P. ⁽⁹⁾	CUMPLE $\eta = 41.2$
G-B7 - G-A7	$N_{Ed} = 0.00$ N.P. ⁽¹⁾	$N_{Ed} = 0.00$ N.P. ⁽²⁾	x: 6.25 m $\eta = 71.1$	$M_{Ed} = 0.00$ N.P. ⁽³⁾	x: 0 m $\eta = 13.4$	$V_{Ed} = 0.00$ N.P. ⁽⁴⁾	$\eta < 0.1$	N.P. ⁽⁵⁾	N.P. ⁽⁶⁾	N.P. ⁽⁷⁾	x: 0 m $\eta = 2.5$	x: 0 m $\eta = 13.5$	N.P. ⁽⁹⁾	CUMPLE $\eta = 71.1$
Notación: <i>N_x</i> : Resistencia a tracción <i>N_y</i> : Resistencia a compresión <i>M_y</i> : Resistencia a flexión eje Y <i>M_z</i> : Resistencia a flexión eje Z <i>V_z</i> : Resistencia a corte Z <i>V_y</i> : Resistencia a corte Y <i>M_yV_z</i> : Resistencia a momento flector Y y fuerza cortante Z combinados <i>M_zV_y</i> : Resistencia a momento flector Z y fuerza cortante Y combinados <i>NM_yM_z</i> : Resistencia a flexión y axil combinados <i>NM_yM_zV_yV_z</i> : Resistencia a flexión, axil y cortante combinados <i>M_t</i> : Resistencia a torsión <i>M_yV_z</i> : Resistencia a cortante Z y momento torsor combinados <i>M_zV_y</i> : Resistencia a cortante Y y momento torsor combinados <i>x</i> : Distancia al origen de la barra η : Coeficiente de aprovechamiento (%) <i>N.P.</i> : No procede														
Comprobaciones que no proceden (N.P.): ⁽¹⁾ La comprobación no procede, ya que no hay axil de tracción. ⁽²⁾ La comprobación no procede, ya que no hay axil de compresión. ⁽³⁾ La comprobación no procede, ya que no hay momento flector. ⁽⁴⁾ La comprobación no procede, ya que no hay esfuerzo cortante. ⁽⁵⁾ No hay interacción entre momento flector y esfuerzo cortante para ninguna combinación. Por lo tanto, la comprobación no procede. ⁽⁶⁾ No hay interacción entre axil y momento flector ni entre momentos flectores en ambas direcciones para ninguna combinación. Por lo tanto, la comprobación no procede. ⁽⁷⁾ No hay interacción entre momento flector, axil y cortante para ninguna combinación. Por lo tanto, la comprobación no procede. ⁽⁸⁾ La comprobación no procede, ya que no hay momento torsor. ⁽⁹⁾ No hay interacción entre momento torsor y esfuerzo cortante para ninguna combinación. Por lo tanto, la comprobación no procede.														



E.2.2.- AMPLIACION INFANTIL

1.- NOTACIÓN (PILARES)

En las tablas de comprobación de pilares de acero no se muestran las comprobaciones con coeficiente de aprovechamiento inferior al 10%.

Acero laminado y armado: CTE DB SE-A

$\bar{\lambda}$: Limitación de esbeltez

N_c : Resistencia a compresión

M_Y : Resistencia a flexión eje Y

M_Z : Resistencia a flexión eje Z

V_Z : Resistencia a corte Z

V_Y : Resistencia a corte Y

NM_YM_Z : Resistencia a flexión y axil combinados

M_tV_Z : Resistencia a cortante Z y momento torsor combinados

M_tV_Y : Resistencia a cortante Y y momento torsor combinados

λ_w : Abolladura del alma inducida por el ala comprimida

Hormigón: Instrucción de Hormigón Estructural EHE-08

Disp.: Disposiciones relativas a las armaduras

Arm.: Armadura mínima y máxima

Q: Estado límite de agotamiento frente a cortante

N, M : Estado límite de agotamiento frente a solicitaciones normales

2.- PILARES

2.1.- I-A1

Sección de acero laminado - Temperatura ambiente																				
Tramo	Sección	Posición	Comprobaciones										Esfuerzos p _s imos						Estado	
			$\bar{\lambda}$	N _c (%)	M _y (%)	M _z (%)	V _z (%)	V _y (%)	NM _y M _z (%)	M _t V _z (%)	M _t V _y (%)	Aprov. (%)	Naturaleza	Comp.	N (kN)	M _{xx} (kN·m)	M _{yy} (kN·m)	Q _x (kN)		Q _y (kN)
Cubierta (0 - 4.55 m)	CHS 200.0x5.0	Cabeza	Cumple	61.6	20.9	21.0	1.6	1.9	91.6	1.3	1.3	91.6	G, Q ⁽¹⁾	N _c M _t V _z M _t V _y	37.68	-0.96	-0.52	0.21	-0.39	Cumple
													G, Q, V ⁽²⁾	M _y V _z NM _y M _z	34.50	-1.06	-1.00	0.52	-0.47	
													G, Q, V ⁽³⁾	M _z V _y	34.45	-0.88	-1.07	0.56	-0.37	
		Pie	Cumple	61.9	15.7	23.0	1.6	1.9	89.5	1.3	1.3	89.5	G, Q ⁽¹⁾	N _c M _t V _z M _t V _y	37.81	0.61	0.32	0.21	-0.39	Cumple
													G, Q, V ⁽²⁾	M _y V _z NM _y M _z	34.62	0.80	1.08	0.52	-0.47	
													G, Q, V ⁽³⁾	M _z V _y	34.58	0.60	1.17	0.56	-0.37	
Notas: ⁽¹⁾ 1.35 PP+1.35 CM+1.5 Qa(G1) ⁽²⁾ 1.35 PP+1.35 CM+1.05 Qa(C)+1.5 V(+Yexc.+) ⁽³⁾ 1.35 PP+1.35 CM+1.05 Qa(C)+1.5 V(+Yexc.-)																				

Sección de acero laminado - Situación de incendio																			
Tramo	Sección	Posición	Comprobaciones									Esfuerzos p _s imos						Estado	
			N _c (%)	M _y (%)	M _z (%)	V _z (%)	V _y (%)	NM _y M _z (%)	M _t V _z (%)	M _t V _y (%)	Aprov. (%)	Naturaleza	Comp.	N (kN)	M _{xx} (kN·m)	M _{yy} (kN·m)	Q _x (kN)		Q _y (kN)
Cubierta (0 - 4.55 m)	CHS 200.0x5.0	Cabeza	57.5	16.9	13.6	1.2	1.1	85.4	1.0	1.0	85.4	G, Q, V ⁽¹⁾	N _c ,M _y ,V _z ,NM _y M _z	25.46	-0.68	-0.52	0.25	-0.29	Cumple
												G, Q, V ⁽²⁾	M _z ,V _y	25.44	-0.62	-0.54	0.26	-0.26	
												G, Q, N ⁽³⁾	M _t V _z ,M _t V _y	25.38	-0.59	-0.34	0.14	-0.25	
		Pie	57.7	11.9	12.7	1.2	1.1	79.2	1.0	1.0	79.2	G, Q, V ⁽¹⁾	N _c ,M _y ,V _z ,NM _y M _z	25.55	0.48	0.48	0.25	-0.29	Cumple
												G, Q, V ⁽²⁾	M _z ,V _y	25.54	0.41	0.51	0.26	-0.26	
												G, Q, N ⁽³⁾	M _t V _z ,M _t V _y	25.48	0.38	0.22	0.14	-0.25	
Notas: ⁽¹⁾ PP+CM+0.6 Qa(C)+0.5 V(+Yexc.+) ⁽²⁾ PP+CM+0.6 Qa(C)+0.5 V(+Yexc.-) ⁽³⁾ PP+CM+0.6 Qa(C)+0.2 N1																			

2.2.- I-A2

Sección de acero laminado - Temperatura ambiente																				
Tramo	Sección	Posición	Comprobaciones										Esfuerzos pésimos						Estado	
			$\bar{\lambda}$	N _c (%)	M _y (%)	M _z (%)	V _z (%)	V _y (%)	NM _y M _z (%)	M _t V _z (%)	M _t V _y (%)	Aprov. (%)	Naturaleza	Comp.	N (kN)	M _{xx} (kN-m)	M _{yy} (kN-m)	Q _x (kN)		Q _y (kN)
Cubierta (0 - 4.55 m)	CHS 200.0x5.0	Cabeza	Cumple	44.6	27.7	13.5	1.9	1.4	73.9	1.6	1.6	73.9	G, Q ⁽¹⁾	N _c ,NM _y M _z ,M _t V _z ,M _t V _y	27.23	1.25	-0.35	0.15	0.48	Cumple
													G, V ⁽²⁾	M _y ,V _z	24.31	1.40	0.07	-0.16	0.58	
													G, Q, V ⁽³⁾	M _z ,V _y	24.63	0.81	-0.68	0.42	0.28	



Sección de acero laminado - Temperatura ambiente																Estado				
Tramo	Sección	Posición	Comprobaciones										Esfuerzos pésimos							
			$\bar{\lambda}$	N _c (%)	M _y (%)	M _z (%)	V _z (%)	V _y (%)	NM _x M _z (%)	M _x V _z (%)	M _y V _y (%)	Aprov. (%)	Naturaleza	Comp.	N (kN)		M _{xx} (kN-m)	M _{yy} (kN-m)	Q _x (kN)	Q _y (kN)
		Pie	Cumple	44.8	17.8	19.5	1.9	1.4	66.0	1.6	1.6	66.0	G, Q ⁽¹⁾	N _x M _x V _z , M _x V _y	27.36	-0.68	0.23	0.15	0.48	
													G, V ⁽²⁾	M _x , V _z	24.44	-0.90	-0.57	-0.16	0.58	
													G, Q, V ⁽³⁾	M _z , V _y	24.75	-0.30	0.99	0.42	0.28	
													G, Q, V ⁽⁴⁾	NM _x M _z	24.72	-0.51	0.98	0.42	0.38	
Notas: ⁽¹⁾ 1.35·PP+1.35·CM+1.5·Qa(G1) ⁽²⁾ 1.35·PP+1.35·CM+1.5·V _i (Yexc.+) ⁽³⁾ 1.35·PP+1.35·CM+1.05·Qa(C)+1.5·V _i (+Yexc.+) ⁽⁴⁾ 1.35·PP+1.35·CM+1.05·Qa(C)+1.5·V _i (+Yexc.-)																				

Sección de acero laminado - Situación de incendio																		
Tramo	Sección	Posición	Comprobaciones							Esfuerzos pésimos							Estado	
			N _c (%)	M _y (%)	M _z (%)	V _z (%)	NM _y M _z (%)	M _i V _z (%)	M _i V _y (%)	Aprov. (%)	Naturaleza	Comp.	N (kN)	M _{xx} (kN-m)	M _{yy} (kN-m)	Q _x (kN)		Q _y (kN)
Cubierta (0 - 4.55 m)	CHS 200.0x5.0	Cabeza	41.1	23.0	8.8	1.6	68.0	1.3	1.3	68.0	G, Q, V ⁽¹⁾	N _c ,M _z	18.18	0.72	-0.35	0.19	0.27	Cumple
											G, V ⁽²⁾	M _y ,V _z	18.07	0.92	-0.10	0.00	0.37	
											G, V ⁽³⁾	NM _y M _z	18.11	0.90	-0.23	0.10	0.36	
											G, Q, N ⁽⁴⁾	M _i V _z ,M _i V _y	18.12	0.82	-0.23	0.10	0.32	
		Pie	41.3	13.6	10.4	1.6	58.5	1.3	1.3	58.5	G, Q, V ⁽¹⁾	N _c ,M _z	18.27	-0.34	0.42	0.19	0.27	Cumple
											G, V ⁽²⁾	M _y ,V _z	18.17	-0.55	-0.10	0.00	0.37	
											G, Q, V ⁽⁵⁾	NM _y M _z	18.26	-0.41	0.41	0.19	0.30	
											G, Q, N ⁽⁴⁾	M _i V _z ,M _i V _y	18.22	-0.44	0.16	0.10	0.32	
Notas:																		
⁽¹⁾ PP+CM+0.6·Qa(C)+0.5·V(+Yexc.+)																		
⁽²⁾ PP+CM+0.5·V(-Yexc.+)																		
⁽³⁾ PP+CM+0.5·V(+Yexc.+)																		
⁽⁴⁾ PP+CM+0.6·Qa(C)+0.2·N1																		
⁽⁵⁾ PP+CM+0.6·Qa(C)+0.5·V(+Yexc.-)																		

Sección de acero laminado - Temperatura ambiente															Estado					
Tramo	Sección	Posición	Comprobaciones								Esfuerzos pésimos									
			$\bar{\lambda}$	N _c (%)	M _V (%)	M _z	V _z	V _V (%)	NM _V M _z	M _V V _z	M _V V _V (%)	Aprov. (%)	Naturaleza	Comp.		N (kN)	M _{xx} (kN-m)	M _{yy} (kN-m)	Q _x (kN)	Q _y (kN)
Cubierta (0 - 4.55 m)	CHS 200.0x5.0	Cabeza	Cumple	47.2	33.3	9.5	2.4	1.1	83.1	2.1	2.1	83.1	G, Q ⁽¹⁾	N _z NM _V M _z M _V V _z M _V V _V	28.83	-1.55	-0.35	0.14	-0.63	Cumple
													G, Q, V ⁽²⁾	M _V M _z V _z V _V	25.92	-1.69	-0.48	0.34	-0.72	
		Pie	Cumple	47.4	23.0	17.5	2.4	1.1	76.7	2.1	2.1	76.7	G, Q ⁽¹⁾	N _z M _V M _z M _V V _z	28.95	0.96	0.22	0.14	-0.63	Cumple
													G, Q, V ⁽²⁾	M _V M _z V _z V _V NM _V M _z	26.05	1.17	0.89	0.34	-0.72	
Notas: ⁽¹⁾ 1.35 PP+1.35 CM+1.5 Qa(G1) ⁽²⁾ 1.35 PP+1.35 CM+1.05 Qa(G1)+1.5 V(+Yacc +)																				

Sección de acero laminado - Situación de incendio																		
Tramo	Sección	Posición	Comprobaciones							Esfuerzos p _{simos}							Estado	
			N _c (%)	M _y (%)	M _z (%)	V _z (%)	NM _y M _z (%)	M _y V _z (%)	M _z V _y (%)	Aprov. (%)	Naturealeza	Comp.	N (kN)	M _{xx} (kN·m)	M _{yy} (kN·m)	Q _x (kN)		Q _y (kN)
Cubierta (0 - 4.55 m)	CHS 200.0x5.0	Cabeza	43.4	28.2	7.2	2.0	77.8	1.8	1.8	77.8	G, V ⁽¹⁾	N _c	19.21	-0.95	-0.23	0.09	-0.38	Cumple
											G, Q, V ⁽²⁾	M _y V _z M _z V _z NM _y M _z	19.20	-1.13	-0.29	0.17	-0.47	
											G, Q, N ⁽³⁾	M _y V _z M _z V _y	19.20	-1.03	-0.23	0.10	-0.42	
		Pie	43.6	18.5	9.5	2.0	69.1	1.8	1.8	69.1	G, V ⁽¹⁾	N _c	19.31	0.55	0.14	0.09	-0.38	Cumple
											G, Q, V ⁽²⁾	M _y V _z M _z V _z NM _y M _z	19.29	0.74	0.38	0.17	-0.47	
											G, Q, N ⁽³⁾	M _y V _z M _z V _y	19.29	0.64	0.15	0.10	-0.42	
Notas: (1) PP+CM+0.5·V(+Xexc.+) (2) PP+CM+0.6·Qa(C)+0.5·V(+Yexc.+) (3) PP+CM+0.6·Qa(C)+0.2·N1																		

Sección de acero laminado - Temperatura ambiente																				
Tramo	Sección	Posición	Comprobaciones									Esfuerzos pésimos						Estado		
			$\bar{\lambda}$	N _c (%)	M _V (%)	M _Z (%)	V _Z (%)	V _Y (%)	NM _c M _Z (%)	M _c V _Z (%)	M _V V _Y (%)	Aprov. (%)	Naturaleza	Comp.	N (kN)	M _{xx} (kN·m)	M _{yy} (kN·m)		Q _x (kN)	Q _y (kN)
Cubierta (0 - 4.55 m)	CHS 200.0x5.0	Cabeza	Cumple	58.2	26.3	10.1	1.8	1.3	89.6	1.6	1.6	89.6	G, Q ⁽¹⁾	N _c NM _c M _Z M _V Z _c M _V V _Y	35.58	1.26	-0.36	0.14	0.49	Cumple
													G, V ⁽²⁾	M _V V _Z	32.38	1.33	-0.12	-0.12	0.55	
													G, Q, V ⁽³⁾	M _Z V _Y	32.33	0.81	-0.51	0.38	0.28	
		Pie	Cumple	58.4	16.9	19.3	1.8	1.3	78.7	1.6	1.6	78.7	G, Q ⁽¹⁾	N _c M _V V _Z M _V V _Y	35.71	-0.69	0.21	0.14	0.49	Cumple
													G, V ⁽²⁾	M _V V _Z NM _c M _Z	32.50	-0.86	-0.61	-0.12	0.55	
													G, Q, V ⁽³⁾	M _Z V _Y	32.46	-0.30	0.98	0.38	0.28	

Sección de acero laminado - Situación de incendio																	Estado
Tramo	Sección	Posición	Comprobaciones							Esfuerzos p _́ simos							
			N _c (%)	M _y (%)	M _z (%)	V _z (%)	NM _y M _z (%)	M _y V _z (%)	M _y V _y (%)	Aprov. (%)	Naturalaleza	Comp.	N (kN)	M _{xx} (kN·m)	M _{yy} (kN·m)	Q _x (kN)	



Sección de acero laminado - Situación de incendio																		
Tramo	Sección	Posición	Comprobaciones								Esfuerzos pésimos							Estado
			N _c (%)	M _y (%)	M _z (%)	V _z (%)	NM _y M _z (%)	M _y V _z (%)	M _z V _y (%)	Aprov. (%)	Naturaleza	Comp.	N (kN)	M _{xx} (kN·m)	M _{yy} (kN·m)	Q _x (kN)	Q _y (kN)	
Cubierta (0 - 4.55 m)	CHS 200.0x5.0	Cabeza	54.2	22.0	7.5	1.5	82.1	1.3	1.3	82.1	G, V ⁽¹⁾	N _c ,NM _y M _z	23.99	0.87	-0.23	0.09	0.35	Cumple
											G, V ⁽²⁾	M _y ,V _z	23.97	0.88	-0.17	0.01	0.35	
											G, Q, V ⁽³⁾	M _z	23.96	0.71	-0.30	0.18	0.26	
											G, Q, N ⁽⁴⁾	M _y V _z ,M _z V _y	23.97	0.79	-0.23	0.09	0.31	
		Pie	54.4	13.1	10.0	1.5	71.6	1.3	1.3	71.6	G, V ⁽¹⁾	N _c	24.09	-0.51	0.13	0.09	0.35	Cumple
											G, V ⁽²⁾	M _y ,V _z	24.07	-0.52	-0.13	0.01	0.35	
											G, Q, V ⁽³⁾	M _z	24.06	-0.34	0.40	0.18	0.26	
											G, V ⁽⁵⁾	NM _y M _z	24.07	-0.40	0.37	0.17	0.30	
											G, Q, N ⁽⁴⁾	M _y V _z ,M _z V _y	24.06	-0.43	0.14	0.09	0.31	
Notas: (1) PP+CM+0.5·V(+Yexc.+) (2) PP+CM+0.5·V(-Yexc.+) (3) PP+CM+0.6·Qa(C)+0.5·V(+Yexc.+) (4) PP+CM+0.6·Qa(C)+0.2·N1 (5) PP+CM+0.5·V(+Yexc.-)																		

2.5.- I-B1

Sección de hormigón - Temperatura ambiente															
Tramo	Dimensión (cm)	Posición	Comprobaciones					Esfuerzos pésimos						Estado	
			Disp.	Arm.	Q (%)	N,M (%)	Aprov. (%)	Naturaleza	Comp.	N (kN)	Mxx (kN·m)	Myy (kN·m)	Qx (kN)		Qy (kN)
Cubierta (0 - 4.55 m)	HE 200 B	-	-	-	-	-	-	-	-	-	-	-	-	-	-
Planta baja (-5.3 - 0 m)	50x50	Cabeza	Cumple	Cumple	4.6	29.9	29.9	G, Q, V ⁽²⁾	Q	118.59	-2.05	2.13	-0.83	-0.80	Cumple
								G, Q, V ⁽³⁾	N,M	122.74	-2.28	1.81	-0.70	-0.89	
		-1.6 m	Cumple	Cumple	4.6	30.2	30.2	G, Q, V ⁽²⁾	Q	120.85	1.32	-1.34	-0.83	-0.80	Cumple
								G, Q, V ⁽³⁾	N,M	125.01	1.47	-1.14	-0.70	-0.89	
		-4.7 m	Cumple	Cumple	4.6	30.2	30.2	G, Q, V ⁽²⁾	Q	120.85	1.32	-1.34	-0.83	-0.80	Cumple
								G, Q, V ⁽³⁾	N,M	125.01	1.47	-1.14	-0.70	-0.89	
		Pie	Cumple	Cumple	4.6	30.2	30.2	G, Q, V ⁽²⁾	Q	120.85	1.32	-1.34	-0.83	-0.80	Cumple
								G, Q, V ⁽³⁾	N,M	125.01	1.47	-1.14	-0.70	-0.89	
Cimentación	50x50	Arranque	N.P. ⁽¹⁾	N.P. ⁽¹⁾	1.0	30.2	30.2	G, Q, V ⁽²⁾	Q	120.85	1.32	-1.34	-0.83	-0.80	Cumple
								G, Q, V ⁽³⁾	N,M	125.01	1.47	-1.14	-0.70	-0.89	
Notas: ⁽¹⁾ La comprobación no procede ⁽²⁾ 1.35·PP+1.35·CM+1.05·Qa(C)+1.5·V(+Yexc.-) ⁽³⁾ 1.35·PP+1.35·CM+1.5·Qa(C)+0.9·V(+Yexc.-)															

Sección de acero laminado - Temperatura ambiente																			
Tramo	Sección	Posición	$\bar{\lambda}$	λ_w	Comprobaciones							Esfuerzos p _{simos}						Estado	
					N _c (%)	M _y (%)	M _z (%)	V _z (%)	NM _y M _z (%)	M _y V _z (%)	Aprov. (%)	Naturaleza	Comp.	N (kN)	M _{xx} (kN·m)	M _{yy} (kN·m)	Q _x (kN)		Q _y (kN)
Cubierta (0 - 4.55 m)	HE 200 B	Cabeza	Cumple	Cumple	42.8	13.5	22.7	2.5	75.5	2.3	75.5	G, Q ⁽¹⁾	N _c ,M _y ,M _z	53.41	-2.01	0.41	-0.17	-0.88	Cumple
												G, Q, V ⁽²⁾	M _z ,NM _y M _z	47.41	-1.46	1.85	-0.93	-0.67	
												G, Q, V ⁽³⁾	V _z	48.31	-1.97	0.41	-0.18	-0.96	
		Pie	Cumple	Cumple	43.1	12.2	22.4	2.5	73.7	2.3	73.7	G, Q ⁽¹⁾	N _c ,M _y V _z	53.74	1.47	-0.28	-0.17	-0.88	Cumple
												G, Q, V ⁽³⁾	M _y ,V _z	48.64	1.82	-0.30	-0.18	-0.96	
												G, Q, V ⁽²⁾	M _z ,NM _y M _z	47.74	1.19	-1.83	-0.93	-0.67	
Planta baja (-5.3 - 0 m)	50x50	-	-	-	-	-	-	-	-	-	-	-	-	-	-	-	-	-	
Cimentación	50x50	-	-	-	-	-	-	-	-	-	-	-	-	-	-	-	-	-	
Notas: (1) 1.35·PP+1.35·CM+1.5·Qa(G1) (2) 1.35·PP+1.35·CM+1.05·Qa(C)+1.5·V(-Yexc.-) (3) 1.35·PP+1.35·CM+1.05·Qa(C)+1.5·V(-Yexc.-)																			

Sección de acero laminado - Situación de incendio																
Tramo	Sección	Posición	Comprobaciones							Esfuerzos p _{simos}						
			N _c (%)	M _y (%)	M _z (%)	V _z (%)	NM _y M _z (%)	M _y V _z (%)	Aprov. (%)	Naturaleza	Comp.	N (kN)	M _{xx} (kN·m)	M _{yy} (kN·m)	Q _x (kN)	Q _y (kN)
Cubierta (0 - 4.55 m)	HE 200 B	Cabeza	47.5	15.0	13.2	2.2	77.5	1.9	77.5	G, V ⁽¹⁾	N _c	35.95	-1.11	-0.23	0.14	-0.50
										G, Q, V ⁽²⁾	M _y , V _z	35.73	-1.27	0.28	-0.12	-0.60
										G, Q, V ⁽³⁾	M _z , NM _y M _z	35.44	-1.09	0.77	-0.37	-0.50
										G, Q, N ⁽⁴⁾	M _y V _z	35.69	-1.11	0.27	-0.12	-0.51
		Pie	47.8	13.0	12.3	2.2	74.3	1.9	74.3	G, V ⁽¹⁾	N _c	36.19	0.87	0.34	0.14	-0.50
										G, Q, V ⁽²⁾	M _y , V _z	35.98	1.10	-0.21	-0.12	-0.60
										G, Q, V ⁽³⁾	M _z , NM _y M _z	35.68	0.89	-0.71	-0.37	-0.50
										G, Q, N ⁽⁴⁾	M _y V _z	35.94	0.90	-0.19	-0.12	-0.51
Planta baja (-5.3 - 0 m)	50x50	-	-	-	-	-	-	-	-	-	-	-	-	-	-	-
Cimentación	50x50	-	-	-	-	-	-	-	-	-	-	-	-	-	-	-
Notas: (1) PP+CM+0.5·V(+Yexc.-) (2) PP+CM+0.6·Qa(C)+0.5·V(-Yexc.-) (3) PP+CM+0.6·Qa(C)+0.5·V(-Yexc.-) (4) PP+CM+0.6·Qa(C)+0.2·N1																

2.6.- I-B2

Sección de hormigón - Temperatura ambiente
--



I. MEMORIA

Tramo	Dimensión (cm)	Posición	Comprobaciones					Esfuerzos p _s imos							Estado
			Disp.	Arm.	Q (%)	N,M (%)	Aprov. (%)	Naturaleza	Comp.	N (kN)	M _{xx} (kN·m)	M _{yy} (kN·m)	Q _x (kN)	Q _y (kN)	
Cubierta (0 - 4.55 m)	HE 200 B	-	-	-	-	-	-	-	-	-	-	-	-	-	-
Planta baja (-1.9 - 0 m)	40x40	Cabeza	Cumple	Cumple	69.2	49.3	69.2	G, Q, V ⁽²⁾	Q,N,M	83.58	7.61	0.52	-1.13	16.48	Cumple
		-1.5 m	Cumple	Cumple	69.2	41.7	69.2	G, Q, V ⁽²⁾	Q,N,M	84.01	-5.57	-0.38	-1.13	16.48	Cumple
		Pie	Cumple	Cumple	54.2	41.7	54.2	G, Q, V ⁽²⁾	Q,N,M	84.01	-5.57	-0.38	-1.13	16.48	Cumple
Cimentación	40x40	Arranque	N.P. ⁽¹⁾	N.P. ⁽¹⁾	23.9	41.7	41.7	G, Q, V ⁽²⁾	Q,N,M	84.01	-5.57	-0.38	-1.13	16.48	Cumple
Notas: ⁽¹⁾ La comprobación no procede ⁽²⁾ $1.35 \cdot PP + 1.35 \cdot CM + 1.5 \cdot Qa(C) + 0.9 \cdot V(-Xexc. +)$															

Sección de acero laminado - Temperatura ambiente																			
Tramo	Sección	Posición	Comprobaciones								Esfuerzos p _s imos							Estado	
			$\bar{\lambda}$	λ_w	N _c (%)	M _y (%)	M _z (%)	V _z (%)	NM _y M _z (%)	M _y V _z (%)	Aprov. (%)	Naturaleza	Comp.	N (kN)	M _{xx} (kN·m)	M _{yy} (kN·m)	Q _x (kN)		Q _y (kN)
Cubierta (0 - 4.55 m)	HE 200 B	Cabeza	Cumple	Cumple	29.9	33.7	8.0	5.3	64.5	4.5	64.5	G, Q ⁽¹⁾	N _c	37.30	4.96	0.16	-0.06	1.93	Cumple
												G, V ⁽²⁾	M _y	32.95	5.04	0.14	-0.06	2.04	
												G, V ⁽³⁾	M _z ,NM _y M _z	32.89	4.51	0.65	-0.45	1.77	
												G, Q, V ⁽⁴⁾	V _z	32.96	5.04	0.14	-0.06	2.05	
												G, Q, V, N ⁽⁵⁾	M _y V _z	33.05	4.38	0.44	-0.29	1.71	
		Pie	Cumple	Cumple	30.2	20.6	14.1	5.3	58.9	4.5	58.9	G, Q ⁽¹⁾	N _c	37.63	-2.68	-0.09	-0.06	1.93	Cumple
												G, Q, V ⁽⁴⁾	M _y V _z	33.29	-3.08	-0.09	-0.06	2.05	
												G, Q, V ⁽⁶⁾	M _z ,NM _y M _z	33.24	-2.53	-1.15	-0.45	1.77	
												G, Q, V, N ⁽⁵⁾	M _y V _z	33.38	-2.40	-0.72	-0.29	1.71	
												-	-	-	-	-	-	-	
Planta baja (-1.9 - 0 m)	40x40	-	-	-	-	-	-	-	-	-	-	-	-	-	-	-	-	-	
Cimentación	40x40	-	-	-	-	-	-	-	-	-	-	-	-	-	-	-	-	-	
Notas: ⁽¹⁾ 1.35·PP+1.35·CM+1.5·Qa(GI) ⁽²⁾ 1.35·PP+1.35·CM+1.5·V(+Yexc. +) ⁽³⁾ 1.35·PP+1.35·CM+1.5·V(-Yexc. +) ⁽⁴⁾ 1.35·PP+1.35·CM+1.05·Qa(C)+1.5·V(+Yexc. +) ⁽⁵⁾ 1.35·PP+1.35·CM+1.5·Qa(C)+0.9·V(-Yexc.-)+0.75·N1 ⁽⁶⁾ 1.35·PP+1.35·CM+1.05·Qa(C)+1.5·V(-Yexc. +)																			

Sección de acero laminado - Situación de incendio																	
Tramo	Sección	Posición	Comprobaciones							Aprov. (%)	Esfuerzos p _s imos						Estado
			N _c (%)	M _y (%)	M _z (%)	V _z (%)	NM _y M _z (%)	M _y V _z (%)	Naturaleza		Comp.	N (kN)	M _{xx} (kN·m)	M _{yy} (kN·m)	Q _x (kN)	Q _y (kN)	
Cubierta (0 - 4.55 m)	HE 200 B	Cabeza	32.6	40.9	4.7	5.0	75.3	4.6	75.3	G, Q, V ⁽¹⁾	N _c	24.67	3.18	-0.07	0.09	1.23	Cumple
										G, V ⁽²⁾	M _y	24.50	3.46	0.10	-0.04	1.37	
										G, V ⁽³⁾	M _z ,NM _y M _z	24.48	3.28	0.27	-0.17	1.28	
										G, Q, V ⁽⁴⁾	V _z	24.51	3.46	0.10	-0.04	1.37	
										G, Q, V ⁽⁵⁾	M _y V _z	24.50	3.25	0.27	-0.17	1.26	
		Pie	32.9	23.6	7.2	5.0	62.0	4.6	62.0	G, Q, V ⁽¹⁾	N _c	24.92	-1.70	0.29	0.09	1.23	Cumple
										G, Q, V ⁽⁴⁾	M _y ,V _z	24.75	-1.99	-0.06	-0.04	1.37	
										G, Q, V ⁽⁶⁾	M _z ,NM _y M _z	24.73	-1.81	-0.42	-0.17	1.28	
										G, Q, V ⁽⁵⁾	M _y V _z	24.74	-1.77	-0.41	-0.17	1.26	
										-	-	-	-	-	-	-	
Planta baja (-1.9 - 0 m)	40x40	-	-	-	-	-	-	-	-	-	-	-	-	-	-	-	-
Cimentación	40x40	-	-	-	-	-	-	-	-	-	-	-	-	-	-	-	-
Notas: ⁽¹⁾ PP+CM+0.6·Qa(C)+0.5·V(+Yexc.+) ⁽²⁾ PP+CM+0.5·V(+Xexc.+) ⁽³⁾ PP+CM+0.5·V(-Yexc.+) ⁽⁴⁾ PP+CM+0.6·Qa(C)+0.5·V(+Xexc.+) ⁽⁵⁾ PP+CM+0.6·Qa(C)+0.5·V(-Yexc.-) ⁽⁶⁾ PP+CM+0.6·Qa(C)+0.5·V(-Yexc.+)																	

2.7.- I-B3

Sección de hormigón - Temperatura ambiente															
Tramo	Dimensión (cm)	Posición	Comprobaciones					Esfuerzos pésimos						Estado	
			Disp.	Arm.	Q (%)	N,M (%)	Aprov. (%)	Naturaleza	Comp.	N (kN)	Mxx (kN·m)	Myy (kN·m)	Qx (kN)		Qy (kN)
Cubierta (0 - 4.55 m)	HE 200 B	-	-	-	-	-	-	-	-	-	-	-	-	-	-
Planta baja (-1.9 - 0 m)	40x40	Cabeza	Cumple	Cumple	85.2	58.1	85.2	G, Q, V ⁽²⁾	Q,N,M	91.35	-9.36	0.44	-0.95	-20.31	Cumple
		-1.5 m	Cumple	Cumple	85.2	48.2	85.2	G, Q, V ⁽²⁾	Q,N,M	91.79	6.89	-0.32	-0.95	-20.31	Cumple
		Pie	Cumple	Cumple	66.7	48.2	66.7	G, Q, V ⁽²⁾	Q,N,M	91.79	6.89	-0.32	-0.95	-20.31	Cumple
Cimentación	40x40	Arranque	N.P. ⁽¹⁾	N.P. ⁽¹⁾	27.4	48.2	48.2	G, Q, V ⁽²⁾	Q,N,M	91.79	6.89	-0.32	-0.95	-20.31	Cumple
Notas: ⁽¹⁾ La comprobación no procede ⁽²⁾ $1.35 \cdot PP + 1.35 \cdot CM + 1.5 \cdot Qa(C) + 0.9 \cdot V(+Xexc.+)$															

Sección de acero laminado - Temperatura ambiente																			
Tramo	Sección	Posición	Comprobaciones									Aprov. (%)	Esfuerzos p _s imos						Estado
			$\bar{\lambda}$	λ_w	N _c (%)	M _y (%)	M _z (%)	V _z (%)	NM _y M _z (%)	M _y V _z (%)	Naturaleza		Comp.	N (kN)	M _{xx} (kN·m)	M _{yy} (kN·m)	Q _x (kN)	Q _y (kN)	
Cubierta (0 - 4.55 m)	HE 200 B	Cabeza	Cumple	Cumple	30.6	40.2	5.6	6.6	71.9	5.7	71.9	G, Q ⁽¹⁾	N _c ,NM _y M _z	38.19	-5.98	0.19	-0.08	-2.43	Cumple
												G, Q, V ⁽²⁾	M _y V _z	33.73	-6.00	0.17	-0.06	-2.53	
												G, V ⁽³⁾	M _z	33.86	-5.16	0.46	-0.39	-2.09	
												G, Q, V, N ⁽⁴⁾	M _y V _z	33.85	-5.31	0.33	-0.25	-2.17	
		Pie	Cumple	Cumple	30.9	27.0	13.3	6.6	62.9	5.7	62.9	G, Q ⁽¹⁾	N _c	38.51	3.68	-0.11	-0.08	-2.43	Cumple
												G, Q, V ⁽²⁾	M _y V _z	34.05	4.04	-0.09	-0.06	-2.53	
												G, Q, V ⁽⁵⁾	M _z ,NM _y M _z	34.17	3.17	-1.08	-0.39	-2.10	
												G, Q, V, N ⁽⁴⁾	M _y V _z	34.18	3.32	-0.66	-0.25	-2.17	
Planta baja (-1.9 - 0 m)	40x40	-	-	-	-	-	-	-	-	-	-	-	-	-	-	-	-	-	
Cimentación	40x40	-	-	-	-	-	-	-	-	-	-	-	-	-	-	-	-	-	



Notas:

- (1) $1.35 \cdot PP + 1.35 \cdot CM + 1.5 \cdot Qa(GI)$
(2) $1.35 \cdot PP + 1.35 \cdot CM + 1.05 \cdot Qa(C) + 1.5 \cdot V(-Yexc. +)$
(3) $1.35 \cdot PP + 1.35 \cdot CM + 1.5 \cdot V(-Yexc. +)$
(4) $1.35 \cdot PP + 1.35 \cdot CM + 1.5 \cdot Qa(C) + 0.9 \cdot V(-Yexc. -) + 0.75 \cdot N1$
(5) $1.35 \cdot PP + 1.35 \cdot CM + 1.05 \cdot Qa(C) + 1.5 \cdot V(-Yexc. +)$

Sección de acero laminado - Situación de incendio																	
Tramo	Sección	Posición	Comprobaciones							Aprov. (%)	Esfuerzos p _{simos}						Estado
			N _c (%)	M _y (%)	M _z (%)	V _z (%)	NM _y M _z (%)	M _i V _z (%)	Naturaleza		Comp.	N (kN)	M _{xx} (kN·m)	M _{yy} (kN·m)	Q _x (kN)	Q _y (kN)	
Cubierta (0 - 4.55 m)	HE 200 B	Cabeza	33.3	49.3	3.8	6.3	82.9	5.9	82.9	G, V ⁽¹⁾	N _c	25.23	-3.71	0.13	-0.05	-1.49	Cumple
										G, Q, V ⁽²⁾	M _y , V _z , NM _y M _z	25.07	-4.17	0.12	-0.05	-1.73	
										G, V ⁽³⁾	M _z	25.12	-3.88	0.22	-0.16	-1.58	
										G, Q, V ⁽⁴⁾	M _i V _z	25.10	-3.93	0.22	-0.15	-1.60	
	Pie	Pie	33.7	31.9	6.9	6.3	69.3	5.9	69.3	G, V ⁽¹⁾	N _c	25.48	2.20	-0.08	-0.05	-1.49	Cumple
										G, Q, V ⁽²⁾	M _y , V _z	25.32	2.69	-0.07	-0.05	-1.73	
										G, Q, V ⁽⁵⁾	M _z	25.36	2.41	-0.40	-0.16	-1.59	
										G, Q, V ⁽⁴⁾	NM _y M _z , M _i V _z	25.35	2.44	-0.39	-0.15	-1.60	
Planta baja (-1.9 - 0 m)	40x40	-	-	-	-	-	-	-	-	-	-	-	-	-	-	-	
Cimentación	40x40	-	-	-	-	-	-	-	-	-	-	-	-	-	-	-	
Notas: ⁽¹⁾ PP+CM+0.5·V(+Xexc.+) ⁽²⁾ PP+CM+0.6·Qa(C)+0.5·V(-Xexc.+) ⁽³⁾ PP+CM+0.5·V(-Yexc.+) ⁽⁴⁾ PP+CM+0.6·Qa(C)+0.5·V(-Yexc.-) ⁽⁵⁾ PP+CM+0.6·Qa(C)+0.5·V(-Yexc.+)																	

2.8.- I-B4

Sección de acero laminado - Temperatura ambiente																			
Tramo	Sección	Posición	Comprobaciones									Esfuerzos p _{simos}						Estado	
			$\bar{\lambda}$	λ_w	N _c (%)	M _y (%)	M _z (%)	V _z (%)	NM _y M _z (%)	M _i V _z (%)	Aprov. (%)	Naturaleza	Comp.	N (kN)	M _{xx} (kN·m)	M _{yy} (kN·m)	Q _x (kN)		Q _y (kN)
Cubierta (0 - 4.55 m)	HE 200 B	Cabeza	Cumple	Cumple	40.5	23.1	6.2	3.7	65.4	3.1	65.4	G, Q ⁽¹⁾	N _c ,M _y ,NM _y M _z	50.49	3.45	0.19	-0.08	1.40	Cumple
												G, V ⁽²⁾	M _z	45.41	2.91	0.51	-0.44	1.21	
												G, Q, V ⁽³⁾	V _z	45.72	3.27	0.18	-0.08	1.43	
												G, Q, V, N ⁽⁴⁾	M _i V _z	45.49	2.84	0.35	-0.26	1.19	
		Pie	Cumple	Cumple	40.8	16.1	15.1	3.7	67.7	3.1	67.7	G, Q ⁽¹⁾	N _c	50.82	-2.10	-0.11	-0.08	1.40	Cumple
												G, Q, V ⁽³⁾	M _y ,V _z	46.05	-2.41	-0.14	-0.08	1.43	
												G, Q, V ⁽⁵⁾	M _z ,NM _y M _z	45.74	-1.96	-1.23	-0.44	1.23	
												G, Q, V, N ⁽⁴⁾	M _i V _z	45.82	-1.88	-0.69	-0.26	1.19	
Notas: (1) 1.35·PP+1.35·CM+1.5·Qa(G1) (2) 1.35·PP+1.35·CM+1.5·V(-Yexc.+) (3) 1.35·PP+1.35·CM+1.05·Qa(C)+1.5·V(+Xexc.+) (4) 1.35·PP+1.35·CM+1.5·Qa(C)+0.9·V(-Yexc.-)+0.75·N1 (5) 1.35·PP+1.35·CM+1.05·Qa(C)+1.5·V(-Yexc.+)																			

Sección de acero laminado - Situación de incendio																	
Tramo	Sección	Posición	Comprobaciones							Esfuerzos pésimos							Estado
			N _c (%)	M _y (%)	M _z (%)	V _z (%)	NM _y M _z (%)	M _i V _z (%)	Aprov. (%)	Naturaleza	Comp.	N (kN)	M _{xx} (kN·m)	M _{yy} (kN·m)	Q _x (kN)	Q _y (kN)	
Cubierta (0 - 4.55 m)	HE 200 B	Cabeza	44.7	26.4	4.1	3.5	73.7	3.2	73.7	G, Q, V ⁽¹⁾	N _c	33.82	2.04	0.01	0.07	0.84	Cumple
										G, Q, V ⁽²⁾	M _y ,V _z	33.81	2.23	0.13	-0.05	0.95	
										G, V ⁽³⁾	M _z	33.70	2.11	0.24	-0.17	0.87	
										G, Q, V ⁽⁴⁾	NM _y M _z	33.71	2.12	0.24	-0.17	0.88	
										G, Q, V ⁽⁵⁾	M _i V _z	33.71	2.09	0.22	-0.16	0.87	
		Pie	45.0	18.1	7.7	3.5	71.0	3.2	71.0	G, Q, V ⁽¹⁾	N _c	34.06	-1.29	0.30	0.07	0.84	Cumple
										G, Q, V ⁽²⁾	M _y ,V _z	34.05	-1.53	-0.09	-0.05	0.95	
										G, Q, V ⁽⁴⁾	M _z ,NM _y M _z	33.95	-1.38	-0.45	-0.17	0.88	
G, Q, V ⁽⁵⁾	M _i V _z	33.95	-1.35	-0.40	-0.16	0.87											
Notas: ⁽¹⁾ $PP+CM+0.6 \cdot Qa(C)+0.5 \cdot V(+Yexc. +)$ ⁽²⁾ $PP+CM+0.6 \cdot Qa(C)+0.5 \cdot V(+Xexc. +)$ ⁽³⁾ $PP+CM+0.5 \cdot V(-Yexc. +)$ ⁽⁴⁾ $PP+CM+0.6 \cdot Qa(C)+0.5 \cdot V(-Yexc. +)$ ⁽⁵⁾ $PP+CM+0.6 \cdot Qa(C)+0.5 \cdot V(-Yexc. -)$																	

2.9.- I-C1

Sección de hormigón - Temperatura ambiente															
Tramo	Dimensión (cm)	Posición	Comprobaciones					Esfuerzos pésimos						Estado	
			Disp.	Arm.	Q (%)	N,M (%)	Aprov. (%)	Naturaleza	Comp.	N (kN)	Mxx (kN·m)	Myy (kN·m)	Qx (kN)		Qy (kN)
Cubierta (0 - 4.55 m)	HE 200 B	-	-	-	-	-	-	-	-	-	-	-	-	-	-
Planta baja (-5.3 - 0 m)	50x50	Cabeza	Cumple	Cumple	4.6	29.9	29.9	G, Q, V ⁽²⁾	Q	118.57	-2.05	-2.13	0.83	-0.80	Cumple
								G, Q, V ⁽³⁾	N,M	122.73	-2.28	-1.81	0.70	-0.89	
		-1.6 m	Cumple	Cumple	4.6	30.2	30.2	G, Q, V ⁽²⁾	Q	120.84	1.32	1.34	0.83	-0.80	Cumple
								G, Q, V ⁽³⁾	N,M	124.99	1.47	1.14	0.70	-0.89	
								G, O, V ⁽²⁾	O	120.84	1.32	1.34	0.83	-0.80	

[illegible]

Sección de acero laminado - Situación de incendio																	
Tramo	Sección	Posición	Comprobaciones							Esfuerzos pésimos							Estado
			N _c (%)	M _y (%)	M _z (%)	V _z (%)	NM _y M _z (%)	M _x V _z (%)	Aprov. (%)	Naturaleza	Comp.	N (kN)	Mxx (kN·m)	Myy (kN·m)	Qx (kN)	Qy (kN)	
Cubierta (0 - 4.55 m)	HE 200 B	Cabeza	47.5	15.0	13.2	2.2	77.5	1.9	77.5	G, V ⁽¹⁾	N _c	35.95	-1.11	0.23	-0.14	-0.50	Cumple
										G, Q, V ⁽²⁾	M _y ,V _z	35.74	-1.27	-0.28	0.12	-0.60	
										G, Q, V ⁽³⁾	M _z ,NM _y M _z	35.44	-1.09	-0.77	0.37	-0.50	
										G, Q, N ⁽⁴⁾	M _x V _z	35.69	-1.11	-0.27	0.12	-0.51	
		Pie	47.8	13.0	12.3	2.2	74.3	1.9	74.3	G, V ⁽¹⁾	N _c	36.19	0.87	-0.34	-0.14	-0.50	Cumple
										G, Q, V ⁽²⁾	M _y ,V _z	35.98	1.10	0.21	0.12	-0.60	
										G, Q, V ⁽³⁾	M _z ,NM _y M _z	35.68	0.89	0.71	0.37	-0.50	
										G, Q, N ⁽⁴⁾	M _x V _z	35.94	0.90	0.19	0.12	-0.51	
Planta baja (-5.3 - 0 m)	50x50	-	-	-	-	-	-	-	-	-	-	-	-	-	-	-	
Cimentación	50x50	-	-	-	-	-	-	-	-	-	-	-	-	-	-	-	
Notas: ⁽¹⁾ PP+CM+0.5·V(-Yexc.-) ⁽²⁾ PP+CM+0.6·Qa(C)+0.5·V(-Xexc.-) ⁽³⁾ PP+CM+0.6·Qa(C)+0.5·V(+Yexc.-) ⁽⁴⁾ PP+CM+0.6·Qa(C)+0.2·N1																	

Sección de acero laminado - Temperatura ambiente																		
Tramo	Sección	Posición	Comprobaciones								Esfuerzos p _{símos}						Estado	
			$\bar{\lambda}$	λ_{wv}	N _c (%)	M _y (%)	M _z (%)	V _z (%)	NM _x M _z (%)	M _v V _z (%)	Aprov. (%)	Naturalaleza	Comp.	N (kN)	M _{xx} (kN-m)	M _{yy} (kN-m)		Q _x (kN)
Cubierta (0 - 4.55 m)	HE 200 B	Cabeza	Cumple	Cumple	29.9	33.7	8.0	5.3	64.5	4.4	64.5	G _r Q ⁽¹⁾	N _c	37.30	4.96	-0.16	0.06	1.93
												G _r V ⁽²⁾	M _y	32.95	5.04	-0.14	0.06	2.04
												G _r V ⁽³⁾	M _z , NM _x , M _z	32.89	4.51	-0.65	0.45	1.77
												G _r Q _r V ⁽⁴⁾	V _z	32.96	5.04	-0.14	0.06	2.05
												G _r Q _r V _r N ⁽⁵⁾	M _v V _z	33.33	4.33	0.16	-0.18	1.68
												G _r Q ⁽¹⁾	N _c	37.63	-2.68	0.09	0.06	1.93
		Pie	Cumple	Cumple	30.2	20.6	14.1	5.3	58.9	4.4	58.9	G _r Q _r V ⁽⁴⁾	M _y , V _z	33.29	-3.08	0.09	0.06	2.05
												G _r Q _r V ⁽⁶⁾	M _z , NM _x , M _z	33.24	-2.53	1.15	0.45	1.77
												G _r Q _r V _r N ⁽⁵⁾	M _v V _z	33.66	-2.35	-0.55	-0.18	1.68
Planta baja (-1.9 - 0 m)	40x40	-	-	-	-	-	-	-	-	-	-	-	-	-	-	-	-	
Cimentación	40x40	-	-	-	-	-	-	-	-	-	-	-	-	-	-	-	-	

Notas:

- ⁽¹⁾ 1.35-PP+1.35-CM+1.5-Qg(GI)
- ⁽²⁾ 1.35-PP+1.35-CM+1.5-V(+Yexc.-)
- ⁽³⁾ 1.35-PP+1.35-CM+1.5-V(+Yexc.+)
- ⁽⁴⁾ 1.35-PP+1.35-CM+1.05-Qq(C)+1.5-V(+Yexc.-)
- ⁽⁵⁾ 1.35-PP+1.35-CM+1.5-Qq(C)+0.9-V(Yexc.)+0.75-NI
- ⁽⁶⁾ 1.35-PP+1.35-CM+1.05-Qq(C)+1.5-V(+Yexc.+)

Página 60



Tramo	Sección	Posición	Comprobaciones							Aprov. (%)	Esfuerzos pésimos						Estado
			N _c (%)	M _y (%)	M _z (%)	V _z (%)	NM _y M _z (%)	M _i V _z (%)	Naturaleza		Comp.	N (kN)	M _{xx} (kN·m)	M _{yy} (kN·m)	Q _x (kN)	Q _y (kN)	
Cubierta (0 - 4.55 m)	HE 200 B	Cabeza	32.6	40.9	4.7	5.0	75.3	4.6	75.3	G, Q, V ⁽¹⁾	N _c	24.67	3.18	0.07	-0.09	1.23	Cumple
										G, V ⁽²⁾	M _y	24.50	3.46	-0.10	0.04	1.37	
										G, V ⁽³⁾	M _z ,NM _y M _z	24.48	3.28	-0.27	0.17	1.28	
										G, Q, V ⁽⁴⁾	V _z	24.51	3.46	-0.10	0.04	1.37	
										G, Q, V ⁽⁵⁾	M _i V _z	24.66	3.21	0.06	-0.09	1.25	
		Pie	32.9	23.6	7.2	5.0	62.0	4.6	62.0	G, Q, V ⁽¹⁾	N _c	24.92	-1.70	-0.29	-0.09	1.23	Cumple
										G, Q, V ⁽⁴⁾	M _y ,V _z	24.75	-1.99	0.06	0.04	1.37	
										G, Q, V ⁽⁶⁾	M _z ,NM _y M _z	24.73	-1.81	0.42	0.17	1.28	
										G, Q, V ⁽⁵⁾	M _i V _z	24.90	-1.74	-0.29	-0.09	1.25	
Planta baja (-1.9 - 0 m)	40x40	-	-	-	-	-	-	-	-	-	-	-	-	-	-	-	
Cimentación	40x40	-	-	-	-	-	-	-	-	-	-	-	-	-	-	-	
Notas: (1) $PP+CM+0.6\cdot Qa(C)+0.5\cdot V(-Yexc.+)$ (2) $PP+CM+0.5\cdot V(+Xexc.-)$ (3) $PP+CM+0.5\cdot V(+Yexc.+)$ (4) $PP+CM+0.6\cdot Qa(C)+0.5\cdot V(+Xexc.-)$ (5) $PP+CM+0.6\cdot Qa(C)+0.5\cdot V(-Yexc.-)$ (6) $PP+CM+0.6\cdot Qa(C)+0.5\cdot V(+Yexc.+)$																	

2.11.- I-C3

Sección de hormigón - Temperatura ambiente															
Tramo	Dimensión (cm)	Posición	Comprobaciones					Esfuerzos pésimos						Estado	
			Disp.	Arm.	Q (%)	N,M (%)	Aprov. (%)	Naturaleza	Comp.	N (kN)	Mxx (kN·m)	Myy (kN·m)	Qx (kN)		Qy (kN)
Cubierta (0 - 4.55 m)	HE 200 B	-	-	-	-	-	-	-	-	-	-	-	-	-	-
Planta baja (-1.9 - 0 m)	40x40	Cabeza	Cumple	Cumple	85.2	58.1	85.2	G, Q, V ⁽²⁾	Q,N,M	91.36	-9.36	-0.44	0.94	-20.32	Cumple
		-1.5 m	Cumple	Cumple	85.2	48.2	85.2	G, Q, V ⁽²⁾	Q,N,M	91.79	6.89	0.32	0.94	-20.32	Cumple
		Pie	Cumple	Cumple	66.7	48.2	66.7	G, Q, V ⁽²⁾	Q,N,M	91.79	6.89	0.32	0.94	-20.32	Cumple
Cimentación	40x40	Arranque	N.P. ⁽¹⁾	N.P. ⁽¹⁾	27.4	48.2	48.2	G, Q, V ⁽²⁾	Q,N,M	91.79	6.89	0.32	0.94	-20.32	Cumple
Notas: ⁽¹⁾ La comprobación no procede ⁽²⁾ 1.35·PP+1.35·CM+1.5·Qa(C)+0.9·V(+Xexc.-)															

Sección de acero laminado - Temperatura ambiente																			
Tramo	Sección	Posición	Comprobaciones									Esfuerzos p _{simos}						Estado	
			$\bar{\lambda}$	λ_w	N _c (%)	M _y (%)	M _z (%)	V _z (%)	NM _y M _z (%)	M _y V _z (%)	Aprov. (%)	Naturaleza	Comp.	N (kN)	M _{xx} (kN·m)	M _{yy} (kN·m)	Q _x (kN)		Q _y (kN)
Cubierta (0 - 4.55 m)	HE 200 B	Cabeza	Cumple	Cumple	30.6	40.2	5.6	6.6	71.9	5.7	71.9	G, Q ⁽¹⁾	N _c ,NM _y M _z	38.19	-5.98	-0.19	0.08	-2.43	Cumple
												G, Q, V ⁽²⁾	M _y ,V _z	33.73	-6.00	-0.17	0.06	-2.53	
												G, V ⁽³⁾	M _z	33.86	-5.16	-0.46	0.39	-2.09	
												G, Q, V, N ⁽⁴⁾	M _y V _z	34.02	-5.36	-0.01	-0.11	-2.20	
												G, Q ⁽¹⁾	N _c	38.51	3.68	0.11	0.08	-2.43	
		Pie	Cumple	Cumple	30.9	27.0	13.3	6.6	62.9	5.7	62.9	G, Q, V ⁽²⁾	M _y ,V _z	34.05	4.04	0.09	0.06	-2.53	Cumple
												G, Q, V ⁽⁵⁾	N _c ,NM _y M _z	34.17	3.17	1.08	0.39	-2.10	
												G, Q, V, N ⁽⁴⁾	M _y V _z	34.35	3.37	-0.46	-0.11	-2.20	
Planta baja (-1.9 - 0 m)	40x40	-	-	-	-	-	-	-	-	-	-	-	-	-	-	-	-	-	
Cimentación	40x40	-	-	-	-	-	-	-	-	-	-	-	-	-	-	-	-	-	
Notas: (1) 1.35·PP+1.35·CM+1.5·Qa(G1) (2) 1.35·PP+1.35·CM+1.05·Qa(C)+1.5·V(-Xexc.-) (3) 1.35·PP+1.35·CM+1.5·V(+Yexc.+) (4) 1.35·PP+1.35·CM+1.5·Qa(C)+0.9·V(-Yexc.-)+0.75·N1 (5) 1.35·PP+1.35·CM+1.05·Qa(C)+1.5·V(+Yexc.+)																			

Sección de acero laminado - Situación de incendio																	
Tramo	Sección	Posición	Comprobaciones							Esfuerzos pésimos							Estado
			N _c (%)	M _y (%)	M _z (%)	V _z (%)	NM _y M _z (%)	M _i V _z (%)	Aprov. (%)	Naturaleza	Comp.	N (kN)	Mxx (kN·m)	Myy (kN·m)	Qx (kN)	Qy (kN)	
Cubierta (0 - 4.55 m)	HE 200 B	Cabeza	33.3	49.3	3.8	6.3	82.9	5.9	82.9	G, V ⁽¹⁾	N _c	25.23	-3.71	-0.13	0.05	-1.49	Cumple
										G, Q, V ⁽²⁾	M _y ,V _z ,NM _y M _z	25.07	-4.17	-0.12	0.05	-1.73	
										G, V ⁽³⁾	M _z	25.12	-3.88	-0.22	0.16	-1.58	
										G, Q, V ⁽⁴⁾	M _i V _z	25.19	-3.96	-0.04	-0.05	-1.62	
										G, V ⁽¹⁾	N _c	25.48	2.20	0.08	0.05	-1.49	
		Pie	33.7	31.9	6.9	6.3	69.3	5.9	69.3	G, Q, V ⁽²⁾	M _y ,V _z	25.32	2.69	0.07	0.05	-1.73	Cumple
										G, Q, V ⁽⁵⁾	M _z	25.36	2.41	0.40	0.16	-1.59	
										G, Q, V ⁽⁶⁾	NM _y M _z	25.35	2.44	0.39	0.15	-1.60	
										G, Q, V ⁽⁴⁾	M _i V _z	25.44	2.47	-0.24	-0.05	-1.62	
Planta baja (-1.9 - 0 m)	40x40	-	-	-	-	-	-	-	-	-	-	-	-	-	-	-	
Cimentación	40x40	-	-	-	-	-	-	-	-	-	-	-	-	-	-	-	
Notas: ⁽¹⁾ PP+CM+0.5·V(+Xexc.-) ⁽²⁾ PP+CM+0.6·Qa(C)+0.5·V(-Xexc.-) ⁽³⁾ PP+CM+0.5·V(+Yexc.+) ⁽⁴⁾ PP+CM+0.6·Qa(C)+0.5·V(-Yexc.-) ⁽⁵⁾ PP+CM+0.6·Qa(C)+0.5·V(+Yexc.+) ⁽⁶⁾ PP+CM+0.6·Qa(C)+0.5·V(+Yexc.-)																	



2.12.- I-C4

Sección de acero laminado - Temperatura ambiente																			
Tramo	Sección	Posición	Comprobaciones									Esfuerzos p _{simos}						Estado	
			$\bar{\lambda}$	λ_w	N _c (%)	M _y (%)	M _z (%)	V _z (%)	NM _y M _z (%)	M _y V _z (%)	Aprov. (%)	Naturaleza	Comp.	N (kN)	M _{xx} (kN·m)	M _{yy} (kN·m)	Q _x (kN)		Q _y (kN)
Cubierta (0 - 4.55 m)	HE 200 B	Cabeza	Cumple	Cumple	40.5	23.1	6.2	3.7	65.4	3.0	65.4	G, Q ⁽¹⁾	N _c M _y NM _y M _z	50.49	3.45	-0.19	0.08	1.40	Cumple
												G, V ⁽²⁾	M _z	45.41	2.91	-0.51	0.44	1.21	
												G, Q, V ⁽³⁾	V _z	45.72	3.27	-0.18	0.08	1.43	
												G, Q, V, N ⁽⁴⁾	M _y V _z	45.68	2.79	0.00	-0.12	1.17	
		Pie	Cumple	Cumple	40.8	16.1	15.1	3.7	67.7	3.0	67.7	G, Q ⁽¹⁾	N _c	50.82	-2.10	0.11	0.08	1.40	Cumple
												G, Q, V ⁽³⁾	M _y V _z	46.05	-2.41	0.14	0.08	1.43	
												G, Q, V ⁽⁵⁾	M _z NM _y M _z	45.74	-1.96	1.23	0.44	1.23	
												G, Q, V, N ⁽⁴⁾	M _y V _z	46.01	-1.83	-0.49	-0.12	1.17	
Notas: (1) 1.35·PP+1.35·CM+1.5·Qa(G1) (2) 1.35·PP+1.35·CM+1.5·V(+Yexc.+) (3) 1.35·PP+1.35·CM+1.05·Qa(C)+1.5·V(+Xexc.-) (4) 1.35·PP+1.35·CM+1.5·Qa(C)+0.9·V(-Yexc.-)+0.75·N1 (5) 1.35·PP+1.35·CM+1.05·Qa(C)+1.5·V(+Yexc.+)																			

Sección de acero laminado - Situación de incendio																	
Tramo	Sección	Posición	Comprobaciones							Esfuerzos p _{ésimos}						Estado	
			N _c (%)	M _Y (%)	M _Z (%)	V _Z (%)	NM _Y M _Z (%)	M _Y V _Z (%)	Aprov. (%)	Naturaleza	Comp.	N (kN)	M _{xx} (kN·m)	M _{yy} (kN·m)	Q _x (kN)		Q _y (kN)
Cubierta (0 - 4.55 m)	HE 200 B	Cabeza	44.7	26.4	4.1	3.5	73.7	3.1	73.7	G, Q, V ⁽¹⁾	N _c	33.82	2.04	-0.01	-0.07	0.84	Cumple
										G, Q, V ⁽²⁾	M _Y V _Z	33.81	2.23	-0.13	0.05	0.95	
										G, V ⁽³⁾	M _Z	33.70	2.11	-0.24	0.17	0.87	
										G, Q, V ⁽⁴⁾	NM _Y M _Z	33.71	2.12	-0.24	0.17	0.88	
										G, Q, V ⁽⁵⁾	M _Y V _Z	33.81	2.07	-0.03	-0.06	0.85	
	Pie	45.0	18.1	7.7	3.5	71.0	3.1	71.0	G, Q, V ⁽¹⁾	N _c	34.06	-1.29	-0.30	-0.07	0.84	Cumple	
									G, Q, V ⁽²⁾	M _Y V _Z	34.05	-1.53	0.09	0.05	0.95		
									G, Q, V ⁽⁴⁾	M _Z ,NM _Y M _Z	33.95	-1.38	0.45	0.17	0.88		
									G, Q, V ⁽⁵⁾	M _Y V _Z	34.06	-1.32	-0.25	-0.06	0.85		
Notas: ⁽¹⁾ PP+CM+0.6·Qa(C)+0.5·V(-Yexc.+) ⁽²⁾ PP+CM+0.6·Qa(C)+0.5·V(+Xexc.-) ⁽³⁾ PP+CM+0.5·V(+Yexc.+) ⁽⁴⁾ PP+CM+0.6·Qa(C)+0.5·V(+Yexc.+) ⁽⁵⁾ PP+CM+0.6·Qa(C)+0.5·V(-Yexc.-)																	

2.13.- I-D1

Sección de acero laminado - Temperatura ambiente																				
Tramo	Sección	Posición	Comprobaciones										Esfuerzos pésimos						Estado	
			$\bar{\lambda}$	N _c (%)	M _y (%)	M _z (%)	V _z (%)	V _y (%)	NM _y M _z (%)	M _y V _z (%)	M _y V _y (%)	Aprov. (%)	Naturaleza	Comp.	N (kN)	M _{xx} (kN·m)	M _{yy} (kN·m)	Q _x (kN)		Q _y (kN)
Cubierta (0 - 4.55 m)	CHS 200.0x5.0	Cabeza	Cumple	61.6	20.9	21.0	1.6	1.9	91.6	1.3	1.3	91.6	G, Q ⁽¹⁾	N _c M _y V _z M _y V _y	37.68	-0.96	0.52	-0.21	-0.39	Cumple
													G, Q, V ⁽²⁾	M _y V _z NM _y M _z	34.50	-1.06	1.00	-0.52	-0.47	
													G, Q, V ⁽³⁾	M _z V _y	34.45	-0.88	1.07	-0.56	-0.37	
		Pie	Cumple	61.9	15.7	23.0	1.6	1.9	89.5	1.3	1.3	89.5	G, Q ⁽¹⁾	N _c M _y V _z M _y V _y	37.81	0.61	-0.32	-0.21	-0.39	Cumple
													G, Q, V ⁽²⁾	M _y V _z NM _y M _z	34.62	0.80	-1.08	-0.52	-0.47	
													G, Q, V ⁽³⁾	M _z V _y	34.58	0.60	-1.17	-0.56	-0.37	
Notas: ⁽¹⁾ 1.35 PP+1.35 CM+1.5 Qa(G1) ⁽²⁾ 1.35 PP+1.35 CM+1.05 Qa(C)+1.5 V(-Yexc.+) ⁽³⁾ 1.35 PP+1.35 CM+1.05 Qa(C)+1.5 V(-Yexc.-)																				

Sección de acero laminado - Situación de incendio																			
Tramo	Sección	Posición	Comprobaciones									Esfuerzos p _{simos}						Estado	
			N _c (%)	M _V (%)	M _Z (%)	V _Z (%)	V _Y (%)	NM _Y M _Z (%)	M _Y V _Z (%)	M _Y V _Y (%)	Aprov. (%)	Naturaleza	Comp.	N (kN)	M _{xx} (kN·m)	M _{yy} (kN·m)	Q _x (kN)		Q _y (kN)
Cubierta (0 - 4.55 m)	CHS 200.0x5.0	Cabeza	57.5	16.9	13.6	1.2	1.1	85.4	1.0	1.0	85.4	G, Q, V ⁽¹⁾	N _c M _Y V _Z NM _Y M _Z	25.46	-0.68	0.52	-0.25	-0.29	Cumple
												G, Q, V ⁽²⁾	M _Z V _Y	25.44	-0.62	0.54	-0.26	-0.26	
												G, Q, N ⁽³⁾	M _Y V _Z M _Y V _Y	25.38	-0.59	0.34	-0.14	-0.25	
		Pie	57.7	11.9	12.7	1.2	1.1	79.2	1.0	1.0	79.2	G, Q, V ⁽¹⁾	N _c M _Y V _Z NM _Y M _Z	25.55	0.48	-0.48	-0.25	-0.29	Cumple
												G, Q, V ⁽²⁾	M _Z V _Y	25.54	0.41	-0.51	-0.26	-0.26	
												G, Q, N ⁽³⁾	M _Y V _Z M _Y V _Y	25.48	0.38	-0.22	-0.14	-0.25	
Notas: ⁽¹⁾ PP+CM+0.6·Qa(C)+0.5·V(-Yexc.+) ⁽²⁾ PP+CM+0.6·Qa(C)+0.5·V(-Yexc.-) ⁽³⁾ PP+CM+0.6·Qa(C)+0.2·N1																			

2.14.- I-D2

Sección de acero laminado - Temperatura ambiente																				
Tramo	Sección	Posición	Comprobaciones										Esfuerzos pésimos							Estado
			$\bar{\lambda}$	N _c (%)	M _y (%)	M _z (%)	V _z (%)	V _y (%)	NM _y M _z (%)	M _y V _z (%)	M _y V _y (%)	Aprov. (%)	Naturaleza	Comp.	N (kN)	M _{xx} (kN·m)	M _{yy} (kN·m)	Q _x (kN)	Q _y (kN)	
Cubierta (0 - 4.55 m)	CHS 200.0x5.0	Cabeza	Cumple	44.6	27.7	13.5	1.9	1.4	73.9	1.6	1.6	73.9	G, Q ⁽¹⁾	N _c NM _y M _z M _y V _z M _y V _y	27.23	1.25	0.35	-0.15	0.48	Cumple
													G, V ⁽²⁾	M _y V _z	24.31	1.40	-0.07	0.16	0.58	



Sección de acero laminado - Temperatura ambiente																				
Tramo	Sección	Posición	Comprobaciones										Esfuerzos p _{simos}						Estado	
			$\bar{\lambda}$	N _c (%)	M _V (%)	M _Z (%)	V _Z (%)	V _V (%)	NM _V M _Z (%)	M _V V _Z (%)	M _V V _V (%)	Aprov. (%)	Naturaleza	Comp.	N (kN)	M _{xx} (kN·m)	M _{yy} (kN·m)	Q _x (kN)		Q _y (kN)
													G, Q, V ⁽³⁾	M _Z V _V	24.63	0.81	0.68	-0.42		0.28
														G, Q ⁽¹⁾	N _c M _V V _Z M _V V _V	27.36	-0.68	-0.23		-0.15
		Pie	Cumple	44.8	17.8	19.5	1.9	1.4	66.0	1.6	1.6	66.0	G, V ⁽²⁾	M _V V _Z	24.44	-0.90	0.57	0.16	0.58	Cumple
													G, Q, V ⁽³⁾	M _Z V _V	24.75	-0.30	-0.99	-0.42	0.28	
													G, Q, V ⁽⁴⁾	NM _V M _Z	24.72	-0.51	-0.98	-0.42	0.38	
Notas: ⁽¹⁾ 1.35·PP+1.35·CM+1.5·Qa(G1) ⁽²⁾ 1.35·PP+1.35·CM+1.5·V(+Yexc.+) ⁽³⁾ 1.35·PP+1.35·CM+1.05·Qa(C)+1.5·V(-Yexc.+) ⁽⁴⁾ 1.35·PP+1.35·CM+1.05·Qa(C)+1.5·V(-Yexc.-)																				

Sección de acero laminado - Situación de incendio																		
Tramo	Sección	Posición	Comprobaciones								Esfuerzos p _{simos}							Estado
			N _c (%)	M _V (%)	M _Z (%)	V _Z (%)	NM _V M _Z (%)	M _V V _Z (%)	M _V V _V (%)	Aprov. (%)	Naturaleza	Comp.	N (kN)	M _{xx} (kN·m)	M _{yy} (kN·m)	Q _x (kN)	Q _y (kN)	
Cubierta (0 - 4.55 m)	CHS 200.0x5.0	Cabeza	41.1	23.0	8.8	1.6	68.0	1.3	1.3	68.0	G, Q, V ⁽¹⁾	N _c M _Z	18.18	0.72	0.35	-0.19	0.27	Cumple
											G, V ⁽²⁾	M _V V _Z	18.07	0.92	0.10	0.00	0.37	
											G, V ⁽³⁾	NM _V M _Z	18.11	0.90	0.23	-0.10	0.36	
											G, Q, N ⁽⁴⁾	M _V V _Z M _V V _V	18.12	0.82	0.23	-0.10	0.32	
		Pie	41.3	13.6	10.4	1.6	58.5	1.3	1.3	58.5	G, Q, V ⁽¹⁾	N _c M _Z	18.27	-0.34	-0.42	-0.19	0.27	Cumple
											G, V ⁽²⁾	M _V V _Z	18.17	-0.55	0.10	0.00	0.37	
											G, Q, V ⁽⁵⁾	NM _V M _Z	18.26	-0.41	-0.41	-0.19	0.30	
											G, Q, N ⁽⁴⁾	M _V V _Z M _V V _V	18.22	-0.44	-0.16	-0.10	0.32	
Notas: (1) PP+CM+0.6 Qa(C)+0.5 V(-Yexc.+) (2) PP+CM+0.5 V(+Yexc.+) (3) PP+CM+0.5 V(+Xexc.-) (4) PP+CM+0.6 Qa(C)+0.2 N1 (5) PP+CM+0.6 Qa(C)+0.5 V(-Yexc.-)																		

2.15.- I-D3

Sección de acero laminado - Temperatura ambiente																				
Tramo	Sección	Posición	Comprobaciones										Esfuerzos pésimos						Estado	
			$\bar{\lambda}$	N _c (%)	M _y (%)	M _z (%)	V _z (%)	V _y (%)	NM·M _z (%)	M·V _z (%)	M·V _y (%)	Aprov. (%)	Naturaleza	Comp.	N (kN)	M _{xx} (kN·m)	M _{yy} (kN·m)	Q _x (kN)		Q _y (kN)
Cubierta (0 - 4.55 m)	CHS 200.0x5.0	Cabeza	Cumple	47.2	33.3	9.5	2.4	1.1	83.1	2.1	2.1	83.1	G, Q ⁽¹⁾	N _c NM·M _z M·V _z M·V _y	28.83	-1.55	0.35	-0.14	-0.63	Cumple
													G, Q, V ⁽²⁾	M _y M _z V _z V _y	25.92	-1.69	0.48	-0.34	-0.72	
		Pie	Cumple	47.4	23.0	17.5	2.4	1.1	76.7	2.1	2.1	76.7	G, Q ⁽¹⁾	N _c M·V _z M·V _y	28.95	0.96	-0.22	-0.14	-0.63	Cumple
													G, Q, V ⁽²⁾	M _y M _z V _z V _y NM·M _z	26.05	1.17	-0.89	-0.34	-0.72	
<div>Notas:</div> <div>⁽¹⁾ 1.35·PP+1.35·CM+1.5·Qa(G1)</div> <div>⁽²⁾ 1.35·PP+1.35·CM+1.05·Qa(C)+1.5·V(-·Yexc.+)</div>																				

Sección de acero laminado - Situación de incendio																		
Tramo	Sección	Posición	Comprobaciones								Esfuerzos p _{simos}						Estado	
			N _c (%)	M _y (%)	M _z (%)	V _z (%)	NM _y M _z (%)	M _y V _z (%)	M _y V _y (%)	Aprov. (%)	Naturaleza	Comp.	N (kN)	M _{xx} (kN·m)	M _{yy} (kN·m)	Q _x (kN)		Q _y (kN)
Cubierta (0 - 4.55 m)	CHS 200.0x5.0	Cabeza	43.4	28.2	7.2	2.0	77.8	1.8	1.8	77.8	G, V ⁽¹⁾	N _c	19.21	-0.95	0.23	-0.09	-0.38	Cumple
											G, Q, V ⁽²⁾	M _y M _z , V _z , NM _y M _z	19.20	-1.13	0.29	-0.17	-0.47	
											G, Q, N ⁽³⁾	M _y V _z , M _y V _y	19.20	-1.03	0.23	-0.10	-0.42	
		Pie	43.6	18.5	9.5	2.0	69.1	1.8	1.8	69.1	G, V ⁽¹⁾	N _c	19.31	0.55	-0.14	-0.09	-0.38	Cumple
											G, Q, V ⁽²⁾	M _y M _z , V _z , NM _y M _z	19.29	0.74	-0.38	-0.17	-0.47	
											G, Q, N ⁽³⁾	M _y V _z , M _y V _y	19.29	0.64	-0.15	-0.10	-0.42	
Notas: ⁽¹⁾ PP+CM+0.5·V(+Xexc.-) ⁽²⁾ PP+CM+0.6·Qa(C)+0.5·V(-Yexc.+) ⁽³⁾ PP+CM+0.6·Qa(C)+0.2·N1																		

2.16.- I-D4

Sección de acero laminado - Temperatura ambiente																				
Tramo	Sección	Posición	Comprobaciones									Esfuerzos p _{simos}						Estado		
			$\bar{\lambda}$	N _c (%)	M _y (%)	M _z (%)	V _z (%)	V _y (%)	NM _y M _z (%)	M _y V _z (%)	M _y V _y (%)	Aprov. (%)	Naturaleza	Comp.	N (kN)	M _{xx} (kN·m)	M _{yy} (kN·m)		Q _x (kN)	Q _y (kN)
Cubierta (0 - 4.55 m)	CHS 200.0x5.0	Cabeza	Cumple	58.2	26.3	10.1	1.8	1.3	89.6	1.6	1.6	89.6	G, Q ⁽¹⁾	N _c NM _y M _z M _y V _z M _y V _y	35.58	1.26	0.36	-0.14	0.49	Cumple
													G, V ⁽²⁾	M _y V _z	32.38	1.33	0.12	0.12	0.55	
													G, Q, V ⁽³⁾	M _z V _y	32.33	0.81	0.51	-0.38	0.28	
		Pie	Cumple	58.4	16.9	19.3	1.8	1.3	78.7	1.6	1.6	78.7	G, Q ⁽¹⁾	N _c M _y V _z M _y V _y	35.71	-0.69	-0.21	-0.14	0.49	Cumple
													G, V ⁽²⁾	M _y V _z NM _y M _z	32.50	-0.86	0.61	0.12	0.55	
													G, Q, V ⁽³⁾	M _z V _y	32.46	-0.30	-0.98	-0.38	0.28	
Notas: (1) 1.35 PP+1.35 CM+1.5 Qa(G1) (2) 1.35 PP+1.35 CM+1.5 V(+Yexc.+) (3) 1.35 PP+1.35 CM+1.05 Qa(C)+1.5 V(-Yexc.+)																				

Sección de acero laminado - Situación de incendio										
Tramo	Sección	Posición	Comprobaciones				Esfuerzos p _{simos}			Estado



I. MEMORIA

			N _c (%)	M _y (%)	M _z (%)	V _z (%)	NM _y M _z (%)	M _y V _z (%)	M _z V _y (%)	Aprov. (%)	Naturaleza	Comp.	N (kN)	M _{xx} (kN·m)	M _{yy} (kN·m)	Q _x (kN)	Q _y (kN)		
Cubierta (0 - 4.55 m)	CHS 200.0x5.0	Cabeza	54.2	22.0	7.5	1.5	82.1	1.3	1.3	82.1	G, V ⁽¹⁾	N _c ,NM _y M _z	23.99	0.87	0.23	-0.09	0.35	Cumple	
											G, V ⁽²⁾	M _y ,V _z	23.97	0.88	0.17	-0.01	0.35		
											G, Q, V ⁽³⁾	M _z	23.96	0.71	0.30	-0.18	0.26		
											G, Q, N ⁽⁴⁾	M _y V _z ,M _z V _y	23.97	0.79	0.23	-0.09	0.31		
		Pie	54.4	13.1	10.0	1.5	71.6	1.3	1.3	71.6	G, V ⁽¹⁾	N _c	24.09	-0.51	-0.13	-0.09	0.35	Cumple	
											G, V ⁽²⁾	M _y ,V _z	24.07	-0.52	0.13	-0.01	0.35		
											G, Q, V ⁽³⁾	M _z	24.06	-0.34	-0.40	-0.18	0.26		
											G, V ⁽⁵⁾	NM _y M _z	24.07	-0.40	-0.37	-0.17	0.30		
												G, Q, N ⁽⁴⁾	M _y V _z ,M _z V _y	24.06	-0.43	-0.14	-0.09	0.31	
Notas: (1) PP+CM+0.5 V(+Xexc.-) (2) PP+CM+0.5 V(+Yexc.+) (3) PP+CM+0.6 Qa(C)+0.5 V(-Yexc.+) (4) PP+CM+0.6 Qa(C)+0.2 N1 (5) PP+CM+0.5 V(-Yexc.-)																			

3.- VIGAS

3.1.- Planta baja

Vigas	COMPROBACIONES DE RESISTENCIA (INSTRUCCIÓN DE HORMIGÓN ESTRUCTURAL EHE-08)															Estado
	Disp.	Arm.	Q	N,M	T _c	T _{st}	T _{sl}	TNM _k	TV _x	TV _y	TV _{xs}	TV _{ys}	T,Geom.	T,Disp.-sl	T,Disp.-st	
B1 - I-C1	Cumple	'0.184 m' Cumple	'1.375 m' η = 32.8	'1.564 m' η = 67.5	N.P. ⁽¹⁾	N.P. ⁽¹⁾	N.P. ⁽¹⁾	N.P. ⁽²⁾	N.P. ⁽¹⁾	N.P. ⁽¹⁾	N.P. ⁽¹⁾	N.P. ⁽¹⁾	N.P. ⁽¹⁾	N.P. ⁽¹⁾	N.P. ⁽¹⁾	CUMPLE η = 67.5
I-C1 - I-C2	Cumple	Cumple	'0.758 m' η = 92.5	'I-C1' η = 82.0	'6.211 m' η = 7.2	N.P. ⁽¹⁾	N.P. ⁽¹⁾	N.P. ⁽²⁾	N.P. ⁽¹⁾	'6.300 m' η = 17.9	N.P. ⁽¹⁾	N.P. ⁽¹⁾	N.P. ⁽¹⁾	N.P. ⁽¹⁾	N.P. ⁽¹⁾	CUMPLE η = 92.5
I-C2 - I-C3	Cumple	Cumple	'1.377 m' η = 17.0	'I-C3' η = 44.4	N.P. ⁽¹⁾	N.P. ⁽¹⁾	N.P. ⁽¹⁾	N.P. ⁽²⁾	N.P. ⁽¹⁾	N.P. ⁽¹⁾	N.P. ⁽¹⁾	N.P. ⁽¹⁾	N.P. ⁽¹⁾	N.P. ⁽¹⁾	N.P. ⁽¹⁾	CUMPLE η = 44.4
I-C3 - I-C4	Cumple	Cumple	'6.400 m' η = 93.6	'2.760 m' η = 96.7	N.P. ⁽¹⁾	N.P. ⁽¹⁾	N.P. ⁽¹⁾	N.P. ⁽²⁾	N.P. ⁽¹⁾	N.P. ⁽¹⁾	N.P. ⁽¹⁾	N.P. ⁽¹⁾	N.P. ⁽¹⁾	N.P. ⁽¹⁾	N.P. ⁽¹⁾	CUMPLE η = 96.7
B0 - I-B1	Cumple	'0.184 m' Cumple	'1.375 m' η = 32.8	'1.564 m' η = 67.5	N.P. ⁽¹⁾	N.P. ⁽¹⁾	N.P. ⁽¹⁾	N.P. ⁽²⁾	N.P. ⁽¹⁾	N.P. ⁽¹⁾	N.P. ⁽¹⁾	N.P. ⁽¹⁾	N.P. ⁽¹⁾	N.P. ⁽¹⁾	N.P. ⁽¹⁾	CUMPLE η = 67.5
I-B1 - I-B2	Cumple	Cumple	'0.758 m' η = 92.5	'I-B1' η = 82.0	'6.211 m' η = 7.2	N.P. ⁽¹⁾	N.P. ⁽¹⁾	N.P. ⁽²⁾	N.P. ⁽¹⁾	'6.300 m' η = 17.9	N.P. ⁽¹⁾	N.P. ⁽¹⁾	N.P. ⁽¹⁾	N.P. ⁽¹⁾	N.P. ⁽¹⁾	CUMPLE η = 92.5
I-B2 - I-B3	Cumple	Cumple	'1.377 m' η = 17.0	'I-B3' η = 44.4	N.P. ⁽¹⁾	N.P. ⁽¹⁾	N.P. ⁽¹⁾	N.P. ⁽²⁾	N.P. ⁽¹⁾	N.P. ⁽¹⁾	N.P. ⁽¹⁾	N.P. ⁽¹⁾	N.P. ⁽¹⁾	N.P. ⁽¹⁾	N.P. ⁽¹⁾	CUMPLE η = 44.4
I-B3 - I-B4	Cumple	Cumple	'6.400 m' η = 93.6	'2.760 m' η = 96.7	N.P. ⁽¹⁾	N.P. ⁽¹⁾	N.P. ⁽¹⁾	N.P. ⁽²⁾	N.P. ⁽¹⁾	N.P. ⁽¹⁾	N.P. ⁽¹⁾	N.P. ⁽¹⁾	N.P. ⁽¹⁾	N.P. ⁽¹⁾	N.P. ⁽¹⁾	CUMPLE η = 96.7
Notación: Disp.: Disposiciones relativas a las armaduras Arm.: Armadura mínima y máxima Q: Estado límite de agotamiento frente a cortante (combinaciones no sísmicas) N,M: Estado límite de agotamiento frente a solicitaciones normales (combinaciones no sísmicas) T _c : Estado límite de agotamiento por torsión. Compresión oblicua. T _{st} : Estado límite de agotamiento por torsión. Tracción en el alma. T _{sl} : Estado límite de agotamiento por torsión. Tracción en las armaduras longitudinales. TNM _k : Estado límite de agotamiento por torsión. Interacción entre torsión y esfuerzos normales. Flexión alrededor del eje X. TV _x : Estado límite de agotamiento por torsión. Interacción entre torsión y cortante en el eje X. Compresión oblicua TV _y : Estado límite de agotamiento por torsión. Interacción entre torsión y cortante en el eje Y. Compresión oblicua TV _{xs} : Estado límite de agotamiento por torsión. Interacción entre torsión y cortante en el eje X. Tracción en el alma. TV _{ys} : Estado límite de agotamiento por torsión. Interacción entre torsión y cortante en el eje Y. Tracción en el alma. T,Geom.: Estado límite de agotamiento por torsión. Relación entre las dimensiones de la sección. T,Disp.-sl: Estado límite de agotamiento por torsión. Separación entre las barras de la armadura longitudinal. T,Disp.-st: Estado límite de agotamiento por torsión. Separación entre las barras de la armadura transversal. x: Distancia al origen de la barra η: Coeficiente de aprovechamiento (%) N.P.: No procede																
Comprobaciones que no proceden (N.P.): (1) La comprobación del estado límite de agotamiento por torsión no procede, ya que no hay momento torsor. (2) La comprobación no procede, ya que no hay interacción entre torsión y esfuerzos normales.																

Vigas	COMPROBACIONES DE FISURACIÓN (INSTRUCCIÓN DE HORMIGÓN ESTRUCTURAL EHE-08)							Estado
	σ _c	W _{k,C,sup.}	W _{k,C,Lat.Der.}	W _{k,C,inf.}	W _{k,C,Lat.Izq.}	σ _{sr}	V _{fis}	
B1 - I-C1	x: 2.133 m Cumple	N.P. ⁽¹⁾	N.P. ⁽¹⁾	N.P. ⁽¹⁾	N.P. ⁽¹⁾	N.P. ⁽¹⁾	Cumple	CUMPLE
I-C1 - I-C2	x: 0 m Cumple	x: 0 m Cumple	x: 0 m Cumple	x: 3.02 m Cumple	x: 0 m Cumple	x: 2.222 m Cumple	Cumple	CUMPLE
I-C2 - I-C3	x: 2.135 m Cumple	N.P. ⁽²⁾	N.P. ⁽²⁾	N.P. ⁽²⁾	N.P. ⁽²⁾	N.P. ⁽²⁾	Cumple	CUMPLE
I-C3 - I-C4	x: 0 m Cumple	x: 0 m Cumple	x: 3.358 m Cumple	x: 3.358 m Cumple	x: 3.358 m Cumple	x: 6.4 m Cumple	Cumple	CUMPLE
B0 - I-B1	x: 2.133 m Cumple	N.P. ⁽¹⁾	N.P. ⁽¹⁾	N.P. ⁽¹⁾	N.P. ⁽¹⁾	N.P. ⁽¹⁾	Cumple	CUMPLE
I-B1 - I-B2	x: 0 m Cumple	x: 0 m Cumple	x: 0 m Cumple	x: 3.02 m Cumple	x: 0 m Cumple	x: 2.222 m Cumple	Cumple	CUMPLE
I-B2 - I-B3	x: 2.135 m Cumple	N.P. ⁽²⁾	N.P. ⁽²⁾	N.P. ⁽²⁾	N.P. ⁽²⁾	N.P. ⁽²⁾	Cumple	CUMPLE



Vigas	COMPROBACIONES DE FISURACIÓN (INSTRUCCIÓN DE HORMIGÓN ESTRUCTURAL EHE-08)							Estado
	σ_c	$W_{k,C,sup.}$	$W_{k,C,Lat.Der.}$	$W_{k,C,inf.}$	$W_{k,C,Lat.Izq.}$	σ_{sr}	V_{fis}	
I-B3 - I-B4	x: 0 m Cumple	x: 0 m Cumple	x: 3.358 m Cumple	x: 3.358 m Cumple	x: 3.358 m Cumple	x: 6.4 m Cumple	Cumple	CUMPLE
<p>Notación:</p> <p>σ_c: Fisuración por compresión</p> <p>$W_{k,C,sup.}$: Fisuración por tracción: Cara superior</p> <p>$W_{k,C,Lat.Der.}$: Fisuración por tracción: Cara lateral derecha</p> <p>$W_{k,C,inf.}$: Fisuración por tracción: Cara inferior</p> <p>$W_{k,C,Lat.Izq.}$: Fisuración por tracción: Cara lateral izquierda</p> <p>σ_{sr}: Área mínima de armadura</p> <p>V_{fis}: Fisuración por cortante</p> <p>x: Distancia al origen de la barra</p> <p>η: Coeficiente de aprovechamiento (%)</p> <p>N.P.: No procede</p> <p>Comprobaciones que no proceden (N.P.):</p> <p>⁽¹⁾ No hay esfuerzos que produzcan tensiones normales para ninguna combinación. Por lo tanto, la comprobación no procede.</p> <p>⁽²⁾ La comprobación no procede, ya que la tensión de tracción máxima en el hormigón no supera la resistencia a tracción del mismo.</p>								

Comprobaciones de flecha				
Vigas	Sobrecarga (Característica) $f_{i,Q} \leq f_{i,Q,lim}$ $f_{i,Q,lim} = L/350$	A plazo infinito (Cuasipermanente) $f_{T,max} \leq f_{T,lim}$ $f_{T,lim} = \text{Min.}(L/300, L/500+10.00)$	Activa (Característica) $f_{A,max} \leq f_{A,lim}$ $f_{A,lim} = L/400$	Estado
B1 - I-C1	$f_{i,Q}$: 0.00 mm $f_{i,Q,lim}$: 6.09 mm	$f_{T,max}$: 0.06 mm $f_{T,lim}$: 7.11 mm	$f_{A,max}$: 0.04 mm $f_{A,lim}$: 5.33 mm	CUMPLE
I-C1 - I-C2	$f_{i,Q}$: 0.58 mm $f_{i,Q,lim}$: 18.00 mm	$f_{T,max}$: 2.67 mm $f_{T,lim}$: 21.00 mm	$f_{A,max}$: 2.37 mm $f_{A,lim}$: 15.75 mm	CUMPLE
I-C2 - I-C3	$f_{i,Q}$: 0.00 mm $f_{i,Q,lim}$: 6.10 mm	$f_{T,max}$: 0.03 mm $f_{T,lim}$: 7.12 mm	$f_{A,max}$: 0.02 mm $f_{A,lim}$: 5.34 mm	CUMPLE
I-C3 - I-C4	$f_{i,Q}$: 1.25 mm $f_{i,Q,lim}$: 18.29 mm	$f_{T,max}$: 4.46 mm $f_{T,lim}$: 21.33 mm	$f_{A,max}$: 4.06 mm $f_{A,lim}$: 16.00 mm	CUMPLE
B0 - I-B1	$f_{i,Q}$: 0.00 mm $f_{i,Q,lim}$: 6.09 mm	$f_{T,max}$: 0.06 mm $f_{T,lim}$: 7.11 mm	$f_{A,max}$: 0.04 mm $f_{A,lim}$: 5.33 mm	CUMPLE
I-B1 - I-B2	$f_{i,Q}$: 0.58 mm $f_{i,Q,lim}$: 18.00 mm	$f_{T,max}$: 2.67 mm $f_{T,lim}$: 21.00 mm	$f_{A,max}$: 2.37 mm $f_{A,lim}$: 15.75 mm	CUMPLE
I-B2 - I-B3	$f_{i,Q}$: 0.00 mm $f_{i,Q,lim}$: 6.10 mm	$f_{T,max}$: 0.03 mm $f_{T,lim}$: 7.12 mm	$f_{A,max}$: 0.02 mm $f_{A,lim}$: 5.34 mm	CUMPLE
I-B3 - I-B4	$f_{i,Q}$: 1.25 mm $f_{i,Q,lim}$: 18.29 mm	$f_{T,max}$: 4.46 mm $f_{T,lim}$: 21.33 mm	$f_{A,max}$: 4.06 mm $f_{A,lim}$: 16.00 mm	CUMPLE

3.2.- Cubierta

Vigas	COMPROBACIONES DE RESISTENCIA (INSTRUCCIÓN DE HORMIGÓN ESTRUCTURAL EHE-08)														Estado
	Disp.	Arm.	Q	N,M	T_c	T_{st}	T_{sl}	$T_{NM,x}$	$T_{V,x}$	$T_{V,y}$	$T_{V,x,sl}$	$T_{V,y,sl}$	$T_{x,Geom.}$	$T_{y,Disp.-sl}$	
B6 - B5	Cumple	Cumple	'8.020 m' $\eta = 67.4$	'3.318 m' $\eta = 78.1$	N.P. ⁽¹⁾	N.P. ⁽¹⁾	N.P. ⁽¹⁾	N.P. ⁽²⁾	N.P. ⁽¹⁾	N.P. ⁽¹⁾	N.P. ⁽¹⁾	N.P. ⁽¹⁾	N.P. ⁽¹⁾	N.P. ⁽¹⁾	CUMPLE $\eta = 78.1$
B5 - B2	Cumple	Cumple	'0.000 m' $\eta = 19.2$	'B5' $\eta = 77.6$	N.P. ⁽¹⁾	N.P. ⁽¹⁾	N.P. ⁽¹⁾	N.P. ⁽²⁾	N.P. ⁽¹⁾	N.P. ⁽¹⁾	N.P. ⁽¹⁾	N.P. ⁽¹⁾	N.P. ⁽¹⁾	N.P. ⁽¹⁾	CUMPLE $\eta = 77.6$
B2 - B1	Cumple	Cumple	'0.000 m' $\eta = 67.4$	'4.702 m' $\eta = 78.1$	N.P. ⁽¹⁾	N.P. ⁽¹⁾	N.P. ⁽¹⁾	N.P. ⁽²⁾	N.P. ⁽¹⁾	N.P. ⁽¹⁾	N.P. ⁽¹⁾	N.P. ⁽¹⁾	N.P. ⁽¹⁾	N.P. ⁽¹⁾	CUMPLE $\eta = 78.1$
B7 - B4	Cumple	Cumple	'8.020 m' $\eta = 67.5$	'3.318 m' $\eta = 77.8$	N.P. ⁽¹⁾	N.P. ⁽¹⁾	N.P. ⁽¹⁾	N.P. ⁽²⁾	N.P. ⁽¹⁾	N.P. ⁽¹⁾	N.P. ⁽¹⁾	N.P. ⁽¹⁾	N.P. ⁽¹⁾	N.P. ⁽¹⁾	CUMPLE $\eta = 77.8$
B4 - B3	Cumple	Cumple	'0.000 m' $\eta = 19.2$	'B4' $\eta = 78.5$	N.P. ⁽¹⁾	N.P. ⁽¹⁾	N.P. ⁽¹⁾	N.P. ⁽²⁾	N.P. ⁽¹⁾	N.P. ⁽¹⁾	N.P. ⁽¹⁾	N.P. ⁽¹⁾	N.P. ⁽¹⁾	N.P. ⁽¹⁾	CUMPLE $\eta = 78.5$
B3 - B0	Cumple	Cumple	'0.000 m' $\eta = 67.5$	'B3' $\eta = 78.2$	N.P. ⁽¹⁾	N.P. ⁽¹⁾	N.P. ⁽¹⁾	N.P. ⁽²⁾	N.P. ⁽¹⁾	N.P. ⁽¹⁾	N.P. ⁽¹⁾	N.P. ⁽¹⁾	N.P. ⁽¹⁾	N.P. ⁽¹⁾	CUMPLE $\eta = 78.2$



Vigas	COMPROBACIONES DE RESISTENCIA (INSTRUCCIÓN DE HORMIGÓN ESTRUCTURAL EHE-08)														Estado
	Disp.	Arm.	Q	N,M	T _c	T _{st}	T _{sl}	TNM _x	TV _x	TV _y	TV _{xSt}	TV _{ySt}	T,Geom.	T,Disp. _{sl}	
<p><i>Notación:</i></p> <p><i>Disp.: Disposiciones relativas a las armaduras</i></p> <p><i>Arm.: Armadura mínima y máxima</i></p> <p><i>Q: Estado límite de agotamiento frente a cortante (combinaciones no sísmicas)</i></p> <p><i>N,M: Estado límite de agotamiento frente a solicitaciones normales (combinaciones no sísmicas)</i></p> <p><i>T_c: Estado límite de agotamiento por torsión. Compresión oblicua.</i></p> <p><i>T_{st}: Estado límite de agotamiento por torsión. Tracción en el alma.</i></p> <p><i>T_{sl}: Estado límite de agotamiento por torsión. Tracción en las armaduras longitudinales.</i></p> <p><i>TNM_x: Estado límite de agotamiento por torsión. Interacción entre torsión y esfuerzos normales. Flexión alrededor del eje X.</i></p> <p><i>TV_x: Estado límite de agotamiento por torsión. Interacción entre torsión y cortante en el eje X. Compresión oblicua</i></p> <p><i>TV_y: Estado límite de agotamiento por torsión. Interacción entre torsión y cortante en el eje Y. Compresión oblicua</i></p> <p><i>TV_{xSt}: Estado límite de agotamiento por torsión. Interacción entre torsión y cortante en el eje X. Tracción en el alma.</i></p> <p><i>TV_{ySt}: Estado límite de agotamiento por torsión. Interacción entre torsión y cortante en el eje Y. Tracción en el alma.</i></p> <p><i>T,Geom.: Estado límite de agotamiento por torsión. Relación entre las dimensiones de la sección.</i></p> <p><i>T,Disp._{sl}: Estado límite de agotamiento por torsión. Separación entre las barras de la armadura longitudinal.</i></p> <p><i>T,Disp._{st}: Estado límite de agotamiento por torsión. Separación entre las barras de la armadura transversal.</i></p> <p><i>x: Distancia al origen de la barra</i></p> <p><i>η: Coeficiente de aprovechamiento (%)</i></p> <p><i>N.P.: No procede</i></p>															
<p>Comprobaciones que no proceden (N.P.):</p> <p>⁽¹⁾ La comprobación del estado límite de agotamiento por torsión no procede, ya que no hay momento torsor.</p> <p>⁽²⁾ La comprobación no procede, ya que no hay interacción entre torsión y esfuerzos normales.</p>															

Vigas	COMPROBACIONES DE FISURACIÓN (INSTRUCCIÓN DE HORMIGÓN ESTRUCTURAL EHE-08)							Estado
	σ _c	W _{k,C,sup.}	W _{k,C,lat.Der.}	W _{k,C,inf.}	W _{k,C,lat.Izq.}	σ _{sr}	V _{fis}	
B6 - B5	x: 3.318 m Cumple	x: 8.02 m Cumple	N.P. ⁽¹⁾	x: 3.318 m Cumple	N.P. ⁽¹⁾	x: 8.02 m Cumple	Cumple	CUMPLE
B5 - B2	x: 2.619 m Cumple	x: 2.619 m Cumple	N.P. ⁽²⁾	N.P. ⁽²⁾	N.P. ⁽²⁾	x: 0 m Cumple	x: 0 m Cumple	CUMPLE
B2 - B1	x: 4.702 m Cumple	x: 0 m Cumple	N.P. ⁽²⁾	x: 4.702 m Cumple	N.P. ⁽²⁾	x: 0 m Cumple	Cumple	CUMPLE
B7 - B4	x: 3.318 m Cumple	x: 8.02 m Cumple	N.P. ⁽¹⁾	x: 3.318 m Cumple	N.P. ⁽¹⁾	x: 8.02 m Cumple	Cumple	CUMPLE
B4 - B3	x: 0 m Cumple	x: 0 m Cumple	N.P. ⁽²⁾	N.P. ⁽²⁾	N.P. ⁽²⁾	x: 0 m Cumple	x: 0 m Cumple	CUMPLE
B3 - B0	x: 4.702 m Cumple	x: 0 m Cumple	N.P. ⁽²⁾	x: 4.702 m Cumple	N.P. ⁽²⁾	x: 0 m Cumple	Cumple	CUMPLE
<p>Notación:</p> <p>σ_c: Fisuración por compresión</p> <p>W_{k,C,sup.}: Fisuración por tracción: Cara superior</p> <p>W_{k,C,lat.Der.}: Fisuración por tracción: Cara lateral derecha</p> <p>W_{k,C,inf.}: Fisuración por tracción: Cara inferior</p> <p>W_{k,C,lat.Izq.}: Fisuración por tracción: Cara lateral izquierda</p> <p>σ_{sr}: Área mínima de armadura</p> <p>V_{fis}: Fisuración por cortante</p> <p>x: Distancia al origen de la barra</p> <p>η: Coeficiente de aprovechamiento (%)</p> <p>N.P.: No procede</p> <p>Comprobaciones que no proceden (N.P.):</p> <p>⁽¹⁾ La comprobación no procede, ya que la tensión de tracción máxima en el hormigón no supera la resistencia a tracción del mismo.</p> <p>⁽²⁾ La comprobación no procede, ya que no hay ninguna armadura traccionada.</p>								

Tramos	COMPROBACIONES DE RESISTENCIA (CTE DB SE-A) - TEMPERATURA AMBIENTE															Estado
	$\bar{\lambda}$	λ_w	N _t	N _c	M _y	M _z	V _z	V _y	M _y V _z	M _z V _y	NM _y M _z	NM _y M _z V _y V _z	M _i	M _{Vz}	M _{Vy}	
B6 - I-D1	N.P. ⁽¹⁾	$\lambda_w \leq \lambda_{w,max}$ Cumple	N _{Ed} = 0.00 N.P. ⁽²⁾	N _{Ed} = 0.00 N.P. ⁽³⁾	x: 1.996 m η = 55.7	M _{Ed} = 0.00 N.P. ⁽⁴⁾	x: 1.996 m η = 25.8	V _{Ed} = 0.00 N.P. ⁽⁵⁾	η < 0.1	N.P. ⁽⁶⁾	N.P. ⁽⁷⁾	N.P. ⁽⁸⁾	x: 0 m η = 19.4	x: 1.996 m η = 26.6	N.P. ⁽⁹⁾	CUMPLE η = 55.7
I-D2 - I-D3	N.P. ⁽¹⁾	$\lambda_w \leq \lambda_{w,max}$ Cumple	N _{Ed} = 0.00 N.P. ⁽²⁾	N _{Ed} = 0.00 N.P. ⁽³⁾	x: 2.358 m η = 41.0	M _{Ed} = 0.00 N.P. ⁽⁴⁾	x: 0 m η = 12.3	V _{Ed} = 0.00 N.P. ⁽⁵⁾	η < 0.1	N.P. ⁽⁶⁾	N.P. ⁽⁷⁾	N.P. ⁽⁸⁾	x: 0 m η = 52.6	x: 0 m η = 13.7	N.P. ⁽⁹⁾	CUMPLE η = 52.6
I-D3 - I-D4	N.P. ⁽¹⁾	$\lambda_w \leq \lambda_{w,max}$ Cumple	N _{Ed} = 0.00 N.P. ⁽²⁾	N _{Ed} = 0.00 N.P. ⁽³⁾	x: 6.523 m η = 53.2	M _{Ed} = 0.00 N.P. ⁽⁴⁾	x: 6.523 m η = 32.4	V _{Ed} = 0.00 N.P. ⁽⁵⁾	η < 0.1	N.P. ⁽⁶⁾	N.P. ⁽⁷⁾	N.P. ⁽⁸⁾	x: 6.27 m η = 20.5	x: 6.523 m η = 33.3	N.P. ⁽⁹⁾	CUMPLE η = 53.2
I-D4 - B7	N.P. ⁽¹⁾	$\lambda_w \leq \lambda_{w,max}$ Cumple	N _{Ed} = 0.00 N.P. ⁽²⁾	N _{Ed} = 0.00 N.P. ⁽³⁾	x: 0 m η = 44.4	M _{Ed} = 0.00 N.P. ⁽⁴⁾	x: 0 m η = 22.1	V _{Ed} = 0.00 N.P. ⁽⁵⁾	η < 0.1	N.P. ⁽⁶⁾	N.P. ⁽⁷⁾	N.P. ⁽⁸⁾	x: 1.557 m η = 19.3	x: 0 m η = 22.6	N.P. ⁽⁹⁾	CUMPLE η = 44.4
B5 - I-C1	N.P. ⁽¹⁾	$\lambda_w \leq \lambda_{w,max}$ Cumple	N _{Ed} = 0.00 N.P. ⁽²⁾	N _{Ed} = 0.00 N.P. ⁽³⁾	x: 1.984 m η = 83.2	M _{Ed} = 0.00 N.P. ⁽⁴⁾	x: 1.984 m η = 37.6	V _{Ed} = 0.00 N.P. ⁽⁵⁾	η < 0.1	N.P. ⁽⁶⁾	N.P. ⁽⁷⁾	N.P. ⁽⁸⁾	x: 0 m η = 10.4	x: 1.984 m η = 37.8	N.P. ⁽⁹⁾	CUMPLE η = 83.2
I-C1 - I-C2	N.P. ⁽¹⁾	$\lambda_w \leq \lambda_{w,max}$ Cumple	N _{Ed} = 0.00 N.P. ⁽²⁾	N _{Ed} = 0.00 N.P. ⁽³⁾	x: 0 m η = 97.1	M _{Ed} = 0.00 N.P. ⁽⁴⁾	x: 0 m η = 44.9	V _{Ed} = 0.00 N.P. ⁽⁵⁾	η < 0.1	N.P. ⁽⁶⁾	N.P. ⁽⁷⁾	N.P. ⁽⁸⁾	x: 6.357 m η = 21.9	x: 0 m η = 45.0	N.P. ⁽⁹⁾	CUMPLE η = 97.1
I-C2 - I-C3	N.P. ⁽¹⁾	$\lambda_w \leq \lambda_{w,max}$ Cumple	N _{Ed} = 0.00 N.P. ⁽²⁾	N _{Ed} = 0.00 N.P. ⁽³⁾	x: 2.335 m η = 44.8	M _{Ed} = 0.00 N.P. ⁽⁴⁾	x: 0 m η = 17.7	V _{Ed} = 0.00 N.P. ⁽⁵⁾	η < 0.1	N.P. ⁽⁶⁾	N.P. ⁽⁷⁾	N.P. ⁽⁸⁾	x: 0 m η = 55.1	x: 0 m η = 18.6	N.P. ⁽⁹⁾	CUMPLE η = 55.1
I-C3 - I-C4	N.P. ⁽¹⁾	$\lambda_w \leq \lambda_{w,max}$ Cumple	N _{Ed} = 0.00 N.P. ⁽²⁾	N _{Ed} = 0.00 N.P. ⁽³⁾	x: 6.5 m η = 86.3	M _{Ed} = 0.00 N.P. ⁽⁴⁾	x: 6.5 m η = 45.5	V _{Ed} = 0.00 N.P. ⁽⁵⁾	η < 0.1	N.P. ⁽⁶⁾	N.P. ⁽⁷⁾	N.P. ⁽⁸⁾	x: 6.259 m η = 17.4	x: 6.5 m η = 46.0	N.P. ⁽⁹⁾	CUMPLE η = 86.3
I-C4 - B4	N.P. ⁽¹⁾	$\lambda_w \leq \lambda_{w,max}$ Cumple	N _{Ed} = 0.00 N.P. ⁽²⁾	N _{Ed} = 0.00 N.P. ⁽³⁾	x: 0 m η = 67.1	M _{Ed} = 0.00 N.P. ⁽⁴⁾	x: 0 m η = 32.3	V _{Ed} = 0.00 N.P. ⁽⁵⁾	η < 0.1	N.P. ⁽⁶⁾	N.P. ⁽⁷⁾	N.P. ⁽⁸⁾	x: 0 m η = 11.9	x: 0 m η = 32.5	N.P. ⁽⁹⁾	CUMPLE η = 67.1



I. MEMORIA

COMPROBACIONES DE RESISTENCIA (CTE DB SE-A) - TEMPERATURA AMBIENTE																
Tramos	$\bar{\lambda}$	λ_w	N _t	N _c	M _Y	M _Z	V _Z	V _Y	M _Y V _Z	M _Z V _Y	NM _Y M _Z	NM _Y M _Z V _Y V _Z	M _t	M _Y V _Z	M _Y V _Y	Estado
B2 - I-B1	N.P. ⁽¹⁾	$\lambda_w \leq \lambda_{w,max}$ Cumple	N _{Ed} = 0,00 N.P. ⁽²⁾	N _{Ed} = 0,00 N.P. ⁽³⁾	x: 1.984 m η = 83.2	M _{Ed} = 0,00 N.P. ⁽⁴⁾	x: 1.984 m η = 37.6	V _{Ed} = 0,00 N.P. ⁽⁵⁾	η < 0.1	N.P. ⁽⁶⁾	N.P. ⁽⁷⁾	N.P. ⁽⁸⁾	x: 0 m η = 10.4	x: 1.984 m η = 37.8	N.P. ⁽⁹⁾	CUMPLE η = 83.2
I-B1 - I-B2	N.P. ⁽¹⁾	$\lambda_w \leq \lambda_{w,max}$ Cumple	N _{Ed} = 0,00 N.P. ⁽²⁾	N _{Ed} = 0,00 N.P. ⁽³⁾	x: 0 m η = 97.1	M _{Ed} = 0,00 N.P. ⁽⁴⁾	x: 0 m η = 44.9	V _{Ed} = 0,00 N.P. ⁽⁵⁾	η < 0.1	N.P. ⁽⁶⁾	N.P. ⁽⁷⁾	N.P. ⁽⁸⁾	x: 6.357 m η = 21.9	x: 0 m η = 45.0	N.P. ⁽⁹⁾	CUMPLE η = 97.1
I-B2 - I-B3	N.P. ⁽¹⁾	$\lambda_w \leq \lambda_{w,max}$ Cumple	N _{Ed} = 0,00 N.P. ⁽²⁾	N _{Ed} = 0,00 N.P. ⁽³⁾	x: 2.335 m η = 44.8	M _{Ed} = 0,00 N.P. ⁽⁴⁾	x: 0 m η = 17.7	V _{Ed} = 0,00 N.P. ⁽⁵⁾	η < 0.1	N.P. ⁽⁶⁾	N.P. ⁽⁷⁾	N.P. ⁽⁸⁾	x: 0 m η = 55.1	x: 0 m η = 18.6	N.P. ⁽⁹⁾	CUMPLE η = 55.1
I-B3 - I-B4	N.P. ⁽¹⁾	$\lambda_w \leq \lambda_{w,max}$ Cumple	N _{Ed} = 0,00 N.P. ⁽²⁾	N _{Ed} = 0,00 N.P. ⁽³⁾	x: 6.5 m η = 86.3	M _{Ed} = 0,00 N.P. ⁽⁴⁾	x: 6.5 m η = 45.5	V _{Ed} = 0,00 N.P. ⁽⁵⁾	η < 0.1	N.P. ⁽⁶⁾	N.P. ⁽⁷⁾	N.P. ⁽⁸⁾	x: 6.259 m η = 17.4	x: 6.5 m η = 46.0	N.P. ⁽⁹⁾	CUMPLE η = 86.3
I-B4 - B3	N.P. ⁽¹⁾	$\lambda_w \leq \lambda_{w,max}$ Cumple	N _{Ed} = 0,00 N.P. ⁽²⁾	N _{Ed} = 0,00 N.P. ⁽³⁾	x: 0 m η = 67.1	M _{Ed} = 0,00 N.P. ⁽⁴⁾	x: 0 m η = 32.3	V _{Ed} = 0,00 N.P. ⁽⁵⁾	η < 0.1	N.P. ⁽⁶⁾	N.P. ⁽⁷⁾	N.P. ⁽⁸⁾	x: 0 m η = 11.9	x: 0 m η = 32.5	N.P. ⁽⁹⁾	CUMPLE η = 67.1
B1 - I-A1	N.P. ⁽¹⁾	$\lambda_w \leq \lambda_{w,max}$ Cumple	N _{Ed} = 0,00 N.P. ⁽²⁾	N _{Ed} = 0,00 N.P. ⁽³⁾	x: 1.996 m η = 55.7	M _{Ed} = 0,00 N.P. ⁽⁴⁾	x: 1.996 m η = 25.8	V _{Ed} = 0,00 N.P. ⁽⁵⁾	η < 0.1	N.P. ⁽⁶⁾	N.P. ⁽⁷⁾	N.P. ⁽⁸⁾	x: 0 m η = 19.4	x: 1.996 m η = 26.6	N.P. ⁽⁹⁾	CUMPLE η = 55.7
I-A2 - I-A3	N.P. ⁽¹⁾	$\lambda_w \leq \lambda_{w,max}$ Cumple	N _{Ed} = 0,00 N.P. ⁽²⁾	N _{Ed} = 0,00 N.P. ⁽³⁾	x: 2.358 m η = 41.0	M _{Ed} = 0,00 N.P. ⁽⁴⁾	x: 0 m η = 12.3	V _{Ed} = 0,00 N.P. ⁽⁵⁾	η < 0.1	N.P. ⁽⁶⁾	N.P. ⁽⁷⁾	N.P. ⁽⁸⁾	x: 0 m η = 52.6	x: 0 m η = 13.7	N.P. ⁽⁹⁾	CUMPLE η = 52.6
I-A3 - I-A4	N.P. ⁽¹⁾	$\lambda_w \leq \lambda_{w,max}$ Cumple	N _{Ed} = 0,00 N.P. ⁽²⁾	N _{Ed} = 0,00 N.P. ⁽³⁾	x: 6.523 m η = 53.2	M _{Ed} = 0,00 N.P. ⁽⁴⁾	x: 6.523 m η = 32.4	V _{Ed} = 0,00 N.P. ⁽⁵⁾	η < 0.1	N.P. ⁽⁶⁾	N.P. ⁽⁷⁾	N.P. ⁽⁸⁾	x: 6.27 m η = 20.5	x: 6.523 m η = 33.3	N.P. ⁽⁹⁾	CUMPLE η = 53.2
I-A4 - B0	N.P. ⁽¹⁾	$\lambda_w \leq \lambda_{w,max}$ Cumple	N _{Ed} = 0,00 N.P. ⁽²⁾	N _{Ed} = 0,00 N.P. ⁽³⁾	x: 0 m η = 44.4	M _{Ed} = 0,00 N.P. ⁽⁴⁾	x: 0 m η = 22.1	V _{Ed} = 0,00 N.P. ⁽⁵⁾	η < 0.1	N.P. ⁽⁶⁾	N.P. ⁽⁷⁾	N.P. ⁽⁸⁾	x: 1.557 m η = 19.3	x: 0 m η = 22.6	N.P. ⁽⁹⁾	CUMPLE η = 44.4
Notación: $\bar{\lambda}$: Limitación de esbeltez λ_w : Abolladura del alma inducida por el ala comprimida N _t : Resistencia a tracción N _c : Resistencia a compresión M _Y : Resistencia a flexión eje Y M _Z : Resistencia a flexión eje Z V _Z : Resistencia a corte Z V _Y : Resistencia a corte Y M _Y V _Z : Resistencia a momento flector Y y fuerza cortante Z combinados M _Z V _Y : Resistencia a momento flector Z y fuerza cortante Y combinados NM _Y M _Z : Resistencia a flexión y axil combinados NM _Y M _Z V _Y V _Z : Resistencia a flexión, axil y cortante combinados M _t : Resistencia a torsión M _Y V _Z : Resistencia a cortante Z y momento torsor combinados M _Z V _Y : Resistencia a cortante Y y momento torsor combinados x: Distancia al origen de la barra η: Coeficiente de aprovechamiento (%) N.P.: No procede																
Comprobaciones que no proceden (N.P.): ⁽¹⁾ La comprobación no procede, ya que no hay axil de compresión ni de tracción. ⁽²⁾ La comprobación no procede, ya que no hay axil de tracción. ⁽³⁾ La comprobación no procede, ya que no hay axil de compresión. ⁽⁴⁾ La comprobación no procede, ya que no hay momento flector. ⁽⁵⁾ La comprobación no procede, ya que no hay esfuerzo cortante. ⁽⁶⁾ No hay interacción entre momento flector y esfuerzo cortante para ninguna combinación. Por lo tanto, la comprobación no procede. ⁽⁷⁾ No hay interacción entre axil y momento flector ni entre momentos flectores en ambas direcciones para ninguna combinación. Por lo tanto, la comprobación no procede. ⁽⁸⁾ No hay interacción entre momento flector, axil y cortante para ninguna combinación. Por lo tanto, la comprobación no procede. ⁽⁹⁾ No hay interacción entre momento torsor y esfuerzo cortante para ninguna combinación. Por lo tanto, la comprobación no procede.																
Errores: ⁽¹⁾ No se puede comprobar la interacción entre torsión y cortante, ya que las tensiones tangenciales de torsión son excesivas y agotan la sección.																

Tramos	COMPROBACIONES DE RESISTENCIA (CTE DB SE-A) - SITUACIÓN DE INCENDIO														Estado
	N _t	N _c	M _y	M _z	V _z	V _y	M _y V _z	M _z V _y	NM _y M _z	NM _y M _z V _y V _z	M _t	M _t V _z	M _t V _y		
B6 - I-D1	N _{Ed} = 0,00 N.P. ⁽¹⁾	N _{Ed} = 0,00 N.P. ⁽²⁾	x: 1.996 m η = 66,0	M _{Ed} = 0,00 N.P. ⁽³⁾	x: 1.996 m η = 25,1	V _{Ed} = 0,00 N.P. ⁽⁴⁾	η < 0,1	N.P. ⁽⁵⁾	N.P. ⁽⁶⁾	N.P. ⁽⁷⁾	x: 0 m η = 20,4	x: 1.996 m η = 25,8	N.P. ⁽⁸⁾	CUMPLE η = 66,0	
I-D1 - I-D2	N _{Ed} = 0,00 N.P. ⁽¹⁾	N _{Ed} = 0,00 N.P. ⁽²⁾	x: 0 m η = 84,1	M _{Ed} = 0,00 N.P. ⁽³⁾	x: 0 m η = 34,3	V _{Ed} = 0,00 N.P. ⁽⁴⁾	η < 0,1	N.P. ⁽⁵⁾	N.P. ⁽⁶⁾	N.P. ⁽⁷⁾	x: 0 m η = 73,4	x: 0 m η = 42,4	N.P. ⁽⁸⁾	CUMPLE η = 84,1	
I-D2 - I-D3	N _{Ed} = 0,00 N.P. ⁽¹⁾	N _{Ed} = 0,00 N.P. ⁽²⁾	x: 2.358 m η = 44,2	M _{Ed} = 0,00 N.P. ⁽³⁾	x: 0 m η = 11,9	V _{Ed} = 0,00 N.P. ⁽⁴⁾	η < 0,1	N.P. ⁽⁵⁾	N.P. ⁽⁶⁾	N.P. ⁽⁷⁾	x: 0 m η = 37,7	x: 0 m η = 13,0	N.P. ⁽⁸⁾	CUMPLE η = 44,2	
I-D3 - I-D4	N _{Ed} = 0,00 N.P. ⁽¹⁾	N _{Ed} = 0,00 N.P. ⁽²⁾	x: 6.523 m η = 70,8	M _{Ed} = 0,00 N.P. ⁽³⁾	x: 6.523 m η = 31,1	V _{Ed} = 0,00 N.P. ⁽⁴⁾	η < 0,1	N.P. ⁽⁵⁾	N.P. ⁽⁶⁾	N.P. ⁽⁷⁾	x: 6.27 m η = 13,5	x: 6.523 m η = 31,9	N.P. ⁽⁸⁾	CUMPLE η = 70,8	
I-D4 - B7	N _{Ed} = 0,00 N.P. ⁽¹⁾	N _{Ed} = 0,00 N.P. ⁽²⁾	x: 0 m η = 51,4	M _{Ed} = 0,00 N.P. ⁽³⁾	x: 0 m η = 21,5	V _{Ed} = 0,00 N.P. ⁽⁴⁾	η < 0,1	N.P. ⁽⁵⁾	N.P. ⁽⁶⁾	N.P. ⁽⁷⁾	x: 1.557 m η = 20,3	x: 0 m η = 21,9	N.P. ⁽⁸⁾	CUMPLE η = 51,4	
B5 - I-C1	N _{Ed} = 0,00 N.P. ⁽¹⁾	N _{Ed} = 0,00 N.P. ⁽²⁾	x: 1.984 m η = 98,4	M _{Ed} = 0,00 N.P. ⁽³⁾	x: 1.984 m η = 36,3	V _{Ed} = 0,00 N.P. ⁽⁴⁾	η < 0,1	N.P. ⁽⁵⁾	N.P. ⁽⁶⁾	N.P. ⁽⁷⁾	x: 0 m η = 10,8	x: 1.984 m η = 36,4	N.P. ⁽⁸⁾	CUMPLE η = 98,4	
I-C1 - I-C2	N _{Ed} = 0,00 N.P. ⁽¹⁾	N _{Ed} = 0,00 N.P. ⁽²⁾	x: 0 m η = 91,1	M _{Ed} = 0,00 N.P. ⁽³⁾	x: 0 m η = 30,5	V _{Ed} = 0,00 N.P. ⁽⁴⁾	η < 0,1	N.P. ⁽⁵⁾	N.P. ⁽⁶⁾	N.P. ⁽⁷⁾	x: 6.357 m η = 9,2	x: 0 m η = 30,5	N.P. ⁽⁸⁾	CUMPLE η = 91,1	
I-C2 - I-C3	N _{Ed} = 0,00 N.P. ⁽¹⁾	N _{Ed} = 0,00 N.P. ⁽²⁾	x: 2.335 m η = 48,1	M _{Ed} = 0,00 N.P. ⁽³⁾	x: 0 m η = 17,0	V _{Ed} = 0,00 N.P. ⁽⁴⁾	η < 0,1	N.P. ⁽⁵⁾	N.P. ⁽⁶⁾	N.P. ⁽⁷⁾	x: 0 m η = 32,2	x: 0 m η = 17,5	N.P. ⁽⁸⁾	CUMPLE η = 48,1	
I-C3 - I-C4	N _{Ed} = 0,00 N.P. ⁽¹⁾	N _{Ed} = 0,00 N.P. ⁽²⁾	x: 6,5 m η = 81,2	M _{Ed} = 0,00 N.P. ⁽³⁾	x: 6,5 m η = 30,9	V _{Ed} = 0,00 N.P. ⁽⁴⁾	η < 0,1	N.P. ⁽⁵⁾	N.P. ⁽⁶⁾	N.P. ⁽⁷⁾	x: 6.259 m η = 6,9	x: 6,5 m η = 31,1	N.P. ⁽⁸⁾	CUMPLE η = 81,2	
I-C4 - B4	N _{Ed} = 0,00 N.P. ⁽¹⁾	N _{Ed} = 0,00 N.P. ⁽²⁾	x: 0 m η = 77,5	M _{Ed} = 0,00 N.P. ⁽³⁾	x: 0 m η = 31,3	V _{Ed} = 0,00 N.P. ⁽⁴⁾	η < 0,1	N.P. ⁽⁵⁾	N.P. ⁽⁶⁾	N.P. ⁽⁷⁾	x: 1.545 m η = 10,9	x: 0 m η = 31,4	N.P. ⁽⁸⁾	CUMPLE η = 77,5	
B2 - I-B1	N _{Ed} = 0,00 N.P. ⁽¹⁾	N _{Ed} = 0,00 N.P. ⁽²⁾	x: 1.984 m η = 98,4	M _{Ed} = 0,00 N.P. ⁽³⁾	x: 1.984 m η = 36,3	V _{Ed} = 0,00 N.P. ⁽⁴⁾	η < 0,1	N.P. ⁽⁵⁾	N.P. ⁽⁶⁾	N.P. ⁽⁷⁾	x: 0 m η = 10,8	x: 1.984 m η = 36,4	N.P. ⁽⁸⁾	CUMPLE η = 98,4	
I-B1 - I-B2	N _{Ed} = 0,00 N.P. ⁽¹⁾	N _{Ed} = 0,00 N.P. ⁽²⁾	x: 0 m η = 91,1	M _{Ed} = 0,00 N.P. ⁽³⁾	x: 0 m η = 30,5	V _{Ed} = 0,00 N.P. ⁽⁴⁾	η < 0,1	N.P. ⁽⁵⁾	N.P. ⁽⁶⁾	N.P. ⁽⁷⁾	x: 6.357 m η = 9,2	x: 0 m η = 30,5	N.P. ⁽⁸⁾	CUMPLE η = 91,1	
I-B2 - I-B3	N _{Ed} = 0,00 N.P. ⁽¹⁾	N _{Ed} = 0,00 N.P. ⁽²⁾	x: 2.335 m η = 48,1	M _{Ed} = 0,00 N.P. ⁽³⁾	x: 0 m η = 17,0	V _{Ed} = 0,00 N.P. ⁽⁴⁾	η < 0,1	N.P. ⁽⁵⁾	N.P. ⁽⁶⁾	N.P. ⁽⁷⁾	x: 0 m η = 32,2	x: 0 m η = 17,5	N.P. ⁽⁸⁾	CUMPLE η = 48,1	
I-B3 - I-B4	N _{Ed} = 0,00 N.P. ⁽¹⁾	N _{Ed} = 0,00 N.P. ⁽²⁾	x: 6,5 m η = 81,2	M _{Ed} = 0,00 N.P. ⁽³⁾	x: 6,5 m η = 30,9	V _{Ed} = 0,00 N.P. ⁽⁴⁾	η < 0,1	N.P. ⁽⁵⁾	N.P. ⁽⁶⁾	N.P. ⁽⁷⁾	x: 6.259 m η = 6,9	x: 6,5 m η = 31,1	N.P. ⁽⁸⁾	CUMPLE η = 81,2	
I-B4 - B3	N _{Ed} = 0,00 N.P. ⁽¹⁾	N _{Ed} = 0,00 N.P. ⁽²⁾	x: 0 m η = 77,5	M _{Ed} = 0,00 N.P. ⁽³⁾	x: 0 m η = 31,3	V _{Ed} = 0,00 N.P. ⁽⁴⁾	η < 0,1	N.P. ⁽⁵⁾	N.P. ⁽⁶⁾	N.P. ⁽⁷⁾	x: 1.545 m η = 10,9	x: 0 m η = 31,4	N.P. ⁽⁸⁾	CUMPLE η = 77,5	
B1 - I-A1	N _{Ed} = 0,00 N.P. ⁽¹⁾	N _{Ed} = 0,00 N.P. ⁽²⁾	x: 1.996 m η = 66,0	M _{Ed} = 0,00 N.P. ⁽³⁾	x: 1.996 m η = 25,1	V _{Ed} = 0,00 N.P. ⁽⁴⁾	η < 0,1	N.P. ⁽⁵⁾	N.P. ⁽⁶⁾	N.P. ⁽⁷⁾	x: 0 m η = 20,4	x: 1.996 m η = 25,8	N.P. ⁽⁸⁾	CUMPLE η = 66,0	
I-A1 - I-A2	N _{Ed} = 0,00 N.P. ⁽¹⁾	N _{Ed} = 0,00 N.P. ⁽²⁾	x: 0 m η = 84,1	M _{Ed} = 0,00 N.P. ⁽³⁾	x: 0 m η = 34,3	V _{Ed} = 0,00 N.P. ⁽⁴⁾	η < 0,1	N.P. ⁽⁵⁾	N.P. ⁽⁶⁾	N.P. ⁽⁷⁾	x: 0 m η = 73,4	x: 0 m η = 42,4	N.P. ⁽⁸⁾	CUMPLE η = 84,1	
I-A2 - I-A3	N _{Ed} = 0,00 N.P. ⁽¹⁾	N _{Ed} = 0,00 N.P. ⁽²⁾	x: 2.358 m η = 44,2	M _{Ed} = 0,00 N.P. ⁽³⁾	x: 0 m η = 11,9	V _{Ed} = 0,00 N.P. ⁽⁴⁾	η < 0,1	N.P. ⁽⁵⁾	N.P. ⁽⁶⁾	N.P. ⁽⁷⁾	x: 0 m η = 37,7	x: 0 m η = 13,0	N.P. ⁽⁸⁾	CUMPLE η = 44,2	
I-A3 - I-A4	N _{Ed} = 0,00 N.P. ⁽¹⁾	N _{Ed} = 0,00 N.P. ⁽²⁾	x: 6.523 m η = 70,8	M _{Ed} = 0,00 N.P. ⁽³⁾	x: 6.523 m η = 31,1	V _{Ed} = 0,00 N.P. ⁽⁴⁾	η < 0,1	N.P. ⁽⁵⁾	N.P. ⁽⁶⁾	N.P. ⁽⁷⁾	x: 6.27 m η = 13,5	x: 6.523 m η = 31,9	N.P. ⁽⁸⁾	CUMPLE η = 70,8	



I. MEMORIA

Tramos	COMPROBACIONES DE RESISTENCIA (CTE DB SE-A) - SITUACIÓN DE INCENDIO													Estado
	N_t	N_c	M_y	M_z	V_z	V_y	M_yV_z	M_zV_y	NM_yM_z	$NM_yM_zV_yV_z$	M_t	M_yV_z	M_zV_y	
I-A4 - B0	$N_{Ed} = 0,00$ N.P. ⁽¹⁾	$N_{Ed} = 0,00$ N.P. ⁽²⁾	$x: 0 \text{ m}$ $\eta = 51,4$	$M_{Ed} = 0,00$ N.P. ⁽³⁾	$x: 0 \text{ m}$ $\eta = 21,5$	$V_{Ed} = 0,00$ N.P. ⁽⁴⁾	$\eta < 0,1$	N.P. ⁽⁵⁾	N.P. ⁽⁶⁾	N.P. ⁽⁷⁾	$x: 1,557 \text{ m}$ $\eta = 20,3$	$x: 0 \text{ m}$ $\eta = 21,9$	N.P. ⁽⁸⁾	CUMPLE $\eta = 51,4$
<p>Notación:</p> <p>N_t: Resistencia a tracción</p> <p>N_c: Resistencia a compresión</p> <p>M_y: Resistencia a flexión eje Y</p> <p>M_z: Resistencia a flexión eje Z</p> <p>V_z: Resistencia a corte Z</p> <p>V_y: Resistencia a corte Y</p> <p>M_yV_z: Resistencia a momento flector Y y fuerza cortante Z combinados</p> <p>M_zV_y: Resistencia a momento flector Z y fuerza cortante Y combinados</p> <p>NM_yM_z: Resistencia a flexión y axil combinados</p> <p>$NM_yM_zV_yV_z$: Resistencia a flexión, axil y cortante combinados</p> <p>M_t: Resistencia a torsión</p> <p>M_yV_z: Resistencia a cortante Z y momento torsor combinados</p> <p>M_zV_y: Resistencia a cortante Y y momento torsor combinados</p> <p>x: Distancia al origen de la barra</p> <p>η: Coeficiente de aprovechamiento (%)</p> <p>N.P.: No procede</p>														
<p>Comprobaciones que no proceden (N.P.):</p> <p>⁽¹⁾ La comprobación no procede, ya que no hay axil de tracción.</p> <p>⁽²⁾ La comprobación no procede, ya que no hay axil de compresión.</p> <p>⁽³⁾ La comprobación no procede, ya que no hay momento flector.</p> <p>⁽⁴⁾ La comprobación no procede, ya que no hay esfuerzo cortante.</p> <p>⁽⁵⁾ No hay interacción entre momento flector y esfuerzo cortante para ninguna combinación. Por lo tanto, la comprobación no procede.</p> <p>⁽⁶⁾ No hay interacción entre axil y momento flector ni entre momentos flectores en ambas direcciones para ninguna combinación. Por lo tanto, la comprobación no procede.</p> <p>⁽⁷⁾ No hay interacción entre momento flector, axil y cortante para ninguna combinación. Por lo tanto, la comprobación no procede.</p> <p>⁽⁸⁾ No hay interacción entre momento torsor y esfuerzo cortante para ninguna combinación. Por lo tanto, la comprobación no procede.</p>														



E.2.3.- EDIFICIO PRIMARIA

1.- NOTACIÓN (PILARES)

En las tablas de comprobación de pilares de acero no se muestran las comprobaciones con coeficiente de aprovechamiento inferior al 10%.

Acero laminado y armado: CTE DB SE-A

$\bar{\lambda}$: Limitación de esbeltez

λ_w : Abolladura del alma inducida por el ala comprimida

N_c : Resistencia a compresión

M_y : Resistencia a flexión eje Y

M_z : Resistencia a flexión eje Z

V_z : Resistencia a corte Z

NM_yM_z : Resistencia a flexión y axil combinados

M_tV_z : Resistencia a cortante Z y momento torsor combinados

V_y : Resistencia a corte Y

M_tV_y : Resistencia a cortante Y y momento torsor combinados

Hormigón: Instrucción de Hormigón Estructural EHE-08

Disp.: Disposiciones relativas a las armaduras

Arm.: Armadura mínima y máxima

Q: Estado límite de agotamiento frente a cortante

N,M: Estado límite de agotamiento frente a solicitaciones normales

2.- PILARES

2.1.- A1

Sección de acero laminado - Temperatura ambiente																			
Tramo	Sección	Posición	Comprobaciones									Esfuerzos pésimos							Estado
			$\bar{\lambda}$	λ_w	N _c (%)	M _y (%)	M _z (%)	V _z (%)	NM _y M _z (%)	M _t V _z (%)	Aprov. (%)	Naturaleza	Comp.	N (kN)	M _{xx} (kN·m)	M _{yy} (kN·m)	Q _x (kN)	Q _y (kN)	
Cubierta (3.9 - 8.4 m)	HE 200 B	Cabeza	Cumple	Cumple	7.9	4.0	3.0	0.8	14.6	0.8	14.6	G, Q ⁽¹⁾	N _c ,M _y ,M _z ,V _z ,NM _y M _z ,M _t V _z	9.81	-0.59	0.25	-0.23	-0.30	Cumple
		Pie	Cumple	Cumple	8.1	3.9	8.3	0.8	19.7	0.8	19.7	G, Q ⁽¹⁾	N _c ,M _y ,M _z ,V _z ,NM _y M _z ,M _t V _z	10.14	0.59	-0.68	-0.23	-0.30	Cumple
Planta Baja (0 - 3.9 m)	HE 200 B	Cabeza	Cumple	Cumple	16.4	34.9	4.0	6.4	54.6	6.4	54.6	G, Q ⁽¹⁾	N _c ,M _y ,M _z ,V _z ,NM _y M _z ,M _t V _z	23.27	-5.36	-0.32	0.15	-2.45	Cumple
		Pie	Cumple	Cumple	16.6	19.3	2.3	6.4	37.9	6.4	37.9	G, Q ⁽¹⁾	N _c ,M _y ,M _z ,V _z ,NM _y M _z ,M _t V _z	23.56	2.96	0.19	0.15	-2.45	Cumple
Notas: (1) 1.35·PRA+1.35·CM+1.5·Qa(G1)																			

Notas: ⁽¹⁾ 1.35·PP+1.35·CM+1.5·Qa(G1)

Sección de acero laminado - Situación de incendio																	
Tramo	Sección	Posición	Comprobaciones							Esfuerzos pésimos							Estado
			N _c (%)	M _y (%)	M _z (%)	V _z (%)	NM _y M _z (%)	M _t V _z (%)	Aprov. (%)	Naturaleza	Comp.	N (kN)	M _{xx} (kN·m)	M _{yy} (kN·m)	Q _x (kN)	Q _y (kN)	
Cubierta (3.9 - 8.4 m)	HE 200 B	Cabeza	18.6	9.4	5.6	1.4	33.8	1.4	33.8	G, Q ⁽¹⁾	N _c ,M _y ,M _z ,V _z ,NM _y M _z	6.56	-0.38	0.17	-0.16	-0.19	Cumple
			G, Q, N ⁽²⁾	M _t V _z	6.56	-0.38	0.17	-0.16	-0.19								
		Pie	19.3	9.4	15.1	1.4	44.8	1.4	44.8	G, Q ⁽¹⁾	N _c ,M _y ,V _z ,NM _y M _z	6.81	0.39	-0.45	-0.16	-0.19	Cumple
			G ⁽³⁾	M _z	6.81	0.39	-0.45	-0.16	-0.19								
Planta Baja (0 - 3.9 m)	HE 200 B	Cabeza	17.6	39.5	3.6	5.9	60.0	5.9	60.0	G, Q ⁽¹⁾	N _c	15.63	-3.56	-0.21	0.10	-1.63	Cumple
										G ⁽³⁾	M _y ,M _z ,V _z ,NM _y M _z	15.63	-3.56	-0.21	0.10	-1.63	
										G, Q, N ⁽²⁾	M _t V _z	15.63	-3.56	-0.21	0.10	-1.63	
		Pie	17.8	21.8	2.1	5.9	41.3	5.9	41.3	G, Q ⁽¹⁾	N _c ,M _y	15.84	1.97	0.12	0.10	-1.63	Cumple
										G ⁽³⁾	M _z ,V _z ,NM _y M _z	15.84	1.97	0.12	0.10	-1.63	
										G, Q, N ⁽²⁾	M _t V _z	15.84	1.97	0.12	0.10	-1.63	
Notas: ⁽¹⁾ PP+CM+0.7·Qa(C) ⁽²⁾ PP+CM+0.6·Qa(C)+0.2·N1 ⁽³⁾ PP+CM																	

Notas: ⁽¹⁾ PP+CM+0.7·Qa(C)
⁽²⁾ PP+CM+0.6·Qa(C)+0.2·N1
⁽³⁾ PP+CM

2.2.- A2

Sección de acero laminado - Temperatura ambiente																				
Tramo	Sección	Posición	Comprobaciones										Esfuerzos p _s imos							Estado
			$\bar{\lambda}$	λ_w	N _c (%)	M _y (%)	M _z (%)	V _z (%)	NM _y M _z (%)	M _t V _z (%)	Aprov. (%)	Naturaleza	Comp.	N (kN)	M _{xx} (kN·m)	M _{yy} (kN·m)	Q _x (kN)	Q _y (kN)		
Cubierta (3.9 - 8.4 m)	HE 200 B	Cabeza	Cumple	Cumple	12.2	9.5	0.3	1.8	21.9	1.8	21.9	G, Q ⁽¹⁾	N _c ,M _y ,V _z ,NM _y M _z ,M _t V _z	15.42	-1.43	-0.02	-0.12	-0.70	Cumple	
		Pie	Cumple	Cumple	12.5	8.7	6.2	1.8	27.1	1.8	27.1	G, Q ⁽²⁾	M _z	13.90	-1.26	-0.02	-0.11	-0.61		
												G, Q ⁽¹⁾	N _c ,M _y ,M _z ,V _z ,NM _y M _z ,M _t V _z	15.74	1.31	-0.51	-0.12	-0.70		
Planta Baja (0 - 3.9 m)	HE 220 B	Cabeza	Cumple	Cumple	19.8	32.7	4.9	7.2	56.7	7.2	56.7	G, Q ⁽¹⁾	N _c ,M _y ,M _z ,V _z ,NM _y M _z ,M _t V _z	35.11	-6.57	-0.51	0.24	-3.09	Cumple	
		Pie	Cumple	Cumple	20.0	19.1	2.9	7.2	41.5	7.2	41.5	G, Q ⁽¹⁾	N _c ,M _y ,M _z ,V _z ,NM _y M _z ,M _t V _z	35.44	3.82	0.30	0.24	-3.09	Cumple	



Notas:
(1) 1.35-PP+1.35-CM+1.5-Qa(G1)
(2) 1.35-PP+1.35-CM+1.5-Qa(C)

Sección de acero laminado - Situación de incendio																	
Tramo	Sección	Posición	Comprobaciones							Esfuerzos pésimos						Estado	
			N _c (%)	M _y (%)	M _z (%)	V _z (%)	NM _y M _z (%)	M _y V _z (%)	Aprov. (%)	Naturaleza	Comp.	N (kN)	M _{xx} (kN-m)	M _{yy} (kN-m)	Q _x (kN)		Q _y (kN)
Cubierta (3.9 - 8.4 m)	HE 200 B	Cabeza	28.9	22.7	0.6	3.2	51.4	3.2	51.4	G ⁽¹⁾	N _c M _y V _z NM _y M _z	10.29	-0.93	-0.02	-0.08	-0.46	Cumple
										G, Q ⁽²⁾	M _z	10.29	-0.93	-0.02	-0.08	-0.45	
		Pie	29.5	20.7	11.1	3.2	62.8	3.2	62.8	G, Q, N ⁽³⁾	M _y V _z	10.29	-0.93	-0.02	-0.08	-0.45	Cumple
										G ⁽¹⁾	N _c M _y M _z V _z NM _y M _z	10.53	0.85	-0.34	-0.08	-0.46	
Planta Baja (0 - 3.9 m)	HE 220 B	Cabeza	18.9	33.3	4.2	6.2	55.8	6.2	55.8	G, Q ⁽²⁾	N _c M _y V _z NM _y M _z	23.50	-4.35	-0.34	0.16	-2.06	Cumple
										G ⁽¹⁾	M _z	23.49	-4.34	-0.34	0.16	-2.05	
		Pie	19.1	19.8	2.5	6.2	41.0	6.2	41.0	G, Q, N ⁽³⁾	M _y V _z	23.50	-4.35	-0.34	0.16	-2.06	Cumple
										G, Q ⁽²⁾	N _c M _y M _z V _z NM _y M _z	23.74	2.59	0.20	0.16	-2.06	
		Pie	19.1	19.8	2.5	6.2	41.0	6.2	41.0	G, Q, N ⁽³⁾	M _y V _z	23.74	2.58	0.20	0.16	-2.06	Cumple
										G, Q, N ⁽³⁾	M _y V _z	23.74	2.58	0.20	0.16	-2.06	
Notas: (1) PP+CM (2) PP+CM+0.7·Qa(C) (3) PP+CM+0.6·Qa(C)+0.2·N1																	

2.3.- A3

Sección de acero laminado - Temperatura ambiente																			Estado
Tramo	Sección	Posición	Comprobaciones								Esfuerzos pésimos								
			$\bar{\lambda}$	λ_w	N _c (%)	M _y (%)	M _z (%)	V _z (%)	NM _y M _z (%)	M _y V _z (%)	Aprov. (%)	Naturaleza	Comp.	N (kN)	M _{xx} (kN-m)	M _{yy} (kN-m)	Q _x (kN)	Q _y (kN)	
Cubierta (3.9 - 8.4 m)	HE 200 B	Cabeza	Cumple	Cumple	12.4	12.9	2.3	2.5	27.2	2.5	27.2	G, Q ⁽¹⁾	N _c M _y M _z V _z NM _y M _z M _y V _z	15.58	-1.93	0.18	-0.22	-0.96	Cumple
		Pie	Cumple	Cumple	12.6	12.1	8.2	2.5	32.6	2.5	32.6	G, Q ⁽¹⁾	N _c M _y M _z V _z NM _y M _z M _y V _z	15.90	1.82	-0.67	-0.22	-0.96	Cumple
Planta Baja (0 - 3.9 m)	HE 220 B	Cabeza	Cumple	Cumple	19.9	31.2	3.7	6.9	54.2	6.9	54.2	G, Q ⁽¹⁾	N _c M _y M _z V _z NM _y M _z M _y V _z	35.28	-6.26	-0.39	0.18	-2.95	Cumple
		Pie	Cumple	Cumple	20.1	18.2	2.2	6.9	40.1	6.9	40.1	G, Q ⁽¹⁾	N _c M _y M _z V _z NM _y M _z M _y V _z	35.60	3.64	0.23	0.18	-2.95	Cumple
Notas: (1) 1.35-PP+1.35-CM+1.5-Qa(G1)																			

Sección de acero laminado - Situación de incendio																	
Tramo	Sección	Posición	Comprobaciones							Esfuerzos pésimos						Estado	
			N _c (%)	M _y (%)	M _z (%)	V _z (%)	NM _y M _z (%)	M _y V _z (%)	Aprov. (%)	Naturaleza	Comp.	N (kN)	M _{xx} (kN-m)	M _{yy} (kN-m)	Q _x (kN)		Q _y (kN)
Cubierta (3.9 - 8.4 m)	HE 200 B	Cabeza	29.2	30.8	4.1	4.4	63.8	4.4	63.8	G ⁽¹⁾	N _c M _y M _z V _z NM _y M _z	10.41	-1.27	0.13	-0.15	-0.63	Cumple
										G, Q, N ⁽²⁾	M _y V _z	10.41	-1.27	0.13	-0.15	-0.63	
		Pie	29.9	29.0	14.9	4.4	75.6	4.4	75.6	G ⁽¹⁾	N _c M _y M _z V _z NM _y M _z	10.65	1.19	-0.45	-0.15	-0.63	Cumple
										G, Q, N ⁽²⁾	M _y V _z	10.65	1.19	-0.45	-0.15	-0.63	
Planta Baja (0 - 3.9 m)	HE 220 B	Cabeza	19.0	31.7	3.2	5.9	53.2	5.9	53.2	G, Q ⁽³⁾	N _c M _y V _z NM _y M _z	23.61	-4.15	-0.26	0.12	-1.97	Cumple
										G ⁽¹⁾	M _z	23.61	-4.14	-0.26	0.12	-1.95	
										G, Q, N ⁽²⁾	M _y V _z	23.61	-4.15	-0.26	0.12	-1.97	
		Pie	19.2	18.9	1.9	5.9	39.5	5.9	39.5	G, Q ⁽³⁾	N _c M _y V _z NM _y M _z	23.85	2.47	0.15	0.12	-1.97	Cumple
										G ⁽¹⁾	M _z	23.85	2.43	0.15	0.12	-1.95	
										G, Q, N ⁽²⁾	M _y V _z	23.85	2.46	0.15	0.12	-1.97	
Notas: (1) PP+CM (2) PP+CM+0.6-Qa(C)+0.2-N1 (3) PP+CM+0.7-Qa(C)																	

2.4.- A4

Sección de acero laminado - Temperatura ambiente																			
Tramo	Sección	Posición	Comprobaciones									Esfuerzos p _s imos							Estado
			$\bar{\lambda}$	λ_w	N _c (%)	M _y (%)	M _z (%)	V _z (%)	NM _y M _z (%)	M _y V _z (%)	Aprov. (%)	Naturaleza	Comp.	N (kN)	M _{xx} (kN-m)	M _{yy} (kN-m)	Q _x (kN)	Q _y (kN)	
Cubierta (3.9 - 8.4 m)	HE 200 B	Cabeza	Cumple	Cumple	8.7	16.0	1.8	3.4	26.2	3.4	26.2	G, Q ⁽¹⁾	N _c M _y M _z V _z NM _y M _z M _y V _z	10.90	-2.39	-0.15	-0.05	-1.29	Cumple
		Pie	Cumple	Cumple	8.9	18.0	4.4	3.4	31.0	3.4	31.0	G, Q ⁽¹⁾	N _c M _y M _z V _z NM _y M _z M _y V _z	11.22	-2.70	-0.36	-0.05	-1.29	Cumple
Planta Baja (0 - 3.9 m)	HE 200 B	Cabeza	Cumple	Cumple	17.3	26.9	6.0	4.9	49.7	4.9	49.7	G, Q ⁽¹⁾	N _c M _y M _z V _z NM _y M _z M _y V _z	24.50	-4.14	-0.49	0.23	-1.88	Cumple
		Pie	Cumple	Cumple	17.5	14.7	3.5	4.9	35.4	4.9	35.4	G, Q ⁽¹⁾	N _c M _y M _z V _z NM _y M _z M _y V _z	24.78	2.25	0.29	0.23	-1.88	Cumple
Notas: (1) 1.35-PP+1.35-CM+1.5-Qa(G1)																			

Sección de acero laminado - Situación de incendio																	
Tramo	Sección	Posición	Comprobaciones							Esfuerzos pésimos							Estado
			N _c (%)	M _y (%)	M _z (%)	V _z (%)	NM _y M _z (%)	M _y V _z (%)	Aprov. (%)	Naturaleza	Comp.	N (kN)	M _{xx} (kN-m)	M _{yy} (kN-m)	Q _x (kN)	Q _y (kN)	
Cubierta (3.9 - 8.4 m)	HE 200 B	Cabeza	20.6	38.6	3.4	6.1	61.9	6.1	61.9	G, Q ⁽¹⁾	N _c M _y M _z V _z NM _y M _z	7.30	-1.58	-0.10	-0.03	-0.86	Cumple
			G, Q, N ⁽²⁾	M _y V _z	7.30	-1.58	-0.10	-0.03	-0.86								
		Pie	21.3	43.7	7.8	6.1	72.4	6.1	72.4	G, Q ⁽¹⁾	N _c M _y M _z V _z NM _y M _z	7.54	1.80	-0.24	-0.03	-0.86	Cumple
			G, Q, N ⁽²⁾	M _y V _z	7.54	1.80	-0.24	-0.03	-0.86								
Planta Baja (0 - 3.9 m)	HE 200 B	Cabeza	18.5	30.4	5.7	4.6	54.1	4.6	54.1	G, Q ⁽¹⁾	N _c M _z V _z	16.45	-2.74	-0.33	0.15	-1.24	Cumple
			G ⁽³⁾	M _y NM _y M _z	16.45	-2.74	-0.33	0.15	-1.24								
		Pie	18.7	16.5	3.3	4.6	38.4	4.6	38.4	G, Q, N ⁽²⁾	M _y V _z	16.45	-2.74	-0.33	0.15	-1.24	Cumple
			G, Q ⁽¹⁾	N _c M _y M _z V _z NM _y M _z	16.66	1.49	0.19	0.15	-1.24								
										G, Q, N ⁽²⁾	M _y V _z	16.66	1.49	0.19	0.15	-1.24	
Notas: ⁽¹⁾ $pp+CM+0.7\cdot Qa(C)$ ⁽²⁾ $pp+CM+0.6\cdot Qa(C)+0.2\cdot N1$ ⁽³⁾ $pp+CM$																	

[illegible]

2.6.- B2

(2) $1.35 \cdot PP + 1.35 \cdot CM + 1.5 \cdot Qa(C)$

Notas:

Notas:

- (1) $PP+CM+0.7 \cdot Qa(C)$
- (2) $PP+CM$
- (3) $PP+CM+0.6 \cdot Qa(C)+0.2 \cdot N1$

Sección de hormigón - Temperatura ambiente



I. MEMORIA

Tramo	Dimensión (cm)	Posición	Comprobaciones					Esfuerzos p _{simos}							Estado
			Disp.	Arm.	Q (%)	N _M (%)	Aprov. (%)	Naturaleza	Comp.	N (kN)	M _{xx} (kN·m)	M _{yy} (kN·m)	Q _x (kN)	Q _y (kN)	
Cubierta (3.9 - 8.4 m)	HE 200 B	-	-	-	-	-	-	-	-	-	-	-	-	-	-
Planta Baja (0 - 3.9 m)	HE 220 B	-	-	-	-	-	-	-	-	-	-	-	-	-	-
Planta -1 (-1.2 - 0 m)	40x40	Cabeza	Cumple	Cumple	70.8	59.7	70.8	G, Q ⁽²⁾	Q,N,M	161.03	-1.55	0.56	-0.73	-11.49	Cumple
		-1.15 m	Cumple	Cumple	70.8	59.7	70.8	G, Q ⁽²⁾	Q,N,M	161.08	-0.40	0.49	-0.73	-11.49	Cumple
		Pie	Cumple	Cumple	70.8	59.7	70.8	G, Q ⁽²⁾	Q,N,M	161.08	-0.40	0.49	-0.73	-11.49	Cumple
Cimentación	40x40	Arranque	N.P. ⁽¹⁾	N.P. ⁽¹⁾	15.5	59.7	59.7	G, Q ⁽²⁾	Q,N,M	161.08	-0.40	0.49	-0.73	-11.49	Cumple
Notas: ⁽¹⁾ La comprobación no procede ⁽²⁾ 1.35·PP+1.35·CM+1.5·Qa(C)															

Sección de acero laminado - Temperatura ambiente																			
Tramo	Sección	Posición	$\bar{\lambda}$	λ_w	Comprobaciones							Esfuerzos pésimos							Estado
					N _c (%)	M _y (%)	M _z (%)	V _z (%)	NM _y M _z (%)	M _y V _z (%)	Aprov. (%)	Naturaleza	Comp.	N (kN)	M _{xx} (kN-m)	M _{yy} (kN-m)	Q _x (kN)	Q _y (kN)	
Cubierta (3.9 - 8.4 m)	HE 200 B	Cabeza	Cumple	Cumple	43.5	17.4	5.0	2.9	66.5	2.9	66.5	G, Q ⁽¹⁾	N _c M _y M _z V _z NM _y M _z M _y V _z	54.91	-2.61	0.41	-0.27	-1.13	Cumple
		Pie	Cumple	Cumple	43.8	12.0	8.0	2.9	65.5	2.9	65.5	G, Q ⁽¹⁾	N _c M _y M _z V _z NM _y M _z M _y V _z	55.23	1.81	-0.65	-0.27	-1.13	Cumple
Planta Baja (0 - 3.9 m)	HE 220 B	Cabeza	Cumple	Cumple	58.7	26.0	3.2	5.7	87.3	5.7	87.3	G, Q ⁽¹⁾	N _c M _y M _z V _z NM _y M _z M _y V _z	104.82	-5.23	-0.33	0.16	-2.46	Cumple
		Pie	Cumple	Cumple	58.9	14.6	1.9	5.7	75.0	5.7	75.0	G, Q ⁽¹⁾	N _c M _y M _z V _z NM _y M _z M _y V _z	105.14	2.93	0.20	0.16	-2.46	Cumple
Planta -1 (-1.2 - 0 m)	40x40	-	-	-	-	-	-	-	-	-	-	-	-	-	-	-	-	-	-
Cimentación	40x40	-	-	-	-	-	-	-	-	-	-	-	-	-	-	-	-	-	-
Notas: (1) 1.35·PP+1.35·CM+1.5·Qa(G1)																			

Sección de acero laminado - Situación de incendio																	
Tramo	Sección	Posición	Comprobaciones							Esfuerzos pésimos						Estado	
			N _c (%)	M _y (%)	M _z (%)	V _z (%)	NM _y M _z (%)	M _y V _z (%)	Aprov. (%)	Naturaleza	Comp.	N (kN)	M _{xx} (kN·m)	M _{yy} (kN·m)	Q _x (kN)		Q _y (kN)
Cubierta (3.9 - 8.4 m)	HE 200 B	Cabeza	47.3	20.3	4.6	2.7	72.9	2.7	72.9	G, Q ⁽¹⁾	N _c ,M _y ,V _z ,NM _y M _z	36.32	-1.73	0.27	-0.18	-0.75	Cumple
										G ⁽²⁾	M _z	36.31	-1.73	0.27	-0.18	-0.75	
										G, Q, N ⁽³⁾	M _c V _z	36.32	-1.73	0.27	-0.18	-0.75	
		Pie	47.6	14.1	7.4	2.7	71.2	2.7	71.2	G, Q ⁽¹⁾	N _c ,M _y ,V _z ,NM _y M _z	36.56	1.20	-0.43	-0.18	-0.75	Cumple
										G ⁽²⁾	M _z	36.56	1.20	-0.43	-0.18	-0.75	
										G, Q, N ⁽³⁾	M _c V _z	36.56	1.20	-0.43	-0.18	-0.75	
Planta Baja (0 - 3.9 m)	HE 220 B	Cabeza	55.2	26.4	2.7	4.9	83.6	4.9	83.6	G ⁽²⁾	N _c ,M _z	69.33	-3.46	-0.22	0.11	-1.63	Cumple
										G, Q ⁽¹⁾	M _y ,V _z ,NM _y M _z	69.33	-3.46	-0.22	0.11	-1.63	
										G, Q, N ⁽³⁾	M _c V _z	69.33	-3.46	-0.22	0.11	-1.63	
		Pie	55.4	14.8	1.6	4.9	71.4	4.9	71.4	G ⁽²⁾	N _c ,M _z	69.57	1.94	0.13	0.11	-1.63	Cumple
										G, Q ⁽¹⁾	M _y ,V _z ,NM _y M _z	69.57	1.94	0.13	0.11	-1.63	
										G, Q, N ⁽³⁾	M _c V _z	69.57	1.94	0.13	0.11	-1.63	
Planta -1 (-1.2 - 0 m)	40x40	-	-	-	-	-	-	-	-	-	-	-	-	-	-	-	
Cimentación	40x40	-	-	-	-	-	-	-	-	-	-	-	-	-	-	-	
Notas: ⁽¹⁾ PP+CM+0.7·Qa(C) ⁽²⁾ PP+CM ⁽³⁾ PP+CM+0.6·Qa(C)+0.2·N1																	

2.8.- B4

Sección de acero laminado - Temperatura ambiente																	
Tramo	Sección	Posición	Comprobaciones							Esfuerzos p _{simos}							Estado
			$\bar{\lambda}$	λ_w	N _c (%)	M _y (%)	M _z (%)	NM _y M _z	Aprov. (%)	Naturaleza	Comp.	N (kN)	M _{xx} (kN·m)	M _{yy} (kN·m)	Q _x (kN)	Q _y (kN)	
Cubierta (3.9 - 8.4 m)	HE 200 B	Cabeza	Cumple	Cumple	34.9	1.8	8.1	46.4	46.4	G, Q ⁽¹⁾	N _c M _y M _z NM _y M _z	44.08	-0.27	0.66	-0.40	0.11	Cumple
		Pie	Cumple	Cumple	35.2	4.8	11.1	53.2	53.2	G, Q ⁽¹⁾	N _c M _y M _z NM _y M _z	44.41	-0.72	-0.91	-0.40	0.11	Cumple
Planta Baja (0 - 3.9 m)	HE 200 B	Cabeza	Cumple	Cumple	6.0	1.0	0.5	7.4	7.4	G, Q ⁽¹⁾	N _c M _y M _z NM _y M _z	8.48	0.15	-0.04	0.21	0.21	Cumple
		Pie	Cumple	Cumple	0.4	0.8	0.3	1.5	1.5	G, Q ⁽¹⁾	N _c M _y M _z NM _y M _z	0.63	-0.13	-0.02	-0.14	-0.01	Cumple
Notas: ⁽¹⁾ 1.35·PP+1.35·CM+1.5·Qa(G1)																	

Sección de acero laminado - Situación de incendio																	
Tramo	Sección	Posición	Comprobaciones							Esfuerzos pésimos						Estado	
			N _c (%)	M _y (%)	M _z (%)	V _z (%)	NM _y M _z (%)	M _y V _z (%)	Aprov. (%)	Naturaleza	Comp.	N (kN)	M _{xx} (kN·m)	M _{yy} (kN·m)	Q _x (kN)		Q _y (kN)
Cubierta (3.9 - 8.4 m)	HE 200 B	Cabeza	38.1	2.3	7.5	0.3	50.0	0.3	50.0	G, Q ⁽¹⁾	N _c M _y NM _y M _z	29.24	-0.20	0.44	-0.27	0.07	Cumple
										G ⁽²⁾	M _z V _z	29.24	-0.19	0.44	-0.27	0.07	
										G, Q, N ⁽³⁾	M _y V _z	29.24	-0.20	0.44	-0.27	0.07	
		Pie	38.4	5.5	10.3	0.3	57.1	0.3	57.1	G, Q ⁽¹⁾	N _c M _z	29.48	-0.46	-0.60	-0.27	0.07	Cumple
										G ⁽²⁾	M _y V _z NM _y M _z	29.48	-0.46	-0.60	-0.27	0.07	
										G, Q, N ⁽³⁾	M _y V _z	29.48	-0.46	-0.60	-0.27	0.07	
Planta Baja (0 - 3.9 m)	HE 200 B	Cabeza	13.3	2.3	1.0	1.0	16.5	1.0	16.5	G ⁽²⁾	N _c M _z NM _y M _z	5.59	0.10	-0.03	0.15	0.14	Cumple
										G, Q ⁽¹⁾	M _y V _z	5.59	0.10	-0.03	0.15	0.14	
										G, Q, N ⁽³⁾	M _y V _z	5.59	0.10	-0.03	0.15	0.14	
		Pie	0.7	2.1	0.6	0.1	3.4	0.1	3.4	G ⁽²⁾	N _c M _y M _z NM _y M _z	0.31	-0.09	-0.02	-0.10	-0.01	Cumple
										G, Q ⁽¹⁾	V _z	0.28	-0.09	-0.01	-0.09	-0.01	
										G, Q, N ⁽³⁾	M _y V _z	0.28	-0.09	-0.01	-0.09	-0.01	
Notas: ⁽¹⁾ PP+CM+0.7·Qa(C) ⁽²⁾ PP+CM ⁽³⁾ PP+CM+0.6·Qa(C)+0.2·N1																	

2.9.- B5



Sección de hormigón - Temperatura ambiente															
Tramo	Dimensión (cm)	Posición	Comprobaciones					Esfuerzos p _s imos							Estado
			Disp.	Arm.	Q (%)	N,M (%)	Aprov. (%)	Naturaleza	Comp.	N (kN)	M _{xx} (kN·m)	M _{yy} (kN·m)	Q _x (kN)	Q _y (kN)	
Cubierta (3.9 - 8.4 m)	HE 220 B	-	-	-	-	-	-	-	-	-	-	-	-	-	-
Planta Baja (0 - 3.9 m)	50x50	Cabeza	Cumple	Cumple	25.4	5.8	25.4	G ⁽²⁾	Q	19.38	0.76	-0.47	2.59	2.23	Cumple
		0.6 m	Cumple	Cumple	38.5	21.3	38.5	G, Q ⁽³⁾	N,M	21.65	0.84	-0.64	2.52	2.40	Cumple
		0.6 m	Cumple	Cumple	38.5	21.3	38.5	G ⁽²⁾	Q,N,M	9.97	0.32	4.48	-4.64	0.99	Cumple
		Pie	Cumple	Cumple	38.5	21.3	38.5	G ⁽²⁾	Q,N,M	9.97	0.32	4.48	-4.64	0.99	Cumple
Planta -1 (-1.2 - 0 m)	50x50	Cabeza	Cumple	Cumple	38.3	5.4	38.3	G ⁽²⁾	Q	10.47	-0.27	1.69	-4.64	0.99	Cumple
		0.6 m	Cumple	Cumple	38.3	5.4	38.3	G, Q ⁽³⁾	N,M	11.38	-0.27	1.71	-4.56	0.97	Cumple
		0.6 m	Cumple	Cumple	70.8	2.8	70.8	G ⁽²⁾	Q	10.20	0.27	-0.21	-8.70	0.91	Cumple
		Pie	Cumple	Cumple	70.8	2.8	70.8	G, Q ⁽³⁾	N,M	11.07	0.27	-0.16	-8.61	0.90	Cumple
Cimentación	50x50	Cabeza	Cumple	Cumple	83.5	85.6	85.6	G ⁽²⁾	Q	10.93	-0.15	-12.41	-10.38	0.71	Cumple
		Pie	Cumple	Cumple	83.5	85.6	85.6	G, Q ⁽⁴⁾	N,M	10.93	-0.15	-12.41	-10.38	0.70	Cumple
Cimentación	50x50	Arranque	N.P. ⁽¹⁾	N.P. ⁽¹⁾	10.5	85.6	85.6	G, Q ⁽⁴⁾	Q,N,M	10.93	-0.15	-12.41	-10.38	0.70	Cumple
Notas: (1) La comprobación no procede (2) 1.35·PP+1.35·CM (3) 1.35·PP+1.35·CM+1.5·Qa(G1) (4) 1.35·PP+1.35·CM+1.5·Qa(C)															

Sección de hormigón - Situación de incendio												
Tramo	Dimensión (cm)	Posición	Comprobaciones			Naturaleza	Esfuerzos p _s imos					Estado
			Inc.	Aprov. (%)			N (kN)	M _{xx} (kN·m)	M _{yy} (kN·m)	Q _x (kN)	Q _y (kN)	
Cubierta (3.9 - 8.4 m)	HE 220 B	-	-	-	-	-	-	-	-	-	-	-
Planta Baja (0 - 3.9 m)	50x50	Cabeza	Cumple	Cumple	G ⁽¹⁾	G ⁽¹⁾	14.36	0.56	-0.35	1.92	1.65	Cumple
		0.6 m	Cumple	Cumple	G ⁽¹⁾	G ⁽¹⁾	7.38	0.24	3.32	-3.44	0.73	Cumple
		0.6 m	Cumple	Cumple	G ⁽¹⁾	G ⁽¹⁾	7.38	0.24	3.32	-3.44	0.73	Cumple
		Pie	Cumple	Cumple	G ⁽¹⁾	G ⁽¹⁾	7.76	-0.20	1.25	-3.44	0.73	Cumple
Planta -1 (-1.2 - 0 m)	50x50	-	-	-	-	-	-	-	-	-	-	-
Cimentación	50x50	-	-	-	-	-	-	-	-	-	-	-
Notas: ⁽¹⁾ PP+CM												

Sección de acero laminado - Temperatura ambiente																			
Tramo	Sección	Posición	Comprobaciones									Naturaleza	Esfuerzos p _s imos						Estado
			$\bar{\lambda}$	λ_w	N _c (%)	M _y (%)	M _z (%)	V _z (%)	NM _y M _z (%)	M _i V _z (%)	Aprov. (%)		Comp.	N (kN)	M _{xx} (kN·m)	M _{yy} (kN·m)	Q _x (kN)	Q _y (kN)	
Cubierta (3.9 - 8.4 m)	HE 220 B	Cabeza	Cumple	Cumple	24.3	15.9	1.8	4.1	41.8	4.1	41.8	G, Q ⁽¹⁾	N _c ,M _y ,M _z ,V _z ,NM _y M _z ,M _i V _z	38.85	-3.12	-0.19	0.00	-1.77	Cumple
		Pie	Cumple	Cumple	24.6	19.4	1.8	4.1	45.3	4.1	45.3	G, Q ⁽¹⁾	N _c ,M _y ,V _z ,NM _y M _z ,M _i V _z	39.23	3.80	-0.18	0.00	-1.77	Cumple
Planta Baja (0 - 3.9 m)	50x50	-	-	-	-	-	-	-	-	-	-	-	-	-	-	-	-	-	-
Planta -1 (-1.2 - 0 m)	50x50	-	-	-	-	-	-	-	-	-	-	-	-	-	-	-	-	-	-
Cimentación	50x50	-	-	-	-	-	-	-	-	-	-	-	-	-	-	-	-	-	-
Notas: (1) 1.35·PP+1.35·CM+1.5·Qa(G1) (2) 1.35·PP+1.35·CM																			

Sección de acero laminado - Situación de incendio																	
Tramo	Sección	Posición	Comprobaciones							Esfuerzos p _s imos							Estado
			N _c (%)	M _y (%)	M _z (%)	V _z (%)	NM _y M _z (%)	M _i V _z (%)	Aprov. (%)	Naturaleza	Comp.	N (kN)	M _{xx} (kN·m)	M _{yy} (kN·m)	Q _x (kN)	Q _y (kN)	
Cubierta (3.9 - 8.4 m)	HE 220 B	Cabeza	47.9	32.9	2.9	6.5	82.8	6.5	82.8	G, Q ⁽¹⁾	N _c ,M _z	25.74	-2.07	-0.13	0.00	-1.17	Cumple
										G ⁽²⁾	M _y ,V _z ,NM _y M _z	25.74	-2.07	-0.13	0.00	-1.17	
										G, Q, N ⁽³⁾	M _i V _z	25.74	-2.07	-0.13	0.00	-1.17	
		Pie	48.4	40.2	3.2	6.5	90.5	6.5	90.5	G, Q ⁽¹⁾	N _c	26.02	2.53	-0.14	0.00	-1.17	Cumple
										G ⁽²⁾	M _y ,M _z ,V _z ,NM _y M _z	26.02	2.53	-0.14	0.00	-1.17	
										G, Q, N ⁽³⁾	M _i V _z	26.02	2.53	-0.14	0.00	-1.17	
Planta Baja (0 - 3.9 m)	50x50	-	-	-	-	-	-	-	-	-	-	-	-	-	-	-	
Planta -1 (-1.2 - 0 m)	50x50	-	-	-	-	-	-	-	-	-	-	-	-	-	-	-	
Cimentación	50x50	-	-	-	-	-	-	-	-	-	-	-	-	-	-	-	
Notas: ⁽¹⁾ PP+CM+0.7·Qa(C) ⁽²⁾ PP+CM ⁽³⁾ PP+CM+0.6·Qa(C)+0.2·N1																	

2.10.- B6

Sección de hormigón - Temperatura ambiente															
Tramo	Dimensión (cm)	Posición	Comprobaciones					Esfuerzos p _s imos							Estado
			Disp.	Arm.	Q (%)	N,M (%)	Aprov. (%)	Naturaleza	Comp.	N (kN)	M _{xx} (kN·m)	M _{yy} (kN·m)	Q _x (kN)	Q _y (kN)	
Cubierta (3.9 - 8.4 m)	HE 220 B	-	-	-	-	-	-	-	-	-	-	-	-	-	-
Planta Baja (0 - 3.9 m)	50x50	Cabeza	Cumple	Cumple	6.9	3.2	6.9	G, Q ⁽²⁾	Q,N,M	13.38	-0.08	0.18	0.27	-0.84	Cumple
		0.6 m	Cumple	Cumple	12.8	8.4	12.8	G, Q ⁽³⁾	Q,N,M	11.11	-0.01	2.58	-1.60	0.00	Cumple
		Pie	Cumple	Cumple	23.2	3.3	23.2	G, Q ⁽³⁾	Q	11.73	-0.04	0.58	-2.90	0.14	Cumple
			Cumple	Cumple	23.2	3.3	23.2	G, O ⁽²⁾	N,M	12.32	-0.04	0.60	-2.84	0.13	



I. MEMORIA

Planta -1 (-1.2 - 0 m)	50x50	Cabeza	Cumple	Cumple	27.4	4.0	27.4	G, Q ⁽³⁾	Q	12.16	0.06	-1.06	-3.44	0.30	Cumple
								G, Q ⁽²⁾	N,M	12.74	0.06	-1.02	-3.37	0.30	
		Pie	Cumple	Cumple	28.2	36.1	36.1	G, Q ⁽³⁾	Q,N,M	14.40	-0.24	-7.19	-3.55	0.71	
Cimentación	50x50	Arranque	N.P. ⁽¹⁾	N.P. ⁽¹⁾	3.6	36.1	36.1	G ⁽⁴⁾	Q	14.44	-0.24	-7.19	-3.55	0.71	Cumple
								G, Q ⁽³⁾	N,M	14.40	-0.24	-7.19	-3.55	0.71	
Notas: ⁽¹⁾ La comprobación no procede ⁽²⁾ 1.35·PP+1.35·CM+1.5·Qa(G1) ⁽³⁾ 1.35·PP+1.35·CM+1.5·Qa(C) ⁽⁴⁾ 1.35·PP+1.35·CM															

Sección de hormigón - Situación de incendio											
Tramo	Dimensión (cm)	Posición	Comprobaciones		Esfuerzos pésimos						Estado
			Inc.	Aprov. (%)	Naturaleza	N (kN)	Mxx (kN·m)	Myy (kN·m)	Qx (kN)	Qy (kN)	
Cubierta (3.9 - 8.4 m)	HE 220 B	-	-	-	-	-	-	-	-	-	-
Planta Baja (0 - 3.9 m)	50x50	Cabeza	Cumple	Cumple	G ⁽¹⁾	9.12	-0.06	0.31	0.14	-0.57	Cumple
		0.6 m	Cumple	Cumple	G ⁽¹⁾	8.24	-0.01	1.91	-1.18	0.00	Cumple
		Pie	Cumple	Cumple	G ⁽¹⁾	8.70	-0.03	0.43	-2.15	0.11	Cumple
Planta -1 (-1.2 - 0 m)	50x50	-	-	-	-	-	-	-	-	-	-
Cimentación	50x50	-	-	-	-	-	-	-	-	-	-
Notas: ⁽¹⁾ PP+CM											

Sección de acero laminado - Temperatura ambiente																			
Tramo	Sección	Posición	Comprobaciones									Naturaleza	Esfuerzos pésimos						Estado
			$\bar{\lambda}$	λ_w	N_c (%)	M_y (%)	M_z (%)	V_z (%)	NM_yM_z (%)	M_yV_z (%)	Aprov. (%)		Comp.	N (kN)	Mxx (kN·m)	Myy (kN·m)	Qx (kN)	Qy (kN)	
Cubierta (3.9 - 8.4 m)	HE 220 B	Cabeza	Cumple	Cumple	9.0	28.7	13.3	4.0	49.8	4.0	49.8	G, Q ⁽¹⁾	$N_c, M_y, M_z, V_z, NM_yM_z, M_yV_z$	14.43	5.61	-1.40	0.60	1.70	Cumple
		Pie	Cumple	Cumple	9.3	5.4	9.0	4.0	23.0	4.0	23.0	G, Q ⁽¹⁾	$N_c, M_y, M_z, V_z, NM_yM_z, M_yV_z$	14.81	-1.05	0.95	0.60	1.70	Cumple
Planta Baja (0 - 3.9 m)	50x50	-	-	-	-	-	-	-	-	-	-	-	$N_c, M_y, M_z, V_z, NM_yM_z, M_yV_z$	-	-	-	-	-	-
Planta -1 (-1.2 - 0 m)	50x50	-	-	-	-	-	-	-	-	-	-	-	-	-	-	-	-	-	-
Cimentación	50x50	-	-	-	-	-	-	-	-	-	-	-	-	-	-	-	-	-	-
Notas: ⁽¹⁾ 1.35-PP+1.35-CM+1.5-Qa(G1)																			

Sección de acero laminado - Situación de incendio																	
Tramo	Sección	Posición	Comprobaciones							Esfuerzos pésimos							Estado
			N _c (%)	M _y (%)	M _z (%)	V _z (%)	NM _y M _z (%)	M _y V _z (%)	Aprov. (%)	Naturaleza	Comp.	N (kN)	Mxx (kN·m)	Myy (kN·m)	Qx (kN)	Qy (kN)	
Cubierta (3.9 - 8.4 m)	HE 220 B	Cabeza	17.9	59.0	22.2	6.3	99.1	6.3	99.1	G, Q ⁽¹⁾	N _c ,M _y ,M _z ,V _z ,NM _y M _z	9.63	3.71	-0.97	0.41	1.12	Cumple
			G, Q, N ⁽²⁾	M _y V _z	9.63	3.71	-0.97	0.41	1.12								
		Pie	18.5	11.0	14.7	6.3	44.9	6.3	44.9	G, Q ⁽¹⁾	N _c ,M _y ,M _z ,V _z ,NM _y M _z	9.91	-0.69	0.65	0.41	1.12	Cumple
			G, Q, N ⁽²⁾	M _y V _z	9.91	-0.69	0.65	0.41	1.12								
Planta Baja (0 - 3.9 m)	50x50	-	-	-	-	-	-	-	-	-	-	-	-	-	-	-	-
Planta -1 (-1.2 - 0 m)	50x50	-	-	-	-	-	-	-	-	-	-	-	-	-	-	-	-
Cimentación	50x50	-	-	-	-	-	-	-	-	-	-	-	-	-	-	-	-
Notas: ⁽¹⁾ PP+CM+0.7·Qa(C) ⁽²⁾ PP+CM+0.6·Qa(C)+0.2·N1																	

2.11.- E1

Sección de acero laminado - Temperatura ambiente																			
Tramo	Sección	Posición	$\bar{\lambda}$	λ_w	Comprobaciones							Esfuerzos p \acute{e} simos							Estado
					N _c (%)	M _y (%)	M _z (%)	V _z (%)	NM _y M _z (%)	M _y V _z (%)	Aprov. (%)	Naturaleza	Comp.	N (kN)	M _{xx} (kN·m)	M _{yy} (kN·m)	Q _x (kN)	Q _y (kN)	
Cubierta (3.9 - 8.4 m)	HE 180 B	Cabeza	Cumple	Cumple	6.4	15.1	1.1	2.5	22.4	2.5	22.4	G, Q ⁽¹⁾	N _c ,M _y ,M _z ,V _z ,NM _y M _z ,M _y V _z	6.08	-1.66	-0.07	-0.13	-0.80	Cumple
		Pie	Cumple	Cumple	6.7	13.6	9.6	2.5	29.1	2.5	29.1	G, Q ⁽¹⁾	N _c ,M _y ,M _z ,V _z ,NM _y M _z ,M _y V _z	6.35	1.49	-0.59	-0.13	-0.80	Cumple
Notas: ⁽¹⁾ 1.35·PP+1.35·CM+1.5·Qa(G1)																			

Sección de acero laminado - Situación de incendio																		
Tramo	Sección	Posición	Comprobaciones							Aprov. (%)	Naturaleza	Esfuerzos pésimos						Estado
			N _c (%)	M _y (%)	M _z (%)	V _z (%)	NM _y M _z (%)	M _y V _z (%)	Comp.			N (kN)	M _{xx} (kN·m)	M _{yy} (kN·m)	Q _x (kN)	Q _y (kN)		
Cubierta (3.9 - 8.4 m)	HE 180 B	Cabeza	18.7	44.1	2.3	5.3	64.2	5.3	64.2	G ⁽¹⁾	N _c ,M _y ,M _z ,V _z ,NM _y M _z	4.05	-1.10	-0.05	-0.09	-0.52	Cumple	
			G, Q, N ⁽²⁾	M _y V _z	4.05	-1.10	-0.05	-0.09	-0.52									
		Pie	19.7	39.1	20.1	5.3	79.5	5.3	79.5	G ⁽¹⁾	N _c ,M _y ,M _z ,V _z ,NM _y M _z	4.25	0.97	-0.39	-0.09	-0.52	Cumple	
			G, Q, N ⁽²⁾	M _y V _z	4.25	0.97	-0.39	-0.09	-0.52									
Notas: ⁽¹⁾ pp+CM ⁽²⁾ pp+CM+0.6·Oa(C)+0.2·N1																		

2.12.- E2

Sección de acero laminado - Temperatura ambiente																			
Tramo	Sección	Posición	Comprobaciones								Aprov. (%)	Naturaleza	Esfuerzos pésimos						Estado
			$\bar{\lambda}$	λ_m	N _c (%)	M _y (%)	M _z (%)	V _z (%)	NM _y M _z (%)	M _y V _z (%)			Comp.	N (kN)	M _{xx} (kN-m)	M _{yy} (kN-m)	Q _x (kN)	Q _y (kN)	
Cubierta (3.9 - 8.4 m)	HE 180 B	Cabeza	Cumple	Cumple	18.6	41.0	0.8	7.2	59.5	7.2	59.5	G, Q ⁽¹⁾	N _c ,M _y ,M _z ,V _z ,NM _y M _z ,M _y V _z	17.78	-4.52	-0.05	-0.09	-2.27	Cumple
		Pie	Cumple	Cumple	18.9	39.5	6.3	7.2	64.3	7.2	64.3	G, Q ⁽¹⁾	N _c ,M _y ,M _z ,V _z ,NM _y M _z ,M _y V _z	18.05	4.36	-0.39	-0.09	-2.27	Cumple
Planta Baja (0 - 3.9 m)	HE 180 B	Cabeza	Cumple	Cumple	27.5	21.4	4.9	3.7	53.7	3.7	53.7	G, Q ⁽¹⁾	N _c ,M _y ,M _z ,V _z ,NM _y M _z ,M _y V _z	30.65	-2.44	-0.30	0.15	-1.16	Cumple



		Pie	Cumple	Cumple	27.7	12.4	3.0	3.7	43.0	3.7	43.0	G, Q ⁽¹⁾	N _c ,M _y ,M _z ,V _z ,NM _y M _z ,M _t V _z	30.88	1.41	0.18	0.15	-1.16	Cumple
Notas: ⁽¹⁾ 1.35-PP+1.35-CM+1.5-Qa(G1)																			

Sección de acero laminado - Situación de incendio																		
Tramo	Sección	Posición	Comprobaciones							Aprov. (%)	Esfuerzos pésimos							Estado
			N _c (%)	M _y (%)	M _z (%)	V _z (%)	NM _y M _z (%)	M _t V _z (%)	Naturaleza		Comp.	N (kN)	M _{xx} (kN·m)	M _{yy} (kN·m)	Q _x (kN)	Q _y (kN)		
Cubierta (3.9 - 8.4 m)	HE 180 B	Cabeza	23.5	54.6	0.8	7.4	77.3	7.4	77.3	G, Q ⁽¹⁾	N _c ,M _y ,V _z ,NM _y M _z	11.92	-3.02	-0.03	-0.06	-1.51	Cumple	
										G ⁽²⁾	M _z	11.92	-3.02	-0.03	-0.06	-1.51		
										G, Q, N ⁽³⁾	M _t V _z	11.92	-3.02	-0.03	-0.06	-1.51		
		Pie	23.9	52.6	6.4	7.4	82.1	7.4	82.1	G, Q ⁽¹⁾	N _c ,M _y ,V _z ,NM _y M _z	12.12	2.91	-0.26	-0.06	-1.51	Cumple	
										G ⁽²⁾	M _z	12.12	2.91	-0.26	-0.06	-1.51		
										G, Q, N ⁽³⁾	M _t V _z	12.12	2.91	-0.26	-0.06	-1.51		
Planta Baja (0 - 3.9 m)	HE 180 B	Cabeza	33.4	27.5	5.0	3.8	65.8	3.8	65.8	G ⁽²⁾	N _c ,M _z ,NM _y M _z	20.62	-1.64	-0.20	0.10	-0.78	Cumple	
										G, Q ⁽¹⁾	M _y ,V _z	20.62	-1.64	-0.20	0.10	-0.78		
										G, Q, N ⁽³⁾	M _t V _z	20.62	-1.64	-0.20	0.10	-0.78		
		Pie	33.6	15.9	3.0	3.8	52.6	3.8	52.6	G ⁽²⁾	N _c ,M _z ,NM _y M _z	20.79	0.95	0.12	0.10	-0.78	Cumple	
										G, Q ⁽¹⁾	M _y ,V _z	20.79	0.95	0.12	0.10	-0.78		
										G, Q, N ⁽³⁾	M _t V _z	20.79	0.95	0.12	0.10	-0.78		
Notas: ⁽¹⁾ PP+CM+0.7·Qa(C) ⁽²⁾ PP+CM ⁽³⁾ PP+CM+0.6·Qa(C)+0.2·N1																		

2.13.- E3

Sección de acero laminado - Temperatura ambiente																			
Tramo	Sección	Posición	$\bar{\lambda}$	λ_w	Comprobaciones							Naturaleza	Esfuerzos pésimos						Estado
					N_c (%)	M_y (%)	M_z (%)	V_z (%)	NM_yM_z (%)	M_tV_z (%)	Aprov. (%)		Comp.	N (kN)	Mxx (kN-m)	Myy (kN-m)	Qx (kN)	Qy (kN)	
Cubierta (3.9 - 8.4 m)	HE 200 B	Cabeza	Cumple	Cumple	26.8	48.3	0.5	8.8	74.2	8.8	74.2	G, Q ⁽¹⁾	$N_c, M_y, M_z, V_z, NM_yM_z, M_tV_z$	33.79	7.25	-0.04	-0.08	3.35	Cumple
		Pie	Cumple	Cumple	27.0	39.4	4.5	8.8	70.2	8.8	70.2	G, Q ⁽¹⁾	$N_c, M_y, M_z, V_z, NM_yM_z, M_tV_z$	34.11	-5.90	-0.37	-0.08	3.35	Cumple
Planta Baja (0 - 3.9 m)	HE 200 B	Cabeza	Cumple	Cumple	45.0	33.7	3.6	6.4	81.4	6.4	81.4	G, Q ⁽¹⁾	$N_c, M_y, M_z, V_z, NM_yM_z, M_tV_z$	64.70	5.21	-0.29	0.13	2.45	Cumple
		Pie	Cumple	Cumple	45.1	18.9	1.7	6.4	65.3	6.4	65.3	G, Q ⁽¹⁾	$N_c, M_y, M_z, V_z, NM_yM_z, M_tV_z$	64.98	-2.92	0.14	0.13	2.45	Cumple
Notas: ⁽¹⁾ 1.35-PP+1.35-CM+1.5-Qa(G1)																			

Sección de acero laminado - Situación de incendio																	
Tramo	Sección	Posición	Comprobaciones							Esfuerzos pésimos							Estado
			N _c (%)	M _y (%)	M _z (%)	V _z (%)	NM _y M _z (%)	M _t V _z (%)	Aprov. (%)	Naturaleza	Comp.	N (kN)	M _{xx} (kN·m)	M _{yy} (kN·m)	Q _x (kN)	Q _y (kN)	
Cubierta (3.9 - 8.4 m)	HE 200 B	Cabeza	29.4	56.4	0.5	8.1	84.1	8.1	84.1	G ⁽¹⁾	N _c ,M _y ,M _z ,V _z ,NM _y M _z	22.56	4.80	-0.03	-0.05	2.22	Cumple
			G, Q, N ⁽²⁾	M _t V _z	22.56	4.80	-0.03	-0.05	2.22								
		Pie	29.7	45.9	4.1	8.1	78.7	8.1	78.7	G ⁽¹⁾	N _c ,M _y ,M _z ,V _z ,NM _y M _z	22.80	-3.90	-0.24	-0.05	2.22	Cumple
			G, Q, N ⁽²⁾	M _t V _z	22.80	-3.90	-0.24	-0.05	2.22								
Planta Baja (0 - 3.9 m)	HE 200 B	Cabeza	47.7	37.8	3.3	5.9	87.7	5.9	87.7	G ⁽¹⁾	N _c ,M _y ,M _z ,V _z ,NM _y M _z	43.33	3.44	-0.19	0.08	1.62	Cumple
			G, Q, N ⁽²⁾	M _t V _z	43.33	3.44	-0.19	0.08	1.62								
		Pie	47.9	21.2	1.5	5.9	69.9	5.9	69.9	G ⁽¹⁾	N _c ,M _z ,V _z ,NM _y M _z	43.54	-1.93	0.09	0.08	1.62	Cumple
										G, Q ⁽³⁾	M _y	43.53	-1.93	0.08	0.08	1.62	
										G, Q, N ⁽²⁾	M _t V _z	43.53	-1.93	0.09	0.08	1.62	
Notas: ⁽¹⁾ PP+CM ⁽²⁾ PP+CM+0.6·Qa(C)+0.2·N1 ⁽³⁾ PP+CM+0.7·Qa(C)																	

2.14.- E4

Sección de acero laminado - Temperatura ambiente																			
Tramo	Sección	Posición	Comprobaciones									Esfuerzos p _{simos}						Estado	
			$\bar{\lambda}$	λ_w	N _c (%)	M _y (%)	M _z (%)	V _z (%)	NM _y M _z (%)	M _t V _z (%)	Aprov. (%)	Naturaleza	Comp.	N (kN)	M _{xx} (kN·m)	M _{yy} (kN·m)	Q _x (kN)		Q _y (kN)
Cubierta (3.9 - 8.7 m)	HE 220 B	Cabeza	Cumple	Cumple	18.3	48.5	13.1	9.6	79.1	9.6	79.1	G, Q ⁽¹⁾	N _c ,M _y ,M _z ,V _z ,NM _y M _z ,M _t V _z	29.16	9.50	1.38	-0.64	4.14	Cumple
		Pie	Cumple	Cumple	18.5	34.3	10.8	9.6	63.1	9.6	63.1	G, Q ⁽¹⁾	N _c ,M _y ,M _z ,V _z ,NM _y M _z ,M _t V _z	29.54	-6.71	-1.14	-0.64	4.14	Cumple
Notas: ⁽¹⁾ 1.35-PP+1.35-CM+1.5-Qa(G1)																			

Sección de acero laminado - Situación de incendio																	
Tramo	Sección	Posición	Comprobaciones							Esfuerzos p _{simos}							Estado
			N _c (%)	M _y (%)	M _z (%)	V _z (%)	NM _y M _z (%)	M _t V _z (%)	Aprov. (%)	Naturaleza	Comp.	N (kN)	M _{xx} (kN·m)	M _{yy} (kN·m)	Q _x (kN)	Q _y (kN)	
Cubierta (3.9 - 8.7 m)	HE 220 B	Cabeza	17.8	51.1	10.9	8.3	79.2	8.3	79.2	G ⁽¹⁾	N _c ,M _y ,V _z	19.43	6.30	0.89	-0.41	2.74	Cumple
										G, Q ⁽²⁾	M _z ,NM _y M _z	19.43	6.30	0.89	-0.42	2.74	
										G, Q, N ⁽³⁾	M _t V _z	19.43	6.30	0.89	-0.42	2.74	
		Pie	18.1	36.1	9.1	8.3	62.8	8.3	62.8	G ⁽¹⁾	N _c ,M _y ,V _z	19.71	-4.44	-0.74	-0.41	2.74	Cumple
										G, Q ⁽²⁾	M _z ,NM _y M _z	19.71	-4.44	-0.74	-0.42	2.74	
										G, Q, N ⁽³⁾	M _t V _z	19.71	-4.44	-0.74	-0.42	2.74	
Notas: ⁽¹⁾ PP+CM ⁽²⁾ PP+CM+0.7·Qa(C) ⁽³⁾ PP+CM+0.6·Qa(C)+0.2·N1																	



I. MEMORIA

Cubierta (3.9 - 8.4 m)	HE 220 B	-	-	-	-	-	-	-	-	-	-	-	-	-	-
Planta -1 (-1.2 - 3.9 m)	50x50	Cabeza	Cumple	Cumple	2.7	22.2	22.2	G, Q ⁽²⁾	Q,N,M	91.35	1.26	0.66	-0.36	0.46	Cumple
		2.45 m	Cumple	Cumple	2.7	22.4	22.4	G, Q ⁽²⁾	Q,N,M	93.84	-0.10	-0.41	-0.36	0.46	Cumple
		-0.6 m	Cumple	Cumple	2.6	22.8	22.8	G, Q ⁽²⁾	Q,N,M	94.85	-0.66	-0.85	-0.36	0.46	Cumple
		Pie	Cumple	Cumple	2.6	22.8	22.8	G, Q ⁽²⁾	Q,N,M	94.85	-0.66	-0.85	-0.36	0.46	Cumple
Cimentación	50x50	Arranque	N.P. ⁽¹⁾	N.P. ⁽¹⁾	0.5	22.8	22.8	G, Q ⁽²⁾	Q,N,M	94.85	-0.66	-0.85	-0.36	0.46	Cumple
Notas: ⁽¹⁾ La comprobación no procede ⁽²⁾ 1.35·PP+1.35·CM+1.5·Qa(G1)															

Sección de acero laminado - Temperatura ambiente																			
Tramo	Sección	Posición	Comprobaciones									Esfuerzos p _{simos}						Estado	
			$\bar{\lambda}$	λ_w	N _c (%)	M _y (%)	M _z (%)	V _z (%)	NM _y M _z (%)	M _y V _z (%)	Aprov. (%)	Naturaleza	Comp.	N (kN)	M _{xx} (kN·m)	M _{yy} (kN·m)	Q _x (kN)		Q _y (kN)
Cubierta (3.9 - 8.4 m)	HE 220 B	Cabeza	Cumple	Cumple	28.6	8.6	2.6	2.2	39.7	2.2	39.7	G, Q ⁽¹⁾	N _c M _y M _z V _z NM _y M _z M _y V _z	45.59	-1.67	0.28	-0.14	-0.95	Cumple
		Pie	Cumple	Cumple	28.8	10.4	2.7	2.2	41.8	2.2	41.8	G, Q ⁽¹⁾	N _c M _y M _z V _z NM _y M _z M _y V _z	45.97	2.04	-0.28	-0.14	-0.95	Cumple
Planta -1 (-1.2 - 3.9 m)	50x50	-	-	-	-	-	-	-	-	-	-	-	-	-	-	-	-	-	-
Cimentación	50x50	-	-	-	-	-	-	-	-	-	-	-	-	-	-	-	-	-	-
Notas: ⁽¹⁾ 1.35·PP+1.35·CM+1.5·Qa(G1)																			

Sección de acero laminado - Situación de incendio																	
Tramo	Sección	Posición	Comprobaciones							Esfuerzos p _{simos}							Estado
			N _c (%)	M _y (%)	M _z (%)	V _z (%)	NM _y M _z (%)	M _y V _z (%)	Aprov. (%)	Naturaleza	Comp.	N (kN)	M _{xx} (kN·m)	M _{yy} (kN·m)	Q _x (kN)	Q _y (kN)	
Cubierta (3.9 - 8.4 m)	HE 220 B	Cabeza	56.2	17.6	4.1	3.5	78.8	3.5	78.8	G, Q ⁽¹⁾	N _c M _y V _z NM _y M _z	30.20	-1.11	0.18	-0.09	-0.63	Cumple
										G ⁽²⁾	M _z	30.20	-1.11	0.18	-0.09	-0.63	
		Pie	56.7	21.5	4.1	3.5	82.9	3.5	82.9	G, Q ⁽¹⁾	N _c M _y V _z	30.48	1.35	-0.18	-0.09	-0.63	Cumple
										G ⁽²⁾	M _z NM _y M _z	30.48	1.35	-0.18	-0.09	-0.63	
Planta -1 (-1.2 - 3.9 m)	50x50	-	-	-	-	-	-	-	-	-	-	-	-	-	-	-	-
Cimentación	50x50	-	-	-	-	-	-	-	-	-	-	-	-	-	-	-	-
Notas: ⁽¹⁾ PP+CM+0.7·Qa(C) ⁽²⁾ PP+CM ⁽³⁾ PP+CM+0.6·Qa(C)+0.2·N1																	

2.16.- E6

Sección de hormigón - Temperatura ambiente															
Tramo	Dimensión (cm)	Posición	Comprobaciones						Esfuerzos p _{simos}						Estado
			Disp.	Arm.	Q (%)	N,M (%)	Aprov. (%)	Naturaleza	Comp.	N (kN)	M _{xx} (kN·m)	M _{yy} (kN·m)	Q _x (kN)	Q _y (kN)	
Cubierta (3.9 - 8.4 m)	HE 220 B	-	-	-	-	-	-	-	-	-	-	-	-	-	-
Planta -1 (-1.2 - 3.9 m)	50x50	Cabeza	Cumple	Cumple	20.0	25.5	25.5	G, Q ⁽²⁾	Q,N,M	37.27	7.78	1.72	-0.82	3.00	Cumple
		2.45 m	Cumple	Cumple	20.0	25.5	25.5	G, Q ⁽²⁾	Q,N,M	37.27	7.78	1.72	-0.82	3.00	Cumple
		-0.6 m	Cumple	Cumple	19.6	9.8	19.6	G, Q ⁽²⁾	Q,N,M	39.76	-1.07	-0.68	-0.82	3.00	Cumple
		Pie	Cumple	Cumple	19.5	16.6	19.5	G, Q ⁽²⁾	Q,N,M	40.77	-4.67	-1.66	-0.82	3.00	Cumple
Cimentación	50x50	Arranque	N.P. ⁽¹⁾	N.P. ⁽¹⁾	3.0	16.6	16.6	G, Q ⁽²⁾	Q,N,M	40.77	-4.67	-1.66	-0.82	3.00	Cumple
Notas: ⁽¹⁾ La comprobación no procede ⁽²⁾ 1.35·PP+1.35·CM+1.5·Qa(G1)															

Sección de acero laminado - Temperatura ambiente																			
Tramo	Sección	Posición	Comprobaciones									Esfuerzos pésimos						Estado	
			$\bar{\lambda}$	λ_w	N _c (%)	M _y (%)	M _z (%)	V _z (%)	NM _y M _z (%)	M _y V _z (%)	Aprov. (%)	Naturaleza	Comp.	N (kN)	M _{xx} (kN·m)	M _{yy} (kN·m)	Q _x (kN)		Q _y (kN)
Cubierta (3.9 - 8.4 m)	HE 220 B	Cabeza	Cumple	Cumple	10.9	42.9	8.6	7.4	61.4	7.4	61.4	G, Q ⁽¹⁾	N _c M _y M _z V _z NM _y M _z M _y V _z	17.46	8.39	0.90	-0.31	3.16	Cumple
		Pie	Cumple	Cumple	11.2	20.5	3.0	7.4	34.3	7.4	34.3	G, Q ⁽¹⁾	N _c M _y M _z V _z NM _y M _z M _y V _z	17.84	-4.02	-0.32	-0.31	3.16	Cumple
Planta -1 (-1.2 - 3.9 m)	50x50	-	-	-	-	-	-	-	-	-	-	-	-	-	-	-	-	-	-
Cimentación	50x50	-	-	-	-	-	-	-	-	-	-	-	-	-	-	-	-	-	-
Notas: ⁽¹⁾ 1.35·PP+1.35·CM+1.5·Qa(G1)																			

Sección de acero laminado - Situación de incendio																	
Tramo	Sección	Posición	Comprobaciones							Esfuerzos p _{simos}							Estado
			N _c (%)	M _y (%)	M _z (%)	V _z (%)	NM _y M _z (%)	M _y V _z (%)	Aprov. (%)	Naturaleza	Comp.	N (kN)	M _{xx} (kN·m)	M _{yy} (kN·m)	Q _x (kN)	Q _y (kN)	
Cubierta (3.9 - 8.4 m)	HE 220 B	Cabeza	10.7	45.1	7.9	6.3	62.7	6.3	62.7	G ⁽¹⁾	N _c ,M _y ,M _z ,V _z ,NM _y M _z	11.65	5.55	0.64	-0.22	2.10	Cumple
			G, Q, N ⁽²⁾	M _y V _z	11.65	5.55	0.64	-0.22	2.10								
		Pie	11.0	21.6	2.9	6.3	35.0	6.3	35.0	G ⁽¹⁾	N _c ,M _y ,M _z ,V _z ,NM _y M _z	11.93	-2.66	-0.23	-0.22	2.10	Cumple
			G, Q, N ⁽²⁾	M _y V _z	11.93	-2.66	-0.23	-0.22	2.10								
Planta -1 (-1.2 - 3.9 m)	50x50	-	-	-	-	-	-	-	-	-	-	-	-	-	-	-	
Cimentación	50x50	-	-	-	-	-	-	-	-	-	-	-	-	-	-	-	
Notas: ⁽¹⁾ PP+CM ⁽²⁾ PP+CM+0.6·Qa(C)+0.2·N1																	

3.- VIGAS

3.1.- Planta -1

Vigas	COMPROBACIONES DE RESISTENCIA (INSTRUCCIÓN DE HORMIGÓN ESTRUCTURAL EHE-08)															Estado
	Disp.	Arm.	Q	N,M	T _c	T _{st}	T _{sl}	TNM _k	TV _k	TV _v	TV _k S _{tl}	TV _v S _{tl}	T _{geom.}	T _{disp.sl}	T _{disp.st}	



I. MEMORIA

B1 - B2	Cumple	Cumple	'0.758 m' $\eta = 94.5$	'5.513 m' $\eta = 85.8$	N.P. ⁽¹⁾	N.P. ⁽¹⁾	N.P. ⁽¹⁾	N.P. ⁽²⁾	N.P. ⁽¹⁾	N.P. ⁽¹⁾	N.P. ⁽¹⁾	N.P. ⁽¹⁾	N.P. ⁽¹⁾	N.P. ⁽¹⁾	N.P. ⁽¹⁾	CUMPLE $\eta = 94.5$
B2 - A2	Cumple	'0.000 m' Cumple	'4.651 m' $\eta = 94.8$	'B2' $\eta = 74.9$	N.P. ⁽¹⁾	N.P. ⁽¹⁾	N.P. ⁽¹⁾	N.P. ⁽²⁾	N.P. ⁽¹⁾	N.P. ⁽¹⁾	N.P. ⁽¹⁾	N.P. ⁽¹⁾	N.P. ⁽¹⁾	N.P. ⁽¹⁾	N.P. ⁽¹⁾	CUMPLE $\eta = 94.8$
B2 - B3	Cumple	Cumple	'0.758 m' $\eta = 93.8$	'5.513 m' $\eta = 85.6$	N.P. ⁽¹⁾	N.P. ⁽¹⁾	N.P. ⁽¹⁾	N.P. ⁽²⁾	N.P. ⁽¹⁾	N.P. ⁽¹⁾	N.P. ⁽¹⁾	N.P. ⁽¹⁾	N.P. ⁽¹⁾	N.P. ⁽¹⁾	N.P. ⁽¹⁾	CUMPLE $\eta = 93.8$
B3 - A3	Cumple	Cumple	'4.651 m' $\eta = 96.5$	'B3' $\eta = 74.9$	N.P. ⁽¹⁾	N.P. ⁽¹⁾	N.P. ⁽¹⁾	N.P. ⁽²⁾	N.P. ⁽¹⁾	N.P. ⁽¹⁾	N.P. ⁽¹⁾	N.P. ⁽¹⁾	N.P. ⁽¹⁾	N.P. ⁽¹⁾	N.P. ⁽¹⁾	CUMPLE $\eta = 96.5$
<p>Notación:</p> <p>Disp.: Disposiciones relativas a las armaduras</p> <p>Arm.: Armadura mínima y máxima</p> <p>Q: Estado límite de agotamiento frente a cortante (combinaciones no sísmicas)</p> <p>N,M: Estado límite de agotamiento frente a solicitaciones normales (combinaciones no sísmicas)</p> <p>T_c: Estado límite de agotamiento por torsión. Compresión oblicua.</p> <p>T_{st}: Estado límite de agotamiento por torsión. Tracción en el alma.</p> <p>T_{sl}: Estado límite de agotamiento por torsión. Tracción en las armaduras longitudinales.</p> <p>TNM_x: Estado límite de agotamiento por torsión. Interacción entre torsión y esfuerzos normales. Flexión alrededor del eje X.</p> <p>TV_x: Estado límite de agotamiento por torsión. Interacción entre torsión y cortante en el eje X. Compresión oblicua</p> <p>TV_y: Estado límite de agotamiento por torsión. Interacción entre torsión y cortante en el eje Y. Compresión oblicua</p> <p>TV_{st}: Estado límite de agotamiento por torsión. Interacción entre torsión y cortante en el eje X. Tracción en el alma.</p> <p>TV_{sl}: Estado límite de agotamiento por torsión. Interacción entre torsión y cortante en el eje Y. Tracción en el alma.</p> <p>T_{Geom.}: Estado límite de agotamiento por torsión. Relación entre las dimensiones de la sección.</p> <p>T_{Disp.}: Estado límite de agotamiento por torsión. Separación entre las barras de la armadura longitudinal.</p> <p>T_{Disp.}: Estado límite de agotamiento por torsión. Separación entre las barras de la armadura transversal.</p> <p>x: Distancia al origen de la barra</p> <p>η: Coeficiente de aprovechamiento (%)</p> <p>N.P.: No procede</p>																
<p>Comprobaciones que no proceden (N.P.):</p> <p>⁽¹⁾ La comprobación del estado límite de agotamiento por torsión no procede, ya que no hay momento torsor.</p> <p>⁽²⁾ La comprobación no procede, ya que no hay interacción entre torsión y esfuerzos normales.</p>																

Vigas	COMPROBACIONES DE FISURACIÓN (INSTRUCCIÓN DE HORMIGÓN ESTRUCTURAL EHE-08)							Estado
	σ_c	$W_{k,C, \text{sup.}}$	$W_{k,C, \text{Lat. Der.}}$	$W_{k,C, \text{inf.}}$	$W_{k,C, \text{Lat. Izq.}}$	σ_{sr}	V_{fis}	
B1 - B2	x: 6 m Cumple	x: 6 m Cumple	x: 6 m Cumple	x: 2.56 m Cumple	x: 6 m Cumple	x: 1.772 m Cumple	Cumple	CUMPLE
B2 - A2	x: 0 m Cumple	x: 0 m Cumple	x: 0 m Cumple	N.P. ⁽¹⁾	x: 0 m Cumple	x: 0 m Cumple	Cumple	CUMPLE
B2 - B3	x: 6 m Cumple	x: 6 m Cumple	x: 6 m Cumple	x: 2.56 m Cumple	x: 6 m Cumple	x: 1.772 m Cumple	Cumple	CUMPLE
B3 - A3	x: 0 m Cumple	x: 0 m Cumple	x: 0 m Cumple	N.P. ⁽¹⁾	x: 0 m Cumple	x: 0 m Cumple	Cumple	CUMPLE
<p>Notación:</p> <p>σ_c: Fisuración por compresión</p> <p>$W_{k,C, \text{sup.}}$: Fisuración por tracción: Cara superior</p> <p>$W_{k,C, \text{Lat. Der.}}$: Fisuración por tracción: Cara lateral derecha</p> <p>$W_{k,C, \text{inf.}}$: Fisuración por tracción: Cara inferior</p> <p>$W_{k,C, \text{Lat. Izq.}}$: Fisuración por tracción: Cara lateral izquierda</p> <p>σ_{sr}: Área mínima de armadura</p> <p>V_{fis}: Fisuración por cortante</p> <p>x: Distancia al origen de la barra</p> <p>η: Coeficiente de aprovechamiento (%)</p> <p>N.P.: No procede</p>								
<p>Comprobaciones que no proceden (N.P.):</p> <p>⁽¹⁾ La comprobación no procede, ya que no hay ninguna armadura traccionada.</p>								

Comprobaciones de flecha				
Vigas	Sobrecarga (Característica) $f_{i,Q} \leq f_{i,Q, \text{lim}}$ $f_{i,Q, \text{lim}} = L/350$	A plazo infinito (Cuasipermanente) $f_{T, \text{max}} \leq f_{T, \text{lim}}$ $f_{T, \text{lim}} = \text{Mín.}(L/300,$	Activa (Característica) $f_{A, \text{max}} \leq f_{A, \text{lim}}$ $f_{A, \text{lim}} = L/400$	Estado
B1 - B2	$f_{i,Q}$: 0.69 mm $f_{i,Q, \text{lim}}$: 17.14 mm	$f_{T, \text{max}}$: 2.69 mm $f_{T, \text{lim}}$: 20.00 mm	$f_{A, \text{max}}$: 2.32 mm $f_{A, \text{lim}}$: 15.00 mm	CUMPLE
B2 - A2	$f_{i,Q}$: 0.10 mm $f_{i,Q, \text{lim}}$: 13.29 mm	$f_{T, \text{max}}$: 0.70 mm $f_{T, \text{lim}}$: 15.50 mm	$f_{A, \text{max}}$: 0.55 mm $f_{A, \text{lim}}$: 11.63 mm	CUMPLE
B2 - B3	$f_{i,Q}$: 0.69 mm $f_{i,Q, \text{lim}}$: 17.14 mm	$f_{T, \text{max}}$: 2.69 mm $f_{T, \text{lim}}$: 20.00 mm	$f_{A, \text{max}}$: 2.32 mm $f_{A, \text{lim}}$: 15.00 mm	CUMPLE
B3 - A3	$f_{i,Q}$: 0.10 mm $f_{i,Q, \text{lim}}$: 13.29 mm	$f_{T, \text{max}}$: 0.70 mm $f_{T, \text{lim}}$: 15.50 mm	$f_{A, \text{max}}$: 0.55 mm $f_{A, \text{lim}}$: 11.63 mm	CUMPLE

3.2.- Planta Baja

Vigas	COMPROBACIONES DE RESISTENCIA (INSTRUCCIÓN DE HORMIGÓN ESTRUCTURAL EHE-08)															Estado
	Disp.	Arm.	Q	N,M	T _c	T _{st}	T _{sl}	TNM _x	TV _x	TV _y	TV _{xT}	TV _{yT}	T _{Geom.}	T _{Disp.} _{sl}	T _{Disp.} _{st}	
E4 - E5	Cumple	'0.133 m' Cumple	'6.195 m' $\eta = 93.5$	'5.849 m' $\eta = 85.7$	N.P. ⁽¹⁾	N.P. ⁽¹⁾	N.P. ⁽¹⁾	N.P. ⁽²⁾	N.P. ⁽¹⁾	N.P. ⁽¹⁾	N.P. ⁽¹⁾	N.P. ⁽¹⁾	N.P. ⁽¹⁾	N.P. ⁽¹⁾	N.P. ⁽¹⁾	CUMPLE $\eta = 93.5$
E5 - E6	Cumple	'0.000 m' Cumple	'0.608 m' $\eta = 89.6$	'E5' $\eta = 85.3$	N.P. ⁽¹⁾	N.P. ⁽¹⁾	N.P. ⁽¹⁾	N.P. ⁽²⁾	N.P. ⁽¹⁾	N.P. ⁽¹⁾	N.P. ⁽¹⁾	N.P. ⁽¹⁾	N.P. ⁽¹⁾	N.P. ⁽¹⁾	N.P. ⁽¹⁾	CUMPLE $\eta = 89.6$



I. MEMORIA

E6 - B6	Cumple	'0.000 m' Cumple	'5.492 m' $\eta = 31.0$	'5.850 m' $\eta = 50.3$	N.P. ⁽¹⁾	N.P. ⁽¹⁾	N.P. ⁽¹⁾	N.P. ⁽²⁾	N.P. ⁽¹⁾	N.P. ⁽¹⁾	N.P. ⁽¹⁾	N.P. ⁽¹⁾	N.P. ⁽¹⁾	N.P. ⁽¹⁾	N.P. ⁽¹⁾	CUMPLE $\eta = 50.3$
---------	--------	---------------------	----------------------------	----------------------------	---------------------	---------------------	---------------------	---------------------	---------------------	---------------------	---------------------	---------------------	---------------------	---------------------	---------------------	--------------------------------

Vigas	COMPROBACIONES DE RESISTENCIA (INSTRUCCIÓN DE HORMIGÓN ESTRUCTURAL EHE-08)								Estado
	Disp.	Arm.	Q	N,M	T _c	TV _x	TV _y	-	
B18 - E6	Cumple	N.P. ⁽³⁾	'E6' $\eta = 1.7$	'E6' $\eta = 47.3$	N.P. ⁽¹⁾	N.P. ⁽¹⁾	N.P. ⁽¹⁾	N.P. ⁽⁴⁾	CUMPLE $\eta = 47.3$

Notación:

Disp.: Disposiciones relativas a las armaduras

Arm.: Armadura mínima y máxima

Q: Estado límite de agotamiento frente a cortante (combinaciones no sísmicas)

N,M: Estado límite de agotamiento frente a solicitaciones normales (combinaciones no sísmicas)

T_c: Estado límite de agotamiento por torsión. Compresión oblicua.

T_{st}: Estado límite de agotamiento por torsión. Tracción en el alma.

T_{sl}: Estado límite de agotamiento por torsión. Tracción en las armaduras longitudinales.

TNM_x: Estado límite de agotamiento por torsión. Interacción entre torsión y esfuerzos normales. Flexión alrededor del eje X.

TV_x: Estado límite de agotamiento por torsión. Interacción entre torsión y cortante en el eje X. Compresión oblicua

TV_y: Estado límite de agotamiento por torsión. Interacción entre torsión y cortante en el eje Y. Compresión oblicua

TV_{xs}: Estado límite de agotamiento por torsión. Interacción entre torsión y cortante en el eje X. Tracción en el alma.

TV_{ys}: Estado límite de agotamiento por torsión. Interacción entre torsión y cortante en el eje Y. Tracción en el alma.

T_{Geom.}: Estado límite de agotamiento por torsión. Relación entre las dimensiones de la sección.

T_{Disp.sl}: Estado límite de agotamiento por torsión. Separación entre las barras de la armadura longitudinal.

T_{Disp.st}: Estado límite de agotamiento por torsión. Separación entre las barras de la armadura transversal.

x: Distancia al origen de la barra

η : Coeficiente de aprovechamiento (%)

N.P.: No procede

-: -

Comprobaciones que no proceden (N.P.):

⁽¹⁾ La comprobación del estado límite de agotamiento por torsión no procede, ya que no hay momento torsor.

⁽²⁾ La comprobación no procede, ya que no hay interacción entre torsión y esfuerzos normales.

⁽³⁾ No hay interacción entre axil y momento flector para ninguna combinación. Por lo tanto, la comprobación no procede.

⁽⁴⁾ No hay esfuerzos que produzcan tensiones normales para ninguna combinación. Por lo tanto, la comprobación no procede.

Vigas	COMPROBACIONES DE FISURACIÓN (INSTRUCCIÓN DE HORMIGÓN ESTRUCTURAL EHE-08)							Estado
	σ_c	$W_{k,C,Sup.}$	$W_{k,C,Lat.Der.}$	$W_{k,C,Inf.}$	$W_{k,C,Lat.Izq.}$	σ_{sr}	V_{fis}	
E4 - E5	x: 6.195 m Cumple	x: 6.195 m Cumple	x: 2.459 m Cumple	x: 2.459 m Cumple	x: 2.459 m Cumple	x: 1.661 m Cumple	Cumple	CUMPLE
E5 - E6	x: 0 m Cumple	x: 0 m Cumple	x: 0 m Cumple	x: 3.542 m Cumple	x: 0 m Cumple	x: 3.542 m Cumple	Cumple	CUMPLE
B18 - E6	x: 0.155 m Cumple	N.P. ⁽¹⁾	N.P. ⁽¹⁾	N.P. ⁽¹⁾	N.P. ⁽¹⁾	N.P. ⁽¹⁾	Cumple	CUMPLE
E6 - B6	x: 5.85 m Cumple	N.P. ⁽²⁾	N.P. ⁽²⁾	N.P. ⁽²⁾	N.P. ⁽²⁾	N.P. ⁽²⁾	Cumple	CUMPLE

Notación:

σ_c : Fisuración por compresión

$W_{k,C,Sup.}$: Fisuración por tracción: Cara superior

$W_{k,C,Lat.Der.}$: Fisuración por tracción: Cara lateral derecha

$W_{k,C,Inf.}$: Fisuración por tracción: Cara inferior

$W_{k,C,Lat.Izq.}$: Fisuración por tracción: Cara lateral izquierda

σ_{sr} : Área mínima de armadura

V_{fis} : Fisuración por cortante

x: Distancia al origen de la barra

η : Coeficiente de aprovechamiento (%)

N.P.: No procede

Comprobaciones que no proceden (N.P.):

⁽¹⁾ No hay esfuerzos que produzcan tensiones normales para ninguna combinación. Por lo tanto, la comprobación no procede.

⁽²⁾ La comprobación no procede, ya que la tensión de tracción máxima en el hormigón no supera la resistencia a tracción del mismo.

Comprobaciones de flecha				
Vigas	Sobrecarga (Característica) $f_{i,Q} \leq f_{i,Q,lim}$ $f_{i,Q,lim} = L/350$	A plazo infinito (Cuasipermanente) $f_{T,max} \leq f_{T,lim}$ $f_{T,lim} = \text{Mín.}(L/300,$	Activa (Característica) $f_{A,max} \leq f_{A,lim}$ $f_{A,lim} = L/400$	Estado
E4 - E5	$f_{i,Q}$: 0.44 mm $f_{i,Q,lim}$: 17.70 mm	$f_{T,max}$: 3.21 mm $f_{T,lim}$: 20.65 mm	$f_{A,max}$: 2.40 mm $f_{A,lim}$: 15.49 mm	CUMPLE
E5 - E6	$f_{i,Q}$: 0.09 mm $f_{i,Q,lim}$: 18.62 mm	$f_{T,max}$: 2.04 mm $f_{T,lim}$: 21.72 mm	$f_{A,max}$: 1.36 mm $f_{A,lim}$: 16.29 mm	CUMPLE
B18 - E6	$f_{i,Q}$: 0.00 mm $f_{i,Q,lim}$: 0.44 mm	$f_{T,max}$: 0.00 mm $f_{T,lim}$: 0.52 mm	$f_{A,max}$: 0.00 mm $f_{A,lim}$: 0.39 mm	CUMPLE



PROYECTO BÁSICO DE EJECUCIÓN DE AMPLIACIÓN DEL CEIP VALDEBEBAS, 4 AULAS DE INFANTIL, 4 AULAS DE PRIMARIA, 3 AULAS ESPECIFICAS, BIBLIOTECA, 2 AULAS DE DESDOBLE, GIMNASIO Y PISTA DEPORTIVA

I. MEMORIA

E6 - B6	$f_{i,Q}$: 0.03 mm $f_{i,Q,lim}$: 16.72 mm	$f_{T,max}$: 0.69 mm $f_{T,lim}$: 19.50 mm	$f_{A,max}$: 0.20 mm $f_{A,lim}$: 10.56 mm	CUMPLE
---------	---	---	---	---------------

Tramos	COMPROBACIONES DE RESISTENCIA (CTE DB SE-A) - TEMPERATURA AMBIENTE															Estado
	$\bar{\lambda}$	λ_w	N_t	N_c	M_Y	M_Z	V_Z	V_Y	M_YV_Z	M_ZV_Y	NM_YM_Z	$NM_YM_ZV_YV_Z$	M_t	M_tV_Z	M_tV_Y	
E1 - E2	N.P. ⁽¹⁾	$\lambda_w \leq \lambda_{w,max}$ Cumple	$N_{Ed} = 0,00$ N.P. ⁽²⁾	$N_{Ed} = 0,00$ N.P. ⁽³⁾	x: 2.82 m $\eta = 24,7$	$M_{Ed} = 0,00$ N.P. ⁽⁴⁾	x: 2.82 m $\eta = 7,9$	$V_{Ed} = 0,00$ N.P. ⁽⁵⁾	$\eta < 0,1$	N.P. ⁽⁶⁾	N.P. ⁽⁷⁾	N.P. ⁽⁸⁾	$\eta = 0,2$	x: 2.82 m $\eta = 7,9$	N.P. ⁽⁹⁾	CUMPLE $\eta = 24,7$
E2 - E3	N.P. ⁽¹⁾	$\lambda_w \leq \lambda_{w,max}$ Cumple	$N_{Ed} = 0,00$ N.P. ⁽²⁾	$N_{Ed} = 0,00$ N.P. ⁽³⁾	x: 7.945 m $\eta = 58,3$	$M_{Ed} = 0,00$ N.P. ⁽⁴⁾	x: 7.945 m $\eta = 43,9$	$V_{Ed} = 0,00$ N.P. ⁽⁵⁾	$\eta < 0,1$	N.P. ⁽⁶⁾	N.P. ⁽⁷⁾	N.P. ⁽⁸⁾	$\eta < 0,1$	x: 7.945 m $\eta = 43,9$	N.P. ⁽⁹⁾	CUMPLE $\eta = 58,3$
E3 - E4	N.P. ⁽¹⁾	x: 0 m $\lambda_w \leq \lambda_{w,max}$ Cumple	$N_{Ed} = 0,00$ N.P. ⁽²⁾	$N_{Ed} = 0,00$ N.P. ⁽³⁾	x: 0 m $\eta = 33,9$	$M_{Ed} = 0,00$ N.P. ⁽⁴⁾	x: 0 m $\eta = 7,3$	$V_{Ed} = 0,00$ N.P. ⁽⁵⁾	x: 0 m $\eta < 0,1$	N.P. ⁽⁶⁾	N.P. ⁽⁷⁾	N.P. ⁽⁸⁾	$M_{Ed} = 0,00$ N.P. ⁽¹⁰⁾	N.P. ⁽⁹⁾	N.P. ⁽⁹⁾	CUMPLE $\eta = 33,9$
A1 - A2	N.P. ⁽¹⁾	x: 0.348 m $\lambda_w \leq \lambda_{w,max}$ Cumple	$N_{Ed} = 0,00$ N.P. ⁽²⁾	$N_{Ed} = 0,00$ N.P. ⁽³⁾	x: 3.48 m $\eta = 42,3$	$M_{Ed} = 0,00$ N.P. ⁽⁴⁾	x: 0 m $\eta = 6,9$	$V_{Ed} = 0,00$ N.P. ⁽⁵⁾	x: 0.348 m $\eta < 0,1$	N.P. ⁽⁶⁾	N.P. ⁽⁷⁾	N.P. ⁽⁸⁾	$M_{Ed} = 0,00$ N.P. ⁽¹⁰⁾	N.P. ⁽⁹⁾	N.P. ⁽⁹⁾	CUMPLE $\eta = 42,3$
A2 - A3	N.P. ⁽¹⁾	x: 0.318 m $\lambda_w \leq \lambda_{w,max}$ Cumple	$N_{Ed} = 0,00$ N.P. ⁽²⁾	$N_{Ed} = 0,00$ N.P. ⁽³⁾	x: 1.59 m $\eta = 6,9$	$M_{Ed} = 0,00$ N.P. ⁽⁴⁾	x: 0 m $\eta = 3,2$	$V_{Ed} = 0,00$ N.P. ⁽⁵⁾	x: 0.318 m $\eta < 0,1$	N.P. ⁽⁶⁾	N.P. ⁽⁷⁾	N.P. ⁽⁸⁾	$M_{Ed} = 0,00$ N.P. ⁽¹⁰⁾	N.P. ⁽⁹⁾	N.P. ⁽⁹⁾	CUMPLE $\eta = 6,9$
A3 - A4	N.P. ⁽¹⁾	x: 0.348 m $\lambda_w \leq \lambda_{w,max}$ Cumple	$N_{Ed} = 0,00$ N.P. ⁽²⁾	$N_{Ed} = 0,00$ N.P. ⁽³⁾	x: 3.48 m $\eta = 42,3$	$M_{Ed} = 0,00$ N.P. ⁽⁴⁾	x: 0 m $\eta = 6,9$	$V_{Ed} = 0,00$ N.P. ⁽⁵⁾	x: 0.348 m $\eta < 0,1$	N.P. ⁽⁶⁾	N.P. ⁽⁷⁾	N.P. ⁽⁸⁾	$M_{Ed} = 0,00$ N.P. ⁽¹⁰⁾	N.P. ⁽⁹⁾	N.P. ⁽⁹⁾	CUMPLE $\eta = 42,3$
B1 - A1	N.P. ⁽¹⁾	$\lambda_w \leq \lambda_{w,max}$ Cumple	$N_{Ed} = 0,00$ N.P. ⁽²⁾	$N_{Ed} = 0,00$ N.P. ⁽³⁾	x: 0 m $\eta = 78,2$	$M_{Ed} = 0,00$ N.P. ⁽⁴⁾	x: 0 m $\eta = 33,2$	$V_{Ed} = 0,00$ N.P. ⁽⁵⁾	$\eta < 0,1$	N.P. ⁽⁶⁾	N.P. ⁽⁷⁾	N.P. ⁽⁸⁾	x: 4.597 m $\eta = 10,0$	x: 0 m $\eta = 34,1$	N.P. ⁽⁹⁾	CUMPLE $\eta = 78,2$
B16 - B2	N.P. ⁽¹⁾	$\lambda_w \leq \lambda_{w,max}$ Cumple	$N_{Ed} = 0,00$ N.P. ⁽²⁾	$N_{Ed} = 0,00$ N.P. ⁽³⁾	x: 6.1 m $\eta = 86,6$	$M_{Ed} = 0,00$ N.P. ⁽⁴⁾	x: 6.1 m $\eta = 38,2$	$V_{Ed} = 0,00$ N.P. ⁽⁵⁾	$\eta < 0,1$	N.P. ⁽⁶⁾	N.P. ⁽⁷⁾	N.P. ⁽⁸⁾	x: 0.199 m $\eta = 1,6$	x: 6.1 m $\eta = 38,3$	N.P. ⁽⁹⁾	CUMPLE $\eta = 86,6$
B2 - A2	N.P. ⁽¹⁾	$\lambda_w \leq \lambda_{w,max}$ Cumple	$N_{Ed} = 0,00$ N.P. ⁽²⁾	$N_{Ed} = 0,00$ N.P. ⁽³⁾	x: 0 m $\eta = 91,6$	$M_{Ed} = 0,00$ N.P. ⁽⁴⁾	x: 0 m $\eta = 43,5$	$V_{Ed} = 0,00$ N.P. ⁽⁵⁾	$\eta < 0,1$	N.P. ⁽⁶⁾	N.P. ⁽⁷⁾	N.P. ⁽⁸⁾	x: 4.577 m $\eta = 0,9$	x: 0 m $\eta = 43,6$	N.P. ⁽⁹⁾	CUMPLE $\eta = 91,6$
B17 - B3	N.P. ⁽¹⁾	$\lambda_w \leq \lambda_{w,max}$ Cumple	$N_{Ed} = 0,00$ N.P. ⁽²⁾	$N_{Ed} = 0,00$ N.P. ⁽³⁾	x: 6.1 m $\eta = 89,9$	$M_{Ed} = 0,00$ N.P. ⁽⁴⁾	x: 6.1 m $\eta = 41,3$	$V_{Ed} = 0,00$ N.P. ⁽⁵⁾	$\eta < 0,1$	N.P. ⁽⁶⁾	N.P. ⁽⁷⁾	N.P. ⁽⁸⁾	x: 5.746 m $\eta = 2,0$	x: 6.1 m $\eta = 41,6$	N.P. ⁽⁹⁾	CUMPLE $\eta = 89,9$
B3 - A3	N.P. ⁽¹⁾	$\lambda_w \leq \lambda_{w,max}$ Cumple	$N_{Ed} = 0,00$ N.P. ⁽²⁾	$N_{Ed} = 0,00$ N.P. ⁽³⁾	x: 0 m $\eta = 92,5$	$M_{Ed} = 0,00$ N.P. ⁽⁴⁾	x: 0 m $\eta = 43,7$	$V_{Ed} = 0,00$ N.P. ⁽⁵⁾	$\eta < 0,1$	N.P. ⁽⁶⁾	N.P. ⁽⁷⁾	N.P. ⁽⁸⁾	x: 4.577 m $\eta = 5,9$	x: 0 m $\eta = 44,5$	N.P. ⁽⁹⁾	CUMPLE $\eta = 92,5$
B4 - A4	N.P. ⁽¹⁾	$\lambda_w \leq \lambda_{w,max}$ Cumple	$N_{Ed} = 0,00$ N.P. ⁽²⁾	$N_{Ed} = 0,00$ N.P. ⁽³⁾	x: 0 m $\eta = 76,2$	$M_{Ed} = 0,00$ N.P. ⁽⁴⁾	x: 0 m $\eta = 32,7$	$V_{Ed} = 0,00$ N.P. ⁽⁵⁾	$\eta < 0,1$	N.P. ⁽⁶⁾	N.P. ⁽⁷⁾	N.P. ⁽⁸⁾	x: 0 m $\eta = 6,7$	x: 0 m $\eta = 33,6$	N.P. ⁽⁹⁾	CUMPLE $\eta = 76,2$
Notación: $\bar{\lambda}$: Limitación de esbeltez λ_w : Abolladura del alma inducida por el ala comprimida N_t : Resistencia a tracción N_c : Resistencia a compresión M_Y : Resistencia a flexión eje Y M_Z : Resistencia a flexión eje Z V_Z : Resistencia a corte Z V_Y : Resistencia a corte Y M_YV_Z : Resistencia a momento flector Y y fuerza cortante Z combinados M_ZV_Y : Resistencia a momento flector Z y fuerza cortante Y combinados NM_YM_Z : Resistencia a flexión y axil combinados $NM_YM_ZV_YV_Z$: Resistencia a flexión, axil y cortante combinados M_t : Resistencia a torsión M_tV_Z : Resistencia a cortante Z y momento torsor combinados M_tV_Y : Resistencia a cortante Y y momento torsor combinados x: Distancia al origen de la barra η : Coeficiente de aprovechamiento (%) N.P.: No procede																
Comprobaciones que no proceden (N.P.): ⁽¹⁾ La comprobación no procede, ya que no hay axil de compresión ni de tracción. ⁽²⁾ La comprobación no procede, ya que no hay axil de tracción. ⁽³⁾ La comprobación no procede, ya que no hay axil de compresión. ⁽⁴⁾ La comprobación no procede, ya que no hay momento flector. ⁽⁵⁾ La comprobación no procede, ya que no hay esfuerzo cortante. ⁽⁶⁾ No hay interacción entre momento flector y esfuerzo cortante para ninguna combinación. Por lo tanto, la comprobación no procede. ⁽⁷⁾ No hay interacción entre axil y momento flector ni entre momentos flectores en ambas direcciones para ninguna combinación. Por lo tanto, la comprobación no procede. ⁽⁸⁾ No hay interacción entre momento flector, axil y cortante para ninguna combinación. Por lo tanto, la comprobación no procede. ⁽⁹⁾ No hay interacción entre momento torsor y esfuerzo cortante para ninguna combinación. Por lo tanto, la comprobación no procede. ⁽¹⁰⁾ La comprobación no procede, ya que no hay momento torsor.																

Tramos	COMPROBACIONES DE RESISTENCIA (CTE DB SE-A) - SITUACIÓN DE INCENDIO													Estado
	N_t	N_c	M_Y	M_Z	V_Z	V_Y	M_YV_Z	M_ZV_Y	NM_YM_Z	$NM_YM_ZV_YV_Z$	M_t	M_tV_Z	M_tV_Y	
E1 - E2	$N_{Ed} = 0.00$ N.P. ⁽¹⁾	$N_{Ed} = 0.00$ N.P. ⁽²⁾	x: 2.82 m $\eta = 29.6$	$M_{Ed} = 0.00$ N.P. ⁽³⁾	x: 2.82 m $\eta = 8.2$	$V_{Ed} = 0.00$ N.P. ⁽⁴⁾	$\eta < 0.1$	N.P. ⁽⁵⁾	N.P. ⁽⁶⁾	N.P. ⁽⁷⁾	$\eta = 0.2$	x: 2.82 m $\eta = 8.2$	N.P. ⁽⁸⁾	CUMPLE $\eta = 29.6$
E2 - E3	$N_{Ed} = 0.00$ N.P. ⁽¹⁾	$N_{Ed} = 0.00$ N.P. ⁽²⁾	x: 7.945 m $\eta = 79.3$	$M_{Ed} = 0.00$ N.P. ⁽³⁾	x: 7.945 m $\eta = 41.9$	$V_{Ed} = 0.00$ N.P. ⁽⁴⁾	$\eta < 0.1$	N.P. ⁽⁵⁾	N.P. ⁽⁶⁾	N.P. ⁽⁷⁾	$\eta < 0.1$	x: 7.945 m $\eta = 41.9$	N.P. ⁽⁸⁾	CUMPLE $\eta = 79.3$
E3 - E4	$N_{Ed} = 0.00$ N.P. ⁽¹⁾	$N_{Ed} = 0.00$ N.P. ⁽²⁾	x: 0 m $\eta = 50.5$	$M_{Ed} = 0.00$ N.P. ⁽³⁾	x: 0 m $\eta = 8.0$	$V_{Ed} = 0.00$ N.P. ⁽⁴⁾	x: 0 m $\eta < 0.1$	N.P. ⁽⁵⁾	N.P. ⁽⁶⁾	N.P. ⁽⁷⁾	$M_{Ed} = 0.00$ N.P. ⁽⁹⁾	N.P. ⁽⁸⁾	N.P. ⁽⁸⁾	CUMPLE $\eta = 50.5$
A1 - A2	$N_{Ed} = 0.00$ N.P. ⁽¹⁾	$N_{Ed} = 0.00$ N.P. ⁽²⁾	x: 3.48 m $\eta = 51.9$	$M_{Ed} = 0.00$ N.P. ⁽³⁾	x: 0 m $\eta = 6.0$	$V_{Ed} = 0.00$ N.P. ⁽⁴⁾	x: 0.348 m $\eta < 0.1$	N.P. ⁽⁵⁾	N.P. ⁽⁶⁾	N.P. ⁽⁷⁾	$M_{Ed} = 0.00$ N.P. ⁽⁹⁾	N.P. ⁽⁸⁾	N.P. ⁽⁸⁾	CUMPLE $\eta = 51.9$
A2 - A3	$N_{Ed} = 0.00$ N.P. ⁽¹⁾	$N_{Ed} = 0.00$ N.P. ⁽²⁾	x: 1.59 m $\eta = 13.8$	$M_{Ed} = 0.00$ N.P. ⁽³⁾	x: 0 m $\eta = 4.9$	$V_{Ed} = 0.00$ N.P. ⁽⁴⁾	x: 0.318 m $\eta < 0.1$	N.P. ⁽⁵⁾	N.P. ⁽⁶⁾	N.P. ⁽⁷⁾	$M_{Ed} = 0.00$ N.P. ⁽⁹⁾	N.P. ⁽⁸⁾	N.P. ⁽⁸⁾	CUMPLE $\eta = 13.8$
A3 - A4	$N_{Ed} = 0.00$ N.P. ⁽¹⁾	$N_{Ed} = 0.00$ N.P. ⁽²⁾	x: 3.48 m $\eta = 51.9$	$M_{Ed} = 0.00$ N.P. ⁽³⁾	x: 0 m $\eta = 6.0$	$V_{Ed} = 0.00$ N.P. ⁽⁴⁾	x: 0.348 m $\eta < 0.1$	N.P. ⁽⁵⁾	N.P. ⁽⁶⁾	N.P. ⁽⁷⁾	$M_{Ed} = 0.00$ N.P. ⁽⁹⁾	N.P. ⁽⁸⁾	N.P. ⁽⁸⁾	CUMPLE $\eta = 51.9$
B1 - A1	$N_{Ed} = 0.00$ N.P. ⁽¹⁾	$N_{Ed} = 0.00$ N.P. ⁽²⁾	x: 0 m $\eta = 78.9$	$M_{Ed} = 0.00$ N.P. ⁽³⁾	x: 0 m $\eta = 25.4$	$V_{Ed} = 0.00$ N.P. ⁽⁴⁾	$\eta < 0.1$	N.P. ⁽⁵⁾	N.P. ⁽⁶⁾	N.P. ⁽⁷⁾	x: 4.597 m $\eta = 7.6$	x: 0 m $\eta = 26.0$	N.P. ⁽⁸⁾	CUMPLE $\eta = 78.9$
B16 - B2	$N_{Ed} = 0.00$ N.P. ⁽¹⁾	$N_{Ed} = 0.00$ N.P. ⁽²⁾	x: 6.1 m $\eta = 77.8$	$M_{Ed} = 0.00$ N.P. ⁽³⁾	x: 6.1 m $\eta = 25.7$	$V_{Ed} = 0.00$ N.P. ⁽⁴⁾	$\eta < 0.1$	N.P. ⁽⁵⁾	N.P. ⁽⁶⁾	N.P. ⁽⁷⁾	x: 0.199 m $\eta = 1.1$	x: 6.1 m $\eta = 25.8$	N.P. ⁽⁸⁾	CUMPLE $\eta = 77.8$
B2 - A2	$N_{Ed} = 0.00$ N.P. ⁽¹⁾	$N_{Ed} = 0.00$ N.P. ⁽²⁾	x: 0 m $\eta = 81.8$	$M_{Ed} = 0.00$ N.P. ⁽³⁾	x: 0 m $\eta = 30.5$	$V_{Ed} = 0.00$ N.P. ⁽⁴⁾	$\eta < 0.1$	N.P. ⁽⁵⁾	N.P. ⁽⁶⁾	N.P. ⁽⁷⁾	x: 4.577 m $\eta = 0.6$	x: 0 m $\eta = 30.5$	N.P. ⁽⁸⁾	CUMPLE $\eta = 81.8$
B17 - B3	$N_{Ed} = 0.00$ N.P. ⁽¹⁾	$N_{Ed} = 0.00$ N.P. ⁽²⁾	x: 6.1 m $\eta = 80.8$	$M_{Ed} = 0.00$ N.P. ⁽³⁾	x: 6.1 m $\eta = 27.9$	$V_{Ed} = 0.00$ N.P. ⁽⁴⁾	$\eta < 0.1$	N.P. ⁽⁵⁾	N.P. ⁽⁶⁾	N.P. ⁽⁷⁾	x: 5.746 m $\eta = 1.3$	x: 6.1 m $\eta = 28.0$	N.P. ⁽⁸⁾	CUMPLE $\eta = 80.8$
B3 - A3	$N_{Ed} = 0.00$ N.P. ⁽¹⁾	$N_{Ed} = 0.00$ N.P. ⁽²⁾	x: 0 m $\eta = 82.7$	$M_{Ed} = 0.00$ N.P. ⁽³⁾	x: 0 m $\eta = 30.6$	$V_{Ed} = 0.00$ N.P. ⁽⁴⁾	$\eta < 0.1$	N.P. ⁽⁵⁾	N.P. ⁽⁶⁾	N.P. ⁽⁷⁾	x: 4.577 m $\eta = 4.1$	x: 0 m $\eta = 31.0$	N.P. ⁽⁸⁾	CUMPLE $\eta = 82.7$
B4 - A4	$N_{Ed} = 0.00$ N.P. ⁽¹⁾	$N_{Ed} = 0.00$ N.P. ⁽²⁾	x: 0 m $\eta = 76.9$	$M_{Ed} = 0.00$ N.P. ⁽³⁾	x: 0 m $\eta = 25.1$	$V_{Ed} = 0.00$ N.P. ⁽⁴⁾	$\eta < 0.1$	N.P. ⁽⁵⁾	N.P. ⁽⁶⁾	N.P. ⁽⁷⁾	x: 0 m $\eta = 5.1$	x: 0 m $\eta = 25.6$	N.P. ⁽⁸⁾	CUMPLE $\eta = 76.9$
Notación: N_t : Resistencia a tracción N_c : Resistencia a compresión M_Y : Resistencia a flexión eje Y M_Z : Resistencia a flexión eje Z V_Z : Resistencia a corte Z V_Y : Resistencia a corte Y M_YV_Z : Resistencia a momento flector Y y fuerza cortante Z combinados M_ZV_Y : Resistencia a momento flector Z y fuerza cortante Y combinados NM_YM_Z : Resistencia a flexión y axil combinados $NM_YM_ZV_YV_Z$: Resistencia a flexión, axil y cortante combinados M_t : Resistencia a torsión M_tV_Z : Resistencia a cortante Z y momento torsor combinados M_tV_Y : Resistencia a cortante Y y momento torsor combinados x: Distancia al origen de la barra η : Coeficiente de aprovechamiento (%) N.P.: No procede														



PROYECTO BÁSICO DE EJECUCIÓN DE AMPLIACIÓN DEL CEIP VALDEBEBAS, 4 AULAS DE INFANTIL, 4 AULAS DE PRIMARIA, 3 AULAS ESPECIFICAS, BIBLIOTECA, 2 AULAS DE DESDOBLE, GIMNASIO Y PISTA DEPORTIVA

I. MEMORIA

Comprobaciones que no proceden (N.P.): (1) La comprobación no procede, ya que no hay axil de tracción. (2) La comprobación no procede, ya que no hay axil de compresión. (3) La comprobación no procede, ya que no hay momento flector. (4) La comprobación no procede, ya que no hay esfuerzo cortante. (5) No hay interacción entre momento flector y esfuerzo cortante para ninguna combinación. Por lo tanto, la comprobación no procede. (6) No hay interacción entre axil y momento flector ni entre momentos flectores en ambas direcciones para ninguna combinación. Por lo tanto, la comprobación no procede. (7) No hay interacción entre momento flector, axil y cortante para ninguna combinación. Por lo tanto, la comprobación no procede. (8) No hay interacción entre momento torsor y esfuerzo cortante para ninguna combinación. Por lo tanto, la comprobación no procede. (9) La comprobación no procede, ya que no hay momento torsor.													
---	--	--	--	--	--	--	--	--	--	--	--	--	--

3.3.- Cubierta

Tramos	COMPROBACIONES DE RESISTENCIA (CTE DB SE-A) - TEMPERATURA AMBIENTE												Estado
	$\bar{\lambda}$	λ_w	N_{Ed}	N_{Ed}	M_V	M_2	V_Z	V_V	$M_V V_Z$	$M_2 V_V$	$N M_V M_2$	$N M_V M_2 V_V V_Z$	
E1 - E2	N.P. ⁽¹⁾	$\lambda_w \leq \lambda_{w,máx}$ Cumple	$N_{Ed} = 0.00$ N.P. ⁽²⁾	$N_{Ed} = 0.00$ N.P. ⁽³⁾	x: 2.82 m $\eta = 40.8$	$M_{Ed} = 0.00$ N.P. ⁽⁴⁾	x: 2.82 m $\eta = 16.0$	$V_{Ed} = 0.00$ N.P. ⁽⁵⁾	$\eta < 0.1$	N.P. ⁽⁶⁾	N.P. ⁽⁷⁾	N.P. ⁽⁸⁾	CUMPLE $\eta = 40.8$
E2 - E3	N.P. ⁽¹⁾	$\lambda_w \leq \lambda_{w,máx}$ Cumple	$N_{Ed} = 0.00$ N.P. ⁽²⁾	$N_{Ed} = 0.00$ N.P. ⁽³⁾	x: 4.08 m $\eta = 58.6$	$M_{Ed} = 0.00$ N.P. ⁽⁴⁾	x: 7.945 m $\eta = 49.1$	$V_{Ed} = 0.00$ N.P. ⁽⁵⁾	$\eta < 0.1$	N.P. ⁽⁶⁾	N.P. ⁽⁷⁾	N.P. ⁽⁸⁾	CUMPLE $\eta = 58.6$
E3 - E4	N.P. ⁽¹⁾	$\lambda_w \leq \lambda_{w,máx}$ Cumple	$N_{Ed} = 0.00$ N.P. ⁽²⁾	$N_{Ed} = 0.00$ N.P. ⁽³⁾	x: 0 m $\eta = 43.9$	$M_{Ed} = 0.00$ N.P. ⁽⁴⁾	x: 0 m $\eta = 7.5$	$V_{Ed} = 0.00$ N.P. ⁽⁵⁾	$\eta < 0.1$	N.P. ⁽⁶⁾	N.P. ⁽⁷⁾	N.P. ⁽⁸⁾	CUMPLE $\eta = 43.9$
E4 - E5	N.P. ⁽¹⁾	x: 0.11 m $\lambda_w \leq \lambda_{w,máx}$ Cumple	$N_{Ed} = 0.00$ N.P. ⁽²⁾	$N_{Ed} = 0.00$ N.P. ⁽³⁾	x: 6.335 m $\eta = 82.4$	$M_{Ed} = 0.00$ N.P. ⁽⁴⁾	x: 6.335 m $\eta = 36.9$	$V_{Ed} = 0.00$ N.P. ⁽⁵⁾	x: 0.11 m $\eta < 0.1$	N.P. ⁽⁶⁾	N.P. ⁽⁷⁾	N.P. ⁽⁸⁾	CUMPLE $\eta = 82.4$
E5 - E6	N.P. ⁽¹⁾	$\lambda_w \leq \lambda_{w,máx}$ Cumple	$N_{Ed} = 0.00$ N.P. ⁽²⁾	$N_{Ed} = 0.00$ N.P. ⁽³⁾	x: 0 m $\eta = 91.1$	$M_{Ed} = 0.00$ N.P. ⁽⁴⁾	x: 0 m $\eta = 37.5$	$V_{Ed} = 0.00$ N.P. ⁽⁵⁾	$\eta < 0.1$	N.P. ⁽⁶⁾	N.P. ⁽⁷⁾	N.P. ⁽⁸⁾	CUMPLE $\eta = 91.1$
B21 - B19	N.P. ⁽¹⁾	$\lambda_w \leq \lambda_{w,máx}$ Cumple	$N_{Ed} = 0.00$ N.P. ⁽²⁾	$N_{Ed} = 0.00$ N.P. ⁽³⁾	x: 0.38 m $\eta = 0.3$	$M_{Ed} = 0.00$ N.P. ⁽⁴⁾	x: 0.76 m $\eta = 0.5$	$V_{Ed} = 0.00$ N.P. ⁽⁵⁾	$\eta < 0.1$	N.P. ⁽⁶⁾	N.P. ⁽⁷⁾	N.P. ⁽⁸⁾	CUMPLE $\eta = 0.5$
B1 - B20	N.P. ⁽¹⁾	x: 0.228 m $\lambda_w \leq \lambda_{w,máx}$ Cumple	$N_{Ed} = 0.00$ N.P. ⁽²⁾	$N_{Ed} = 0.00$ N.P. ⁽³⁾	x: 0.79 m $\eta = 6.2$	$M_{Ed} = 0.00$ N.P. ⁽⁴⁾	x: 0 m $\eta = 5.0$	$V_{Ed} = 0.00$ N.P. ⁽⁵⁾	x: 0.228 m $\eta < 0.1$	N.P. ⁽⁶⁾	N.P. ⁽⁷⁾	N.P. ⁽⁸⁾	CUMPLE $\eta = 6.2$
B20 - B2	N.P. ⁽¹⁾	$\lambda_w \leq \lambda_{w,máx}$ Cumple	$N_{Ed} = 0.00$ N.P. ⁽²⁾	$N_{Ed} = 0.00$ N.P. ⁽³⁾	x: 5.95 m $\eta = 15.2$	$M_{Ed} = 0.00$ N.P. ⁽⁴⁾	x: 5.95 m $\eta = 6.7$	$V_{Ed} = 0.00$ N.P. ⁽⁵⁾	$\eta < 0.1$	N.P. ⁽⁶⁾	N.P. ⁽⁷⁾	N.P. ⁽⁸⁾	CUMPLE $\eta = 15.2$
B2 - B3	N.P. ⁽¹⁾	x: 0 m $\lambda_w \leq \lambda_{w,máx}$ Cumple	$N_{Ed} = 0.00$ N.P. ⁽²⁾	$N_{Ed} = 0.00$ N.P. ⁽³⁾	x: 0 m $\eta = 16.0$	$M_{Ed} = 0.00$ N.P. ⁽⁴⁾	x: 0 m $\eta = 5.1$	$V_{Ed} = 0.00$ N.P. ⁽⁵⁾	x: 0 m $\eta < 0.1$	N.P. ⁽⁶⁾	N.P. ⁽⁷⁾	N.P. ⁽⁸⁾	CUMPLE $\eta = 16.0$
B4 - B5	N.P. ⁽¹⁾	x: 0.115 m $\lambda_w \leq \lambda_{w,máx}$ Cumple	$N_{Ed} = 0.00$ N.P. ⁽²⁾	$N_{Ed} = 0.00$ N.P. ⁽³⁾	x: 6.345 m $\eta = 67.8$	$M_{Ed} = 0.00$ N.P. ⁽⁴⁾	x: 6.345 m $\eta = 31.0$	$V_{Ed} = 0.00$ N.P. ⁽⁵⁾	x: 0.115 m $\eta < 0.1$	N.P. ⁽⁶⁾	N.P. ⁽⁷⁾	N.P. ⁽⁸⁾	CUMPLE $\eta = 67.8$
B5 - B6	N.P. ⁽¹⁾	$\lambda_w \leq \lambda_{w,máx}$ Cumple	$N_{Ed} = 0.00$ N.P. ⁽²⁾	$N_{Ed} = 0.00$ N.P. ⁽³⁾	x: 0 m $\eta = 82.0$	$M_{Ed} = 0.00$ N.P. ⁽⁴⁾	x: 0 m $\eta = 32.4$	$V_{Ed} = 0.00$ N.P. ⁽⁵⁾	$\eta < 0.1$	N.P. ⁽⁶⁾	N.P. ⁽⁷⁾	N.P. ⁽⁸⁾	CUMPLE $\eta = 82.0$
A1 - A2	N.P. ⁽¹⁾	x: 0.349 m $\lambda_w \leq \lambda_{w,máx}$ Cumple	$N_{Ed} = 0.00$ N.P. ⁽²⁾	$N_{Ed} = 0.00$ N.P. ⁽³⁾	x: 3.485 m $\eta = 34.6$	$M_{Ed} = 0.00$ N.P. ⁽⁴⁾	x: 0 m $\eta = 5.7$	$V_{Ed} = 0.00$ N.P. ⁽⁵⁾	x: 0.349 m $\eta < 0.1$	N.P. ⁽⁶⁾	N.P. ⁽⁷⁾	N.P. ⁽⁸⁾	CUMPLE $\eta = 34.6$
A2 - A3	N.P. ⁽¹⁾	x: 0.32 m $\lambda_w \leq \lambda_{w,máx}$ Cumple	$N_{Ed} = 0.00$ N.P. ⁽²⁾	$N_{Ed} = 0.00$ N.P. ⁽³⁾	x: 1.6 m $\eta = 5.7$	$M_{Ed} = 0.00$ N.P. ⁽⁴⁾	x: 0 m $\eta = 2.6$	$V_{Ed} = 0.00$ N.P. ⁽⁵⁾	x: 0.32 m $\eta < 0.1$	N.P. ⁽⁶⁾	N.P. ⁽⁷⁾	N.P. ⁽⁸⁾	CUMPLE $\eta = 5.7$
A3 - A4	N.P. ⁽¹⁾	x: 0.349 m $\lambda_w \leq \lambda_{w,máx}$ Cumple	$N_{Ed} = 0.00$ N.P. ⁽²⁾	$N_{Ed} = 0.00$ N.P. ⁽³⁾	x: 3.485 m $\eta = 34.6$	$M_{Ed} = 0.00$ N.P. ⁽⁴⁾	x: 0 m $\eta = 5.7$	$V_{Ed} = 0.00$ N.P. ⁽⁵⁾	x: 0.349 m $\eta < 0.1$	N.P. ⁽⁶⁾	N.P. ⁽⁷⁾	N.P. ⁽⁸⁾	CUMPLE $\eta = 34.6$
B21 - B1	N.P. ⁽¹⁾	$\lambda_w \leq \lambda_{w,máx}$ Cumple	$N_{Ed} = 0.00$ N.P. ⁽²⁾	$N_{Ed} = 0.00$ N.P. ⁽³⁾	x: 1.849 m $\eta = 71.0$	$M_{Ed} = 0.00$ N.P. ⁽⁴⁾	x: 1.849 m $\eta = 34.5$	$V_{Ed} = 0.00$ N.P. ⁽⁵⁾	$\eta < 0.1$	N.P. ⁽⁶⁾	N.P. ⁽⁷⁾	N.P. ⁽⁸⁾	CUMPLE $\eta = 71.0$
B1 - A1	N.P. ⁽¹⁾	$\lambda_w \leq \lambda_{w,máx}$ Cumple	$N_{Ed} = 0.00$ N.P. ⁽²⁾	$N_{Ed} = 0.00$ N.P. ⁽³⁾	x: 0 m $\eta = 80.3$	$M_{Ed} = 0.00$ N.P. ⁽⁴⁾	x: 0 m $\eta = 29.8$	$V_{Ed} = 0.00$ N.P. ⁽⁵⁾	$\eta < 0.1$	N.P. ⁽⁶⁾	N.P. ⁽⁷⁾	N.P. ⁽⁸⁾	CUMPLE $\eta = 80.3$
B16 - B20	N.P. ⁽¹⁾	$\lambda_w \leq \lambda_{w,máx}$ Cumple	$N_{Ed} = 0.00$ N.P. ⁽²⁾	$N_{Ed} = 0.00$ N.P. ⁽³⁾	x: 2.545 m $\eta = 69.5$	$M_{Ed} = 0.00$ N.P. ⁽⁴⁾	x: 0 m $\eta = 24.5$	$V_{Ed} = 0.00$ N.P. ⁽⁵⁾	$\eta < 0.1$	N.P. ⁽⁶⁾	N.P. ⁽⁷⁾	N.P. ⁽⁸⁾	CUMPLE $\eta = 69.5$
B13 - B2	N.P. ⁽¹⁾	$\lambda_w \leq \lambda_{w,máx}$ Cumple	$N_{Ed} = 0.00$ N.P. ⁽²⁾	$N_{Ed} = 0.00$ N.P. ⁽³⁾	x: 6.11 m $\eta = 99.6$	$M_{Ed} = 0.00$ N.P. ⁽⁴⁾	x: 6.11 m $\eta = 49.3$	$V_{Ed} = 0.00$ N.P. ⁽⁵⁾	$\eta < 0.1$	N.P. ⁽⁶⁾	N.P. ⁽⁷⁾	N.P. ⁽⁸⁾	CUMPLE $\eta = 99.6$
B2 - A2	N.P. ⁽¹⁾	$\lambda_w \leq \lambda_{w,máx}$ Cumple	$N_{Ed} = 0.00$ N.P. ⁽²⁾	$N_{Ed} = 0.00$ N.P. ⁽³⁾	x: 0 m $\eta = 89.1$	$M_{Ed} = 0.00$ N.P. ⁽⁴⁾	x: 0 m $\eta = 38.7$	$V_{Ed} = 0.00$ N.P. ⁽⁵⁾	$\eta < 0.1$	N.P. ⁽⁶⁾	N.P. ⁽⁷⁾	N.P. ⁽⁸⁾	CUMPLE $\eta = 89.1$
B14 - B3	N.P. ⁽¹⁾	$\lambda_w \leq \lambda_{w,máx}$ Cumple	$N_{Ed} = 0.00$ N.P. ⁽²⁾	$N_{Ed} = 0.00$ N.P. ⁽³⁾	x: 6.11 m $\eta = 100.0$	$M_{Ed} = 0.00$ N.P. ⁽⁴⁾	x: 6.11 m $\eta = 48.0$	$V_{Ed} = 0.00$ N.P. ⁽⁵⁾	$\eta < 0.1$	N.P. ⁽⁶⁾	N.P. ⁽⁷⁾	N.P. ⁽⁸⁾	CUMPLE $\eta = 100.0$
B3 - A3	N.P. ⁽¹⁾	$\lambda_w \leq \lambda_{w,máx}$ Cumple	$N_{Ed} = 0.00$ N.P. ⁽²⁾	$N_{Ed} = 0.00$ N.P. ⁽³⁾	x: 0 m $\eta = 86.3$	$M_{Ed} = 0.00$ N.P. ⁽⁴⁾	x: 0 m $\eta = 39.9$	$V_{Ed} = 0.00$ N.P. ⁽⁵⁾	$\eta < 0.1$	N.P. ⁽⁶⁾	N.P. ⁽⁷⁾	N.P. ⁽⁸⁾	CUMPLE $\eta = 86.3$
B24 - E4	N.P. ⁽¹⁾	$\lambda_w \leq \lambda_{w,máx}$ Cumple	$N_{Ed} = 0.00$ N.P. ⁽²⁾	$N_{Ed} = 0.00$ N.P. ⁽³⁾	x: 0.317 m $\eta = 0.2$	$M_{Ed} = 0.00$ N.P. ⁽⁴⁾	x: 0.317 m $\eta = 0.5$	$V_{Ed} = 0.00$ N.P. ⁽⁵⁾	$\eta < 0.1$	N.P. ⁽⁶⁾	N.P. ⁽⁷⁾	N.P. ⁽⁸⁾	CUMPLE $\eta = 0.5$
E4 - B4	N.P. ⁽¹⁾	$\lambda_w \leq \lambda_{w,máx}$ Cumple	$N_{Ed} = 0.00$ N.P. ⁽²⁾	$N_{Ed} = 0.00$ N.P. ⁽³⁾	x: 6.14 m $\eta = 59.6$	$M_{Ed} = 0.00$ N.P. ⁽⁴⁾	x: 6.14 m $\eta = 29.7$	$V_{Ed} = 0.00$ N.P. ⁽⁵⁾	$\eta < 0.1$	N.P. ⁽⁶⁾	N.P. ⁽⁷⁾	N.P. ⁽⁸⁾	CUMPLE $\eta = 59.6$
B4 - A4	N.P. ⁽¹⁾	$\lambda_w \leq \lambda_{w,máx}$ Cumple	$N_{Ed} = 0.00$ N.P. ⁽²⁾	$N_{Ed} = 0.00$ N.P. ⁽³⁾	x: 0 m $\eta = 56.0$	$M_{Ed} = 0.00$ N.P. ⁽⁴⁾	x: 0 m $\eta = 26.6$	$V_{Ed} = 0.00$ N.P. ⁽⁵⁾	$\eta < 0.1$	N.P. ⁽⁶⁾	N.P. ⁽⁷⁾	N.P. ⁽⁸⁾	CUMPLE $\eta = 56.0$
B22 - E6	N.P. ⁽¹⁾	$\lambda_w \leq \lambda_{w,máx}$ Cumple	$N_{Ed} = 0.00$ N.P. ⁽²⁾	$N_{Ed} = 0.00$ N.P. ⁽³⁾	x: 0.33 m $\eta = 0.5$	$M_{Ed} = 0.00$ N.P. ⁽⁴⁾	x: 0.33 m $\eta = 0.8$	$V_{Ed} = 0.00$ N.P. ⁽⁵⁾	$\eta < 0.1$	N.P. ⁽⁶⁾	N.P. ⁽⁷⁾	N.P. ⁽⁸⁾	CUMPLE $\eta = 1.4$
E6 - B6	N.P. ⁽¹⁾	$\lambda_w \leq \lambda_{w,máx}$ Cumple	$N_{Ed} = 0.00$ N.P. ⁽²⁾	$N_{Ed} = 0.00$ N.P. ⁽³⁾	x: 6.13 m $\eta = 16.3$	$M_{Ed} = 0.00$ N.P. ⁽⁴⁾	x: 6.13 m $\eta = 5.6$	$V_{Ed} = 0.00$ N.P. ⁽⁵⁾	$\eta < 0.1$	N.P. ⁽⁶⁾	N.P. ⁽⁷⁾	N.P. ⁽⁸⁾	CUMPLE $\eta = 16.3$

Notación: $\bar{\lambda}$: Limitación de esbeltez λ_w : Abolladura del alma inducida por el ala comprimida N_E : Resistencia a tracción N_C : Resistencia a compresión M_V : Resistencia a flexión eje Y M_2 : Resistencia a flexión eje Z V_Z : Resistencia a corte Z V_V : Resistencia a corte Y $M_V V_Z$: Resistencia a momento flector Y y fuerza cortante Z combinados $M_2 V_V$: Resistencia a momento flector Z y fuerza cortante Y combinados $N M_V M_2$: Resistencia a flexión y axil combinados $N M_V M_2 V_V V_Z$: Resistencia a flexión, axil y cortante combinados N_C : Resistencia a torsión $M_V V_Z$: Resistencia a cortante Z y momento torsor combinados $M_2 V_V$: Resistencia a cortante Y y momento torsor combinados x: Distancia al origen de la barra η : Coeficiente de aprovechamiento (%) N.P.: No procede													
---	--	--	--	--	--	--	--	--	--	--	--	--	--

Comprobaciones que no proceden (N.P.): (1) La comprobación no procede, ya que no hay axil de compresión ni de tracción. (2) La comprobación no procede, ya que no hay axil de tracción. (3) La comprobación no procede, ya que no hay axil de compresión. (4) La comprobación no procede, ya que no hay momento flector. (5) La comprobación no procede, ya que no hay esfuerzo cortante. (6) No hay interacción entre momento flector y esfuerzo cortante para ninguna combinación. Por lo tanto, la comprobación no procede. (7) No hay interacción entre axil y momento flector ni entre momentos flectores en ambas direcciones para ninguna combinación. Por lo tanto, la comprobación no procede. (8) No hay interacción entre momento flector, axil y cortante para ninguna combinación. Por lo tanto, la comprobación no procede. (9) No hay interacción entre momento torsor y esfuerzo cortante para ninguna combinación. Por lo tanto, la comprobación no procede. (10) La comprobación no procede, ya que no hay momento torsor.													
--	--	--	--	--	--	--	--	--	--	--	--	--	--

Tramos	COMPROBACIONES DE RESISTENCIA (CTE DB SE-A) - SITUACIÓN DE INCENDIO												Estado
	N_t	N_c	M_V	M_2	V_Z	V_V	$M_V V_Z$	$M_2 V_V$	$N M_V M_2$	$N M_V M_2 V_V V_Z$	M_t	$M_t V_Z$	
E1 - E2	$N_{Ed} = 0.00$ N.P. ⁽¹⁾	$N_{Ed} = 0.00$ N.P. ⁽²⁾	x: 2.82 m $\eta = 48.9$	$M_{Ed} = 0.00$ N.P. ⁽³⁾	x: 2.82 m $\eta = 16.7$	$V_{Ed} = 0.00$ N.P. ⁽⁴⁾	$\eta < 0.1$	N.P. ⁽⁵⁾	N.P. ⁽⁶⁾	N.P. ⁽⁷⁾	$\eta = 0.3$	x: 2.82 m $\eta = 16.7$	CUMPLE $\eta = 48.9$
E2 - E3	$N_{Ed} = 0.00$ N.P. ⁽¹⁾	$N_{Ed} = 0.00$ N.P. ⁽²⁾	x: 4.08 m $\eta = 79.0$	$M_{Ed} = 0.00$ N.P. ⁽³⁾	x: 7.945 m $\eta = 46.7$	$V_{Ed} = 0.00$ N.P. ⁽⁴⁾	$\eta < 0.1$	N.P. ⁽⁵⁾	N.P. ⁽⁶⁾	N.P. ⁽⁷⁾	$\eta = 0.2$	x: 7.945 m $\eta = 46.7$	CUMPLE $\eta = 79.0$
E3 - E4	$N_{Ed} = 0.00$ N.P. ⁽¹⁾	$N_{Ed} = 0.00$ N.P. ⁽²⁾	x: 0 m $\eta = 64.4$	$M_{Ed} = 0.00$ N.P. ⁽³⁾	x: 0 m $\eta = 8.0$	$V_{Ed} = 0.00$ N.P. ⁽⁴⁾	$\eta < 0.1$	N.P. ⁽⁵⁾	N.P. ⁽⁶⁾	N.P. ⁽⁷⁾	$\eta = 0.8$	x: 0 m $\eta = 8.1$	CUMPLE $\eta = 64.4$
E4 - E5	$N_{Ed} = 0.00$ N.P. ⁽¹⁾	$N_{Ed} = 0.00$ N.P. ⁽²⁾	x: 6.335 m $\eta = 74.9$	$M_{Ed} = 0.00$ N.P. ⁽³⁾	x: 6.335 m $\eta = 25.0$	$V_{Ed} = 0.00$ N.P. ⁽⁴⁾	x: 0.11 m $\eta < 0.1$	N.P. ⁽⁵⁾	N.P. ⁽⁶⁾	N.P. ⁽⁷⁾	x: 6.221 m $\eta = 7.9$	x: 6.335 m $\eta = 25.8$	CUMPLE $\eta = 74.9$



PROYECTO BÁSICO DE EJECUCIÓN DE AMPLIACIÓN DEL CEIP VALDEBEBAS, 4 AULAS DE INFANTIL, 4 AULAS DE PRIMARIA, 3 AULAS ESPECIFICAS, BIBLIOTECA, 2 AULAS DE DESDOBLE, GIMNASIO Y PISTA DEPORTIVA

I. MEMORIA

E5 - E6	$N_{Ed} = 0.00$ N.P. ⁽¹⁾	$N_{Ed} = 0.00$ N.P. ⁽²⁾	x: 0 m $\eta = 84.3$	$M_{Ed} = 0.00$ N.P. ⁽³⁾	x: 0 m $\eta = 25.4$	$V_{Ed} = 0.00$ N.P. ⁽⁴⁾	$\eta < 0.1$	N.P. ⁽⁵⁾	N.P. ⁽⁶⁾	N.P. ⁽⁷⁾	x: 0 m $\eta = 12.4$	x: 0 m $\eta = 26.7$	N.P. ⁽⁸⁾	CUMPLE $\eta = 84.3$
B21 - B19	$N_{Ed} = 0.00$ N.P. ⁽¹⁾	$N_{Ed} = 0.00$ N.P. ⁽²⁾	x: 0.38 m $\eta = 0.3$	$M_{Ed} = 0.00$ N.P. ⁽³⁾	x: 0.76 m $\eta = 0.5$	$V_{Ed} = 0.00$ N.P. ⁽⁴⁾	$\eta < 0.1$	N.P. ⁽⁵⁾	N.P. ⁽⁶⁾	N.P. ⁽⁷⁾	$M_{Ed} = 0.00$ N.P. ⁽⁹⁾	N.P. ⁽⁸⁾	N.P. ⁽⁸⁾	CUMPLE $\eta = 0.5$
B1 - B20	$N_{Ed} = 0.00$ N.P. ⁽¹⁾	$N_{Ed} = 0.00$ N.P. ⁽²⁾	x: 0.79 m $\eta = 6.5$	$M_{Ed} = 0.00$ N.P. ⁽³⁾	x: 0 m $\eta = 5.2$	$V_{Ed} = 0.00$ N.P. ⁽⁴⁾	x: 0.228 m $\eta < 0.1$	N.P. ⁽⁵⁾	N.P. ⁽⁶⁾	N.P. ⁽⁷⁾	$M_{Ed} = 0.00$ N.P. ⁽⁹⁾	N.P. ⁽⁸⁾	N.P. ⁽⁸⁾	CUMPLE $\eta = 6.5$
B20 - B2	$N_{Ed} = 0.00$ N.P. ⁽¹⁾	$N_{Ed} = 0.00$ N.P. ⁽²⁾	x: 5.95 m $\eta = 22.8$	$M_{Ed} = 0.00$ N.P. ⁽³⁾	x: 5.95 m $\eta = 7.3$	$V_{Ed} = 0.00$ N.P. ⁽⁴⁾	$\eta < 0.1$	N.P. ⁽⁵⁾	N.P. ⁽⁶⁾	N.P. ⁽⁷⁾	$\eta = 0.8$	x: 5.95 m $\eta = 7.3$	N.P. ⁽⁸⁾	CUMPLE $\eta = 22.8$
B2 - B3	$N_{Ed} = 0.00$ N.P. ⁽¹⁾	$N_{Ed} = 0.00$ N.P. ⁽²⁾	x: 0 m $\eta = 20.3$	$M_{Ed} = 0.00$ N.P. ⁽³⁾	x: 0 m $\eta = 5.6$	$V_{Ed} = 0.00$ N.P. ⁽⁴⁾	x: 0 m $\eta < 0.1$	N.P. ⁽⁵⁾	N.P. ⁽⁶⁾	N.P. ⁽⁷⁾	$M_{Ed} = 0.00$ N.P. ⁽⁹⁾	N.P. ⁽⁸⁾	N.P. ⁽⁸⁾	CUMPLE $\eta = 20.3$
B4 - B5	$N_{Ed} = 0.00$ N.P. ⁽¹⁾	$N_{Ed} = 0.00$ N.P. ⁽²⁾	x: 6.345 m $\eta = 86.2$	$M_{Ed} = 0.00$ N.P. ⁽³⁾	x: 6.345 m $\eta = 29.3$	$V_{Ed} = 0.00$ N.P. ⁽⁴⁾	x: 0.115 m $\eta < 0.1$	N.P. ⁽⁵⁾	N.P. ⁽⁶⁾	N.P. ⁽⁷⁾	x: 6.231 m $\eta = 5.8$	x: 6.345 m $\eta = 30.1$	N.P. ⁽⁸⁾	CUMPLE $\eta = 86.2$
B5 - B6	$N_{Ed} = 0.00$ N.P. ⁽¹⁾	$N_{Ed} = 0.00$ N.P. ⁽²⁾	x: 0 m $\eta = 75.9$	$M_{Ed} = 0.00$ N.P. ⁽³⁾	x: 0 m $\eta = 21.9$	$V_{Ed} = 0.00$ N.P. ⁽⁴⁾	$\eta < 0.1$	N.P. ⁽⁵⁾	N.P. ⁽⁶⁾	N.P. ⁽⁷⁾	x: 0 m $\eta = 6.6$	x: 0 m $\eta = 22.5$	N.P. ⁽⁸⁾	CUMPLE $\eta = 75.9$
A1 - A2	$N_{Ed} = 0.00$ N.P. ⁽¹⁾	$N_{Ed} = 0.00$ N.P. ⁽²⁾	x: 3.485 m $\eta = 83.6$	$M_{Ed} = 0.00$ N.P. ⁽³⁾	x: 0 m $\eta = 8.6$	$V_{Ed} = 0.00$ N.P. ⁽⁴⁾	x: 0.349 m $\eta < 0.1$	N.P. ⁽⁵⁾	N.P. ⁽⁶⁾	N.P. ⁽⁷⁾	$M_{Ed} = 0.00$ N.P. ⁽⁹⁾	N.P. ⁽⁸⁾	N.P. ⁽⁸⁾	CUMPLE $\eta = 83.6$
A2 - A3	$N_{Ed} = 0.00$ N.P. ⁽¹⁾	$N_{Ed} = 0.00$ N.P. ⁽²⁾	x: 1.6 m $\eta = 11.2$	$M_{Ed} = 0.00$ N.P. ⁽³⁾	x: 0 m $\eta = 3.9$	$V_{Ed} = 0.00$ N.P. ⁽⁴⁾	x: 0.32 m $\eta < 0.1$	N.P. ⁽⁵⁾	N.P. ⁽⁶⁾	N.P. ⁽⁷⁾	$M_{Ed} = 0.00$ N.P. ⁽⁹⁾	N.P. ⁽⁸⁾	N.P. ⁽⁸⁾	CUMPLE $\eta = 11.2$
A3 - A4	$N_{Ed} = 0.00$ N.P. ⁽¹⁾	$N_{Ed} = 0.00$ N.P. ⁽²⁾	x: 3.485 m $\eta = 83.5$	$M_{Ed} = 0.00$ N.P. ⁽³⁾	x: 0 m $\eta = 8.6$	$V_{Ed} = 0.00$ N.P. ⁽⁴⁾	x: 0.349 m $\eta < 0.1$	N.P. ⁽⁵⁾	N.P. ⁽⁶⁾	N.P. ⁽⁷⁾	$M_{Ed} = 0.00$ N.P. ⁽⁹⁾	N.P. ⁽⁸⁾	N.P. ⁽⁸⁾	CUMPLE $\eta = 83.5$
B21 - B1	$N_{Ed} = 0.00$ N.P. ⁽¹⁾	$N_{Ed} = 0.00$ N.P. ⁽²⁾	x: 1.849 m $\eta = 90.8$	$M_{Ed} = 0.00$ N.P. ⁽³⁾	x: 1.849 m $\eta = 36.0$	$V_{Ed} = 0.00$ N.P. ⁽⁴⁾	$\eta < 0.1$	N.P. ⁽⁵⁾	N.P. ⁽⁶⁾	N.P. ⁽⁷⁾	x: 1.636 m $\eta = 26.1$	x: 1.849 m $\eta = 40.4$	N.P. ⁽⁸⁾	CUMPLE $\eta = 90.8$
B1 - A1	$N_{Ed} = 0.00$ N.P. ⁽¹⁾	$N_{Ed} = 0.00$ N.P. ⁽²⁾	x: 0 m $\eta = 72.2$	$M_{Ed} = 0.00$ N.P. ⁽³⁾	x: 0 m $\eta = 20.9$	$V_{Ed} = 0.00$ N.P. ⁽⁴⁾	$\eta < 0.1$	N.P. ⁽⁵⁾	N.P. ⁽⁶⁾	N.P. ⁽⁷⁾	x: 4.606 m $\eta = 15.3$	x: 0 m $\eta = 21.4$	N.P. ⁽⁸⁾	CUMPLE $\eta = 72.2$
B16 - B20	$N_{Ed} = 0.00$ N.P. ⁽¹⁾	$N_{Ed} = 0.00$ N.P. ⁽²⁾	x: 2.545 m $\eta = 99.2$	$M_{Ed} = 0.00$ N.P. ⁽³⁾	x: 0 m $\eta = 25.3$	$V_{Ed} = 0.00$ N.P. ⁽⁴⁾	$\eta < 0.1$	N.P. ⁽⁵⁾	N.P. ⁽⁶⁾	N.P. ⁽⁷⁾	x: 4.098 m $\eta = 10.3$	x: 0.215 m $\eta = 21.0$	N.P. ⁽⁸⁾	CUMPLE $\eta = 99.2$
B13 - B2	$N_{Ed} = 0.00$ N.P. ⁽¹⁾	$N_{Ed} = 0.00$ N.P. ⁽²⁾	x: 6.11 m $\eta = 90.5$	$M_{Ed} = 0.00$ N.P. ⁽³⁾	x: 6.11 m $\eta = 33.3$	$V_{Ed} = 0.00$ N.P. ⁽⁴⁾	$\eta < 0.1$	N.P. ⁽⁵⁾	N.P. ⁽⁶⁾	N.P. ⁽⁷⁾	x: 5.908 m $\eta = 1.2$	x: 6.11 m $\eta = 33.5$	N.P. ⁽⁸⁾	CUMPLE $\eta = 90.5$
B2 - A2	$N_{Ed} = 0.00$ N.P. ⁽¹⁾	$N_{Ed} = 0.00$ N.P. ⁽²⁾	x: 0 m $\eta = 75.0$	$M_{Ed} = 0.00$ N.P. ⁽³⁾	x: 0 m $\eta = 26.2$	$V_{Ed} = 0.00$ N.P. ⁽⁴⁾	$\eta < 0.1$	N.P. ⁽⁵⁾	N.P. ⁽⁶⁾	N.P. ⁽⁷⁾	x: 4.596 m $\eta = 8.4$	x: 0 m $\eta = 26.3$	N.P. ⁽⁸⁾	CUMPLE $\eta = 75.0$
B14 - B3	$N_{Ed} = 0.00$ N.P. ⁽¹⁾	$N_{Ed} = 0.00$ N.P. ⁽²⁾	x: 6.11 m $\eta = 89.9$	$M_{Ed} = 0.00$ N.P. ⁽³⁾	x: 6.11 m $\eta = 32.4$	$V_{Ed} = 0.00$ N.P. ⁽⁴⁾	$\eta < 0.1$	N.P. ⁽⁵⁾	N.P. ⁽⁶⁾	N.P. ⁽⁷⁾	x: 5.908 m $\eta = 7.0$	x: 6.11 m $\eta = 33.3$	N.P. ⁽⁸⁾	CUMPLE $\eta = 89.9$
B3 - A3	$N_{Ed} = 0.00$ N.P. ⁽¹⁾	$N_{Ed} = 0.00$ N.P. ⁽²⁾	x: 0 m $\eta = 72.7$	$M_{Ed} = 0.00$ N.P. ⁽³⁾	x: 0 m $\eta = 26.9$	$V_{Ed} = 0.00$ N.P. ⁽⁴⁾	$\eta < 0.1$	N.P. ⁽⁵⁾	N.P. ⁽⁶⁾	N.P. ⁽⁷⁾	x: 0 m $\eta = 16.1$	x: 0 m $\eta = 28.9$	N.P. ⁽⁸⁾	CUMPLE $\eta = 72.7$
B24 - E4	$N_{Ed} = 0.00$ N.P. ⁽¹⁾	$N_{Ed} = 0.00$ N.P. ⁽²⁾	x: 0.317 m $\eta = 0.6$	$M_{Ed} = 0.00$ N.P. ⁽³⁾	x: 0.317 m $\eta = 1.6$	$V_{Ed} = 0.00$ N.P. ⁽⁴⁾	$\eta < 0.1$	N.P. ⁽⁵⁾	N.P. ⁽⁶⁾	N.P. ⁽⁷⁾	$\eta = 0.6$	x: 0.317 m $\eta = 1.6$	N.P. ⁽⁸⁾	CUMPLE $\eta = 1.6$
E4 - B4	$N_{Ed} = 0.00$ N.P. ⁽¹⁾	$N_{Ed} = 0.00$ N.P. ⁽²⁾	x: 6.14 m $\eta = 80.7$	$M_{Ed} = 0.00$ N.P. ⁽³⁾	x: 6.14 m $\eta = 29.6$	$V_{Ed} = 0.00$ N.P. ⁽⁴⁾	$\eta < 0.1$	N.P. ⁽⁵⁾	N.P. ⁽⁶⁾	N.P. ⁽⁷⁾	x: 0 m $\eta = 11.4$	x: 6.14 m $\eta = 30.2$	N.P. ⁽⁸⁾	CUMPLE $\eta = 80.7$
B4 - A4	$N_{Ed} = 0.00$ N.P. ⁽¹⁾	$N_{Ed} = 0.00$ N.P. ⁽²⁾	x: 0 m $\eta = 70.8$	$M_{Ed} = 0.00$ N.P. ⁽³⁾	x: 0 m $\eta = 26.5$	$V_{Ed} = 0.00$ N.P. ⁽⁴⁾	$\eta < 0.1$	N.P. ⁽⁵⁾	N.P. ⁽⁶⁾	N.P. ⁽⁷⁾	x: 0 m $\eta = 7.3$	x: 0 m $\eta = 27.3$	N.P. ⁽⁸⁾	CUMPLE $\eta = 70.8$
B22 - E6	$N_{Ed} = 0.00$ N.P. ⁽¹⁾	$N_{Ed} = 0.00$ N.P. ⁽²⁾	x: 0.33 m $\eta = 0.7$	$M_{Ed} = 0.00$ N.P. ⁽³⁾	x: 0.33 m $\eta = 1.2$	$V_{Ed} = 0.00$ N.P. ⁽⁴⁾	$\eta < 0.1$	N.P. ⁽⁵⁾	N.P. ⁽⁶⁾	N.P. ⁽⁷⁾	$\eta = 2.0$	x: 0.33 m $\eta = 1.2$	N.P. ⁽⁸⁾	CUMPLE $\eta = 2.0$
E6 - B6	$N_{Ed} = 0.00$ N.P. ⁽¹⁾	$N_{Ed} = 0.00$ N.P. ⁽²⁾	x: 6.13 m $\eta = 38.1$	$M_{Ed} = 0.00$ N.P. ⁽³⁾	x: 6.13 m $\eta = 8.5$	$V_{Ed} = 0.00$ N.P. ⁽⁴⁾	$\eta < 0.1$	N.P. ⁽⁵⁾	N.P. ⁽⁶⁾	N.P. ⁽⁷⁾	$M_{Ed} = 0.00$ N.P. ⁽⁹⁾	N.P. ⁽⁸⁾	N.P. ⁽⁸⁾	CUMPLE $\eta = 38.1$
<p>Notación:</p> <p>N_x: Resistencia a tracción N_y: Resistencia a compresión M_y: Resistencia a flexión eje Y M_z: Resistencia a flexión eje Z V_z: Resistencia a corte Z V_y: Resistencia a corte Y $M_y V_z$: Resistencia a momento flector Y y fuerza cortante Z combinados $M_z V_y$: Resistencia a momento flector Z y fuerza cortante Y combinados $N M_y$: Resistencia a flexión y axil combinados $N M_z$: Resistencia a flexión, axil y cortante combinados $M_y V_z$: Resistencia a torsión $M_y V_z$: Resistencia a cortante Z y momento torsor combinados $M_z V_y$: Resistencia a cortante Y y momento torsor combinados x: Distancia al origen de la barra η: Coeficiente de aprovechamiento (%) N.P.: No procede</p>														
<p>Comprobaciones que no proceden (N.P.):</p> <p>⁽¹⁾ La comprobación no procede, ya que no hay axil de tracción. ⁽²⁾ La comprobación no procede, ya que no hay axil de compresión. ⁽³⁾ La comprobación no procede, ya que no hay momento flector. ⁽⁴⁾ La comprobación no procede, ya que no hay esfuerzo cortante. ⁽⁵⁾ No hay interacción entre momento flector y esfuerzo cortante para ninguna combinación. Por lo tanto, la comprobación no procede. ⁽⁶⁾ No hay interacción entre axil y momento flector ni entre momentos flectores en ambas direcciones para ninguna combinación. Por lo tanto, la comprobación no procede. ⁽⁷⁾ No hay interacción entre momento flector, axil y cortante para ninguna combinación. Por lo tanto, la comprobación no procede. ⁽⁸⁾ No hay interacción entre momento torsor y esfuerzo cortante para ninguna combinación. Por lo tanto, la comprobación no procede. ⁽⁹⁾ La comprobación no procede, ya que no hay momento torsor.</p>														



AM1 E.3.- JUSTIFICACION CALCULO MUROS CONTENCION

1.- NORMA Y MATERIALES

Norma: EHE-08 (España)

Hormigón: HA-25, $Y_c=1.5$

Acero de barras: B 500 S, $Y_s=1.15$

Tipo de ambiente: Clase IIa

Recubrimiento en el intradós del muro: 3.0 cm

Recubrimiento en el trasdós del muro: 3.0 cm

Recubrimiento superior de la cimentación: 5.0 cm

Recubrimiento inferior de la cimentación: 5.0 cm

Recubrimiento lateral de la cimentación: 7.0 cm

Tamaño máximo del árido: 30 mm

2.- ACCIONES

Empuje en el intradós: Pasivo

Empuje en el trasdós: Activo

3.- DATOS GENERALES

Separación de las juntas: < 5.00 m

Tipo de cimentación: Zapata corrida

4.- DESCRIPCIÓN DEL TERRENO

Porcentaje del rozamiento interno entre el terreno y el intradós del muro: 0 %

Porcentaje del rozamiento interno entre el terreno y el trasdós del muro: 0 %

Evacuación por drenaje: 100 %

Porcentaje de empuje pasivo: 50 %

Cota empuje pasivo: 1.20 m

Tensión admisible: 2.50 kp/cm²

Coefficiente de rozamiento terreno-cimiento: 0.60

ESTRATOS

Referencias	Cota superior	Descripción	Coefficientes de empuje
1 - Arena suelta	61.09 m	Densidad aparente: 1.80 kg/dm ³ Densidad sumergida: 1.00 kg/dm ³ Ángulo rozamiento interno: 30.00 grados Cohesión: 0.00 t/m ²	Activo trasdós: 0.33 Pasivo intradós: 3.00

RELLENO EN INTRADÓS

Referencias	Descripción	Coefficientes de empuje
Relleno	Densidad aparente: 2.00 kg/dm ³ Densidad sumergida: 1.10 kg/dm ³ Ángulo rozamiento interno: 38.00 grados Cohesión: 0.00 t/m ²	Activo trasdós: 0.24 Pasivo intradós: 4.20



E.3.1.- MURO CONTENCION C-1

5.- GEOMETRÍA

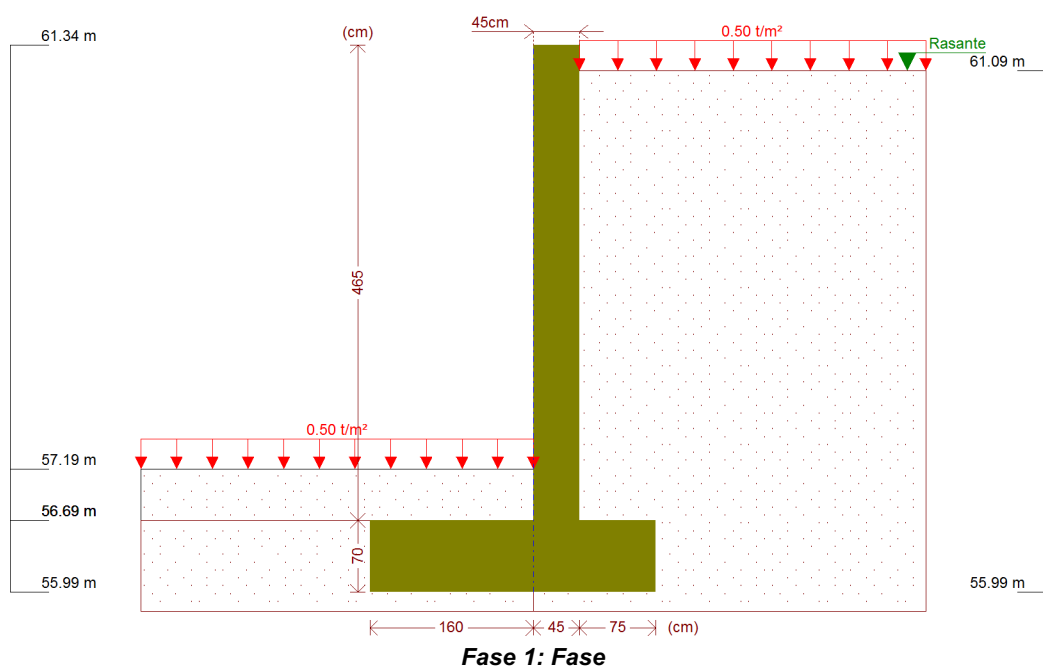
MURO

Altura: 4.65 m
Espesor superior: 45.0 cm
Espesor inferior: 45.0 cm

ZAPATA CORRIDA

Con puntera y talón
Canto: 70 cm
Vuelos intradós / trasdós: 160.0 / 75.0 cm
Hormigón de limpieza: 10 cm

6.- ESQUEMA DE LAS FASES



7.- CARGAS

CARGAS EN EL TRASDÓS

Tipo	Cota	Datos	Fase inicial	Fase final
Uniforme	En superficie	Valor: 0.5 t/m²	Fase	Fase

CARGAS EN EL INTRADÓS

Tipo	Cota	Datos	Fase inicial	Fase final
Uniforme	En superficie	Valor: 0.5 t/m²	Fase	Fase

8.- RESULTADOS DE LAS FASES

Esfuerzos sin mayorar.

FASE 1: FASE

CARGA PERMANENTE Y EMPUJE DE TIERRAS CON SOBRECARGAS

Cota (m)	Ley de axiles (t/m)	Ley de cortantes (t/m)	Ley de momento flector (t·m/m)	Ley de empujes (t/m²)	Presión hidrostática (t/m²)
61.34	0.00	0.00	0.00	0.00	0.00
60.89	0.51	0.05	0.00	0.29	0.00
60.43	1.02	0.24	0.07	0.56	0.00



Cota (m)	Ley de axiles (t/m)	Ley de cortantes (t/m)	Ley de momento flector (t·m/m)	Ley de empujes (t/m ²)	Presión hidrostática (t/m ²)
59.97	1.54	0.56	0.25	0.84	0.00
59.51	2.06	1.01	0.60	1.11	0.00
59.05	2.58	1.59	1.20	1.39	0.00
58.59	3.09	2.29	2.08	1.67	0.00
58.13	3.61	3.12	3.32	1.94	0.00
57.67	4.13	4.08	4.97	2.22	0.00
57.21	4.65	5.16	7.10	2.49	0.00
56.75	5.16	6.37	9.74	2.77	0.00
Máximos	5.23	6.54	10.13	2.81	0.00
	Cota: 56.69 m	Cota: 56.69 m	Cota: 56.69 m	Cota: 56.69 m	Cota: 61.34 m
Mínimos	0.00	0.00	0.00	0.00	0.00
	Cota: 61.34 m	Cota: 61.34 m	Cota: 61.34 m	Cota: 61.34 m	Cota: 61.34 m

CARGA PERMANENTE Y EMPUJE DE TIERRAS

Cota (m)	Ley de axiles (t/m)	Ley de cortantes (t/m)	Ley de momento flector (t·m/m)	Ley de empujes (t/m ²)	Presión hidrostática (t/m ²)
61.34	0.00	0.00	0.00	0.00	0.00
60.89	0.51	0.01	0.00	0.12	0.00
60.43	1.02	0.13	0.03	0.40	0.00
59.97	1.54	0.38	0.14	0.67	0.00
59.51	2.06	0.75	0.39	0.95	0.00
59.05	2.58	1.25	0.85	1.22	0.00
58.59	3.09	1.87	1.56	1.50	0.00
58.13	3.61	2.63	2.59	1.78	0.00
57.67	4.13	3.51	4.00	2.05	0.00
57.21	4.65	4.52	5.84	2.33	0.00
56.75	5.16	5.65	8.17	2.60	0.00
Máximos	5.23	5.81	8.52	2.64	0.00
	Cota: 56.69 m	Cota: 56.69 m	Cota: 56.69 m	Cota: 56.69 m	Cota: 61.34 m
Mínimos	0.00	0.00	0.00	0.00	0.00
	Cota: 61.34 m	Cota: 61.34 m	Cota: 61.34 m	Cota: 61.34 m	Cota: 61.34 m

9.- COMBINACIONES

HIPÓTESIS

1 - Carga permanente
2 - Empuje de tierras
3 - Sobrecarga

COMBINACIONES PARA ESTADOS LÍMITE ÚLTIMOS

Combinación	Hipótesis		
	1	2	3
1	1.00	1.00	
2	1.35	1.00	
3	1.00	1.50	
4	1.35	1.50	
5	1.00	1.00	1.50
6	1.35	1.00	1.50
7	1.00	1.50	1.50
8	1.35	1.50	1.50



COMBINACIONES PARA ESTADOS LÍMITE DE SERVICIO

Combinación	Hipótesis		
	1	2	3
1	1.00	1.00	
2	1.00	1.00	0.60

10.- DESCRIPCIÓN DEL ARMADO

CORONACIÓN				
Armadura superior: 3Ø12				
Anclaje intradós / trasdós: 36 / 35 cm				
TRAMOS				
Núm.	Intradós		Trasdós	
	Vertical	Horizontal	Vertical	Horizontal
1	Ø10c/30 Solape: 0.25 m	Ø12c/25	Ø16c/25 Solape: 0.6 m Refuerzo 1: Ø12 h=1.5 m	Ø12c/25
ZAPATA				
Armadura	Longitudinal	Transversal		
Superior	Ø16c/30	Ø16c/30 Patilla Intradós / Trasdós: 10 / 12 cm		
Inferior	Ø16c/30	Ø12c/15 Patilla intradós / trasdós: 20 / 20 cm		
Longitud de pata en arranque: 50 cm				

11.- COMPROBACIONES GEOMÉTRICAS Y DE RESISTENCIA

Referencia: Muro: 661-657		
Comprobación	Valores	Estado
Comprobación a rasante en arranque muro: <i>Criterio de CYPE Ingenieros</i>	Máximo: 75.15 t/m Calculado: 9.81 t/m	Cumple
Espesor mínimo del tramo: <i>Jiménez Salas, J.A.. Geotecnia y Cimientos II, (Cap. 12)</i>	Mínimo: 20 cm Calculado: 45 cm	Cumple
Separación libre mínima armaduras horizontales: <i>Norma EHE-08. Artículo 69.4.1</i>	Mínimo: 3.7 cm	
- Trasdós:	Calculado: 23.8 cm	Cumple
- Intradós:	Calculado: 23.8 cm	Cumple
Separación máxima armaduras horizontales: <i>Norma EHE-08. Artículo 42.3.1</i>	Máximo: 30 cm	
- Trasdós:	Calculado: 25 cm	Cumple
- Intradós:	Calculado: 25 cm	Cumple
Cuantía geométrica mínima horizontal por cara: <i>Norma EHE-08. Artículo 42.3.5</i>	Mínimo: 0.001	
- Trasdós (56.69 m):	Calculado: 0.001	Cumple
- Intradós (56.69 m):	Calculado: 0.001	Cumple
Cuantía mínima mecánica horizontal por cara: <i>Criterio J.Calavera. "Muros de contención y muros de sótano". (Cuantía horizontal > 20% Cuantía vertical)</i>	Calculado: 0.001	
- Trasdós:	Mínimo: 0.00055	Cumple



Referencia: Muro: 661-657		
Comprobación	Valores	Estado
- Intradós:	Mínimo: 0.00011	Cumple
Cuantía mínima geométrica vertical cara traccionada: <i>Norma EHE-08. Artículo 42.3.5</i>	Mínimo: 0.0009	
- Trasdós (56.69 m):	Calculado: 0.00279	Cumple
- Trasdós (58.19 m):	Calculado: 0.00178	Cumple
Cuantía mínima mecánica vertical cara traccionada: <i>Norma EHE-08. Artículo 42.3.2</i>	Mínimo: 0.00153	
- Trasdós (56.69 m):	Calculado: 0.00279	Cumple
- Trasdós (58.19 m):	Calculado: 0.00178	Cumple
Cuantía mínima geométrica vertical cara comprimida: <i>Norma EHE-08. Artículo 42.3.5</i>	Mínimo: 0.00027	
- Intradós (56.69 m):	Calculado: 0.00058	Cumple
- Intradós (58.19 m):	Calculado: 0.00058	Cumple
Cuantía mínima mecánica vertical cara comprimida: <i>Norma EHE-08. Artículo 42.3.3</i>	Mínimo: 1e-005	
- Intradós (56.69 m):	Calculado: 0.00058	Cumple
- Intradós (58.19 m):	Calculado: 0.00058	Cumple
Separación libre mínima armaduras verticales: <i>Norma EHE-08. Artículo 69.4.1</i>	Mínimo: 3.7 cm	
- Trasdós, vertical:	Calculado: 10.3 cm	Cumple
- Intradós, vertical:	Calculado: 28 cm	Cumple
Separación máxima entre barras: <i>Norma EHE-08. Artículo 42.3.1</i>	Máximo: 30 cm	
- Armadura vertical Trasdós, vertical:	Calculado: 25 cm	Cumple
- Armadura vertical Intradós, vertical:	Calculado: 30 cm	Cumple
Comprobación a flexión compuesta: <i>Comprobación realizada por unidad de longitud de muro</i>		Cumple
Comprobación a cortante: <i>Norma EHE-08. Artículo 44.2.3.2.1</i>	Máximo: 23.86 t/m Calculado: 8.15 t/m	Cumple
Comprobación de fisuración: <i>Norma EHE-08. Artículo 49.2.3</i>	Máximo: 0.3 mm Calculado: 0 mm	Cumple
Longitud de solapes: <i>Norma EHE-08. Artículo 69.5.2</i>		
- Base trasdós:	Mínimo: 0.56 m Calculado: 0.6 m	Cumple
- Base intradós:	Mínimo: 0.25 m Calculado: 0.25 m	Cumple
Comprobación del anclaje del armado base en coronación: <i>Criterio J.Calavera. "Muros de contención y muros de sótano".</i>		
- Trasdós:	Mínimo: 35 cm Calculado: 35 cm	Cumple



Referencia: Muro: 661-657		
Comprobación	Valores	Estado
- Intradós:	Mínimo: 0 cm Calculado: 36 cm	Cumple
Área mínima longitudinal cara superior viga de coronación: <i>Criterio J.Calavera. "Muros de contención y muros de sótano".</i>	Mínimo: 2.2 cm ² Calculado: 3.3 cm ²	Cumple
Se cumplen todas las comprobaciones		
Información adicional:		
- Cota de la sección con la mínima relación 'cuantía horizontal / cuantía vertical' Trasdós: 56.69 m - Cota de la sección con la mínima relación 'cuantía horizontal / cuantía vertical' Intradós: 56.69 m - Sección crítica a flexión compuesta: Cota: 56.69 m, Md: 15.20 t·m/m, Nd: 5.23 t/m, Vd: 9.81 t/m, Tensión máxima del acero: 3.011 t/cm ² - Sección crítica a cortante: Cota: 57.10 m		

Referencia: Zapata corrida: 661-657		
Comprobación	Valores	Estado
Comprobación de estabilidad:		
- Coeficiente de seguridad al vuelco: <i>Valor introducido por el usuario.</i>	Mínimo: 2 Calculado: 2.17	Cumple
Canto mínimo:		
- Zapata: <i>Norma EHE-08. Artículo 58.8.1</i>	Mínimo: 25 cm Calculado: 70 cm	Cumple
Tensiones sobre el terreno:		
<i>Valor introducido por el usuario.</i>		
- Tensión media:	Máximo: 2.5 kp/cm ² Calculado: 0.673 kp/cm ²	Cumple
- Tensión máxima:	Máximo: 3.125 kp/cm ² Calculado: 1.298 kp/cm ²	Cumple
Flexión en zapata:		
<i>Comprobación basada en criterios resistentes</i>		
- Armado superior trasdós:	Mínimo: 1.67 cm ² /m Calculado: 6.7 cm ² /m	Cumple
- Armado inferior trasdós:	Mínimo: 0 cm ² /m Calculado: 7.54 cm ² /m	Cumple
- Armado superior intradós:	Mínimo: 0 cm ² /m Calculado: 6.7 cm ² /m	Cumple
- Armado inferior intradós:	Mínimo: 5.41 cm ² /m Calculado: 7.54 cm ² /m	Cumple
Esfuerzo cortante:		
<i>Norma EHE-08. Artículo 44.2.3.2.1</i>	Máximo: 32.11 t/m	
- Trasdós:	Calculado: 1.47 t/m	Cumple
- Intradós:	Calculado: 10.74 t/m	Cumple
Longitud de anclaje:		
<i>Norma EHE-08. Artículo 69.5</i>		
- Arranque trasdós:	Mínimo: 18.8 cm Calculado: 62.2 cm	Cumple
- Arranque intradós:	Mínimo: 17 cm Calculado: 62.2 cm	Cumple



Referencia: Zapata corrida: 661-657		
Comprobación	Valores	Estado
- Armado inferior trasdós (Patilla):	Mínimo: 17.2 cm Calculado: 20 cm	Cumple
- Armado inferior intradós (Patilla):	Mínimo: 0 cm Calculado: 20 cm	Cumple
- Armado superior trasdós (Patilla):	Mínimo: 12 cm Calculado: 12 cm	Cumple
- Armado superior intradós (Patilla):	Mínimo: 0 cm Calculado: 10 cm	Cumple
Recubrimiento:		
- Lateral: <i>Norma EHE-08. Artículo 37.2.4.1</i>	Mínimo: 7 cm Calculado: 7 cm	Cumple
Diámetro mínimo: <i>Norma EHE-08. Artículo 58.8.2.</i>	Mínimo: Ø12	
- Armadura transversal inferior:	Calculado: Ø12	Cumple
- Armadura longitudinal inferior:	Calculado: Ø16	Cumple
- Armadura transversal superior:	Calculado: Ø16	Cumple
- Armadura longitudinal superior:	Calculado: Ø16	Cumple
Separación máxima entre barras: <i>Norma EHE-08. Artículo 42.3.1</i>	Máximo: 30 cm	
- Armadura transversal inferior:	Calculado: 15 cm	Cumple
- Armadura transversal superior:	Calculado: 30 cm	Cumple
- Armadura longitudinal inferior:	Calculado: 30 cm	Cumple
- Armadura longitudinal superior:	Calculado: 30 cm	Cumple
Separación mínima entre barras: <i>Criterio de CYPE Ingenieros, basado en: J. Calavera. "Cálculo de Estructuras de Cimentación". Capítulo 3.16</i>	Mínimo: 10 cm	
- Armadura transversal inferior:	Calculado: 15 cm	Cumple
- Armadura transversal superior:	Calculado: 30 cm	Cumple
- Armadura longitudinal inferior:	Calculado: 30 cm	Cumple
- Armadura longitudinal superior:	Calculado: 30 cm	Cumple
Cuantía geométrica mínima: <i>Norma EHE-08. Artículo 42.3.5</i>	Mínimo: 0.0009	
- Armadura longitudinal inferior:	Calculado: 0.00095	Cumple
- Armadura longitudinal superior:	Calculado: 0.00095	Cumple
- Armadura transversal inferior:	Calculado: 0.00107	Cumple
- Armadura transversal superior:	Calculado: 0.00095	Cumple
Cuantía mecánica mínima:		
- Armadura longitudinal inferior: <i>Norma EHE-08. Artículo 55</i>	Mínimo: 0.00026 Calculado: 0.00095	Cumple
- Armadura longitudinal superior: <i>Norma EHE-08. Artículo 55</i>	Mínimo: 0.00023 Calculado: 0.00095	Cumple



Referencia: Zapata corrida: 661-657		
Comprobación	Valores	Estado
- Armadura transversal inferior: <i>Norma EHE-08. Artículo 42.3.2</i>	Mínimo: 0.00096 Calculado: 0.00107	Cumple
- Armadura transversal superior: <i>Norma EHE-08. Artículo 42.3.2</i>	Mínimo: 0.00034 Calculado: 0.00095	Cumple
Se cumplen todas las comprobaciones		
Información adicional:		
- Momento flector pésimo en la sección de referencia del trasdós: 4.66 t·m/m		
- Momento flector pésimo en la sección de referencia del intradós: 14.95 t·m/m		

12.- COMPROBACIONES DE ESTABILIDAD (CÍRCULO DE DESLIZAMIENTO PÉSIMO)

Referencia: Comprobaciones de estabilidad (Círculo de deslizamiento pésimo): 661-657		
Comprobación	Valores	Estado
Círculo de deslizamiento pésimo: Combinaciones sin sismo: - Fase: Coordenadas del centro del círculo (-2.53 m ; 64.77 m) - Radio: 9.55 m: <i>Valor introducido por el usuario.</i>	Mínimo: 1.8 Calculado: 1.912	Cumple
Se cumplen todas las comprobaciones		



E.3.2.- MURO CONTENCION C-1.2

5.- GEOMETRÍA

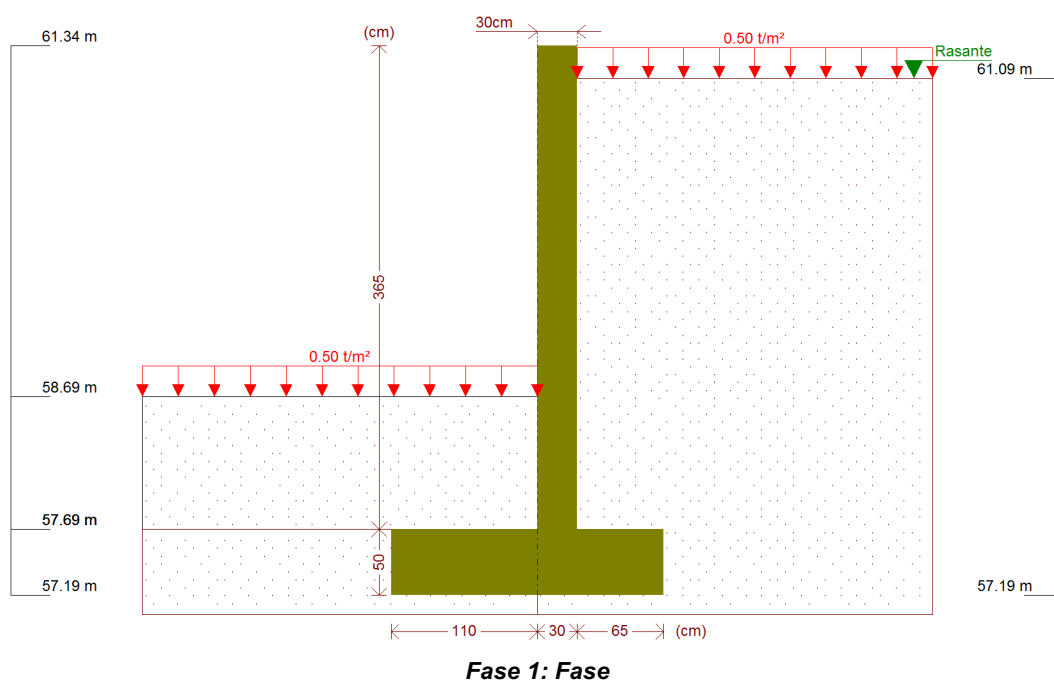
MURO

Altura: 3.65 m
Espesor superior: 30.0 cm
Espesor inferior: 30.0 cm

ZAPATA CORRIDA

Con puntera y talón
Canto: 50 cm
Vuelos intradós / trasdós: 110.0 / 65.0 cm
Hormigón de limpieza: 10 cm

6.- ESQUEMA DE LAS FASES



7.- CARGAS

CARGAS EN EL TRASDÓS

Tipo	Cota	Datos	Fase inicial	Fase final
Uniforme	En superficie	Valor: 0.5 t/m²	Fase	Fase

CARGAS EN EL INTRADÓS

Tipo	Cota	Datos	Fase inicial	Fase final
Uniforme	En superficie	Valor: 0.5 t/m²	Fase	Fase

8.- RESULTADOS DE LAS FASES

Esfuerzos sin mayorar.

FASE 1: FASE

CARGA PERMANENTE Y EMPUJE DE TIERRAS CON SOBRECARGAS

Cota (m)	Ley de axiles (t/m)	Ley de cortantes (t/m)	Ley de momento flector (t·m/m)	Ley de empujes (t/m²)	Presión hidrostática (t/m²)
61.34	0.00	0.00	0.00	0.00	0.00



I. MEMORIA

Cota (m)	Ley de axiles (t/m)	Ley de cortantes (t/m)	Ley de momento flector (t·m/m)	Ley de empujes (t/m ²)	Presión hidrostática (t/m ²)
60.99	0.26	0.02	0.00	0.23	0.00
60.63	0.53	0.14	0.03	0.44	0.00
60.27	0.80	0.34	0.11	0.66	0.00
59.91	1.07	0.61	0.28	0.87	0.00
59.55	1.34	0.97	0.56	1.09	0.00
59.19	1.61	1.40	0.99	1.31	0.00
58.83	1.88	1.91	1.58	1.52	0.00
58.47	2.15	2.50	2.37	1.74	0.00
58.11	2.42	3.16	3.39	1.95	0.00
57.75	2.69	3.90	4.66	2.17	0.00
Máximos	2.74 Cota: 57.69 m	4.03 Cota: 57.69 m	4.89 Cota: 57.69 m	2.21 Cota: 57.69 m	0.00 Cota: 61.34 m
Mínimos	0.00 Cota: 61.34 m	0.00 Cota: 61.34 m	0.00 Cota: 61.34 m	0.00 Cota: 61.34 m	0.00 Cota: 61.34 m

CARGA PERMANENTE Y EMPUJE DE TIERRAS

Cota (m)	Ley de axiles (t/m)	Ley de cortantes (t/m)	Ley de momento flector (t·m/m)	Ley de empujes (t/m ²)	Presión hidrostática (t/m ²)
61.34	0.00	0.00	0.00	0.00	0.00
60.99	0.26	0.00	0.00	0.06	0.00
60.63	0.53	0.06	0.01	0.28	0.00
60.27	0.80	0.20	0.06	0.49	0.00
59.91	1.07	0.42	0.16	0.71	0.00
59.55	1.34	0.71	0.37	0.92	0.00
59.19	1.61	1.08	0.69	1.14	0.00
58.83	1.88	1.53	1.15	1.36	0.00
58.47	2.15	2.06	1.80	1.57	0.00
58.11	2.42	2.66	2.65	1.79	0.00
57.75	2.69	3.35	3.73	2.00	0.00
Máximos	2.74 Cota: 57.69 m	3.47 Cota: 57.69 m	3.93 Cota: 57.69 m	2.04 Cota: 57.69 m	0.00 Cota: 61.34 m
Mínimos	0.00 Cota: 61.34 m	0.00 Cota: 61.34 m	0.00 Cota: 61.34 m	0.00 Cota: 61.34 m	0.00 Cota: 61.34 m

9.- COMBINACIONES

HIPÓTESIS

1 - Carga permanente
2 - Empuje de tierras
3 - Sobrecarga

COMBINACIONES PARA ESTADOS LÍMITE ÚLTIMOS

Combinación	Hipótesis		
	1	2	3
1	1.00	1.00	
2	1.35	1.00	
3	1.00	1.50	
4	1.35	1.50	
5	1.00	1.00	1.50
6	1.35	1.00	1.50
7	1.00	1.50	1.50
8	1.35	1.50	1.50



Referencia: Muro: 661-657_2		
Comprobación	Valores	Estado
Cuantía mínima geométrica vertical cara traccionada: - Trasdós (57.69 m): <i>Norma EHE-08. Artículo 42.3.5</i>	Mínimo: 0.0009 Calculado: 0.00223	Cumple
Cuantía mínima mecánica vertical cara traccionada: - Trasdós (57.69 m): <i>Norma EHE-08. Artículo 42.3.2</i>	Mínimo: 0.00153 Calculado: 0.00223	Cumple
Cuantía mínima geométrica vertical cara comprimida: - Intradós (57.69 m): <i>Norma EHE-08. Artículo 42.3.5</i>	Mínimo: 0.00027 Calculado: 0.00087	Cumple
Cuantía mínima mecánica vertical cara comprimida: - Intradós (57.69 m): <i>Norma EHE-08. Artículo 42.3.3</i>	Mínimo: 1e-005 Calculado: 0.00087	Cumple
Separación libre mínima armaduras verticales: <i>Norma EHE-08. Artículo 69.4.1</i> - Trasdós, vertical: - Intradós, vertical:	Mínimo: 3.7 cm Calculado: 26.8 cm Calculado: 28 cm	Cumple Cumple
Separación máxima entre barras: <i>Norma EHE-08. Artículo 42.3.1</i> - Armadura vertical Trasdós, vertical: - Armadura vertical Intradós, vertical:	Máximo: 30 cm Calculado: 30 cm Calculado: 30 cm	Cumple Cumple
Comprobación a flexión compuesta: <i>Comprobación realizada por unidad de longitud de muro</i>		Cumple
Comprobación a cortante: <i>Norma EHE-08. Artículo 44.2.3.2.1</i>	Máximo: 17.45 t/m Calculado: 5.21 t/m	Cumple
Comprobación de fisuración: <i>Norma EHE-08. Artículo 49.2.3</i>	Máximo: 0.3 mm Calculado: 0 mm	Cumple
Longitud de solapes: <i>Norma EHE-08. Artículo 69.5.2</i> - Base trasdós: - Base intradós:	Mínimo: 0.56 m Calculado: 0.6 m Mínimo: 0.25 m Calculado: 0.25 m	Cumple Cumple
Comprobación del anclaje del armado base en coronación: <i>Criterio J.Calavera. "Muros de contención y muros de sótano".</i> - Trasdós: - Intradós:	Mínimo: 20 cm Calculado: 20 cm Mínimo: 0 cm Calculado: 21 cm	Cumple Cumple
Área mínima longitudinal cara superior viga de coronación: <i>Criterio J.Calavera. "Muros de contención y muros de sótano".</i>	Mínimo: 2.2 cm ² Calculado: 2.2 cm ²	Cumple
Se cumplen todas las comprobaciones		
Información adicional:		
- Cota de la sección con la mínima relación 'cuantía horizontal / cuantía vertical' Trasdós: 57.69 m		



Referencia: Muro: 661-657_2		
Comprobación	Valores	Estado
- Cota de la sección con la mínima relación 'cuantía horizontal / cuantía vertical' Intradós: 57.69 m - Sección crítica a flexión compuesta: Cota: 57.69 m, Md: 7.34 t·m/m, Nd: 2.74 t/m, Vd: 6.05 t/m, Tensión máxima del acero: 3.643 t/cm ² - Sección crítica a cortante: Cota: 57.95 m		
Referencia: Zapata corrida: 661-657_2		
Comprobación	Valores	Estado
Comprobación de estabilidad:		
- Coeficiente de seguridad al vuelco:	Mínimo: 2	
<i>Valor introducido por el usuario.</i>	Calculado: 2.11	Cumple
Canto mínimo:		
- Zapata:	Mínimo: 25 cm	
<i>Norma EHE-08. Artículo 58.8.1</i>	Calculado: 50 cm	Cumple
Tensiones sobre el terreno:		
<i>Valor introducido por el usuario.</i>		
- Tensión media:	Máximo: 2.5 kp/cm ² Calculado: 0.602 kp/cm ²	Cumple
- Tensión máxima:	Máximo: 3.125 kp/cm ² Calculado: 1.271 kp/cm ²	Cumple
Flexión en zapata:		
<i>Comprobación basada en criterios resistentes</i>	Calculado: 4.52 cm ² /m	
- Armado superior trasdós:	Mínimo: 1.38 cm ² /m	Cumple
- Armado inferior trasdós:	Mínimo: 0 cm ² /m	Cumple
- Armado superior intradós:	Mínimo: 0 cm ² /m	Cumple
- Armado inferior intradós:	Mínimo: 3.34 cm ² /m	Cumple
Esfuerzo cortante:		
<i>Norma EHE-08. Artículo 44.2.3.2.1</i>	Máximo: 24.67 t/m	
- Trasdós:	Calculado: 2.31 t/m	Cumple
- Intradós:	Calculado: 6.62 t/m	Cumple
Longitud de anclaje:		
<i>Norma EHE-08. Artículo 69.5</i>		
- Arranque trasdós:	Mínimo: 23 cm Calculado: 42.6 cm	Cumple
- Arranque intradós:	Mínimo: 17 cm Calculado: 42.6 cm	Cumple
- Armado inferior trasdós (Patilla):	Mínimo: 9 cm Calculado: 15 cm	Cumple
- Armado inferior intradós (Patilla):	Mínimo: 0 cm Calculado: 15 cm	Cumple
- Armado superior trasdós (Patilla):	Mínimo: 9 cm Calculado: 15 cm	Cumple
- Armado superior intradós (Patilla):	Mínimo: 0 cm Calculado: 15 cm	Cumple



Referencia: Zapata corrida: 661-657_2		
Comprobación	Valores	Estado
Recubrimiento:		
- Lateral:	Mínimo: 7 cm	
<i>Norma EHE-08. Artículo 37.2.4.1</i>	Calculado: 7 cm	Cumple
Diámetro mínimo:	Mínimo: Ø12	
<i>Norma EHE-08. Artículo 58.8.2.</i>	Calculado: Ø12	Cumple
- Armadura transversal inferior:	Calculado: Ø12	Cumple
- Armadura longitudinal inferior:	Calculado: Ø12	Cumple
- Armadura transversal superior:	Calculado: Ø12	Cumple
- Armadura longitudinal superior:	Calculado: Ø12	Cumple
Separación máxima entre barras:	Máximo: 30 cm	
<i>Norma EHE-08. Artículo 42.3.1</i>	Calculado: 25 cm	Cumple
- Armadura transversal inferior:	Calculado: 25 cm	Cumple
- Armadura transversal superior:	Calculado: 25 cm	Cumple
- Armadura longitudinal inferior:	Calculado: 25 cm	Cumple
- Armadura longitudinal superior:	Calculado: 25 cm	Cumple
Separación mínima entre barras:	Mínimo: 10 cm	
<i>Criterio de CYPE Ingenieros, basado en: J. Calavera. "Cálculo de Estructuras de Cimentación". Capítulo 3.16</i>	Calculado: 25 cm	Cumple
- Armadura transversal inferior:	Calculado: 25 cm	Cumple
- Armadura transversal superior:	Calculado: 25 cm	Cumple
- Armadura longitudinal inferior:	Calculado: 25 cm	Cumple
- Armadura longitudinal superior:	Calculado: 25 cm	Cumple
Cuantía geométrica mínima:	Mínimo: 0.0009	
<i>Norma EHE-08. Artículo 42.3.5</i>	Calculado: 0.0009	Cumple
- Armadura longitudinal inferior:	Calculado: 0.0009	Cumple
- Armadura longitudinal superior:	Calculado: 0.0009	Cumple
- Armadura transversal inferior:	Calculado: 0.0009	Cumple
- Armadura transversal superior:	Calculado: 0.0009	Cumple
Cuantía mecánica mínima:	Calculado: 0.0009	
- Armadura longitudinal inferior:	Mínimo: 0.00022	Cumple
<i>Norma EHE-08. Artículo 55</i>	Mínimo: 0.00022	Cumple
- Armadura longitudinal superior:	Mínimo: 0.00022	Cumple
<i>Norma EHE-08. Artículo 55</i>	Mínimo: 0.00085	Cumple
- Armadura transversal inferior:	Mínimo: 0.00085	Cumple
<i>Norma EHE-08. Artículo 42.3.2</i>	Mínimo: 0.00039	Cumple
- Armadura transversal superior:		
<i>Norma EHE-08. Artículo 42.3.2</i>		
Se cumplen todas las comprobaciones		
Información adicional:		
- Momento flector pésimo en la sección de referencia del trasdós: 2.63 t·m/m		
- Momento flector pésimo en la sección de referencia del intradós: 6.30 t·m/m		



12.- COMPROBACIONES DE ESTABILIDAD (CÍRCULO DE DESLIZAMIENTO PÉSIMO)

Referencia: Comprobaciones de estabilidad (Círculo de deslizamiento pésimo): 661-657_2		
Comprobación	Valores	Estado
Círculo de deslizamiento pésimo: Combinaciones sin sismo: -Fase: Coordenadas del centro del círculo (-1.56 m ; 63.85 m) - Radio: 7.12 m: <i>Valor introducido por el usuario.</i>	Mínimo: 1.8 Calculado: 2.788	Cumple
Se cumplen todas las comprobaciones		



E.3.3.- MURO CONTENCION C-1.3

5.- GEOMETRÍA

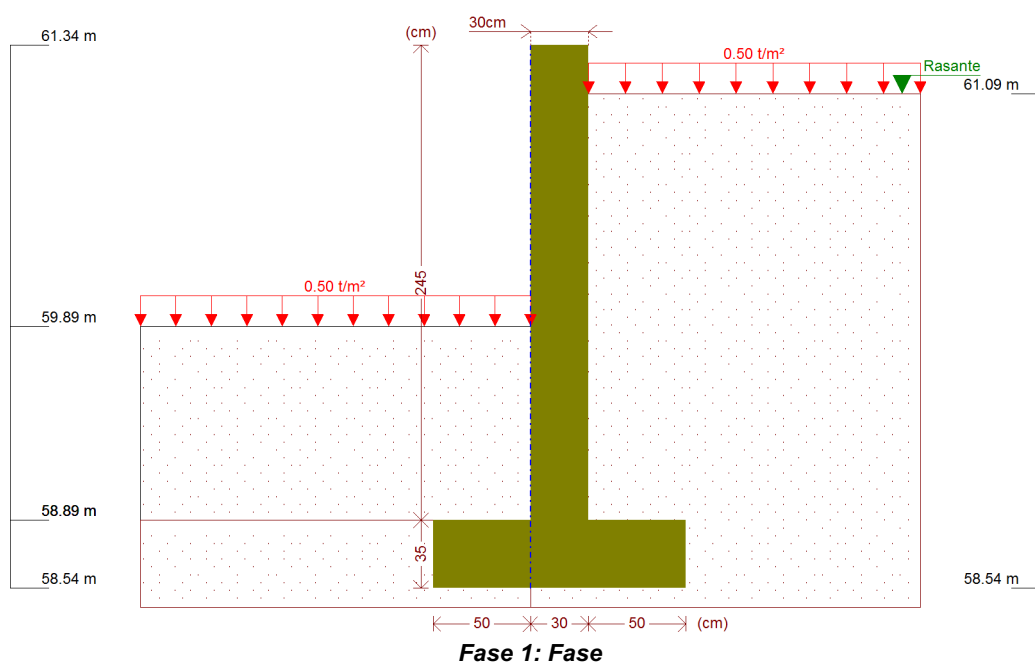
MURO

Altura: 2.45 m
Espesor superior: 30.0 cm
Espesor inferior: 30.0 cm

ZAPATA CORRIDA

Con puntera y talón
Canto: 35 cm
Vuelos intradós / trasdós: 50.0 / 50.0 cm
Hormigón de limpieza: 10 cm

6.- ESQUEMA DE LAS FASES



7.- CARGAS

CARGAS EN EL TRASDÓS

Tipo	Cota	Datos	Fase inicial	Fase final
Uniforme	En superficie	Valor: 0.5 t/m²	Fase	Fase

CARGAS EN EL INTRADÓS

Tipo	Cota	Datos	Fase inicial	Fase final
Uniforme	En superficie	Valor: 0.5 t/m²	Fase	Fase

8.- RESULTADOS DE LAS FASES

Esfuerzos sin mayorar.

FASE 1: FASE

CARGA PERMANENTE Y EMPUJE DE TIERRAS CON SOBRECARGAS

Cota (m)	Ley de axiles (t/m)	Ley de cortantes (t/m)	Ley de momento flector (t·m/m)	Ley de empujes (t/m²)	Presión hidrostática (t/m²)
61.34	0.00	0.00	0.00	0.00	0.00



Cota (m)	Ley de axiles (t/m)	Ley de cortantes (t/m)	Ley de momento flector (t·m/m)	Ley de empujes (t/m ²)	Presión hidrostática (t/m ²)
61.11	0.17	0.00	0.00	0.00	0.00
60.87	0.35	0.05	0.01	0.30	0.00
60.63	0.53	0.14	0.03	0.44	0.00
60.39	0.71	0.26	0.08	0.59	0.00
60.15	0.89	0.42	0.16	0.73	0.00
59.91	1.07	0.61	0.28	0.87	0.00
59.67	1.25	0.84	0.45	1.02	0.00
59.43	1.43	1.10	0.69	1.16	0.00
59.19	1.61	1.40	0.99	1.31	0.00
58.95	1.79	1.73	1.36	1.45	0.00
Máximos	1.84 Cota: 58.89 m	1.82 Cota: 58.89 m	1.47 Cota: 58.89 m	1.49 Cota: 58.89 m	0.00 Cota: 61.34 m
Mínimos	0.00 Cota: 61.34 m	0.00 Cota: 61.34 m	0.00 Cota: 61.34 m	0.00 Cota: 61.34 m	0.00 Cota: 61.34 m

CARGA PERMANENTE Y EMPUJE DE TIERRAS

Cota (m)	Ley de axiles (t/m)	Ley de cortantes (t/m)	Ley de momento flector (t·m/m)	Ley de empujes (t/m ²)	Presión hidrostática (t/m ²)
61.34	0.00	0.00	0.00	0.00	0.00
61.11	0.17	0.00	0.00	0.00	0.00
60.87	0.35	0.01	0.00	0.13	0.00
60.63	0.53	0.06	0.01	0.28	0.00
60.39	0.71	0.15	0.03	0.42	0.00
60.15	0.89	0.27	0.08	0.56	0.00
59.91	1.07	0.42	0.16	0.71	0.00
59.67	1.25	0.60	0.29	0.85	0.00
59.43	1.43	0.83	0.46	1.00	0.00
59.19	1.61	1.08	0.69	1.14	0.00
58.95	1.79	1.37	0.98	1.28	0.00
Máximos	1.84 Cota: 58.89 m	1.45 Cota: 58.89 m	1.06 Cota: 58.89 m	1.32 Cota: 58.89 m	0.00 Cota: 61.34 m
Mínimos	0.00 Cota: 61.34 m	0.00 Cota: 61.34 m	0.00 Cota: 61.34 m	0.00 Cota: 61.34 m	0.00 Cota: 61.34 m

9.- COMBINACIONES

HIPÓTESIS

1 - Carga permanente
2 - Empuje de tierras
3 - Sobrecarga

COMBINACIONES PARA ESTADOS LÍMITE ÚLTIMOS

Combinación	Hipótesis		
	1	2	3
1	1.00	1.00	
2	1.35	1.00	
3	1.00	1.50	
4	1.35	1.50	
5	1.00	1.00	1.50
6	1.35	1.00	1.50
7	1.00	1.50	1.50
8	1.35	1.50	1.50



COMBINACIONES PARA ESTADOS LÍMITE DE SERVICIO

Combinación	Hipótesis		
	1	2	3
1	1.00	1.00	
2	1.00	1.00	0.60

10.- DESCRIPCIÓN DEL ARMADO

CORONACIÓN				
Armadura superior: 2Ø12				
Anclaje intradós / trasdós: 21 / 21 cm				
TRAMOS				
Núm.	Intradós		Trasdós	
	Vertical	Horizontal	Vertical	Horizontal
1	Ø10c/25 Solape: 0.25 m	Ø10c/25	Ø12c/25 Solape: 0.45 m	Ø10c/25
ZAPATA				
Armadura	Longitudinal	Transversal		
Superior	Ø12c/30	Ø12c/30 Patilla Intradós / Trasdós: 10 / 10 cm		
Inferior	Ø12c/30	Ø12c/30 Patilla intradós / trasdós: 10 / 10 cm		
Longitud de pata en arranque: 50 cm				

11.- COMPROBACIONES GEOMÉTRICAS Y DE RESISTENCIA

Referencia: Muro: 661-657_1

Comprobación	Valores	Estado
Comprobación a rasante en arranque muro: <i>Criterio de CYPE Ingenieros</i>	Máximo: 33.12 t/m Calculado: 2.72 t/m	Cumple
Espesor mínimo del tramo: <i>Jiménez Salas, J.A.. Geotecnia y Cimientos II, (Cap. 12)</i>	Mínimo: 20 cm Calculado: 30 cm	Cumple
Separación libre mínima armaduras horizontales: <i>Norma EHE-08. Artículo 69.4.1</i>	Mínimo: 3.7 cm	
- Trasdós:	Calculado: 24 cm	Cumple
- Intradós:	Calculado: 24 cm	Cumple
Separación máxima armaduras horizontales: <i>Norma EHE-08. Artículo 42.3.1</i>	Máximo: 30 cm	
- Trasdós:	Calculado: 25 cm	Cumple
- Intradós:	Calculado: 25 cm	Cumple
Cuantía geométrica mínima horizontal por cara: <i>Norma EHE-08. Artículo 42.3.5</i>	Mínimo: 0.001	
- Trasdós (58.89 m):	Calculado: 0.00104	Cumple
- Intradós (58.89 m):	Calculado: 0.00104	Cumple
Cuantía mínima mecánica horizontal por cara: <i>Criterio J. Calavera. "Muros de contención y muros de sótano". (Cuantía horizontal > 20% Cuantía vertical)</i>	Calculado: 0.00104	
- Trasdós:	Mínimo: 0.0003	Cumple



Referencia: Muro: 661-657_1		
Comprobación	Valores	Estado
- Intradós:	Mínimo: 0.0002	Cumple
Cuantía mínima geométrica vertical cara traccionada:		
- Trasdós (58.89 m): <i>Norma EHE-08. Artículo 42.3.5</i>	Mínimo: 0.0009 Calculado: 0.0015	Cumple
Cuantía mínima mecánica vertical cara traccionada:		
- Trasdós (58.89 m): <i>Norma EHE-08. Artículo 42.3.2</i>	Mínimo: 0.0015 Calculado: 0.0015	Cumple
Cuantía mínima geométrica vertical cara comprimida:		
- Intradós (58.89 m): <i>Norma EHE-08. Artículo 42.3.5</i>	Mínimo: 0.00027 Calculado: 0.00104	Cumple
Cuantía mínima mecánica vertical cara comprimida:		
- Intradós (58.89 m): <i>Norma EHE-08. Artículo 42.3.3</i>	Mínimo: 0 Calculado: 0.00104	Cumple
Separación libre mínima armaduras verticales: <i>Norma EHE-08. Artículo 69.4.1</i>	Mínimo: 3.7 cm	
- Trasdós, vertical:	Calculado: 22.6 cm	Cumple
- Intradós, vertical:	Calculado: 23 cm	Cumple
Separación máxima entre barras: <i>Norma EHE-08. Artículo 42.3.1</i>	Máximo: 30 cm	
- Armadura vertical Trasdós, vertical:	Calculado: 25 cm	Cumple
- Armadura vertical Intradós, vertical:	Calculado: 25 cm	Cumple
Comprobación a flexión compuesta: <i>Comprobación realizada por unidad de longitud de muro</i>		Cumple
Comprobación a cortante: <i>Norma EHE-08. Artículo 44.2.3.2.1</i>	Máximo: 17.42 t/m Calculado: 2.17 t/m	Cumple
Comprobación de fisuración: <i>Norma EHE-08. Artículo 49.2.3</i>	Máximo: 0.3 mm Calculado: 0 mm	Cumple
Longitud de solapes: <i>Norma EHE-08. Artículo 69.5.2</i>		
- Base trasdós:	Mínimo: 0.42 m Calculado: 0.45 m	Cumple
- Base intradós:	Mínimo: 0.25 m Calculado: 0.25 m	Cumple
Comprobación del anclaje del armado base en coronación: <i>Criterio J. Calavera. "Muros de contención y muros de sótano".</i>	Calculado: 21 cm	
- Trasdós:	Mínimo: 20 cm	Cumple
- Intradós:	Mínimo: 0 cm	Cumple
Área mínima longitudinal cara superior viga de coronación: <i>Criterio J. Calavera. "Muros de contención y muros de sótano".</i>	Mínimo: 2.2 cm ² Calculado: 2.2 cm ²	Cumple
Se cumplen todas las comprobaciones		
Información adicional:		
- Cota de la sección con la mínima relación 'cuantía horizontal / cuantía vertical' Trasdós: 58.89 m		



Referencia: Muro: 661-657_1		
Comprobación	Valores	Estado
- Cota de la sección con la mínima relación 'cuantía horizontal / cuantía vertical' Intradós: 58.89 m - Sección crítica a flexión compuesta: Cota: 58.89 m, Md: 2.20 t·m/m, Nd: 1.84 t/m, Vd: 2.73 t/m, Tensión máxima del acero: 1.766 t/cm ² - Sección crítica a cortante: Cota: 59.15 m		
Referencia: Zapata corrida: 661-657_1		
Comprobación	Valores	Estado
Comprobación de estabilidad:		
- Coeficiente de seguridad al vuelco:	Mínimo: 2	
<i>Valor introducido por el usuario.</i>	Calculado: 2.11	Cumple
Canto mínimo:		
- Zapata:	Mínimo: 25 cm	
<i>Norma EHE-08. Artículo 58.8.1</i>	Calculado: 35 cm	Cumple
Tensiones sobre el terreno:		
<i>Valor introducido por el usuario.</i>		
- Tensión media:	Máximo: 2.5 kp/cm ² Calculado: 0.496 kp/cm ²	Cumple
- Tensión máxima:	Máximo: 3.125 kp/cm ² Calculado: 1.136 kp/cm ²	Cumple
Flexión en zapata:		
<i>Comprobación basada en criterios resistentes</i>	Calculado: 3.77 cm ² /m	
- Armado superior trasdós:	Mínimo: 0.88 cm ² /m	Cumple
- Armado inferior trasdós:	Mínimo: 0 cm ² /m	Cumple
- Armado superior intradós:	Mínimo: 0 cm ² /m	Cumple
- Armado inferior intradós:	Mínimo: 1.09 cm ² /m	Cumple
Esfuerzo cortante:		
<i>Norma EHE-08. Artículo 44.2.3.2.1</i>	Máximo: 18.71 t/m	
- Trasdós:	Calculado: 1.57 t/m	Cumple
- Intradós:	Calculado: 2.07 t/m	Cumple
Longitud de anclaje:		
<i>Norma EHE-08. Artículo 69.5</i>		
- Arranque trasdós:	Mínimo: 15 cm Calculado: 27.6 cm	Cumple
- Arranque intradós:	Mínimo: 17 cm Calculado: 27.6 cm	Cumple
- Armado inferior trasdós (Patilla):	Mínimo: 9 cm Calculado: 10 cm	Cumple
- Armado inferior intradós (Patilla):	Mínimo: 9 cm Calculado: 10 cm	Cumple
- Armado superior trasdós (Patilla):	Mínimo: 9 cm Calculado: 10 cm	Cumple
- Armado superior intradós (Patilla):	Mínimo: 9 cm Calculado: 10 cm	Cumple



Referencia: Zapata corrida: 661-657_1		
Comprobación	Valores	Estado
Recubrimiento:		
- Lateral:	Mínimo: 7 cm	
<i>Norma EHE-08. Artículo 37.2.4.1</i>	Calculado: 7 cm	Cumple
Diámetro mínimo:	Mínimo: Ø12	
<i>Norma EHE-08. Artículo 58.8.2.</i>	Calculado: Ø12	Cumple
- Armadura transversal inferior:	Calculado: Ø12	Cumple
- Armadura longitudinal inferior:	Calculado: Ø12	Cumple
- Armadura transversal superior:	Calculado: Ø12	Cumple
- Armadura longitudinal superior:	Calculado: Ø12	Cumple
Separación máxima entre barras:	Máximo: 30 cm	
<i>Norma EHE-08. Artículo 42.3.1</i>	Calculado: 30 cm	Cumple
- Armadura transversal inferior:	Calculado: 30 cm	Cumple
- Armadura transversal superior:	Calculado: 30 cm	Cumple
- Armadura longitudinal inferior:	Calculado: 30 cm	Cumple
- Armadura longitudinal superior:	Calculado: 30 cm	Cumple
Separación mínima entre barras:	Mínimo: 10 cm	
<i>Criterio de CYPE Ingenieros, basado en: J. Calavera. "Cálculo de Estructuras de Cimentación". Capítulo 3.16</i>	Calculado: 30 cm	Cumple
- Armadura transversal inferior:	Calculado: 30 cm	Cumple
- Armadura transversal superior:	Calculado: 30 cm	Cumple
- Armadura longitudinal inferior:	Calculado: 30 cm	Cumple
- Armadura longitudinal superior:	Calculado: 30 cm	Cumple
Cuantía geométrica mínima:	Mínimo: 0.0009	
<i>Norma EHE-08. Artículo 42.3.5</i>	Calculado: 0.00107	Cumple
- Armadura longitudinal inferior:	Calculado: 0.00107	Cumple
- Armadura longitudinal superior:	Calculado: 0.00107	Cumple
- Armadura transversal inferior:	Calculado: 0.00107	Cumple
- Armadura transversal superior:	Calculado: 0.00107	Cumple
Cuantía mecánica mínima:	Calculado: 0.00107	
- Armadura longitudinal inferior:	Mínimo: 0.00026	Cumple
<i>Norma EHE-08. Artículo 55</i>	Mínimo: 0.00026	Cumple
- Armadura longitudinal superior:	Mínimo: 0.00026	Cumple
<i>Norma EHE-08. Artículo 55</i>	Mínimo: 0.00043	Cumple
- Armadura transversal inferior:	Mínimo: 0.00043	Cumple
<i>Norma EHE-08. Artículo 42.3.2</i>	Mínimo: 0.00035	Cumple
- Armadura transversal superior:		
<i>Norma EHE-08. Artículo 42.3.2</i>		
Se cumplen todas las comprobaciones		
Información adicional:		
- Momento flector pésimo en la sección de referencia del trasdós: 1.09 t·m/m		
- Momento flector pésimo en la sección de referencia del intradós: 1.35 t·m/m		



12.- COMPROBACIONES DE ESTABILIDAD (CÍRCULO DE DESLIZAMIENTO PÉSIMO)

Referencia: Comprobaciones de estabilidad (Círculo de deslizamiento pésimo): 661-657_1		
Comprobación	Valores	Estado
Círculo de deslizamiento pésimo: Combinaciones sin sismo: -Fase: Coordenadas del centro del círculo (-0.78 m ; 61.77 m) - Radio: 3.60 m: <i>Valor introducido por el usuario.</i>	Mínimo: 1.8 Calculado: 4.101	Cumple
Se cumplen todas las comprobaciones		



E.3.4.- MURO CONTENCION C-2

5.- GEOMETRÍA

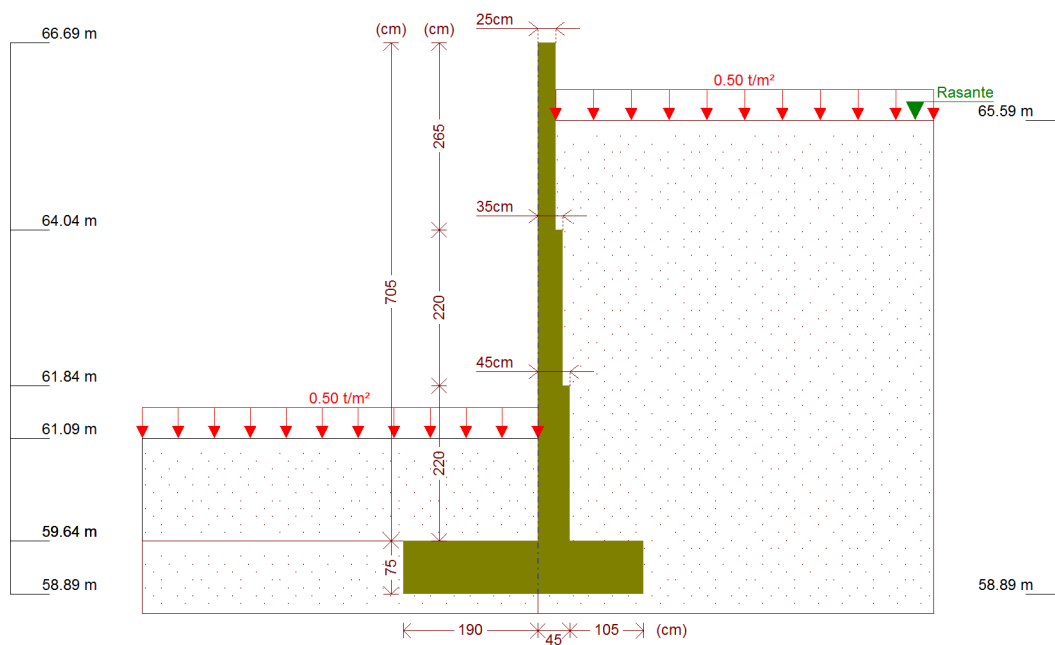
TRAMOS DEL MURO

Cota de la coronación	Descripción
66.69 m	Altura: 2.65 m Espesor superior: 25.0 cm Espesor inferior: 25.0 cm
64.04 m	Altura: 2.20 m Espesor superior: 35.0 cm Espesor inferior: 35.0 cm
61.84 m	Altura: 2.20 m Espesor superior: 45.0 cm Espesor inferior: 45.0 cm
Altura total: 7.05 m	

ZAPATA CORRIDA

Con puntera y talón
Canto: 75 cm
Vuelos intradós / trasdós: 190.0 / 105.0 cm
Hormigón de limpieza: 10 cm

6.- ESQUEMA DE LAS FASES



Fase 1: Fase

7.- CARGAS

CARGAS EN EL TRASDÓS

Tipo	Cota	Datos	Fase inicial	Fase final
Uniforme	En superficie	Valor: 0.5 t/m²	Fase	Fase

CARGAS EN EL INTRADÓS

Tipo	Cota	Datos	Fase inicial	Fase final
Uniforme	En superficie	Valor: 0.5 t/m²	Fase	Fase



8.- RESULTADOS DE LAS FASES

Esfuerzos sin mayorar.

FASE 1: FASE

CARGA PERMANENTE Y EMPUJE DE TIERRAS CON SOBRECARGAS

Cota (m)	Ley de axiles (t/m)	Ley de cortantes (t/m)	Ley de momento flector (t·m/m)	Ley de empujes (t/m²)	Presión hidrostática (t/m²)
66.69	0.00	0.00	0.00	0.00	0.00
65.99	0.44	0.00	0.00	0.00	0.00
65.27	0.88	0.08	0.01	0.36	0.00
64.56	1.33	0.49	0.20	0.78	0.00
63.87	2.13	1.17	0.80	1.20	0.00
63.16	2.76	2.18	1.97	1.62	0.00
62.45	3.38	3.48	3.96	2.05	0.00
61.76	4.73	5.04	6.95	2.46	0.00
61.05	5.52	6.94	11.18	2.89	0.00
60.34	6.32	9.14	16.87	3.32	0.00
59.64	7.11	9.96	23.92	-3.41	0.00
Máximos	7.11 Cota: 59.64 m	10.70 Cota: 59.89 m	23.92 Cota: 59.64 m	3.58 Cota: 59.90 m	0.00 Cota: 66.69 m
Mínimos	0.00 Cota: 66.69 m	0.00 Cota: 66.69 m	0.00 Cota: 66.69 m	-3.41 Cota: 59.64 m	0.00 Cota: 66.69 m

CARGA PERMANENTE Y EMPUJE DE TIERRAS

Cota (m)	Ley de axiles (t/m)	Ley de cortantes (t/m)	Ley de momento flector (t·m/m)	Ley de empujes (t/m²)	Presión hidrostática (t/m²)
66.69	0.00	0.00	0.00	0.00	0.00
65.99	0.44	0.00	0.00	0.00	0.00
65.27	0.88	0.03	0.00	0.19	0.00
64.56	1.33	0.32	0.11	0.62	0.00
63.87	2.08	0.89	0.56	1.03	0.00
63.16	2.71	1.77	1.48	1.46	0.00
62.45	3.33	2.96	3.14	1.88	0.00
61.76	4.63	4.40	5.74	2.30	0.00
61.05	5.42	6.18	9.48	2.72	0.00
60.34	6.22	8.27	14.59	3.15	0.00
59.64	7.01	9.23	21.02	-2.53	0.00
Máximos	7.01 Cota: 59.64 m	9.75 Cota: 59.89 m	21.02 Cota: 59.64 m	3.41 Cota: 59.90 m	0.00 Cota: 66.69 m
Mínimos	0.00 Cota: 66.69 m	0.00 Cota: 66.69 m	0.00 Cota: 66.69 m	-2.53 Cota: 59.64 m	0.00 Cota: 66.69 m

9.- COMBINACIONES

HIPÓTESIS

1 - Carga permanente
2 - Empuje de tierras
3 - Sobrecarga

COMBINACIONES PARA ESTADOS LÍMITE ÚLTIMOS

Combinación	Hipótesis		
	1	2	3
1	1.00	1.00	
2	1.35	1.00	
3	1.00	1.50	
4	1.35	1.50	



Referencia: Muro: 665-651		
Comprobación	Valores	Estado
- Tramo 3:	Calculado: 45 cm	Cumple
Separación libre mínima armaduras horizontales: <i>Norma EHE-08. Artículo 69.4.1</i>	Mínimo: 3.7 cm	
- Tramo 1:		
- Trasdós:	Calculado: 19 cm	Cumple
- Intradós:	Calculado: 29 cm	Cumple
- Tramo 2:		
- Trasdós:	Calculado: 28.8 cm	Cumple
- Intradós:	Calculado: 28.8 cm	Cumple
- Tramo 3:		
- Trasdós:	Calculado: 28.4 cm	Cumple
- Intradós:	Calculado: 13.8 cm	Cumple
Separación máxima armaduras horizontales: <i>Norma EHE-08. Artículo 42.3.1</i>	Máximo: 30 cm	
- Tramo 1:		
- Trasdós:	Calculado: 20 cm	Cumple
- Intradós:	Calculado: 30 cm	Cumple
- Tramo 2:		
- Trasdós:	Calculado: 30 cm	Cumple
- Intradós:	Calculado: 30 cm	Cumple
- Tramo 3:		
- Trasdós:	Calculado: 30 cm	Cumple
- Intradós:	Calculado: 15 cm	Cumple
Cuantía geométrica mínima horizontal por cara: <i>Norma EHE-08. Artículo 42.3.5</i>	Mínimo: 0.001	
- Tramo 1:		
- Trasdós (64.04 m):	Calculado: 0.00157	Cumple
- Intradós (64.04 m):	Calculado: 0.00104	Cumple
- Tramo 2:		
- Trasdós (61.84 m):	Calculado: 0.00107	Cumple
- Intradós (61.84 m):	Calculado: 0.00107	Cumple
- Tramo 3:		
- Trasdós (59.64 m):	Calculado: 0.00148	Cumple
- Intradós (59.64 m):	Calculado: 0.00167	Cumple
Cuantía mínima mecánica horizontal por cara: <i>Criterio J. Calavera. "Muros de contención y muros de sótano". (Cuantía horizontal > 20% Cuantía vertical)</i>		
- Tramo 1:		
- Trasdós:	Mínimo: 0.00031 Calculado: 0.00157	Cumple



Referencia: Muro: 665-651		
Comprobación	Valores	Estado
- Intradós:	Mínimo: 0.0002 Calculado: 0.00104	Cumple
- Tramo 2:	Calculado: 0.00107	
- Trasdós:	Mínimo: 0.00043	Cumple
- Intradós:	Mínimo: 0.00014	Cumple
- Tramo 3:		
- Trasdós:	Mínimo: 0.00139 Calculado: 0.00148	Cumple
- Intradós:	Mínimo: 0.00011 Calculado: 0.00167	Cumple
Cuantía mínima geométrica vertical cara traccionada:		
<i>Norma EHE-08. Artículo 42.3.5</i>		
- Tramo 1.	Mínimo: 0.0009	
Trasdós (64.04 m):	Calculado: 0.00157	Cumple
- Tramo 2.		
Trasdós (61.84 m):	Calculado: 0.00215	Cumple
- Tramo 3.		
Trasdós (59.64 m):	Calculado: 0.00698	Cumple
Cuantía mínima mecánica vertical cara traccionada:		
<i>Norma EHE-08. Artículo 42.3.2</i>		
- Tramo 1.	Mínimo: 0.00153	
Trasdós (64.04 m):	Calculado: 0.00157	Cumple
- Tramo 2.		
Trasdós (61.84 m):	Calculado: 0.00215	Cumple
- Tramo 3.		
Trasdós (59.64 m):	Calculado: 0.00698	Cumple
Cuantía mínima geométrica vertical cara comprimida:		
<i>Norma EHE-08. Artículo 42.3.5</i>		
- Tramo 1.	Mínimo: 0.00027	
Intradós (64.04 m):	Calculado: 0.00104	Cumple
- Tramo 2.		
Intradós (61.84 m):	Calculado: 0.00074	Cumple
- Tramo 3.		
Intradós (59.64 m):	Calculado: 0.00058	Cumple
Cuantía mínima mecánica vertical cara comprimida:		
<i>Norma EHE-08. Artículo 42.3.3</i>		
- Tramo 1.	Mínimo: 1e-005	
Intradós (64.04 m):	Calculado: 0.00104	Cumple
- Tramo 2.	Mínimo: 1e-005	
Intradós (61.84 m):	Calculado: 0.00074	Cumple
- Tramo 3.	Mínimo: 2e-005	
Intradós (59.64 m):	Calculado: 0.00058	Cumple
Separación libre mínima armaduras verticales:		
<i>Norma EHE-08. Artículo 69.4.1</i>		
- Tramo 1:	Mínimo: 3.7 cm	



Referencia: Muro: 665-651		
Comprobación	Valores	Estado
- Trasdós, vertical:	Calculado: 18 cm	Cumple
- Intradós, vertical:	Calculado: 28 cm	Cumple
- Tramo 2:		
- Trasdós, vertical:	Calculado: 12.6 cm	Cumple
- Intradós, vertical:	Calculado: 28 cm	Cumple
- Tramo 3:		
- Trasdós, vertical:	Calculado: 6 cm	Cumple
- Intradós, vertical:	Calculado: 28 cm	Cumple
Separación máxima entre barras: <i>Norma EHE-08. Artículo 42.3.1</i>	Máximo: 30 cm	
- Tramo 1:		
- Armadura vertical Trasdós, vertical:	Calculado: 20 cm	Cumple
- Armadura vertical Intradós, vertical:	Calculado: 30 cm	Cumple
- Tramo 2:		
- Armadura vertical Trasdós, vertical:	Calculado: 15 cm	Cumple
- Armadura vertical Intradós, vertical:	Calculado: 30 cm	Cumple
- Tramo 3:		
- Armadura vertical Trasdós, vertical:	Calculado: 10 cm	Cumple
- Armadura vertical Intradós, vertical:	Calculado: 30 cm	Cumple
Comprobación a flexión compuesta: <i>Comprobación realizada por unidad de longitud de muro</i>		
- Tramo 1:		Cumple
- Tramo 2:		Cumple
- Tramo 3:		Cumple
Comprobación a cortante: <i>Norma EHE-08. Artículo 44.2.3.2.1</i>		
- Tramo 1:	Máximo: 15.28 t/m Calculado: 1.13 t/m	Cumple
- Tramo 2:	Máximo: 19.8 t/m Calculado: 6.17 t/m	Cumple
- Tramo 3:	Máximo: 24.1 t/m Calculado: 15.19 t/m	Cumple
Comprobación de fisuración: <i>Norma EHE-08. Artículo 49.2.3</i>		
- Tramo 1:	Máximo: 0.3 mm Calculado: 0 mm	Cumple
- Tramo 2:	Calculado: 0 mm	Cumple
- Tramo 3:	Calculado: 0.2 mm	Cumple
Longitud de solapes: <i>Norma EHE-08. Artículo 69.5.2</i>		
- Tramo 1:		
- Base trasdós:	Mínimo: 0.35 m Calculado: 0.35 m	Cumple



Referencia: Muro: 665-651		
Comprobación	Valores	Estado
- Base intradós:	Mínimo: 0.25 m Calculado: 0.25 m	Cumple
- Tramo 2:		
- Base trasdós:	Mínimo: 0.42 m Calculado: 0.5 m	Cumple
- Base intradós:	Mínimo: 0.25 m Calculado: 0.25 m	Cumple
- Tramo 3:		
- Base trasdós:	Mínimo: 1.2 m Calculado: 1.2 m	Cumple
- Base intradós:	Mínimo: 0.25 m Calculado: 0.25 m	Cumple
Comprobación del anclaje del armado base en coronación:		
<i>Criterio J.Calavera. "Muros de contención y muros de sótano".</i>		
- Trasdós:	Calculado: 16 cm Mínimo: 16 cm	Cumple
- Intradós:	Mínimo: 0 cm	Cumple
Área mínima longitudinal cara superior viga de coronación:		
<i>Criterio J.Calavera. "Muros de contención y muros de sótano".</i>		
	Mínimo: 4 cm ² Calculado: 4 cm ²	Cumple
Se cumplen todas las comprobaciones		
Información adicional:		
- Tramo 1 -> Cota de la sección con la mínima relación 'cuantía horizontal / cuantía vertical' Trasdós: 64.04 m - Tramo 1 -> Cota de la sección con la mínima relación 'cuantía horizontal / cuantía vertical' Intradós: 64.04 m - Tramo 1 -> Sección crítica a flexión compuesta: Cota: 64.04 m, Md: 0.86 t·m/m, Nd: 1.66 t/m, Vd: 1.47 t/m, Tensión máxima del acero: 0.871 t/cm ² - Tramo 1 -> Sección crítica a cortante: Cota: 64.25 m - Tramo 2 -> Cota de la sección con la mínima relación 'cuantía horizontal / cuantía vertical' Trasdós: 61.84 m - Tramo 2 -> Cota de la sección con la mínima relación 'cuantía horizontal / cuantía vertical' Intradós: 61.84 m - Tramo 2 -> Sección crítica a flexión compuesta: Cota: 61.84 m, Md: 9.69 t·m/m, Nd: 4.07 t/m, Vd: 7.26 t/m, Tensión máxima del acero: 3.977 t/cm ² - Tramo 2 -> Sección crítica a cortante: Cota: 62.15 m - Tramo 3 -> Cota de la sección con la mínima relación 'cuantía horizontal / cuantía vertical' Trasdós: 59.64 m - Tramo 3 -> Cota de la sección con la mínima relación 'cuantía horizontal / cuantía vertical' Intradós: 59.64 m - Tramo 3 -> Sección crítica a flexión compuesta: Cota: 59.64 m, Md: 35.75 t·m/m, Nd: 7.64 t/m, Vd: 14.93 t/m, Tensión máxima del acero: 3.066 t/cm ² - Tramo 3 -> Sección crítica a cortante: Cota: 60.05 m - Tramo 3 -> Sección con la máxima abertura de fisuras: Cota: 59.64 m, M: 22.76 t·m/m, N: 7.07 t/m		

Referencia: Zapata corrida: 665-651		
Comprobación	Valores	Estado
Comprobación de estabilidad:		
- Coeficiente de seguridad al vuelco: <i>Valor introducido por el usuario.</i>	Mínimo: 2 Calculado: 2.03	Cumple
Canto mínimo:		
- Zapata: <i>Norma EHE-08. Artículo 58.8.1</i>	Mínimo: 25 cm Calculado: 75 cm	Cumple
Tensiones sobre el terreno: <i>Valor introducido por el usuario.</i>		



Referencia: Zapata corrida: 665-651		
Comprobación	Valores	Estado
- Tensión media:	Máximo: 2.5 kp/cm ² Calculado: 0.932 kp/cm ²	Cumple
- Tensión máxima:	Máximo: 3.125 kp/cm ² Calculado: 1.912 kp/cm ²	Cumple
Flexión en zapata: <i>Comprobación basada en criterios resistentes</i>		
- Armado superior trasdós:	Mínimo: 3.73 cm ² /m Calculado: 7.54 cm ² /m	Cumple
- Armado inferior trasdós:	Mínimo: 0 cm ² /m Calculado: 13.4 cm ² /m	Cumple
- Armado superior intradós:	Mínimo: 0 cm ² /m Calculado: 7.54 cm ² /m	Cumple
- Armado inferior intradós:	Mínimo: 9.79 cm ² /m Calculado: 13.4 cm ² /m	Cumple
Esfuerzo cortante: <i>Norma EHE-08. Artículo 44.2.3.2.1</i>	Máximo: 33.91 t/m	
- Trasdós:	Calculado: 6.64 t/m	Cumple
- Intradós:	Calculado: 18.55 t/m	Cumple
Longitud de anclaje: <i>Norma EHE-08. Artículo 69.5</i>		
- Arranque trasdós:	Mínimo: 29 cm Calculado: 67.2 cm	Cumple
- Arranque intradós:	Mínimo: 17 cm Calculado: 67.2 cm	Cumple
- Armado inferior trasdós (Patilla):	Mínimo: 12 cm Calculado: 15 cm	Cumple
- Armado inferior intradós (Patilla):	Mínimo: 0 cm Calculado: 15 cm	Cumple
- Armado superior trasdós (Patilla):	Mínimo: 0 cm Calculado: 15 cm	Cumple
- Armado superior intradós (Patilla):	Mínimo: 0 cm Calculado: 15 cm	Cumple
Recubrimiento:		
- Lateral: <i>Norma EHE-08. Artículo 37.2.4.1</i>	Mínimo: 7 cm Calculado: 7 cm	Cumple
Diámetro mínimo: <i>Norma EHE-08. Artículo 58.8.2.</i>	Mínimo: Ø12	
- Armadura transversal inferior:	Calculado: Ø16	Cumple
- Armadura longitudinal inferior:	Calculado: Ø12	Cumple
- Armadura transversal superior:	Calculado: Ø12	Cumple
- Armadura longitudinal superior:	Calculado: Ø12	Cumple
Separación máxima entre barras: <i>Norma EHE-08. Artículo 42.3.1</i>	Máximo: 30 cm	
- Armadura transversal inferior:	Calculado: 15 cm	Cumple
- Armadura transversal superior:	Calculado: 15 cm	Cumple



Referencia: Zapata corrida: 665-651		
Comprobación	Valores	Estado
- Armadura longitudinal inferior:	Calculado: 15 cm	Cumple
- Armadura longitudinal superior:	Calculado: 15 cm	Cumple
Separación mínima entre barras: <i>Criterio de CYPE Ingenieros, basado en: J. Calavera. "Cálculo de Estructuras de Cimentación". Capítulo 3.16</i>	Mínimo: 10 cm	
- Armadura transversal inferior:	Calculado: 15 cm	Cumple
- Armadura transversal superior:	Calculado: 15 cm	Cumple
- Armadura longitudinal inferior:	Calculado: 15 cm	Cumple
- Armadura longitudinal superior:	Calculado: 15 cm	Cumple
Cuantía geométrica mínima: <i>Norma EHE-08. Artículo 42.3.5</i>	Mínimo: 0.0009	
- Armadura longitudinal inferior:	Calculado: 0.001	Cumple
- Armadura longitudinal superior:	Calculado: 0.001	Cumple
- Armadura transversal inferior:	Calculado: 0.00178	Cumple
- Armadura transversal superior:	Calculado: 0.001	Cumple
Cuantía mecánica mínima:		
- Armadura longitudinal inferior: <i>Norma EHE-08. Artículo 55</i>	Mínimo: 0.00044 Calculado: 0.001	Cumple
- Armadura longitudinal superior: <i>Norma EHE-08. Artículo 55</i>	Mínimo: 0.00025 Calculado: 0.001	Cumple
- Armadura transversal inferior: <i>Norma EHE-08. Artículo 42.3.2</i>	Mínimo: 0.0014 Calculado: 0.00178	Cumple
- Armadura transversal superior: <i>Norma EHE-08. Artículo 42.3.2</i>	Mínimo: 0.00066 Calculado: 0.001	Cumple
Se cumplen todas las comprobaciones		
Información adicional:		
- Momento flector pésimo en la sección de referencia del trasdós: 11.17 t·m/m		
- Momento flector pésimo en la sección de referencia del intradós: 28.97 t·m/m		

12.- COMPROBACIONES DE ESTABILIDAD (CÍRCULO DE DESLIZAMIENTO PÉSIMO)

Referencia: Comprobaciones de estabilidad (Círculo de deslizamiento pésimo): 665-651		
Comprobación	Valores	Estado
Círculo de deslizamiento pésimo:		
Combinaciones sin sismo:		
- Fase: Coordenadas del centro del círculo (-1.61 m ; 66.03 m) - Radio: 7.89 m: <i>Valor introducido por el usuario.</i>	Mínimo: 1.8 Calculado: 2.334	Cumple
Se cumplen todas las comprobaciones		



E.3.5.- MURO CONTENCION C-3

5.- GEOMETRÍA

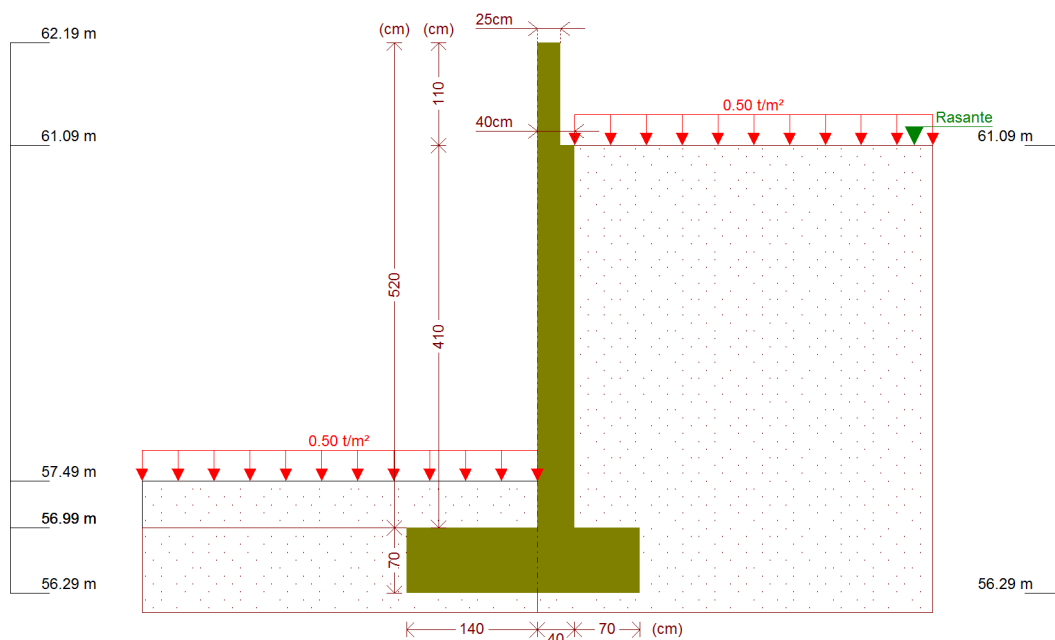
TRAMOS DEL MURO

Cota de la coronación	Descripción
62.19 m	Altura: 1.10 m Espesor superior: 25.0 cm Espesor inferior: 25.0 cm
61.09 m	Altura: 4.10 m Espesor superior: 40.0 cm Espesor inferior: 40.0 cm
Altura total: 5.20 m	

ZAPATA CORRIDA

Con puntera y talón
Canto: 70 cm
Vuelos intradós / trasdós: 140.0 / 70.0 cm
Hormigón de limpieza: 10 cm

6.- ESQUEMA DE LAS FASES



Fase 1: Fase

7.- CARGAS

CARGAS EN EL TRASDÓS

Tipo	Cota	Datos	Fase inicial	Fase final
Uniforme	En superficie	Valor: 0.5 t/m²	Fase	Fase

CARGAS EN EL INTRADÓS

Tipo	Cota	Datos	Fase inicial	Fase final
Uniforme	En superficie	Valor: 0.5 t/m²	Fase	Fase

8.- RESULTADOS DE LAS FASES

Esfuerzos sin mayorar.



FASE 1: FASE

CARGA PERMANENTE Y EMPUJE DE TIERRAS CON SOBRECARGAS

Cota (m)	Ley de axiles (t/m)	Ley de cortantes (t/m)	Ley de momento flector (t·m/m)	Ley de empujes (t/m ²)	Presión hidrostática (t/m ²)
62.19	0.00	0.00	0.00	0.00	0.00
61.68	0.32	0.00	0.00	0.00	0.00
61.16	0.64	0.00	0.00	0.00	0.00
60.66	1.12	0.13	0.08	0.43	0.00
60.14	1.64	0.43	0.21	0.74	0.00
59.62	2.16	0.90	0.55	1.05	0.00
59.10	2.68	1.53	1.18	1.36	0.00
58.57	3.20	2.32	2.17	1.68	0.00
58.05	3.72	3.27	3.62	1.99	0.00
57.53	4.25	4.39	5.61	2.30	0.00
57.01	4.77	5.67	8.23	2.61	0.00
Máximos	4.79	5.73	8.34	2.63	0.00
	Cota: 56.99 m	Cota: 56.99 m	Cota: 56.99 m	Cota: 56.99 m	Cota: 62.19 m
Mínimos	0.00	0.00	0.00	0.00	0.00
	Cota: 62.19 m	Cota: 62.19 m	Cota: 62.19 m	Cota: 62.19 m	Cota: 62.19 m

CARGA PERMANENTE Y EMPUJE DE TIERRAS

Cota (m)	Ley de axiles (t/m)	Ley de cortantes (t/m)	Ley de momento flector (t·m/m)	Ley de empujes (t/m ²)	Presión hidrostática (t/m ²)
62.19	0.00	0.00	0.00	0.00	0.00
61.68	0.32	0.00	0.00	0.00	0.00
61.16	0.64	0.00	0.00	0.00	0.00
60.66	1.12	0.06	0.06	0.26	0.00
60.14	1.64	0.27	0.14	0.57	0.00
59.62	2.16	0.65	0.37	0.88	0.00
59.10	2.68	1.19	0.85	1.20	0.00
58.57	3.20	1.90	1.64	1.51	0.00
58.05	3.72	2.77	2.85	1.82	0.00
57.53	4.25	3.80	4.56	2.14	0.00
57.01	4.77	4.99	6.84	2.45	0.00
Máximos	4.79	5.04	6.94	2.46	0.00
	Cota: 56.99 m	Cota: 56.99 m	Cota: 56.99 m	Cota: 56.99 m	Cota: 62.19 m
Mínimos	0.00	0.00	0.00	0.00	0.00
	Cota: 62.19 m	Cota: 62.19 m	Cota: 62.19 m	Cota: 62.19 m	Cota: 62.19 m

9.- COMBINACIONES

HIPÓTESIS

1 - Carga permanente
2 - Empuje de tierras
3 - Sobrecarga

COMBINACIONES PARA ESTADOS LÍMITE ÚLTIMOS

Combinación	Hipótesis		
	1	2	3
1	1.00	1.00	
2	1.35	1.00	
3	1.00	1.50	
4	1.35	1.50	
5	1.00	1.00	1.50



Referencia: Muro: Contención Primaria		
Comprobación	Valores	Estado
- Intradós:	Calculado: 29 cm	Cumple
- Tramo 2:		
- Trasdós:	Calculado: 23.8 cm	Cumple
- Intradós:	Calculado: 14 cm	Cumple
Separación máxima armaduras horizontales:		
<i>Norma EHE-08. Artículo 42.3.1</i>		
- Tramo 1:	Máximo: 30 cm	
- Trasdós:	Calculado: 30 cm	Cumple
- Intradós:	Calculado: 30 cm	Cumple
- Tramo 2:		
- Trasdós:	Calculado: 25 cm	Cumple
- Intradós:	Calculado: 15 cm	Cumple
Cuantía geométrica mínima horizontal por cara:		
<i>Norma EHE-08. Artículo 42.3.5</i>		
- Tramo 1:	Mínimo: 0.001	
- Trasdós (61.09 m):	Calculado: 0.00104	Cumple
- Intradós (61.09 m):	Calculado: 0.00104	Cumple
- Tramo 2:		
- Trasdós (56.99 m):	Calculado: 0.00113	Cumple
- Intradós (56.99 m):	Calculado: 0.0013	Cumple
Cuantía mínima mecánica horizontal por cara:		
<i>Criterio J. Calavera. "Muros de contención y muros de sótano". (Cuantía horizontal > 20% Cuantía vertical)</i>		
- Tramo 1:	Calculado: 0.00104	
- Trasdós:	Mínimo: 0.00031	Cumple
- Intradós:	Mínimo: 0.0002	Cumple
- Tramo 2:		
- Trasdós:	Mínimo: 0.0004 Calculado: 0.00113	Cumple
- Intradós:	Mínimo: 0.00013 Calculado: 0.0013	Cumple
Cuantía mínima geométrica vertical cara traccionada:		
<i>Norma EHE-08. Artículo 42.3.5</i>		
- Tramo 1.	Mínimo: 0.0009	
Trasdós (61.09 m):	Calculado: 0.00157	Cumple
- Tramo 2.		
Trasdós (56.99 m):	Calculado: 0.00201	Cumple
Cuantía mínima mecánica vertical cara traccionada:		
<i>Norma EHE-08. Artículo 42.3.2</i>		
- Tramo 1.	Mínimo: 0.00153	
Trasdós (61.09 m):	Calculado: 0.00157	Cumple
- Tramo 2.		
Trasdós (56.99 m):	Calculado: 0.00201	Cumple



Referencia: Muro: Contención Primaria		
Comprobación	Valores	Estado
Cuantía mínima geométrica vertical cara comprimida: <i>Norma EHE-08. Artículo 42.3.5</i>	Mínimo: 0.00027	
- Tramo 1. Intradós (61.09 m):	Calculado: 0.00104	Cumple
- Tramo 2. Intradós (56.99 m):	Calculado: 0.00065	Cumple
Cuantía mínima mecánica vertical cara comprimida: <i>Norma EHE-08. Artículo 42.3.3</i>		
- Tramo 1. Intradós (61.09 m):	Mínimo: 0 Calculado: 0.00104	Cumple
- Tramo 2. Intradós (56.99 m):	Mínimo: 1e-005 Calculado: 0.00065	Cumple
Separación libre mínima armaduras verticales: <i>Norma EHE-08. Artículo 69.4.1</i>	Mínimo: 3.7 cm	
- Tramo 1:		
- Trasdós, vertical:	Calculado: 18 cm	Cumple
- Intradós, vertical:	Calculado: 28 cm	Cumple
- Tramo 2:		
- Trasdós, vertical:	Calculado: 21.8 cm	Cumple
- Intradós, vertical:	Calculado: 28 cm	Cumple
Separación máxima entre barras: <i>Norma EHE-08. Artículo 42.3.1</i>	Máximo: 30 cm	
- Tramo 1:		
- Armadura vertical Trasdós, vertical:	Calculado: 20 cm	Cumple
- Armadura vertical Intradós, vertical:	Calculado: 30 cm	Cumple
- Tramo 2:		
- Armadura vertical Trasdós, vertical:	Calculado: 25 cm	Cumple
- Armadura vertical Intradós, vertical:	Calculado: 30 cm	Cumple
Comprobación a flexión compuesta: <i>Comprobación realizada por unidad de longitud de muro</i>		
- Tramo 1:		Cumple
- Tramo 2:		Cumple
Comprobación de fisuración: <i>Norma EHE-08. Artículo 49.2.3</i>	Máximo: 0.3 mm	
- Tramo 1:	Calculado: 0 mm	Cumple
- Tramo 2:	Calculado: 0 mm	Cumple
Longitud de solapes: <i>Norma EHE-08. Artículo 69.5.2</i>		
- Tramo 1:		
- Base trasdós:	Mínimo: 0.35 m Calculado: 0.35 m	Cumple
- Base intradós:	Mínimo: 0.25 m Calculado: 0.25 m	Cumple



Referencia: Muro: Contención Primaria		
Comprobación	Valores	Estado
- Tramo 2:		
- Base trasdós:	Mínimo: 0.56 m Calculado: 0.6 m	Cumple
- Base intradós:	Mínimo: 0.25 m Calculado: 0.25 m	Cumple
Comprobación a cortante:		
- Tramo 2: <i>Norma EHE-08. Artículo 44.2.3.2.1</i>	Máximo: 21.83 t/m Calculado: 7.22 t/m	Cumple
Comprobación del anclaje del armado base en coronación: <i>Criterio J. Calavera. "Muros de contención y muros de sótano".</i>	Calculado: 16 cm	
- Trasdós:	Mínimo: 16 cm	Cumple
- Intradós:	Mínimo: 0 cm	Cumple
Área mínima longitudinal cara superior viga de coronación: <i>Criterio J. Calavera. "Muros de contención y muros de sótano".</i>	Mínimo: 4 cm ² Calculado: 4 cm ²	Cumple
Se cumplen todas las comprobaciones		
Información adicional:		
- Tramo 1 -> Cota de la sección con la mínima relación 'cuantía horizontal / cuantía vertical' Trasdós: 61.09 m - Tramo 1 -> Cota de la sección con la mínima relación 'cuantía horizontal / cuantía vertical' Intradós: 61.09 m - Tramo 1 -> Sección crítica a flexión compuesta: Cota: 62.19 m, Md: 0.00 t·m/m, Nd: 0.00 t/m, Vd: 0.00 t/m, Tensión máxima del acero: 0.000 t/cm ² - Tramo 2 -> Cota de la sección con la mínima relación 'cuantía horizontal / cuantía vertical' Trasdós: 56.99 m - Tramo 2 -> Cota de la sección con la mínima relación 'cuantía horizontal / cuantía vertical' Intradós: 56.99 m - Tramo 2 -> Sección crítica a flexión compuesta: Cota: 56.99 m, Md: 12.49 t·m/m, Nd: 4.79 t/m, Vd: 8.59 t/m, Tensión máxima del acero: 4.344 t/cm ² - Tramo 2 -> Sección crítica a cortante: Cota: 57.35 m		

Referencia: Zapata corrida: Contención Primaria		
Comprobación	Valores	Estado
Comprobación de estabilidad:		
- Coeficiente de seguridad al vuelco: <i>Valor introducido por el usuario.</i>	Mínimo: 2 Calculado: 2.03	Cumple
Canto mínimo:		
- Zapata: <i>Norma EHE-08. Artículo 58.8.1</i>	Mínimo: 25 cm Calculado: 70 cm	Cumple
Tensiones sobre el terreno: <i>Valor introducido por el usuario.</i>		
- Tensión media:	Máximo: 2.5 kp/cm ² Calculado: 0.671 kp/cm ²	Cumple
- Tensión máxima:	Máximo: 3.125 kp/cm ² Calculado: 1.397 kp/cm ²	Cumple
Flexión en zapata: <i>Comprobación basada en criterios resistentes</i>	Calculado: 6.7 cm ² /m	
- Armado superior trasdós:	Mínimo: 1.39 cm ² /m	Cumple
- Armado inferior trasdós:	Mínimo: 0 cm ² /m	Cumple
- Armado superior intradós:	Mínimo: 0 cm ² /m	Cumple
- Armado inferior intradós:	Mínimo: 4.52 cm ² /m	Cumple



Referencia: Zapata corrida: Contencion Primaria		
Comprobación	Valores	Estado
<p>Esfuerzo cortante:</p> <p><i>Norma EHE-08. Artículo 44.2.3.2.1</i></p> <p>- Trasdós:</p> <p>- Intradós:</p>	<p>Máximo: 32.11 t/m</p> <p>Calculado: 0.7 t/m</p> <p>Calculado: 9.63 t/m</p>	<p>Cumple</p> <p>Cumple</p>
<p>Longitud de anclaje:</p> <p><i>Norma EHE-08. Artículo 69.5</i></p> <p>- Arranque trasdós:</p> <p>- Arranque intradós:</p> <p>- Armado inferior trasdós (Patilla):</p> <p>- Armado inferior intradós (Patilla):</p> <p>- Armado superior trasdós (Patilla):</p> <p>- Armado superior intradós (Patilla):</p>	<p>Mínimo: 27.4 cm</p> <p>Calculado: 61.8 cm</p> <p>Mínimo: 17 cm</p> <p>Calculado: 61.8 cm</p> <p>Mínimo: 16 cm</p> <p>Calculado: 20 cm</p> <p>Mínimo: 0 cm</p> <p>Calculado: 20 cm</p> <p>Mínimo: 16 cm</p> <p>Calculado: 20 cm</p> <p>Mínimo: 0 cm</p> <p>Calculado: 20 cm</p>	<p>Cumple</p> <p>Cumple</p> <p>Cumple</p> <p>Cumple</p> <p>Cumple</p> <p>Cumple</p> <p>Cumple</p>
<p>Recubrimiento:</p> <p>- Lateral:</p> <p><i>Norma EHE-08. Artículo 37.2.4.1</i></p>	<p>Mínimo: 7 cm</p> <p>Calculado: 7 cm</p>	<p>Cumple</p>
<p>Diámetro mínimo:</p> <p><i>Norma EHE-08. Artículo 58.8.2.</i></p> <p>- Armadura transversal inferior:</p> <p>- Armadura longitudinal inferior:</p> <p>- Armadura transversal superior:</p> <p>- Armadura longitudinal superior:</p>	<p>Mínimo: Ø12</p> <p>Calculado: Ø16</p> <p>Calculado: Ø16</p> <p>Calculado: Ø16</p> <p>Calculado: Ø16</p>	<p>Cumple</p> <p>Cumple</p> <p>Cumple</p> <p>Cumple</p>
<p>Separación máxima entre barras:</p> <p><i>Norma EHE-08. Artículo 42.3.1</i></p> <p>- Armadura transversal inferior:</p> <p>- Armadura transversal superior:</p> <p>- Armadura longitudinal inferior:</p> <p>- Armadura longitudinal superior:</p>	<p>Máximo: 30 cm</p> <p>Calculado: 30 cm</p> <p>Calculado: 30 cm</p> <p>Calculado: 30 cm</p> <p>Calculado: 30 cm</p>	<p>Cumple</p> <p>Cumple</p> <p>Cumple</p> <p>Cumple</p>
<p>Separación mínima entre barras:</p> <p><i>Criterio de CYPE Ingenieros, basado en: J. Calavera. "Cálculo de Estructuras de Cimentación". Capítulo 3.16</i></p> <p>- Armadura transversal inferior:</p> <p>- Armadura transversal superior:</p> <p>- Armadura longitudinal inferior:</p> <p>- Armadura longitudinal superior:</p>	<p>Mínimo: 10 cm</p> <p>Calculado: 30 cm</p> <p>Calculado: 30 cm</p> <p>Calculado: 30 cm</p> <p>Calculado: 30 cm</p>	<p>Cumple</p> <p>Cumple</p> <p>Cumple</p> <p>Cumple</p>
<p>Cuantía geométrica mínima:</p> <p><i>Norma EHE-08. Artículo 42.3.5</i></p> <p>- Armadura longitudinal inferior:</p>	<p>Mínimo: 0.0009</p> <p>Calculado: 0.00095</p>	<p>Cumple</p>



Referencia: Zapata corrida: Contencion Primaria		
Comprobación	Valores	Estado
- Armadura longitudinal superior:	Calculado: 0.00095	Cumple
- Armadura transversal inferior:	Calculado: 0.00095	Cumple
- Armadura transversal superior:	Calculado: 0.00095	Cumple
Cuantía mecánica mínima:	Calculado: 0.00095	
- Armadura longitudinal inferior: <i>Norma EHE-08. Artículo 55</i>	Mínimo: 0.00023	Cumple
- Armadura longitudinal superior: <i>Norma EHE-08. Artículo 55</i>	Mínimo: 0.00023	Cumple
- Armadura transversal inferior: <i>Norma EHE-08. Artículo 42.3.2</i>	Mínimo: 0.00083	Cumple
- Armadura transversal superior: <i>Norma EHE-08. Artículo 42.3.2</i>	Mínimo: 0.00028	Cumple
Se cumplen todas las comprobaciones		
Información adicional:		
- Momento flector pésimo en la sección de referencia del trasdós: 3.89 t·m/m		
- Momento flector pésimo en la sección de referencia del intradós: 12.51 t·m/m		

12.- COMPROBACIONES DE ESTABILIDAD (CÍRCULO DE DESLIZAMIENTO PÉSIMO)

Referencia: Comprobaciones de estabilidad (Círculo de deslizamiento pésimo): Contencion Primaria		
Comprobación	Valores	Estado
Círculo de deslizamiento pésimo:		
Combinaciones sin sismo:		
- Fase: Coordenadas del centro del círculo (-0.71 m ; 62.54 m) - Radio: 6.51 m: <i>Valor introducido por el usuario.</i>	Mínimo: 1.8 Calculado: 1.874	Cumple
Se cumplen todas las comprobaciones		



E.3.6.- MURO CONTENCION CP-1

5.- GEOMETRÍA

TRAMOS DEL MURO

Cota de la coronación	Descripción
66.20 m	Altura: 2.25 m Espesor superior: 25.0 cm Espesor inferior: 25.0 cm
63.95 m	Altura: 2.20 m Espesor superior: 35.0 cm Espesor inferior: 35.0 cm
61.75 m	Altura: 2.20 m Espesor superior: 50.0 cm Espesor inferior: 50.0 cm
Altura total: 6.65 m	

ZAPATA CORRIDA

Sin talón
Canto: 110 cm
Vuelo en el intradós: 450.0 cm
Hormigón de limpieza: 10 cm

6.- CARGAS

CARGAS EN EL TRASDÓS

Tipo	Cota	Datos	Fase inicial	Fase final
En banda	En superficie	Valor: 1 t/m ² Ancho: 10 m Separación: 10 m	Fase	Fase
En banda	En superficie	Valor: 0.5 t/m ² Ancho: 5 m Separación: 2.5 m	Fase	Fase

CARGAS EN EL INTRADÓS

Tipo	Cota	Datos	Fase inicial	Fase final
Uniforme	En superficie	Valor: 0.5 t/m ²	Fase	Fase

7.- RESULTADOS DE LAS FASES

Esfuerzos sin mayorar.

FASE 1: FASE

CARGA PERMANENTE Y EMPUJE DE TIERRAS CON SOBRECARGAS

Cota (m)	Ley de axiles (t/m)	Ley de cortantes (t/m)	Ley de momento flector (t·m/m)	Ley de empujes (t/m ²)	Presión hidrostática (t/m ²)
66.20	0.00	0.00	0.00	0.00	0.00
65.54	0.41	0.09	0.01	0.60	0.00
64.87	0.83	0.64	0.23	1.03	0.00
64.20	1.25	1.47	0.92	1.45	0.00
63.55	1.76	2.54	2.14	1.85	0.00
62.88	2.34	3.92	4.29	2.26	0.00
62.21	2.93	5.57	7.46	2.65	0.00
61.56	3.57	7.41	11.42	3.03	0.00
60.89	4.41	9.57	17.09	3.41	0.00
60.22	5.24	11.98	24.29	3.78	0.00
59.55	6.08	12.98	32.99	-2.99	0.00
Máximos	6.08	13.62	32.99	4.01	0.00
	Cota: 59.55 m	Cota: 59.80 m	Cota: 59.55 m	Cota: 59.81 m	Cota: 66.20 m



I. MEMORIA

Cota (m)	Ley de axiles (t/m)	Ley de cortantes (t/m)	Ley de momento flector (t·m/m)	Ley de empujes (t/m ²)	Presión hidrostática (t/m ²)
Mínimos	0.00 Cota: 66.20 m	0.00 Cota: 66.20 m	0.00 Cota: 66.20 m	-2.99 Cota: 59.55 m	0.00 Cota: 66.20 m

CARGA PERMANENTE Y EMPUJE DE TIERRAS

Cota (m)	Ley de axiles (t/m)	Ley de cortantes (t/m)	Ley de momento flector (t·m/m)	Ley de empujes (t/m ²)	Presión hidrostática (t/m ²)
66.20	0.00	0.00	0.00	0.00	0.00
65.54	0.41	0.01	0.00	0.10	0.00
64.87	0.83	0.21	0.06	0.50	0.00
64.20	1.25	0.67	0.34	0.90	0.00
63.55	1.76	1.39	0.92	1.29	0.00
62.88	2.34	2.39	2.17	1.69	0.00
62.21	2.93	3.65	4.18	2.09	0.00
61.56	3.57	5.14	6.78	2.48	0.00
60.89	4.41	6.94	10.81	2.89	0.00
60.22	5.24	9.01	16.14	3.29	0.00
59.55	6.08	9.95	22.77	-2.41	0.00
Máximos	6.08 Cota: 59.55 m	10.44 Cota: 59.80 m	22.77 Cota: 59.55 m	3.53 Cota: 59.81 m	0.00 Cota: 66.20 m
Mínimos	0.00 Cota: 66.20 m	0.00 Cota: 66.20 m	0.00 Cota: 66.20 m	-2.41 Cota: 59.55 m	0.00 Cota: 66.20 m

8.- COMBINACIONES

HIPÓTESIS

1 - Carga permanente
2 - Empuje de tierras
3 - Sobrecarga

COMBINACIONES PARA ESTADOS LÍMITE ÚLTIMOS

Combinación	Hipótesis		
	1	2	3
1	1.00	1.00	
2	1.35	1.00	
3	1.00	1.50	
4	1.35	1.50	
5	1.00	1.00	1.50
6	1.35	1.00	1.50
7	1.00	1.50	1.50
8	1.35	1.50	1.50

COMBINACIONES PARA ESTADOS LÍMITE DE SERVICIO

Combinación	Hipótesis		
	1	2	3
1	1.00	1.00	
2	1.00	1.00	0.60

9.- DESCRIPCIÓN DEL ARMADO

CORONACIÓN
Armadura superior: 2Ø16
Anclaje intradós / trasdós: 16 / 16 cm



TRAMOS				
Núm.	Intradós		Trasdós	
	Vertical	Horizontal	Vertical	Horizontal
1	Ø10c/30 Solape: 0.25 m	Ø10c/30	Ø10c/20 Solape: 0.35 m	Ø10c/20
2	Ø10c/30 Solape: 0.25 m	Ø12c/30	Ø12c/20 Solape: 0.4 m Refuerzo 1: Ø16 h=1.5 m	Ø12c/30
3	Ø10c/30 Solape: 0.25 m	Ø12c/20	Ø20c/20 Solape: 1.1 m Refuerzo 1: Ø20 h=1.8 m	Ø16c/30
ZAPATA				
Armadura	Longitudinal	Transversal		
Inferior	Ø16c/20	Ø16c/10 Patilla intradós / trasdós: 20 / 20 cm		
Longitud de pata en arranque: 30 cm				

10.- COMPROBACIONES GEOMÉTRICAS Y DE RESISTENCIA

Referencia: Muro: Cierre_6.15 (Cierre maximo 6.15 m altura)		
Comprobación	Valores	Estado
Comprobación a rasante en arranque muro: <i>Criterio de CYPE Ingenieros</i>		
- Tramo 1:	Máximo: 27.57 t/m Calculado: 2.77 t/m	Cumple
- Tramo 2:	Máximo: 80.87 t/m Calculado: 10.27 t/m	Cumple
- Tramo 3:	Máximo: 155.07 t/m Calculado: 19.47 t/m	Cumple
Espesor mínimo del tramo: <i>Jiménez Salas, J.A.. Geotecnia y Cimientos II, (Cap. 12)</i>	Mínimo: 20 cm	
- Tramo 1:	Calculado: 25 cm	Cumple
- Tramo 2:	Calculado: 35 cm	Cumple
- Tramo 3:	Calculado: 50 cm	Cumple
Separación libre mínima armaduras horizontales: <i>Norma EHE-08. Artículo 69.4.1</i>	Mínimo: 3.7 cm	
- Tramo 1:		
- Trasdós:	Calculado: 19 cm	Cumple
- Intradós:	Calculado: 29 cm	Cumple
- Tramo 2:		
- Trasdós:	Calculado: 28.8 cm	Cumple
- Intradós:	Calculado: 28.8 cm	Cumple
- Tramo 3:		
- Trasdós:	Calculado: 28.4 cm	Cumple
- Intradós:	Calculado: 18.8 cm	Cumple
Separación máxima armaduras horizontales: <i>Norma EHE-08. Artículo 42.3.1</i>	Máximo: 30 cm	
- Tramo 1:		



Referencia: Muro: Cierre_6.15 (Cierre maximo 6.15 m altura)		
Comprobación	Valores	Estado
- Trasdós:	Calculado: 20 cm	Cumple
- Intradós:	Calculado: 30 cm	Cumple
- Tramo 2:		
- Trasdós:	Calculado: 30 cm	Cumple
- Intradós:	Calculado: 30 cm	Cumple
- Tramo 3:		
- Trasdós:	Calculado: 30 cm	Cumple
- Intradós:	Calculado: 20 cm	Cumple
Cuantía geométrica mínima horizontal por cara: <i>Norma EHE-08. Artículo 42.3.5</i>		
	Mínimo: 0.001	
- Tramo 1:		
- Trasdós (63.95 m):	Calculado: 0.00157	Cumple
- Intradós (63.95 m):	Calculado: 0.00104	Cumple
- Tramo 2:		
- Trasdós (61.75 m):	Calculado: 0.00107	Cumple
- Intradós (61.75 m):	Calculado: 0.00107	Cumple
- Tramo 3:		
- Trasdós (59.55 m):	Calculado: 0.00134	Cumple
- Intradós (59.55 m):	Calculado: 0.00113	Cumple
Cuantía mínima mecánica horizontal por cara: <i>Criterio J.Calavera. "Muros de contención y muros de sótano". (Cuantía horizontal > 20% Cuantía vertical)</i>		
- Tramo 1:		
- Trasdós:	Mínimo: 0.00031 Calculado: 0.00157	Cumple
- Intradós:	Mínimo: 0.0002 Calculado: 0.00104	Cumple
- Tramo 2:		
- Trasdós:	Calculado: 0.00107	
- Intradós:	Mínimo: 0.00089 Mínimo: 0.00014	Cumple
- Tramo 3:		
- Trasdós:	Mínimo: 0.00125 Calculado: 0.00134	Cumple
- Intradós:	Mínimo: 0.0001 Calculado: 0.00113	Cumple
Cuantía mínima geométrica vertical cara traccionada: <i>Norma EHE-08. Artículo 42.3.5</i>		
	Mínimo: 0.0009	
- Tramo 1:		
- Trasdós (63.95 m):	Calculado: 0.00157	Cumple
- Tramo 2:		
- Trasdós (61.75 m):	Calculado: 0.00448	Cumple
- Trasdós (63.25 m):	Calculado: 0.00161	Cumple



Referencia: Muro: Cierre_6.15 (Cierre maximo 6.15 m altura)		
Comprobación	Valores	Estado
- Tramo 3:		
- Trasdós (59.55 m):	Calculado: 0.00628	Cumple
- Trasdós (61.35 m):	Calculado: 0.00314	Cumple
Cuántía mínima mecánica vertical cara traccionada: <i>Norma EHE-08. Artículo 42.3.2</i>	Mínimo: 0.00153	
- Tramo 1. Trasdós (63.95 m):	Calculado: 0.00157	Cumple
- Tramo 2:		
- Trasdós (61.75 m):	Calculado: 0.00448	Cumple
- Trasdós (63.25 m):	Calculado: 0.00161	Cumple
- Tramo 3:		
- Trasdós (59.55 m):	Calculado: 0.00628	Cumple
- Trasdós (61.35 m):	Calculado: 0.00314	Cumple
Cuántía mínima geométrica vertical cara comprimida: <i>Norma EHE-08. Artículo 42.3.5</i>	Mínimo: 0.00027	
- Tramo 1. Intradós (63.95 m):	Calculado: 0.00104	Cumple
- Tramo 2:		
- Intradós (61.75 m):	Calculado: 0.00074	Cumple
- Intradós (63.25 m):	Calculado: 0.00074	Cumple
- Tramo 3:		
- Intradós (59.55 m):	Calculado: 0.00052	Cumple
- Intradós (61.35 m):	Calculado: 0.00052	Cumple
Cuántía mínima mecánica vertical cara comprimida: <i>Norma EHE-08. Artículo 42.3.3</i>		
- Tramo 1. Intradós (63.95 m):	Mínimo: 0 Calculado: 0.00104	Cumple
- Tramo 2:	Calculado: 0.00074	
- Intradós (61.75 m):	Mínimo: 1e-005	Cumple
- Intradós (63.25 m):	Mínimo: 0	Cumple
- Tramo 3:	Mínimo: 1e-005	
- Intradós (59.55 m):	Calculado: 0.00052	Cumple
- Intradós (61.35 m):	Calculado: 0.00052	Cumple
Separación libre mínima armaduras verticales: <i>Norma EHE-08. Artículo 69.4.1</i>	Mínimo: 3.7 cm	
- Tramo 1:		
- Trasdós, vertical:	Calculado: 18 cm	Cumple
- Intradós, vertical:	Calculado: 28 cm	Cumple
- Tramo 2:		
- Trasdós, vertical:	Calculado: 8 cm	Cumple
- Intradós, vertical:	Calculado: 28 cm	Cumple



Referencia: Muro: Cierre_6.15 (Cierre maximo 6.15 m altura)		
Comprobación	Valores	Estado
- Tramo 3:		
- Trasdós, vertical:	Calculado: 7 cm	Cumple
- Intradós, vertical:	Calculado: 28 cm	Cumple
Separación máxima entre barras: <i>Norma EHE-08. Artículo 42.3.1</i>	Máximo: 30 cm	
- Tramo 1:		
- Armadura vertical Trasdós, vertical:	Calculado: 20 cm	Cumple
- Armadura vertical Intradós, vertical:	Calculado: 30 cm	Cumple
- Tramo 2:		
- Armadura vertical Trasdós, vertical:	Calculado: 20 cm	Cumple
- Armadura vertical Intradós, vertical:	Calculado: 30 cm	Cumple
- Tramo 3:		
- Armadura vertical Trasdós, vertical:	Calculado: 20 cm	Cumple
- Armadura vertical Intradós, vertical:	Calculado: 30 cm	Cumple
Comprobación a flexión compuesta: <i>Comprobación realizada por unidad de longitud de muro</i>		
- Tramo 1:		Cumple
- Tramo 2:		Cumple
- Tramo 3:		Cumple
Comprobación a cortante: <i>Norma EHE-08. Artículo 44.2.3.2.1</i>		
- Tramo 1:	Máximo: 15.25 t/m Calculado: 2.28 t/m	Cumple
- Tramo 2:	Máximo: 19.7 t/m Calculado: 8.94 t/m	Cumple
- Tramo 3:	Máximo: 25.81 t/m Calculado: 19.17 t/m	Cumple
Comprobación de fisuración: <i>Norma EHE-08. Artículo 49.2.3</i>		
- Tramo 1:	Máximo: 0.3 mm Calculado: 0 mm	Cumple
- Tramo 2:	Calculado: 0.16 mm	Cumple
- Tramo 3:	Calculado: 0.236 mm	Cumple
Longitud de solapes: <i>Norma EHE-08. Artículo 69.5.2</i>		
- Tramo 1:		
- Base trasdós:	Mínimo: 0.35 m Calculado: 0.35 m	Cumple
- Base intradós:	Mínimo: 0.25 m Calculado: 0.25 m	Cumple
- Tramo 2:		
- Base trasdós:	Mínimo: 0.39 m Calculado: 0.4 m	Cumple



Referencia: Muro: Cierre_6.15 (Cierre maximo 6.15 m altura)		
Comprobación	Valores	Estado
- Base intradós:	Mínimo: 0.25 m Calculado: 0.25 m	Cumple
- Tramo 3:		
- Base trasdós:	Mínimo: 1.08 m Calculado: 1.1 m	Cumple
- Base intradós:	Mínimo: 0.25 m Calculado: 0.25 m	Cumple
Comprobación del anclaje del armado base en coronación:		
<i>Criterio J.Calavera. "Muros de contención y muros de sótano".</i>		
- Trasdós:	Calculado: 16 cm Mínimo: 16 cm	Cumple
- Intradós:	Mínimo: 0 cm	Cumple
Área mínima longitudinal cara superior viga de coronación:		
<i>Criterio J.Calavera. "Muros de contención y muros de sótano".</i>		
	Mínimo: 4 cm ² Calculado: 4 cm ²	Cumple
Se cumplen todas las comprobaciones		
Información adicional:		
- Tramo 1 -> Cota de la sección con la mínima relación 'cuantía horizontal / cuantía vertical' Trasdós: 63.95 m - Tramo 1 -> Cota de la sección con la mínima relación 'cuantía horizontal / cuantía vertical' Intradós: 63.95 m - Tramo 1 -> Sección crítica a flexión compuesta: Cota: 63.95 m, Md: 2.01 t·m/m, Nd: 1.41 t/m, Vd: 2.78 t/m, Tensión máxima del acero: 2.362 t/cm ² - Tramo 1 -> Sección crítica a cortante: Cota: 64.16 m - Tramo 2 -> Cota de la sección con la mínima relación 'cuantía horizontal / cuantía vertical' Trasdós: 61.75 m - Tramo 2 -> Cota de la sección con la mínima relación 'cuantía horizontal / cuantía vertical' Intradós: 61.75 m - Tramo 2 -> Sección crítica a flexión compuesta: Cota: 62.85 m, Md: 6.65 t·m/m, Nd: 2.37 t/m, Vd: 5.99 t/m, Tensión máxima del acero: 3.810 t/cm ² - Tramo 2 -> Sección crítica a cortante: Cota: 62.06 m - Tramo 2 -> Sección con la máxima abertura de fisuras: Cota: 61.75 m, M: 8.62 t·m/m, N: 3.33 t/m - Tramo 3 -> Cota de la sección con la mínima relación 'cuantía horizontal / cuantía vertical' Trasdós: 59.55 m - Tramo 3 -> Cota de la sección con la mínima relación 'cuantía horizontal / cuantía vertical' Intradós: 59.55 m - Tramo 3 -> Sección crítica a flexión compuesta: Cota: 60.65 m, Md: 29.39 t·m/m, Nd: 4.71 t/m, Vd: 15.60 t/m, Tensión máxima del acero: 4.325 t/cm ² - Tramo 3 -> Sección crítica a cortante: Cota: 60.01 m - Tramo 3 -> Sección con la máxima abertura de fisuras: Cota: 59.55 m, M: 28.91 t·m/m, N: 6.08 t/m		

Referencia: Zapata corrida: Cierre_6.15 (Cierre maximo 6.15 m altura)		
Comprobación	Valores	Estado
Comprobación de estabilidad:		
- Coeficiente de seguridad al vuelco:	Mínimo: 2 Calculado: 2	Cumple
<i>Valor introducido por el usuario.</i>		
Canto mínimo:		
- Zapata:	Mínimo: 25 cm Calculado: 110 cm	Cumple
<i>Norma EHE-08. Artículo 58.8.1</i>		
Tensiones sobre el terreno:		
<i>Valor introducido por el usuario.</i>		
- Tensión media:	Máximo: 2.5 kp/cm ² Calculado: 0.702 kp/cm ²	Cumple
- Tensión máxima:	Máximo: 3.125 kp/cm ² Calculado: 1.598 kp/cm ²	Cumple



Referencia: Zapata corrida: Cierre_6.15 (Cierre máximo 6.15 m altura)		
Comprobación	Valores	Estado
Flexión en zapata: - Armado inferior intradós: <i>Comprobación basada en criterios resistentes</i>	Mínimo: 15.22 cm ² /m Calculado: 20.1 cm ² /m	Cumple
Esfuerzo cortante: - Intradós: <i>Norma EHE-08. Artículo 44.2.3.2.1</i>	Máximo: 46.06 t/m Calculado: 18.12 t/m	Cumple
Longitud de anclaje: <i>Norma EHE-08. Artículo 69.5</i> - Arranque trasdós: - Arranque intradós: - Armado inferior trasdós (Patilla): - Armado inferior intradós (Patilla):	Mínimo: 36.2 cm Calculado: 101.8 cm Mínimo: 17 cm Calculado: 101.8 cm Mínimo: 16 cm Calculado: 20 cm Mínimo: 0 cm Calculado: 20 cm	Cumple Cumple Cumple Cumple
Recubrimiento: - Lateral: <i>Norma EHE-08. Artículo 37.2.4.1</i>	Mínimo: 7 cm Calculado: 7 cm	Cumple
Diámetro mínimo: <i>Norma EHE-08. Artículo 58.8.2.</i> - Armadura transversal inferior: - Armadura longitudinal inferior:	Mínimo: Ø12 Calculado: Ø16 Calculado: Ø16	Cumple Cumple
Separación máxima entre barras: <i>Norma EHE-08. Artículo 42.3.1</i> - Armadura transversal inferior: - Armadura longitudinal inferior:	Máximo: 30 cm Calculado: 10 cm Calculado: 20 cm	Cumple Cumple
Separación mínima entre barras: <i>Criterio de CYPE Ingenieros, basado en: J. Calavera. "Cálculo de Estructuras de Cimentación". Capítulo 3.16</i> - Armadura transversal inferior: - Armadura longitudinal inferior:	Mínimo: 10 cm Calculado: 10 cm Calculado: 20 cm	Cumple Cumple
Cuantía geométrica mínima: <i>Norma EHE-08. Artículo 42.3.5</i> - Armadura longitudinal inferior: - Armadura transversal inferior:	Mínimo: 0.0009 Calculado: 0.00091 Calculado: 0.00182	Cumple Cumple
Cuantía mecánica mínima: - Armadura longitudinal inferior: <i>Norma EHE-08. Artículo 55</i> - Armadura transversal inferior: <i>Norma EHE-08. Artículo 42.3.2</i>	Mínimo: 0.00045 Calculado: 0.00091 Mínimo: 0.00145 Calculado: 0.00182	Cumple Cumple
Se cumplen todas las comprobaciones		
Información adicional:		



Referencia: Zapata corrida: Cierre_6.15 (Cierre maximo 6.15 m altura)		
Comprobación	Valores	Estado
- Momento flector pésimo en la sección de referencia del intradós: 68.17 t·m/m		

11.- COMPROBACIONES DE ESTABILIDAD (CÍRCULO DE DESLIZAMIENTO PÉSIMO)

Referencia: Comprobaciones de estabilidad (Círculo de deslizamiento pésimo): Cierre_6.15 (Cierre maximo 6.15 m altura)		
Comprobación	Valores	Estado
Círculo de deslizamiento pésimo: Combinaciones sin sismo: - Fase: Coordenadas del centro del círculo (-3.05 m ; 70.60 m) - Radio: 12.53 m: <i>Valor introducido por el usuario.</i>	Mínimo: 1.8 Calculado: 2.343	Cumple
Se cumplen todas las comprobaciones		



E.3.7.- MURO CONTENCION CP-2

5.- GEOMETRÍA

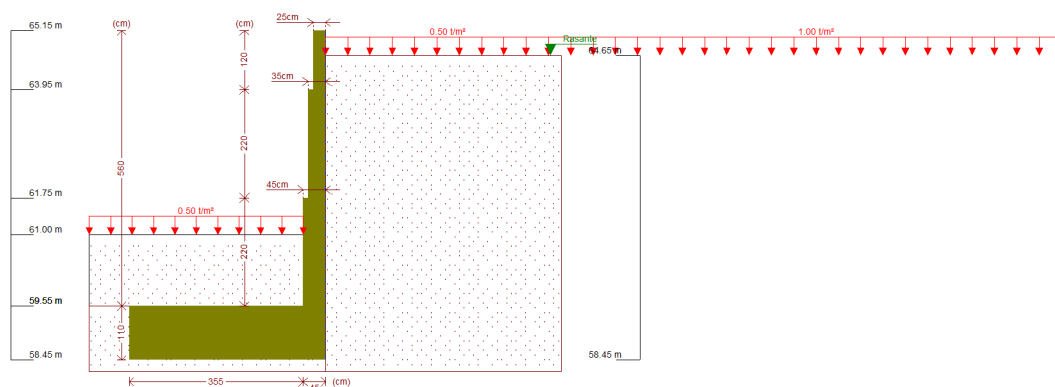
TRAMOS DEL MURO

Cota de la coronación	Descripción
65.15 m	Altura: 1.20 m Espesor superior: 25.0 cm Espesor inferior: 25.0 cm
63.95 m	Altura: 2.20 m Espesor superior: 35.0 cm Espesor inferior: 35.0 cm
61.75 m	Altura: 2.20 m Espesor superior: 45.0 cm Espesor inferior: 45.0 cm
Altura total: 5.60 m	

ZAPATA CORRIDA

Sin talón
Canto: 110 cm
Vuelo en el intradós: 355.0 cm
Hormigón de limpieza: 10 cm

6.- ESQUEMA DE LAS FASES



Fase 1: Fase

7.- CARGAS

CARGAS EN EL TRASDÓS

Tipo	Cota	Datos	Fase inicial	Fase final
En banda	En superficie	Valor: 1 t/m² Ancho: 10 m Separación: 10 m	Fase	Fase
En banda	En superficie	Valor: 0.5 t/m² Ancho: 5 m Separación: 2.5 m	Fase	Fase

CARGAS EN EL INTRADÓS

Tipo	Cota	Datos	Fase inicial	Fase final
Uniforme	En superficie	Valor: 0.5 t/m²	Fase	Fase

8.- RESULTADOS DE LAS FASES

Esfuerzos sin mayorar.

FASE 1: FASE



CARGA PERMANENTE Y EMPUJE DE TIERRAS CON SOBRECARGAS

Cota (m)	Ley de axiles (t/m)	Ley de cortantes (t/m)	Ley de momento flector (t·m/m)	Ley de empujes (t/m ²)	Presión hidrostática (t/m ²)
65.15	0.00	0.00	0.00	0.00	0.00
64.60	0.34	0.03	0.00	0.53	0.00
64.04	0.69	0.42	0.12	0.89	0.00
63.50	1.14	1.00	0.46	1.23	0.00
62.94	1.63	1.79	1.23	1.58	0.00
62.38	2.12	2.77	2.49	1.93	0.00
61.82	2.61	3.95	4.37	2.26	0.00
61.28	3.20	5.25	6.71	2.58	0.00
60.72	3.83	6.79	10.07	2.91	0.00
60.16	4.46	8.51	14.35	3.23	0.00
59.60	5.09	9.10	19.51	-3.39	0.00
Máximos	5.15 Cota: 59.55 m	9.71 Cota: 59.80 m	19.96 Cota: 59.55 m	3.42 Cota: 59.81 m	0.00 Cota: 65.15 m
Mínimos	0.00 Cota: 65.15 m	0.00 Cota: 65.15 m	0.00 Cota: 65.15 m	-3.58 Cota: 59.55 m	0.00 Cota: 65.15 m

CARGA PERMANENTE Y EMPUJE DE TIERRAS

Cota (m)	Ley de axiles (t/m)	Ley de cortantes (t/m)	Ley de momento flector (t·m/m)	Ley de empujes (t/m ²)	Presión hidrostática (t/m ²)
65.15	0.00	0.00	0.00	0.00	0.00
64.60	0.34	0.00	0.00	0.03	0.00
64.04	0.69	0.11	0.02	0.37	0.00
63.50	1.14	0.40	0.11	0.69	0.00
62.94	1.63	0.88	0.46	1.03	0.00
62.38	2.12	1.55	1.13	1.36	0.00
61.82	2.61	2.40	2.23	1.70	0.00
61.28	3.20	3.41	3.66	2.02	0.00
60.72	3.83	4.63	5.90	2.36	0.00
60.16	4.46	6.05	8.88	2.69	0.00
59.60	5.09	6.56	12.60	-2.86	0.00
Máximos	5.15 Cota: 59.55 m	7.06 Cota: 59.80 m	12.93 Cota: 59.55 m	2.90 Cota: 59.81 m	0.00 Cota: 65.15 m
Mínimos	0.00 Cota: 65.15 m	0.00 Cota: 65.15 m	-0.00 Cota: 63.95 m	-3.04 Cota: 59.55 m	0.00 Cota: 65.15 m

9.- COMBINACIONES

HIPÓTESIS

1 - Carga permanente
2 - Empuje de tierras
3 - Sobrecarga

COMBINACIONES PARA ESTADOS LÍMITE ÚLTIMOS

Combinación	Hipótesis		
	1	2	3
1	1.00	1.00	
2	1.35	1.00	
3	1.00	1.50	
4	1.35	1.50	
5	1.00	1.00	1.50
6	1.35	1.00	1.50
7	1.00	1.50	1.50



Hipótesis			
Combinación	1	2	3
8	1.35	1.50	1.50

COMBINACIONES PARA ESTADOS LÍMITE DE SERVICIO

Hipótesis			
Combinación	1	2	3
1	1.00	1.00	
2	1.00	1.00	0.60

10.- DESCRIPCIÓN DEL ARMADO

CORONACIÓN				
Armadura superior: 2Ø16				
Anclaje intradós / trasdós: 16 / 16 cm				
TRAMOS				
Núm.	Intradós		Trasdós	
	Vertical	Horizontal	Vertical	Horizontal
1	Ø10c/30 Solape: 0.25 m	Ø10c/20	Ø10c/20 Solape: 0.35 m	Ø10c/20
2	Ø10c/30 Solape: 0.25 m	Ø12c/30	Ø12c/20 Solape: 0.45 m	Ø12c/30
3	Ø10c/30 Solape: 0.25 m	Ø12c/25	Ø16c/20 Solape: 0.55 m Refuerzo 1: Ø16 h=1.5 m	Ø12c/25
ZAPATA				
Armadura	Longitudinal	Transversal		
Inferior	Ø16c/20	Ø16c/15 Patilla intradós / trasdós: 20 / 20 cm		
Longitud de pata en arranque: 30 cm				

11.- COMPROBACIONES GEOMÉTRICAS Y DE RESISTENCIA

Referencia: Muro: Cierre_5.10 (Cierre maximo 5.10 m altura)		
Comprobación	Valores	Estado
Comprobación a rasante en arranque muro: <i>Criterio de CYPE Ingenieros</i>		
- Tramo 1:	Máximo: 27.57 t/m Calculado: 0.76 t/m	Cumple
- Tramo 2:	Máximo: 40.9 t/m Calculado: 6.15 t/m	Cumple
- Tramo 3:	Máximo: 105.75 t/m Calculado: 13.38 t/m	Cumple
Espesor mínimo del tramo: <i>Jiménez Salas, J.A.. Geotecnia y Cimientos II, (Cap. 12)</i>	Mínimo: 20 cm	
- Tramo 1:	Calculado: 25 cm	Cumple
- Tramo 2:	Calculado: 35 cm	Cumple
- Tramo 3:	Calculado: 45 cm	Cumple
Separación libre mínima armaduras horizontales: <i>Norma EHE-08. Artículo 69.4.1</i>	Mínimo: 3.7 cm	



Referencia: Muro: Cierre_5.10 (Cierre maximo 5.10 m altura)		
Comprobación	Valores	Estado
- Tramo 1:		
- Trasdós:	Calculado: 19 cm	Cumple
- Intradós:	Calculado: 19 cm	Cumple
- Tramo 2:		
- Trasdós:	Calculado: 28.8 cm	Cumple
- Intradós:	Calculado: 28.8 cm	Cumple
- Tramo 3:		
- Trasdós:	Calculado: 23.8 cm	Cumple
- Intradós:	Calculado: 23.8 cm	Cumple
Separación máxima armaduras horizontales: <i>Norma EHE-08. Artículo 42.3.1</i>	Máximo: 30 cm	
- Tramo 1:		
- Trasdós:	Calculado: 20 cm	Cumple
- Intradós:	Calculado: 20 cm	Cumple
- Tramo 2:		
- Trasdós:	Calculado: 30 cm	Cumple
- Intradós:	Calculado: 30 cm	Cumple
- Tramo 3:		
- Trasdós:	Calculado: 25 cm	Cumple
- Intradós:	Calculado: 25 cm	Cumple
Cuantía geométrica mínima horizontal por cara: <i>Norma EHE-08. Artículo 42.3.5</i>	Mínimo: 0.001	
- Tramo 1:		
- Trasdós (63.95 m):	Calculado: 0.00157	Cumple
- Intradós (63.95 m):	Calculado: 0.00157	Cumple
- Tramo 2:		
- Trasdós (61.75 m):	Calculado: 0.00107	Cumple
- Intradós (61.75 m):	Calculado: 0.00107	Cumple
- Tramo 3:		
- Trasdós (59.55 m):	Calculado: 0.001	Cumple
- Intradós (59.55 m):	Calculado: 0.001	Cumple
Cuantía mínima mecánica horizontal por cara: <i>Criterio J.Calavera. "Muros de contención y muros de sótano". (Cuantía horizontal > 20% Cuantía vertical)</i>		
- Tramo 1:	Calculado: 0.00157	
- Trasdós:	Mínimo: 0.00031	Cumple
- Intradós:	Mínimo: 0.0002	Cumple
- Tramo 2:	Calculado: 0.00107	
- Trasdós:	Mínimo: 0.00032	Cumple
- Intradós:	Mínimo: 0.00014	Cumple



Referencia: Muro: Cierre_5.10 (Cierre maximo 5.10 m altura)		
Comprobación	Valores	Estado
- Tramo 3:	Calculado: 0.001	
- Trasdós:	Mínimo: 0.00089	Cumple
- Intradós:	Mínimo: 0.00011	Cumple
Cuantía mínima geométrica vertical cara traccionada:		
<i>Norma EHE-08. Artículo 42.3.5</i>		
- Tramo 1.		
Trasdós (63.95 m):	Calculado: 0.00157	Cumple
- Tramo 2.		
Trasdós (61.75 m):	Calculado: 0.00161	Cumple
- Tramo 3:		
- Trasdós (59.55 m):	Calculado: 0.00446	Cumple
- Trasdós (61.05 m):	Calculado: 0.00223	Cumple
Cuantía mínima mecánica vertical cara traccionada:		
<i>Norma EHE-08. Artículo 42.3.2</i>		
- Tramo 1.		
Trasdós (63.95 m):	Calculado: 0.00157	Cumple
- Tramo 2.		
Trasdós (61.75 m):	Calculado: 0.00161	Cumple
- Tramo 3:		
- Trasdós (59.55 m):	Calculado: 0.00446	Cumple
- Trasdós (61.05 m):	Calculado: 0.00223	Cumple
Cuantía mínima geométrica vertical cara comprimida:		
<i>Norma EHE-08. Artículo 42.3.5</i>		
- Tramo 1.		
Intradós (63.95 m):	Calculado: 0.00104	Cumple
- Tramo 2.		
Intradós (61.75 m):	Calculado: 0.00074	Cumple
- Tramo 3:		
- Intradós (59.55 m):	Calculado: 0.00058	Cumple
- Intradós (61.05 m):	Calculado: 0.00058	Cumple
Cuantía mínima mecánica vertical cara comprimida:		
<i>Norma EHE-08. Artículo 42.3.3</i>		
- Tramo 1.		
Intradós (63.95 m):	Mínimo: 0 Calculado: 0.00104	Cumple
- Tramo 2.		
Intradós (61.75 m):	Mínimo: 1e-005 Calculado: 0.00074	Cumple
- Tramo 3:		
- Intradós (59.55 m):	Mínimo: 1e-005 Calculado: 0.00058	Cumple
- Intradós (61.05 m):	Calculado: 0.00058	Cumple
Separación libre mínima armaduras verticales:		
<i>Norma EHE-08. Artículo 69.4.1</i>		
- Tramo 1:		
- Trasdós, vertical:	Mínimo: 3.7 cm Calculado: 18 cm	Cumple



Referencia: Muro: Cierre_5.10 (Cierre maximo 5.10 m altura)		
Comprobación	Valores	Estado
- Intradós, vertical:	Calculado: 28 cm	Cumple
- Tramo 2:		
- Trasdós, vertical:	Calculado: 17.6 cm	Cumple
- Intradós, vertical:	Calculado: 28 cm	Cumple
- Tramo 3:		
- Trasdós, vertical:	Calculado: 7.6 cm	Cumple
- Intradós, vertical:	Calculado: 28 cm	Cumple
Separación máxima entre barras: <i>Norma EHE-08. Artículo 42.3.1</i>	Máximo: 30 cm	
- Tramo 1:		
- Armadura vertical Trasdós, vertical:	Calculado: 20 cm	Cumple
- Armadura vertical Intradós, vertical:	Calculado: 30 cm	Cumple
- Tramo 2:		
- Armadura vertical Trasdós, vertical:	Calculado: 20 cm	Cumple
- Armadura vertical Intradós, vertical:	Calculado: 30 cm	Cumple
- Tramo 3:		
- Armadura vertical Trasdós, vertical:	Calculado: 20 cm	Cumple
- Armadura vertical Intradós, vertical:	Calculado: 30 cm	Cumple
Comprobación a flexión compuesta: <i>Comprobación realizada por unidad de longitud de muro</i>		
- Tramo 1:		Cumple
- Tramo 2:		Cumple
- Tramo 3:		Cumple
Comprobación a cortante: <i>Norma EHE-08. Artículo 44.2.3.2.1</i>		
- Tramo 1:	Máximo: 15.16 t/m Calculado: 0.47 t/m	Cumple
- Tramo 2:	Máximo: 19.61 t/m Calculado: 5.11 t/m	Cumple
- Tramo 3:	Máximo: 23.85 t/m Calculado: 13.73 t/m	Cumple
Comprobación de fisuración: <i>Norma EHE-08. Artículo 49.2.3</i>		
- Tramo 1:	Máximo: 0.3 mm Calculado: 0 mm	Cumple
- Tramo 2:	Calculado: 0 mm	Cumple
- Tramo 3:	Calculado: 0.222 mm	Cumple
Longitud de solapes: <i>Norma EHE-08. Artículo 69.5.2</i>		
- Tramo 1:		
- Base trasdós:	Mínimo: 0.35 m Calculado: 0.35 m	Cumple



Referencia: Muro: Cierre_5.10 (Cierre maximo 5.10 m altura)		
Comprobación	Valores	Estado
- Base intradós:	Mínimo: 0.25 m Calculado: 0.25 m	Cumple
- Tramo 2:		
- Base trasdós:	Mínimo: 0.42 m Calculado: 0.45 m	Cumple
- Base intradós:	Mínimo: 0.25 m Calculado: 0.25 m	Cumple
- Tramo 3:		
- Base trasdós:	Mínimo: 0.52 m Calculado: 0.55 m	Cumple
- Base intradós:	Mínimo: 0.25 m Calculado: 0.25 m	Cumple
Comprobación del anclaje del armado base en coronación:		
<i>Criterio J.Calavera. "Muros de contención y muros de sótano".</i>		
- Trasdós:	Calculado: 16 cm Mínimo: 16 cm	Cumple
- Intradós:	Mínimo: 0 cm	Cumple
Área mínima longitudinal cara superior viga de coronación:		
<i>Criterio J.Calavera. "Muros de contención y muros de sótano".</i>		
	Mínimo: 4 cm ² Calculado: 4 cm ²	Cumple
Se cumplen todas las comprobaciones		
Información adicional:		
- Tramo 1 -> Cota de la sección con la mínima relación 'cuantía horizontal / cuantía vertical' Trasdós: 63.95 m - Tramo 1 -> Cota de la sección con la mínima relación 'cuantía horizontal / cuantía vertical' Intradós: 63.95 m - Tramo 1 -> Sección crítica a flexión compuesta: Cota: 63.95 m, Md: 0.24 t·m/m, Nd: 0.75 t/m, Vd: 0.76 t/m, Tensión máxima del acero: 0.206 t/cm ² - Tramo 1 -> Sección crítica a cortante: Cota: 64.16 m - Tramo 2 -> Cota de la sección con la mínima relación 'cuantía horizontal / cuantía vertical' Trasdós: 61.75 m - Tramo 2 -> Cota de la sección con la mínima relación 'cuantía horizontal / cuantía vertical' Intradós: 61.75 m - Tramo 2 -> Sección crítica a flexión compuesta: Cota: 61.75 m, Md: 6.99 t·m/m, Nd: 2.67 t/m, Vd: 6.16 t/m, Tensión máxima del acero: 3.988 t/cm ² - Tramo 2 -> Sección crítica a cortante: Cota: 62.06 m - Tramo 3 -> Cota de la sección con la mínima relación 'cuantía horizontal / cuantía vertical' Trasdós: 59.55 m - Tramo 3 -> Cota de la sección con la mínima relación 'cuantía horizontal / cuantía vertical' Intradós: 59.55 m - Tramo 3 -> Sección crítica a flexión compuesta: Cota: 60.50 m, Md: 17.54 t·m/m, Nd: 4.08 t/m, Vd: 11.17 t/m, Tensión máxima del acero: 4.392 t/cm ² - Tramo 3 -> Sección crítica a cortante: Cota: 59.96 m - Tramo 3 -> Sección con la máxima abertura de fisuras: Cota: 59.55 m, M: 17.14 t·m/m, N: 5.15 t/m		

Referencia: Zapata corrida: Cierre_5.10 (Cierre maximo 5.10 m altura)		
Comprobación	Valores	Estado
Comprobación de estabilidad:		
- Coeficiente de seguridad al vuelco:	Mínimo: 2 Calculado: 2	Cumple
<i>Valor introducido por el usuario.</i>		
Canto mínimo:		
- Zapata:	Mínimo: 25 cm Calculado: 110 cm	Cumple
<i>Norma EHE-08. Artículo 58.8.1</i>		
Tensiones sobre el terreno:		
<i>Valor introducido por el usuario.</i>		



Referencia: Zapata corrida: Cierre_5.10 (Cierre maximo 5.10 m altura)		
Comprobación	Valores	Estado
- Tensión media:	Máximo: 2.5 kp/cm ² Calculado: 0.705 kp/cm ²	Cumple
- Tensión máxima:	Máximo: 3.125 kp/cm ² Calculado: 1.538 kp/cm ²	Cumple
Flexión en zapata:		
- Armado inferior intradós:	Mínimo: 9.22 cm ² /m Calculado: 13.4 cm ² /m	Cumple
<i>Comprobación basada en criterios resistentes</i>		
Esfuerzo cortante:		
- Intradós:	Máximo: 46.06 t/m Calculado: 14.98 t/m	Cumple
<i>Norma EHE-08. Artículo 44.2.3.2.1</i>		
Longitud de anclaje:		
<i>Norma EHE-08. Artículo 69.5</i>		
- Arranque trasdós:	Mínimo: 24.8 cm Calculado: 101.8 cm	Cumple
- Arranque intradós:	Mínimo: 17 cm Calculado: 101.8 cm	Cumple
- Armado inferior trasdós (Patilla):	Mínimo: 16 cm Calculado: 20 cm	Cumple
- Armado inferior intradós (Patilla):	Mínimo: 0 cm Calculado: 20 cm	Cumple
Recubrimiento:		
- Lateral:	Mínimo: 7 cm Calculado: 7 cm	Cumple
<i>Norma EHE-08. Artículo 37.2.4.1</i>		
Diámetro mínimo:	Mínimo: Ø12	
<i>Norma EHE-08. Artículo 58.8.2.</i>		
- Armadura transversal inferior:	Calculado: Ø16	Cumple
- Armadura longitudinal inferior:	Calculado: Ø16	Cumple
Separación máxima entre barras:	Máximo: 30 cm	
<i>Norma EHE-08. Artículo 42.3.1</i>		
- Armadura transversal inferior:	Calculado: 15 cm	Cumple
- Armadura longitudinal inferior:	Calculado: 20 cm	Cumple
Separación mínima entre barras:	Mínimo: 10 cm	
<i>Criterio de CYPE Ingenieros, basado en: J. Calavera. "Cálculo de Estructuras de Cimentación". Capítulo 3.16</i>		
- Armadura transversal inferior:	Calculado: 15 cm	Cumple
- Armadura longitudinal inferior:	Calculado: 20 cm	Cumple
Cuantía geométrica mínima:	Mínimo: 0.0009	
<i>Norma EHE-08. Artículo 42.3.5</i>		
- Armadura longitudinal inferior:	Calculado: 0.00091	Cumple
- Armadura transversal inferior:	Calculado: 0.00121	Cumple
Cuantía mecánica mínima:	Mínimo: 0.0003	
- Armadura longitudinal inferior:	Calculado: 0.00091	Cumple
<i>Norma EHE-08. Artículo 55</i>		



Referencia: Zapata corrida: Cierre_5.10 (Cierre maximo 5.10 m altura)		
Comprobación	Valores	Estado
- Armadura transversal inferior: <i>Norma EHE-08. Artículo 42.3.2</i>	Mínimo: 0.00102 Calculado: 0.00121	Cumple
Se cumplen todas las comprobaciones		
Información adicional:		
- Momento flector pésimo en la sección de referencia del intradós: 41.61 t·m/m		

12.- COMPROBACIONES DE ESTABILIDAD (CÍRCULO DE DESLIZAMIENTO PÉSIMO)

Referencia: Comprobaciones de estabilidad (Círculo de deslizamiento pésimo): Cierre_5.10 (Cierre maximo 5.10 m altura)		
Comprobación	Valores	Estado
Círculo de deslizamiento pésimo: Combinaciones sin sismo: - Fase: Coordenadas del centro del círculo (-2.37 m ; 66.55 m) - Radio: 8.46 m: <i>Valor introducido por el usuario.</i>	Mínimo: 1.8 Calculado: 2.719	Cumple
Se cumplen todas las comprobaciones		



E.3.8.- MURO CONTENCION CP-3

5.- GEOMETRÍA

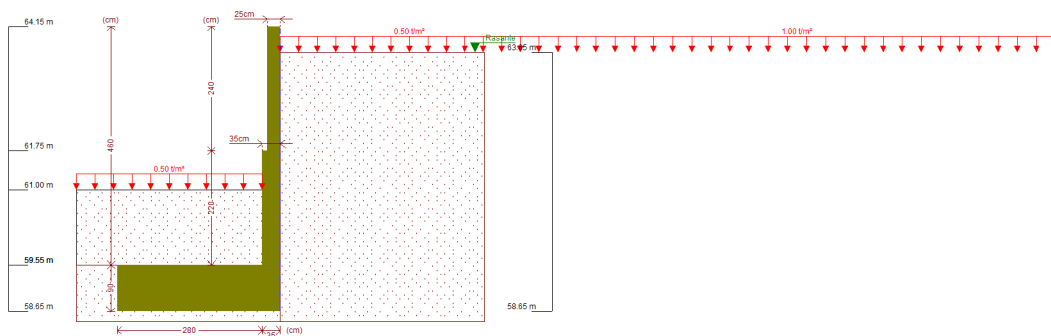
TRAMOS DEL MURO

Cota de la coronación	Descripción
64.15 m	Altura: 2.40 m Espesor superior: 25.0 cm Espesor inferior: 25.0 cm
61.75 m	Altura: 2.20 m Espesor superior: 35.0 cm Espesor inferior: 35.0 cm
Altura total: 4.60 m	

ZAPATA CORRIDA

Sin talón
Canto: 90 cm
Vuelo en el intradós: 280.0 cm
Hormigón de limpieza: 10 cm

6.- ESQUEMA DE LAS FASES



Fase 1: Fase

7.- CARGAS

CARGAS EN EL TRASDÓS

Tipo	Cota	Datos	Fase inicial	Fase final
En banda	En superficie	Valor: 1 t/m² Ancho: 10 m Separación: 10 m	Fase	Fase
En banda	En superficie	Valor: 0.5 t/m² Ancho: 5 m Separación: 2.5 m	Fase	Fase

CARGAS EN EL INTRADÓS

Tipo	Cota	Datos	Fase inicial	Fase final
Uniforme	En superficie	Valor: 0.5 t/m²	Fase	Fase

8.- RESULTADOS DE LAS FASES

Esfuerzos sin mayorar.

FASE 1: FASE

CARGA PERMANENTE Y EMPUJE DE TIERRAS CON SOBRECARGAS

Cota (m)	Ley de axiles (t/m)	Ley de cortantes (t/m)	Ley de momento flector (t·m/m)	Ley de empujes (t/m²)	Presión hidrostática (t/m²)
64.15	0.00	0.00	0.00	0.00	0.00



I. MEMORIA

Cota (m)	Ley de axiles (t/m)	Ley de cortantes (t/m)	Ley de momento flector (t·m/m)	Ley de empujes (t/m ²)	Presión hidrostática (t/m ²)
63.70	0.28	0.00	0.00	0.00	0.00
63.24	0.57	0.26	0.05	0.76	0.00
62.78	0.86	0.68	0.26	1.06	0.00
62.32	1.14	1.23	0.69	1.35	0.00
61.86	1.43	1.92	1.41	1.63	0.00
61.42	1.79	2.70	2.35	1.90	0.00
60.96	2.19	3.63	3.80	2.18	0.00
60.50	2.59	4.70	5.71	2.45	0.00
60.04	3.00	5.89	8.14	2.72	0.00
59.58	3.40	5.76	10.99	-4.03	0.00
Máximos	3.43	6.56	11.16	2.85	0.00
	Cota: 59.55 m	Cota: 59.80 m	Cota: 59.55 m	Cota: 59.81 m	Cota: 64.15 m
Mínimos	0.00	0.00	0.00	-4.14	0.00
	Cota: 64.15 m	Cota: 64.15 m	Cota: 64.15 m	Cota: 59.55 m	Cota: 64.15 m

CARGA PERMANENTE Y EMPUJE DE TIERRAS

Cota (m)	Ley de axiles (t/m)	Ley de cortantes (t/m)	Ley de momento flector (t·m/m)	Ley de empujes (t/m ²)	Presión hidrostática (t/m ²)
64.15	0.00	0.00	0.00	0.00	0.00
63.70	0.28	0.00	0.00	0.00	0.00
63.24	0.57	0.05	0.01	0.25	0.00
62.78	0.86	0.23	0.07	0.52	0.00
62.32	1.14	0.53	0.24	0.80	0.00
61.86	1.43	0.96	0.57	1.07	0.00
61.42	1.79	1.49	1.03	1.34	0.00
60.96	2.19	2.17	1.87	1.61	0.00
60.50	2.59	2.98	3.05	1.89	0.00
60.04	3.00	3.91	4.63	2.17	0.00
59.58	3.40	3.76	6.54	-3.53	0.00
Máximos	3.43	4.45	6.65	2.30	0.00
	Cota: 59.55 m	Cota: 59.80 m	Cota: 59.55 m	Cota: 59.81 m	Cota: 64.15 m
Mínimos	0.00	0.00	0.00	-3.64	0.00
	Cota: 64.15 m	Cota: 64.15 m	Cota: 64.15 m	Cota: 59.55 m	Cota: 64.15 m

9.- COMBINACIONES

HIPÓTESIS

1 - Carga permanente
2 - Empuje de tierras
3 - Sobrecarga

COMBINACIONES PARA ESTADOS LÍMITE ÚLTIMOS

Combinación	Hipótesis		
	1	2	3
1	1.00	1.00	
2	1.35	1.00	
3	1.00	1.50	
4	1.35	1.50	
5	1.00	1.00	1.50
6	1.35	1.00	1.50
7	1.00	1.50	1.50
8	1.35	1.50	1.50



COMBINACIONES PARA ESTADOS LÍMITE DE SERVICIO

Combinación	Hipótesis		
	1	2	3
1	1.00	1.00	
2	1.00	1.00	0.60

10.- DESCRIPCIÓN DEL ARMADO

ARMADURA

CORONACIÓN				
Armadura superior: 2Ø12				
Anclaje intradós / trasdós: 16 / 16 cm				
TRAMOS				
Núm.	Intradós		Trasdós	
	Vertical	Horizontal	Vertical	Horizontal
1	Ø10c/30 Solape: 0.25 m	Ø10c/30	Ø10c/20 Solape: 0.35 m	Ø10c/30
2	Ø10c/30 Solape: 0.25 m	Ø12c/30	Ø12c/20 Solape: 0.4 m Refuerzo 1: Ø16 h=1.5 m	Ø12c/30
ZAPATA				
Armadura	Longitudinal	Transversal		
Inferior	Ø16c/20	Ø16c/20 Patilla intradós / trasdós: 20 / 20 cm		
Longitud de pata en arranque: 30 cm				

11.- COMPROBACIONES GEOMÉTRICAS Y DE RESISTENCIA

Referencia: Muro: Cierre_4.10 (Cierre maximo 4.10 m altura)		
Comprobación	Valores	Estado
Comprobación a rasante en arranque muro: <i>Criterio de CYPE Ingenieros</i>		
- Tramo 1:	Máximo: 27.57 t/m Calculado: 3.15 t/m	Cumple
- Tramo 2:	Máximo: 80.87 t/m Calculado: 8.45 t/m	Cumple
Espesor mínimo del tramo: <i>Jiménez Salas, J.A.. Geotecnia y Cimientos II, (Cap. 12)</i>	Mínimo: 20 cm	
- Tramo 1:	Calculado: 25 cm	Cumple
- Tramo 2:	Calculado: 35 cm	Cumple
Separación libre mínima armaduras horizontales: <i>Norma EHE-08. Artículo 69.4.1</i>	Mínimo: 3.7 cm	
- Tramo 1:		
- Trasdós:	Calculado: 29 cm	Cumple
- Intradós:	Calculado: 29 cm	Cumple
- Tramo 2:		
- Trasdós:	Calculado: 28.8 cm	Cumple
- Intradós:	Calculado: 28.8 cm	Cumple



Referencia: Muro: Cierre_4.10 (Cierre maximo 4.10 m altura)		
Comprobación	Valores	Estado
Separación máxima armaduras horizontales: <i>Norma EHE-08. Artículo 42.3.1</i>	Máximo: 30 cm	
- Tramo 1:		
- Trasdós:	Calculado: 30 cm	Cumple
- Intradós:	Calculado: 30 cm	Cumple
- Tramo 2:		
- Trasdós:	Calculado: 30 cm	Cumple
- Intradós:	Calculado: 30 cm	Cumple
Cuantía geométrica mínima horizontal por cara: <i>Norma EHE-08. Artículo 42.3.5</i>	Mínimo: 0.001	
- Tramo 1:		
- Trasdós (61.75 m):	Calculado: 0.00104	Cumple
- Intradós (61.75 m):	Calculado: 0.00104	Cumple
- Tramo 2:		
- Trasdós (59.55 m):	Calculado: 0.00107	Cumple
- Intradós (59.55 m):	Calculado: 0.00107	Cumple
Cuantía mínima mecánica horizontal por cara: <i>Criterio J.Calavera. "Muros de contención y muros de sótano". (Cuantía horizontal > 20% Cuantía vertical)</i>		
- Tramo 1:	Calculado: 0.00104	
- Trasdós:	Mínimo: 0.00031	Cumple
- Intradós:	Mínimo: 0.0002	Cumple
- Tramo 2:	Calculado: 0.00107	
- Trasdós:	Mínimo: 0.00089	Cumple
- Intradós:	Mínimo: 0.00014	Cumple
Cuantía mínima geométrica vertical cara traccionada: <i>Norma EHE-08. Artículo 42.3.5</i>	Mínimo: 0.0009	
- Tramo 1.		
Trasdós (61.75 m):	Calculado: 0.00157	Cumple
- Tramo 2:		
- Trasdós (59.55 m):	Calculado: 0.00448	Cumple
- Trasdós (61.05 m):	Calculado: 0.00161	Cumple
Cuantía mínima mecánica vertical cara traccionada: <i>Norma EHE-08. Artículo 42.3.2</i>	Mínimo: 0.00153	
- Tramo 1.		
Trasdós (61.75 m):	Calculado: 0.00157	Cumple
- Tramo 2:		
- Trasdós (59.55 m):	Calculado: 0.00448	Cumple
- Trasdós (61.05 m):	Calculado: 0.00161	Cumple
Cuantía mínima geométrica vertical cara comprimida: <i>Norma EHE-08. Artículo 42.3.5</i>	Mínimo: 0.00027	



Referencia: Muro: Cierre_4.10 (Cierre máximo 4.10 m altura)		
Comprobación	Valores	Estado
- Tramo 1. Intradós (61.75 m):	Calculado: 0.00104	Cumple
- Tramo 2:		
- Intradós (59.55 m):	Calculado: 0.00074	Cumple
- Intradós (61.05 m):	Calculado: 0.00074	Cumple
Cuantía mínima mecánica vertical cara comprimida: <i>Norma EHE-08. Artículo 42.3.3</i>		
- Tramo 1. Intradós (61.75 m):	Mínimo: 0 Calculado: 0.00104	Cumple
- Tramo 2:	Calculado: 0.00074	
- Intradós (59.55 m):	Mínimo: 1e-005	Cumple
- Intradós (61.05 m):	Mínimo: 0	Cumple
Separación libre mínima armaduras verticales: <i>Norma EHE-08. Artículo 69.4.1</i>	Mínimo: 3.7 cm	
- Tramo 1:		
- Trasdós, vertical:	Calculado: 18 cm	Cumple
- Intradós, vertical:	Calculado: 28 cm	Cumple
- Tramo 2:		
- Trasdós, vertical:	Calculado: 8 cm	Cumple
- Intradós, vertical:	Calculado: 28 cm	Cumple
Separación máxima entre barras: <i>Norma EHE-08. Artículo 42.3.1</i>	Máximo: 30 cm	
- Tramo 1:		
- Armadura vertical Trasdós, vertical:	Calculado: 20 cm	Cumple
- Armadura vertical Intradós, vertical:	Calculado: 30 cm	Cumple
- Tramo 2:		
- Armadura vertical Trasdós, vertical:	Calculado: 20 cm	Cumple
- Armadura vertical Intradós, vertical:	Calculado: 30 cm	Cumple
Comprobación a flexión compuesta: <i>Comprobación realizada por unidad de longitud de muro</i>		
- Tramo 1:		Cumple
- Tramo 2:		Cumple
Comprobación a cortante: <i>Norma EHE-08. Artículo 44.2.3.2.1</i>		
- Tramo 1:	Máximo: 15.26 t/m Calculado: 2.62 t/m	Cumple
- Tramo 2:	Máximo: 19.71 t/m Calculado: 9.56 t/m	Cumple
Comprobación de fisuración: <i>Norma EHE-08. Artículo 49.2.3</i>		
- Tramo 1:	Máximo: 0.3 mm Calculado: 0 mm	Cumple
- Tramo 2:	Calculado: 0.185 mm	Cumple



Referencia: Muro: Cierre_4.10 (Cierre maximo 4.10 m altura)		
Comprobación	Valores	Estado
Longitud de solapes: <i>Norma EHE-08. Artículo 69.5.2</i>		
- Tramo 1:		
- Base trasdós:	Mínimo: 0.35 m Calculado: 0.35 m	Cumple
- Base intradós:	Mínimo: 0.25 m Calculado: 0.25 m	Cumple
- Tramo 2:		
- Base trasdós:	Mínimo: 0.39 m Calculado: 0.4 m	Cumple
- Base intradós:	Mínimo: 0.25 m Calculado: 0.25 m	Cumple
Comprobación del anclaje del armado base en coronación: <i>Criterio J.Calavera. "Muros de contención y muros de sótano".</i>	Calculado: 16 cm	
- Trasdós:	Mínimo: 16 cm	Cumple
- Intradós:	Mínimo: 0 cm	Cumple
Área mínima longitudinal cara superior viga de coronación: <i>Criterio J.Calavera. "Muros de contención y muros de sótano".</i>	Mínimo: 2.2 cm ² Calculado: 2.2 cm ²	Cumple
Se cumplen todas las comprobaciones		
Información adicional:		
- Tramo 1 -> Cota de la sección con la mínima relación 'cuantía horizontal / cuantía vertical' Trasdós: 61.75 m - Tramo 1 -> Cota de la sección con la mínima relación 'cuantía horizontal / cuantía vertical' Intradós: 61.75 m - Tramo 1 -> Sección crítica a flexión compuesta: Cota: 61.75 m, Md: 2.45 t·m/m, Nd: 1.50 t/m, Vd: 3.15 t/m, Tensión máxima del acero: 2.916 t/cm ² - Tramo 1 -> Sección crítica a cortante: Cota: 61.96 m - Tramo 2 -> Cota de la sección con la mínima relación 'cuantía horizontal / cuantía vertical' Trasdós: 59.55 m - Tramo 2 -> Cota de la sección con la mínima relación 'cuantía horizontal / cuantía vertical' Intradós: 59.55 m - Tramo 2 -> Sección crítica a flexión compuesta: Cota: 60.65 m, Md: 7.59 t·m/m, Nd: 2.46 t/m, Vd: 6.51 t/m, Tensión máxima del acero: 4.368 t/cm ² - Tramo 2 -> Sección crítica a cortante: Cota: 59.86 m - Tramo 2 -> Sección con la máxima abertura de fisuras: Cota: 59.55 m, M: 9.36 t·m/m, N: 3.42 t/m		

Referencia: Zapata corrida: Cierre_4.10 (Cierre maximo 4.10 m altura)		
Comprobación	Valores	Estado
Comprobación de estabilidad:		
- Coeficiente de seguridad al vuelco: <i>Valor introducido por el usuario.</i>	Mínimo: 2 Calculado: 2.01	Cumple
Canto mínimo:		
- Zapata: <i>Norma EHE-08. Artículo 58.8.1</i>	Mínimo: 25 cm Calculado: 90 cm	Cumple
Tensiones sobre el terreno: <i>Valor introducido por el usuario.</i>		
- Tensión media:	Máximo: 2.5 kp/cm ² Calculado: 0.635 kp/cm ²	Cumple
- Tensión máxima:	Máximo: 3.125 kp/cm ² Calculado: 1.368 kp/cm ²	Cumple



Referencia: Zapata corrida: Cierre_4.10 (Cierre maximo 4.10 m altura)		
Comprobación	Valores	Estado
Flexión en zapata: - Armado inferior intradós: <i>Comprobación basada en criterios resistentes</i>	Mínimo: 6.09 cm ² /m Calculado: 10.05 cm ² /m	Cumple
Esfuerzo cortante: - Intradós: <i>Norma EHE-08. Artículo 44.2.3.2.1</i>	Máximo: 39.2 t/m Calculado: 10.18 t/m	Cumple
Longitud de anclaje: <i>Norma EHE-08. Artículo 69.5</i> - Arranque trasdós: - Arranque intradós: - Armado inferior trasdós (Patilla): - Armado inferior intradós (Patilla):	Mínimo: 23.4 cm Calculado: 81.8 cm Mínimo: 17 cm Calculado: 81.8 cm Mínimo: 16 cm Calculado: 20 cm Mínimo: 0 cm Calculado: 20 cm	Cumple Cumple Cumple Cumple
Recubrimiento: - Lateral: <i>Norma EHE-08. Artículo 37.2.4.1</i>	Mínimo: 7 cm Calculado: 7 cm	Cumple
Diámetro mínimo: <i>Norma EHE-08. Artículo 58.8.2.</i> - Armadura transversal inferior: - Armadura longitudinal inferior:	Mínimo: Ø12 Calculado: Ø16 Calculado: Ø16	Cumple Cumple
Separación máxima entre barras: <i>Norma EHE-08. Artículo 42.3.1</i> - Armadura transversal inferior: - Armadura longitudinal inferior:	Máximo: 30 cm Calculado: 20 cm Calculado: 20 cm	Cumple Cumple
Separación mínima entre barras: <i>Criterio de CYPE Ingenieros, basado en: J. Calavera. "Cálculo de Estructuras de Cimentación". Capítulo 3.16</i> - Armadura transversal inferior: - Armadura longitudinal inferior:	Mínimo: 10 cm Calculado: 20 cm Calculado: 20 cm	Cumple Cumple
Cuantía geométrica mínima: <i>Norma EHE-08. Artículo 42.3.5</i> - Armadura longitudinal inferior: - Armadura transversal inferior:	Mínimo: 0.0009 Calculado: 0.00111 Calculado: 0.00111	Cumple Cumple
Cuantía mecánica mínima: - Armadura longitudinal inferior: <i>Norma EHE-08. Artículo 55</i> - Armadura transversal inferior: <i>Norma EHE-08. Artículo 42.3.2</i>	Calculado: 0.00111 Mínimo: 0.00027 Mínimo: 0.00086	Cumple Cumple
Se cumplen todas las comprobaciones		
Información adicional:		



Referencia: Zapata corrida: Cierre_4.10 (Cierre maximo 4.10 m altura)		
Comprobación	Valores	Estado
- Momento flector pésimo en la sección de referencia del intradós: 22.20 t·m/m		

12.- COMPROBACIONES DE ESTABILIDAD (CÍRCULO DE DESLIZAMIENTO PÉSIMO)

Referencia: Comprobaciones de estabilidad (Círculo de deslizamiento pésimo): Cierre_4.10 (Cierre maximo 4.10 m altura)		
Comprobación	Valores	Estado
Círculo de deslizamiento pésimo: Combinaciones sin sismo: - Fase: Coordenadas del centro del círculo (-2.78 m ; 65.48 m) - Radio: 7.37 m: <i>Valor introducido por el usuario.</i>	Mínimo: 1.8 Calculado: 3.299	Cumple
Se cumplen todas las comprobaciones		



E.3.9.- MURO CONTENCION CP-4

5.- GEOMETRÍA

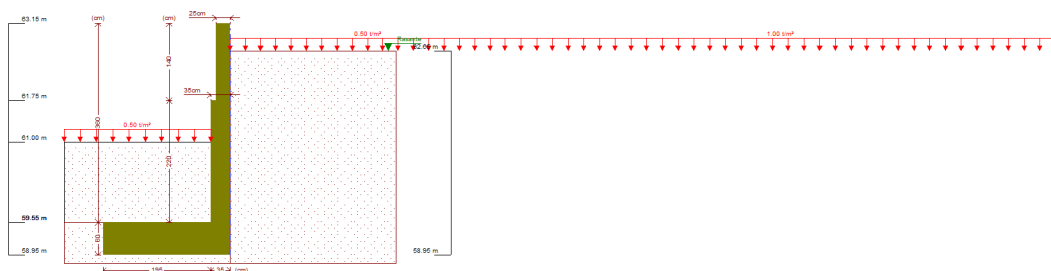
TRAMOS DEL MURO

Cota de la coronación	Descripción
63.15 m	Altura: 1.40 m Espesor superior: 25.0 cm Espesor inferior: 25.0 cm
61.75 m	Altura: 2.20 m Espesor superior: 35.0 cm Espesor inferior: 35.0 cm
Altura total: 3.60 m	

ZAPATA CORRIDA

Sin talón
Canto: 60 cm
Vuelo en el intradós: 195.0 cm
Hormigón de limpieza: 10 cm

6.- ESQUEMA DE LAS FASES



Fase 1: Fase

7.- CARGAS

CARGAS EN EL TRASDÓS

Tipo	Cota	Datos	Fase inicial	Fase final
En banda	En superficie	Valor: 1 t/m² Ancho: 10 m Separación: 10 m	Fase	Fase
En banda	En superficie	Valor: 0.5 t/m² Ancho: 5 m Separación: 2.5 m	Fase	Fase

CARGAS EN EL INTRADÓS

Tipo	Cota	Datos	Fase inicial	Fase final
Uniforme	En superficie	Valor: 0.5 t/m²	Fase	Fase

8.- RESULTADOS DE LAS FASES

Esfuerzos sin mayorar.

FASE 1: FASE

CARGA PERMANENTE Y EMPUJE DE TIERRAS CON SOBRECARGAS

Cota (m)	Ley de axiles (t/m)	Ley de cortantes (t/m)	Ley de momento flector (t·m/m)	Ley de empujes (t/m²)	Presión hidrostática (t/m²)
63.15	0.00	0.00	0.00	0.00	0.00
62.80	0.22	0.00	0.00	0.00	0.00
62.44	0.44	0.12	0.01	0.63	0.00



Cota (m)	Ley de axiles (t/m)	Ley de cortantes (t/m)	Ley de momento flector (t·m/m)	Ley de empujes (t/m ²)	Presión hidrostática (t/m ²)
62.08	0.67	0.39	0.10	0.87	0.00
61.74	0.88	0.72	0.24	1.08	0.00
61.38	1.20	1.15	0.58	1.31	0.00
61.02	1.51	1.66	1.08	1.53	0.00
60.66	1.83	2.26	1.79	1.76	0.00
60.30	2.14	2.93	2.72	1.98	0.00
59.94	2.46	3.68	3.90	2.19	0.00
59.58	2.77	3.06	5.22	-4.61	0.00
Máximos	2.80	3.99	5.31	2.27	0.00
	Cota: 59.55 m	Cota: 59.80 m	Cota: 59.55 m	Cota: 59.81 m	Cota: 63.15 m
Mínimos	0.00	0.00	0.00	-4.72	0.00
	Cota: 63.15 m	Cota: 63.15 m	Cota: 63.15 m	Cota: 59.55 m	Cota: 63.15 m

CARGA PERMANENTE Y EMPUJE DE TIERRAS

Cota (m)	Ley de axiles (t/m)	Ley de cortantes (t/m)	Ley de momento flector (t·m/m)	Ley de empujes (t/m ²)	Presión hidrostática (t/m ²)
63.15	0.00	0.00	0.00	0.00	0.00
62.80	0.22	0.00	0.00	0.00	0.00
62.44	0.44	0.01	0.00	0.13	0.00
62.08	0.67	0.10	0.02	0.34	0.00
61.74	0.88	0.25	0.03	0.55	0.00
61.38	1.20	0.48	0.16	0.76	0.00
61.02	1.51	0.80	0.39	0.98	0.00
60.66	1.83	1.19	0.74	1.19	0.00
60.30	2.14	1.66	1.25	1.41	0.00
59.94	2.46	2.20	1.95	1.63	0.00
59.58	2.77	1.62	2.72	-4.13	0.00
Máximos	2.80	2.44	2.77	1.70	0.00
	Cota: 59.55 m	Cota: 59.80 m	Cota: 59.55 m	Cota: 59.81 m	Cota: 63.15 m
Mínimos	0.00	0.00	0.00	-4.24	0.00
	Cota: 63.15 m	Cota: 63.15 m	Cota: 63.15 m	Cota: 59.55 m	Cota: 63.15 m

9.- COMBINACIONES

HIPÓTESIS

1 - Carga permanente
2 - Empuje de tierras
3 - Sobrecarga

COMBINACIONES PARA ESTADOS LÍMITE ÚLTIMOS

Combinación	Hipótesis		
	1	2	3
1	1.00	1.00	
2	1.35	1.00	
3	1.00	1.50	
4	1.35	1.50	
5	1.00	1.00	1.50
6	1.35	1.00	1.50
7	1.00	1.50	1.50
8	1.35	1.50	1.50



COMBINACIONES PARA ESTADOS LÍMITE DE SERVICIO

Combinación	Hipótesis		
	1	2	3
1	1.00	1.00	
2	1.00	1.00	0.60

10.- DESCRIPCIÓN DEL ARMADO

CORONACIÓN				
Armadura superior: 2Ø12				
Anclaje intradós / trasdós: 16 / 16 cm				
TRAMOS				
Núm.	Intradós		Trasdós	
	Vertical	Horizontal	Vertical	Horizontal
1	Ø10c/30 Solape: 0.25 m	Ø10c/30	Ø10c/20 Solape: 0.35 m	Ø10c/30
2	Ø10c/30 Solape: 0.25 m	Ø12c/30	Ø12c/20 Solape: 0.45 m	Ø12c/30
ZAPATA				
Armadura	Longitudinal	Transversal		
Inferior	Ø12c/20	Ø12c/20	Patilla intradós / trasdós: 20 / 20 cm	
Longitud de pata en arranque: 30 cm				

11.- COMPROBACIONES GEOMÉTRICAS Y DE RESISTENCIA

Referencia: Muro: Cierre_3.10 (Cierre maximo 3.10 m altura)		
Comprobación	Valores	Estado
Comprobación a rasante en arranque muro: <i>Criterio de CYPE Ingenieros</i>		
- Tramo 1:	Máximo: 27.57 t/m Calculado: 1.06 t/m	Cumple
- Tramo 2:	Máximo: 40.9 t/m Calculado: 4.38 t/m	Cumple
Espesor mínimo del tramo: <i>Jiménez Salas, J.A.. Geotecnia y Cimientos II, (Cap. 12)</i>	Mínimo: 20 cm	
- Tramo 1:	Calculado: 25 cm	Cumple
- Tramo 2:	Calculado: 35 cm	Cumple
Separación libre mínima armaduras horizontales: <i>Norma EHE-08. Artículo 69.4.1</i>	Mínimo: 3.7 cm	
- Tramo 1:		
- Trasdós:	Calculado: 29 cm	Cumple
- Intradós:	Calculado: 29 cm	Cumple
- Tramo 2:		
- Trasdós:	Calculado: 28.8 cm	Cumple
- Intradós:	Calculado: 28.8 cm	Cumple
Separación máxima armaduras horizontales: <i>Norma EHE-08. Artículo 42.3.1</i>	Máximo: 30 cm	
- Tramo 1:		



Referencia: Muro: Cierre_3.10 (Cierre maximo 3.10 m altura)		
Comprobación	Valores	Estado
- Trasdós:	Calculado: 30 cm	Cumple
- Intradós:	Calculado: 30 cm	Cumple
- Tramo 2:		
- Trasdós:	Calculado: 30 cm	Cumple
- Intradós:	Calculado: 30 cm	Cumple
Cuántía geométrica mínima horizontal por cara: <i>Norma EHE-08. Artículo 42.3.5</i>	Mínimo: 0.001	
- Tramo 1:		
- Trasdós (61.75 m):	Calculado: 0.00104	Cumple
- Intradós (61.75 m):	Calculado: 0.00104	Cumple
- Tramo 2:		
- Trasdós (59.55 m):	Calculado: 0.00107	Cumple
- Intradós (59.55 m):	Calculado: 0.00107	Cumple
Cuántía mínima mecánica horizontal por cara: <i>Criterio J.Calavera. "Muros de contención y muros de sótano". (Cuántía horizontal > 20% Cuántía vertical)</i>		
- Tramo 1:	Calculado: 0.00104	
- Trasdós:	Mínimo: 0.00031	Cumple
- Intradós:	Mínimo: 0.0002	Cumple
- Tramo 2:	Calculado: 0.00107	
- Trasdós:	Mínimo: 0.00032	Cumple
- Intradós:	Mínimo: 0.00014	Cumple
Cuántía mínima geométrica vertical cara traccionada: <i>Norma EHE-08. Artículo 42.3.5</i>	Mínimo: 0.0009	
- Tramo 1. Trasdós (61.75 m):	Calculado: 0.00157	Cumple
- Tramo 2. Trasdós (59.55 m):	Calculado: 0.00161	Cumple
Cuántía mínima mecánica vertical cara traccionada: <i>Norma EHE-08. Artículo 42.3.2</i>	Mínimo: 0.00153	
- Tramo 1. Trasdós (61.75 m):	Calculado: 0.00157	Cumple
- Tramo 2. Trasdós (59.55 m):	Calculado: 0.00161	Cumple
Cuántía mínima geométrica vertical cara comprimida: <i>Norma EHE-08. Artículo 42.3.5</i>	Mínimo: 0.00027	
- Tramo 1. Intradós (61.75 m):	Calculado: 0.00104	Cumple
- Tramo 2. Intradós (59.55 m):	Calculado: 0.00074	Cumple
Cuántía mínima mecánica vertical cara comprimida: <i>Norma EHE-08. Artículo 42.3.3</i>		



Referencia: Muro: Cierre_3.10 (Cierre maximo 3.10 m altura)		
Comprobación	Valores	Estado
- Tramo 1. Intradós (61.75 m):	Mínimo: 0 Calculado: 0.00104	Cumple
- Tramo 2. Intradós (59.55 m):	Mínimo: 1e-005 Calculado: 0.00074	Cumple
Separación libre mínima armaduras verticales: <i>Norma EHE-08. Artículo 69.4.1</i>	Mínimo: 3.7 cm	
- Tramo 1:		
- Trasdós, vertical:	Calculado: 18 cm	Cumple
- Intradós, vertical:	Calculado: 28 cm	Cumple
- Tramo 2:		
- Trasdós, vertical:	Calculado: 17.6 cm	Cumple
- Intradós, vertical:	Calculado: 28 cm	Cumple
Separación máxima entre barras: <i>Norma EHE-08. Artículo 42.3.1</i>	Máximo: 30 cm	
- Tramo 1:		
- Armadura vertical Trasdós, vertical:	Calculado: 20 cm	Cumple
- Armadura vertical Intradós, vertical:	Calculado: 30 cm	Cumple
- Tramo 2:		
- Armadura vertical Trasdós, vertical:	Calculado: 20 cm	Cumple
- Armadura vertical Intradós, vertical:	Calculado: 30 cm	Cumple
Comprobación a flexión compuesta: <i>Comprobación realizada por unidad de longitud de muro</i>		
- Tramo 1:		Cumple
- Tramo 2:		Cumple
Comprobación a cortante: <i>Norma EHE-08. Artículo 44.2.3.2.1</i>		
- Tramo 1:	Máximo: 15.18 t/m Calculado: 0.73 t/m	Cumple
- Tramo 2:	Máximo: 19.63 t/m Calculado: 5.77 t/m	Cumple
Comprobación de fisuración: <i>Norma EHE-08. Artículo 49.2.3</i>		
- Tramo 1:	Máximo: 0.3 mm Calculado: 0 mm	Cumple
- Tramo 2:	Calculado: 0 mm	Cumple
Longitud de solapes: <i>Norma EHE-08. Artículo 69.5.2</i>		
- Tramo 1:		
- Base trasdós:	Mínimo: 0.35 m Calculado: 0.35 m	Cumple
- Base intradós:	Mínimo: 0.25 m Calculado: 0.25 m	Cumple
- Tramo 2:		



Referencia: Muro: Cierre_3.10 (Cierre maximo 3.10 m altura)		
Comprobación	Valores	Estado
- Base trasdós:	Mínimo: 0.42 m Calculado: 0.45 m	Cumple
- Base intradós:	Mínimo: 0.25 m Calculado: 0.25 m	Cumple
Comprobación del anclaje del armado base en coronación: <i>Criterio J. Calavera. "Muros de contención y muros de sótano".</i>		
- Trasdós:	Calculado: 16 cm Mínimo: 16 cm	Cumple
- Intradós:	Mínimo: 0 cm	Cumple
Área mínima longitudinal cara superior viga de coronación: <i>Criterio J. Calavera. "Muros de contención y muros de sótano".</i>		
	Mínimo: 2.2 cm ² Calculado: 2.2 cm ²	Cumple
Se cumplen todas las comprobaciones		
Información adicional:		
- Tramo 1 -> Cota de la sección con la mínima relación 'cuantía horizontal / cuantía vertical' Trasdós: 61.75 m - Tramo 1 -> Cota de la sección con la mínima relación 'cuantía horizontal / cuantía vertical' Intradós: 61.75 m - Tramo 1 -> Sección crítica a flexión compuesta: Cota: 61.75 m, Md: 0.42 t·m/m, Nd: 0.87 t/m, Vd: 1.06 t/m, Tensión máxima del acero: 0.419 t/cm ² - Tramo 1 -> Sección crítica a cortante: Cota: 61.96 m - Tramo 2 -> Cota de la sección con la mínima relación 'cuantía horizontal / cuantía vertical' Trasdós: 59.55 m - Tramo 2 -> Cota de la sección con la mínima relación 'cuantía horizontal / cuantía vertical' Intradós: 59.55 m - Tramo 2 -> Sección crítica a flexión compuesta: Cota: 59.55 m, Md: 7.98 t·m/m, Nd: 2.80 t/m, Vd: 4.38 t/m, Tensión máxima del acero: 4.432 t/cm ² - Tramo 2 -> Sección crítica a cortante: Cota: 59.86 m		

Referencia: Zapata corrida: Cierre_3.10 (Cierre maximo 3.10 m altura)		
Comprobación	Valores	Estado
Comprobación de estabilidad:		
- Coeficiente de seguridad al vuelco: <i>Valor introducido por el usuario.</i>	Mínimo: 2 Calculado: 2.12	Cumple
Canto mínimo:		
- Zapata: <i>Norma EHE-08. Artículo 58.8.1</i>	Mínimo: 25 cm Calculado: 60 cm	Cumple
Tensiones sobre el terreno: <i>Valor introducido por el usuario.</i>		
- Tensión media:	Máximo: 2.5 kp/cm ² Calculado: 0.559 kp/cm ²	Cumple
- Tensión máxima:	Máximo: 3.125 kp/cm ² Calculado: 1.119 kp/cm ²	Cumple
Flexión en zapata:		
- Armado inferior intradós: <i>Comprobación basada en criterios resistentes</i>	Mínimo: 4.02 cm ² /m Calculado: 5.65 cm ² /m	Cumple
Esfuerzo cortante:		
- Intradós: <i>Norma EHE-08. Artículo 44.2.3.2.1</i>	Máximo: 28.44 t/m Calculado: 6.08 t/m	Cumple
Longitud de anclaje: <i>Norma EHE-08. Artículo 69.5</i>		



Referencia: Zapata corrida: Cierre_3.10 (Cierre maximo 3.10 m altura)		
Comprobación	Valores	Estado
-Arranque trasdós:	Mínimo: 21 cm Calculado: 52.6 cm	Cumple
-Arranque intradós:	Mínimo: 17 cm Calculado: 52.6 cm	Cumple
-Armado inferior trasdós (Patilla):	Mínimo: 15 cm Calculado: 20 cm	Cumple
-Armado inferior intradós (Patilla):	Mínimo: 0 cm Calculado: 20 cm	Cumple
Recubrimiento:		
-Lateral: <i>Norma EHE-08. Artículo 37.2.4.1</i>	Mínimo: 7 cm Calculado: 7 cm	Cumple
Diámetro mínimo: <i>Norma EHE-08. Artículo 58.8.2.</i>	Mínimo: Ø12	
-Armadura transversal inferior:	Calculado: Ø12	Cumple
-Armadura longitudinal inferior:	Calculado: Ø12	Cumple
Separación máxima entre barras: <i>Norma EHE-08. Artículo 42.3.1</i>	Máximo: 30 cm	
-Armadura transversal inferior:	Calculado: 20 cm	Cumple
-Armadura longitudinal inferior:	Calculado: 20 cm	Cumple
Separación mínima entre barras: <i>Criterio de CYPE Ingenieros, basado en: J. Calavera. "Cálculo de Estructuras de Cimentación". Capítulo 3.16</i>	Mínimo: 10 cm	
-Armadura transversal inferior:	Calculado: 20 cm	Cumple
-Armadura longitudinal inferior:	Calculado: 20 cm	Cumple
Cuantía geométrica mínima: <i>Norma EHE-08. Artículo 42.3.5</i>	Mínimo: 0.0009	
-Armadura longitudinal inferior:	Calculado: 0.00094	Cumple
-Armadura transversal inferior:	Calculado: 0.00094	Cumple
Cuantía mecánica mínima:	Calculado: 0.00094	
-Armadura longitudinal inferior: <i>Norma EHE-08. Artículo 55</i>	Mínimo: 0.00023	Cumple
-Armadura transversal inferior: <i>Norma EHE-08. Artículo 42.3.2</i>	Mínimo: 0.00085	Cumple
Se cumplen todas las comprobaciones		
Información adicional:		
- Momento flector pésimo en la sección de referencia del intradós: 9.36 t·m/m		

12.- COMPROBACIONES DE ESTABILIDAD (CÍRCULO DE DESLIZAMIENTO PÉSIMO)

Referencia: Comprobaciones de estabilidad (Círculo de deslizamiento pésimo): Cierre_3.10 (Cierre maximo 3.10 m altura)		
Comprobación	Valores	Estado



I. MEMORIA

Referencia: Comprobaciones de estabilidad (Círculo de deslizamiento pésimo): Cierre_3.10 (Cierre maximo 3.10 m altura)		
Comprobación	Valores	Estado
Círculo de deslizamiento pésimo: Combinaciones sin sismo: -Fase: Coordenadas del centro del círculo (-1.91 m ; 63.60 m) - Radio: 5.04 m: <i>Valor introducido por el usuario.</i>	Mínimo: 1.8 Calculado: 4.242	Cumple
Se cumplen todas las comprobaciones		



E.3.10.- MURO CONTENCION CP-5

5.- GEOMETRÍA

MURO

Altura: 2.50 m
Espesor superior: 25.0 cm
Espesor inferior: 25.0 cm

ZAPATA CORRIDA

Sin talón
Canto: 35 cm
Vuelo en el intradós: 105.0 cm
Hormigón de limpieza: 10 cm

6.- ESQUEMA DE LAS FASES



Fase 1: Fase

7.- CARGAS

CARGAS EN EL TRASDÓS

Tipo	Cota	Datos	Fase inicial	Fase final
En banda	En superficie	Valor: 1 t/m ² Ancho: 10 m Separación: 10 m	Fase	Fase
En banda	En superficie	Valor: 0.5 t/m ² Ancho: 5 m Separación: 2.5 m	Fase	Fase

CARGAS EN EL INTRADÓS

Tipo	Cota	Datos	Fase inicial	Fase final
Uniforme	En superficie	Valor: 0.5 t/m ²	Fase	Fase

8.- RESULTADOS DE LAS FASES

Esfuerzos sin mayorar.

FASE 1: FASE

CARGA PERMANENTE Y EMPUJE DE TIERRAS CON SOBRECARGAS

Cota (m)	Ley de axiles (t/m)	Ley de cortantes (t/m)	Ley de momento flector (t·m/m)	Ley de empujes (t/m ²)	Presión hidrostática (t/m ²)
63.15	0.00	0.00	0.00	0.00	0.00
62.91	0.15	0.00	0.00	0.00	0.00
62.66	0.31	0.00	0.00	0.00	0.00
62.41	0.46	0.14	0.02	0.65	0.00
62.16	0.62	0.32	0.07	0.81	0.00
61.91	0.78	0.55	0.18	0.97	0.00
61.66	0.93	0.81	0.35	1.13	0.00
61.41	1.09	1.11	0.59	1.29	0.00
61.16	1.24	1.45	0.91	1.45	0.00



Cota (m)	Ley de axiles (t/m)	Ley de cortantes (t/m)	Ley de momento flector (t·m/m)	Ley de empujes (t/m ²)	Presión hidrostática (t/m ²)
60.91	1.40	1.84	1.32	1.60	0.00
60.66	1.56	0.67	1.64	-5.35	0.00
Máximos	1.56 Cota: 60.65 m	1.85 Cota: 60.90 m	1.65 Cota: 60.65 m	1.60 Cota: 60.91 m	0.00 Cota: 63.15 m
Mínimos	0.00 Cota: 63.15 m	0.00 Cota: 63.15 m	0.00 Cota: 63.15 m	-5.38 Cota: 60.65 m	0.00 Cota: 63.15 m

CARGA PERMANENTE Y EMPUJE DE TIERRAS

Cota (m)	Ley de axiles (t/m)	Ley de cortantes (t/m)	Ley de momento flector (t·m/m)	Ley de empujes (t/m ²)	Presión hidrostática (t/m ²)
63.15	0.00	0.00	0.00	0.00	0.00
62.91	0.15	0.00	0.00	0.00	0.00
62.66	0.31	0.00	0.00	0.00	0.00
62.41	0.46	0.02	0.00	0.14	0.00
62.16	0.62	0.07	0.01	0.29	0.00
61.91	0.78	0.16	0.04	0.44	0.00
61.66	0.93	0.29	0.10	0.59	0.00
61.41	1.09	0.46	0.19	0.74	0.00
61.16	1.24	0.67	0.33	0.89	0.00
60.91	1.40	0.91	0.53	1.04	0.00
60.66	1.56	-0.14	0.63	-4.86	0.00
Máximos	1.56 Cota: 60.65 m	0.92 Cota: 60.90 m	0.64 Cota: 60.69 m	1.04 Cota: 60.91 m	0.00 Cota: 63.15 m
Mínimos	0.00 Cota: 63.15 m	-0.19 Cota: 60.65 m	0.00 Cota: 63.15 m	-4.90 Cota: 60.65 m	0.00 Cota: 63.15 m

9.- COMBINACIONES

HIPÓTESIS

1 - Carga permanente
2 - Empuje de tierras
3 - Sobrecarga

COMBINACIONES PARA ESTADOS LÍMITE ÚLTIMOS

Combinación	Hipótesis		
	1	2	3
1	1.00	1.00	
2	1.35	1.00	
3	1.00	1.50	
4	1.35	1.50	
5	1.00	1.00	1.50
6	1.35	1.00	1.50
7	1.00	1.50	1.50
8	1.35	1.50	1.50

COMBINACIONES PARA ESTADOS LÍMITE DE SERVICIO

Combinación	Hipótesis		
	1	2	3
1	1.00	1.00	
2	1.00	1.00	0.60



10.- DESCRIPCIÓN DEL ARMADO

CORONACIÓN				
Armadura superior: 2Ø12				
Anclaje intradós / trasdós: 16 / 16 cm				
TRAMOS				
Núm.	Intradós		Trasdós	
	Vertical	Horizontal	Vertical	Horizontal
1	Ø10c/30 Solape: 0.25 m	Ø10c/30	Ø10c/20 Solape: 0.35 m	Ø10c/30
ZAPATA				
Armadura	Longitudinal	Transversal		
Inferior	Ø12c/30	Ø12c/30 Patilla intradós / trasdós: 15 / 15 cm		
Longitud de pata en arranque: 30 cm				

11.- COMPROBACIONES GEOMÉTRICAS Y DE RESISTENCIA

Referencia: Muro: Cierre_3.10 (Cierre maximo 3.10 m altura)		
Comprobación	Valores	Estado
Comprobación a rasante en arranque muro: <i>Criterio de CYPE Ingenieros</i>	Máximo: 27.57 t/m Calculado: 1.02 t/m	Cumple
Espesor mínimo del tramo: <i>Jiménez Salas, J.A.. Geotecnia y Cimientos II, (Cap. 12)</i>	Mínimo: 20 cm Calculado: 25 cm	Cumple
Separación libre mínima armaduras horizontales: <i>Norma EHE-08. Artículo 69.4.1</i>	Mínimo: 3.7 cm	
- Trasdós:	Calculado: 29 cm	Cumple
- Intradós:	Calculado: 29 cm	Cumple
Separación máxima armaduras horizontales: <i>Norma EHE-08. Artículo 42.3.1</i>	Máximo: 30 cm	
- Trasdós:	Calculado: 30 cm	Cumple
- Intradós:	Calculado: 30 cm	Cumple
Cuantía geométrica mínima horizontal por cara: <i>Norma EHE-08. Artículo 42.3.5</i>	Mínimo: 0.001	
- Trasdós (60.65 m):	Calculado: 0.00104	Cumple
- Intradós (60.65 m):	Calculado: 0.00104	Cumple
Cuantía mínima mecánica horizontal por cara: <i>Criterio J. Calavera. "Muros de contención y muros de sótano". (Cuantía horizontal > 20% Cuantía vertical)</i>	Calculado: 0.00104	
- Trasdós:	Mínimo: 0.00031	Cumple
- Intradós:	Mínimo: 0.0002	Cumple
Cuantía mínima geométrica vertical cara traccionada: - Trasdós (60.65 m): <i>Norma EHE-08. Artículo 42.3.5</i>	Mínimo: 0.0009 Calculado: 0.00157	Cumple
Cuantía mínima mecánica vertical cara traccionada: - Trasdós (60.65 m): <i>Norma EHE-08. Artículo 42.3.2</i>	Mínimo: 0.00153 Calculado: 0.00157	Cumple



Referencia: Muro: Cierre_3.10 (Cierre maximo 3.10 m altura)		
Comprobación	Valores	Estado
Cuantía mínima geométrica vertical cara comprimida: - Intradós (60.65 m): <i>Norma EHE-08. Artículo 42.3.5</i>	Mínimo: 0.00027 Calculado: 0.00104	Cumple
Cuantía mínima mecánica vertical cara comprimida: - Intradós (60.65 m): <i>Norma EHE-08. Artículo 42.3.3</i>	Mínimo: 0 Calculado: 0.00104	Cumple
Separación libre mínima armaduras verticales: <i>Norma EHE-08. Artículo 69.4.1</i> - Trasdós, vertical: - Intradós, vertical:	Mínimo: 3.7 cm Calculado: 18 cm Calculado: 28 cm	Cumple Cumple
Separación máxima entre barras: <i>Norma EHE-08. Artículo 42.3.1</i> - Armadura vertical Trasdós, vertical: - Armadura vertical Intradós, vertical:	Máximo: 30 cm Calculado: 20 cm Calculado: 30 cm	Cumple Cumple
Comprobación a flexión compuesta: <i>Comprobación realizada por unidad de longitud de muro</i>		Cumple
Comprobación a cortante: <i>Norma EHE-08. Artículo 44.2.3.2.1</i>	Máximo: 15.26 t/m Calculado: 2.77 t/m	Cumple
Comprobación de fisuración: <i>Norma EHE-08. Artículo 49.2.3</i>	Máximo: 0.3 mm Calculado: 0 mm	Cumple
Longitud de solapes: <i>Norma EHE-08. Artículo 69.5.2</i> - Base trasdós: - Base intradós:	Mínimo: 0.35 m Calculado: 0.35 m Mínimo: 0.25 m Calculado: 0.25 m	Cumple Cumple
Comprobación del anclaje del armado base en coronación: <i>Criterio J.Calavera. "Muros de contención y muros de sótano".</i> - Trasdós: - Intradós:	Calculado: 16 cm Mínimo: 16 cm Mínimo: 0 cm	Cumple Cumple
Área mínima longitudinal cara superior viga de coronación: <i>Criterio J.Calavera. "Muros de contención y muros de sótano".</i>	Mínimo: 2.2 cm ² Calculado: 2.2 cm ²	Cumple
Se cumplen todas las comprobaciones		
Información adicional: - Cota de la sección con la mínima relación 'cuantía horizontal / cuantía vertical' Trasdós: 60.65 m - Cota de la sección con la mínima relación 'cuantía horizontal / cuantía vertical' Intradós: 60.65 m - Sección crítica a flexión compuesta: Cota: 60.65 m, Md: 2.48 t·m/m, Nd: 1.56 t/m, Vd: 0.93 t/m, Tensión máxima del acero: 2.940 t/cm ² - Sección crítica a cortante: Cota: 60.90 m		

Referencia: Zapata corrida: Cierre_3.10 (Cierre maximo 3.10 m altura)		
Comprobación	Valores	Estado



Referencia: Zapata corrida: Cierre_3.10 (Cierre máximo 3.10 m altura)		
Comprobación	Valores	Estado
Comprobación de estabilidad: - Coeficiente de seguridad al vuelco: <i>Valor introducido por el usuario.</i>	Mínimo: 2 Calculado: 2.01	Cumple
Canto mínimo: - Zapata: <i>Norma EHE-08. Artículo 58.8.1</i>	Mínimo: 25 cm Calculado: 35 cm	Cumple
Tensiones sobre el terreno: <i>Valor introducido por el usuario.</i> - Tensión media: - Tensión máxima:	Máximo: 2.5 kp/cm ² Calculado: 0.482 kp/cm ² Máximo: 3.125 kp/cm ² Calculado: 0.934 kp/cm ²	Cumple Cumple
Flexión en zapata: - Armado inferior intradós: <i>Comprobación basada en criterios resistentes</i>	Mínimo: 1.87 cm ² /m Calculado: 3.77 cm ² /m	Cumple
Esfuerzo cortante: - Intradós: <i>Norma EHE-08. Artículo 44.2.3.2.1</i>	Máximo: 18.71 t/m Calculado: 2.8 t/m	Cumple
Longitud de anclaje: <i>Norma EHE-08. Artículo 69.5</i> - Arranque trasdós: - Arranque intradós: - Armado inferior trasdós (Patilla): - Armado inferior intradós (Patilla):	Mínimo: 15 cm Calculado: 27.6 cm Mínimo: 17 cm Calculado: 27.6 cm Mínimo: 15 cm Calculado: 15 cm Mínimo: 0 cm Calculado: 15 cm	Cumple Cumple Cumple Cumple
Recubrimiento: - Lateral: <i>Norma EHE-08. Artículo 37.2.4.1</i>	Mínimo: 7 cm Calculado: 7 cm	Cumple
Diámetro mínimo: <i>Norma EHE-08. Artículo 58.8.2.</i> - Armadura transversal inferior: - Armadura longitudinal inferior:	Mínimo: Ø12 Calculado: Ø12 Calculado: Ø12	Cumple Cumple
Separación máxima entre barras: <i>Norma EHE-08. Artículo 42.3.1</i> - Armadura transversal inferior: - Armadura longitudinal inferior:	Máximo: 30 cm Calculado: 30 cm Calculado: 30 cm	Cumple Cumple
Separación mínima entre barras: <i>Criterio de CYPE Ingenieros, basado en: J. Calavera. "Cálculo de Estructuras de Cimentación". Capítulo 3.16</i> - Armadura transversal inferior:	Mínimo: 10 cm Calculado: 30 cm	Cumple



Referencia: Zapata corrida: Cierre_3.10 (Cierre maximo 3.10 m altura)		
Comprobación	Valores	Estado
- Armadura longitudinal inferior:	Calculado: 30 cm	Cumple
Cuantía geométrica mínima: <i>Norma EHE-08. Artículo 42.3.5</i>	Mínimo: 0.0009	
- Armadura longitudinal inferior:	Calculado: 0.00107	Cumple
- Armadura transversal inferior:	Calculado: 0.00107	Cumple
Cuantía mecánica mínima:	Calculado: 0.00107	
- Armadura longitudinal inferior: <i>Norma EHE-08. Artículo 55</i>	Mínimo: 0.00026	Cumple
- Armadura transversal inferior: <i>Norma EHE-08. Artículo 42.3.2</i>	Mínimo: 0.00071	Cumple
Se cumplen todas las comprobaciones		
Información adicional:		
- Momento flector pésimo en la sección de referencia del intradós: 2.31 t·m/m		

12.- COMPROBACIONES DE ESTABILIDAD (CÍRCULO DE DESLIZAMIENTO PÉSIMO)

Referencia: Comprobaciones de estabilidad (Círculo de deslizamiento pésimo): Cierre_3.10 (Cierre maximo 3.10 m altura)		
Comprobación	Valores	Estado
Círculo de deslizamiento pésimo:		
Combinaciones sin sismo:		
- Fase: Coordenadas del centro del círculo (-1.53 m ; 62.89 m) - Radio: 3.01 m: <i>Valor introducido por el usuario.</i>	Mínimo: 1.8 Calculado: 9.105	Cumple
Se cumplen todas las comprobaciones		